

Università degli Studi di Roma "La Sapienza"

ARSLANTEPE

VIII

Gian Maria Di Nocera

DIE SIEDLUNG DER MITTELBRONZEZEIT VON ARSLANTEPE



Roma - 1998

a Laura

Dipartimento di Scienze Storiche, Archeologiche, Antropologiche dell'Antichità
Università degli Studi di Roma "La Sapienza"

Arslantepe

Risultati delle ricerche e scavi della
Missione Archeologica Italiana nell'Anatolia Orientale

a cura di
Marcella Frangipane

Volume VIII

Gian Maria Di Nocera

DIE SIEDLUNG DER MITTELBRONZEZEIT VON ARSLANTEPE

Eine Zentralsiedlung von Beginn des zweiten Jahrtausends v.Chr.
in der Ebene von Malatya (Türkei)



Visceglia Roma
1998

Volume pubblicato con il contributo del Dipartimento di Scienze Storiche, Archeologiche, Antropologiche dell'Antichità Università degli Studi di Roma "La Sapienza", del Ministero per gli Affari Esteri e del Consiglio Nazionale delle Ricerche.

© Copyright 1998 by Visceglia di Laura Ottaviani.
Via Francesco Dall'Ongaro 59, 00152 Roma, tel./fax 06-5816427.

I diritti di traduzione, di memorizzazione elettronica, di riproduzione e di adattamento totale o parziale con qualsiasi mezzo (compresi i microfilm e le copie fotostatiche) sono riservati per tutti i paesi.

Disegno sul secondo frontespizio: Arslantepe, focolare dell'ambiente A58. Disegno realizzato da Tiziana D'Este.

Revisione del testo originale in lingua tedesca: Roland Gläser

Revisione finale delle tavole grafiche: Tiziana D'Este

Realizzazione e revisione della documentazione planimetrica e stratigrafica: Corrado Alvaro e Davide Pellandra.

Foto e stampe b/n: Roberto Ceccacci

Tutto il materiale grafico e fotografico originale proviene dall'archivio della Missione Archeologica Italiana nell'Anatolia Orientale - Università di Roma "La Sapienza"

Di Nocera Gian Maria

Die Siedlung der Mittelbronzezeit von Arslantepe. Eine Zentralsiedlung von Beginn des zweiten Jahrtausends v.Chr. in der Ebene von Malatya (Türkei), Arslantepe. Risultati delle ricerche e scavi della Missione Archeologica Italiana nell'Anatolia Orientale, a cura di Marcella Frangipane, volume VIII.

Volume composto da 250 pagine, 65 illustrazioni nel testo, 37 tavole, un allegato grafico pieghevole fuori testo.

Finito di stampare in Italia nel mese di maggio del 1998 presso Graphein s.r.l. Centro stampa, via della Magliana 1102, 00050 Roma, per conto di Visceglia - Roma.

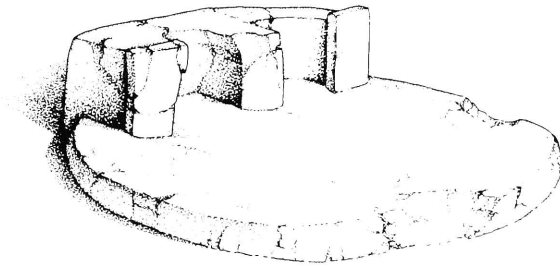
ISBN 88-87320-00-4

Università degli Studi di Roma "La Sapienza"

Gian Maria Di Nocera

DIE SIEDLUNG DER MITTELBRONZEZEIT VON ARSLANTEPE

Eine Zentralsiedlung von Beginn des zweiten Jahrtausends v.Chr.
in der Ebene von Malatya (Türkei)



Visceglia
1998

Gian Maria Di Nocera

DIE SIEDLUNG DER MITTELBRONZEZEIT VON ARSLANTEPE

INHALT

INHALT	I
VERZEICHNIS DER TEXTABBILDUNGEN	III
PREFAZIONE (di MARCELLA FRANGIPANE)	V
PREFACE (by MARCELLA FRANGIPANE)	IX
GELEITWORT (von HARALD HAUPTMANN)	XIII
VORWORT DES AUTORS	1
EINLEITUNG	3
1. DIE UMWELT	
1.1. Topographie, Geologie und hydrographisches System	5
1.2. Anmerkungen zu den Rohstoffen der Region	10
2. ARSLANTEPE: FÜNFUNDREISSIG JAHRE AUSGRABUNGEN DER ARCHÄOLOGISCHEN MISSION ITALIENS IN OSTATANOLIEN	
2.1. Die Ausgrabungen der Archäologischen Mission Frankreichs in den dreißiger und fünfziger Jahren: Louis Delaporte und Claude Schaeffer	11
2.2. Die Archäologische Mission Italiens in Ostanatolien: die Ausgrabungen von Piero Meriggi, Salvatore Maria Puglisi und Alba Palmieri	12
3. DAS PERIODISIERUNGSSYSTEM VON ARSLANTEPE	
3.1. Generelle Aspekte der Periodisierung	15
<i>Das Spätchalkolithikum, Periode VII</i>	15
<i>Die Frühbronzezeit IA, Periode VIA</i>	16
<i>Die Frühbronzezeit IB, Periode VIB</i>	16
<i>Die Frühbronzezeit II, Periode VIC</i>	17
<i>Die Frühbronzezeit III, Periode VID</i>	18
<i>Die Mittelbronzezeit, Periode VA</i>	18
<i>Die Spätbronzezeit I, Periode VB, althethitische Zeit (ca.1650-1500 v. Chr.)</i>	19
<i>Die Spätbronzezeit II, Periode IV, Zeit des hethitischen Großreichs (1400-1200 v. Chr.)</i>	19
<i>Eisenzeit, Perioden III und II, späthethitische Zeit (1100-700 v. Chr.)</i>	20
<i>Der spätromische Horizont, Periode I</i>	21
<i>Spuren einer islamischen Siedlung</i>	22
3.2. Die ersten archäologischen Zeugnisse der Periode V	22
4. STRATIGRAPHIE UND ARCHITEKTUR	
4. 1. Eine Darstellungsmethode der mittelbronzezeitlichen Sequenz: das stratigraphische Diagramm	25
4. 2. Die Stratigraphie und die Grabungskontexte	28
4. 3. Der Raum A58 (Phase VA2)	30
4. 4. Der Raum A456 und seine Außenbereiche (Phase VA2)	38
4. 5. Die Räume A451, A452 und die Strukturen E46 und E47 (Phase VA2)	41
4. 6. Der Raum A453 und die Mauern M62, M67 (Phase VA2)	43
4. 7. Die Gruben der Phase VA2	44
4. 8. Die Räume A455, A476 und A478 (Phase VA1)	48
4. 9. Der <i>Locus</i> Lc1 und die Struktur E50 (Phase VA1)	49
4.10. Die Fußböden in E8(11) (Phase VA1)	49
4.11. Die Fußböden der Räume A505 und A507 in E8(6) (Phase VA1)	54
4.12. Die Gruben der Phase VA1	54
4.13. Schlußfolgerungen	63
5. BEOBACHTUNGEN ZUR ARCHITEKTUR IN DER REGION VON MALATYA-ELAZIĞ AM BEGINN DES ZWEITEN JAHRTAUSENDS V. CHR.	
5.1. Die Bauten der Mittelbronzezeit in den Provinzen Malatya und Elazığ	67
5.2. Schlußfolgerungen	72

6. DIE KERAMIK DER MITTELBRONZEZEIT VON ARSLANTEPE	
6.1. Definition der keramischen Waren	75
6.2. Die Typologie: Methode und Definition	84
6.3. Die typologische Klassifikation der keramischen Formen	86
6.4. Typologie und keramischen Waren	94
6.5. Die Verzierungen: Technik und Typologie.	96
7. DIE KERAMIK IM GEBIET VON MALATYA UND ELAZIĞ: DIE FORSCHUNGSGESCHICHTE	105
8. VERGLEICHSFUNDE	
8.1. Vergleichselemente in der Gegend von Malatya-Elaziğ	111
8.2. Überregionale Vergleichselemente	118
8.3. Vergleich einzelner Fragmente	120
8.4. Schlußfolgerungen	121
9. CHRONOLOGIE	
9.1. Die relative Chronologie	123
9.2. Die absolute Chronologie und der Beitrag der Radiokarbondaten	125
10. SIEDLUNGSRCHÄOLOGIE IM MALATYA-ELAZIĞ-GEBIET: BEMERKUNGEN ÜBER DAS SIEDLUNGSMUSTER ZU BEGINN DES 2. JAHRTAUSENDS V. CHR.	
10.1. Siedlungen der Mittelbronzezeit in Malatya und Elaziğ	131
10.2. Fundortverzeichnis	133
10.3. Verbreitung und Typologie der Siedlungen	142
10.4. Hypothese über die Bevölkerungsdichte	145
11. HISTORISCH-ARCHÄOLOGISCHE ASPEKTE ZUM BEGINN DES ZWEITEN JAHRTAUSENDS V. CHR.: ABSCHLIEBENDE BEMERKUNGEN	149
RIASSUNTO	155
ABSTRACT	159
LITERATURVERZEICHNIS	163
ANHANG 1. KATALOG DER KERAMIK	171
ANHANG 2. KATALOG DER KERAMIK: ZAHLENWERTE	181
TAFELN	191

VERZEICHNIS DER TEXTABBILDUNGEN

Abb. 1.1 - Planimetrie des Hügel von Arslantepe und die Grabungsflächen mit Resten der Mittelbronzezeit	6
Abb. 1.2 - Luftaufnahme des Hügels von Arslantepe	8
Abb. 1.3 - Geologische Formationen, die in der Nähe des Arslantepe anstehen (Palmieri A. M. 1978: 354, Abb. 1)	8
Abb. 1.4 - Hydrogeologisches und geomorphologisches Schema der Ebene von Malatya (Marcolongo, Palmieri 1983: Abb. 4)	9
Abb. 1.5 - Landschaft um Arslantepe, Ansicht nach Norden	9
Abb. 4.1 - Diagramm der Stratigraphie der Mittelbronzezeit	27
Abb. 4.2 - Schema des Grabungsareals anhand der Kampagnen in der Jahre 1987-88	28
Abb. 4.3 - Plan des Raumes A58 mit dem Material <i>in situ</i>	31
Abb. 4.4 - Aufnahme des Raumes A58. Ansicht von Südosten	32
Abb. 4.5 - Liste der Funde des Raumes A58	33
Abb. 4.6 - Keramik und andere Funde des Raumes A58	34
Abb. 4.7 - Profile des Raumes A58. Nordsüdprofil (Ostwand)	35
Abb. 4.8 - a: Innenwand der Mauer M1 des Raumes A58, nach der Abfuhr des Verputztes; b: Außenwand der Mauer M2 des Raumes A58	36
Abb. 4.9 - Der Herd Fc1 des Raumes A58, Spätphase. Aufsicht und Profile	37
Abb. 4.10 - Der Herd Fc1 des Raumes A58	38
Abb. 4.11 - Detail des Herdes Fc1 von A58 und des Skeletts einer Frau	39
Abb. 4.12 - Plan von A58 mit einem Unterteilungsschema des Innenraumes	41
Abb. 4.13 - Aufnahme des Raumes A456. Ansicht von Nordosten	42
Abb. 4.14 - Plan der Räume A456, A457, A501	43
Abb. 4.15 - Profil der Räume A456, A457	44
Abb. 4.16 - Die Herde von A58 (rechts) und von A456 (links). Stratigraphische Überlappung der beiden Strukturen; sie liegen nicht direkt übereinander	49
Abb. 4.17 - Planimetrie der Mauern M62 und M67	51
Abb. 4.18 - Planimetrie der Räume A480, A476, A478	53
Abb. 4.19 - Westostprofil des Quadrats E8(11), Nordwand	54
Abb. 4.20 - Nordsüdprofil des Quadrats E8(11), Ostwand	57
Abb. 4.21 - Aufnahme des Raumes A480, Ansicht von Norden	62
Abb. 4.22 - Planimetrie der Räume A481, A482, A479	63
Abb. 4.23 - Planimetrie der Räume A483, A485	64
Abb. 5.1 Rechteckige Häuser der Mittelbronzezeit von Tepecik (Esin 1972: Tafel 119)	70
Abb. 5.2 - Befestigungsanlage der Phase H von Korucutepe (Van Loon (Hrsg.) 1980: Tafel 39)	71
Abb. 6.1 Prozentanteile der keramischen Waren in den mittelbronzezeitlichen Schichten (bei insgesamt 1515 Scherben)	80
Abb. 6.2 - Quantitatives Verhältnis zwischen den Altfunden und der Keramik der Mittelbronzezeit bezogen auf die gesamte Grabungsfläche der Kampagnen von 1987-88 (bei insgesamt 8937 Scherben)	81
Abb. 6.3 - Quantitatives Verhältnis zwischen der Anzahl der mittelbronzezeitlichen Scherben und den Altfunden in den verschiedenen Schichten des Quadrats E8(6)(bei insgesamt 2198 Scherben)	82
Abb. 6.4 - Quantitatives Verhältnis zwischen dem Gewicht in g der mittelbronzezeitlichen Scherben und den Altfunden in den verschiedenen Schichten des Quadrats E8(6) (Gesamtgewicht g 45519)	83
Abb. 6.5 - Verteilung der keramischen Waren der Mittelbronzezeit, die in den Straten des Quadrats E8(6) auftreten (bei insgesamt 226 Scherben)	83
Abb. 6.6 - Keramische Waren der Phase VA1 (bei insgesamt 771 Scherben)	84
Abb. 6.7 - Keramische Waren der Phase VA2 (bei insgesamt 744 Scherben)	85

Verzeichnis der Textabbildungen

Abb. 6.8 - Typologie der Formen. Schüssel und Tassen	88
Abb. 6.9 - Typologie der Formen. Töpfe	89
Abb. 6.10 - Typologie der Formen. Töpfe, Becken und situlenförmige Gefäße	90
Abb. 6.11 - Typologie der Formen. <i>Piñhoi</i> , Deckel und Böden	91
Abb. 6.12 - Mit dem Ähnlichkeitskoeffizienten "J" ausgeführtes Dendrogramm zwischen den keramischen Waren und den formalen Typen	96
Abb. 6.13 - Formalen Typen, die ausschließlich besonderen keramischen Waren angehören	99
Abb. 6.14 - Darstellungsschema der gemalten Verzierungen	101
Abb. 6.15 - Darstellungsschema der gemalten Verzierungen	102
Abb. 6.16 - Darstellungsschema der gemalten Verzierungen	103
Abb. 7.1 - Gegenüberstellung der Warendefinitionen verschiedener Autoren	110
Abb. 8.1 - Tepecik. Mittelbronzezeitliche Keramik (Esin 1972: Tafel 103)	113
Abb. 8.2 - Norşun Tepe. Mittelbronzezeitliche Keramik (<i>a</i> : h cm 38,7; <i>b</i> : h cm 19,6; Hauptmann 1974: Tafel 75, 3-4; Nr. 1-5; Di Nocera 1993b: 302, Abb. 7)	115
Abb. 8.3 - Norşun Tepe. Mittelbronzezeitliche Keramik (Di Nocera 1993b: 303, Abb. 8)	116
Abb. 8.4 - Norşun Tepe. Mittelbronzezeitliche Keramik (Di Nocera 1993b: 304, Abb.9)	117
Abb. 9.1 - Korrelierungstabelle. Die Keramiktypen und die stratigraphische Sequenz	125
Abb. 9.2 - Vertretende Typen der einzelnen chronologischen Phasen	126
Abb. 9.3 - Auflistung der ¹⁴ C-Daten der Mittelbronzezeit von Arslantepe	127
Abb. 9.4 - Kalibrationsschema der Radiokarbonaten der Mittelbronzezeit, Periode VA (nach 1 und 2σ) ..	127
Abb. 9.5 - Kalibration der Radiokarbonaten der Periode VID (Frühbronzezeit III), VA (Mittelbronzezeit) und VB (Spätbronzezeit I) von Arslantepe (nach 1σ)	128
Abb. 10.1 - Übersichtskarte der Siedlungen der ersten Hälfte des zweiten Jahrtausends in der Region Malatya-Elazığ	132
Abb. 10.2 - Anzahl der Fundorte der Frühbronzezeit III und der Mittelbronzezeit im Gebiet Malatya und Elazığ	143
Abb. 10.3 - Ausdehnung der Siedlungen der Mittelbronzezeit im Malatya-Elazığ-Gebiet	143
Abb. 10.4 - Ausdehnung der Siedlungen der Mittelbronzezeit im Gebiet Malatya und Elazığ	144
Abb. 10.5 - Minimaler und maximaler Schätzwert der Bevölkerung im Gebiet von Malatya und Elazığ in der Frühbronzezeit III und in der Mittelbronzezeit, unter der Annahme von 100-200 Personen je Hektar	146
Abb. 10.6 - Minimaler und maximaler Schätzwert der Bevölkerung während der Mittelbronzezeit im Gebiet Malatya und Elazığ	146
Abb. 11.1 - Schema des altassyrischen Handelssystem (nach Larsen 1987)	150
Abb. 11.2 - Altassyrische und altbabylonische Handelswege (nach Liverani 1988: 359, Abb. 67)	151
Abb. 11.3 - Die altassyrische Zeit in Anatolien (nach Liverani 1988: 369, Abb. 68)	152

PREFAZIONE

Con questo volume di Gian Maria Di Nocera la Missione Archeologica ad Arslantepe-Malatya dà il via ad una serie di monografie sui risultati degli scavi condotti nell'area sud-ovest e ovest del tell dal 1973 ad oggi. I volumi, che, ci auguriamo, appariranno in maniera continuativa nei prossimi anni, sono pianificati ciascuno come pubblicazione completa dei livelli architettonici e dei complessi di materiali riferibili ad un periodo della sequenza di Arslantepe. La loro numerazione, se non la loro effettiva apparizione, seguirà l'ordine cronologico delle fasi trattate. Così, oltre ad un volume I, in cui saranno presentati i dati generali di ambientazione geomorfologica, di stratigrafia del tell, di ricostruzione della sequenza storica e di cronologia generale, gli altri volumi previsti, numerati da II a III e da V a VII, riguarderanno i periodi riconosciuti nella sequenza del IV e III millennio di Arslantepe (periodi VII, VIA, B, C e D), mentre i volumi IV e IX saranno dedicati a particolari tematiche, rispettivamente alla presentazione integrale dei complessi di cretule del periodo VIA e ai risultati delle analisi archeometriche.

La scelta di presentare l'enorme mole di informazioni fin qui ottenute per complessi che sono oltre che architettonicamente e stratigraficamente omogenei, anche storicamente significativi, corrisponde alle modalità di assegnazione del lavoro di analisi agli studiosi che hanno collaborato e stanno collaborando a questa impresa e riflette la filosofia e il metodo scientifico cui si è ispirata sin dall'inizio la ricerca ad Arslantepe. Questa filosofia è basata sull'idea semplice e fondamentale che l'indagine archeologica è ricostruzione dei processi storici del passato attraverso la ricomposizione del linguaggio dei segni rappresentati dai frammenti residui della vita materiale delle popolazioni scomparse. Anzi la stessa frammentarietà e limitazione delle fonti, che non permette di cogliere dettagli né concatenazioni specifiche di eventi, proiettandoci al di là di questa barriera per noi inconoscibile di fatti e vicende della storia consapevole degli uomini, paradossalmente ci introduce agli aspetti profondi del vivere sociale consentendo una lettura delle realtà globali che costituiscono l'essenza dei processi storici stessi. In questa prospettiva la scissione dei complessi di "segni" in classi di materiali da studiare separatamente, pur potendo in alcuni casi risultare comoda, appariva incongrua con l'obiettivo da raggiungere.

Questo approccio storico-antropologico ha ispirato tutta l'attività di Salvatore Puglisi ed ha avuto proprio nel progetto Malatya, che rappresenta la più duratura e prestigiosa delle sue imprese, la sua massima espressione. Un ulteriore impulso in tal senso e un affinamento dei metodi d'indagine dovevano venire poi dalla direzione di Alba Palmieri che, nel corso di molti anni, degli scavi di Arslantepe è stata la principale artefice e stratega. E' a lei che si devono l'impostazione generale della ricerca sul campo e le scelte di base ed è in gran parte anche sul suo lavoro che si basano gli studi che in questa progettata serie di monografie saranno presentati. Oggi gli straordinari risultati ottenuti e l'enorme accumulo di conoscenze ci permettono di definire con relativa chiarezza le tappe principali degli sviluppi storici avutisi nel sito, mentre si ottengono al tempo stesso ad ogni campagna di scavo novità importanti che aprono nuove prospettive e nuovi quesiti. E' divenuto pertanto urgente presentare i risultati completi delle ricerche fin qui condotte, anche se essi non costituiscono certo un punto d'arrivo finale e definitivo. L'assenza di Alba Palmieri nella realizzazione di quest'opera, che in larga misura raccoglie anche i frutti del suo prezioso lavoro e

che era al centro dei suoi progetti, oltre ad essere dolorosa, ci priva probabilmente di qualcosa di speciale che le sue idee e la sua esperienza avrebbero potuto aggiungere. Tuttavia la cosa più importante che lei ci ha insegnato è a fare questo lavoro in modo, oltre che rigoroso, creativo; così, mi auguro, che "qualcosa di speciale" comunque ci sarà e che la nostra originalità possa essere la miglior forma di continuità con il suo insegnamento.

Il volume che qui presentiamo è basato su un lavoro di dottorato condotto presso l'Università di Heidelberg sotto la guida del prof. Harald Hauptmann ed elabora i dati relativi ai contesti stratigrafici del Bronzo Medio (periodo VA) fino ad oggi individuati ad Arslantepe. Il rigore e l'accuratezza con cui G.M. Di Nocera ha interrogato l'informazione frammentaria disponibile per questo periodo gli ha consentito una ricostruzione ben documentata e di un certo respiro su questa fase cruciale che precede l'avvento dell'influenza e poi della conquista hittita di Malatya durante l'Antico Regno e l'epoca imperiale. Dal momento che l'occupazione degli inizi del II millennio nell'area nord-est del tell non era stata praticamente raggiunta e nell'area sud-ovest chiudeva la lunga serie di livelli del Calcolitico e dell'Antica Età del Bronzo situandosi sulla sommità della collina, i resti architettonici di questo periodo, dove sono stati individuati, sono i più danneggiati dall'erosione e dalle opere di terrazzamento effettuate in epoca tardo romana; di conseguenza si disponeva, a differenza degli altri periodi documentati nel sito, anche di scarsissimi materiali *in situ*. La necessità di recuperare ogni informazione possibile e al tempo stesso la minore mole di documentazione architettonica e di complessi di materiali omogenei ha consigliato e reso possibile l'adozione di una metodologia di analisi diversa da quella che verrà applicata allo studio degli altri periodi, fondata sull'uso integrale di tutti gli elementi stratigrafici disponibili, compresi i numerosissimi pozzetti che hanno, soprattutto in un momento della vita dell'abitato del Bronzo Medio, occupato fittamente la sommità dell'area sud-occidentale del tell, in gran parte distruggendo i sottostanti livelli della prima fase del periodo.

E' stato così possibile riconoscere due principali momenti di sviluppo nella cultura materiale del periodo VA in un arco di tempo che va dagli ultimi anni del III millennio al 1700 a.C. circa, distinzione particolarmente interessante in quanto è proprio nel passaggio dall'uno all'altro di questi due momenti che si realizza in pieno l'abbandono delle tradizioni di produzione ceramica dell'Antica Età del Bronzo e l'adozione di nuove forme e tecnologie che rivelano un nuovo ampliamento delle relazioni, pur non particolarmente intense, con l'area a sud del Tauro e una maggiore partecipazione dell'area di Malatya, rispetto alla chiusura del Bronzo Antico II e III, nelle dinamiche delle regioni siro-anatoliche.

A questi labili ma significativi segnali di cambiamento non corrisponde tuttavia una reale trasformazione della società di Arslantepe nei suoi tratti più strutturali. E ciò è ben evidente nella continuità architettonica delle strutture abitative e di tutti i loro elementi interni e nella organizzazione funzionale dell'abitato, chiaramente riconoscibili nell'unica struttura quasi interamente conservata (A58) e nella destinazione dell'area corrispondente ai quadrati E8(10) ed E8(11) a probabili attività domestiche, non uguali a quelle che vi venivano praticate alla fine del III millennio, ma similmente gestite a livello collettivo. Quest'ultima zona, infatti, che nel Bronzo Medio è occupata da superfici di fango relative ad aree aperte e ripetutamente rifatte (A480-485), anche nei sottostanti livelli del Bronzo Antico III era una superficie libera tra le case, coperta da una tettoia e adibita alla asciugatura ed elaborazione dei cereali.

Lo studio della ceramica del periodo VA, oltre ad aver consentito di riconoscere degli insiemi cronologicamente significativi, rappresenta una delle prime e più complete documentazioni di un complesso di materiali di questa fase nell'Anatolia orientale. La scarsità di materiale *in situ* e la consapevolezza della impurità dei materiali contenuti nei riempimenti ha indotto Di Nocera a non scindere mai la definizione tipologica delle classi di produzione pertinenti dalla considerazione statistica della loro incidenza quantitativa. La combinazione degli elementi tipologici formali e delle

Prefazione

caratteristiche tecniche delle varie produzioni gli consente inoltre di individuare una tendenza alla specializzazione che potrebbe far ipotizzare l'esistenza di settori artigianali distinti, del resto già indicati dalle produzioni dipinte e di ceramica nera del Bronzo Antico III. Qui l'articolazione delle classi è maggiore e forse l'organizzazione della produzione più complicata.

Lo studio si arricchisce di un ampio inquadramento nel contesto regionale che, oltre a proporre una sistemazione delle correlazioni terminologiche che consenta un chiarimento dei rapporti tra le sequenze stratigrafiche e i complessi culturali dei vari siti, ricostruisce le caratteristiche salienti della cultura del Bronzo Medio nell'area di Malatya-Elazığ. Viene individuata in tutta la regione la forte componente locale tradizionale e al tempo stesso l'affacciarsi di una nuova leggerissima tendenza all'apertura verso il mondo esterno, di cui non vedremo gli esiti per l'impatto subito dopo avuto dall'espansione hittita verso l'Eufrate.

L'interesse di questo lavoro e l'importanza che esso assume nella ricostruzione della storia della regione dell'Alto Eufrate, già di per sé chiari, riceveranno ancora maggiore evidenza quando l'uscita, che auspichiamo a breve termine, degli altri volumi della serie di Arslantepe collocherà i fenomeni qui studiati all'apice di una sequenza di avvenimenti e processi di ampia portata che comporranno il complesso mosaico di cui questo volume è solo un tassello.

MARCELLA FRANGIPANE
Editor

PREFACE

The Archaeological Mission at Arslantepe-Malatya is publishing this work by Gian Maria Di Nocera as the first volume in a series of monographs on the results of the excavations carried out in the tell since 1973. The books, which will come out at intervals over the next few years, are planned each as a comprehensive and complete account of the architectural levels and the complexes of materials belonging to one particular period in the Arslantepe sequence. The numbering of the volumes, which will not necessarily be their order of publication, will follow the chronological order of the archaeological phases. Besides volume I, which provides the general data on the geomorphological background, the stratigraphy of the mound, the historical sequence and its chronology, the following volumes, II–III and V to VII, will deal therefore with the periods recognised in the sequence of the 4th and 3rd millennium at Arslantepe (respectively periods VII, VIA, B, C and D). Only volumes IV and IX will be devoted to specific topics: a complete presentation and catalogue of all the complexes of clay sealings from period VIA, and the results of the archaeometric analyses, respectively.

The decision to present the vast amount of information collected in terms of architecturally and stratigraphically homogeneous as well as historically significant complexes, reflects the way the study has been entrusted to the scholars cooperating in this venture, as well as the theoretical trend and the scientific method which have inspired, from the beginning, the research at Arslantepe. This trend is based on the simple and fundamental idea that archaeological investigation involves reconstructing the historical processes of the past by re-composing the language of the signs represented by the residual fragments of the material life of populations which have since disappeared. Oddly enough it is the very fragmentary nature of what little archaeological source data exists, the same which does not allow us to know the specific events and details of their history, and the absence of written sources through which ancient populations interpret themselves, which enables us to catch the deepest structural aspects of their social life very often obscured by those details and events. In this perspective, the division of the complexes of “signs” into classes of materials to be studied separately, even though in some cases it may be easier, would have been inconsistent with the purposes we had in mind.

This historical-anthropological approach has underlain all the research conducted by Salvatore Puglisi, epitomised in the Malatya project, the most lasting and prestigious of all his undertakings. A further impetus was given in the same direction, and a refining of the investigative methods was reached under the direction of Alba Palmieri, for so many years the main responsible and strategist for the Arslantepe excavations. It is to her that we owe the general approach to the field research and the basic decisions that have been taken, and it is also largely on her work that the studies planned for this series of monographs are based. Today, drawing on the extraordinary results obtained and the vast amount of knowledge that has been accumulated, we can define quite clearly the main stages in the historical developments that occurred on the site, and every campaign is at the same time bringing to light important novelties that are opening up new prospects and raising new questions. This has made it urgently necessary to set out the comprehensive results of the research so far, even though these are by no means intended to be the last word on the subject.

In addition to the sense of sadness that the late Alba Palmieri could not be involved in the production of this series, which draws very broadly on the results of her invaluable work and was one of the major projects she had in mind, we have probably been deprived of something special that her ideas and her personal experience would have been able to add. However, the most important thing she taught us was to do this work not only rigorously but creatively. It is my hope that “something special” will at all events be found here, and that our originality will turn out to be the best way of ensuring continuity to her teaching.

This present volume is based on a PhD thesis written and researched at Heidelberg University under Professor Harald Hauptmann, and processes the data on the stratigraphic contexts of the Middle Bronze Age (period VA) that have been identified so far at Arslantepe. The rigour and precision with which G.M. Di Nocera has questioned the fragmentary information available on this period have resulted in a well-documented and fairly broad reconstruction of this crucial phase which preceded the influence, and subsequently the conquest, of the Hittites over Malatya during the Old Kingdom and the imperial age. Since the early second millennium occupation had practically not yet been reached in the northeastern area of the tell, and in the southwestern area, where it closed the long series of Chalcolithic and Early Bronze Age levels, was located on the top of the mound, the architectural remains from this period - where they have been identified at all - are the most seriously damaged by erosion and by the terracing carried out in the Late Roman Age. Consequently, very few *in situ* materials have been brought to light, unlike the situation in respect of the other documented periods at the site. Due to the need to retrieve as much information as possible, and the less amount of architectural documentation and complexes of homogeneous materials available, it was possible and considered advisable under the circumstances to adopt a different method of analysis from the one used to study other periods, based on the total use of all available stratigraphic elements including the enormous number of pits covering the top of the southwestern part of the tell, particularly in one moment in the history of the Middle Bronze Age settlement, largely destroying the underlying levels of the first phase of the period.

This has made it possible to identify two main periods of development in the material culture of period VA over a timescale running from the last years of the third millennium to around 1700 B.C. This is a particularly interesting distinction because it was precisely in the passage between these two periods that the traditions of the Early Bronze Age pottery production were abandoned and new shapes and technologies were adopted, revealing a new, even though not very significant, broadening of relations with the area south of the Taurus, and closer involvement of the Malatya area in events in the Syro-Anatolian regions, in contrast to its isolation in Early Bronze II and III.

However, despite these few, albeit important signs of change, there was no real transformation of Arslantepe society in terms of its more structural features. And this emerges quite evidently in the architectural continuity of the dwellings and all their internal elements, and also in the functional organisation of the settlement, which are clearly recognisable in the only structure that has been preserved almost in its entirety (A58) and in the use of the area corresponding to squares E8(10) and E8(11) for what were probably domestic activities, which differed from those performed at the end of the third millennium, but like them they were managed at the community level. This latter zone, which in the Middle Bronze Age was probably in the open and covered by mud floors, repeatedly re-surfaced (A480-485), was also an open space between the houses in the underlying Early Bronze III levels, protected by roofing and used for drying and processing cereals.

The study of the period VA pottery has not only made it possible to identify chronologically significant sets, but also constitutes one of the first and most complete records of documentation of a complex of materials from this phase in Eastern Anatolia.

Di Nocera constantly combined the typological definition of the manufacture classes with the statistical consideration of their quantitative occurrence, conscious that, because of the lack of *in situ* material and the prevailing location of the materials in the filling layers, these occurrences do

Preface

not correspond to the original composition of the repertoire. By combining the formal typological elements and the technical features of the various productions he was also able to identify a trend towards specialisation which might indicate the existence of different artisanal sectors, which is already suggested by the separated production of the black pottery and painted items in the Early Bronze III. Here the separation between the classes is more distinct, and perhaps the organisation of production was more complicated.

The study also offers a very thorough account of the regional context, and not only proposes a system of terminological correlations to clarify the relationships between the stratigraphic sequences and the cultural complexes in the various sites, but also reconstructs the salient features of Middle Bronze culture in the Malatya-Elazığ area. Throughout the region, the author identifies the strong traditional local component and at the same time the emergence of a new and slight tendency to open out to the outer world, whose effects we shall never know, because of the impact that occurred immediately afterwards as a result of the Hittite expansion towards the Euphrates.

The interest of this work and its importance for a reconstruction of the history of the Upper Euphrates region, as is already clear to the reader, will become even more evident when the other volumes in the series on Arslantepe, which we hope to publish fairly soon, set all the phenomena examined in this book at the peak of a sequence of events and far-reaching processes that will build up the complex mosaic of which this volume is only one small fragment.

MARCELLA FRANGIPANE
Editor

GELEITWORT

Die Kenntnis des bronzezeitlichen Altanatolien beruht im wesentlichen auf Grabungsergebnissen in einigen zentralen Siedlungsstätten wie Troia im nordostägäischen Raum, Beycesultan und Demircihöyük im Westen, Alişar und Kültepe im zentralen Hochland oder Tarsus in Kilikien. Diese mächtigen Tellstratigraphien haben Kulturabfolge ergeben, die zunächst nur für ihre engere Region repräsentativ sind, aber durch sehr weiträumige Verknüpfung ein noch immer nicht ganz gesichertes Gerüst der anatolischen Chronologie des 3. und 2. Jahrtausends v. Chr. geschaffen haben. Zu diesen für die Beurteilung der Kulturentwicklung entscheidenden Orten ist als weiterer Bezugspunkt der Arslantepe zu rechnen, der in der Euphratebene von Malatya, an der östlichen Grenze Zentralanatoliens und im Schnittpunkt wichtiger Verkehrswege gelegen, auch über kulturelle Verbindungen nach Ostanatolien bis Transkaukasien und über den Taurus nach Obermesopotamien verfügt. Die auf dem großen "Löwenhügel" 1961 von der Universität "La Sapienza" in Rom begonnenen Ausgrabungen knüpften an eine ältere französische Unternehmung an, die unter der Leitung von L. Delaporte und C.F.A. Schaeffer vor allem der Wiedergewinnung der aus den Boğazköy-Texten bekannten spätbronzezeitlichen Stadt Mal(i)dija bzw. des späthethitischen Fürstentums Melid gegolten hatte, das im assyrischen Mi-li-di-a und in urartäischen Quellen Me-li-tè(i)a genannt wird. Die wichtigen von Schaeffer in frühbronzezeitlichen und chalkolithischen Schichten unternommenen Sondierungen sind leider unveröffentlicht geblieben. Dank der 36 Jahre währenden, unter der Leitung von S. M. Puglisi wiederaufgenommenen, seit 1983 von A. Palmieri und seit 1990 von M. Frangipane fortgeführten Ausgrabungen, die sich in den letzten beiden Jahrzehnten auf die systematische Untersuchung der mächtigen Schichtfolgen der Bronzezeit und des Chalkolithikums konzentrierten, gehört die Arslantepe-Grabung zu den traditionsreichsten und erfolgreichsten archäologischen Unternehmungen in der Türkei und im Vorderen Orient. Mit vergleichbaren Stratigraphien, die in den östlich des Euphrat gelegenen Siedlungshügeln Korucutepe, Norşuntepe und Tepecik gewonnen wurden, läßt sich die Kulturentwicklung in dieser die Melitene und Altinova umfassenden Großregion am oberen Euphrat gut nachvollziehen. Großflächige Freilegungen haben aber auch einen Einblick in die Struktur der Siedlungen ermöglicht, so daß ihre im Laufe der Bronzezeit sich wandelnde Bedeutung sichtbar wird. Forschungen im weiteren Umland der Großsiedlung Arslantepe haben auch ihre Funktion im Verhältnis zu kleineren Orten und ihre wirtschaftspolitische Rolle bei der Versorgung und Ausbeutung von Rohstoffen wie bei der Kontrolle des wichtigen Euphratübergangs deutlich werden lassen.

In der kulturgeschichtlichen Entwicklung Anatoliens stellt nach dem Ende der Frühbronzezeit III um 2000 v. Chr. die Mittlere Bronzezeit eine entscheidende Epoche dar, in der zum ersten Mal einzelne Landschaften wie Kappadokien aus dem Dunkel des prähistorischen Zeitalters hervortreten. Durch zunehmende Kontakte mit der syro-mesopotamischen Staatenwelt werden politische und wirtschaftliche Veränderungen eingeleitet und damit die Grundlage der Herausbildung einer neuen orientalischen Großmacht, des um 1600 v. Chr. konsolidierten Hittitischen Königreichs, gelegt.

Bis nach Westanatolien reichende Handelskontakte, die über Kilikien von Syrien bzw. Nordmesopotamien ausgehen, lassen sich schon im vorausgegangenen 3. Jahrtausend v. Chr. nachweisen, in dem sich in Kleinasien erste Ansätze urbaner Entwicklungen abzeichnen. Es ist daher kein Zufall, daß sich am Ende der Frühbronzezeit Importe spätfrühdynastischer und akkadischer Zeitstellung wie auch noch der Ur III-Dynastie vor allem in einem repräsentativen Gebäude auf dem Stadthügel von Kültepe bei Kayseri (Schicht 12/11) häufen, in dessen Schutz nach einer Übergangsperiode (Karum IV/III) die durch ihre Archive bezeugte zweiphasige Niederlassung assyrischer Kaufleute entsteht (Karum Kaniš II und Ib). Diese zentrale Handelskolonie ergibt eine Fülle von direkten historischen Verbindungen zum Ausgangspunkt des Handelssystems Aššur, aber auch zu Mari und anderen in dieses Netz eingebundenen Städten sowie Zwischenstationen entlang der Karawanenrouten in Nordsyrien und in Zentralanatolien.

Durch dieselbe für die Mittelbronzezeit charakteristische Keramik, so die bemalte kappadokische Ware von Karum Kaniš IV/III und die scheibengedrehte tiefrotengobierten Gefäße der eigentlichen Karumzeit (Karum II/Ib), lassen sich eine Reihe von Orten in Kappadokien zusammenschließen, unter denen Alişar aufgrund der in Schicht 11 T und 10 T gefundenen Tontafeln sowie das Karum Hattuš von Boğazköy selbst sich direkt mit dem Hauptort Kaniš in Beziehung setzen läßt. Mit den übrigen großen Plätzen wie Acemhöyük und Karahöyük, in denen lokale Herrscher residieren, ergibt sich im zentralanatolischen Kernraum eine geschlossene Kulturregion, die dank der dort in großem Umfang unternommenen Ausgrabungen das Bild dieser Epoche entscheidend geprägt hat. Über Yanarlar und Gordion, vor allem aber über Demircihöyük und Beycesultan, läßt sich eine enge Beziehung zur westanatolisch-östägäischen Mittelbronzezeit gewinnen, die in erster Linie durch Troja V/VI, zunehmend jetzt auch durch Panaztepe und Limantepe repräsentieren wird.

Über Kilikien, wo Tarsus eine Einteilung der Mittelbronzezeit in 4 Stufen nahelegte, läßt sich dank der Schichtensequenz von Alalah XVII-VII eine Verbindung zum syrischen Kulturraum herstellen, in dem nach dem Ende der Ur III-Zeit sich neue politische Strukturen mit verschiedenen lokalen Dynastien wie Halab, Yamhad, Uršum oder Karkamiš herausbilden. Für den Zeitraum bis zu der um 1600 mit Hattušili I. einsetzenden hethitischen Expansion nach Nordsyrien bieten die Siedlungsstratigraphien von Lidar Höyük und Kurban Höyük am mittleren Euphrat weitere Möglichkeiten, über Alalah und Tarsus eine Kettendatierung über den Mittleren Taurus nach Inneranatolien zu knüpfen. So lassen sich die 5 mittelbronzezeitlichen Horizonte von Lidar mit Tell Mardih III A-B ebenso gut wie mit Alalah XVII-VII korrelieren, wobei am Ende der Mittelbronzezeit die Kontakte zwischen dem türkischen Mitteleuphratgebiet und Westsyrien stärker sind.

Für die zwischen Taurus und Antitaurus am oberen Euphrat liegenden Regionen war angenommen worden, daß ein Seitenweg der altassyrischen von Aššur nach Kappadokien führende Karawanenrouten auch die Altnova oder Melitene berührt hat. Da sich in der Spätbronzezeit hier das im Grenzbereich zwischen Hatti und Mitanni seit dem 15. Jh. v. Chr. bezeugte Königtum Išuwa und westlich des Euphrat das von Mal(i)dija herausgebildet hatte, stellte sich die Frage nach dem Aussehen der vorangegangenen mittelbronzezeitlichen Kultur in dieser Region. Die von G.M. Di Nocera abschließend vorgelegten Ausgrabungsergebnisse der mittelbronzezeitlichen Besiedlung des Arslantepe schaffen zum ersten Mal die bisher fehlende Grundlage, die ersten 3. Jahrhunderte des 2. Jahrtausends v. Chr. am oberen Euphrat aufgrund des archäologischen Quellenmaterials darzustellen. Es ist ihm auch gelungen, die Mittelbronzezeit in beiden benachbarten Ebenen gegenüber der gleichzeitigen Entwicklung in Kappadokien und Obermesopotamien als eigene Kulturprovinz zu definieren. Sie steht im Schatten dieser beiden Großregionen, die durch das zwischen Aššur, aber auch Mari und Ebla mit Karum Kaniš geknüpfte Netz gegenseitiger Handelsbeziehungen auch politisch miteinander verbunden werden. G.M. Di Nocera weist daher dem Gebiet am oberen Euphrat innerhalb einer sich auch in Anatolien in dieser Epoche zunehmend differenzierenden Welt nur eine "marginale Rolle" zu. Den nordtaurischen Ebenen von Malatya und

Elaziğ könnte aber eine andere Bedeutung zukommen, wenn zukünftige Ausgrabungen in Arslantepe Texte ergeben, die den bisher fehlenden historischen Hintergrund für die archäologischen Hinterlassenschaften liefern. In der durch viele Gemeinsamkeiten geprägten Kulturregion am oberen Euphrat hatten sich in der letzten Phase der Frühbronzezeit zwei große regionale Zentren, Arslantepe in der Melitene und Norşuntepe in der Altinova herausgebildet, in denen sich der Reichtum einer prä-urbanen Gesellschaft repräsentiert. In beiden Orten spiegelt sich eine auch in anderen Landschaften Anatoliens sichtbare Entwicklung zu hierarchisch gegliederten Siedlungssystemen wieder, die einen Grundstein zur Entstehung städtischer und staatlicher Organisationen im 2. Jahrtausend gelegt haben. Die Großen Zentren gehen, wie das Beispiel der palatialen Anlage von Norşuntepe VI zeigt, in einer Brandkatastrophe unter, die um 2000 v. Chr. die frühbronzezeitliche Kultur beendet. Die danach folgenden zwei mittelbronzezeitlichen Besiedlungsphasen des Arslantepe VA und Norşuntepe V haben bisher zu wenige Hausreste erbracht, um im Vergleich zu den aufwendig geplanten Anlage der späten Frühbronzezeit ein entsprechendes Bild mittelbronzezeitlicher Architektur zu zeichnen. Einen Bruch in der Siedlungsentwicklung um die Jahrtausendwende deutet ebenfalls die Einführung veränderter Keramiktechnologien zu Beginn der Mittelbronzezeit an, obwohl in der Gefäßmalerei auch frühbronzezeitliche Traditionen weiterleben. Die Errichtung befestigter Siedlungen, die wie in Korucutepe G oder erst H von einer mit Bastionen bewehrten Kastenmauer umgeben ist, zeugen von einer "Periode der Unsicherheit", die nach einer angenommenen Zuwanderung fremder Bevölkerungsgruppen der Phase politischer Konsolidierung in dieser Region vorausging. Während der Arslantepe nach unserem Wissen weiterhin die "Zentralsiedlung" der Melitene bleibt, verlagert sich in der Altinova mit Beginn des 2. Jahrtausends die ursprüngliche Vorherrschaft vom Norşuntepe auf den benachbarten Korucutepe.

G.M. Di Nocera hat aufgrund der subtilen Darstellung des Baubefunds und der Keramikentwicklung einer großen Siedlungsperiode des Arslantepe ein wichtiges Quellenwerk für die Archäologie Altanatoliens vorgelegt, das eine Anregung bieten wird, die Kenntnis der noch immer unzureichend bekannten Epoche nach dem Ende der Frühbronzezeit bis zur Gründung des Althethitischen Reichs zu vertiefen. Mit dieser Veröffentlichung wird aber zugleich ein erster Schritt zur Vollendung des großen Lebenswerkes von Alba Palmieri unternommen, das zu beenden ihr versagt geblieben ist.

HARALD HAUPTMANN
Deutsches Archäologisches Institut
Abteilung Istanbul

VORWORT DES AUTORS

Die vorliegende Arbeit wurde als Dissertation an der Ruprecht-Karls-Universität Heidelberg im Fachbereich Orientalistik und Altertumswissenschaft im Januar 1996 (Abschlußprüfung 26.4.1996) eingereicht.

Hiermit möchte ich Frau Prof. Alba Palmieri meinen ganz besonderen Dank aussprechen. Ich hatte das Glück und genoss das Privileg, bei ihr an der Universität "La Sapienza" in Rom zu studieren. Durch ihre Augen und ihre Worte lernte ich Arslantepe kennen, eine Ausgrabung, der Alba einen großen Teil ihres Lebens gewidmet hat. Durch sie lernte ich eine Welt kennen und lieben, die mir fast vollkommen unbekannt war, den Nahen Osten. Ihr früher Tod hinterließ eine große Leere und Bedauern darüber, nur für kurze Zeit von ihrem Enthusiasmus und ihrem entgegenkommenden Wesen zehren zu können, die sie bei jeder Gelegenheit an den Tag legte und an andere weitervermittelte. Mit großer Sorge machte ich mich also daran, ein Buch über Arslantepe zu schreiben, ohne darüber mit ihr sprechen zu können und ohne ihre wertvollen Ratschläge.

Herzlichst danke ich auch Prof. Dr. Harald Hauptmann, meinem Doktorvater und Lehrer während meiner Studienzzeit in Heidelberg. Er war immer freundlichst bereit, mir wertvolle Anregungen zukommen zu lassen, die besonders zu meiner wissenschaftlichen Ausbildung beigetragen haben. Insbesondere seine Unterstützung und seine kontinuierlichen Ermutigungen waren für mich ein fester Bezugspunkt. Auch gab er mir die Möglichkeit, die Dokumentation und das Material von Norşun Tepe einzusehen.

Für die Durchsicht des Manuskriptes, zahlreiche Anregungen und Diskussionen möchte ich Dr. Habil. Felix Blocher als Gutachter danken.

Ein besonderer Dank gilt auch Frau Dr. Marcella Frangipane für ihre konkrete Hilfe und Unterstützung bei der Ausarbeitung dieser Studie. Viel verdanke ich den zahlreichen, fruchtbaren Diskussionen, die ich bei mehreren Gelegenheiten mit ihr führen durfte. Ihre kritischen Anmerkungen und ihre nutzbringenden Anregungen waren von grundlegender Bedeutung in der Ausrichtung meiner Forschungsarbeit. Insbesondere hat sie mit großer Geduld das Manuskript gelesen und dabei zahlreiche Verbesserungen angeregt und angebracht.

Mein Dank gilt auch Frau Prof. Ufuk Esin, die mir Gelegenheit gab, das Material über die bedeutende Siedlung von Tepecik einzusehen.

Von einigen Institutionen erhielt ich ebenfalls große Hilfe. Insbesondere danke ich Frau Dr. Ülker Ardiçoğlu, Direktorin des Archäologischen Museums in Elazığ und dem Team der Türkischen Generaldirektion für Antike und Ausgrabungen und des Archäologischen Museums in Malatya.

Allen Kollegen der Archäologischen Mission in Ost-Anatolien und insbesondere den Freunden Carlo Persiani und Anna Maria Conti schulde ich ebenfalls Dank. Mit ihnen teilte ich Freud und Leid der Arbeit im Feld.

Lange und fruchtbare Diskussionen führte ich mit verschiedenen Kollegen am Institut für Ur- und Frühgeschichte an der Universität Heidelberg. Unter allen möchte ich Frau Dr. Gundela Kaschau nennen, die mir Gelegenheit gab, das noch unveröffentlichte Material über die

Mittelbronzezeit von Lidar Höyük einzusehen. Der Vergleich dieser Unterlagen mit denen aus Arslantepe hat zu nützlichem Meinungsaustausch geführt. Aufrichtiger Dank gilt auch dem Kollegen und Freund Dr. Roland Gläser, der mir meinen Aufenthalt in Heidelberg enorm erleichterte. Die Diskussionen mit ihm kannten keine Zeitbeschränkung.

Die Zeichnungen und Pläne der Ausgrabungsstätten sind das Ergebnis der Arbeit zahlreicher Personen, unter denen ich hier Dr. Corrado Alvaro, Prof. Carla Amici, Dr. Davide Pellandra und Frau Tiziana D'Este nennen möchte.

Die Fotografien machten Filiberto Scarpelli und Roberto Ceccacci.

Einen ganz besonders herzlichen Dank richte ich an die Einwohner von Orduzu. Bei ihnen erfuhr ich Gastfreundschaft, Entgegenkommen und eine tiefe Liebe zu ihrem Land, dem türkischen Volk. Diese Erfahrung wird mir unvergesslich in Erinnerung bleiben.

Zuletzt gestatte man mir noch, ein Wort an meine Eltern, Alfonso und Liliana, meinen Bruder Jader und an meine Frau Laura zu richten, vielleicht meine leidenschaftlichsten Bewunderer. Sie haben mir liebevoll und mit Begeisterung geholfen, mich unterstützt (manchmal wohl auch ertragen). Ihnen gilt mein Dank und meine Liebe.

EINLEITUNG

Die Grabung auf dem Hügel von Arslantepe-Malatya ist eines der großen archäologischen Projekte der Universität "La Sapienza" in Rom. Fünfunddreißig Jahre systematischer Ausgrabungen haben die Möglichkeit geboten, eine lange und gegliederte Abfolge von Siedlungen zu erstellen, welche die Grundlage für die Chronologie des IV. und III. Jahrtausends v. Chr. im östlichen Zentralanatolien und im Vorderen Orient bildet. Die genaue stratigraphische Analyse und die Flächengrabung, so wie sie die moderne Archäologie im Feld erfordert, waren die beiden prinzipiellen Methoden der Untersuchung von den ersten Grabungskampagnen an. Die am Arslantepe angewendeten Strategien und die Untersuchungsmethoden waren immer auf eine sorgfältige und präzise Dokumentation der Grabungsergebnisse gerichtet, wobei die zahlreichen, während der laufenden Grabung aufgeworfenen Fragen einer interdisziplinären Arbeitsgruppe anvertraut wurden. Die Ergebnisse der archäologischen, geologischen, hydrogeologischen, sedimentologischen, archäobotanischen, archäozoologischen, metallurgischen und radiometrischen Untersuchungen bildeten für Arslantepe die notwendige und stichhaltige Grundlage für eine genaue historische Rekonstruktion, wobei soweit möglich die beiden Erkenntnisebenen voneinander getrennt und gleichzeitig in ihrer Wechselbeziehung erhalten wurden, nämlich jene der Datengewinnung und die interpretative Ebene, die alle Elemente, die aus den verschiedenen Analysen erzielt wurden, miteinander verbindet. Salvatore Maria Puglisi und Alba Palmieri waren vorrangig für diese Ausrichtung der Forschung verantwortlich. Sie haben es verstanden, den Arslantepe von einer dunklen Baugrube, die in den abgelegenen Regionen der anatolischen Hochebene lokalisiert war, zu einem faszinierenden Laboratorium zu machen, in dem die ältesten Zeugnisse einer komplexen sozialen Organisation mit Methoden erforscht wurden, die der paläoethnologischen Wissenschaft eigen sind.

Die Perioden des Spätchalkolithikums und der Frühbronzezeit sind auf dem Hügel des Arslantepe reichlich belegt und haben zahlreiche Siedlungsschichten geliefert, darunter einige mit monumentalen Strukturen, alle mit einer riesigen Menge an Funden von außerordentlicher Qualität und Bedeutung. Insbesondere wurde ein wichtiges protourbanes Zentrum vom Ende des IV. Jahrtausends mit einem großen öffentlichen Areal und Resten einer komplexen zentralen Administration aufgedeckt. Es existieren jedoch auch Zeugnisse anderer chronologischer Phasen mit weniger auffälligen Überresten, die deswegen aber für die sichtbaren historischen Verbindungen nicht weniger wichtig sind. Die vorliegende Untersuchung beabsichtigt, mit der Besiedlung zu Beginn des zweiten Jahrtausends eine am Arslantepe und in der Region von Malatya-Elazığ noch wenig bekannte Periode zu erhellen. Während für die Gebiete des Irak, Nordsyriens und Zentralanatoliens diese Periode einen wichtigen historischen Moment darstellt, ausgehend von den durch altassyrische Kaufleute im großen Stil organisierten Handel, was nicht nur durch archäologische, sondern auch durch bedeutende schriftliche Zeugnisse dokumentiert wird, scheint die Zone von Malatya dagegen ein wenig ansehnliches und nur schwer zu interpretierendes Belegmaterial zu bieten. Diese Arbeit hat die Aufgabe, die Rolle dieser Region und insbesondere von Arslantepe in einem entscheidenden Moment der Entwicklung der Gesellschaft des Vorderen Orients nach dem Fall der dritten Dynastie von Ur am Ende des dritten Jahrtausends im

Gesamtkontext zu verdeutlichen. Arslantepe hat, wie alle anderen Orte des Gebietes von Malatya, keine schriftlichen Dokumente geliefert, weswegen die Archäologie sowie die paläoethnologischen Methoden immer noch die einzigen wirksamen Instrumente für eine historische Rekonstruktion darstellen.

Diese Periode, die als Mittelbronzezeit definiert wird und die auf die Frühbronzezeit III in der Region folgt, umfaßt einen Zeitraum zwischen dem Ende des dritten Jahrtausends und dem Beginn der Konsolidierung der hethitischen Macht in Anatolien um das Jahr 1600 v. Chr. Das Ziel der Betrachtungen zur Stratigraphie, Architektur und zur Keramik vom Arslantepe ist die Beschreibung der Charakteristika des Fundortes im Vergleich zur Besiedlung des umgebenden Territoriums und die Herausarbeitung der Rolle der Siedlung im Rahmen der interregionalen Beziehungen dieser Periode. Die Grabung erbrachte eine komplexe stratigraphische Abfolge, aber mehrheitlich erscheinen die architektonischen Spuren unvollständig und stark beschädigt. Das Fundmaterial ist außerdem fragmentarisch erhalten und verstärkt somit die Schwierigkeiten einer korrekten Interpretation des gesamten archäologischen Komplexes. Diese Untersuchung, die die Resultate der Grabungskampagnen von 1973, 1987 und 1988 zusammenfaßt, richtet sich vor allen Dingen auf die Klärung der Stratigraphie derjenigen archäologischen Ablagerungen, die der Mittelbronzezeit zugeschrieben werden, auf die Präsentation einer Synthese des keramischen Materials und schließlich auf die Erarbeitung eines ersten chronologischen Rahmens im Vergleich zu den Beziehungen auf lokaler Ebene. Die Schlußfolgerungen können daher nicht endgültig sein. Für eine solche Beurteilung fehlen viele wichtige Elemente, die einer weitergehenden Interpretation über die Bedeutung der Siedlung dienlich scheinen. Solange nicht neue Flächen des Hügels mit archäologischen Schichten dieser Periode in einem besseren Erhaltungszustand als dem bisher Bekannten entdeckt und flächendeckend ausgegraben sein werden, wird es schwierig sein, die mittelbronzezeitliche Siedlung von Arslantepe näher zu charakterisieren. Durch eine Verknüpfung der Typologie von Funden, besonders der Keramik, der Lage der Straten und der Veränderungen der archäologischen Ablagerungen sowohl unter dem Aspekt der räumlichen Verteilung als auch der zeitlichen Abfolge kann jede Erdschicht, jedes, auch das noch so vergängliche strukturelle Element einen Beitrag zur Rekonstruktion der Geschichte liefern.

1. DIE UMWELT

1.1. TOPOGRAPHIE, GEOLOGIE UND HYDROGRAPHISCHES SYSTEM

Der Lauf des oberen Euphrat durchquert die anatolische Hochebene und teilt sich im Gebiet von Malatya-Elazığ in zwei Arme, jenen westlichen, der Karasu oder Bati Firat genannt wird, und den östlichen Murat su. Der Fluß setzt seinen Lauf Richtung Habibuşağı, im Osten von Malatya gelegen, fort und fließt danach nach Süden, wobei er die Taurus-Kette in Richtung auf die syrisch-mesopotamische Ebene durchquert. Der Euphrat bildet eine natürliche Grenze zwischen dem zentral- und ostanatolischen Gebiet, das charakterisiert ist durch Bergketten mit einer Reihe von Ebenen und Tälern, die sich bis nach Van, an die östliche Grenze der heutigen Türkei zu dem Iran, fortsetzen. Die Region von Malatya-Elazığ liegt im Zentralgebiet des östlichen Taurusgebirges und ist gekennzeichnet durch eine tiefe Senke, begrenzt durch SW-NO verlaufende Bergketten von außerordentlicher Höhe. Vom geologischen Gesichtspunkt aus betrachtet besteht diese Zone des Taurus hauptsächlich aus Formationen des Mesozoikums und des Tertiärs, während das gebirgige Territorium von Malatya-Maden Dağları insbesondere kristalline Ablagerungen des Paläozoikums aufweist, d. h. Kalksteine und Ophiolith. In den ausgedehnten Ebenen gibt es zahlreiche Verwerfungslinien, die der Grund für häufige und heftige Erdbeben sind. Obwohl die zentralen Ebenen der Region von Malatya-Elazığ völlig abgeschlossen sind, gibt es klimatisch dennoch mediterrane Einflüsse, wodurch es zu milderem Temperaturen kommt. Trotzdem sorgen die kontinentalen Winde aus Osten und Nordosten für lange und strenge Winter¹.

Arslantepeler liegt ca. 6 km nordöstlich von Malatya, in der gleichnamigen Provinz im heutigen Ort Orduzu (Abb. 1.1-2). Der ovale Hügel erstreckt sich an der Basis auf einer Länge von 250 m in der Nordost-Südwest-Achse und 180 m Länge in der Nordwest-Südost-Achse. Die Spitze des Tells erreicht eine absolute Höhe von 912 m über NN und erhebt sich 30 m über die umgebende Ebene. Die Ebene von Malatya, in der die Siedlung liegt, ist heutzutage gekennzeichnet durch eine jährliche Niederschlagsmenge, die 400 mm nicht übersteigt, ferner durch strenge Winter und hohe sommerliche Temperaturen, die im Juli einen Mittelwert von 26°C erreichen. Die jährliche Durchschnittstemperatur liegt bei 13°C. Die geringe lokale Niederschlagsmenge und die hohen sommerlichen Temperaturen sind der Grund dafür, daß der pflanzliche Bewuchs der Landschaft Steppencharakter hat. Dieses Gebiet wird bioklimatisch als trocken eingestuft mit einer Tendenz zur Desertifikation, die bedingt ist durch die Abnahme der Bewaldung und der Fruchtbarkeit des Bodens. Dennoch weist die östliche Zone der Ebene einen gut durchfeuchteten Boden auf.

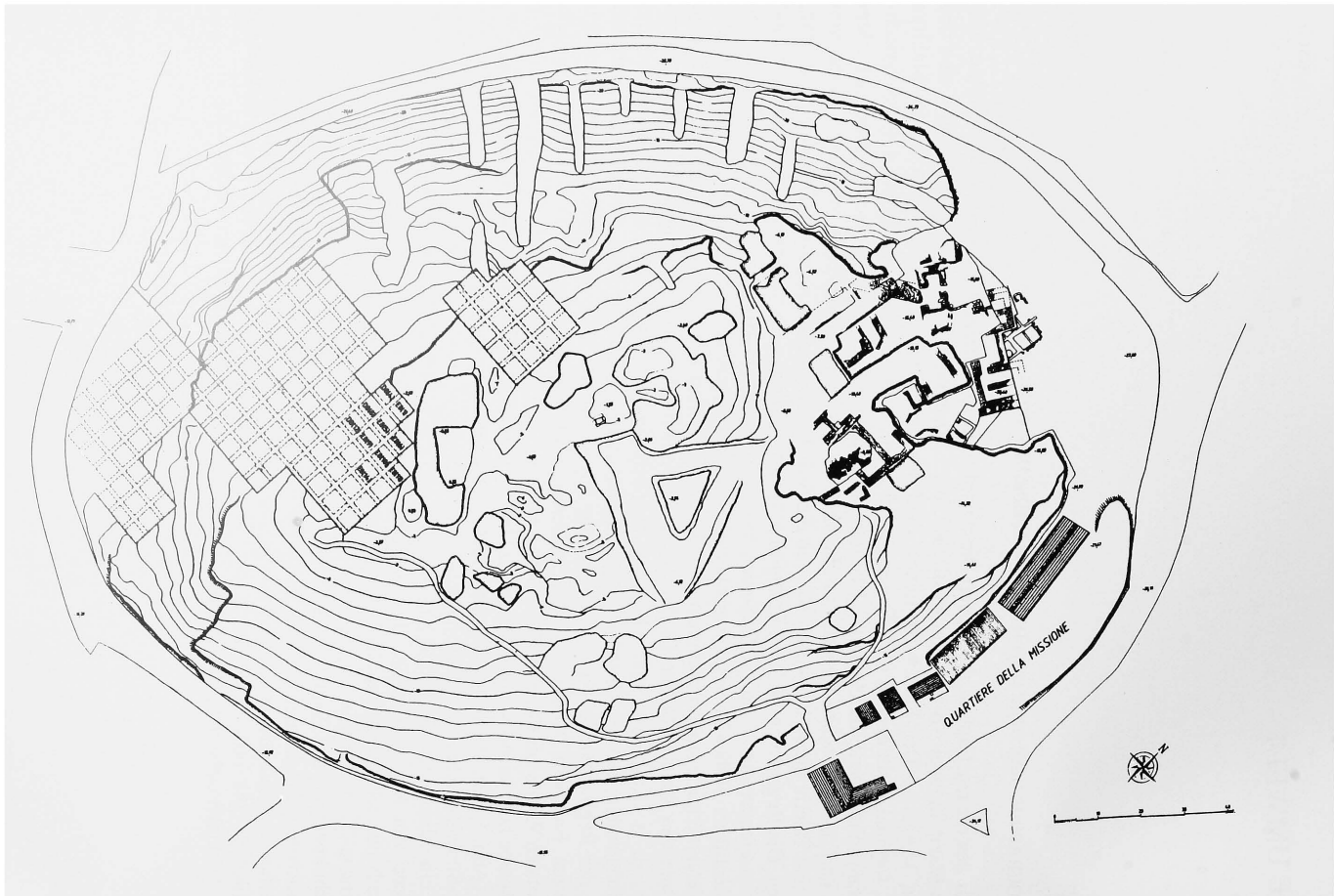


Abb. 1.1 - Planimetrie des Hügels von Arslantepe und die Grabungsflächen mit Resten der Mittelbronzezeit.

Diese Tatsache beruht auf dem Vorhandensein unterirdischer Wasserquellen in klastischen Ablagerungen des Neogens. Bei den in diesem Bereich durchgeführten hydrogeologischen Untersuchungen konnte das Vorhandensein auch zahlreicher oberirdischer Wasserquellen festgestellt werden, die durch unterirdische Reservoirs gespeist werden. So hat die reiche Vegetation, die in der Zone aufgrund der ausreichenden Feuchtigkeit des Bodens immer noch erkeubar ist, die Landwirtschaft und das Vorhandensein der Wildfauna begünstigt².

Die obersten Ablagerungen der Ebene von Malatya werden von lakustrischen Flußformationen des Neogens an Stellen, die mit Konglomeraten bedeckt sind, gebildet (Abb. 1.3). Formationen des Plio- und Pleistozäns, bestehend aus Kiesen, Sanden und nicht gut zementierten Konglomeraten, charakterisieren das Territorium in Richtung des Euphrat. Die umliegende hügelige Landschaft wird von Kalkstein- und Gemischablagerungen gebildet, während in dem Komplex des Gelinciktepe, der nur zwei Kilometer östlich des Arslantepe liegt, eine vulkanische Formation anzutreffen ist³. Der Hügel von Arslantepe selbst gründet sich auf "sarmatienische Böden vom lakustrischen Typ, die von Straten kalkhaltiger Tone gebildet werden, unterbrochen durch sandige Schichten kalkigen Zements"⁴.

Das hydrographische System des Gebiets ist durch zahlreiche Flußläufe gegliedert (Abb. 1.4-5). In unmittelbarer Nähe des Hügels fließt der Pınarbaşı, ein Bach, der nach Norden abfließt und in den Tohma suyu mündet, der seinerseits mit einem ost-westlichen Verlauf ca. 6 -km im Norden des Arslantepe fließt. Ein anderer Bach, der in den Euphrat mündet, ist der Ballı Cayı, der parallel zum Pınarbaşı, aber etwas weiter im Osten verläuft. Der Euphrat ist im Norden ca. 15 -km von der Siedlung entfernt, wobei er dem Hügel die periodischen Überschwemmungen sichert, die wahrscheinlich in den landwirtschaftlichen Kulturen und den Dörfern riesige Schäden verursacht haben dürften. Die Ebene in ihrer Gesamtheit zeigt also eine optimale agrarische Leistungsfähigkeit aufgrund ihrer besonderen klimatischen und hydrographischen Bedingungen und der Beschaffenheit der Böden.

Um die stratigraphischen Kennzeichen, die mit den menschlichen Aktivitäten auf dem Tepe verbunden sind, zu verstehen, wurden sedimentologische und chemische Analysen an Bodenproben aus den beiden wichtigsten Grabungsflächen, der südwestlichen Zone und der nordöstlichen durchgeführt⁵. Die Komponenten, die grundlegend die Zusammensetzung des Hügels bilden, sind Sand, *silt*, und Ton mit einem jeweiligen Prozentsatz von 30%, 50% und 20%. Ausgedehnte Spuren einer dunkelbraunen oder schwarzen Verfärbung sind in mehreren archäologischen Phasen zu beobachten. Eine wichtige Beobachtung wird durch ein dünnes dunkles Stratum in der nordöstlichen Fläche ermöglicht, das die Phasen der Frühbronzezeit III von denen der Mittel- und Spätbronzezeit trennt; dieses Stratum, das eine Art Paläoboden bildet, würde einen Moment der Siedlungsunterbrechung beweisen, in dem die Oberfläche längere Zeit den Einflüssen der Atmosphäre ausgesetzt war.

In einem anderen Fall, der in der südwestlichen Fläche beobachtet werden konnte und der den Anfangsphasen der Frühbronzezeit zugeschrieben wurde, zeigte sich in der analysierten Serie eine hohe Konzentration organischen Materials, mit einer typischen braunen Färbung. Dies könnte durch eine Veränderung der Bautechniken verursacht worden sein, wobei nun häufiger Holz und andere pflanzliche Materialien verwendet wurden.

² Marcolongo, Palmieri 1983: 619.

³ Marcolongo, Palmieri 1983: 620.

⁴ Palmieri A. M. 1978: 355.

⁵ Palmieri, Cellai 1983; Palmieri A. M. 1978: 355-363.

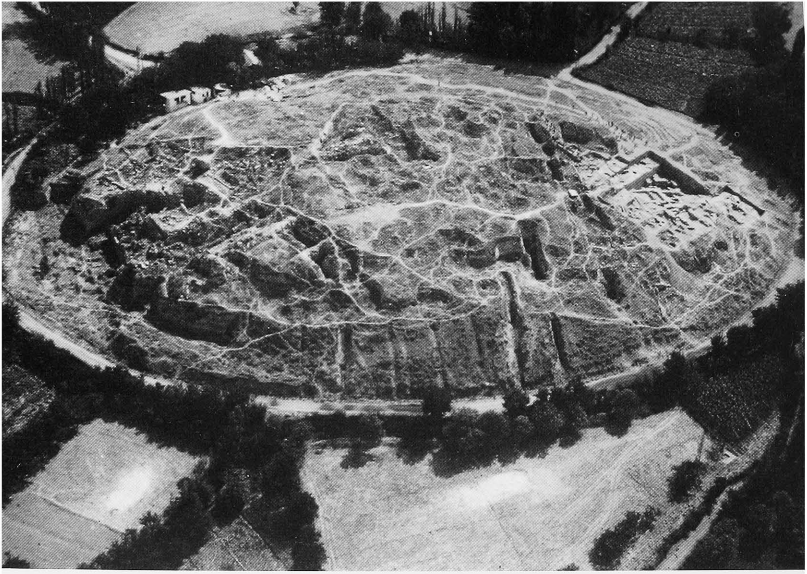


Abb. 1.2 - Luftaufnahme des Hügels von Arslantepe

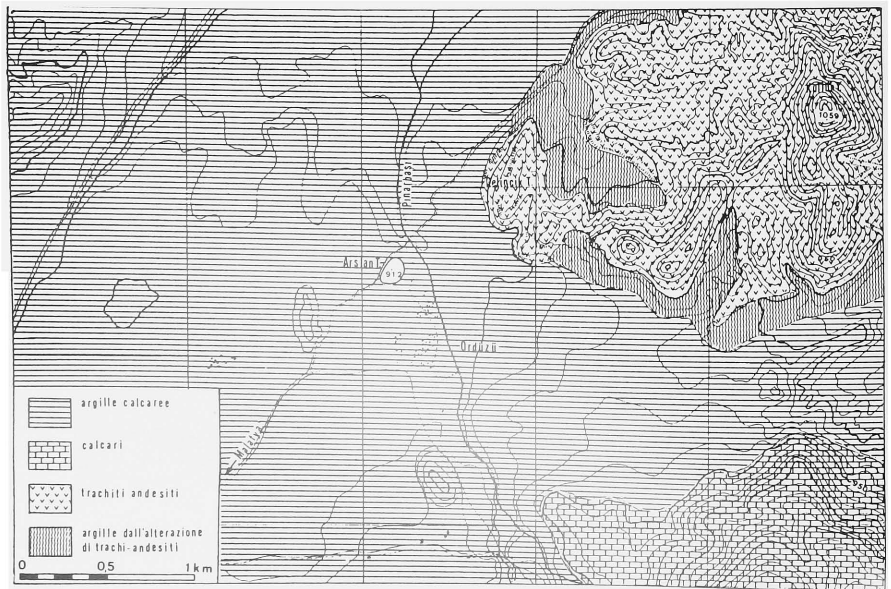


Abb. 1.3 - Geologische Formationen, die in der Nähe des Arslantepe anstehen (Palmieri A.M. 1978: 354, Abb. 1),

1. Die Umwelt

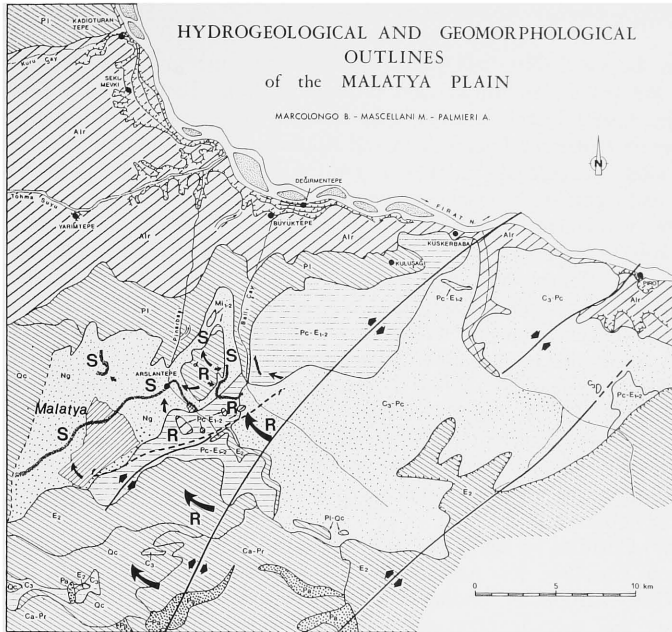


Abb. 1.4 - Hydrogeologisches und geomorphologisches Schema der Ebene von Malatya (Marcolongo, Palmieri 1983: Abb. 4).



Abb. 1.5 - Landschaft um Arslantepe, Ansicht nach Norden.

1.2. ANMERKUNGEN ZU DEN ROHSTOFFEN DER REGION

Einige Rohstoffe, die im Gebiet von Malatya oder in den angrenzenden Bereichen festgestellt werden konnten, können in den Antike eine wichtige Rolle im Handel und bei den produktiven Aktivitäten gespielt haben. Unter diesen sind die Metalle von größter Wichtigkeit. Im Territorium von Malatya konnten zahlreiche Lagerstätten von Kupfermineralien bestimmt werden, auch wenn sie nur sehr arm sind. Im Akçadağ, im Westen von Eskiköy sind Imprägnationen von Kupferkies, Bornit, Malachit und Azurit zu beobachten, während bei Pütürge neben Spuren von Malachit auch gediegenes Kupfer vorhanden ist. Kupferkies, Pyrit, Bornit, Covellin und Cuprit kommen aus Kiringöl. Bei Keban, in der Provinz von Elazığ, sind mineralisierte Flächen mit bemerkenswerten Lagern von Blei und Silber vorhanden. Eines der größten Bergbaureviere der Türkei mit Kupferablagerungen ist jenes von Ergani Maden auf den Bergen des Taurus ca. 150 km südöstlich von Malatya. Diese Lagerstätten, die sicherlich schon im Altertum ausgebeutet wurden, waren dadurch günstig, daß die höchsten Kupferkonzentrationen an der Oberfläche hervortreten und so den Abbau erleichtern⁶. Bei Kedak, 38 km im Nordosten von Maden, gibt es Limonit und andere Sekundärmineralien des Kupfers. Auch in Haçan sind die Hauptmineralien Limonit und Malachit, aber auch gediegenes Kupfer, Pyrit und Magnetit wurden beobachtet. Kupfer ist nochmals in Ortabaraka und Karoli vorhanden, jeweils 10 km im Nordosten von Maden und ca. 35 km ost-nordöstlich von Elazığ. Blei, Silber und Zink treten in Pirajman ca. 40 km im Osten von Maden, in der Provinz von Diyarbakır auf⁷.

Abgesehen vom Obsidian ist der größte Teil der Steine, die für die lithische Industrie während der verschiedenen Perioden des Arslantepe verwendet wurden, lokal oder in unmittelbarer Umgebung des Ortes auffindbar⁸, ebenso wie die Tone für die Keramikherstellung. So hat man neben dem Wasser, das, wie wir schon gesehen haben, der größte Reichtum der Zone ist, da es in der gesamten Ebene von Malatya die Ausnutzung des Bodens vom landwirtschaftlichen Gesichtspunkt her gesehen erleichtert, in der Region fast alle Hauptquellen für das Handwerk und das Bauwesen zur Verfügung, angefangen von den Metallen bis zu den Kalk- und Vulkansteinen. Dazu kommen Hölzer, die wahrscheinlich sowohl in der Ebene nahe der Wasserläufe als auch in den umgebenden bergigen Zonen geschlagen werden konnten, die heute zwar trocken sind, aber in der Zeit der vorgeschichtlichen Besiedlung des Arslantepe wahrscheinlich von Wäldern bedeckt waren, was durch die Zusammensetzung der Wildtierfauna aus der Grabung angedeutet wird⁹.

⁶ Caneva, Frangipane, Palmieri 1985: 120-121; Palmieri, Sertok, Chernykh 1993: 586.

⁷ Seeliger u. a. 1985: 621-636.

⁸ Caneva 1993: 320-321.

⁹ Bökönyi 1983.

2. ARSLANTEPE: FÜNFUNDDREISSIG JAHRE AUSGRABUNGEN DER ARCHÄOLOGISCHEN MISSION ITALIENS IN OSTANATOLIEN

2.1 DIE AUSGRABUNGEN DER ARCHÄOLOGISCHEN MISSION FRANKREICHS IN DEN DREIßIGER UND FÜNFZIGER JAHREN: LOUIS DELAPORTE UND CLAUDE SCHAEFFER

Die archäologischen Grabungen am Arslantepe begannen in den dreißiger Jahren, als Louis Delaporte die ersten Untersuchungen der archäologischen Mission Frankreichs im nördlichen Teil des Hügels durchführte. Von 1932 bis 1938 leitete Delaporte die Ausgrabungen auf dem Tell, aber danach führte sein tragisches Ende in einem Konzentrationslager während des zweiten Weltkriegs zu einem Stillstand der Untersuchungen.

Die Ergebnisse, die von Delaporte erzielt wurden, stellten einen Fixpunkt in dem Fortgang der zukünftigen Untersuchungen auf dem Hügel dar, denn er hob insbesondere die monumentalen Aspekte der spätbronzezeitlichen Siedlung hervor¹. Die Entdeckung eines späthethitischen palatialen Gebäudes mit einem monumentalen Tor, flankiert von in Stein skulptierten Löwen und von Reliefs mit hieroglyphischen Inschriften, unterstreicht den urbanen Charakter der Besiedlung. Durch Hinweise auf Flachreliefs und architektonische Elemente in der Region bereits im vorigen Jahrhundert wurde Delaporte veranlaßt, Nachforschungen auf dem Arslantepe durchzuführen. Der Ortsname Arslantepe übersetzt mit "der Hügel der Löwen" kommt ohne Frage von dem Vorhandensein von Flachreliefs in dem besagten Areal mit der häufigen Darstellung von Löwen und von der beeindruckenden Löwenkulptur aus Stein, die sich noch *in situ* entlang der nordöstlichen Flanke des Tepes erhob. Das waren auffällige Merkmale, die sicherlich in den vergangenen Jahrhunderten den Bewohnern der Gegend nicht entgangen sind, wodurch in bezeichnender Weise die lokale Toponomastik bedingt wurde.

Nach der Unterbrechung durch den zweiten Weltkrieg wurden die Forschungen auf dem Hügel durch einen anderen Franzosen, Claude Schaeffer, wieder aufgenommen. Ab 1947 und im Verlauf der fünfziger Jahre deckte er unterhalb des monumentalen Tores die Spuren eines Palastes der hethitischen Epoche auf². Die Grabungen Schaeffers erstreckten sich im zentralen und südwestlichen Bereich des Tells in Form enger und tiefer Grabungsschnitte, die das Ziel hatten, die ältesten Phasen der Besiedlung festzustellen. Durch diese Sondagen wurde prähistorisches Material, das der Periode der Frühbronzezeit zuzuschreiben ist, ergraben und es wurden auch einige Keramikfragmente vom Typ Ubaid gefunden.

Die Ausgrabung mit Grabungsschnitten, die in den fünfziger Jahren von Schaeffer angewendet wurde, legte begrenzte Flächen frei. Wenn so einerseits die Freilegung und die Ansprache der archäologischen Funde ermöglicht wurde, wurde andererseits dadurch die Möglichkeit erschwert, in einer komplexen Schichtsituation mit terrassierten Straten und großen künstlichen Planierungen eine stratigraphische Korrelation zwischen den verschiedenen Sektoren der Grabung sowie auch innerhalb der Sektoren selbst herzustellen.

934; 1939; 1940; s. auch Orthmann 1971: 91-100.
951; Weidner 1952-53.

2.2 DIE ARCHÄOLOGISCHE MISSION ITALIENS IN OSTANATOLIEN: DIE AUSGRABUNGEN VON PIERO MERIGGI, SALVATORE MARIA PUGLISI UND ALBA PALMIERI

1958 unternahm Piero Meriggi, der Ordinarius an der Universität zu Pavia war, eine erste Reise in die Türkei zur Dokumentation hieroglyphischer hethitischer Inschriften. Damals zeichnete sich die Möglichkeit von Ausgrabungen in der Türkei ab. Neben anderen Orten hatte Meriggi während dieser Reise auch die Gelegenheit Arslantepe zu besuchen. Als dann 1961 die Planung für eine italienische Grabungsmission in Anatolien konkret wurde, wurde unter den verschiedenen Vorschlägen auch jener von Malatya mit einbezogen. In eben diesem Jahr erteilte die Generaldirektion der türkischen Altertümer die Grabungserlaubnis für Arslantepe "nach der expliziten und definitiven Absage von Claude Schaeffer"³ und so wurden die Tätigkeiten unter der ständigen Leitung des Paläoethnologen S. M. Puglisi begonnen.

Die italienische Mission nahm sich eine vorläufige Untersuchung vor, um die stratigraphische Abfolge für die gesamte Bildung des Tells aufzustellen, aber von Anfang an zeichnete sich die Grabung durch große Flächen aus, die für spätere Ausweitungen bestimmt sein mußten⁴. Tatsächlich war sofort die Notwendigkeit klar, in ausgedehnten Grabungssektoren zu arbeiten, um stratigraphische und strukturelle Verbindungen zu bestimmen.

Von 1961 bis 1968 wurden die Grabungen in der nordöstlichen Zone des Hügels durchgeführt, wobei insbesondere islamische, römische, späthethitische und hethitische Schichten sowie Spuren der ältesten Besiedlungsphase freigelegt wurden. Aber von 1968 an wurden die Forschungen im südwestlichen Bereich fortgesetzt, wo sie einen streng paläoethnologischen Charakter annahmen.

Die ersten, von der italienischen Mission auf dem Arslantepe durchgeführten Untersuchungen unterstrichen das Vorhandensein islamischen Materials, das jedoch auf Oberflächenfunde beschränkt ist. Deutlicher waren die Spuren der römisch-byzantinischen Siedlung, die in erster Linie ein Dorf zu erkennen gaben, das seinen Entwicklungshöhepunkt zwischen dem 4. und dem 5. Jahrhundert n. Chr. hatte⁵. Die unmittelbar vorangegangene Phase zeigte Merkmale der Erneuerung und Wiederverwendung, die nur schwer einzuordnen sind, aber sicherlich mit den umfangreichsten historisch-kulturellen Phänomenen verbunden sind: der Herrschaft der Meder und Achämeniden, der makedonischen Eroberung, der Ankunft und Anwesenheit der Galater. Aber zu diesen gibt es keine unmittelbare archäologische Bestätigung.

Die weiteren Untersuchungen erbrachten Reste einer befestigten späthethitischen Zitadelle sowie den Nachweis für die Anwesenheit der Assyrer durch den Fund eines Fragments der Annalen Sargons II⁶. Auch die Schicht des hethitischen Großreiches zeigte eine befestigte Ansiedlung mit einem Mauerring, der von bemerkenswertem architektonischem Interesse ist⁷.

Während der ersten Grabungskampagnen, die von der italienischen Mission durchgeführt wurden, ergaben sich nur sporadisch prähistorische Zeugnisse, aber sie reichten aus, um Interesse auszulösen und die Forschung auf gezielte Projekte zu richten. Parallel zu den Ausgrabungen auf dem Arslantepe und im Rahmen der Untersuchungen zu den vorhethitischen Horizonten wurden auch Grabungen auf dem Hügel von Fethiye, 45 km nordwestlich des Arslantepe⁸, durchgeführt, und im Rahmen desselben Projektes wurde in den Jahren 1965 und 1966 Alba Palmieri die Ausgrabung der prähistorischen Schichten auf dem Gelinciktepe, der nur 2 km östlich des

³ Puglisi, Meriggi 1964: *Vorwort* von P. Meriggi.

⁴ Puglisi, Meriggi 1964: 8-9.

⁵ Schneider Equini 1970: 8-9.

⁶ Pecorella 1975: 69-73.

⁷ Pecorella 1975: 3-8; Palmieri 1973: 55-57.

⁸ Puglisi, Meriggi 1964: 12-18.

Arslantepe liegt, anvertraut⁹. So wurden zum ersten Mal Schichten der Frühbronzezeit in einem Territorium dokumentiert, das bis dahin nur schwache Spuren dieser Stufe aufgewiesen hatte.

Mit den Grabungen von 1968 erreichte man auch in der nordöstlichen Fläche des Arslantepe vorhethitische Schichten. Bei dieser Gelegenheit wurden die verschiedenen prähistorischen Perioden definiert, die der chronologischen Abfolge auf dem Tepe, wie sie schon in den vorhergehenden Grabungskampagnen erkannt wurde, hinzugefügt wurden¹⁰. Tatsächlich erkannte man Hinweise auf eine bemerkenswerte urbane Ansiedlung, die mit der Endphase der assyrischen Kolonien in Kappadokien in Zusammenhang zu bringen ist; ferner brachte man Strukturen und Funde der Frühbronzezeit und des späten Chalkolithikums ans Licht.

Obwohl die formale Leitung, die Koordination und die anregenden Prinzipien der Forschung in der Türkei offiziell von Salvatore Puglisi eingenommen wurden, der zu diesem Zeitpunkt Ordinarius für Paläoethnologie an der Universität von Rom war, hatte sowohl bei den wissenschaftlichen als auch bei den interpretativen Betrachtungen die Person von Alba Palmieri eine bedeutende Rolle inne. Ihre permanente Anwesenheit von Beginn der ersten Grabungskampagnen an verliehen den Untersuchungen ein besonderes Gepräge. Von Alba Palmieri stammten tatsächlich die beiden ersten bedeutenden Beiträge über die vorhethitischen Horizonte des Arslantepe, die jeweils in den Bänden der Jahre 1969 und 1973 der Zeitschrift *Orini*, die 1967 von Puglisi selbst begründet worden war, publiziert wurden. Alba Palmieri hatte sich das Schlüsselkonzept, das Puglisi Ende der fünfziger Jahre erarbeitet hatte, zu eigen gemacht und konkret auf die Untersuchungen am Arslantepe angewendet. Es handelte sich darum, die Bedeutung einer paläoethnologischen Erforschung zu klären. "Die geschichtliche Interpretation der am weitesten zurückliegenden Zeugnisse der Zivilisation wird sich heute ganz allgemein durchsetzen, wobei sie eine Reaktion auf die Ausrichtungen der prähistorischen Wissenschaft in den ersten beiden Jahrzehnten dieses Jahrhunderts bildet, insbesondere auf die geologische Methode und auf das für die französische Schule typische Epochensystem (De Mortillet und Boule) sowie auf die intrinsigente typologische Schule Skandinaviens (Montelius und Müller).

Der Mensch und seine Möglichkeiten sind so, daß sie Gestalt annehmen und die Aussagekraft der Untersuchungen erhöht sich über die Grenzen der sogenannten *materiellen Kultur* hinaus. Weit davon entfernt materialistisch zu sein, wie es leicht ein Gemeinplatz eingeben könnte, hat die historisch-dialektische Interpretation die Möglichkeit einige Phänomene zu erklären, die ansonsten unerklärlich wären, wobei sie dem prähistorischen Menschen eine eigene Persönlichkeit in dem realistischen Rahmen eines wirtschaftlichen und sozialen Lebens zuerkennt.

Die prähistorische Archäologie versucht in dieser Weise eine *Geschichte der Namenlosen* zu schaffen, als Einführung zu der Geschichte, in der geschriebene Dokumente vorhanden sind"¹¹.

Es handelt sich dabei um methodologische Prinzipien, die bewußt von Alba Palmieri, die 1983 als ordentlicher Professor für die Vorgeschichte des nahen und mittleren Orients an der Universität von Rom die formale Leitung der Grabung erhielt, in die Praxis umgesetzt wurden. Der Arslantepe wurde eine Schlüsselstätte nicht nur durch die gebotene archäologische Dokumentation, sondern auch aufgrund der Methoden und der begleitenden Untersuchungen, die dort durchgeführt wurden, wie zum Beispiel der Forschungen über die Paläoökonomie und die Paläoumwelt. Die Interdisziplinarität bildete ein Leitmotiv für das gesamte Forschungsprojekt und die paläoethnologische Interpretation lieferte einen Schlüssel, der durch die archäologische Dokumentation angepaßt war.

Vom Ende der sechziger Jahre und dann in den achtziger Jahren war das Gebiet von Malatya-Elazığ Schauplatz intensiver wissenschaftlicher Aktivitäten, die durch die Notwendigkeit, historische und archäologische Zeugnisse des Territoriums zu dokumentieren und zu bewahren,

⁹ Palmieri 1967.

¹⁰ Palmieri 1969a.

¹¹ Puglisi 1958: 13-14, Übersetzung des Autors.

diktiert wurden. Diese Zeugnisse wären sonst mit der Erbauung der beeindruckenden Staudämme von Karakaya und Keban entlang des türkischen Euphrats untergegangen. Deswegen wurden in diesen Regionen intensive Geländebegehungen und gezielte Grabungen durchgeführt. Zahlreich waren die prähistorischen Zeugnisse und bedeutend waren jene des zweiten Jahrtausends. An diesen Forschungsprojekten nahmen türkische, deutsche, englische, niederländische und amerikanische Arbeitsgruppen teil.

Die Ergebnisse der Ausgrabungen auf dem Arslantepe im Verlauf der siebziger und achtziger Jahre fügen sich deshalb in einen Zusammenhang regionaler Untersuchungen ein.

Im südwestlichen Bereich des Tells wurde eine ununterbrochene Abfolge der Besiedlung und der architektonischen Phasen des Hügels vom IV. bis zum II. Jahrtausend v. Chr. bestimmt. Der erste ausführliche Bericht, der die Ausgrabungen in der südwestlichen Fläche betraf, wurde 1973 von A. Palmieri publiziert und bezieht sich auf einen Tempelbereich der Frühbronzezeit I mit Strukturen und archäologischen Funden, die Beziehungen zu den südmesopotamischen Regionen belegten, wodurch eine sozioökonomische Organisation staatlichen Typs bewiesen wird. Die Frühbronzezeit I kann in zwei Phasen untergliedert werden¹². Außerdem wurden bedeutende Strukturen der Frühbronzezeit III und der Mittelbronzezeit ans Licht gebracht¹³. Im Jahre 1986 erschien der vollständige Bericht der Grabungskampagnen von 1975-83, in dem die kulturellen Charakteristika in Bezug auf das Ende des IV. und den Beginn des III. Jahrtausends v. Chr. definiert wurden¹⁴. Am Ende der achtziger Jahre ahnte man, daß es in den westlichen Zonen des Hügels möglich sein würde, die ältesten Siedlungsschichten zu erreichen. So wurde ein weiterer Grabungsabschnitt geöffnet und erweitert. Er lieferte monumentale Architekturreste, die auf öffentliche Gebäude des Spätchalkolithikums hinwiesen¹⁵. Aber Alba Palmieri war aufgrund ihres verfrühten und schmerzvollen Todes im Jahr 1990 nicht mehr im Stande konkret die Ergebnisse dieser neuen Grabungen zu sehen. Die Untersuchungen wurden und werden bis heute ohne Unterbrechung unter der Leitung von Marcella Frangipane fortgesetzt, die erst Schülerin von Puglisi und dann enge Mitarbeiterin von Alba Palmieri war, mit demselben Geist und derselben wissenschaftlichen Genauigkeit durch die schon immer die archäologische Forschung auf dem Arslantepe bestimmt war.

¹² Palmieri 1981.

¹³ Palmieri 1973: 74-83.

¹⁴ Frangipane, Palmieri (Hrsg.) 1983.

¹⁵ Frangipane 1993a.

3. DAS PERIODISIERUNGSSYSTEM VON ARSLANTEPE

3.1. GENERELLE ASPEKTE DER PERIODISIERUNG

Die chronologische Unterteilung des Arslantepe zeigt, wie wir schon erwähnt haben, eine ununterbrochene Besiedlungsabfolge vom IV. Jahrtausend v. Chr. bis zur islamischen Epoche. So konnten auf der Grundlage der stratigraphischen Verhältnisse, der architektonischen Reste und des archäologischen Materials sieben Perioden erkannt und bestimmt werden. Wir werden versuchen die wichtigen Erkenntnisse bezüglich der einzelnen Perioden zusammenzufassen, mit der einzigen Absicht, die Besiedlungsabfolge auf dem Hügel zu verdeutlichen. Daher sollen nur einige der charakteristischen Elemente der einzelnen Perioden vorgestellt werden¹.

Das Spätchalkolithikum, Periode VII. Dieser Periode werden wenigstens sieben Schichten zugeordnet, die in der nordöstlichen Fläche des Hügels aufgedeckt wurden. Es handelt sich um Gebäude aus Lehmziegeln mit einem Steinfundament, die aus einem oder mehreren rechteckigen Räumen bestehen. Typisch sind die Bestattungen unterhalb des Fußbodenniveaus im Inneren oder in der Nähe der Behausungen. Was die Keramik betrifft, so ist die spätchalkolithische Produktion durch organisch gemagerten Ton gekennzeichnet, wobei die Magerung aus zermahlenem Stroh besteht, sowie grobe Oberflächen oder einen roten Überzug. Es handelt sich dabei um die sogenannte *chaff-faced ware*. Außerdem ist dort eine Küchenkeramik vorhanden, die auf der Drehscheibe hergestellt wurde und deren Ton nicht mit Stroh gemagert ist. Dieser keramische Komplex findet Vergleiche in der Phase F von Amuq, den nordmesopotamischen Aspekten, die in den Schichten XI-IX des Tepe Gawra belegt sind und wahrscheinlich dem Spätchalkolithikum von Tarsus².

Während der neueren Grabungskampagnen (1989-91) wurde in der westlichen Fläche des Tells ein spätchalkolithisches, monumentales Gebäude freigelegt, das sich diekt unter öffentlichen Gebäuden der Frühbronzezeit IA (spätes Uruk, Periode VIA) befand. Es handelt sich um ein beeindruckendes Bauwerk, das wahrscheinlich auch einen öffentlichen Charakter hatte, und das auf der Spitze des antiken *mound* errichtet worden war, an einem Punkt, der das gesamte umliegende Gebiet dominiert haben muß. Die bemalten Wände, die Säulen aus Ton mit dekorativer und nicht konstruktiver Funktion, die topographisch hervorgehobene Lage und nicht zuletzt das *in situ* aufgefundene Material lassen an eine öffentliche oder residentiale Struktur der *élite* denken. Die Keramik ist generell *chaff-faced*, was auch schon bei den Ausgrabungen im nordöstlichen Bereich beobachtet wurde, doch die Küchenkeramik weist reichlich mineralische Magerung auf. Häufig sind die mit einem Überzug versehenen und polierten Oberflächen, bei denen der Überzug allgemein rot oder orange ist. Kulturelle Beziehungen sind überwiegend mit den anderen Gebieten des oberen

¹ Für die interpretativen Aspekte, die sich insbesondere auf die spätchalkolithischen und frühbronzezeitlichen Horizonte beziehen vgl.: Palmieri 1985b; Frangipane, Palmieri 1986; 1987; Frangipane 1996: 234-253. Für eine neue Synthese der gesamten Schichtabfolge des Arslantepe vgl.: Frangipane 1993b; 1993c.

² Palmieri 1978: 314-330; 1985a: 110.

anatolischen Euphrat, mit der Ebene des Amuq und mehr allgemein mit der nördlichen syro-mesopotamischen Region zu beobachten³.

Für die absolute Chronologie stehen verschiedene ¹⁴C-Daten zur Verfügung, die kalibriert die Periode VII mit ausreichender Wahrscheinlichkeit in das Zeitintervall zwischen 3700 und 3500 v. Chr. setzen⁴.

Die Frühbronzezeit IA, Periode VIA. Die Anlage aus der Siedlung dieser Phase ist ausgesprochen eindrucksvoll. Dicke Mauern, die an manchen Punkten bis zu mehr als zwei Metern Höhe erhalten sind, eine zentrale Straßenachse mit einem monumentalen Eingangstor, zwei Tempelbezirke, Magazine für die Aufbewahrung von Nahrungsmitteln, ein Kontrollsystem für die Waren beim Eingang und beim Ausgang der Magazinbereiche, das Vorhandensein besonderer Räume mit verzierten Wänden, die Auffindung von prachtvollen Prunkwaffen aus Arsenkupfer sind nur einige derjenigen Elemente, die die Existenz eines wirklichen urbanen Zentrums mit spezifischen administrativen Aufgaben auf Arslantepe beweisen. Bezeichnend für die Keramik ist die *early reserved slip ware*, eine *pseudo-plain simple ware*, das Vorhandensein von Formen mit einer deutlich mesopotamischen Typologie, wie Flaschen mit röhrenförmigem, gebogenem Ausguß, aber insbesondere das beträchtliche Vorhandensein einer Massenproduktion von tausenden scheibengedrehten Schalen. Die Gesamtheit dieser Aspekte gehört zu dem, das als "beginnender Internationalismus" definiert wird, in dem kulturelle Elemente aus dem syro-mesopotamischen Bereich vorherrschen⁵. Arslantepe weist in dieser Periode kulturelle Verbindungen zu den Siedlungen des mittleren Euphrat und der Phase G von Amuq auf. Aber bereits in dieser Phase erscheint auf dem Arslantepe eine handgemachte, rot-schwarze, polierte Keramik mit Formen, die Vergleiche sowohl in der Frühbronzezeit I Zentralanatoliens als auch mit der Typologie Nordost-Anatoliens finden⁶. Deswegen bleibt festzuhalten, daß Arslantepe VIA den Horizont eines nördlichen Späturuk darstellt und die Siedlung läßt sich als ein lokales Zentrum bestimmen, das damit anders ist als jene Besiedlung kolonialen Typs am mittleren Euphrat, die durch Siedlungen wie Jebel Haruda, Habuba Kabira und Hassek Hüyük bezeugt ist⁷.

Vom chronologischen Gesichtspunkt aus gesehen setzen die kalibrierten ¹⁴C-Daten die Periode VIA zwischen 3400 und 3000 v. Chr.⁸.

Die Frühbronzezeit IB, Periode VIB. Während der Frühbronzezeit IB wurden zwei Phasen erkannt, eine ältere, die als Phase VIB₁ bezeichnet und eine jüngere, die als Phase VIB₂ angesprochen wurde.

Die protourbane Anlage, die die Periode VIA kennzeichnete, erfährt mit der Phase VIB₁ eine plötzliche Unterbrechung. Die Ankunft von Gruppen transkaukasischer Herkunft verändert grundlegend den Charakter der Siedlung. Die Bereiche mit den öffentlichen Gebäuden der Periode VIA, die nun schon nicht mehr in Gebrauch waren, werden eingeebnet und mit Erdanhäufungen überdeckt, auf denen man die neue Siedlung errichtet, die in erster Linie aus nahezu rechteckigen Holzhütten mit abgerundeten Ecken besteht. Der Gebrauch des Lehmziegels, der ausschließlich für die häuslichen Einrichtungen oder, in selteneren Fällen, für die Erbauung besonderer Gebäude verwendet wird, verschwindet. Die Wände bestehen aus Holzpfosten, die in kleinen, ausgehobenen Gräben verankert sind, die schließlich mit Schlamm ausgekleidet wurden. Die keramische Produktion wird insbesondere durch die sogenannte rot-schwarze Keramik gebildet, die

³ Frangipane 1992a: 216-220; 1993a: 136-152; Trufelli 1994.

⁴ Frangipane 1993a: 158; Alessio u. a. 1983.

⁵ Palmieri 1973: 120-172; 1978: 330-337; 1985a: 75-99; 1989; Frangipane, Palmieri 1983a; 1986; 1987; Ferioli, Fiandra 1983; 1994; Frangipane 1992b; 1993d; 1994; 1997.

⁶ Palmieri 1973: 165-171; 1978: 334.

⁷ Palmieri 1983b: 658-660.

⁸ Alessio u. a. 1983: 578; Palmieri 1983b: 658.

handgemacht ist und glänzende Oberflächen hat. Das Formenspektrum beschränkt sich auf wenige Typen, deren größter Teil in offensichtlicher Verbindung mit der transkaukasischen Produktion steht. Die Drehscheibenkeramik verschwindet genauso wie die Massenproduktionen. Man erkennt in dieser Periode eine Veränderung der ökonomischen Organisation sowie der sozialen Struktur der Gruppen, die den Arslantepe besiedeln.

Mit der Phase VIB₂ gehört Arslantepe erneut in den Kreis der Verbindungen zu dem syro-mesopotamischen Bereich, die nun jedoch auf die nördlichen Gebiete beschränkt sind. Es erscheinen jetzt tatsächlich wieder Elemente, die eine Weiterentwicklung derjenigen darstellen, die schon während der Periode VIA typisch waren, wie z.B. die Keramik mit *reserved slip*. Es tauchen wieder Drehscheibenware und seltener bemalte Keramik auf. Dennoch verschwindet die ostanatolisch/transkaukasische Komponente mit der handgemachten rot-schwarzen Keramik nicht ganz, auch wenn sie auf offene Formen beschränkt ist. Keramische Parallelen im Norden und Süden des Taurus sind sowohl mit dem Ende von Amuq G bis beginnendem Amuq H als auch mit der Frühbronzezeit I des oberen Euphrat (Altınova und Urfa/Adiyaman) zu erkennen, aber ebenso gibt es weniger deutliche Verbindungen mit dem Horizont *Ninivite 5* in den Tälern des Habur und des oberen Tigris.

Obwohl die Siedlung in dieser Phase nicht geplant scheint, zeigt sie dennoch eine gut gefügte Architektur. Der Ort besteht aus Häusern, die aus Lehmziegeln erbaut sind. Sie besitzen mehrere Räume, die im allgemeinen rechteckig sind. Im Inneren weisen sie Bänke und häusliche Einrichtungen auf. Außerdem wurden in der Siedlung Areale für spezifische Aktivitäten erkannt, wie etwa jene für die Metallurgie oder für die Schlachtung der Tiere. Eine bemerkenswerte Menge verkohlter Getreidekörner, die mit Mahlvorrichtungen vergesellschaftet waren, kommen aus den meisten archäologischen Befunden dieser Phase. Die Ansiedlung der Phase VIB₂ wird auf jeden Fall unterbrochen durch einen heftigen Brand, der die ganze Ortschaft vernichtete⁹.

Die kalibrierten Radiokarbondatierungen sowie keramische Vergleiche setzen die gesamte Periode VIB in die Zeitspanne zwischen 3000 und 2800 v. Chr.¹⁰.

Die Frühbronzezeit II, Periode VIC. Bis zu der Grabungskampagne von 1991 war die Frühbronzezeit II auf dem Arslantepe ausschließlich durch Gruben und Strukturen mit kreisförmigem Grundriß wahrscheinlich mit hölzernen Wänden nachgewiesen, die häufig menschliche Überreste in sekundärer Deposition beinhaltenen¹¹. Jedenfalls handelte es sich um Komplexe, deren Erhaltung in der archäologischen Dokumentation begrenzt waren. Mit den Ausgrabungen von '91 wurde ein ausgedehntes, rechteckiges Gebäude ans Tageslicht gebracht, das von Höfen umgeben und mit verschiedenen häuslichen Ausstattungen mit reichem *in situ*-Material versehen war¹². Der Bezugsort für die Keramik dieser Phase ist der Gelinciktepe¹³, eine Anhöhe aus vulkanischem Gestein, die 2 km im Osten des Arslantepe liegt und in den Jahren 1965-1966 ausgegraben wurde.

Die Produktion, die diese Periode kennzeichnet, ist die handgemachte *red-black pottery* sowie die bemalte Keramik im Stil "Gelinciktepe", deren Bemalung aus Linienbändern, die eckige Motive bilden, besteht¹⁴. Diese Phase enthält außerdem Keramik wie die *Karababa painted ware* und die *metallic ware*.

⁹ Palmieri 1978: 337-338; 1985a: 99-106; Frangipane, Palmieri 1983b.

¹⁰ Alessio u. a. 1983: 579.

¹¹ Palmieri 1983a: 100.

¹² Frangipane 1992a: 213-215; Persiani 1994.

¹³ Palmieri 1967.

¹⁴ Palmieri 1967: 154, Abb.18; Persiani 1990.

Der Periode VIC, die in die beiden Unterphasen VIC₁ und VIC₂ unterteilt ist¹⁵, wird auf der Grundlage von sechs kalibrierten Daten ein Alter zugeschrieben, das zwischen 2800 und 2500 v. Chr. liegt¹⁶.

Die Frühbronzezeit III, Periode VID. Diese Periode wird in die drei Phasen VID₁, VID₂, VID₃ untergliedert, die jeweils der Frühbronzezeit III A, B und C entsprechen. Zu Beginn beschränkt sich die Besiedlung auf die Hügelspitze mit rechteckigen Strukturen mit großen, hufeisenförmigen Herdstellen und unterschiedlichen häuslichen Einrichtungen. Im folgenden dehnt sich die Siedlung mit einzelnen Gebäuden aus, die aus rechteckigen Räumen gebildet werden, die von offenen Höfen flankiert sind. Zwischen den Phasen VID₁ und VID₂ kommen besondere Architekturen hinzu, deren Interpretation sich noch als schwierig erweist; es handelt sich um die sogenannten *round houses* mit eingetieften runden, unregelmäßig runden und ovalen Räumen mit Bänken, die an den Innenwänden entlanglaufen, und einem aufgehenden Ziegelmauerwerk. Der größte Teil dieser Räume hat keinerlei *in situ*-Material geliefert und wies weder Herdstellen noch Brandspuren auf, was dagegen häufig in anderen Strukturen vorkam. Was die letzte Phase VID₃ angeht, so wird der urbanistische Gesichtspunkt noch untersucht; es ergibt sich jedoch das vorhergehende Modell, wobei nun Kanalisationssysteme vorhanden sind¹⁷. Während der Frühbronzezeit IIIB wird die Siedlung durch eine massive Ringmauer befestigt. Sie hat ein Steinfundament sowie ein aufgehendes Mauerwerk, das wahrscheinlich aus Lehmziegeln bestand; verstärkt wurde sie durch eine halbkreisförmige Bastion¹⁸. Arslantepe nimmt in dieser Periode die Gestalt einer kleinen Stadt mit einem weitläufigen Wohnbereich an. Die Grabung hat bisher keine öffentlichen Strukturen oder Bereiche mit administrativem Charakter ergeben.

Die Anfangsphase der Frühbronzezeit III ist noch durch die Keramik vom Typ Gelinciktepe gekennzeichnet, wobei bei der bemalten Keramik neue dekorative Elemente hinzutreten; daneben verschwindet die *Karababa painted ware*, und die rot-schwarze polierte Keramik mit Typen, die für das Gebiet von Malatya typisch erscheinen, setzt sich durch. Die importierte *metallic ware* ist noch mit Flaschen und Schalen belegt. In den nachfolgenden Phasen sind die rot-schwarze und die bemalte Keramik vorherrschend, wobei sie immer mehr regionalen Charakter zeigen. In der Endphase der Periode VID verringert sich die rot-schwarze Keramik, um dafür üblicherweise mehr schwarz oder braun zu werden. Die bemalte Keramik zeigt immer mehr eine Machart, die dann in der Mittelbronzezeit typisch werden wird¹⁹. Enge Beziehungen beobachtet man zwischen den Gebieten von Malatya und Elazığ, aber es gibt auch Kontakte mit dem nordsyrischen Bereich, wie er durch die Importkeramik bezeugt ist.

Bezüglich der absoluten Chronologie, ist es auf der Basis der kalibrierten ¹⁴C-Daten möglich, die Periode VID zwischen 2500 und 2100 v. Chr. anzusetzen; die Übergänge zwischen den Phasen liegen für VID₁ VID₂ bei 2350 und für VID₂ VID₃ bei 2200²⁰.

Die Mittelbronzezeit, Periode VA. Die Mittelbronzezeit stellt das zentrale Thema dieser Studie dar, weswegen für die Details des Stoffes auf die folgenden Kapitel verwiesen wird. Dennoch wird es nützlich sein, nur die auffälligsten Aspekte zu unterstreichen. Der größte Teil der Zeugnisse, die der Periode VA zugewiesen werden können, wurden in der südwestlichen Fläche des Hügels ans Licht gebracht. Obwohl die Stratigraphie komplex ist, wurde sie doch durch etwa hundert Gruben gestört, so daß sich die Architektur auf wenige vollständige Strukturen beschränkt. Deshalb ist es nicht

¹⁵ Conti, Persiani 1993: 363.

¹⁶ Frangipane 1992a: 215.

¹⁷ Frangipane 1992a: 213-214; Conti, Persiani 1993: 363-368.

¹⁸ Palmieri 1984: 74; 1985c: Abb. 1.

¹⁹ Conti, Persiani 1993: 368; Conti 1987; Di Nocera 1993b: 295-296.

²⁰ Conti, Persiani 1993: 386-387.

3. Das Periodisierungssystem von Arslantepe

möglich, urbanistische Kriterien oder eine planmäßige Erweiterung der Besiedlung festzustellen. Die erkannten Strukturen beschränken sich auf rechteckige Räume mit einer zentralen Herdstelle sowie Fußböden ohne aufgehendes Mauerwerk²¹. Die Keramikproduktion, die diese Periode charakterisiert und die fast ausschließlich auf der Drehscheibe gefertigt ist, besteht insbesondere aus der rot überzogenen Ware, die Parallelen im zentralanatolischen Gebiet findet, ferner aus der in der Tradition der Frühbronzezeit III stehenden, handgemachten bemalten Ware, die fast ausschließlich im Territorium von Malatya-Elazığ verbreitet ist, aus der scheibengedrehten bemalten Ware, die eine lokale Produktion darstellt und die Verbindungen mit der *Habur ware* aufweist, und schließlich aus der braunen Ware, welche die rot-schwarze Keramik der Frühbronzezeit ersetzt²².

In der Periode VA sind zwei Phasen, VA₁ und VA₂, zu unterscheiden, die jeweils der Mittelbronzezeit I und II entsprechen. Obwohl vom chronologischen Gesichtspunkt aus gesehen die datierten Proben allein aus Zusammenhängen der jüngeren Phase der Mittelbronzezeit stammen, kann man annehmen, daß die Periode VA einen Zeitraum zwischen 2100/2000 und 1700 v. Chr. umfaßt²³.

Die Spätbronzezeit I, Periode VB, althethitische Zeit (ca. 1650-1500 v. Chr.). Zu Beginn nur in der nordöstlichen Fläche des Tells erkannt, wird die Periode VB nun auch bei den Grabungen in der südwestlichen Zone aufgedeckt. Die Siedlung zeigt eine städtische Anlage mit einem beeindruckenden Befestigungssystem, das von einer Struktur mit einer Erderhebung gebildet wird, in die ein Tor eingefügt ist, das durch zwei viereckige, zweigeteilte Türme flankiert ist²⁴. Weitere Strukturen sind rechteckige, aneinander angrenzende Wohnräume mit *in situ*-Fundmaterial. Auch wenn die Grabung begrenzt ist, so hat sie doch für diese Periode eine ausgedehnte und gegliederte Siedlung mit funktionalen Strukturen, wie etwa einigen Kanalisationssystemen, offenbart²⁵. Die Keramik ist fast ausschließlich scheibengedreht und umfaßt eine rot bemalte Ware mit einfachen geometrischen Motiven sowie Formen, die mit horizontalen, parallelen Kanneluren verziert sind. Die wichtigsten Vergleiche sind in dem Keban-Gebiet und Zentralanatolien zu beobachten. Das besagte städtische Tor zeigt Parallelen mit den hethitischen Zentren von Boğazköy und Alishar, aber auch mit Mersin in Kilikien, wohingegen das Verteidigungssystem mit einer Erdaufschüttung wahrscheinlich mit der syro-mesopotamischen Tradition zu verbinden ist.

Chronologisch ist die Periode VB gleichzeitig mit der Endphase der *karum* Ib-Zeit in Kültepe²⁶.

Die Spätbronzezeit II, Periode IV, Zeit des hethitischen Großreiches (1400-1200 v. Chr.). Die auffälligsten architektonischen Reste für diese Periode sind in der nordöstlichen Fläche des Tells dokumentiert. Es handelt sich um ein monumentales Tor, das "Kaisertor" genannt wird und das vom architektonischen Typ her ein Zangentor ist, welches zahlreiche Parallelen in den zentralanatolischen Fundorten, wie Alishar, Boğazköy und Alaca Hüyük findet. Das Tor gehört zu einer städtischen Ringmauer, die auf einem Steinfundament errichtet wurde und ein aufgehendes Ziegelmauerwerk aufweist²⁷. Eine weitere bemerkenswerte Struktur, die in dieser Fläche ergraben wurde, ist ein Tunnel mit einem falschen Gewölbe, das aus polygonalen Steinen und Platten, die ohne Mörtel zusammengefügt wurden, errichtet wurde. Dieser Bau, der bis zu mehr als vier Metern Tiefe hinabreicht, erinnert an die Fluchtpforten der hethitischen Zentren, jedoch scheint es nicht so

²¹ Palmieri 1973: 74-83; Palmieri, Frangipane 1989: 191-192.

²² Di Nocera 1993a.

²³ Di Nocera 1993b: 306-307; 1996.

²⁴ Palmieri 1970: 203-204; 1973: 73-74, Anmerkung 21.

²⁵ Palmieri 1969b: 60-65.

²⁶ Palmieri 1969b: 65.

²⁷ Puglisi, Meriggi 1964: 18-24; Pecorella 1975: 3-6.

als ob diese Struktur dieselbe Funktion gehabt haben könnte. Dagegen ist es wahrscheinlich, daß es ein Gang war durch den das unterirdische Grundwasser zu erreichen war²⁸.

Das keramische Repertoire der Periode IV besteht aus scheibengedrehter Ware mit rot, gelb oder braun überzogenen Oberflächen; andere Stücke zeigen nicht einen homogenen unbehandelten Tongrund. Die besten Vergleiche bezüglich der Formen ergeben sich mit Boğazköy, Alaca und Karahüyük²⁹.

Die Eisenzeit, Perioden III und II, späthethitische Zeit (1100-700 v. Chr.). Die hethitische Stadt erfährt wahrscheinlich eine gewaltsame Zerstörung. Tatsächlich gibt es zahlreiche Reste verbrannter Ziegel und von eingestürzten Gebäuden, bevor die späthethitischen Strukturen erbaut wurden. So war es möglich mehrere Erneuerungen und Zerstörungen der Mauerringe festzustellen.

Der Periode III ist eine beachtliche Menge architektonischer Überreste zuzuschreiben. Nicht zuletzt auch die Strukturen, die in den dreißiger Jahren von Delaporte ans Licht gebracht wurden und unter denen sich auch das "Löwentor" befindet. Obwohl es nicht möglich war mit absoluter Genauigkeit den Standort dieses bedeutenden Monuments zu identifizieren, hat man es dennoch mit größter Wahrscheinlichkeit im Bereich seiner Auffindung zu lokalisieren. Andererseits hat der verfrühte Tod von Louis Delaporte während des letzten Krieges es nicht erlaubt die abschließende Publikation mit einer detaillierten Beschreibung der Grabungen vorzulegen. Es ist wahrscheinlich, daß das "Löwentor" nicht Teil der Ringmauer der Stadt war - die diesbezüglichen Hinweise sind zu lückenhaft, sondern es ist eher wahrscheinlich, daß diese monumentale Struktur in Wirklichkeit der Haupteingang zum Palast des damaligen Königs Mutulla oder früherer Herrscher war³⁰.

Die italienischen Ausgrabungen wurden an verschiedenen Stellen der nordöstlichen Fläche des Hügels durchgeführt, wobei zahlreiche häusliche Strukturen der Periode III ergraben wurden. Darunter befinden sich rechteckige Räume mit Einrichtungen für den täglichen Gebrauch. Zahlreiche Häuser des Siedlungszentrums stehen auf den Mauerringen, die jetzt nicht mehr benutzt wurden, wobei teilweise die Strukturen des alten hethitischen Tores wiederverwendet wurden. Eine Brandschicht bedeckt an verschiedenen Punkten die Straten der Periode III und es ist möglich, daß es sich auch in diesem Fall um ein zerstörendes Ereignis handelte. Dieser Periode ist ein großes rechteckiges Gebäude zuzuschreiben, das als Palast angesprochen wird; es besteht aus einer monumentalen Mauer von 1,60 m Dicke und ist auf einem Steinfundament erbaut worden³¹. Die Keramik zeigt keinen Bruch mit der Periode IV und die typologischen Vergleiche kann man größtenteils zu dem zentralanatolischen Gebiet, aber auch zu dem assyrischen Bereich herstellen.

Die Periode II ist die vielleicht am wenigsten bekannte auf dem Arslantepe. Die architektonischen Reste zeigen Ausschnitte von Gebäuden und Strukturen, die nur teilweise erhalten sind³². Unter der Keramik, die im wesentlichen die Tradition der vorhergehenden Periode fortsetzt, fällt nun eine scheibengedrehte Ware mit roter Oberfläche auf, mit einer Typologie, die begrenzte Vergleichsmöglichkeiten auch außerhalb der Region von Malatya-Elazığ findet, sich insgesamt aber in den Rahmen der rot überzogenen Waren, welche die Eisenzeit charakterisieren, einreih³³.

In den historischen Quellen erscheint der Name der Stadt von Malatya das erste Mal in den Texten von Boğazköy in der Form von *Mal(i)dija* im Zusammenhang mit den Territorien von *Išuwa*, *Pahhuwa* und der Stadt von *Zuhma*, die damals also unter der Kontrolle der Herrscher des

²⁸ Pecorella 1975: 6-8.

²⁹ Pecorella 1975: 32-35.

³⁰ Pecorella 1975: 67.

³¹ Puglisi, Meriggi 1964: 25-30; Pecorella 1975: 8-24.

³² Pecorella 1975: 25-29.

³³ Pecorella 1975: 38-45.

hethitischen Großreichs gestanden haben müssen³⁴. Während der Regierungszeiten von Adad-nirari I und Shalmanassar I von Assyrien ist *Malitija* ein Grenzgebiet zwischen dem assyrischen und hethitischen Königreich. Unter der Regentschaft des assyrischen Königs Tiglat-pileser I (1114-1076 v. Chr.) wird Malatya dazu verpflichtet einen Tribut zu zahlen. Mit einer zweiten Expedition unterwirft Tiglat-pileser den König Allumari von Malatya, indem er die Territorien von *Isuwa* und *Suhme* erobert. Aber erst unter Shalmanassar III (858-824 v. Chr.) wird der assyrische Druck auf Malatya (*Melidu*) sehr stark. Er unterwirft einige syrische Königreiche einschließlich dem von Lalli "von Malatya" und für fast ein Jahrhundert dominiert der assyrische Einfluß auf Malatya. Die Kontrolle dieses Territoriums wird nach den Assyern von den Urartäern übernommen. Menua von Urartu (810-786 v. Chr.) erreicht tatsächlich Malatya (*Melité*), nachdem er die Stadt von *Šebeteria* (Palu) und das Territorium von *Supa* (Sophene) erobert hat, wo er den König der Stadt (Malatya) zur Zahlung eines Tributes zwingt. Der Nachfolger, Argišti I (786-764 v. Chr.), greift das Gebiet von Hatti und das des Königs Hilaruada an, der im nachfolgenden Königreich als König von Malatya benannt wird. Es ist wahrscheinlich, daß die urartäischen Unternehmungen in dieser Region darauf ausgerichtet sind die Kontrolle über den Euphratübergang zu erhalten. Fast zwanzig Jahre später greift Sarduri II (764-735 v. Chr.) erneut Hilaruada von Malatya an, wobei er ihn zur Zahlung eines Tributes zwingt und in der Folgezeit gleichzeitig neun befestigte Zentren des Landes erobert, wodurch er die urartäische Vorherrschaft in Nordsyrien erleichtert. Indem Sarduri die Kontrolle über Malatya und *Kummuh* erhält, unterstützt er eine anti-assyrische Allianz zwischen Urartu und dem nordsyrischen Königreich von *Arpad*. Unter den Namen der Herrscher, die an dieser Koalition teilhaben, befindet sich auch derjenige des Sulumal von Malatya. Es ist sehr wahrscheinlich, daß diesem König selbst für diese Beleidigung von dem assyrischen König Tiglat-pileser III vergeben worden ist, wenn sein Name noch in den Listen der tributpflichtigen Könige in den Jahre 738 und 732 v. Chr. erscheint.

Im Jahre 712 v. Chr. erhebt sich Tarhunazu von Malatya, der von Sargon II von Assyrien (721-705 v. Chr.) auf den Thron gesetzt worden war, nachdem er Gunzinanu abgesetzt hatte. So kreisen die assyrischen Truppen Malatya ein³⁵, und Tarhunazu ist gezwungen Zuflucht in der Stadt von *Til-garimmu* zu suchen. Aber der Herrscher wird trotzdem gefangengenommen und nach Assyrien deportiert. Als weitere Reaktion wird die Stadt *Til-garimmu* zu einer Provinz reduziert und von assyrischen Kolonien besetzt. Im Jahre 708 v. Chr. ist Malatya erneut unter assyrischer Kontrolle. Wahrscheinlich muß die kolossale Statue des Königs Mutallu von *Kummuh*, die bei dem Löwentor ans Tageslicht gebracht wurde und die heute im Museum für anatolische Kultur in Ankara ausgestellt ist, dieser Periode zugeschrieben werden; außerdem fügt sich in diesen historischen Kontext der Fund eines Inschriftenfragments ein, dessen Text vom Inhalt her den Annalen Sargons II ähnelt und einen greifbaren Beweis für den assyrischen Einfluß darstellt³⁶.

Es ist nicht klar, ob die Stadt nach dem Tode Sargons unter ständiger assyrischer Kontrolle war, sicher war sie jedoch Gegenstand militärischer Expeditionen mit unsicherem Ausgang, von denen eine unter Sennacherib im Jahre 695 v. Chr. unternommen wurde und eine andere im Jahre 645 v. Chr. unter der Regentschaft von Esarhaddon gegen den König Mugallu von Malatya ging.

Nach der assyrischen Eroberung geht die Stadt einem langsamen Untergang entgegen, so daß die zweite Hälfte des ersten Jahrtausends v. Chr. in der Siedlung nicht deutlich dokumentiert ist³⁷.

Der spätrömische Horizont, Periode I. Die römischen Zeugnisse auf dem Hügel stammen von einer Besiedlung bescheidenen Ausmaßes. Es handelt sich um ein ländliches Dorf ohne irgendeine

³⁴ Die historischen Quellen über Malatya sind zusammengefaßt in: Hawkins 1993.

³⁵ Puglisi, Meriggi 1964: 27.

³⁶ Castellino 1975.

³⁷ Puglisi, Meriggi 1964: 31.

Art der Befestigung. Außerdem ist es wahrscheinlich, daß der Hügel während dieser Periode wiederholt verlassen wurde.

Also ist der Arslantepe ein Dorf, das scheinbar seine maximale Ausdehnung zwischen dem IV. und VI. Jahrhundert n. Chr. erreichte. Der größte Teil der aufgefundenen Strukturen ist diesem Zeitraum zuzuschreiben. Die Siedlung entwickelt sich in der nordöstlichen Zone des Hügels auf Terrassierungen, die schon in der späthethitischen Epoche angelegt worden waren. Der Kern der Siedlung besteht aus einem gepflasterten offenen Hof, um den herum sich andere Räume anordnen, die als Wohnung oder für handwerkliche Aktivitäten genutzt wurden. Es handelt sich überwiegend um rechteckige Räume mit zwei Zimmern, die mit häuslichen Einrichtungen ausgestattet sind. Die architektonischen Einheiten sind ohne städtischen Plan nebeneinandergesetzt und die eine neben die andere gestellt und sie weisen eine typisch anatolische Bautechnik auf. Die Keramik besteht insbesondere aus der Gebrauchskeramik. Daneben treten aber auch Fragmente einer glasierten Ware aus byzantinischer Zeit oder einer nachfolgenden Epoche auf³⁸.

Die Spuren dieser Periode in der südwestlichen Fläche des Tells sind auch hier nur von bescheidenem Umfang und betreffen häusliche Räume, die auf terrassierten Flächen erbaut wurden. Über diesen Strukturen wird ein ausgedehntes Gräberfeld aus einer sicher post-römischen Epoche angelegt; es besteht aus einfachen Grabgruben, die im allgemeinen nur eine einzelne Bestattung ohne Grabbeigaben enthielten. Diese Nekropole stellt die letzte Besiedlungsphase, die in dieser Zone des Hügels klar zu definieren ist, dar³⁹.

Im VII. Jahrhundert wird die Siedlung zerstört und dieses Ereignis ist wahrscheinlich der sassanidischen Invasion des Jahres 608 n. Chr. zuzuschreiben. Die Siedlung zeigt keinerlei Kontinuität mit der nachfolgenden islamischen Präsenz⁴⁰.

Die Nachrichten, die die Romanisierung des östlichen Anatolien während der ersten Hälfte des ersten Jahrhunderts n. Chr. betreffen, sind sehr dürftig. Kappadokien und allgemein die östlichen Gebiete des römischen Imperiums bleiben gewöhnlich immer Territorien von vorwiegend militärischem Interesse. Zur Zeit des Kaisers Titus wird entlang der Grenze in der Nähe des Euphrat die XII Legion *Fulminatrix* garnisoniert. Aber die römische Stadt, die ursprünglich ein kleines Zentrum bei dem militärischen Feldlager war, entsteht 4 km nordöstlich des antiken späthethitischen Zentrums von *Melid* (Arslantepe) unter dem Namen *Melitene* und liegt damit in der Nähe des heutigen Eski Malatya. Aufgrund seiner strategischen Lage erlangt *Melitene* unter Trajan das Stadtrecht⁴¹. So verliert die Siedlung auf dem Arslantepe ihre Bedeutung in dieser Periode, wodurch sie im wesentlichen nur noch als ein randliches Zentrum belegt ist.

Spuren einer islamischen Siedlung. Die Ausgrabungen von Delaporte im Jahr 1932 haben die rechteckige Plattform eines türkischen Palastes auf der Spitze des Tells ans Licht gebracht. Infolge der Ausgrabung des Löwentors wurde diese Struktur teilweise entfernt. Die italienischen Forschungen auf dem Hügel haben keine strukturellen Schichten der islamischen Epoche ergeben, dennoch gibt es zahlreiche glasierte Waren, die dieser Epoche zugeschrieben werden können. Insbesondere durch die typologischen Charakteristika ist es möglich diese Keramik einem Zeitraum zwischen dem Ende des XII. und dem Beginn des XIII. Jahrhunderts zuzuweisen⁴².

³⁸ Schneider Equini 1970.

³⁹ Palmieri 1973: 60-62.

⁴⁰ Schneider Equini 1970: 58.

⁴¹ Schneider Equini 1970: 7-10.

⁴² Puglisi, Meriggi 1964: 39-41; Schneider Equini 1970: 58.

3.2. DIE ERSTEN ARCHÄOLOGISCHEN ZEUGNISSE DER PERIODE V

Die Ausgrabungen von 1968 in der nordöstlichen Fläche des Hügels brachten zum ersten Mal prähethitische Schichten zum Vorschein, und bei dieser Gelegenheit wurden die vorgeschichtlichen Perioden V, VI und VII definiert, die der schon aus den vorangegangenen Grabungen bekannten chronologischen Abfolge des Tepes hinzugefügt werden müssen⁴³. Die Periode V wurde anfangs als in weiten Teilen gleichzeitig mit der altassyrischen Kolonie des *karum*-Kaniş von Kültepe angesehen. Die Keramik der jüngeren Phase (Va)⁴⁴ ist durch verzierte Waren mit roten Bandmotiven gekennzeichnet, die einfache geometrische Motive bilden⁴⁵. In der Phase Vb wird das Vorhandensein der mit roten Bändern verzierten Waren bestätigt. In dieser Schicht treten tatsächlich "einige Bruchstücke der scheibengedrehten gelb-rosaroten Ware auf, aus gereinigtem Ton bestehend mit einer aufgemalten Verzierung aus roten Bändern, die in einfachen geometrischen Motiven angeordnet sind. Es handelt sich dabei um einen Typ, der sich dann in großer Zahl in der Schicht Va wiederfindet.

Eine solche Verzierung findet im einzelnen einen Vergleich im *karum* Ib und stellt dort eines derjenigen Elemente dar, das den bemerkenswerten Unterschied zwischen dieser Schicht und der vorhergehenden Schicht II, in der die kappadokische Keramik fortbesteht, unterstreicht. Die beschriebene Verzierung aus roten Bändern wurde als kennzeichnend für eine keramische Klasse angesehen, die mit der Habur-Ware verbunden ist⁴⁶. Aber die sogenannte "kappadokische" Keramik wurde auch auf Arslantepe 1968 gefunden, wo sie jedoch aus Zusammenhängen der Periode VI stammte⁴⁷. Es handelt sich um ein Fragment mit einer bichromen Verzierung, "auf dem ein Schachbrettmotiv neben einer Sanduhrverzierung steht"⁴⁸.

In den Jahren 1969-70 wurden die Ausgrabungen in der nordöstlichen Fläche des Tepes fortgesetzt, wobei die untersuchten Zonen erweitert wurden; gleichzeitig wurden andere Schnitte geöffnet. Im Nordosten wurde dabei bemerkt, daß sich "die Ablagerungen der Schicht Vb über einem dünnen schwarzen Stratum von 1-2 cm Dicke befinden, was an verschiedenen Punkten der gesamten Ausdehnung der Schicht beobachtet werden konnte; ausgehend von dem Ende der Frühbronzezeit handelt es sich dabei wahrscheinlich um eine Periode, in der der Hüyük verlassen wurde"⁴⁹. Die Existenz dieses dünnen, schwarzen Stratums zwischen der letzten Schicht der Periode VI und der Schicht Vb, das entlang eines großen Teils des nordöstlichen Hügelhanges sichtbar ist, würde eine Oberfläche bezeugen, die im Altertum über lange Zeit der Witterung ausgesetzt war. Die Wiederbesiedlung während der Phase Vb weist monumentalen Charakter mit einem Stadttor auf, das von einer aus Erde aufgeschütteten Mauer flankiert wird; ferner gibt es Kanalisations- und Entwässerungssysteme⁵⁰.

In den Jahren 1971, 1972 und 1973 konzentrierten sich die Untersuchungen völlig in der südwestlichen Fläche. Man dokumentierte Schichten und Strukturen der Periode V, die durch die Ausgrabung stratifizierter Ablagerungen mit größerer Genauigkeit definiert wurde. So konnten zwei Phasen voneinander unterschieden werden und man konnte detaillierter die Zugehörigkeit der älteren Phase der Schicht V zu einer Mittelbronzezeit II sowie der jüngeren Phase zur Spätbronzezeit I klären.

⁴³ Palmieri 1969a.

⁴⁴ Zu dieser Zeit bezeichneten die kleinen Buchstaben in alphabetischer Reihenfolge die Schichten innerhalb einer Periode, wobei von der jüngsten zur ältesten vorgegangen wurde.

⁴⁵ Palmieri 1969a: 99, Abb. 1.

⁴⁶ Palmieri 1969b: 64, Abb. 35.

⁴⁷ Palmieri 1969a: 100; 1969b, Abb. 22, 1.

⁴⁸ Palmieri 1969b: 35.

⁴⁹ Palmieri 1970: 203-205.

⁵⁰ Palmieri 1969b: 60-65; 1970; 1973: 55-57; bezüglich der sedimentologischen Probleme des Tells vgl.: Palmieri, Cellai 1983.

3. Das Periodisierungssystem von Arslantepe

Die kennzeichnende Struktur der älteren Phase der Periode V (Mittelbronzezeit II) ist A58. Es handelt sich um einen Raum mit quadratischem Grundriß, in dessen Mitte sich eine monumentale doppelte Herdstelle befindet, die aus Lehm auf einer runden Plattform geformt wurde. Die Keramik, die aus A58 stammt, ist hauptsächlich durch große Gefäße für die Nahrungsmittelaufbewahrung charakterisiert. Darunter befindet sich als kennzeichnende Form ein "bottichtartiges" Gefäß mit ovaler Mündung, das handgemacht ist. Der Rest des Geschirrs ist überwiegend scheibengedreht. Die zahlreichen aufgefundenen Webgewichte könnten an einen Raum für handwerkliche und/oder häusliche Tätigkeiten denken lassen⁵¹. Einige Bruchstücke, die in dieser Ablagerung entdeckt wurden, kommen in den mittelbronzezeitlichen Schichten von Tepecik, vom Norşun Tepe *Horizont V* (Mittelbronzezeit) und in der Mittelbronzezeit II vom Korucutepe vor⁵². Die neuesten Ausgrabungen in İmamoğlu fügen neue vergleichbare Elemente für dieses Material aus A58 hinzu⁵³.

1987 und '88 wurde auf einer ausgedehnten Fläche der südwestlichen Zone des Tepes eine stratigraphische Abfolge ergraben, die den Übergang von der Frühbronzezeit III zur Mittelbronzezeit I anzeigt⁵⁴. Die jüngsten Schichten, die der Mittelbronzezeit angehören, wurden teilweise entfernt oder durch mehr als etwa hundert Gruben stark beschädigt. Man konnte aber trotzdem Schichten mit einem besseren Erhaltungszustand erkennen. Es handelt sich im wesentlichen um eine lange Reihe von Fußböden aus verstrichenem Lehm, deren größter Teil das Vorhandensein zahlreicher kleiner Löcher offenbart hat, wahrscheinlich durch Holzpflocke hervorgerufen, die wiederholt in den Fußboden hineingesteckt wurden. In verschiedenen Fußbodenniveaus konnten längliche, leicht eingetiefte Gruben beobachtet werden, die angefüllt waren mit kleinen Blöcken aus grünlichem, reinem Lehm. Wahrscheinlich dienten diese Bereiche der Herstellung von Tonartefakten und/oder der Keramikproduktion⁵⁵. Die vorherrschende Ware besteht aus einer scheibengedrehten Keramik mit rotem oder schwarzem poliertem Überzug, der teilweise geglättet ist, und die überwiegend Schüsseln mit geknickter Schulter aufweist. Eine weitere Ware, die in diesen Schichten belegt ist, und die schon bei den Ausgrabungen in der nordöstlichen Fläche des Tells angetroffen wurde, ist eine lokale Variante der sogenannten *Habur Ware*, das heißt eine scheibengedrehte Keramik, die mit roten parallelen Bändern verziert ist. Außerdem sind bemalte Waren mit Verzierungsmustern, die der "kappadokischen" Keramik eigen sind, aber auch mit mehr östlichen Kennzeichen, insbesondere aus der Zone des Van-Sees, aus Urmia und aus Transkaukasien, vorhanden⁵⁶.

Im allgemeinen hat diese Periode nur wenige architektonische Reste mit stark gestörten Schichten geliefert. Gleichzeitig war es aber möglich eine lange stratigraphische Abfolge zu beobachten, die eine entscheidende Periode für den Übergang der lokalen Entwicklung von der Frühbronzezeit III zu den Phasen der hethitischen Eroberung und des hethitischen Einflusses beinhaltet. Aus diesem Grund ergab sich die Notwendigkeit, die bruchstückhafte Erhaltung und Dokumentation der Befunde in dieser Schicht einer detaillierten stratigraphischen Analyse zu unterziehen, mehr als bei anderen, besser erhaltenen Schichten mit einer großen, zusammenhängend ergrabenen Siedlungsfläche.

⁵¹ Palmieri 1973: 74-77.

⁵² Palmieri 1973: 78-80.

⁵³ Uzunoğlu 1987: 217, Abb. 1, vgl. Palmieri 1973: Abb. 26, 6. Es handelt sich um das Gefäß mit ausladendem Bauch, das mit aufgesetzten Leisten verziert ist, die eckige Motive mit eingeschlossenen Segmenten bilden: Palmieri 1973: 79-80.

⁵⁴ Palmieri, Frangipane 1989: 191-201.

⁵⁵ Palmieri, Frangipane 1989: 191-192.

⁵⁶ Palmieri, Frangipane 1989: 192.

4. STRATIGRAPHIE UND ARCHITEKTUR

4.1 EINE DARSTELLUNGSMETHODE DER MITTELBRONZEZEITLICHEN SEQUENZ: DAS STRATIGRAPHISCHE DIAGRAMM

Die Grabungsmethode auf Arslantepe paßte sich der Strategie einer ausgedehnten Ausgrabung an. Die Hauptziele waren, jede horizontale Schicht zu erkennen und die einzelnen stratigraphischen Ereignisse, sowie ihre Abfolge, genau zu dokumentieren. Diese Methode erwies sich für den Charakter der Siedlung als mehrschichtiger Hügel mit monumentalen Bauphasen und gegliederter urbaner Anlage als optimal.

Die Abfolge der Mittelbronzezeit, die in dem südwestlichen Areal des Tells nahe der Oberfläche lag, war wegen der auf die erste Ablagerung folgenden Ereignisse stark beschädigt. Die Erosion und die Umlagerung des Bodens, wie z.B. die Anwesenheit der zahlreichen, tief eingegrabenen Gruben und die aufeinanderfolgenden Gebäude zeigen, haben die Interpretation des Siedlungsplans erschwert.

Die ausführliche Aufnahme jeder stratigraphischen Einheit hat trotzdem die Möglichkeit geboten, diese Informationen zu bearbeiten, und die einzelnen horizontal- und vertikalstratigraphische Beziehungen der erhaltenen Reste zu verwerten. Die Ausgrabung orientierte sich an dem sogenannten Harris-System. Am Anfang der 70er Jahre legte Edward Harris als Erster fest, was unter Stratifikationseinheiten zu verstehen ist. Dies ist eine Methodik, die im idealen Fall die kulturellen Schichten in rückwärtiger Folge ihrer Deponierung aufdeckt. Die Bearbeitung dieser Daten führt zur Erstellung der Stratigraphie einer Grabung¹, in der eine weitere Variable auffällt: die Zeit. Jede Schicht ist eine Einheit, die sich durch ihre physikalischen, dreidimensionalen Beziehungen beschreiben läßt. Die ausgegrabenen Einheiten können auf diese Weise miteinander korreliert werden, und Raum-Zeit Verbindungen offenlegen.

Die Grundbegriffe einer archäologischen Sequenz sind hauptsächlich: die *Stratigraphie*, als beschreibende Analyse der Stratifikationseinheiten, die den kleinsten erkennbaren Teil eines Fundortes darstellen; die *Stratifikation*, als Ergebnis der Aktivitäten von Menschen und der Natur; sie ist als Abfolge der Ablagerungen der Stratifikationseinheiten belegt. Schließlich gibt es den Begriff *stratigraphische Abfolge*. Sie bestimmt die relative Chronologie eines Fundortes, wie sie von der Stratifikation beobachtet wird².

Die Stratigraphie der Mittelbronzezeit anhand der Kampagnen in den Jahren 1987-88, werden in der klassischen Darstellungsmethode, der sogenannten Harris-Matrix, schematisiert. Die Diagramme werden für jedes Grabungsquadrat aufgebaut und dann untereinander korreliert. Es ist so möglich, die Tabelle durch senkrechte (chronologische Sequenz) und waagerechte Linien (Gleichzeitigkeit) zu lesen. Die Besonderheiten jedes Grabungsareals werden in diesem Fall

¹ Harris 1975; 1979a; 1979b; Barker 1977; Carandini 1981; Harris, Brown III, Brown (eds.)1993.

² Die Beziehung der einzelnen Stratifikationseinheiten sind durch vier Grundsätze geregelt, drei von ihnen werden von der Geologie ausgeliehen, während der vierte Satz die archäologischen Lagen beschreibt. Es handelt sich um: a) *Law of Superposition*; b) *Law of Original Horizontality*; c) *Law of Original Continuity*; d) *Law of Stratigraphical Succession*. Für die Definitionen und die Anwendungsmethoden vgl.: Harris 1975: 110, 113-119; 1979b: 112-113.

getrennt erhalten. Dieses System erleichtert die Lokalisierung einzelner Einheiten, auch wenn sie fragmentarischer sind.

Das abgebildete Diagramm (Abb. 4.1) faßt die Sequenz der stratigraphischen "Aktivitäten" zusammen, und zwar jedes archäologischen Kontextes, der von geschlossenen, archäologischen Befunden mit mehreren Stratifikationseinheiten dargestellt wird³. Anhand der stratigraphischen Sequenz kann zuerst die Periodisierung durchgeführt werden, um dann mit der Analyse des archäologischen Materials verglichen zu werden. Durch die Stratigraphie ist es möglich, eine relative Chronologie, unabhängig von der Auswertung der Keramik, zu erhalten, aber nur die Kombination der stratigraphischen Sequenz mit der Analyse des Fundmaterials wird völlige Kenntnis der archäologischen Kontexte bieten können. Der Zweck ist, die stratigraphischen Daten eines Fundortes, oder eines Grabungsareals, in einem konsequenten, zusammenfassenden Schema zu kombinieren.

Das Grabungsareal der Kampagnen der Jahre 1987-88 liegt am südwestlichen Hang des Hügels und umfaßt 254 m² ausgegrabene Fläche (Abb. 4.2). Es grenzt nach Norden an die alten und tiefen Schnitte, die in den 50er Jahren von Claude Schaeffer auf der Kuppe des Tells freigelegt wurden. Die Areale nach Süden und Westen haben nur wenige Daten vom Anfang des zweiten Jahrtausends erbracht. Dieser Sektor lag damals an einer steilen Stelle entlang des Hügelabhanges. Heute hat dieser Ort durch Erosion und die Bodenentnahme gelitten.

Das Meßnetz der Grabung ist in 20 m-Quadrate eingeteilt, deren Koordinaten von West nach Ost mit Buchstaben und Nord nach Süd mit Ziffern bezeichnet sind. Jedem Sektor gehören 16 Quadrate an, sie messen 4x4 m bei 1 m breitem Zwischensteg⁴. Die Sektoren, die wir auf den folgenden Seiten betrachten werden, sind D8 und E8, insbesondere die Quadrate: D8(7), D8(8), E8(5), E8(6), E8(9), E8(10), E8(11), E8(13), E8(14).

Die Großbuchstaben bedeuten jeweils: A=Raum, K=Grube (*kuyu*), M=Mauer, E=Element, B=Pfostenloch, P=Fußboden, S=Bestattung. Die folgenden Ziffern bezeichnen den archäologischen Herkunfts-komplex, und sie wurden fortlaufend für die ganze Ausgrabung vergeben. Einzelne Ziffern, denen manchmal Kleinbuchstaben in Kursivschrift folgen, entsprechen den Stratifikationseinheiten mit positiven Erdablagerungen (das heißt: Auffüllungen und verschiedene Aufhäufungen) und der Angabe des feinstratigraphischen Schichtenverlaufes⁵. Weitere Abkürzungen erfassen Herde (Fc), Grundierungen des Fußbodens (Pr) und *Locus* (Lc). Dieser Letztere bezeichnet archäologische Komplexe mit unbestimmbarer Funktion.

Die griechischen Buchstaben geben einen besonderen Bereich des Grabungsquadrates an. Obwohl das Diagramm auf Kriterien der Überlagerung und Gleichheit jeder Stratifikationseinheit aufgebaut ist, faßt das Schema, wie wir schon erwähnt haben, die Korrelierung der archäologischen Komplexe zusammen, und nicht jede Einheit der Stratigraphie. Einige Wiederholungen bekräftigen wichtige stratigraphische Beziehungen.

³ Für die Definitionen der Stratifikationseinheiten, Aktivitäten und Periode, vgl.: Carandini 1981: 202-207.

⁴ Die Zwischenstege bieten ein Standardsystem der graphischen Dokumentation der Profile. Sie treten als Festpunkte für die ganze Ausgrabung hervor, und die Dokumentation kann ständig neu bearbeitet werden. Erst wenn das endgültige Profil gezeichnet ist, wird der Zwischensteg abgebaut. Das ermöglicht Gleichheiten und stratigraphische Korrelierungen der anliegenden Quadrate festzustellen. Was nicht in den Zwischenstegen liegt, wird durch die sogenannten *cumulative sections* erkannt. Für diese Aspekte vgl.: Barker 1977: 78-83.

⁵ In zahlreichen Fällen sind homogene Erdanhäufungsschichten sehr dick, künstliche Unterteilungen vermeiden das Risiko eines unangebrachten Durchstoßens der Schichten, während man ausgräbt. Ferner bieten sie eine sorgfältigere Unterscheidung des Materials innerhalb einer einzigen Stratifikationseinheit.

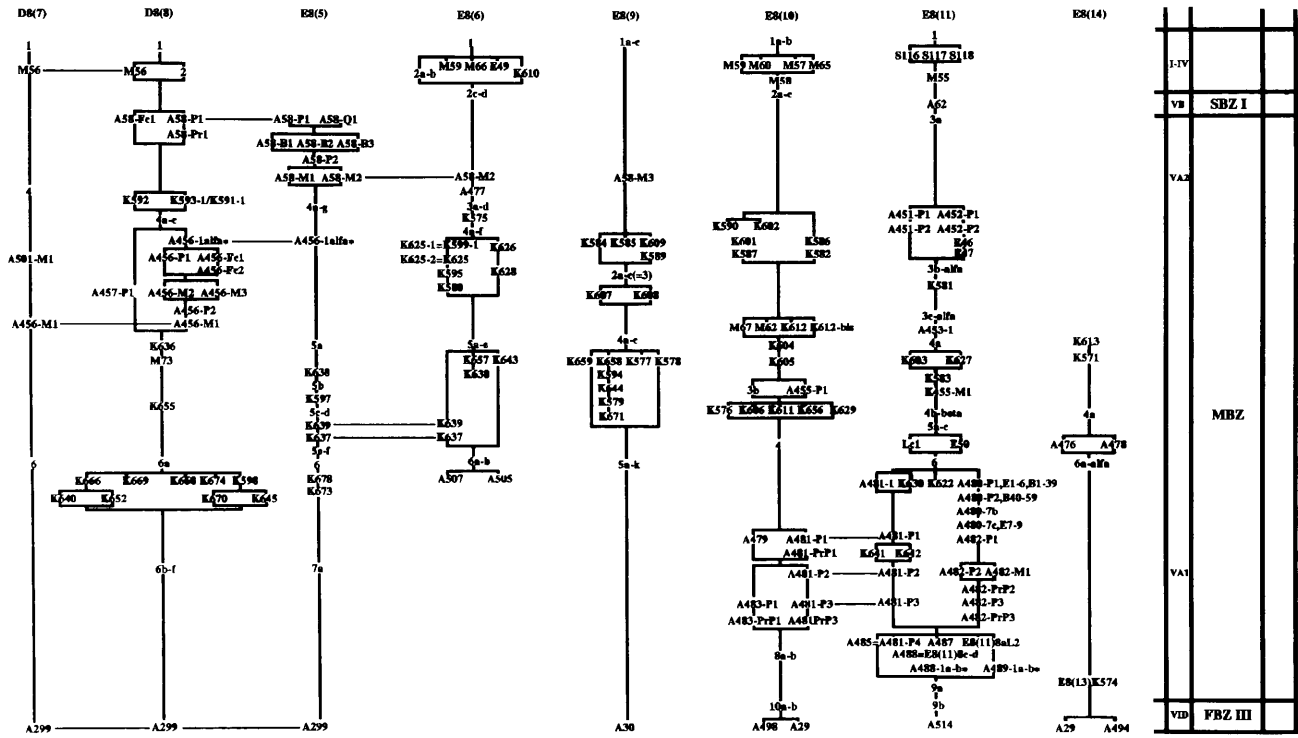


Abb. 4.1 - Diagramm der Stratigraphie der Mittelbronzezeit.

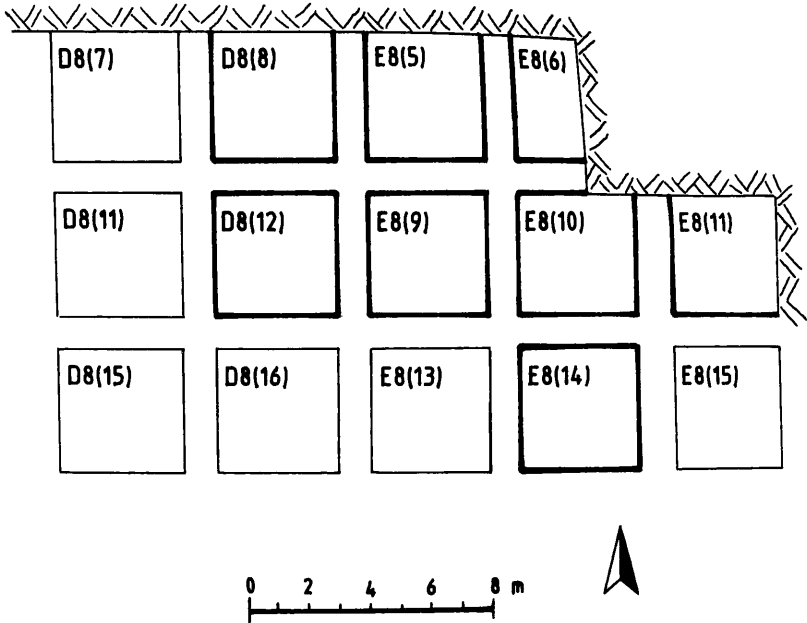


Abb. 4.2 - Schema des Grabungsareals anhand der Kampagnen der Jahre 1987-88.

4.2 DIE STRATIGRAPHIE UND DIE GRABUNGSKONTEXTE

Indem wir dem stratigraphischen Diagramm folgen, versuchen wir die Stratifikation der Befunde in der Mittelbronzezeit zu beschreiben. Danach werden die wichtigsten ergrabenen Kontexte betrachtet.

Nach der Ausgrabung der Schicht I an der Oberfläche sind die ersten erkennbaren Komplexe jene der Periode I-IV des Arslantepe. Der auffälligste Befund ist der römisch-byzantinischen Phase zugeordnet. Insbesondere sind die zahlreichen Spuren der Terrassierungsmauern (M55, M56, M57, M58, M59, M60, M65, M66, E49) deutlich hervorgehoben, die Schichten der Mittel- und Spätbronzezeit bedecken und zum Teil schneiden. Es handelt sich um Trockensteinmauern, von denen eine oder zwei Steinläuferverbände noch *in situ* erhalten sind. Das Aufgehende, und im Fall der Mauer M56 besteht deutlich eine enge, stratigraphische Beziehung, ist möglicherweise mit der mit Platten bedeckten Straße A64 zu verbinden, die in D7(15) D8(3) liegt⁶. In E8(11), ein bißchen jünger als diese Terrassierungsanlagen, sind drei nachrömische Bestattungen (S116, S117, S118) erkennbar⁷.

Unter diesen Strukturen der Periode I-IV mit schlechter Erhaltung liegen Befunde der Spätbronzezeit I (Periode VB), die schon am Anfang der 70er Jahre beobachtet und ausgegraben worden sind.

Wir möchten an den viereckigen Raum, A62, erinnern. Dieser ist nur zum Teil in dem Quadrat E(11) freigelegt.

⁶ Palmieri 1973: 62.

⁷ Palmieri 1973: 60-62, Abb. 8-9.

Der Fußboden ist von grünlichem Verputz bedeckt und die Grundrißmauern bestehen aus Lehm und Gestein. Möglicherweise gehörte dieser Raum, der durch Brand zerstört worden ist, zu einem ausgedehnteren Gebäude; die Erosion des Hanges nach West hat jedoch alle Spuren ausgelöscht⁸.

In den anliegenden Quadraten E8(10), E8(9) und E8(6) bedecken die Auffüllungsschichten die jüngeren Strukturen der Mittelbronzezeit.

Der erste Befund der Periode VA besteht aus dem viereckigen Raum A58, zu dem ein monumentaler Herd in der Raummitte gehört. A58 wurde hauptsächlich in den Quadraten D8(4), D8(8), E8(5), E8(9) und D8(12) erfaßt. Der darunterliegende Raum, A456, ist auch viereckig, aber von kleinerer Dimension mit einer kreisförmigen Herdstelle, die in diesem Fall unmittelbar an der nördlichen Grundmauer liegt. Die Struktur ist nur zum Teil erhalten. Mit ihr verbindet sich der Raum A457, welcher höchstwahrscheinlich eine außenliegende Begehungsfläche darstellt. Als Außenbereich, vermutlich einen Weg, sind die Spuren von A477 in E8(6) zu interpretieren, sie liegen unter A58 und sind gleichzeitig mit A456. Es ist zu berücksichtigen, daß die Auffüllungsschichten und die zahlreichen Gruben in den Quadraten E8(6), E8(9) und E8(10) die einzigen erkennbaren Komplexe vor der Anlage des A58 darstellen. In E8(11), gleichzeitig mit der Nutzung des A456, sind die zwei anliegenden Räume, A451 und A452, mit Spuren einer Trennwand zu verzeichnen. Mit diesen Strukturen verbinden sich isolierte kreisförmige Elemente, E46 und E47, die aus Verputz auf einer Kieselschicht bestehen; möglicherweise sind sie als zwei Herde zu interpretieren.

In dem Quadrat E8(10) befinden sich zwei isolierte Mauern, M62 und M67, und der Raum A453; sie stehen in Verbindung zu der Anfangsbauphase von A456. Die Mauern M62 und M67 sind gerade und bestehen aus nur einer Steinreihe. Schließlich, ist A453, in den Quadraten E8(10) und E8(11), eine Außenfläche zu berücksichtigen.

Hier erfolgt eine Änderung in der stratigraphischen Sequenz. Alle Komplexe unterhalb der A456-Linie sind durch eine mächtige Grubenfolge und durch Auffüllungsschichten charakterisiert, außer einigen isolierten Fällen, wie der Mauer M73 in D8(8) und den Fußbodenflächen A505 und A507 in E8(6). Dieses Ereignis läßt sich über eine ausgedehnte Fläche, etwa 115 m², verfolgen und umfaßt die Quadrate D8(7), D8(8), E8(5), E8(6) und E8(9). In E8(10), E8(11) und E8(14), erscheint eine mächtige Fußbodenabfolge, A455, A476, A478, A480, A481, A482, A479, A483, A488, A489, die wahrscheinlich als Folge handwerklicher Tätigkeiten anzusehen ist. Gruben und Erdschichten wechseln einander ab, aber sie stellen kurze stratigraphische Ereignisse dar. Diese Fußböden liegen auf Auffüllungsschichten und bedecken alle Aufbauten der Frühbronzezeit III B-C, Periode VID. In der ganzen Sequenz der Mittelbronzezeit des Arslantepe sind mindestens zwei Phasen gut erkennbar. Beide finden, wie wir nachher sehen werden, eine Bestätigung auch durch die Keramikanalyse. Die erste und älteste Phase (VA₁) umfaßt eine Fußbodenabfolge, welche keine tatsächlich geschlossenen Befunde aufweist. Gleichzeitig ist auf einer ausgedehnten Fläche keine wirkliche Besiedlung dokumentiert, sondern nur die Anwesenheit zahlreicher Gruben. Während einer zweiten Phase (VA₂) werden die Räume A456 und A58 auf derselben unbesiedelten Fläche angelegt. Wo die Fußbodenabfolge lag, gab es lückenhafte Spuren von Aufbauten. In dieser jüngeren Phase dehnen sich die Außenräume in die Mittelzone der Ausgrabung aus. Möglicherweise hat dieser Bereich eine Veränderung der Benutzung zwischen den zwei Phasen erfahren. Wenn auch komplex, ist die stratigraphische Sequenz gut erkennbar, aber dies gilt nicht für die einzelnen Strukturen. Die ganze Stratigraphie der Periode VA ist das Ergebnis einer intensiven Tätigkeit von Erosion, Zerstörung und Auffüllung, die eine starke Veränderung der aufgehenden Anlagen ergeben hat. Die Erhaltung ist meistens sehr schlecht, und nur selten, wie bei den Räumen A58 und A456, ist es möglich die Grundrisse und die Inneneinrichtung zu identifizieren. Nur in einem Fall, A58, wurde das Material *in situ* gefunden, d.h. die Keramik und andere Funde wurden nur hier auf dem Fußbodenfläche nachgewiesen. In allen anderen Fällen gibt

⁸ Palmieri 1973: 65, 79, Abb. 12.

es keine direkte Verbindung zwischen Fundmaterial und Architektur; in der Tat haben wir die Keramik vor allem in den Auffüllungsschichten der Räume gefunden (vgl. Beilage 1).

4.3 DER RAUM A58 (PHASE VA₂)

Der viereckige Raum A58 (Abb. 4.3-4) erstreckt sich über die Quadrate D8(4), E8(1), D8(8), E8(5), E8(9) und D8(12). Es ist die einzige gut erhaltene Struktur der Mittelbronzezeit von Arslantepe, sie ist mit einem Herd in der Raummitte und mit zahlreichen Vorratsgefäßen versehen, die noch *in situ* zum Vorschein gekommen sind.

Raum A58 wurde in der Grabungskampagne 1973 ganz freigelegt, und Alba Palmieri bot damals eine detaillierte Beschreibung dieser Anlage auf Italienisch.

"Tale ambiente [...] è delimitato da muri in pietra dello spessore di m 1,15 che sono impostati secondo la tecnica del terrazzamento, intaccando i preesistenti livelli della fase finale dell'Antica Età del Bronzo (A30). L'ambiente, che doveva originariamente misurare in pianta m 9 x 9, è stato a sua volta tagliato ad ovest e a sud dalla strada lastricata A64 e da altre strutture di età romana o successive. Il taglio della strada sembra aver determinato un cedimento dei depositi intaccati, tali da provocare il distacco dal muro perimetrale di nord-ovest di A58 dell'intonaco pavimentale. La costruzione è stata distrutta da un incendio che ha portato al crollo della parte superiore dell'alzato, costituita da mattoni crudi; infatti un deposito composto in buona parte da mattoni crudi combusto e disfatti ricopriva il piano pavimentale ed il materiale ritrovato in posto. Lo zoccolo in pietra dei muri perimetrali, discretamente conservatosi, appare essere stato costruito con due allineamenti di massi ed un riempimento di pietrame di minori dimensioni nello spazio intermedio [...]. Le pareti dell'ambiente sono ricoperte da un intonaco che continua ininterrotto sul piano pavimentale sul quale, lungo la parete orientale, si distingue una larga fascia leggermente sopraelevata. Situato in posizione centrale, si è rinvenuto un focolare gemino modellato in argilla, con piattaforma antistante di forma circolare a bordo rilevato. Nei pressi del focolare giacevano i resti di un individuo, con probabilità una donna, che ha evidentemente perso la vita nell'incendio; vicino alla testa sono stati ritrovati due semplici orecchini, apparentemente di stagno. Aderenti alle pareti più settentrionali sono apparsi dei supporti d'argilla, chiaramente destinati a sostenere una mensola lignea la cui impronta è distinguibile sull'intonaco parietale. Su tale mensola doveva evidentemente poggiare un oggetto modellato in argilla, di forma troncoconica a pareti concave che è stato rinvenuto preso la parete, ancora situato all'altezza dell'impronta della mensola stessa.

Tra i materiali del crollo e sparsi sul piano pavimentale si sono ritrovati numerosi pesi da telaio d'argilla, interi o frammentari, attestanti un'attività evidentemente importante. Alla base della parete di sud-est è stato rinvenuto un gruppo di tre pesi da telaio dei quali due, eccezionalmente, erano costituiti da ciottoli forati naturalmente.

Dettagli strutturali, che sembrano aggiunte successive alla costruzione originaria, sono rappresentati da muretti di fango o pietrame misto a fango costruiti uno sul bordo della banchina, gli altri due situati in modo da delimitare quasi l'angolo nord dell'edificio; si tratta con ogni probabilità di sostegni per grandi *pthoi* parzialmente interrati: ai due muretti presso l'angolo settentrionale si affiancano infatti in un caso una cavità provocata dall'inserimento di un grande vaso non ritrovato in posto, nell'altro un *pthos* (X1) inserito nel piano pavimentale e contenente cereali carbonizzati. Cereali erano inoltre contenuti in X9, e sparsi nei pressi dei frammenti di un'altro grande *pthos* (X6) sulla panchina. Il vasellame rinvenuto consiste essenzialmente di recipienti di grandi dimensioni, per liquidi o derrate, con una base quasi sempre conformata in modo che il vaso non poteva restare in posizione verticale senza particolari accorgimenti. Tali accorgimenti consistevano nell'interramento parziale oppure nel predisporre sopra il piano pavimentale una massa d'argilla in cui il recipiente veniva inserito; nel caso di X2, rinvenuto vicino ad una piccola piattaforma a bordo rilevato, si è trovata l'intera superficie esterna del vaso ricoperta da un sottile strato protettivo di argilla"⁹ (Abb. 4.5-6).

⁹ Palmieri 1973: 74-77, Abb. 26-27.

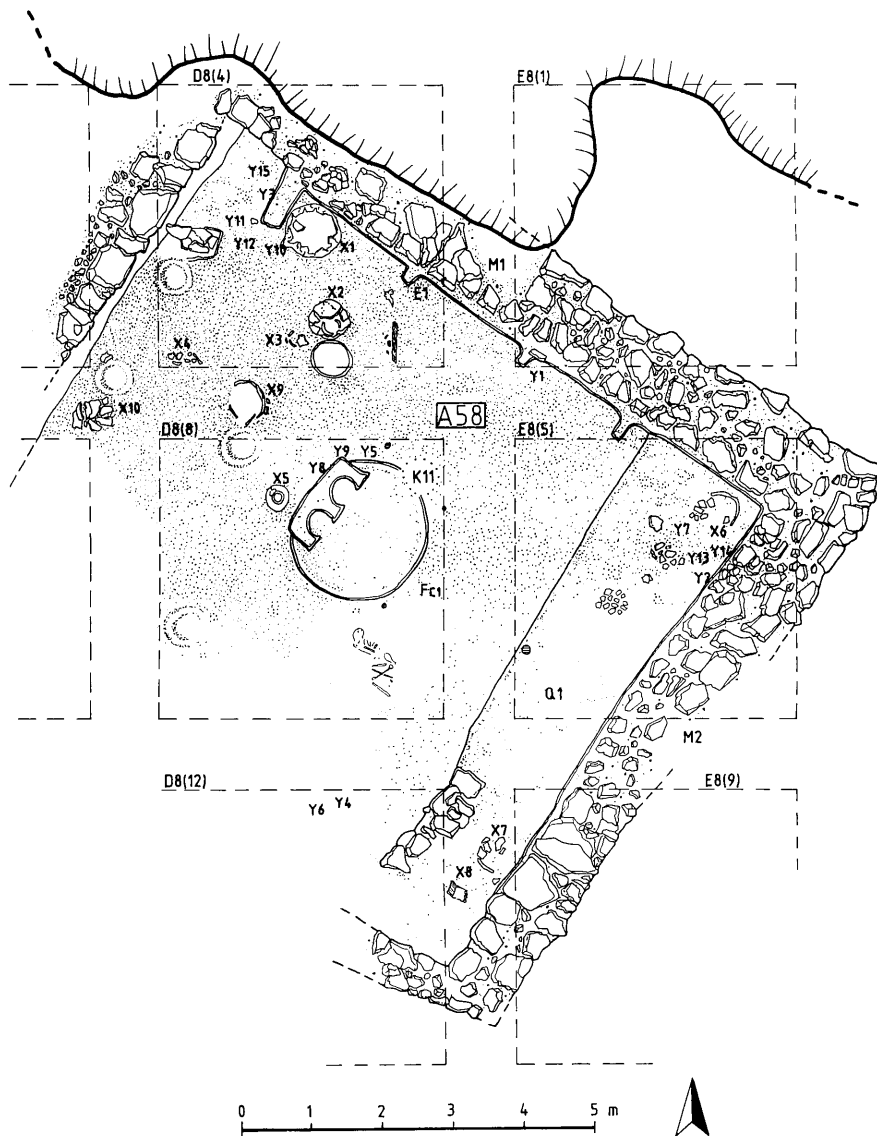


Abb. 4.3 - Plan des Raumes A58 mit dem Material *in situ*.



Abb. 4.4 - Aufnahme des Raumes A58. Ansicht von Südosten.

Nach dem Jahr 1973 lag der Raum A58 offen und 14 Jahre lang wurde dieser Bereich von keiner Grabungstätigkeit berührt.

Obwohl die Anlagen, wie der zentrale Herd, lange mit einer beweglichen Bedeckung geschützt worden sind, haben termischer Streß und die Erosion langsam, aber unerbittlich, gewirkt, und einige Strukturen sind nun zum Teil beschädigt. Die neue Grabungsstrategie verfolgte das Ziel die freigelegten Areale der ältesten Schichten auszudehnen, und dies bot die Möglichkeit, in denjenigen Quadraten tiefer zu graben, in denen der Raum A58 liegt.

In den Kampagnen der Jahre 1987-88 wurde dieser Raum abgetragen, und darunter kam die ganze Sequenz der Mittelbronzezeit zum Vorschein.

Die Mauern

Die am besten erhaltenen Mauern von A58 liegen nach Nordosten und Südosten. Von diesen gibt es keine aufgehenden Reste aus Lehmziegeln, sondern nur die Steinfundamente, die zum Teil gegen die Erde, als Terrassierungsmauern, gebaut waren. Die Steininnenwand ist mit einem weißen Verputz versehen.

4. Stratigraphie und Architektur

Keramik		Andere Funde	
X 1	<i>Pithos</i> : Tafel 23, 3; Abb. 4.6, 11	Y 1	konischer Tongegenstand: Abb. 4.6, 10
X 2	Topf: Tafel 24, 8; Abb. 4.6, 5	Y 2	Tonwebgewicht
X 3	Topf: Tafel 24, 7; Abb. 4.6, 1	Y 3	Tonwebgewicht: Abb. 4.6, 12
X 4	Tasse: Tafel 6, 6; Abb. 4.6, 6	Y 4	Tonwebgewicht: Abb. 4.6, 13
X 5	Topf: Tafel 24, 6; Abb. 4.6, 8	Y 5-12	Tonwebgewichte
X 6	<i>Pithos</i> : Tafel 23, 1; Abb. 4.6, 9	Y 13-14	durchlochter Kiesel
X 7	Topf: Tafel 23, 4; Abb. 4.6, 2-3	Y 15	kreisförmiger Tongegenstand: Abb. 4.6, 14
X 8	Ständer: Tafel 24, 5; Abb. 4.6, 2	Y 16	Zinnherringe: Abb. 4.6, 15
X 9	Topf: Tafel 23, 2; Abb. 4.6, 4		
X 10	Topf: Tafel 24, 9; Abb. 4.6, 7		

Abb. 4.5 - Liste der Funde des Raumes A58.

Die nord-östliche Mauer, M1: M1 ist eine gerade verlaufende Mauer, NW-SO orientiert; 10,30 m lang und etwa 1,20 m breit. Sie ist als Stützmauer der Terrassierung hinter A58, und als nordöstlicher Abschluß des Raumes aufgebaut. Der erhaltene Teil von M1 zeigt eine Trockenmauer (Abb. 4.7). Die bergseitige Innenwand weist nach Nordosten eine unregelmäßige Oberfläche mit über 50 cm langen und 25 cm breiten Steinen auf, zwischen denen kleinere, aber längere Steine gelegt sind. Die Innenwand war nach Südwesten nicht auf Sicht gebaut, aber sie hatte eine dicke Verputzschicht und die Wand ist durch unregelmäßige Steine gekennzeichnet (Abb. 4.8, a). M1 besaß eingetiefte Steinfundamente in einem Graben, welcher darunterliegende Schichten geschädigt hat. Die aufgehende Struktur erreichte noch 75 cm Höhe, und es gab keinen Sockel oder Unterscheidungselement zwischen Fundament und Oberteil der Mauer. Möglicherweise bestand sie aus Lehmziegeln, die nun zu den Einsturzschieben gehören.

Die südöstliche Mauer, M2: M2 ist eine Steinmauer, 9,75 m lang und 1-1,20 m breit. Auch die Innenwand dieser Mauer ist nicht auf Sicht berechnet und trotzdem zeigt sie eine dicke Verputzschicht. Die Bautechnik ist dieselbe wie die von M1. Die großen Steine sind in übereinanderliegenden Reihen geordnet, und kleine Stützkiesel füllen die leere Räume (Abb. 4.8, b).

Die Innenstrukturen

Der Herd Fc1. Die Ausgrabung des monumentalen Doppelherdes hat die Möglichkeit angeboten, die Details der Bautechnik und die verschiedenen Umbauphasen zu erkennen (Abb. 4.9-11). Die kreisförmige Plattform (Durchmesser 1,96 m) und die doppelhufeisenförmige Rückwand des Herdes (1,58x0,72) sind einzeln errichtet. Der Plattformkern bestand aus gerundeten Kieselsteinchen und Lehm. Das externe Band zeigt eine weitere Kieselsteinschicht, die möglicherweise einer Restaurierungsphase zugeordnet werden kann. Darüber wurde oben und an den Seiten eine Überzugsschicht aus kleinen zerschlagenen grau-grünfarbenen Steinen aufgetragen, die in einen dichten rosafarbenen Ton eingebettet waren. Der obere Teil dieses Überzuges zeigt eine dicke und harte, sorgfältig geglättete Oberfläche. Dazugegebener Verputz oder Lehm ist nicht erkennbar, und die Struktur wirkt homogen.

4. Stratigraphie und Architektur



Abb. 4.6 - Keramik und andere Funde des Raumes A58 (Nr. 1, X3, Höhe= cm 30; Nr. 2, X8, Höhe= cm 18; Nr. 3, X7, Höhe= cm 47,4; Nr. 4, X9, Höhe= cm 50; Nr. 5, X2, Höhe= cm 48; Nr. 6, X4, Höhe= cm 15; Nr. 7, X10, Höhe= cm 31; Nr. 8, X5, Höhe= cm 49,2; Nr. 9, X6, Höhe= cm 110,4; Nr. 10, Y1, Höhe= cm 19; Nr. 11, X1, Höhe= cm 113; Nr. 12, Y3, Höhe= cm 9,6; Nr. 13, Y4, Höhe= cm 10,4; Nr. 14, Y15, Dm.= cm 10; Nr. 15, Y16, Dm.= cm 2,6) (Palmieri 1973: 105, Abb. 27).

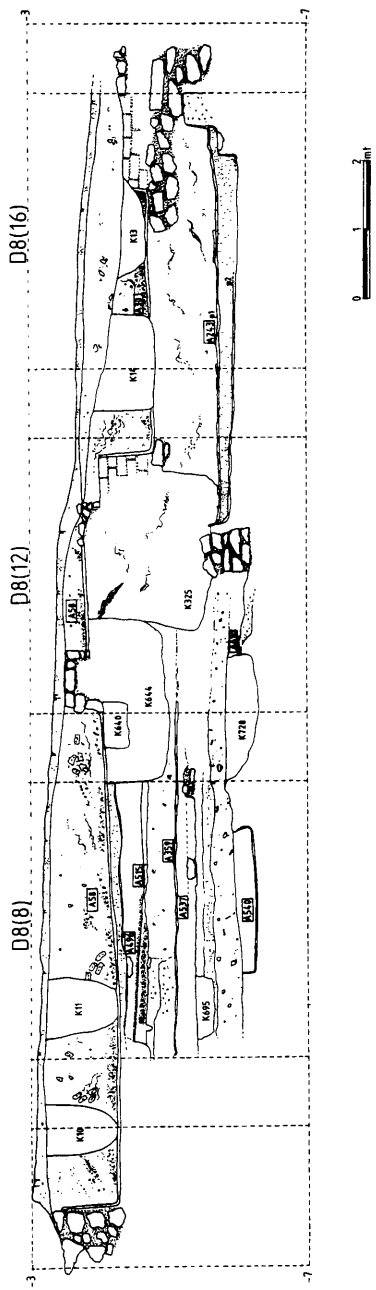


Abb. 4.7 - Profile des Raumes A58. Nord-Südprofil (Ostwand).

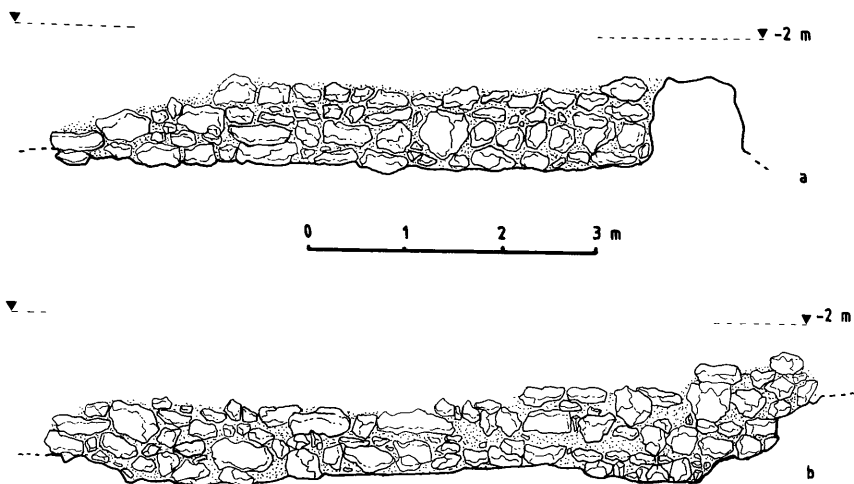


Abb. 4.8 - a: Innenwand der Mauer M1 des Raumes A58, nach der Abnahme des Verputzes; b: Außenwand der Mauer M2 des Raumes A58.

Die auf der Plattform liegende Rückwand bestand aus großen Lehmbröcken mit Häckselmagerung. Eine erste Wiederherstellung mit ähnlicher Zusammensetzung wurde beobachtet. Diese Rücklehne zeigt zahlreiche Restaurierungen infolge des intensiven Gebrauchs. Die letzte Überzugsschicht verbindet Plattform und Rückwand als zusammengehörende Struktur.

Zum Schluß kann man zwei klare Phasen des Herdes Fc1 beobachten. Die erste und älteste Phase, nur zum Teil erkennbar, steht in Verbindung mit den drei Pfostenlöchern, die wahrscheinlich als Stütze einer Holzstruktur, an der Plattform anliegend, verwendet wurden (Rückwand: 1,38x0,44 m; Plattform: Durchmesser 1,75 m; B4: Ø 22 cm, Tiefe 10 cm; B5: Ø 11cm, Tiefe 10 cm; B6: Ø 19 cm, Tiefe 10 cm). In der zweiten und jüngeren Phase wurde der Herd weiter vergrößert. Die Vorderseite der Rückwand, in der Ausgrabung des Jahres 1973¹⁰, hat abgesetzte und viereckige Ränder, möglicherweise ähnlich denen der ältesten Phase, aber dieses Kennzeichen ist in der ursprünglichen Anlage nicht erhalten.

Der Doppelherd, charakteristisch für die Frühbronzezeit II und III dieses Gebietes, kann ethnographisch noch in modernen süd- und osttürkischen Dörfern beobachtet werden.

Die sorgfältige Bautechnik und die Monumentalität der Struktur korrespondieren mit der zentralen Lage in dem Raum (Abb. 4.11).

Die Bank Q1. Breite, verputzte Bank an der südöstlichen Seite des Raumes A58 (7,50 m lang, 1,50-2 m breit; Höhe 5-10 cm). Q1 ist mit den Mauern M1 und M2 verbunden. Um eine kleine Fläche in der südlichen Ecke zu begrenzen, ist ein kleines Steinmüerchen, 1,80 m lang und 0,30 m breit, direkt auf die Bank aufgebaut.

Die Vorsprünge E1. Entlang der nordöstlichen Mauer und an der Innenwand haftend, sind Vorsprünge aus Lehm erkennbar, die möglicherweise ursprünglich Holzbalken stützten.

¹⁰ Palmieri 1973: Abb. 22-23.

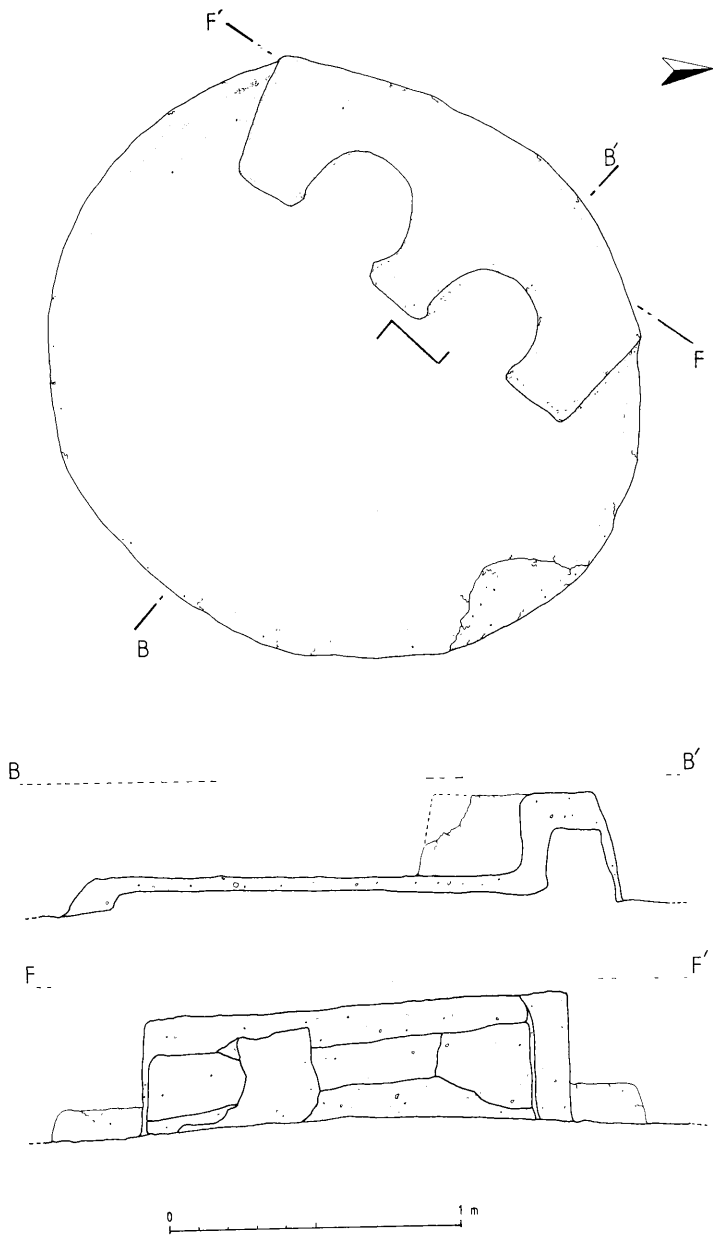


Abb. 4.9 - Der Herd FcI des Raumes A58, Spätphase. Aufsicht und Profile.

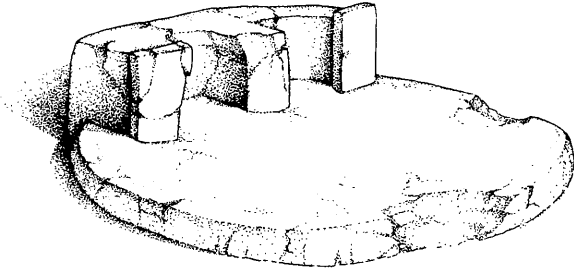


Abb. 4.10 - Der Herd Fc1 des Raumes A58.

Das Material in situ. A58 ist der einzige Raum der Mittelbronzezeit, in dem das Material in der originalen Lage gefunden wurde. Es handelt sich um neun große und mittelgroße Vorratsgefäße, einen konischen Ständer, einen kreisförmigen Tongegenstand, elf Tonwebgewichte und zwei durchlochete Kiesel. Der Raum wurde von einem gewaltigen Brand zerstört, der vermutlich den zufälligen Tod einer Frau verursachte. Die Skelettreste lagen in der Nähe der Herdplatte. Neben dem Kopf sind nur zwei Zinnohringe zutage gekommen. Der Grabungskontext läßt vermuten, daß es sich um keine echte Bestattung handelt (Abb. 4.12).

Das Material ist vor allem nördlich des zentralen Herdes verbreitet, wo die meisten Gefäße und Webgewichte konzentriert sind. Weitere Gewichte lagen auf der Bank Q1 in der östlichen Ecke. Nach Süden auf der Bank fanden sich ein eiförmiger Topf und sein konischer Ständer. Das Fundmaterial des Raumes A58, Vorratsgefäße und zahlreiche Webgewichte, könnte auf einen Bereich für handwerkliche und/oder häusliche Tätigkeiten hindeuten.

4.4 DER RAUM A456 UND SEINE AUßENBEREICHE (PHASE VA₂)

A58 scheint ein Wiederaufbau und eine Erweiterung einer vorhergehenden Anlage zu sein, A456 (Abb. 4.13). Dieser Raum erscheint direkt unter A58 und hat auch einen viereckigen Grundriß, aber nur der nordöstliche Teil ist noch erhalten (Abb. 4.14-15). Die Orientierung der Mauern, von denen nur die Fundamente erkennbar sind, ist identisch mit der von A58. Die Lage der beiden ist jedoch nicht dieselbe. Insbesondere ist die nordöstliche Mauer im Vergleich zu derjenigen von A58 ca. 4 m nach Süden verschoben. Die Innenbreite des Raumes beträgt in NW-SO Ausdehnung etwa 5 m. In der Raummitte nach Nordosten zu, erscheinen die Reste einer kreisförmigen Herdplattform mit Spuren der Rückwand. A456 ist also ein Raum, der in der Form und in den Hauptelementen A58 vorgreift, auch wenn die Dimensionen kleiner sind. Da die Erinnerung an Raum A456 also für die Erbauer des neuen Gebäudes wohl noch lebendig war, dürfte A58 den vollständigen Wiederaufbau eines Hauses sofort nach seiner Zerstörung darstellen (Abb. 4.16). Die begrenzte Fläche mit einer guten Erhaltung der Architektur läßt leider keine Aussage darüber zu, ob dieser Wiederaufbau die gesamte Siedlung betraf, oder ob die Zerstörung nur ein lokales Ereignis darstellte.



Abb. 4.11 - Detail des Herdes Fc1 von A58 und des Skelettes einer Frau.

Die Mauern

Von den Grundrißmauern von A456 sind die Fundamente erhalten, und nur die nordöstliche Mauer M2 ist vollständig beobachtbar. M1 und M3 hingegen waren stark erodiert. Die Strukturen sind aus Stein gebaut, aber es gibt die Benutzung des Lehms als Bindemittel, oder er wird verwendet, um Teile der Mauer, wie im Fall von M1, zu ergänzen. Diese Bautechnik trifft man sehr selten auf Arslantepe.

- *Die nordwestliche Mauer, M1.* Sie ist ein gerades Mauerfundament mit drei Steinreihen von mittlerer Dimension und NO-SW orientiert. Der Kern ist aus kleineren Steinen und Lehm gebildet. M1 bindet an der Mauer M2 mit einer Kante an, die aus zwei großen Steinen (0,63x0,48 m) besteht. Die erhaltene Länge ist 2,90 m, die Höchstbreite ist 0,80 m.

- *Die nordöstliche Mauer, M2.* NW-SO orientiert; 6,90 m lang und 0,58-0,90 breit. Der erste Teil nach Nordwesten ist, wie M1, aus drei Steinreihen gebildet. Der Kern besteht aus kleinen Steinen und Lehm. Aber die Struktur sieht nicht zusammengehörig aus. Der Rest der Mauer ist nur mit einem gelblichen und körnigen Lehm gebaut, der sich an eine graue und kompakte Oberfläche anlehnt. Der ältere Fußboden, P2, von Raum A456, bindet an M2 an. Die Mauer wird breiter nach Südosten, wo sie eine Kante mit M3 bildet.

- *Die südöstliche Mauer, M3.* Dies ist eine Mauer mit schlechter Erhaltung, von der wegen späterer Eingriffe nur noch planierte, geschnittene Spuren blieben. Andererseits ist es möglich, durch die

Anwesenheit des Lehms und der Steine die Kante zu erkennen, mit der M3 an die Mauer M2 anbindet.

Die Innenstrukturen

Der Herd Fc1. Herd mit annähernd ellipsenförmiger Plattform; Achsen 2,35x2,20 m. Aus Lehm und Kiesel bestehend. Ein leicht aufgehendes Band läuft den Rand der Plattform entlang, und bricht ab an zwei Steinen, die möglicherweise zu dem Kern einer heute planierten Rücklehne gehörten. Die Feuerstelle weist sechs Verputzschichten auf, die Farben sind röter und schwärzer nahe den zwei Steinen. Die Wiederaufbauschichten erreichen insgesamt die Stärke von 8 cm. Sie setzen sich jenseits des Herdes fort, und sie binden an den Fußboden P1, und die Struktur C1, die Standspur eines Gefäßes, an.

Pfostenloch, B1. Mit kleinen Steinen ausgekleidetes Pfostenloch; Boden mit einem flachliegenden Steinplättchen. Die Form ist kegelförmig; Außendurchmesser: 32 cm; Bodendurchmesser: 15 cm; Tiefe: 26 cm. Die Position ist an Fc1 anliegend, und sie könnte in die Raummitte fallen. B1 scheint in Verbindung mit dem jüngsten Fußboden von A456, P1, zu stehen, aber dieses Pfostenloch schneidet den zweiten, darunterliegenden Fußboden, P2. Es ist möglich, daß B1 für den Stützpfeiler des Hausdaches verwendet wurde.

Ständer und Unterbringung des Gefäßes, C1 und C2. C1 ist eine kleine Fläche und sie ist direkt auf dem Fußboden P1 durch Steine und flachliegende Scherben begrenzt (außen 68x68 cm; innen 46x40 cm). Ferner ist C1 zum Teil von den jüngeren Wiederaufbauten des Herdes Fc1 bedeckt.

C2 liegt in der östlichen Ecke von A456, eine tiefe Höhlung von etwa 20 cm. Flachliegende Steine und grauer Lehm, wie der des Fußbodens P2, markieren den Rand dieser Höhlung. C1 und C2 waren möglicherweise Standspuren für Gefäße von mittlerer und großer Dimension.

Die Fußböden P1 und P2. Die zwei übereinanderliegenden Fußböden, P1 und P2, belegen mindestens zwei Bauphasen des Raumes. Der jüngste Fußboden, P1, hat eine Stärke von 5 cm bis 12 cm und besteht aus gelblichem und hartem Lehm. An P1 lehnt sich die Herdplatte an. Der darunterliegende Fußboden, P2, setzt sich aus einem im Laufe der Ausgrabung gut erkennbaren, grauen Lehm zusammen. Die Stärke beträgt, wenn auch unregelmäßig, etwa 10 cm. 5 bis 10 cm mißt auch die Stärke der Grundierungsschicht des Fußbodens P2 (PrP2), sie hat einen grauen Boden, ähnlich dem von P2, aber weniger hart. Die beiden Fußböden zeigen zahlreiche Tonschichten als Folge ständiger Unterhaltsarbeiten.

Die Außenräume von A456: A457, A477, A501

A457. Anliegend an der nordwestlichen Mauer von A456 erstreckt sich eine harte Oberfläche; unregelmäßig viereckig; 2,88 m lang und 0,94 m breit; nach SO-NW orientiert (Abb. 4.14-15). A457 könnte eine Begehungsfläche sein, die außerhalb des Hauses lag. Diese Oberfläche bindet an der Mauer M2 von A456 an, und sie besteht aus einer weißlichen Aschenfaserschicht, ähnlich der Grubenverkleidung. Ferner bedeckt sie einen weißen, harten Fußboden von 2-5 cm Stärke (P1). Die Neigung dieses Bereiches von Süden nach Norden gibt die allgemeine Entwicklung der darunterliegenden Schichten an. Zum Teil bedeckt A457 eine schlecht erhaltene Steinanlage und liegt zweifellos auf der Schicht 6 von D8(8) auf. Mit Ausnahme des Südteiles sind die weiteren Ränder unregelmäßig, und sie erscheinen jählings unterbrochen.

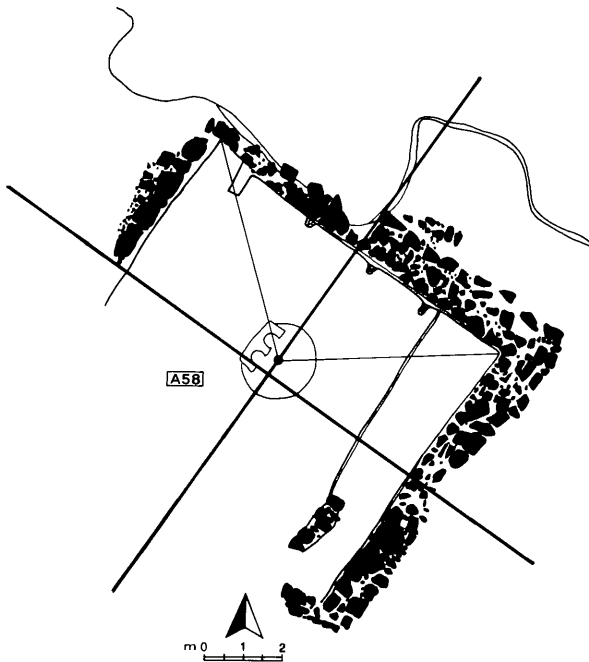


Abb. 4.12 - Plan von A58 mit einem Unterteilungsschema des Innenraumes.

A477. Die weitere Gründungsschicht eines Fußbodens, wahrscheinlich eines Außenraumes, bestehend aus Kieseln und Abfallmaterial. Von A477 hat sich nur die südwestliche Ecke, eine reduzierte Fläche in E8(6), gut erhalten.

A501. Ein Lehm Boden liegt westlich der Mauer M1 von A456, und bindet an diese Struktur an (Abb. 4.14). Die Lehmfläche erstreckt sich in D8(7) mit einer Ausdehnung von 2x1,5 m. Sie könnte als Außenraum von A456 gedient haben. Die beiden sind stratigraphisch gleichzeitig. Wir kennen die Ausdehnung dieses Raumes nicht, denn er wird im Süden und Westen von der römischen Anlage A64 geschnitten.

4.5 DIE RÄUME A451, A452 UND DIE STRUKTUREN E46 UND E47 (PHASE VA₂)

A451 und A452. Östlich der Räume A456 und A58, im Südbereich des Quadrates E8(11), liegt ein weiteres Gebäude, von dem nur zwei aneinanderliegende Räume mit einer verbrannten, stark erodierten Lehmziegelzwischenmauer erhalten sind. Die Mauer ist weniger als 1m lang. Die beiden Räume, A451 und A452, weisen Spuren eines verputzten Fußbodens auf. Sie sind gleichzeitig und werden von der Schicht 3 des Quadrates E8(11) und dem Raum A62 der Spätbronzezeit überdeckt. In beiden Räumen sind mindestens zwei Wiederaufbauphasen des Fußbodens (P1 und P2; Gesamtstärke: 13 cm) zu erkennen, aber die Ausdehnung der Strukturen beträgt nicht mehr als fünf Quadratmeter.

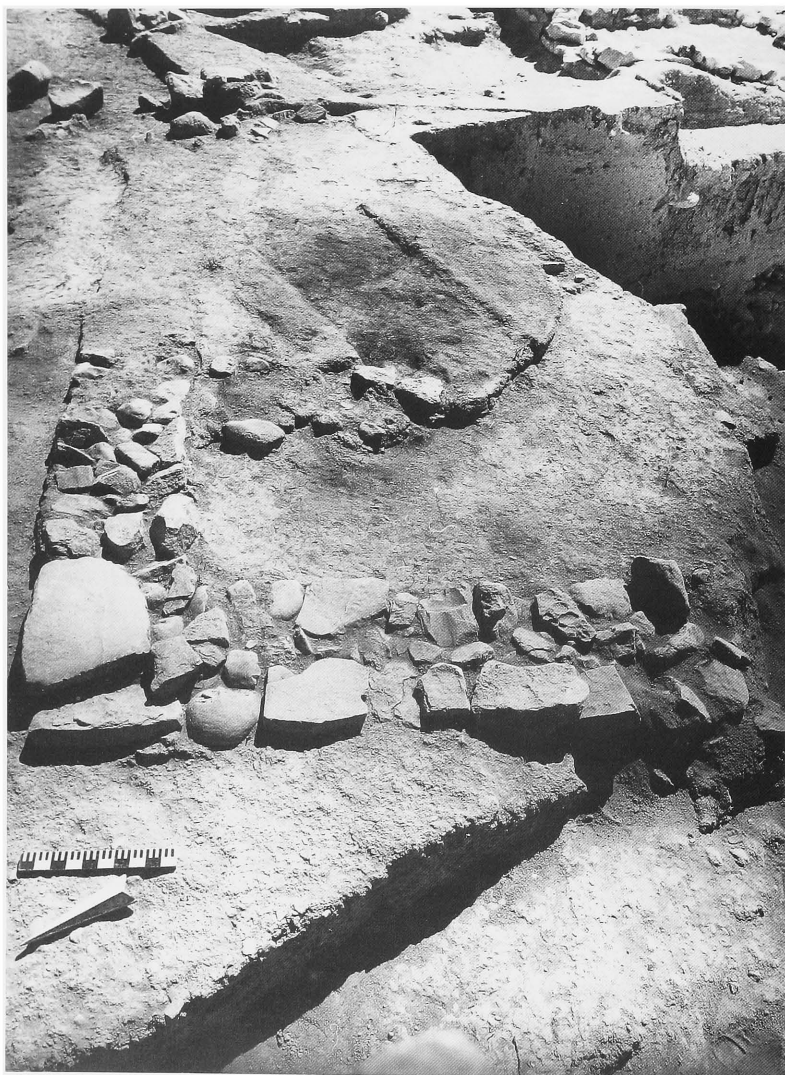


Abb. 4.13 - Aufnahme des Raumes A456. Ansicht von Nordosten.

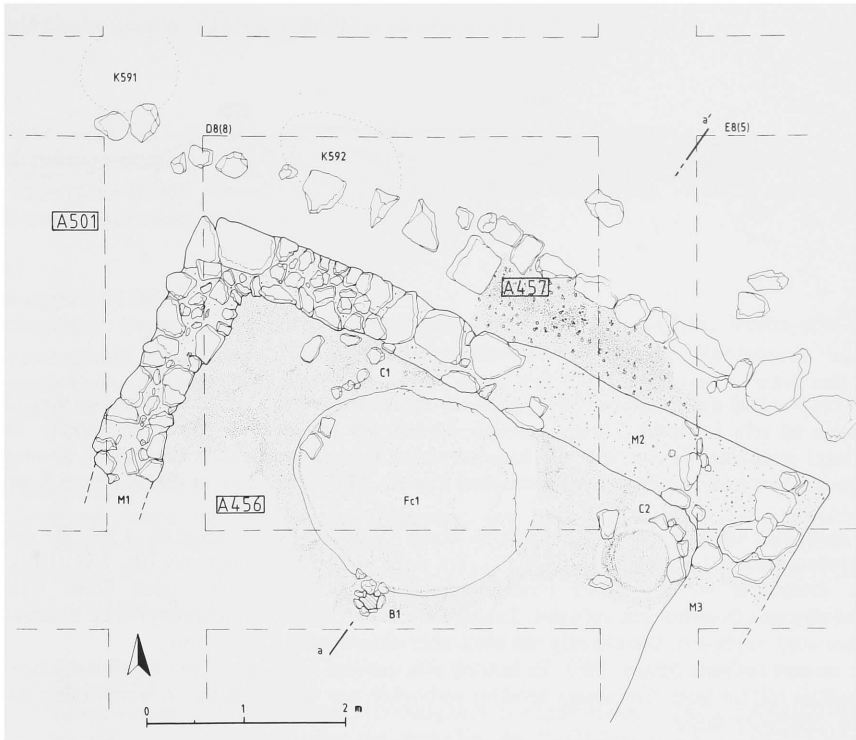


Abb. 4.14 - Plan der Räume A456, A457, A501.

- E46 und E47. Am Rand des Südbereiches des Quadrates E8(11) befinden sich Reste zweier Strukturen, die heute keinen direkten stratigraphischen Zusammenhang mit dem zugehörigen Gebäude zeigen. Nichtsdestoweniger scheint man beide Strukturen der vorhergehenden Bauphase der Räume A451 und A452 zuschreiben zu können. E46 (etwa 1x0,50 m) ist kreisförmig, aber von einer alten Sondage der französischen Mission geschnitten. Die Struktur besteht aus zwei grauen bis weißlichen Lehmschichten, die auf einer Kieselfläche liegen. Diese, möglicherweise zu einem Herd gehörig, wird von den Fußböden des Raumes A452 überdeckt. Von der zugehörigen Anlage wurden keine Spuren gefunden. Leicht westlich von E46 liegt eine kleine ovale Grube (E47) mit einer Ausdehnung von 40x35 cm und einer Tiefe von 8 cm. Die Grube ist mit gebranntem Material verfüllt, das eine direkt auf dem Boden liegende Scherbensicht bedeckt. Es ist möglich, daß diese kleine Grube mit der vorhergehenden Schicht verbunden ist, jener der Vorbereitungsfläche von E46, von der nur sporadische Spuren sichtbar sind.

4.6. DER RAUM A453 UND DIE MAUERN M62, M67 (PHASE VA₂)

Unter dem Niveau der Räume A451-A452, in dem Quadrat E8(11), und von diesem durch eine Schicht aus mehreren Erdauftragniveaus (Schicht 3) getrennt, befinden sich Reste einer anderen Bauschicht, die Steinmauerspuren (M62 und M67) und eine Begehungsfläche (A453) aufweist.

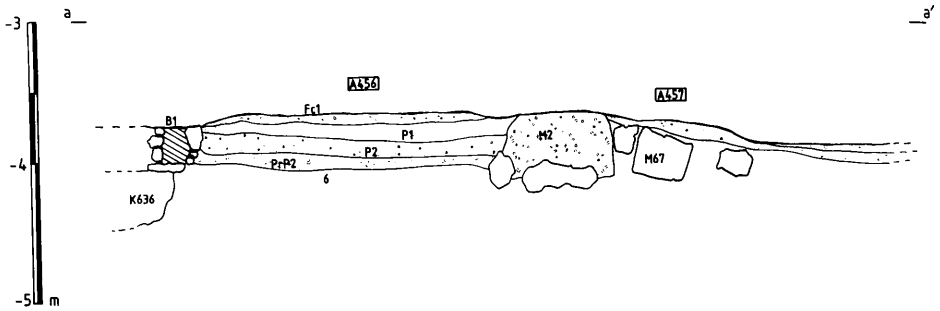


Abb. 4.15 - Profil der Räume A456, A457.

A453. Im Nordteil des Quadrats E8(11) gelegen, hat der Raum A453 eine Ausdehnung von 12 m². Der Boden ist sehr kompakt, körnig, gelblich, ähnlich der zerflossenen Masse des *kerpiç*. Einige Lehmziegel erscheinen *in situ*, aber die Rekonstruktion des entsprechenden Raumes ist unmöglich. Die massive Terrassierungsmauer der römischen Epoche, M55, schneidet im Süden diesen Raum.

M62 und M67. M62 ist eine N-S orientierte Mauer (Breite 0,75 m; Länge ca. 4 m), die aus nur einer großen Steinreihe besteht (Abb. 4.17). Sie liegt in den Quadraten E8(10), E8(10-14) und E8(14). Erkennbar ist ein breiter Fundamentgraben der Mauer, die jedoch keine weiteren architektonischen Beziehungen aufweist. Zahlreiche Gruben haben den ursprünglichen Zustand des Bereiches stark verändert. Gleichzeitig mit M62, aber ohne direkte Korrelierung, ist eine weitere isolierte Mauer: M67. Es handelt sich um eine Quermauer, die im südöstlichen Teil des Quadrats E8(10) liegt. Von dieser Struktur verblieben nur wenige Steine in Verbindung mit der einzigen erhaltenen Reihe.

4.7 DIE GRUBEN DER PHASE VA2

Zur Spätphase der Periode VA gehören mindestens 30 Gruben, von denen 23 mit Sicherheit der stratigraphischen Sequenz der Mittelbronzezeit II zugeschrieben werden können.

Obwohl in architektonischer Hinsicht die Gruben mit ihren sich ständig wiederholenden Kennzeichen nur von sekundärer Bedeutung sein können, gewinnen sie eine besondere Bedeutung in dem Augenblick, in dem jede Grube zu den anderen und mit den Stratifikationseinheiten in Beziehung gesetzt wird. Die einfache Abfallgrube, die in den Ausgrabungen des Nahen Ostens sehr gehäuft wird, da sie ausschlaggebender Grund der Zerstörung verschiedener archäologischer Kontexte ist, kann ein wichtiges Mittel zur Rekonstruktion der Stratigraphie und der dazugehörigen Umwandlungen des archäologischen Materialkomplexes sein. Die einzelnen physikalischen Beziehungen (*schneidet; wird geschnitten von; ist bedeckt von*) jeder Grube ermöglichen es, im stratigraphischen Diagramm auch diese Kontextart zu verwenden. Diese Methodik ist bedeutend, weil die aufgedeckten mittelbronzezeitlichen Gruben in Arslantepe Keramik mit einem guten Erhaltungszustand aufweisen, während dies für den Rest der stratigraphischen Sequenz nicht gilt.

Jede einzelne Grube kann eine mehr oder weniger kurze Benutzungsphase gehabt haben, aber nach der Verfüllung stellt sie einen "geschlossenen" Befund dar. In Prozenten sind die Altfunde aus den Gruben der Mittelbronzezeit weniger reichlich als in den Auffüllungsschichten der Räume und in den Erdsedimentationen. Aus diesem Grund wird die stratigraphische Lage dieser Befunde besonders wichtig für die relative Chronologie der Siedlung.

Jede Grube wird im nachfolgenden Text schematisch beschrieben.

K575.

Grabungsareal: E8(5-6), E8(6), E8(6-10), E8(5-6-9-10).

Beschreibung: Grube mit kreisförmiger Mündung; Füllungsschicht aus einem grauen, homogenen und kompakten Boden; Ø: 1,14 m; *Tiefe:* 0,64 m; *oberes Höheniveau:* -3,88 m; *stratigraphische Beziehungen:* schneidet E8(6)4; wird von E8(6)3 überdeckt.

K580

Grabungsareal: E8(6).

Beschreibung: Grube mit kreisförmiger Mündung, nur zum Teil erhalten; Boden mit weißem Pflanzenmaterial ausgekleidet; Ø: 1,54 m; *Tiefe:* 0,14 m; *oberes Höheniveau:* -4,20 m; *stratigraphische Beziehungen:* schneidet E8(6)5; wird von K625 geschnitten; wird von E8(6)4 überdeckt.

K581

Grabungsareal: E8(11).

Beschreibung: Grube mit kreisförmiger Mündung, nur zum Teil erhalten; Füllungsschicht aus grauem und wenig kompaktem Boden; der obere Teil der Verfüllung besteht aus einer weißen Aschenschicht; Ø: 0,55 m; *Tiefe:* 0,10 m; *stratigraphische Beziehungen:* schneidet E8(11)3cα; wird von M55 geschnitten; wird von E8(11)3bα überdeckt.

K582

Grabungsareal: E8(10), E8(10-11).

Beschreibung: Grube mit kreisförmiger Mündung, mit glockenförmigem Profil; Füllungsschicht aus einem wenig kompakten Aschenboden; der obere Teil der Verfüllung von K582 unterscheidet sich nicht von jenem der Grube K586; Ø: 0,95 m; *Tiefe:* 1,00 m; *oberes Höheniveau:* -1,03 m; *stratigraphische Beziehungen:* wird von K586 geschnitten; wird von E8(10)2 überdeckt.

K584

Grabungsareal: E8(9).

Beschreibung: Grube mit kreisförmiger Mündung, nur zum Teil erhalten; Füllungsschicht aus einem grau-braunen, wenig kompakten Boden; Vorhandensein großer Steine; pflanzliche Auskleidung erkennbar nur auf dem Boden; Ø: 1,25 m; *Tiefe:* 0,40 m; *oberes Höheniveau:* -3,52 m; *stratigraphische Beziehungen:* schneidet E8(9)2; wird von M3 des Raumes A58 geschnitten.

K585

Grabungsareal: E8(9), E8(5).

Beschreibung: Grube mit kreisförmiger Mündung und glockenförmigem Profil; Füllungsschicht aus Aschen; pflanzliche Auskleidung erkennbar nur auf dem Boden; Ø: 1,75 m; *Tiefe:* 0,88 m; *oberes Höheniveau:* -3,20 m; *stratigraphische Beziehungen:* schneidet K607, K579 und E(9)2; wird von E8(9)1 überdeckt.

K586

Grabungsareal: E8(10), E8(10-11).

Beschreibung: Grube mit kreisförmiger Mündung, nur zum Teil erhalten; Füllungsschicht aus weißen und grauen Aschen; Vorhandensein großer Steine; Ø: 1,50 m; *Tiefe:* ca. 0,20 m; *oberes*

Höheniveau: -2,78 m; *Höheniveau des Bodens:* -2,98 m; *stratigraphische Beziehungen:* schneidet E8(10)3, M1 des Raumes A455, und K582.

K587

Grabungsareal: E8(10), E8(9-10), E8(10-14)

Beschreibung: weite Grube mit kreisförmiger Mündung, nur zum Teil erhalten; in der Verfüllung unterscheiden sich drei Schichten: Schicht 1 brauner körniger Boden; Schicht 2 grau-schwarze Aschen; Schicht 3 beige-gelblicher Boden; \varnothing : 2,64 m; *Tiefe:* 0,69 m; *oberes Höheniveau:* -3,00 m; *stratigraphische Beziehungen:* schneidet A476 ; wird von K601, K602, K590 geschnitten.

K589

Grabungsareal: E8(9).

Beschreibung: Grube mit kreisförmiger Mündung, nur zum Teil erhalten; pflanzliche Auskleidung erkennbar nur auf dem Boden; Füllungsschicht aus einem grauen, wenig kompakt Boden; \varnothing : 1,30 m; *Tiefe:* 0,39 m; *oberes Höheniveau:* -3,50 m; *stratigraphische Beziehungen:* schneidet E8(9)2.

K590

Grabungsareal: E8(9-10).

Beschreibung: Grube mit kreisförmiger Mündung; Rand schwer zu definieren; Füllungsschicht aus einem mit Kohlenfragmenten durchsetzten, braunen und bröckeligen Boden; \varnothing : 0,50-0,60 m; *Tiefe:* 0,10 m; *oberes Höheniveau:* unbestimmbar; *stratigraphische Beziehungen:* schneidet K601; ist von E8(10)2 überdeckt.

K591

Grabungsareal: D8(3-7), D8(3-4-7-8).

Beschreibung: unregelmäßige Grube mit kreisförmiger Mündung; Füllungsschicht aus Aschenboden mit vielen Kohlefragmenten; der obere Teil der Verfüllung wird von einer sehr kompakten gelben Tonschicht abgeschlossen; \varnothing : 0,68-0,80 m; *Tiefe:* 0,67 m; *oberes Höheniveau:* -3,79 m; *stratigraphische Beziehungen:* schneidet D8(8)4; wird von P1 des Raumes A58 überdeckt.

K592

Grabungsareal: D8(8), D8(4-8).

Beschreibung: Grube mit ovaler Mündung; Füllungsschicht aus einem rötlichen Boden mit Steinen verschiedener Größe; Maße: große Achse 1,20 m, kleine Achse 0,90 m; *Tiefe:* 0,27 m; *oberes Höheniveau:* -3,68 m; *stratigraphische Beziehungen:* schneidet D8(8)4; wird von Fc1 des Raumes A58 überdeckt.

K593

Grabungsareal: D8(8-12).

Beschreibung: Grube mit ovaler Mündung, nur zum Teil erhalten; Füllungsschicht aus einem körnigen, verbrannten Boden; Maße: Längsachse 0,94 m; Querachse 0,46 m; *Tiefe:* 0,10 m; *oberes Höheniveau:* -3,75 m; *stratigraphische Beziehungen:* schneidet P1 des Raumes A456; wird von M56 geschnitten; ist von P1 des Raumes A58 überdeckt.

K595

Grabungsareal: E8(6).

Beschreibung: Grube mit kreisförmiger Mündung, nur zum Teil erhalten; weiße pflanzliche Auskleidung erkennbar nur auf dem Boden; Füllungsschicht aus einem mit Kohlefragmenten durchsetzten, beige-grauen, lehmigen Boden; \varnothing : 1,64 m; *Tiefe:* 0,18 m; *oberes Höheniveau:* -4,20

m; *stratigraphische Beziehungen*: schneidet E8(6)5; wird von K625 geschnitten; ist von E8(4) überdeckt.

K599

Grabungsareal: E8(10), E8(6-10).

Beschreibung: Grube mit kreisförmiger Mündung, nur zum Teil erhalten; weiße pflanzliche Auskleidung erkennbar nur auf dem Boden; Füllungsschicht aus einem mit Kohlefragmenten durchsetzten, braunen Boden; Ø: 1,55 m; *Tiefe*: 0,16 m; *oberes Höheniveau*: -4,60 m; *stratigraphische Beziehungen*: schneidet K625.

K601

Grabungsareal: E8(9-10), E8(9-10-13-14).

Beschreibung: Grube mit kreisförmiger Mündung, nur zum Teil erhalten; Ø: 1,88 m; *Tiefe*: wenige Zentimeter; *oberes Höheniveau*: -3,11 m; *stratigraphische Beziehungen*: schneidet K587 und K571.

K602

Grabungsareal: E8(9-10).

Beschreibung: Grube nur zum Teil erhalten; Ø: unbestimmbar; *Tiefe*: wenige Zentimeter; *oberes Höheniveau*: -3,18 m; *stratigraphische Beziehungen*: schneidet K601 und K587.

K607

Grabungsareal: E8(9).

Beschreibung: Grube mit kreisförmiger Mündung, nur zum Teil erhalten; Füllungsschicht aus einem mit vielen Kohlenfragmenten durchsetzten, grauen Aschenboden; Ø: unbestimmbar; *Tiefe*: wenige Zentimeter; *oberes Höheniveau*: unbestimmbar; *stratigraphische Beziehungen*: schneidet E8(9)4; wird von K585 geschnitten.

K608

Grabungsareal: E8(9).

Beschreibung: Grube mit kreisförmiger Mündung, nur zum Teil erhalten; Füllungsschicht aus einem mit vielen Kohlenfragmenten grauen Boden ; K608 liegt nahe der Grube K607, möglicherweise sind sie gleichzeitig; Ø: unbestimmbar; *Tiefe*: wenige Zentimeter; *oberes Höheniveau*: unbestimmbar; *stratigraphische Beziehungen*: schneidet E8(9)4 ein.

K609

Grabungsareal: E8(9), E8(9-10).

Beschreibung: Grube mit kreisförmiger Mündung; weißliche pflanzliche Auskleidung der Wände und des Bodens; Füllungsschicht aus einem mit vielen Kohlenfragmenten durchsetzten, grauen Aschenboden; Ø: 1,20 m; *Tiefe*: 0,28 m; *oberes Höheniveau*: -3,38 m; *stratigraphische Beziehungen*: schneidet E8(9)2 und E(9)4; wird von A58 überdeckt.

K612

Grabungsareal: E8(10), E8(9-10), E8(6-10), E8(6).

Beschreibung: weite und tiefe Grube mit unregelmäßig kreisförmiger Mündung; Rand schwer zu definieren; weißliche Pflanzenauskleidung erkennbar nur auf dem Boden; in der Verfüllung unterscheiden sich drei Schichten: Schichten 1 und 2 Aschenboden mit Kohlenfragmenten; Schicht 3 feiner, kompakter und brauner Boden; ein kleiner Teil der Verfüllung wird getrennt unter der Abkürzung K612bis geführt. Möglicherweise hat das Vorhandensein einer weiteren Grube

die schwierige Erkennung des Randes von K612 verursacht, jedoch hat die Ausgrabung keine weitere Information ergeben; \varnothing : 1,90 m; Tiefe: 0,72 m; oberes Höheniveau: -4,56 m; stratigraphische Beziehungen: schneidet E8(10)3, K576 und K611; wird von K575 geschnitten.

K625

Grabungsareal: E8(6).

Beschreibung: weite, tiefe und gut erhaltene Grube mit kreisförmiger Mündung; Verfüllung aus zwei Schichten: Schicht 1 grauer Boden mit Kohlenfragmenten; Schicht 2 kompakter brauner Boden; \varnothing : 2,52 m; Tiefe: 0,55 m; oberes Höheniveau: -4,20 m; stratigraphische Beziehungen: schneidet E8(6)5, K580, K628; wird von K599 geschnitten.

K626

Grabungsareal: E8(6).

Beschreibung: Grube mit kreisförmiger Mündung und glockenförmigem Profil; auf dem Boden erscheint eine Steinreihe, die der Mauer M1 des Raumes A505 zuzuweisen ist; Verfüllung aus zwei Schichten: Schicht 1 kompakter, grauer Boden mit Kohlefragmenten; Schicht 2 brauner, lehmiger Boden mit dunkelgrauen Aschen; \varnothing : 1,52 m; Tiefe: 0,49 m; oberes Höheniveau: -4,24 m; stratigraphische Beziehungen: schneidet E8(6)6 und M1 des Raumes A505; wird von E8(6)4 überdeckt.

K628

Grabungsareal: E8(6).

Beschreibung: Grube mit kreisförmiger Mündung; Füllungsschicht aus einem mit Kohlefragmenten durchsetzten, grauen und bröckeligen Boden; \varnothing : 0,88 m; Tiefe: 0,30 m; oberes Höheniveau: -4,20 m; stratigraphische Beziehungen: schneidet E8(6)6 und Raum A505; wird von K625 geschnitten; ist von E8(6)4 überdeckt.

4.8 DIE RÄUME A455, A476 UND A478 (PHASE VA₂)

Unter dem Grubenniveau der Phase VA₂, im östlichen Teil des Grabungsareals unterhalb der Hügelkuppe (Quadrate E8(10), E8(11), E8(14)), befinden sich die Resten dreier weiterer Räume, die einer Frühphase zugeschrieben werden können.

--- A455. Dies ist ein lehmverputzter Fußboden (P1), der sich in E8(10) und E8(10-11) befindet. Das Flächenmaß beträgt 1,00x0,90 m². A455 wird im Osten von der Grube K603 und im Westen von der Mauer M62 geschnitten. Der 3,5 cm dicke Fußboden weist zwei Schichten auf, die obere, 0,5 cm dicke Schicht besteht aus einem dünnen Verputzniveau. Sie liegt auf einer kompakten Tonunterlage. Nach Norden verbindet sich der Fußboden mit der Mauer M1, die zwei Kerpiçreihen aufweist. Die O-W orientierte Mauer überdeckt ein Fundament aus runden Steinblöcken.

--- A476 und A478. In den Quadraten E8(14), E8(14-15) und E8(10-14) sind zwei rechteckige, nur zum Teil erhaltene Räume vorhanden, die von einer N-S orientierten Mauer getrennt werden (Abb. 4.18). Dieses Grabungsareal wird von verschiedenen Gruben, K605, K606, K583, geschnitten, die das planimetrische Lesen der Strukturen erschweren. In A476 (1,50x1,00 m²) ist ein Fußboden erkannt worden, der an die östliche Mauer M2 anbindet, und eine Einbuchtung an der südöstlichen Ecke bildet. Der Raum A478 (0,60x1,00 m²) ist dagegen mit einer Art von erhöhter verputzter Plattform, E1, ausgestattet. Sie ist in einem sehr schlechten Erhaltungszustand.



Abb. 4.16 - Die Herde von A58 (rechts) und von A456 (links). Stratigraphische Überlappung der beiden Strukturen; sie liegen nicht direkt übereinander.

4.9 DER *LOCUS* Lc1 UND DIE STRUKTUR E50 (PHASE VA₁)

Im nordwestlichen Bereich des Quadrats E8(11), in einem Niveau von -2,50 m und unter demjenigen des Raumes A455, liegt eine unregelmäßig kreisförmige Grube. Sie wird *Locus* 1 (Lc1) genannt. Diese ca. 10 cm tiefe Grube mit schlecht erkennbarem Rand der Mündung (Durchmesser: 1 m) besitzt eine Verfüllung aus gereinigten Tonblöcken.

In der südöstlichen Ecke des Quadrats ist eine zweite kleine, kreisförmige Grube zutage gekommen, E50 (Durchmesser: 30 cm; Tiefe: 12 cm; Höheniveau: -2,82 m). In beiden Fällen handelt es sich um Elemente, die keine Verbindung mit aufgehenden Strukturen oder Fußböden haben, aber beide werden von der Schicht 5 des Quadrats E8(11) überdeckt. Es ist jedoch möglich, daß beide Gruben den jüngeren Phasen der Fußböden von A480 zuzuweisen sind, die im nachfolgenden Paragraph beschrieben werden.

4.10 DIE FUßBÖDEN IN E8(11) (PHASE VA₁)

In dem östlichsten und höchsten Bereich des Hügels ist eine lange und ununterbrochene Fußbodensequenz der Frühphase der Mittelbronzezeit (Phase VA₁) erkannt worden. Diese Reihe

weist Änderungen in den korrelierten Strukturen auf, die drei Haupthorizonte zu unterscheiden erlaubt haben. Der jüngste erfaßt den Raum A480.

Die Fußböden von A480.

Der Raum A480 (Höheniveau -2,96 m) erstreckt sich über das ganze Quadrat E8(11). Er wird nach Süden von einer Sondage der französischen Mission geschnitten und erfaßt drei übereinanderliegende Fußbodenniveaus (Abb. 4.17-18). In den Fußboden P1 wurden sechs längliche flache Gruben (E1-E6) mit einer homogenen Verfüllung eingegraben, die aus reinen und blättrigen Tonblöcken bestand. Der Boden, auf dem die Tonschicht liegt, ist fein und grau, was möglicherweise zum Teil einer pflanzlichen Auskleidung zuzuschreiben ist. Diese Gruben haben unregelmäßige Form und sind flach, aber alle weisen die gleiche Art der Verfüllung auf. Auf der Fläche, in der die Gruben freigelegt wurden, befinden sich 43 kleine kreisförmige Pfostenlöcher mit 5 cm Durchmesser und einer Tiefe zwischen 2 und 13 cm (Abb. 4.18-21). Die Anordnung dieser kleinen Pfostenlöcher auf dem Fußboden ist unregelmäßig, sie folgt keinem erkennbaren Kriterium. Die meisten von ihnen liegen in den nordöstlichen und nordwestlichen Bereichen des Quadrats, nahe der größten Grube E6. Die kleinen Dimensionen und die unregelmäßige Verteilung der Löcher, sowie das gleichzeitige Vorhandensein der Gruben mit reinem Ton könnten darauf hindeuten, daß der Raum als Handwerkerareal genutzt wurde. Möglicherweise gab es die Notwendigkeit, Holzpflocke (und nicht Pfosten) wiederholt in den Fußboden einzusetzen, vielleicht Stützen von Gegenständen, Werkzeugen oder einfach einer provisorischen Bedeckung¹¹.

Ein zweiter Fußboden (P2) von A480, unterhalb des ersten, erfaßt noch 20 Löcher ähnlich jenen von P1. Ferner sind weitere drei kleine "Becken" vorhanden (E7-E9).

A480 hat keine Verbindungen mit einer aufgehenden Struktur und kann einem ausgedehnten freien Raum (Hof oder Arbeitszone) zugeschrieben werden. Während der Frühbronzezeit III wurde diese Zone als Bereich für Gemeinschaftsarbeiten genutzt, insbesondere für die Verarbeitung von Getreide (A516). Es ist möglich, daß der Raum A480 eine ähnliche Bestimmung oder eine handwerkliche Nutzung gehabt hat (Abb. 4.18-19).

--- E1. Längliche Grube in dem Fußboden P1; *Länge* 1,15 m; *Breite* 0,25 m; *max. Tiefe* 0,16 m; *oberes Höheniveau* -2,94 m.

--- E2. Kleine Grube mit kreisförmiger Mündung in dem Fußboden P1; \emptyset : 0,30 m; *max. Tiefe* 0,10 m; *oberes Höheniveau* -2,93 m.

--- E3. Kleine Grube mit kreisförmiger Mündung in dem Fußboden P1; \emptyset : 0,30 m; *max. Tiefe* 0,6 m; *oberes Höheniveau* -2,95 m.

--- E4. Kleine Grube in dem Fußboden P1; erkennbar ist nur ein halbkreisförmiger Teil der Mündung, weil sie von der französischen Sondage geschnitten wurde; *Länge* 0,30 m; *Breite* 0,12 m; *max. Tiefe* 0,06 m; *oberes Höheniveau* -2,85 m.

--- E5. Kleine Grube in dem Fußboden P1; erkennbar ist nur ein halbkreisförmiger Teil der Mündung, weil sie von der französischen Sondage geschnitten wurde; *Länge* 0,28 m; *Breite* 0,10 m; *max. Tiefe* 0,03 m; *oberes Höheniveau* -2,83 m.

¹¹ Palmieri, Frangipane 1989: 191-192.

4. Stratigraphie und Architektur

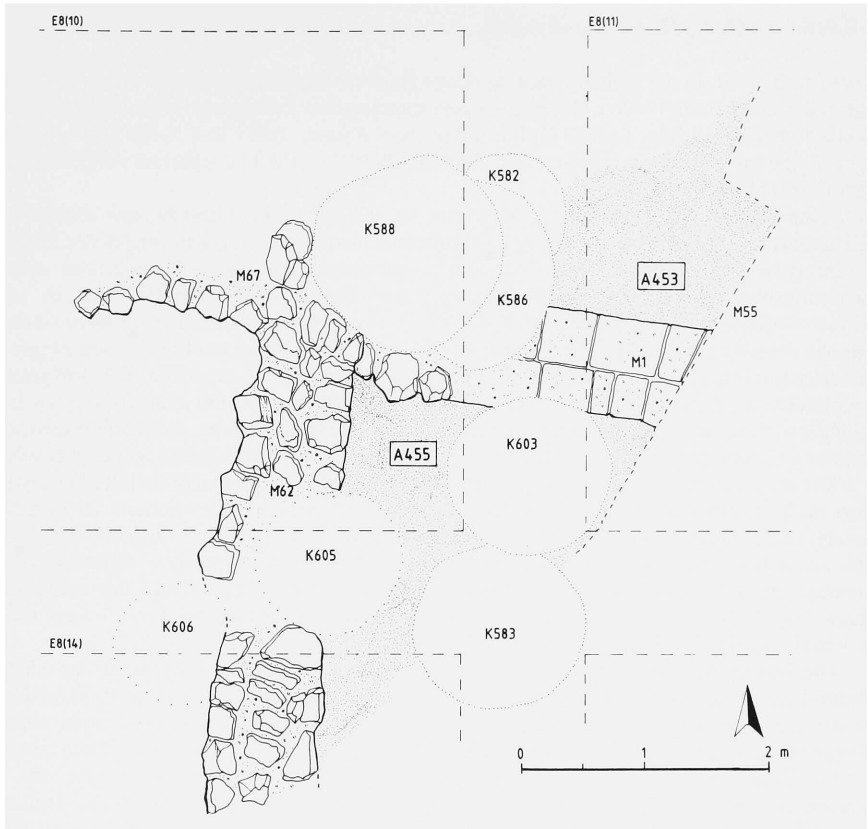


Abb. 4.17 - Planimetrie der Mauern M62 und M67.

--- E6. Grube mit ovaler Mündung im Fußboden P1; Länge 1,55 m; Breite 1,28 m; max. Tiefe 0,23 m; oberes Höheniveau -2,96 m.

--- E7. Kleines kreisförmiges Becken im Fußboden P2; \varnothing : 0,35 m; max. Tiefe 0,38 m; oberes Höheniveau -3,26 m.

--- E8. Kleines kreisförmiges Becken im Fußboden P2; \varnothing : 0,20 m; max. Tiefe 0,13 m; oberes Höheniveau -3,23 m.

--- E9. Kleines kreisförmiges Becken im Fußboden P2; \varnothing : 0,13 m; max. Tiefe 0,11 m; oberes Höheniveau -3,33 m.

Die Räume A481, A482, A479 und A483.

--- A481 und A482. In der frühen Phase ist dieser Bereich, möglicherweise ein freier Hof, von einer Mauer oder einer Bank besetzt, die eine einzige querliegende Lehmziegelreihe bildet. Die Struktur verläuft NO-SW und liegt in E8(11). Sie trennt zwei Räume, A481 und A482 (Abb. 4.22). A481 erstreckt sich bis zu den Grabungsarealen E8(10), E8(10-11), E8(11), während A482 innerhalb des Quadrats E8(11) erfaßt wurde.

Der Raum A481, der eine Fläche von ca. 12-15 m² hat, besteht aus mindestens drei Fußbodenniveaus mit den dazugehörigen Gründungsschichten. Nach Osten, hinter der Trennmauer, mit der sich A481 möglicherweise verbindet, erscheinen die nachfolgenden und zahlreichen Erneuerungsphasen der einzelnen Fußbodenniveaus. Dort befinden sie sich fast in vertikaler Position infolge ihrer Anbindung an die Mauer -, aber sie sind tatsächlich in ihrer horizontalen Lage nur abraziert. P1 ist eine Schicht aus hellgrauem Lehm, der einen homogenen beige Boden überdeckt, unter dem eine zweite, stark verbrannte Lehmfläche, P2, erscheint. Die Ausgrabung hat die Gründungsschicht von P2 und eine dritte Fußbodenfläche, P3, mit einigen kleinen Löchern, ähnlich jenen des Raumes A480, aufgedeckt. Dieses Areal ist schwer zu interpretieren, denn es wurde von Gruben (K630, K622, K605) und im Süden von der französischen Sondage beschädigt.

Der Raum A482 ist nur zum Teil in dem östlichen Bereich des Quadrats E8(11) freigelegt. Er grenzt nach Norden und Osten an den Grabungsrand, nach Süden an den Schnitt der französischen Sondage und nach Westen an die Trennmauer der Räume A481 und A482 (von nun an: A482.M1). Auch in A482 sind drei Lehmfußbodenflächen mit den dazugehörigen Gründungsschichten erkennbar. P1, P2, und P3 weisen zahlreiche Pflocklöcher auf, ähnlich denen der vorhergehenden Räume. Ihre Tiefe variiert von 3 cm bis zu 7 cm, und die Durchmesser sind mit 3-5 cm sehr klein. Die Verteilung dieser Löcher sieht ganz zufällig aus.

Die Mauer M1 wird aus zwei Lehmziegelreihen gebildet. Die Längsseite der Ziegel liegt rechtwinklig auf der Achse der Mauer, die keine Fundamentierung besitzt. Die Struktur überdeckt eine weitere vorhergehende Fläche, Raum A485, der möglicherweise einer noch nicht unterteilten, früheren Bauphase von A482 entspricht. Die verschiedenen Kennzeichen lassen daran denken, M1 als eine Bank, und nicht als eine echte Mauer anzusprechen. Diese Zone, die am Anfang ausgedehnter war, wird später in die zwei Räume A481 und A482 durch eine flache Trennstruktur geteilt. Wir kennen die Höhe des aufgehenden Aufbaus (Mauer oder Bank) nicht, weil die ganze Struktur planiert wurde, aber mit Sicherheit binden die Fußböden des Raumes A482, so wie jene von A481, an dieser "Mauer" an.

--- A479. In dem Quadrat E8(10) können die wenigen Reste eines Fußbodens unterhalb der Schicht 4 dem Raum A479 zugeschrieben. Diese Fläche, die wenig mehr als ein Quadratmeter (Abb. 4.22) erhalten ist, besteht aus einer Schicht aus dichtem Ton und Kies, sie ist gleichzeitig mit dem Fußboden P1 von A481, der sich in den Quadraten E8(10) und E8(11) erstreckt.

--- A483. Stichhaltiger sind die archäologischen Belege für Raum A483 (Abb. 4.23). Es handelt sich um einen viereckigen, gut verputzten, und leicht tiefliegenden Fußboden mit abgerundeten Ecken. Die Fläche liegt in den Quadraten E8(10), E8(10-11) und E8(10-14). Die Grenzen des Raumes sind deutlich erkennbar, außer dem Westteil, der von den Gruben K601, K587 und K576 geschnitten wird. Die Orientierung der viereckigen Fläche ist NW-SO. Der Verputz des Fußbodens P1 von A483 ist 3-7 cm dick, und er überdeckt eine Grundierungsschicht (4-9 cm), die ihrerseits auf einem feinen braunen Boden liegt. Außer dem Raum A483 sind in den Quadraten E8(11) und E8(14) zahlreiche kleine Pfostenlöcher vorhanden. A483 kann stratigraphisch mit dem Fußboden P3 von A481 verbunden werden, und er ist möglicherweise jünger als A485.

4. Stratigraphie und Architektur

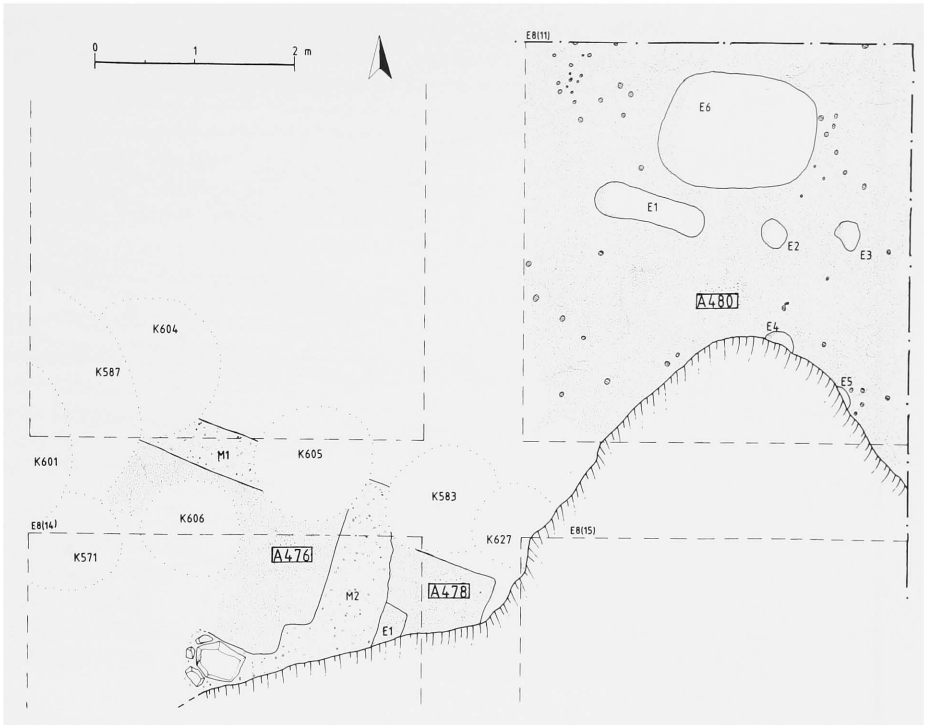


Abb. 4.18 - Planimetrie der Räume A480, A476, A478.

Die Räume A485, A487, A488, A489.

--- A485. Spuren eines verbrannten Fußboden in den Quadraten E8(10-11), E8(11), unterhalb der Flächen von A481 und A482 (Abb. 4.23). Auf ihm liegt die Mauer M1 von A482. Auch hier sind zahlreiche Pflocklöcher von verschiedenen Dimensionen vorhanden. Ferner sind sie unregelmäßig verteilt. Diese schlecht erhaltene Lehmfläche überdeckt A488 und A489 und sie wird von A487 geschnitten.

--- A487. In dem nordöstlichen Bereich des Quadrats E8(11) sind Reste eines weiteren verbrannten, schlecht erhaltenen Fußbodens vorhanden, der zum Teil A485 schneidet, aber von A482 überdeckt wird.

--- A488 und A489. Reste von zwei aneinanderliegenden Fußböden, die in den Quadraten E8(11) bzw. E8(10) liegen. Zwischen ihnen gibt es keine deutliche Trennungslinie. A488 ist eine verputzte viereckige Fläche, die sich steil in N-S Richtung über ca. 3x4 m² erstreckt. Nach Westen, in dem Zwischensteg E8(10-11), weist die Fläche A489 eine andere Neigung auf; die Trennlinie zwischen den beiden Fußböden ist jedoch nicht deutlich erkennbar. Ihre Gleichzeitigkeit steht außer Zweifel, obwohl A489 eine unbekannte Ausdehnung hat, und der westliche Rand schwer zu definieren ist.

4. Stratigraphie und Architektur

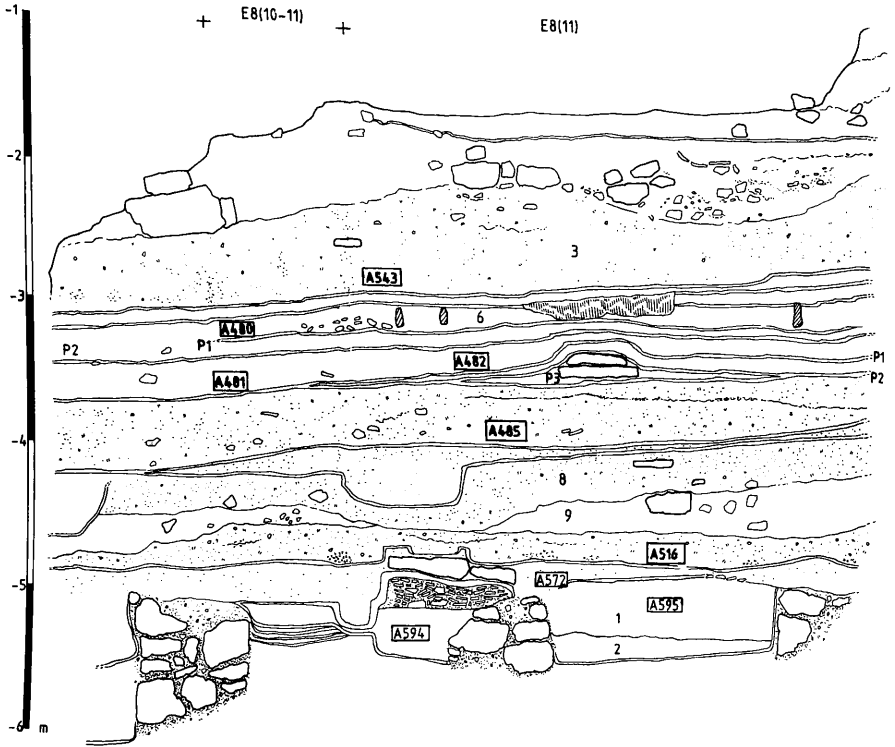


Abb. 4.19 - Westostprofil des Quadrats E8(11), Nordwand.

4.11 DIE FUSSBÖDEN DER RÄUME A505 UND A507 IN E8(6) (PHASE VA₁)

Nach Westen, in dem Quadrat E8(6), unterhalb der Erdakkumulationsschicht E8(6)6, sind zwei aneinanderliegende Lehmfußböden, A505 und A507, freigelegt worden. Beide stark beschädigte Flächen sind ähnlich und möglicherweise gleichzeitig zu denjenigen, die in E8(10) aufgedeckt wurden. A507, der im westlichen Teil des Quadrats liegt, ist ein vom Feuer versehrter Fußboden: 5-7 cm dick, und 8 m² bedeckend. Die Ränder des Raumes sind unbestimmbar. A505 besetzt einen 3 m langen, und 0,20-0,50 m breiten Streifen im östlichen Teil des Quadrats. Er ist SW-NO orientiert. Genau nach Nordosten ist eine Ecke vorhanden; der Rand des Fußbodens setzt sich rechtwinklig nach Südosten fort, aber die ganze Zone wird von der Grube K625 geschnitten, und das erschwert die Bestimmung der Ränder der Fläche. Die beiden Fußböden, A505 und A507, können mit der Fläche A481 des Quadrats E8(11) korreliert werden.

4.12 DIE GRUBEN DER PHASE VA₁

Mit Sicherheit der Frühphase der Periode VA sind mindestens 45 Gruben zuzuschreiben. Gegenüber der Spätphase ist die Grubenanzahl verdoppelt. Einige Grabungsareale, wie D8(8),

4. Stratigraphie und Architektur

E8(5) und E8(9), in denen keine architektonische Anlage zutagegekommen ist, weisen eine stratigraphische Sequenz auf, die wir als "Grubenhorizont" definieren können.

Jede Grube wird im nachfolgenden Text schematisch beschrieben.

K571

Grabungsareal: E8(14).

Beschreibung: Grube mit kreisförmiger Mündung; nur zum Teil erhalten; Boden und Wände mit organischem Material ausgekleidet; Füllungsschicht aus Aschenboden mit Lehmziegelfragmenten; \varnothing : 1,10 m; *Tiefe:* 0,10 m; *oberes Höheniveau:* -3,27 m; *stratigraphische Beziehungen:* schneidet E8(14)4; wird von K601 geschnitten.

K576

Grabungsareal: E8(10).

Beschreibung: Grube mit kreisförmiger Mündung; nur zum Teil erhalten; Füllungsschicht aus einem beigen, kompakten, körnigen Boden; \varnothing : 1,46 m; *Tiefe:* 0,71 m; *oberes Höheniveau:* -3,41 m; *stratigraphische Beziehungen:* schneidet A479; wird von K587 und K604 geschnitten; wird von E8(10)3b überdeckt.

K577

Grabungsareal: E8(9).

Beschreibung: Grube mit kreisförmiger Mündung; pflanzliche Auskleidung erkennbar nur auf dem Boden; Füllungsschicht aus einem kompakten, grauen Boden; \varnothing : 1,58 m; *Tiefe:* wenige Zentimeter; *Höheniveau des Bodens:* -4,72 m; *stratigraphische Beziehungen:* schneidet K578 und das Kanälchen E1 des Raumes A29 (Frühbronzezeit III); wird von E8(9)4 überdeckt.

K578

Grabungsareal: E8(9).

Beschreibung: Grube mit kreisförmiger Mündung; Füllungsschicht aus einem mit vielen Lehmziegelfragmenten verbrannten Boden; \varnothing : 1,28 m; *Tiefe:* wenige Zentimeter; *Höheniveau des Bodens:* -4,59 m; *stratigraphische Beziehungen:* schneidet das Kanälchen E1 des Raumes A29 (Frühbronzezeit III); wird von K577 geschnitten; wird von E8(9)4 überdeckt.

K579

Grabungsareal: E8(9).

Beschreibung: weite Grube mit kreisförmiger Mündung; Verfüllung aus zwei Schichten : Schicht 1 mächtige Sequenz (1,72 m) mit Aschen und verbranntem organischem Material; Schicht 2 gelblicher Ton mit Steinen, die deutliche Feuerspuren aufweisen (0,28 m); \varnothing : 2,80 m; *Tiefe:* 2 m; *oberes Höheniveau:* -3,62 m; *stratigraphische Beziehungen:* schneidet K571; wird von K585 und K644 geschnitten; wird von E8(9)4 überdeckt.

K583

Grabungsareal: E8(10-14), E8(14).

Beschreibung: Grube mit kreisförmiger Mündung; \varnothing : 1,45 m; *Tiefe:* 0,64 m; *oberes Höheniveau:* 2,56 m; *stratigraphische Beziehungen:* schneidet A476 und A478; wird von K603 geschnitten.

K594

Grabungsareal: D8(12), E8(9).

4. Stratigraphie und Architektur

Beschreibung: Grube mit kreisförmiger Mündung; Füllungsschicht aus einem grauen Aschenboden; Ø: 1,16 m; *Tiefe:* unbestimmbar; *Höheniveau des Bodens:* -4,35 m; *stratigraphische Beziehungen:* wird von K659 und K658 geschnitten; wird von E(9)4 überdeckt.

K597

Grabungsareal: E8(5).

Beschreibung: Grube mit kreisförmiger Mündung; Füllungsschicht aus einem grauen Aschenboden; Ø: 1,20 m; *Tiefe:* 0,13 m; *oberes Höheniveau:* -4,33 m; *stratigraphische Beziehungen:* schneidet E8(5)5c-d; wird von E8(5)5b und E8(5)6 überdeckt.

K598

Grabungsareal: D8(7), D8(7-8).

Beschreibung: Grube mit kreisförmiger Mündung; schlechter Erhaltungszustand; Füllungsschicht aus einem bröckeligen grau-braunen Boden; Ø: unbestimmbar; *Tiefe:* unbestimmbar; *oberes Höheniveau:* -4,16 m; *stratigraphische Beziehungen:* schneidet K670, A299; wird von D8(8)6a überdeckt.

K603

Grabungsareal: E8(10-11).

Beschreibung: Grube mit kreisförmiger Mündung; Füllungsschicht aus einem mit vielen Kohlenfragmenten durchsetzten, hellbraunen Boden; Ø: 1,40 m; *Tiefe:* 0,34 m; *oberes Höheniveau:* -2,41 m; *stratigraphische Beziehungen:* schneidet K583, A455.M1, E8(11)4bß; wird von E8(11)4a überdeckt.

K604

Grabungsareal: E8(10).

Beschreibung: Grube mit zwei organischen Auskleidungsschichten; kreisförmige Mündung durch einige Steine markiert; Füllungsschicht aus einem mit vielen Kohlenfragmenten und Aschen durchsetzten, beige-grauen Boden; Ø: 1,46 m; *Tiefe:* ca. 0,35 m; *oberes Höheniveau:* -3,05 m; *stratigraphische Beziehungen:* schneidet A476, A481; wird von K587 geschnitten; wird von M67 überdeckt.

K605

Grabungsareal: E8(10), E8(10-14).

Beschreibung: Grube mit kreisförmiger Mündung; Füllungsschicht aus einem mit vielen Kohlenfragmenten durchsetzten, beige-grauen, feinen und wenig kompakten Boden; Ø: 1,20 m; *Tiefe:* 0,93 m; *Höheniveau des Bodens:* -3,70 m; *stratigraphische Beziehungen:* schneidet A476; wird von M62 überdeckt.

K606

Grabungsareal: E8(14), E8(10-14).

Beschreibung: Grube mit kreisförmiger Mündung; Füllungsschicht aus einem Boden mit Kohlen und Asche durchsetzt; Ø: 1 m; *Tiefe:* 0,60 m; *oberes Höheniveau:* -3,10 m; *stratigraphische Beziehungen:* schneidet E8(10)4, A476; wird von E8(10)3b überdeckt.

4. Stratigraphie und Architektur

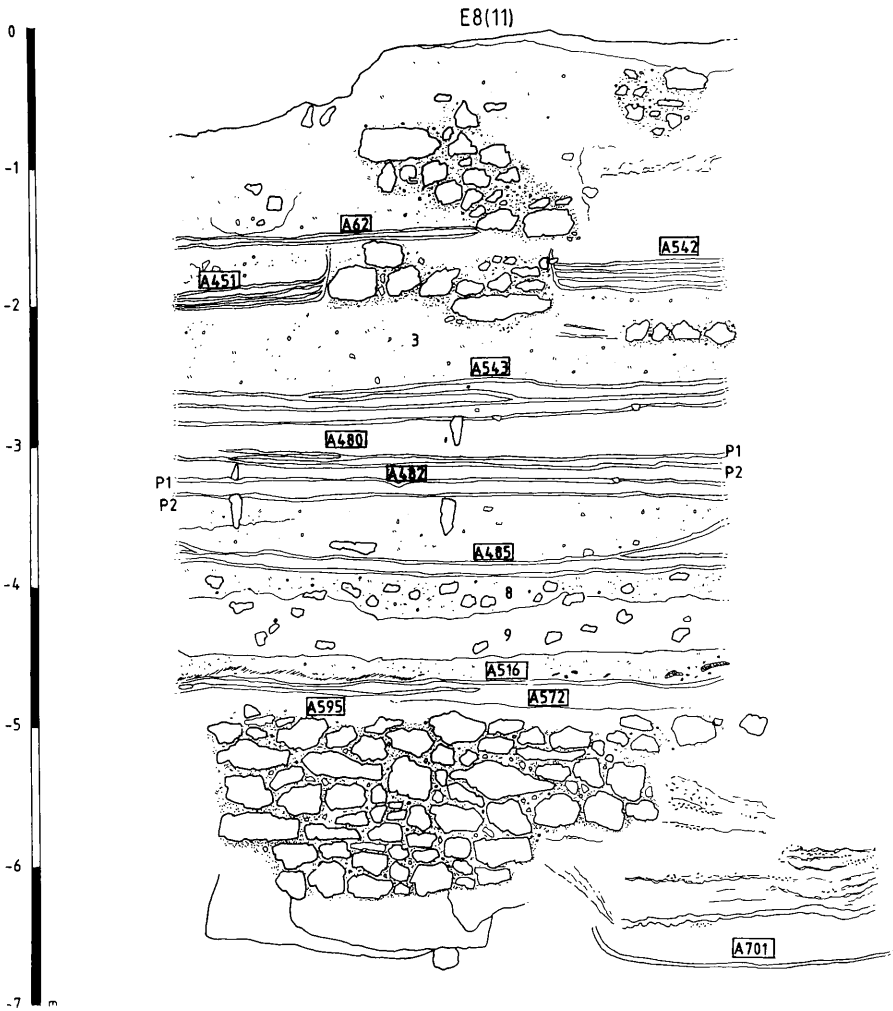


Abb. 4.20 - Nord-südprofil des Quadrats E8(11), Ostwand.

K611

Grabungsareal: E8(10).

Beschreibung: Grube mit kreisförmiger Mündung; Vorhandensein einer organischen Auskleidungsschicht; Füllungsschicht aus einem braunen, wenig kompakten Boden; Ø: 1,37 m; *Tiefe:* 0,30 m; *oberes Höheniveau:* -3,34 m; *stratigraphische Beziehungen:* schneidet A479, E8(10)4; wird von K612 geschnitten; wird von E8(10)3b überdeckt.

K613

Grabungsareal: E8(14).

Beschreibung: Grube mit unregelmäßiger Mündung; Verfüllung aus zwei Schichten : Schicht 1 - verbrannter Boden und Aschen; Schicht 2 grau-brauner kompakter Boden; Ø: unbestimmbar; *Tiefe:* unbestimmbar; *oberes Höheniveau:* unbestimmbar; *stratigraphische Beziehungen:* schneidet K571 und K606.

K622

Grabungsareal: E8(11).

Beschreibung: Grube mit kreisförmiger Mündung; Füllungsschicht aus einem graue-braunen lehmigen Boden; Ø: 1 m; *Tiefe:* 0,50 m; *Höheniveau des Bodens:* -3,61 m; *stratigraphische Beziehungen:* schneidet A480.P2; wird von E8(11)6 überdeckt.

K623

Grabungsareal: E8(14), E8(13-14).

Beschreibung: Grube mit kreisförmiger Mündung; Ø: unbestimmbar; *Tiefe:* unbestimmbar; *oberes Höheniveau:* unbestimmbar; *stratigraphische Beziehungen:* schneidet E8(14)4a; wird von K624 geschnitten.

K624

Grabungsareal: E8(14).

Beschreibung: Grube mit kreisförmiger Mündung; Ø: unbestimmbar; *Tiefe:* unbestimmbar; *oberes Höheniveau:* unbestimmbar; *stratigraphische Beziehungen:* schneidet K623, E8(14) 4a.

K627

Grabungsareal: E8(10-11), E8(10-11-14-15).

Beschreibung: Grube mit kreisförmiger Mündung; Füllungsschicht aus einem grauen wenig kompakten Boden; Ø: 1 m; *Tiefe:* unbestimmbar; *oberes Höheniveau:* unbestimmbar; *stratigraphische Beziehungen:* schneidet A478; wird von einer Grabungs sondage der Archäologischen Mission Frankreichs geschnitten; wird von E8(11)4a überdeckt.

K629

Grabungsareal: E8(9), E8(9-10).

Beschreibung: Grube mit kreisförmiger Mündung; Füllungsschicht aus einem mit vielen Kohlenfragmenten durchsetzten, grauen, kompakten, lehmigen Boden; Ø: 1,57 m; *Tiefe:* 0,23 m; *oberes Höheniveau:* -4,50 m; *stratigraphische Beziehungen:* schneidet E8(10)4; wird von E8(10)3b überdeckt.

K630

Grabungsareal: E8(11).

Beschreibung: Grube mit kreisförmiger Mündung; Füllungsschicht aus einem körnigen Boden; Ø: unbestimmbar; *Tiefe:* unbestimmbar; *oberes Höheniveau:* unbestimmbar; *stratigraphische Beziehungen:* schneidet A481.1, A481.P1; wird von E8(11)6 überdeckt.

K636

Grabungsareal: D8(4-8).

Beschreibung: weite Grube mit unregelmäßiger Mündung; Füllungsschicht aus einem grauen, feinen, kompakten Boden; Ø: O-W Achse 1,40 m, S-N Achse 0,45 m; *Tiefe:* 0,50 m; *oberes Höheniveau:* -3,95 m; *stratigraphische Beziehungen:* schneidet M73, D8(8)6a; wird von A456.P2 überdeckt.

K637

Grabungsareal: E8(5).

Beschreibung: Grube mit kreisförmiger Mündung; Verfüllung aus zwei Schichten: Schicht 1 mit vielen Kohlenfragmenten durchsetzter, braun-gräulicher, kompakter Boden; Schicht 2 übereinanderliegende Schichten aus Asche, Kohle, Ton und verbrannten Pflanzen; Ø: 1,78 m; *Tiefe:* 0,37 m; *oberes Höheniveau:* -4,49 m; *stratigraphische Beziehungen:* schneidet E8(5)6; wird von K639 geschnitten; wird von E8(5)5d überdeckt.

K638

Grabungsareal: E8(5).

Beschreibung: weite Grube mit kreisförmiger Mündung; Füllungsschicht aus einem grauen, lehmigen, kompakten Boden; Ø: 2,34 m; *Tiefe:* 0,92 m; *oberes Höheniveau:* -4,33 m; *stratigraphische Beziehungen:* schneidet E8(5)5b; wird von K657 geschnitten; wird von E8(5)5a überdeckt.

K639

Grabungsareal: E8(5).

Beschreibung: Grube mit kreisförmiger Mündung; Vorhandensein einer organischen Auskleidungsschicht; Füllungsschicht aus einem mit vielen Kohlenfragmenten durchsetzten, beige-grauen lehmigen Boden; Ø: 1,54 m; *Tiefe:* 0,29 m; *oberes Höheniveau:* -4,49 m; *stratigraphische Beziehungen:* schneidet K637; wird von E8(5)5d überdeckt.

K640

Grabungsareal: D8(8-12)E8(5-9), D8(12-13).

Beschreibung: Grube mit kreisförmiger Mündung; Ø: unbestimmbar; *Tiefe:* unbestimmbar; *oberes Höheniveau:* unbestimmbar; *stratigraphische Beziehungen:* schneidet E8(5)6b, A299; wird von E8(5)6a überdeckt.

K641

Grabungsareal: E8(11).

Beschreibung: Grube mit kreisförmiger Mündung; Ø: 0,42 m; *Tiefe:* 0,51 m; *oberes Höheniveau:* 3,56 m; *stratigraphische Beziehungen:* schneidet A481.P2; wird von A481.P1 überdeckt.

K642

Grabungsareal: E8(11).

Beschreibung: Grube mit kreisförmiger Mündung; Ø: 0,40 m; *Tiefe:* 0,35 m; *oberes Höheniveau:* 3,44 m; *stratigraphische Beziehungen:* schneidet A481.P2; wird von A481.P1 überdeckt.

K643

Grabungsareal: E8(5-6).

Beschreibung: Grube mit kreisförmiger Mündung; Vorhandensein einer organischen Auskleidungsschicht; Füllungsschicht aus einem mit vielen Kohlenfragmenten durchsetzten, grau-braunen Boden; Ø: 1,34 m; *Tiefe:* 0,15 m; *oberes Höheniveau:* -4,44 m; *stratigraphische Beziehungen:* schneidet E8(6)6; wird von E8(6)5 überdeckt.

K644

Grabungsareal: E8(9), E8(9)D8(12).

Beschreibung: weite Grube mit kreisförmiger Mündung; pflanzliche Auskleidung erkennbar nur auf dem Boden; Füllungsschicht aus einem mit vielen Kohlenfragmenten durchsetzten, grauen, wenig kompakten Boden; Ø: 2,36 m; *Tiefe:* unbestimmbar; *oberes Höheniveau:* unbestimmbar; *stratigraphische Beziehungen:* schneidet K579; wird von K658 geschnitten.

K645

Grabungsareal: D8(7-11).

Beschreibung: Grube mit kreisförmiger Mündung; pflanzliche Auskleidung erkennbar nur auf dem Boden; Ø: 1,60 m; *Tiefe:* wenige Zentimeter; *oberes Höheniveau:* unbestimmbar; *stratigraphische Beziehungen:* schneidet D8(8)6b; wird von D8(8)6a überdeckt.

K652

Grabungsareal: D8(8)D8(8-12).

Beschreibung: Grube mit ovaler Mündung; auf dem Boden unterscheiden sich sieben organische Auskleidungsschichten; Verfüllung aus zwei Schichten: Schicht 1 - verbrannter Lehm Boden; Schicht 2 - wechselnde Niveaus von Asche und Erde; Ø: 1,60 m; *Tiefe:* 0,80 m; *oberes Höheniveau:* -4,15 m; *stratigraphische Beziehungen:* schneidet D8(8)6b, A299; wird von D8(8)6a überdeckt.

K655

Grabungsareal: D8(8-12), D8(7-11), D8(7-8-11-12).

Beschreibung: Grube mit ovaler Mündung; pflanzliche Auskleidung erkennbar nur auf dem Boden; Füllungsschicht aus einem grauen kompakten Boden; Ø: N-S Achse 0,60 m; O-W Achse 1,65 m; *Tiefe:* 0,34 m; *oberes Höheniveau:* -4,23 m; *stratigraphische Beziehungen:* schneidet D8(8)6a; wird von M73, K593 geschnitten.

K656

Grabungsareal: E8(10), E8(6-10).

Beschreibung: Grube mit kreisförmiger Mündung; Füllungsschicht aus einem grau-braunen kompakten Boden; Ø: 1 m; *Tiefe:* 0,70 m; *oberes Höheniveau:* -3,80 m; *stratigraphische Beziehungen:* schneidet A479, A481.P1; wird von E8(10)3b überdeckt.

K657

Grabungsareal: E8(5), E8(5-6).

Beschreibung: Grube mit kreisförmiger Mündung; pflanzliche Auskleidung erkennbar nur auf dem Boden; Füllungsschicht aus einem mit Kohlenfragmenten und Asche durchsetzten, grau-braunen, lehmigen Boden; Ø: 1,55 m; *Tiefe:* 0,72 m; *oberes Höheniveau:* -4,40 m; *stratigraphische Beziehungen:* schneidet K638, E8(6)6; wird von E8(6)5e überdeckt.

K658

Grabungsareal: D8(12)E8(9).

Beschreibung: Grube mit kreisförmiger Mündung; pflanzliche Auskleidung erkennbar nur auf dem Boden; Füllungsschicht aus einem mit Kohlenfragmenten und dicken Ascheniveaus durchsetzten, grauen Boden; Ø: 1,80 m; *Tiefe:* unbestimmbar; *Höheniveau des Bodens:* -4,42 m; *stratigraphische Beziehungen:* schneidet K594, K644; wird von E8(9)4a-c überdeckt.

K659

Grabungsareal: D8(12)E8(9).

Beschreibung: Grube mit kreisförmiger Mündung; Füllungsschicht aus einem grauen bröckeligen Boden; Ø: 1,48 m; *Tiefe:* unbestimmbar; *Höheniveau des Bodens:* -4,92 m; *stratigraphische Beziehungen:* schneidet K594.

K666

Grabungsareal: D8(8), D8(4-8).

Beschreibung: Grube mit kreisförmiger Mündung; Vorhandensein einer organischen Auskleidungsschicht; Verfüllung aus zwei Schichten : Schicht 1 brauner kompakter Boden; Schicht 2 - dünne, wechselnde Niveaus von Asche und einem beigen, wenig kompakten Boden; Ø: 1,15 m; *Tiefe:* 0,45 m; *oberes Höheniveau:* -4,43 m; *stratigraphische Beziehungen:* schneidet D8(8)6b-f; wird von D8(8)6a überdeckt.

K668

Grabungsareal: D8(7)D8(7-8), D8(8)D8(7-8-11-12).

Beschreibung: Grube mit kreisförmiger Mündung; Füllungsschicht aus einem beigen bröckeligen Boden; Ø: 1,58 m; *Tiefe:* unbestimmbar; *oberes Höheniveau:* -4,24 m; *stratigraphische Beziehungen:* schneidet A299; wird von D8(8)6a überdeckt.

K669

Grabungsareal: D8(7-11).

Beschreibung: Grube mit unregelmäßiger Mündung; Füllungsschicht aus einem schwarzen, verbrannten, bröckeligen Boden; Ø: O-W Achse 2,10 m; N-S Achse 1 m; *Tiefe:* 1,19 m; *oberes Höheniveau:* -4,25 m; *stratigraphische Beziehungen:* schneidet A299; wird von K655 geschnitten; wird von D8(8)6a überdeckt.

K670

Grabungsareal: D8(7).

Beschreibung: Grube mit kreisförmiger Mündung; Füllungsschicht aus einem grauen, pulvrigen Boden; Ø: 1,75 m; *Tiefe:* unbestimmbar; *oberes Höheniveau:* -4,16 m; *stratigraphische Beziehungen:* schneidet A299; wird von K598 geschnitten; wird von D8(8)6a überdeckt.

K671

Grabungsareal: E8(9).

Beschreibung: Grube mit kreisförmiger Mündung; Füllungsschicht aus einem mit vielen Kohlenfragmenten durchsetzten, grau-braunen, lehmigen Boden; Ø: unbestimmbar; *Tiefe:* unbestimmbar; *oberes Höheniveau:* unbestimmbar; *stratigraphische Beziehungen:* schneidet E8(9)5a; wird von K579 geschnitten; wird von E8(9)4c überdeckt.

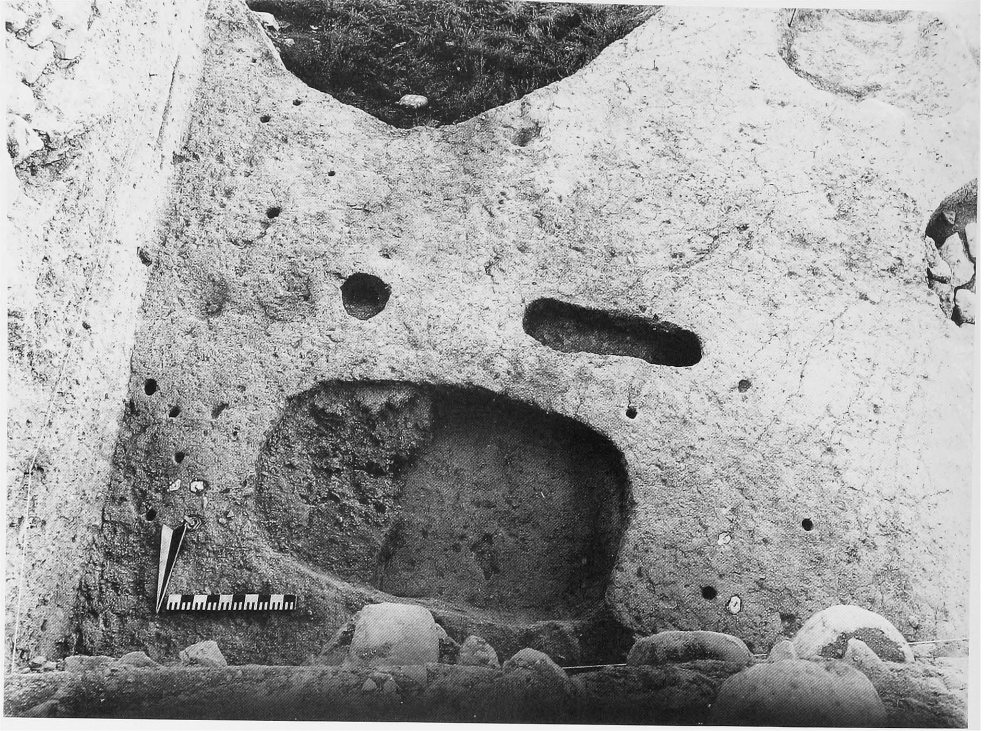


Abb. 4.21 - Aufnahme des Raumes A480, Ansicht von Norden.

K673

Grabungsareal: D8(8), D8(8)E8(5).

Beschreibung: Grube mit kreisförmiger Mündung; \emptyset : unbestimmbar; *Tiefe:* unbestimmbar; *oberes Höheniveau:* unbestimmbar; *stratigraphische Beziehungen:* schneidet E8(5)7a; wird von K678 geschnitten; wird von E8(5)6 überdeckt.

K674

Grabungsareal: D8(7).

Beschreibung: Grube mit kreisförmiger Mündung; \emptyset : unbestimmbar *Tiefe:* unbestimmbar; *oberes Höheniveau:* unbestimmbar; *stratigraphische Beziehungen:* schneidet D8(8)6b; wird von D8(8)6a überdeckt.

K678

Grabungsareal: D8(8)E8(5), E8(5).

Beschreibung: Grube mit kreisförmiger Mündung; Füllungsschicht aus einem mit vielen Kohlenfragmenten durchsetzten Aschenboden; \emptyset : unbestimmbar; *Tiefe:* unbestimmbar; *oberes Höheniveau:* nicht bestimmbar; *stratigraphische Beziehungen:* schneidet K673, E8(5)7a; wird von E8(5)6 überdeckt.

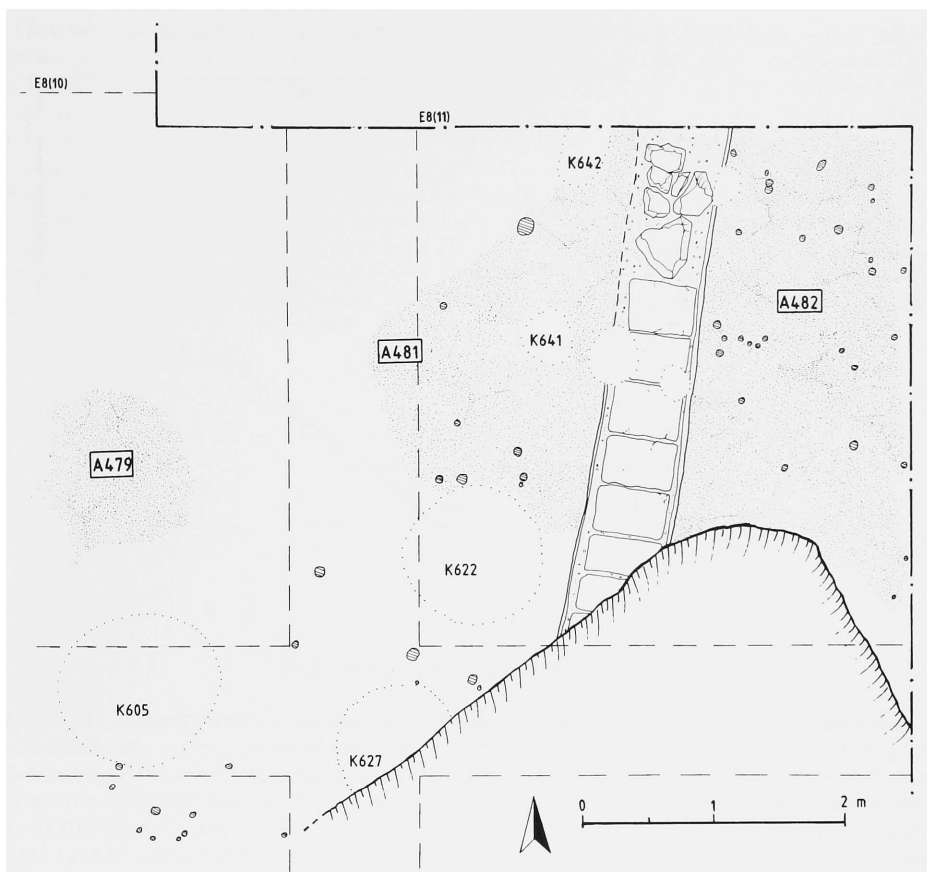


Abb. 4.22 - Planimetrie der Räume A481, A482, A479.

4.13 SCHLUSSFOLGERUNGEN

Aus den Beobachtungen über die Stratigraphie und aus der Beschreibung der Architektur ergibt sich deutlich, daß die mittelbronzezeitliche Siedlung von Arslantepe im Vergleich zu der unmittelbar vorhergehenden Periode eine offensichtliche Veränderung erfährt. Das ganze Grabungsareal weist meistens seltene, isolierte und in schlechtem Erhaltungszustand befindliche Strukturen auf, ausgenommen in der Spätphase, in der zwei viereckige übereinanderliegende Räume, A58 und A456, vorhanden sind. Der Rest der Architektur umfaßt hauptsächlich einfache Fußböden, die den Höfen oder den freien Flächen mit Feuerstellen, Becken und zahlreichen Gruben zugeschrieben werden können. Mit einer so fragmentarischen archäologischen Dokumentation ist es schwierig, die Siedlungskennzeichen und die architektonische Typologie festzustellen. Ferner ergibt sich schwer die Identifizierung der Vergleichsfunde.

Die häuslichen Einrichtungen sind selten. Möglicherweise ist A58 als großer Wohnraum zu interpretieren. Das Vorhandensein großer Vorratsbehälter gibt dem Raum auch eine Funktion für die Aufbewahrung der Nahrungsmittel.

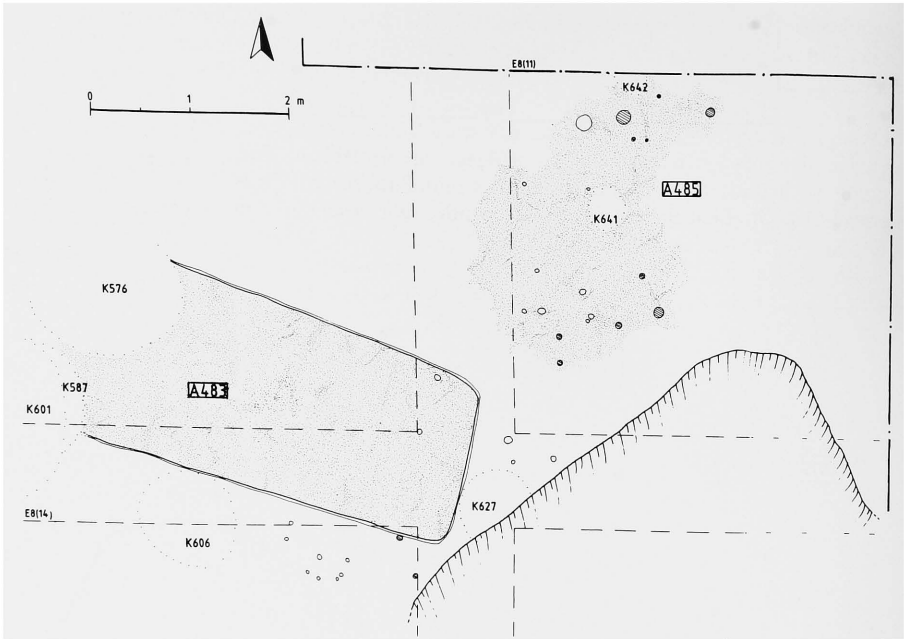


Abb. 4.23 - Planimetrie der Räume A483, A485.

Wahrscheinlich gehörte A58 zu einem ausgedehnten Gebäude mit weiteren Räumen, die, wie die Anlagen der Frühbronzezeit II und III, terrassiert gewesen sein könnten, aber es gibt davon keine Spur. Sein unmittelbarer Vorgänger, A456, hat kleinere Dimensionen, aber er wies möglicherweise ähnliche Kennzeichen auf und diente den gleichen Zwecken. In A456 ist leider kein Material *in situ* zutage gekommen, denn der Raum wurde bis zum Fundament eingeebnet, und der Grundriß ist nur zum Teil erhalten. Reste der typischen Außenfußböden sind schmalen Wegen und kleinen Höfen zuzuschreiben, und es ist zu berücksichtigen, daß dieser Bereich während der Spätphase der Mittelbronzezeit einer urbanen Anlage angehört ähnlich derjenigen, die in der Frühbronzezeit III vorhanden war.

In der Frühphase der Mittelbronzezeit ist dieser Bereich fast nur von Gruben besetzt, die einander schneiden, und das dominierende Kennzeichen der Stratigraphie bilden. Gleichzeitig ist östlich dieses Bereichs (vor allem in den Quadraten E8(10) und E8(11)), eine mächtige Sequenz von übereinanderliegenden Fußbodenniveaus belegt. Das Vorhandensein einiger Gruben mit reinem Ton, die Anwesenheit der zahlreichen kleinen, unregelmäßig verteilten Holzpflocklöcher in den Fußböden, der Mangel an aufgehenden Strukturen, außer einer flachen Mauer (oder Bank) zwischen A481 und A482, deuten auf offene Bereiche hin. Wahrscheinlich waren diese Flächen für handwerkliche Aktivitäten bestimmt, vielleicht für die Herstellung von Tongegenständen. Auf keinen Fall sind die Funde, die in diesen Räumen vorkommen, als *in situ* liegend anzusprechen, und die Hypothese eines handwerklichen Bereichs wird vorläufig nicht bestätigt.

Zusammenfassend ist ein Verlassen dieses Areals als Wohnbesiedlung am Ende der Frühbronzezeit III zu beobachten. Während des Beginns des zweiten Jahrtausends sind die Wohnräume wahrscheinlich in dem nördlichsten Teil des Hügel zu lokalisieren. In der Spätphase der Mittelbronzezeit zeigt sich eine Wiederbesiedlung dieses Bereiches mit dem Vorhandensein großer Gebäude, die jedoch isoliert oder in lockerer Streuung verteilt.

Obwohl diese Schichten im südwestlichen Teil des Tells nahe der Oberfläche liegen, und sie wegen der Erosion und der jüngeren Aktivitäten stark beschädigt sind, können Zeichen einer Krise der Besiedlung in diesem Hügelbereich beobachtet werden. In der Spätphase der Periode V weist dieser Sektor Bauaktivitäten auf, aber diese zeigen keine solche Intensität und dynamische Entwicklung, wie diejenigen, die während der letzten Phasen der Frühbronzezeit belegt sind. Es bleibt noch, den nordöstlichen Teil des Hügels zu erforschen. Die mächtige archäologische Ablagerung der hethitischen Epoche hat hier das mittelbronzezeitliche Niveau überdeckt, das noch nicht erreicht ist. Die Sequenz dieser Periode wurde, sehr beschränkt, nur entlang einer modernen Tongrube am nordöstlichen Ende des Tells freigelegt. Dem heutigen Forschungszustand nach könnte man als Hypothese die Verschiebung des Siedlungskerns nach Norden bereits am Anfang des zweiten Jahrtausends annehmen. Dieses Phänomen wird deutlich die nachfolgenden Epochen charakterisieren.

5. BEOBACHTUNGEN ZUR ARCHITEKTUR IN DER REGION VON MALATYA-ELAZIĞ AM BEGINN DES ZWEITEN JAHRTAUSENDS V. CHR.

5.1. DIE BAUTEN DER MITTELBRONZEZEIT IN DEN PROVINZEN VON MALATYA UND ELAZIĞ

Die ausgegrabenen Fundorte in der Region von Malatya-Elazığ, die Baubefunde vom Beginn des zweiten Jahrtausends geliefert haben, sind nicht sehr zahlreich. Sie bieten aber trotzdem eine wichtige Übersicht über den Siedlungstyp, der dieses Gebiet kennzeichnet.

Einige Ansiedlungen, die in den Gebieten der geplanten Stauseen entlang des türkischen Euphrats bei Keban liegen, waren Gegenstand systematischer Ausgrabungen zwischen dem Ende der sechziger Jahre und im Verlauf der beiden nachfolgenden Jahrzehnte. Insbesondere in der Provinz von Elazığ sind die Fundorte des Norşun Tepe¹, Korucutepe², Tepecik³ in der Ebene von Altınova im Osten von Elazığ sowie Şemsiyetepe⁴, İmikuşağı Hüyük⁵ entlang des Euphratlaufes lokalisiert worden. In der Provinz von Malatya müssen außer Arslantepe die Ausgrabungen von Piro⁶ und des İmamoğlu Hüyük⁷ erwähnt werden.

Die Ausgrabungen in der Altınova-Ebene liefern wichtige Informationen zu dem Beginn des zweiten Jahrtausends. Diese Ebene, deren Name wörtlich "Goldebene" bedeutet, erstreckt sich im Osten von Elazığ und wird hauptsächlich aus pleistozänen und holozänen alluvialen Ablagerungen gebildet, wodurch sie einen hochgradig fruchtbaren Boden besitzt⁸. Die Studien zum Baumbewuchs dieses Gebiets haben die radikale Veränderung, die das Land im Laufe der Zeit erfahren hat, hervorgehoben. Bis 1950 waren tatsächlich weite Flächen der Ebene mit Eichen-, Ahorn-, Wacholder-, Eschen-, Mandelbaum- und Pistazienwäldern bedeckt. In den letzten 40 Jahren hat der Mensch eine intensive Abholzung betrieben, um so ausgedehntere Flächen für die Landwirtschaft zu gewinnen⁹. In diesem Gebiet sind Ausgrabungen in Siedlungen durchgeführt worden, die für die Kenntniss der keramischen und architektonischen Aspekte der Mittelbronzezeit eine Schlüsselstellung einnehmen.

Die Anfänge des zweiten Jahrtausends sind auf dem Norşun Tepe in den *Horizonten* IV und V belegt, Phasen, die chronologisch mit jenen des *karums* von Kültepe zu verbinden sind¹⁰. Der Hügel, der zwischen 1968 und 1975 von Harald Hauptmann ausgegraben wurde, erreicht eine Höhe von 30 m bei einer Ausdehnung von 800x600 m. Der *Horizont* IV, der die jüngste Phase darstellt, hat vier rechteckige Häuser erbracht; in einem davon wurde eine ovale Herdstelle aufgedeckt, die

¹ Hauptmann 1969; 1969-70; 1971; 1972; 1974a-b; 1976; 1979.

² Griffin 1974; 1980; Whallon 1979: 241-244.

³ Esin 1972; 1979; 1982; Russell 1980: 84, 135; Whallon 1979: 182-187.

⁴ Darga 1983; 1986; 1987a; 1987b; 1988; Özdoğan 1977: 72-73.

⁵ Mellink 1988b.

⁶ Mellink 1982a; 1983b; 1984; Serdaroğlu 1977: 64-65; Özdoğan 1977: 55-56.

⁷ Uzunoğlu 1985; 1986; 1987; 1988; Mellink 1982b; 1983a; 1987; 1988a; 1990; Özdoğan 1977: 45-46.

⁸ Hauptmann 1969-70: 21-22.

⁹ Willcox 1974. Für eine Zusammenstellung der Grabungen, die in der Provinz von Elazığ durchgeführt wurden vgl.: Burney 1980.

¹⁰ Hauptmann 1969: 111; 1969-70: 39; 1972: 108.

wahrscheinlich von einem Kuppelgewölbe bedeckt war. Andere, schlecht erhaltene Strukturen sind durch eine Reihe übereinanderliegender Fußbodenreste dokumentiert, die zahlreiche Webgewichte geliefert haben¹¹. Der größte Teil der strukturellen Zeugnisse der ältesten Phase der Mittelbronzezeit, *Horizont V*, wurde auf der Akropolis und in der nördlichen Fläche der Südterrasse erkannt. Aufgrund der intensiven jüngeren Tätigkeiten sind die Strukturen der Mittelbronzezeit stark gestört worden und diejenigen, die auf der Akropolis festgestellt wurden, stellen sich tatsächlich als von unsicherer Planimetrie heraus. Es sind die Reste eines Gebäudes mit einer achtförmigen Herdstelle und ein an den Innenwänden verputztes Haus, das aber nur teilweise erhalten ist, zu erkennen. Unter den häuslichen Einrichtungen sind zwei Öfen zu nennen, deren Struktur ursprünglich aus einem Kuppelgewölbe und einer ovalen Plattform bestanden haben muß. Während der Erneuerungen dieser Struktur wurde die Plattform von einer einfachen ovaler Form umgewandelt zu einem achtförmigen Grundriß¹². In anderen Bereichen der Akropolis konnten keine strukturellen Schichten festgestellt werden, sondern es handelt sich hier vielmehr um eine echte Phase, die durch Gruben gebildet wird, die in die darunter anstehende Schicht der Frühbronzezeit III einschneiden¹³, eine Situation, die näher betrachtet stark an diejenige erinnert, die auf Arslantepe belegt ist.

Eine große Anlage mit einem Steinfundament, die aus vier rechteckigen, aneinander angrenzenden Räumen besteht, wurde in der nördlichen Fläche der Südterrasse entdeckt¹⁴. Dieser Typ einer Struktur findet Analogien in dem typischen Befestigungssystem der ersten Hälfte des zweiten Jahrtausends in Zentralanatolien mit der charakteristischen Anlage der *Kastenmauer*¹⁵.

Die Ausgrabungen von Tepecik, die von Ufuk Esin geleitet wurden, haben sicherlich die umfangreichste Dokumentation an Baubefunden der Mittelbronzezeit in der Region von Malatya-Elazığ geliefert. Der Tell, der eine runde Form aufweist, besitzt einen Durchmesser von 100 m und erreicht eine Höhe von 20 m. Die Schichten 3a-c beinhalten die jüngere Phase der Mittelbronzezeit, während die Schichten 4-8 der frühen Phase zugeordnet werden¹⁶. Auf der Spitze des Hügels wurden architektonische Einheiten mit rechteckigen oder quadratischen, aneinander angrenzenden Räumen ergraben, die neben einem Hof lagen. Ein Bereich muß für die Keramikproduktion bestimmt gewesen sein, was durch das Vorhandensein einiger Öfen, die diesem Zweck dienen, belegt ist. Unter den häuslichen Einrichtungen ist eine Herdstelle, die von einem Geländer in Form eines doppelten Hufeisens überspannt wurde¹⁷, ganz ähnlich zu jener auf Arslantepe in Raum A58. Die Bautechniken des aufgehenden Mauerwerks sind praktisch immer durch Strukturen aus Lehmziegeln mit einem Steinfundament gekennzeichnet, aber manchmal sind die Zwischenwände auch einfach aus gestampftem Lehm ausgeführt (Abb. 5.1).

Der Hügel von Korucu liegt 30 km östlich von Elazığ und hat einen Durchmesser von 190 m bei einer Höhe von 16 m. Auf dem Korucutepe, dessen Ausgrabungen von Maurits van Loon geleitet worden sind, ist die Mittelbronzezeit durch die Phasen G und H belegt. Zur frühen Phase, Phase G, gehören einige Fußböden und Mauerreste von Räumen, die sich in einem schlechten Erhaltungszustand befinden; dagegen sind die Spuren zweier Öfen von einer gewissen Bedeutung. Es handelt sich um zwei gerötete Lehmoberflächen, die eine Kieselsteinschicht bedecken. Diese Oberflächen besitzen eine ovale oder runde Form mit Lehmrandern und es ist wahrscheinlich, daß sie von einer Kuppel überwölbt wurden. Der westliche Ofen hat einen Durchmesser von 3 m, während der östliche ca. 2 m mißt. Alle beide zeigen Analogien mit den Öfen aus *Horizont V* des

¹¹ Hauptmann 1971: 83.

¹² Hauptmann 1969-70: 39-40, Abb. 6-7; 1971: 83, Tafel 49,3-4.

¹³ Hauptmann 1976: 67; 1979: 64.

¹⁴ Hauptmann 1974a: 93.

¹⁵ Naumann 1971: 249-256.

¹⁶ Esin 1972: 152-153, Tafel 117; 1974: 128-129, Tafeln 108-109, 2.

¹⁷ Esin 1979: 99-100, Tafel 59.

Norşun Tepe. Von beträchtlichem Interesse ist die Befestigungsanlage der nachfolgenden Phase H (Abb. 5.2). Die Grabung hat einen Erdwall ergeben, der von zwei Mauern mit einem Steinfundament bekrönt ist; sie verlaufen parallel und sind in regelmäßigen Abständen mit viereckigen Türmen bestückt, die an den Punkten, wo sich die Richtung der Befestigung ändert, hervortreten. Jede der Grundmauern hat eine Dicke von 1,40/1,60 m und der Abstand zwischen ihnen beträgt 2,40 m. Der Raum zwischen den beiden Mauern ist aufgefüllt durch Straten dichten Lehms, der abwechselnd von gelber und brauner Farbe ist. Es sind die Fundamente von mindestens neun Türmen festgestellt worden, die untereinander 14-16 m auseinanderlagen, und jeder maß annähernd 8x8 m. Jeder einzelne Turm ragt 2,50 m über die Außenseite der Mauer hinaus. Die innere Mauer der Türme stimmt mit der inneren Mauer des Befestigungssystems überein. Diese Verteidigungsanlage muß ein aufgehendes Mauerwerk aus Lehmziegeln getragen haben, wobei die Gesamtstruktur eine Dicke von 5,50 m erreichte¹⁸.

Ein anderer wichtiger Hügel, der im Bezirk von Baskil in der Provinz von Elazığ liegt, ist jener von İmikuşağı¹⁹. Dieser Hügel, der zwischen 1982 und 1986 von Veli Sevin ausgegraben wurde, hat einen Durchmesser von ca. 100 m bei einer Höhe von 20 m. Am Ostufer des Euphrats gelegen, hat dieser Hügel drei strukturelle Schichten der Mittelbronzezeit ergeben: die Schicht 14, die einer Übergangsphase zwischen der Frühbronzezeit III und der Mittelbronzezeit zugeschrieben wird, die Schicht 13, die als Mittelbronzezeit I angesehen wird und die Schicht 12, die der Mittelbronzezeit II angehört. Die auffälligsten Strukturen stammen aus den Schichten 13 und 12. Zur Mittelbronzezeit I gehört ein 7 m langes Gebäude, das aus Lehmziegelmauerwerk auf einem dicken Steinfundament erbaut ist. Die Wände sind verputzt und teilweise rot bemalt. In der folgenden Schicht, der Schicht 12, dehnte sich die Siedlung wahrscheinlich aus und wurde mit einer Befestigungsmauer umgeben. Diese Anlage besteht aus einem Steinfundament, das eine Dicke von 2,30 m und eine Höhe von 0,50-0,75 m erreicht. Das aufgehende Mauerwerk ist aus Lehmziegeln und Holzbalken, die gitterförmig angeordnet sind, errichtet. In Abständen von 4,20 m oder 3,20 m treten Auskragungen von 10 cm sowohl an der Innen- als auch an der Außenseite der Mauer auf. Der Eingang zu der befestigten Siedlung wurde mit einem Turm, der Analogien mit dem Nordtor von Alişar 10T²⁰ und vom Arslantepe Vb²¹ aufweist, in der südlichen Zone des Hügels lokalisiert. Mit diesem Befestigungssystem sind zwei rechteckige, nebeneinanderliegende Räume verbunden, die 9,60x7,80 m messen. Die mittelbronzezeitliche Ansiedlung von İmikuşağı wurde durch ein Feuer zerstört, und das Siedlungsareal wurde durch eine ausgedehnte Planierung in der spätbronzezeitlichen Periode völlig verändert.

Bruchstückhafter sind die Informationen vom Şemsiyetepe²², einem Hügel, der am östlichen Ufer des Euphrat im Nordwesten des İmikuşağı Hüyük und 500 m südlich von Bilaluşağı liegt; er wurde durch Muhibbe Darga ausgegraben. Der Tell mißt 65x70 m bei einer Höhe von 6 m. Die aufgefundenen Strukturen sind ausschließlich häuslichen Typs und stehen direkt unter jenen der römischen Epoche an. Bedeutend ist das Vorhandensein einer Herdstelle, deren Struktur der Frühbronzezeit zugerechnet wurde, die in Wirklichkeit aber in die Mittelbronzezeit datiert werden muß, da das jüngste ergrabene Material genau dieser Periode angehört²³.

¹⁸ Van Loon (Hrsg.) 1978: 24-28; Bier 1978; Griffin 1980: 8-23, 64-65.

¹⁹ Mellink 1988b; Sevin 1983; 1984a; 1984b; 1985; 1986; 1987a; 1987b; 1988; Sevin, Derin 1986; Sevin, Köroğlu 1985.

²⁰ Von der Osten 1937: Abb. 83.

²¹ Palmieri 1970: Abb. 3; 1973: 74, Anmerkung 21.

²² Darga 1983; 1985; 1986; 1987a; 1987b; 1988.

²³ Darga 1987b: 297.

5. Beobachtungen zur Architektur in der Region von Malatya-Elazığ

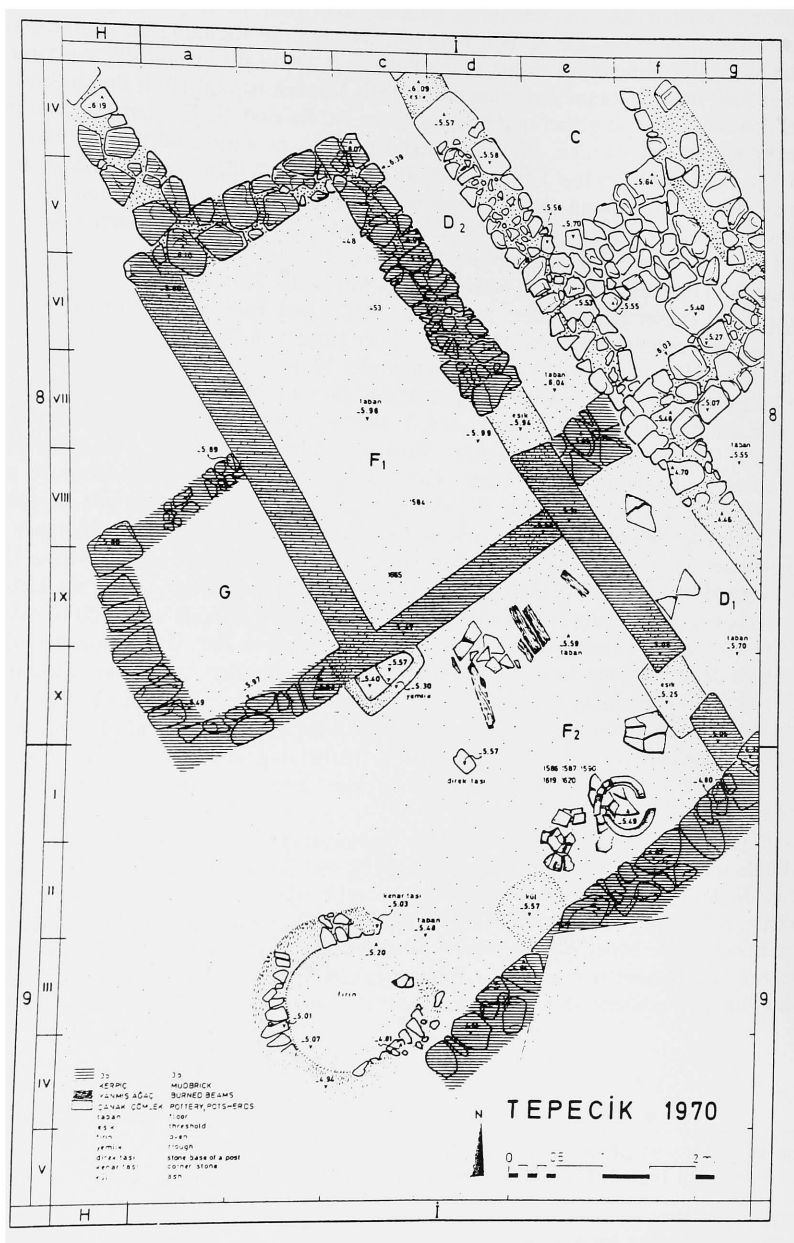


Abb. 5.1 - Rechteckige Häuser der Mittelbronzezeit von Tepecik (Esin 1972: Tafel 119).

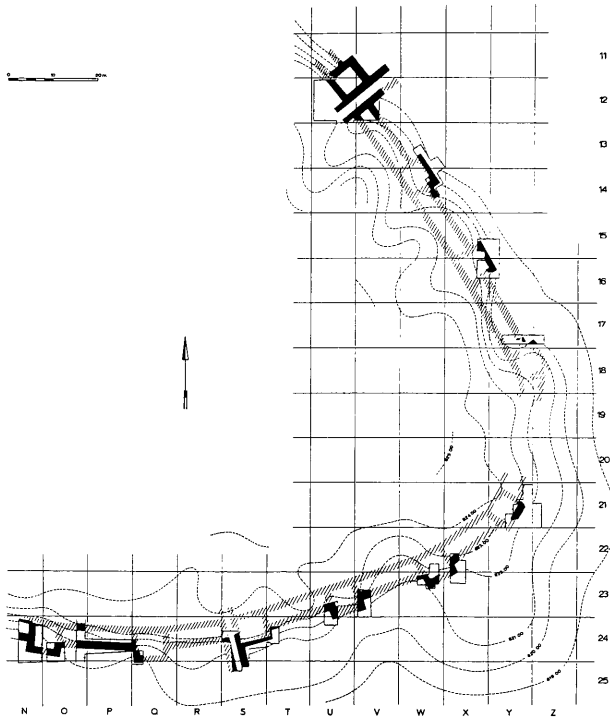


Abb. 5.2 - Befestigungsanlage der Phase H von Korucutepe (Van Loon (Hrsg.) 1980: Tafel 39).

Am Westufer des Euphrat, dort, wo der Fluß einen weiten Bogen beschreibt, ist die Siedlung des İmamoglu Hüyük in der Provinz von Malatya 20 km im Nordosten der Stadt zu lokalisieren. Der Hügel ist im Laufe der achziger Jahre von Edibe Uzunoğlu ausgegraben worden²⁴. Dieser Tell mit runder Form hat einen Durchmesser von 100 m und eine Höhe von 15 m. Die Grabungen ergaben eindeutig, daß die Siedlung der Frühbronzezeit III eine gewaltsame Zerstörung erfahren haben muß. Die nachfolgenden Phasen der Mittelbronzezeit scheinen eine ununterbrochene Besiedlungsabfolge zu belegen. Kreisförmige Strukturen, die der Mittelbronzezeit zugeschrieben werden, erinnern zum Teil an jene der Frühbronzezeit III des Arslantepe. Eine rechteckige Struktur, die komplett ausgegraben wurde und die an den Innenwänden durch Nischen, durch eine verputzte Bank, die an der Mauer entlang verläuft, und durch ein rundes Fundament im Zentrum des Raumes bereichert ist, wird einer jüngeren Phase der Mittelbronzezeit oder sogar der Spätbronzezeit I zugeordnet. Das aufgefundene keramische Material ist jedenfalls auch in der Anfangsphase der Mittelbronzezeit dokumentiert.

²⁴ Uzunoğlu 1985; 1986; 1987; 1988; Mellink 1982b; 1983a; 1987; 1988a; 1990.

Viel allgemeiner sind die Informationen bezüglich der mittelbronzezeitlichen Periode für die Grabungen von Pırot²⁵, einem Tell von 310x130 m Ausdehnung, der 15 km südöstlich von Köşerbaba im Osten von Malatya am westlichen Ufer des Euphrat gelegen ist und der von Özgen Karaca ausgegraben wurde. In dieser Siedlung sind durch die stratigraphische Abfolge keramische Waren aus beiden Phasen der Mittelbronzezeit angezeigt worden, aber die publizierte Dokumentation ist noch zu lückenhaft.

Die Region von Malatya-Elazığ war außerdem Gegenstand intensiver Feldbegehungen, bei denen die Siedlungen mit Material aus dem zweiten Jahrtausend zahlreich vertreten sind; andererseits sind die Ausgrabungen, die signifikante und aussagekräftige Baubefunde der Periode der Mittelbronzezeit geliefert haben, noch sehr wenige. Sicherlich stellen die systematischen Untersuchungen des Norşun Tepe, des Tepecik und des Korucutepe in der Altınova-Ebene für den Beginn des zweiten Jahrtausends noch immer einen wichtigen Bezugspunkt dar.

5.2. SCHLUSSFOLGERUNGEN

Vom architektonischen Gesichtspunkt aus gesehen ist die Dokumentation für die beginnende Mittelbronzezeit in der Region von Malatya-Elazığ sehr lückenhaft. Komplette Strukturen fehlen gänzlich, dagegen besitzt man überwiegend Daten über einzelne architektonische Elemente, wie Herdstellen, Öfen und Fußböden. Man gewinnt den Eindruck, daß die Besiedlung am Beginn der Mittelbronzezeit überall in dieser Region Zerstörungsphänomene erfahren hat, die konsequente Planierungen nach sich zogen, ein Werk derjenigen Bevölkerungsgruppen, die in der darauffolgenden Epoche die Orte besiedelten. Sicher ist, daß in vielen Fällen die Baubefunde nur sehr fragmentarisch und schwer zu interpretieren sind.

In der jüngsten Phase beobachtet man ein neues Phänomen, das auch in Zusammenhang mit den oben erwähnten zerstörerischen Ereignissen stehen könnte. Einige Siedlungen weisen tatsächlich Befestigungsanlagen auf, die eine Periode der Unsicherheit in der Region anzeigen. Befestigte Zentren ließen sich am Korucutepe, am Norşun Tepe und am İmikuşağı Hüyük ermitteln. Parallelen zu der Anlage des Korucutepe, wo die Mauer mit Türmen besetzt ist, die keine Trennwände aufweisen, finden sich in Karkemish²⁶ an der Grenze zwischen Syrien und der Türkei, in Sechem²⁷ und in Lakish²⁸ in Palästina. Die Technik, den Raum zwischen den Mauern mit Lehm unterschiedlicher Herkunft aufzufüllen, trifft man auch auf der Zitadelle von Büyükkale in Boğazköy an, mit Beziehungen zu der Struktur vom Typ der *Kastenmauer*, die der Zeit des hethitischen Großreiches zugeschrieben wird²⁹. Über die Art der Verfüllung hinaus beobachtet man größere Analogien mit dem zentralanatolischen Gebiet in der Verteidigungsstruktur in Form einer *Kastenmauer* auf dem Norşun Tepe. Dieses Schema ist in Zentralanatolien seit dem Beginn des zweiten Jahrtausends vorhanden, mit und ohne den Zusatz der charakteristischen "Sägezahn-Form", mit Beispielen in Boğazköy³⁰, Alışar³¹, Tilmen Hüyük³², in Kültepe II und Ib³³ und in Mersin-Yümük Tepe³⁴. Das weist auf die Verbreitung zentralanatolischer Architekturmodelle am oberen Euphrat und den Anfang interessanter Beziehungen zwischen diesen beiden Gebieten, die vorher

²⁵ Mellink 1982a; 1983b; 1984; Özdoğan 1977: 55-56; Serdaroğlu 1977: 64-65.

²⁶ Woolley 1921: 47.

²⁷ Wright 1965: 62-63.

²⁸ Tufnell 1958: 45-46, Tafeln 90, 96.

²⁹ Schirmer 1969: 37, Beilage 16b.

³⁰ Bittel, Naumann 1952: Abb. 20.

³¹ Von der Osten 1937: 4, Abb. 19-24.

³² Mellink 1971a.

³³ Mellink 1971b.

³⁴ Garstang 1953: Abb. 151, 153, Schichten VII-V.

nur wenig miteinander verbunden waren, bereits zu Beginn des zweiten Jahrtausends hin. Architektonische Typologien dieser Art finden sich dagegen nicht im Südosten Anatoliens, wo andere Befestigungssysteme auftreten, die bestimmte bauliche Kennzeichen hinsichtlich der Regionen im Norden des Taurus zeigen. Das ist zum Beispiel bei der mittelbronzezeitlichen Mauer vom Lidar Hüyük der Fall, einem Tell, der im Osten von Urfa liegt. Dort ist die Befestigungsanlage ca. 3 m breit, wobei sie wahrscheinlich von einem schmalen Laufgang abgeschlossen und durch rechteckige Bastionen verstärkt wird. Zahlreiche Wohnräume sind in direkter Anlehnung an das Befestigungssystem erbaut worden. Hier ist die Struktur der *Kastenmauer* nicht vertreten³⁵.

Auf dem Arslantepe ist ein beeindruckender Mauerring mit einem Steinfundament und einem aufgehenden Mauerwerk aus Lehmziegeln, der durch eine monumentale halbkreisförmige Bastion gekennzeichnet ist, bereits in der Periode der Frühbronzezeit IIIB festgestellt worden³⁶. Während der Spätbronzezeit war der Tell von einem Befestigungssystem umgeben, das aus einer Mauer aus einer einfachen Erdaufschüttung bestand, wofür man die älteren prähistorischen Schichten und den geologischen Boden des Hügels angeschnitten hatte. Mit dieser Befestigungsanlage ist auf der Nordost-Seite des Hügels das Tor der Periode VB zu verbinden. Der ergrabene Komplex bildet den abschließenden Moment der Benutzung und man hat keine archäologischen Hinweise, die sich auf den Moment der Erbauung der gesamten Struktur beziehen³⁷. So stellt sich der Arslantepe als eine in der Frühbronzezeit IIIB sowie in der Spätbronzezeit I befestigte Siedlung heraus. Es ist deswegen wahrscheinlich, daß er das auch in der Mittelbronzezeit war, auch wenn die Grabungen noch keinen einzigen Hinweis auf ein Befestigungssystem der Siedlung in dieser Periode erbracht haben.

Das Mauerring-System des İmikuşağı Hüyük ist einfacher und es besteht aus einer einzigen massiven Mauer mit Steinfundament und aufgehendem Ziegelmauerwerk. Aber in der Bautechnik findet diese Struktur zahlreiche Analogien in den Aufrissen zahlreicher zentralanatolischer Strukturen. Mit den Ziegelmauern wechseln sich gekreuzte Holzstrukturen ab, wie sie auch in der Schicht II des Acemhüyük zu beobachten sind. Hier sind die Holzbalken horizontal als Fundament zwischen den Steinen und der Obermauer aus Ziegeln verschiedener häuslicher Räume angeordnet³⁸. Auch in der Schicht II von Kültepe-*kaneş* ist der Gebrauch von hölzernen Elementen in den Strukturen weit verbreitet und diese Tradition setzt sich in der Schicht Ib fort, wo aber die Verwendung des Steins häufiger ist³⁹. Es handelt sich jedoch immer um Hausarchitektur. Auf dem Arslantepe ist diese Technik bei architektonischen Resten der Spätbronzezeit im nordöstlichen Teil des Hügels belegt. Mauern von großen Ausmaßen mit einem aufgehenden Ziegelmauerwerk, die allerdings stark beschädigt und nur zum Teil erhalten sind, offenbaren das Vorhandensein paralleler Stämme, die horizontal zwischen dem Steinfundament und der Obermauer aus Ziegeln angeordnet sind⁴⁰.

Allgemeiner sind die Analogien, die man zur Hausarchitektur aufstellen kann. Der einzig gut erhaltene Raum A58 auf dem Arslantepe mit einem quadratischen Grundriß und einer monumentalen zentralen Herdstelle sowie einer regelmäßigen Symmetrie des Inneren stellt keine ungewöhnliche Struktur für Zentralanatolien dar, aber er scheint gleichzeitig von den großen mehrräumigen Häusern mit einem weitläufigen zentralen Raum mit einer Herdstelle abstammen, die sich auf dem Arslantepe schon seit der Frühbronzezeit II (Periode VIC) manifestieren. Aufgrund der fragmentarischen Erhaltung des Gebäudes, das wahrscheinlich größere Ausmaße gehabt haben muß, ist es jedoch nicht möglich genauere Vergleiche zu ziehen. Interessant ist die Form der

³⁵ Hauptmann 1987: 205; 1993: 13.

³⁶ Palmieri 1984: 74; 1985c: Abb. 1.

³⁷ Palmieri 1970: 203, Abb. 3; 1973: 73-74, Anmerkung 21.

³⁸ Özgüç 1966: 32, Tafel II, 3.

³⁹ Özgüç 1959: 71; 1964: 37.

⁴⁰ Palmieri 1969b: 60.

Herdstelle und ihre zentrale Lage, die sie innerhalb des Raumes einnimmt, was beides auf eine Tradition zurückgeht, die sowohl auf dem Arslantepe als auch in dem Gebiet von Elazığ bereits in der Frühbronzezeit nachgewiesen ist⁴¹. Auf dem Arslantepe treten während der Frühbronzezeit II und III (Perioden VIC und VID) Räume mit einer Herdstelle, die nicht an die Außenmauern angelehnt ist, auf; sie bestehen aus einer runden Plattform, die von einer hufeisenförmigen Rückwand überdeckt wird⁴². Die Herdstelle aus A58 mit der doppelten Rückwand unterscheidet sich durch eine größere Monumentalität, aber die doppelte Struktur ist ein Charakteristikum, das auch heute in zahlreichen Dörfern Zentral- und Südostanatoliens üblich ist. Auch in der Mittelbronzezeit stellt es einen eher verbreiteten häuslichen Einrichtungstyp dar. Wir finden diese Art der Herdstelle in der Schicht Ib von Kültepe bei Kayseri, in den Straten der Mittelbronzezeit von Tepecik in der Altinova-Ebene und denen des Lidar Hüyük bei Urfa⁴³.

Strukturen der Mittelbronzezeit, die für die Keramikproduktion bestimmt waren, wurden wie schon gesagt - erwähnt aus Tepecik mit einigen Keramiköfen, die mit Arbeitsabfall vergesellschaftet waren. Wenn die übereinanderliegenden Fußbodenniveaus der älteren Phase der Mittelbronzezeit des Arslantepe, die durch Gruben, angefüllt mit reinem Lehm, gekennzeichnet sind, als Bereiche interpretiert werden können, die der Keramikherstellung dienten, hätten wir für die Region von Malatya-Elazığ zumindest zwei Phasen dieser Verarbeitung im Inneren der Siedlungen belegt. Die architektonischen Zeugnisse sind jedoch noch zu lückenhaft und die bis heute verwertbare Dokumentation macht, abgesehen von einigen seltenen Fällen, die funktionale Interpretation der Bereiche innerhalb der Siedlungen schwierig.

⁴¹ Palmieri 1973: 75, Anmerkung 22; Esin 1972: Tafel 106, 3-4.

⁴² Frangipane 1991: Abb. 5; 1992a: Abb. 2.

⁴³ Özgüç 1964: 39, Abb. 8, Tafel X; Esin 1979: 99-100, Tafel 59; Hauptmann 1987: 205; 1993: 13.

6. DIE KERAMIK DER MITTELBRONZEZEIT VON ARSLANTEPE

6.1 DEFINITION DER KERAMISCHEN WAREN

Die Bearbeitung der mittelbronzezeitlichen Keramik von Arslantepe basiert auf der Analyse und der Dokumentation von 8937 Scherben, die hauptsächlich aus stratigraphischen Zusammenhängen der Grabungskampagnen von 1987 und 1988 stammen. Diese stratigraphischen Einheiten weisen einen hohen Prozentsatz an Altfunden auf, gegenüber nur 17% an mittelbronzezeitlicher Keramik (1515 Scherben). 603 Scherben sind auf der Grundlage spezifischer stratigraphischer Zusammenhänge und wegen ihres guten Erhaltungszustandes ausgewählt worden. Bei diesen Stücken wurde eine Betrachtung mit dem Lichtmikroskop durchgeführt, um so jene Charakteristika herauszustellen, die für die Definition einer "Ware" nützlich sind.

So konnten ausschließlich durch makroskopische Beobachtungen neun Keramiktypen erkannt werden. Dabei wurden insbesondere die Beschaffenheit des Tones, die Kennzeichen der Magerungsbestandteile, die Bearbeitung und die Farbe¹ der äußeren und inneren Oberfläche beachtet. Der Ton wurde auf der Basis der Dichte und der Größe der bei der Herstellung verwendeten Magerungspartikel in drei große Kategorien unterteilt: fein, mittelfein und grob. Unterkategorien sind erkannt worden, aber die Variabilität der Tone ist solcherart, daß sie keine sichere Zuordnung zu der einen oder anderen Kategorie erlaubt. So wurde es vorgezogen umfassendere Bereiche der Unterteilung beizubehalten. Bei den Magerungsbestandteilen handelt es

¹ Die Farbe ist unter Bezugnahme auf die *Munsell Soil Chart*, Macbeth Division of Kollmorgen Instruments Corporation, Baltimore, Maryland, 1988 Edition, wie folgt definiert worden:

ROT	<i>Red</i>	10R 5/6	SCHWARZ	<i>Dark olive gray</i>	5Y	3/2
	<i>Red</i>	10R 5/8		<i>Dark gray</i>	5Y	4/1
	<i>Red</i>	10R 4/6		<i>Black</i>	5Y	2.5/1
	<i>Red</i>	10R 4/8		<i>Black</i>	5Y	2.5/2
	<i>Light red</i>	10R 6/6	GRAU	<i>Very dark gray</i>	5Y	3/1
	<i>Light red</i>	10R 6/8		<i>Light gray</i>	5YR	7/1
	<i>Dark red</i>	10R 3/6		<i>Light gray</i>	5YR	6/1
	BRAUN	<i>Olive</i>		5Y 5/3	BEIGE	<i>Gray</i>
<i>Olive</i>		5Y 5/4	<i>Pale Yellow</i>	5Y		8/3
<i>Olive</i>		5Y 5/6	<i>Pale Yellow</i>	5Y		8/4
<i>Olive</i>		5Y 4/3	<i>Pale Yellow</i>	5Y		7/3
<i>Olive</i>		5Y 4/4	<i>Pale Yellow</i>	5Y		7/4
<i>Pale olive</i>		5Y 6/3	<i>Yellow</i>	5Y		8/6
<i>Pale olive</i>		5Y 6/4	<i>Yellow</i>	5Y	8/8	
<i>Olive gray</i>		5Y 5/2	<i>Yellow</i>	5Y	7/6	
<i>Olive gray</i>		5Y 4/2	<i>Yellow</i>	5Y	7/8	
<i>Reddish brown</i>		5YR 5/3	ORANGE	<i>Reddish yellow</i>	5YR	7/6
<i>Reddish brown</i>		5YR 5/4		<i>Reddish yellow</i>	5YR	7/8
<i>Reddish brown</i>		5YR 4/3		<i>Reddish yellow</i>	5YR	6/6
<i>Reddish brown</i>	5YR 4/4	<i>Reddish yellow</i>		5YR	6/8	

sich hauptsächlich um eine mineralische Magerung, jedoch sind sie nur in dem Fall, in dem sie eine vom übrigen Ton abweichende Größe erreichten, gekennzeichnet worden. In diesem Fall ist es tatsächlich möglich, daß sie während der Aufbereitung des Tones hinzugefügt wurden.

Unter den feinen Tönen sind zumindest zwei Untertypen erkennbar: 1) ein kompakter Ton ohne Mikrohohlräume, bei dem kleine, schwarze, kristalline Kerne vorhanden sind, deren Größe sich nicht von den anderen Basiskomponenten des Tons unterscheidet; manchmal sind auch weiße, kalkige Kerne mit deutlich größeren Ausmaßen und abgerundeten Kanten vorhanden; die Farbe des Bruches ist im allgemeinen homogen; 2) ein kompakter Ton mit selten vorhandenen Mikrohohlräumen; die sehr feinen Komponenten des Tons setzen sich aus Kernen unterschiedlicher Natur zusammen, die aber alle von analogen Ausmaßen sind, lediglich manchmal weichen einige weiße, kalkige Kerne durch ihre Größe ab; im Bruch ist die Farbe gewöhnlich homogen.

Die mittelfeinen Töne weisen eine größere Variabilität auf und man kann wenigstens vier Untertypen unterscheiden: 1) ein kompakter Ton mit wenigen Mikrohohlräumen; zahlreiche mineralische Kerne von kleinen, aber gleichartigen Ausmaßen sind wahrscheinlich Teil der Basisbestandteile des Tons; Elemente von wechselnder Größe sind nicht sichtbar; die Farbe ist im Bruch homogen, auch wenn es Brüche mit einem grauen Kern und hellbraunen Rändern gibt; 2) ein kompakter Ton mit seltenen Mikrohohlräumen von unregelmäßiger Form; sehr feine schwarze Kerne und Gruppen von brauner Farbe mit scharfen Kanten und von unterschiedlicher Größe sind vorhanden; die Farbe des Bruches ist homogen; 3) ein ziemlich kompakter Ton, aber mit zahlreichen Mikrohohlräumen von unregelmäßiger Form; zahlreiche Kerne, die im Bruch dicht verteilt sind, werden allgemein aus schwarzen und weißen kalkhaltigen Elementen sowie Quarzkristallen gebildet; die Farbe des Bruches ist variabel; 4) hinreichend kompakter Ton mit vielen Mikrohohlräumen, von denen einige eine dünne, längliche Form haben, die von Abdrücken vegetabiler Einschlüsse herrühren; weiße, kalkige Kerne mit abgerundeten Kanten und wechselnder Größe, die von den anderen Grundbestandteilen des Tons klar zu unterscheiden sind, sind vorhanden; wechselnde Farbe des Bruches.

Bei den groben Tönen sind mindestens zwei Untertypen zu beobachten: 1) ein durchschnittlich kompakter Ton ohne Mikrohohlräume, aber mit dem Vorhandensein zahlreicher weißer, kalkhaltiger Kerne mit scharfen Kanten und von großen Ausmaßen im Vergleich zu den Basiskomponenten des Tones; diese Gruppen sind im Bruch dicht verteilt und machen den Ton eher körnig; 2) ein wenig kompakter, körniger Ton mit vielen Hohlräumen, von denen einige sicherlich Abdrücken pflanzlicher Einschlüsse zuzuschreiben sind; weiße, kalkhaltige Nuklei von größeren Ausmaßen mit scharfen Kanten und einer dichten Verteilung im Bruch sind vorhanden; im allgemeinen ist die Farbe im Bruch homogen.

Der größte Teil der Einschlüsse, die bei den mittelbronzezeitlichen Waren bekannt sind, sind mineralische; ebenso gibt es aber auch Töne mit pflanzlichen oder gemischten Einschlüssen.

Bei der Oberflächenbehandlung wurden die äußere und die innere Wandung des Gefäßes auf der Grundlage von vier Bearbeitungsarten voneinander unterschieden: überzogene, polierte und geglättete Oberflächen sowie Oberflächen ohne irgendeine Behandlung. Der Überzug besteht aus einer oberflächlichen Schicht, die im Bruch wiederzuerkennen ist; er wurde durch ein echtes Tonbad erreicht, wodurch Fehler am Gefäß überdeckt wurden und gleichzeitig eine homogene Oberfläche entstand. Die Politur ist eine sorgfältige Bearbeitung der Oberfläche und sie erweist sich im allgemeinen als glänzend und gleichmäßig. Die Glättung ist eine Oberflächenbehandlung, die die Oberfläche homogen macht, auf der jedoch die Spuren des verwendeten Gerätes sichtbar bleiben. Die Technik, mit der die Glättung aufgebracht ist, erhält die Oberfläche matt. Die Tonpartikel, die sich noch im "lederharten" Zustand befinden, werden durch eine oberflächliche drehende oder parallele Bewegung verbunden, wozu ein glattes Gerät verwendet wird (eine Knochen- oder Holzspatula, die Schale einer Muschel oder ein Kieselstein). Die nicht bearbeiteten Oberflächen sind gewöhnlich inhomogen, unregelmäßig und weisen häufig Mikrobrüche sowie

Herstellungsspuren auf. Manchmal gibt es eine einfache Bearbeitung in Form eines Verstrichs mit einem nassen Schwamm, was jedoch nicht die unregelmäßigen Oberflächen versteckt. Diese Art von Kategorie wird als jene ohne irgendeine Bearbeitung betrachtet².

Den Beschreibungen der verschiedenen Waren folgen kurze Definitionen, die die Merkmale der einzelnen keramischen Gruppen ergänzen und eine Generalisierung der Elemente jeder einzelnen Gruppe zum Ziel haben. Keine dieser Waren zeigt Standardeigenschaften, jede besitzt innerhalb der Gruppe eine gewisse Variabilität. So wurde es an dieser Stelle vorgezogen, Definitionen zu verwenden, die an die wichtigen Charakteristika jeder Ware erinnern, anstatt regionale oder kulturelle Namen zu benutzen³. Die Beschreibungen fassen ausschließlich die äußeren Aspekte der Scherben zusammen; daher werden die spezifische Definition der Tonbestandteile, der Typen und der Brenntemperaturen der Keramik, die integrative Informationen darstellen, mit den genauen Laborergebnissen, die durch eine Analyse einer bezeichnenden Materialprobe erreicht wurden, geliefert werden⁴. Man wird sich an dieser Stelle darauf beschränken, die Tonarten, die Farbe des Bruches, die Einschlüsse (mineralisch oder organisch), die Farbe und Behandlung der Oberflächen, die Herstellungsart (handgemacht oder scheibengedreht), die Verwendung der Farben im Falle der bemalten Keramik sowie die Verzierungstechniken im allgemeinen zu definieren.

Die neun Keramikwaren der Mittelbronzezeit vom Arslantepe sind die folgenden: 1) *scheibengedrehte, rot überzogene Ware*; 2) *schwarze Ware*; 3) *graue Ware*; 4) *braune Ware*; 5) *scheibengedrehte, orange Ware*; 6) *scheibengedrehte, beige Ware*; 7) *beige, feine Ware*; 8) *handgemachte, bemalte Ware*; 9) *scheibengedrehte, bemalte Ware*.

Scheibengedrehte, rot überzogene Ware. Diese Ware wird auf der Grundlage von 84 gut erhaltenen Proben definiert. Es handelt sich um eine Keramik, die aus einem im wesentlichen feinen oder halbfeinen Ton besteht (respektive 58% und 42%), der mineralische Einschlüsse (93%) oder, in einigen Fällen, feine kalkige Körnchen (7%) zeigt. Grober Ton tritt nicht auf. Die äußere Oberfläche ist fast immer mit einem polierten Überzug versehen (84%), aber man bemerkt auch Stücke mit einer abweichenden Behandlung: poliert (11%), geglättet (4%). Wenige Fragmente zeigen eine weniger bestimmbare äußere Bearbeitung (poliert/geglättet 1%). Auch bei den inneren Oberflächen ist der Überzug vorherrschend (77%), während andere Behandlungen in einem geringeren Prozentsatz vertreten sind (Politur 11%, Glättung 4%, poliert/geglättet 1%). Bei den wenigen beobachteten geschlossenen Formen gibt es Fälle, bei denen die innere Oberfläche gar nicht bearbeitet wurde (1%).

Definition: Ware mit homogener, rot überzogener Oberfläche, die in seltenen Fällen poliert oder geglättet ist. Der Ton ist fein oder halbfein mit mineralischen Einschlüssen, die manchmal weiß sind; häufig zeigt diese Ware einen einheitlichen Ton, in dem keine Magerung mehr beobachtet werden kann; der Bruch ist überwiegend grau-, beige- oder orangefarben; die Herstellung erfolgte auf der Drehscheibe.

Schwarze Ware. Eine Ware, die auf der Basis von 57 Proben bestimmt wurde. Keramik mit einem zumeist halbfeinen (50%) oder feinen (18%) Ton. Es gibt auch Fälle aus grobem Ton (32%) bei Formen mit mittleren und großen Dimensionen. Die Einschlüsse sind fast gänzlich mineralisch (93%), wobei ein kleiner Prozentsatz Kalkeinschlüsse aufweist (2%). Nur einige Bruchstücke haben einen gemischten Ton mit organischer und mineralischer Magerung. Die äußeren Oberflächen sind in erster Linie poliert (44%), aber auch Fälle mit Überzug (28%) und Glättung (28%) sind zu beobachten. Auch auf der Innenseite sind die Oberflächen überwiegend poliert (40%) manchmal mit

² Cuomo Di Caprio 1985.

³ In Übereinstimmung mit dem Vorschlag in: Burmester *et alii* 1989.

⁴ Die chemisch-physikalischen Analysen der Keramik sind beim C.N.R. in Rom unter der Leitung von Dott. A. M. Palmieri in Arbeit.

Überzug (28%) und Glättung (28%). Darüber hinaus sind nicht behandelte innere Oberflächen vorhanden (4%).

Definition: Ware mit einer schwarzen, ziemlich homogenen, meistens polierten, manchmal geglätteten und mit einem Überzug versehenen Oberfläche. Der Ton ist halbflein, aber auch grober Ton ist gut belegt, nur in seltenen Fällen ist er fein; die Einschlüsse sind alle mineralisch, jedoch ist bei der feintonigen Variante die Magerung nicht sichtbar; im Bruch überwiegen die Farben Grau und Schwarz. Diese Keramik ist im allgemeinen handgemacht, gelegentlich aber auch auf der Drehscheibe hergestellt, besonders im Fall der feintonigen Variante.

Graue Ware. Es handelt sich um eine Ware, die in den Kontexten der Mittelbronzezeit vom Arslantepe nur selten belegt ist. Insgesamt sind von dieser Keramik nur 22 Bruchstücke entdeckt worden, von denen 18 gemeinsame Elemente aufweisen. Das ist viel zu wenig, um eine Ware zu charakterisieren. Trotzdem kann man einige Aspekte dieser Keramik in Betracht ziehen, die aber absolut keine Ware definieren, sondern es erlauben einige Beobachtungen vorzunehmen. Es handelt sich um eine Keramik, die sowohl eine feintonige (8 Fragmente) als auch eine grobtonige Variante (8 Fragmente; 2 halbflein-tonige Fragmente) umfaßt. Die Oberflächen weisen alle Arten der Behandlung auf, wohingegen die Farben des Bruches und der Oberfläche typischer sind. Die homogene Farbgebung ist tatsächlich ein kennzeichnendes Element, denn die Farbe scheint ein während der Herstellungsphase des Fabrikats gewolltes Element darzustellen.

Definition: Es ist schwierig eine spezifische Definition für diese Keramik zu erhalten, denn die Quantität ist zu gering, um ein bestimmtes Spektrum von Elementen zu bieten. Es ist jedoch möglich, daß diese Keramik mit der typischen grauen Ware von metallischem Typ aus den mittelbronzezeitlichen Schichten vom Norşun Tepe, Tepecik und Korucutepe verglichen werden kann.

Braune Ware. Eine Ware, die auf der Grundlage von 136 Bruchstücken definiert wurde. Der Ton ist überwiegend grob (71%) oder halbflein (24%; fein: 1%). Die Einschlüsse sind mineralisch (78%), wobei einige Kalkeinschlüsse haben (7%). Die äußere und innere Oberfläche ist meistens geglättet (respektive 60% und 54%), jedoch gibt es auch Fälle mit einer sorgfältigeren Bearbeitung (9% außen und 6% innen überzogen; 22% außen, 12% innen poliert). Auch nicht behandelte Oberflächen sind vorhanden, und da zu dieser Ware hauptsächlich geschlossene Formen gehören, tritt die fehlende Bearbeitung der Innenseite häufiger auf (22%, nicht behandelte Außenwandung liegt bei 8%).

Definition: Keramik mit einer Oberfläche von brauner Farbe von ziemlich unterschiedlicher Intensität, meistens geglättet, manchmal poliert und nur selten mit einem Überzug versehen. Der Ton ist grob, manchmal auch fein oder halbflein; die Einschlüsse sind mineralisch, in einigen Fällen gibt es eine organische oder gemischte Magerung. Der Ton zeigt sich im Bruch überwiegend grau oder braun. Die Herstellung erfolgt im allgemeinen ohne den Gebrauch der Drehscheibe.

Scheibengedrehte, orange Ware. Ware, die auf der Basis von 32 Gefäßen definiert wurde, von denen einige fast vollständig sind. Der Ton ist halbflein (85%; 6% fein; 9% grob) mit ausschließlich mineralischer Magerung, in einigen Fällen mit Kalkkörnern (16%). Die Oberflächen sind überwiegend ohne sorgfältige Behandlung (66% bei der äußeren und 72% bei der inneren Oberfläche), auch wenn Stücke mit Glättung nicht fehlen (respektive 25% und 19%). Der Überzug und die Politur sind für diese Ware nicht typisch.

Definition: Keramik mit einer rosa-orangerfarbenen Oberfläche, die im allgemeinen keiner sorgfältigen Behandlung unterzogen, sondern nur flüchtig mit einem nassen Schwamm verstrichen wurde und nur sehr selten auch eine Glättung zeigt. Der Ton ist meistens halbflein mit ausschließlich mineralischer Magerung, manchmal mit Kalk; der Bruch ist grau- oder rosafarben. Die Ware ist stets auf der Drehscheibe hergestellt, wobei die Drehspuren auf den Oberflächen deutlich sichtbar sind.

Scheibengedrehte, beige Ware. Ware, die auf der Grundlage von 79 Bruchstücken bestimmt wurde. Der Ton ist überwiegend halbfein (75%; 14% fein; 10% grob) mit mineralischen Einschlüssen (91%), bei denen in einigen Fällen Kalkeinschlüsse sichtbar sind (22%); daneben gibt es aber auch Fragmente aus einem gemischten Ton mit sowohl mineralischer als auch organischer Magerung. Die Oberflächen sind, wie im Fall der scheibengedrehten, orangen Ware, meistens ohne Behandlung und Feinbearbeitung (63% außen, 78% innen), jedoch fehlen auch Stücke mit Überzug, Politur oder Glättung nicht.

Definition: Keramik mit einer beige/gelblichen Oberfläche, die normalerweise nicht behandelt ist, jedoch liegen auch Fälle mit Glättung vor; der Überzug ist selten. Der Ton ist halbfein oder manchmal fein, mit ausschließlich mineralischer Magerung aus kleinen weißen Körnchen (Kalk). Die Farbe im Bruch ist beige, aber oft auch grau oder rosa. Die Herstellung erfolgt auf der Drehscheibe.

Beige, feine Ware. Ware, die nur in sehr begrenztem Maße in den stratigraphischen Zusammenhängen vom Arslantepe vertreten ist. Insgesamt sind 92 Fragmente aufgefunden worden, die an der Gesamtheit der Scherben, die der Mittelbronzezeit zugeschrieben wurden, einen Anteil von nur 6% haben. 25 Stücke sind für die Bestimmung dieses Keramiktyps herangezogen worden. Der Ton ist fast ausschließlich fein (92%; 8% halbfein) mit mineralischer Magerung. In zahlreichen Fällen (56%) sind die Arten der Einschlüsse im Bruch bei einer makroskopischen Analyse absolut nicht sichtbar. Die Oberflächen zeigen deutlich einen Überzug (60% außen und 44% innen), jedoch ist das Vorhandensein verschiedener Bruchstücke ohne Behandlung der Innenseite auffällig (59%).

Definition: Beige- und rosafarbene Ware mit im allgemeinen überzogener Oberfläche aus besonders feinem Ton, oft ohne sichtbare Einschlüsse; im Bruch beigefarben; nur in zwei Fällen ist der Gebrauch der Drehscheibe erkennbar. Auch wenn die Quantität ziemlich gering ist, scheint diese Keramik dennoch gut charakterisiert zu sein, da sie sich deutlich von den anderen Waren absetzt.

Handgemachte, bemalte Ware. Ware, die auf der Grundlage zahlreicher Scherben definiert wurde, doch waren es 132 Stücke, bei denen mit großer Offensichtlichkeit die Hauptkennzeichen erkannt wurden. Der Ton ist hauptsächlich halbfein (82%) und manchmal fein (13%) mit mineralischer Magerung (97%), bei der in vielen Fällen weiße, kalkige Körnchen erkennbar sind (33%). Diese Keramik weist außen fast immer einen Überzug auf (83%), während auf der Innenseite die Oberflächen sehr oft nicht bearbeitet sind (59%). Die aufgemalte Verzierung besteht ausschließlich aus gegliederten geometrischen Motiven; die vorherrschenden Farben, die vor dem Brand aufgebracht wurden, sind Rot, Braun und Schwarz. Die Verzierung ist gewöhnlich monochrom oder bichrom und nur in einem einzigen Fall trichrom (Tafeln 32, Nr.17 und 34, Nr. 3). Die Bemalung zeigt in vielen Fällen eine Überlagerung mehrerer Farben oder einen Auftrag desselben Pigments, um Linien zu korrigieren oder um die Farbgebung zu verstärken. Das typischste Kennzeichen dieser Keramik wird durch eine stark verwässerte und nur schlecht deckende Bemalung dargestellt.

Definition: Beigefarbene, überzogene Keramik, manchmal mit einem dünnen, weißen Überzug. Der Ton ist halbfein, seltener fein, die Einschlüsse sind mineralisch und der Bruch ist Beige, Rosa oder Grau. Es sind keine Drehspuren sichtbar. Die Bemalung kann monochrom, bichrom und in einem Fall trichrom sein. Die braune Farbe überwiegt in der monochrom bemalten Ware, aber auch Schwarz und Rot sind bezeugt; in der bichrom bemalten Keramik ist häufiger der Gebrauch der schwarzen oder braunen Farbe zusammen mit Rot belegt; die Trichromie verwendet Schwarz, Rot und Gelb. Die Farben sind häufig stark verwässert und mehrfach aufgetragen.

Scheibengedrehte, bemalte Ware. Es handelt sich um eine ziemlich wichtige keramische Gruppe, denn alle ihre Merkmale scheinen Ähnlichkeiten mit der sogenannten Habur-Ware aufzuweisen, die zum ersten Mal von Mallowan bei den Ausgrabungen in Chagar Bazar erkannt und vorgelegt

wurde⁵. Auf der Basis von 40 Fragmenten bestimmt, zeigt diese Ware deutliche Drehspuren und breite, horizontale, aufgemalte Bänder. Der Ton ist überwiegend halbfein (74%), in selteneren Fällen fein (18%) oder grob (8%). Die Magerung ist ausschließlich mineralisch, wobei in verschiedenen Fällen weiße Kalkkörnchen gut zu unterscheiden sind (10%). Die äußere Oberfläche besitzt häufig einen dünnen weißen Überzug (49%), während auf der Innenseite der Überzug seltener vorhanden ist (20%). Die Glättung der äußeren und inneren Wandung ist belegt, aber nicht häufig (respektive 20% und 23%). Die nicht behandelten Oberflächen sind hauptsächlich für die Innenseiten kennzeichnend (52%), auch wenn das manchmal ebenso für die Außenseite der Fall ist (28%).

-Definition: Beige, manchmal rosafarbene Ware, die häufig mit einem dünnen weißen Überzug versehen ist; in einigen Fällen ist die Oberfläche nur geglättet oder sogar unbehandelt. Der Ton ist halbfein oder seltener fein mit mineralischer Magerung; im Bruch ist der Ton oft beige, manchmal grau oder rosa. Diese Keramik ist stets auf der Drehscheibe hergestellt. Die Bemalung ist immer monochrom unter der häufigen Verwendung von Braun und Rot, aber auch schwarze Bemalung ist vertreten.

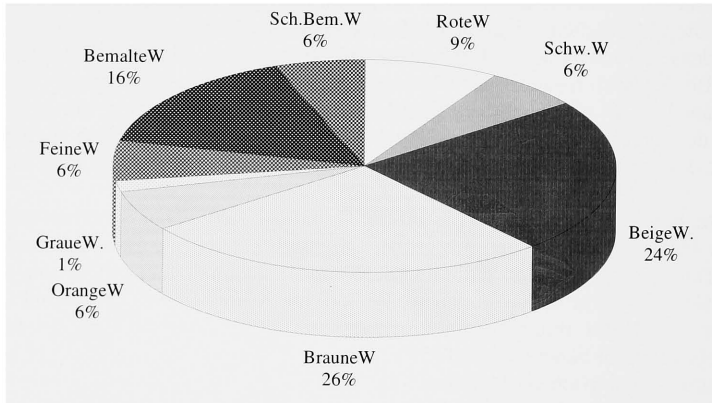


Abb. 6.1 - Prozentanteile der keramischen Waren in den mittelbronzezeitlichen Schichten (bei insgesamt 1515 Scherben).

Vom quantitativen Gesichtspunkt aus gesehen (Abb. 6.1) ist die Beobachtung möglich, daß die am stärksten vertretene Keramik mit 26% die braune Ware ist, gefolgt von der scheibengedrehten, beige Ware mit 24%; die handgemachte, bemalte Keramik repräsentiert 16% der Gesamtheit, während die scheibengedrehte, rot überzogene Ware nur 9% ausmacht. Diese vier Keramikarten sind im allgemeinen die am häufigsten belegten in den mittelbronzezeitlichen Schichten vom Arslantepe. Mit 6% sind die schwarze Ware, die scheibengedrehte, orange Ware, die beige, feine Ware und die scheibengedrehte, bemalte Ware bezeugt. Wenig bedeutend ist die graue Keramik (1%). Im folgenden soll untersucht werden, wie sich die Waren im Verhältnis zu den verschiedenen chronologischen Phasen verhalten. Dabei ist es jetzt besonders wichtig, die Tatsache zu unterstreichen, daß der größte Teil der ergrabenen stratigraphischen Zusammenhänge keine "geschlossenen" Einheiten darstellen. Viele der aufgefundenen Räume sind durch zahlreiche

⁵ Mallowan 1936: 35-36; 1937: 102-104; 1947: 23-25; Hamlin 1971; 1974; Palmieri 1969b: 64; Palmieri, Frangipane 1989: 192.

6. Die Keramik der Mittelbronzezeit von Arslantepe

Gruben oder durch Nivellierungs- oder Aufschüttungsarbeiten gestört worden, das aufgehende Mauerwerk der Strukturen ist tatsächlich wenig belegt und die archäologischen Altfunde sind in jeder Stratifikationseinheit dominierend. Unter diesem Altmaterial, das in den Zusammenhängen der Mittelbronzezeit vorhanden ist, sind die Keramik des Spätchalkolithikums (Periode VII) mit reichlich organisch gemagertem Ton, die *early reserved slip*-Keramik und die scheibengedrehten Schüsseln (*Massenkeramik*) der Frühbronzezeit IA (Periode VIA) gut vertreten; es gibt außerdem die *late reserved slip*-Keramik und die Küchenware der Frühbronzezeit IB (Periode VIB). Die *red-black ware* und die bemalte Keramik der Frühbronzezeit II und III (Perioden VIC und D) sind ausgesprochen vorherrschend. Die Quantität der älteren Keramik ist extrem hoch (Abb. 6.2), jedoch haben die gute Kenntnis des frühbronzezeitlichen Materials vom Arslantepe sowie die Möglichkeit, das Auftreten neuer Waren in der stratigraphischen Sequenz zu beobachten, es erlaubt, verschiedene keramische Waren zu erkennen und der Mittelbronzezeit zuzuordnen.

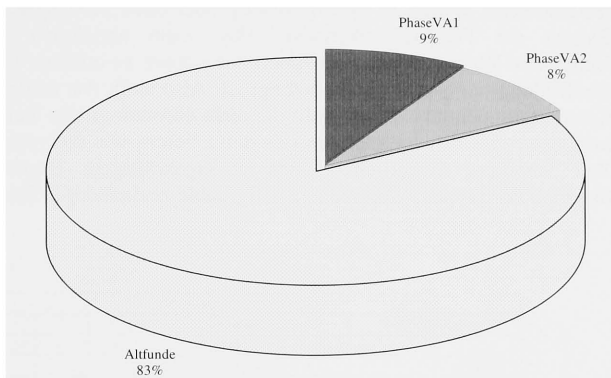


Abb. 6.2 - Quantitatives Verhältnis zwischen den Altfunden und der Keramik der Mittelbronzezeit bezogen auf die gesamte Grabungsfläche der Kampagnen von 1987-88 (bei insgesamt 8937 Scherben).

Die Altfunde haben einen Anteil von 83% am belegten keramischen Material. 17% wurden der Mittelbronzezeit zugeschrieben, davon stammen 9% aus Zusammenhängen, die stratigraphisch der ersten Phase angehören, während 8% die zweite Phase der Periode betreffen. Das Vorhandensein von älterem Material in mittelbronzezeitlichen Kontexten ist sicherlich auffällig und die Entstehung der stratigraphischen Ablagerung, die für sich komplex ist, belegt Tätigkeiten der "Erosion-Zerstörung" sowie der "Aufschüttung-Nivellierung", die im Laufe der Zeit im gesamten Grabungsgebiet stattfanden, wodurch Straten mit einem hohen Prozentanteil von Altfunden angehäuft wurden. Andererseits sind diese Bedingungen das Ergebnis der Geschichte der Ablagerung. Das Fehlen bedeutender Zusammenhänge mit *in situ*-Material auf den Fußbodenoberflächen, mit einer Ausnahme für A58, bringt natürlich Probleme mit sich für die Interpretation, die durch die Keramikanalyse geboten wird. Dieses sind Grenzen, denen nur schwer abgeholfen werden kann, wenn nicht allein durch die beständige Verifizierung der Ergebnisse, die auf stratigraphischer und typologischer Ebene sowie durch eine verschiedenartige Lektüre und die Korrelation mit anderen stratifizierten Zusammenhängen erreicht wurden.

In Bezug auf dieses Problem ist das Quadrat E8(6) ausgewählt worden, um das quantitative Verhältnis zwischen den keramischen Altfunden und derjenigen Keramik, die sicher der Mittelbronzezeit zugeordnet werden kann, festzustellen. Das keramische Material aus E8(6) wurde

ausgezählt und gewogen. Also sind die Ergebnisse in einer dreidimensionalen Grafik in Beziehung gesetzt worden. Das Verhältnis zwischen der Quantität (Abb. 6.3) und dem Gewicht (Abb. 6.4) reicht, um einige Verzerrungen der Ergebnisse, die durch den Erhaltungszustand der einzelnen Scherben bedingt sind, zu korrigieren. Aber in den beiden Grafiken können wir leicht einen sehr ähnlichen Verlauf beobachten, der das konstante Vorhandensein einer hohen Menge von Altfinden in allen ausgegrabenen Einheiten des Quadrats E8(6) bestätigen würde.

Durch die Detailanalyse, bezogen auf jede einzelne keramische Ware der Mittelbronzezeit, die in den jeweiligen Schichten des Quadrats E8(6) auftritt, ist es möglich die Verteilung bestimmter Waren im Laufe der Zeit zu erfassen (Abb. 6.5). Das Stratum 1 des Diagramms entspricht in der stratigraphischen Abfolge der römisch-byzantinischen Periode und der Eisenzeit, während das Stratum 2 mit der Spätbronzezeit gleichzusetzen ist. Das Material der Mittelbronzezeit stellt in diesem Fall die Altfinde dar. Die Straten 3 und 4 gehören der Phase VA₂ an, während die Schichten 5 und 6 der Phase VA₁ zuzuordnen sind. Unregelmäßigkeiten in der Verteilung des keramischen Materials innerhalb der Straten sind zu beobachten. Wenn man das jedoch gewichtet, ist insgesamt eine Tendenz der verschiedenen Waren zu einem Anstieg oder einer Abnahme, bezogen auf die zwei getrennten Phasen der Periode, erkennbar. Man kann annehmen, daß eine klare Unterscheidung zwischen den Waren der beiden Phasen nur schwer zu erhalten ist, was durch den eigenen Charakter der Bildung der Stratigraphie bedingt ist. Also stellt das tendenzielle Verhalten der verschiedenen Keramikgruppen tatsächlich nicht die reale chronologische Verteilung innerhalb der Phasen dar, obwohl es grundsätzlich einen Hinweis dafür liefert, wie die verschiedenen Waren sich im Laufe der Zeit verteilen. Sicherlich können aussagekräftigere Bestätigungen dadurch zustande kommen, daß man Formtypen, Waren und Stratigraphie zueinander in Beziehung setzt.

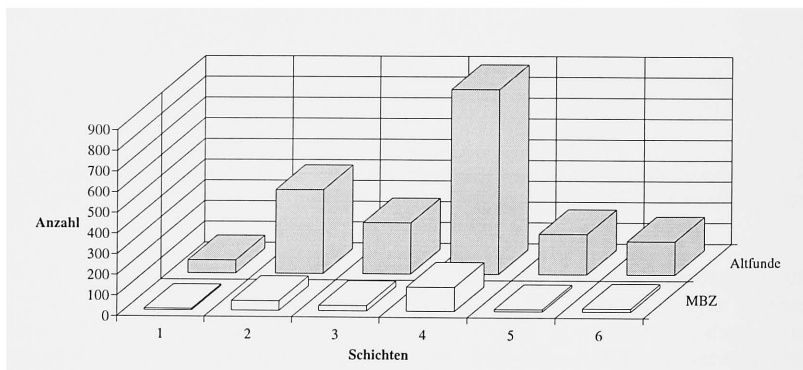


Abb. 6.3 - Quantitatives Verhältnis zwischen der Anzahl der mittelbronzezeitlichen Scherben und den Altfinden in den verschiedenen Schichten des Quadrats E8(6) (bei insgesamt 2198 Scherben).

6. Die Keramik der Mittelbronzezeit von Arslantepe

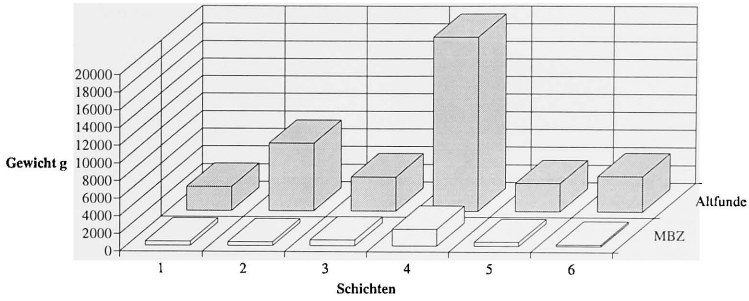


Abb. 6.4 - Quantitatives Verhältnis zwischen dem Gewicht in g der mittelbronzezeitlichen Scherben und den Altfunden in den verschiedenen Schichten des Quadrats E8(6) (Gesamtgewicht 45519 g).

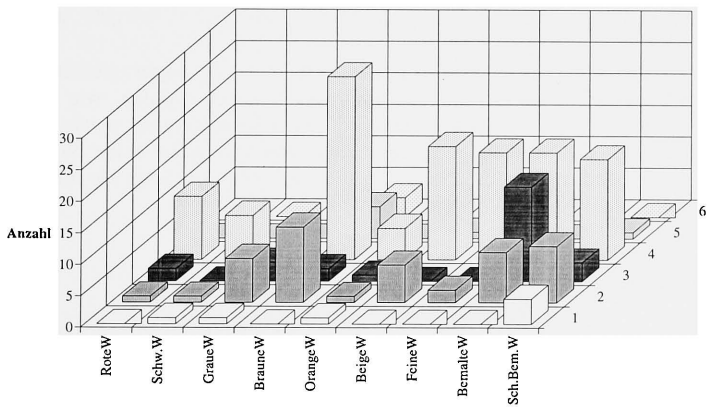


Abb. 6.5 - Verteilung der keramischen Waren der Mittelbronzezeit, die in den Straten des Quadrats E8(6) auftreten (bei insgesamt 226 Scherben).

6. Die Keramik der Mittelbronzezeit von Arslantepe

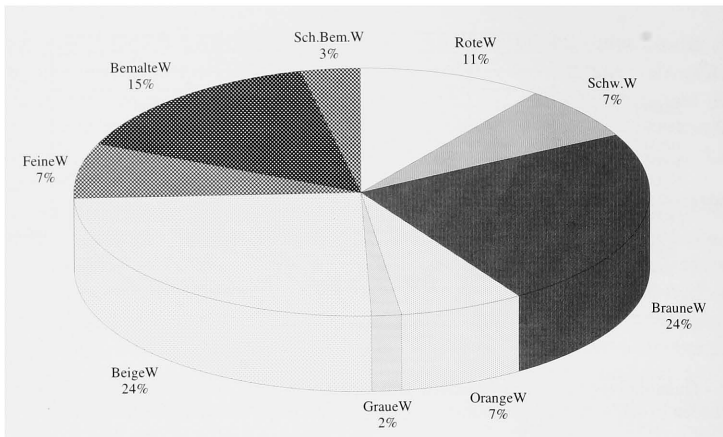


Abb. 6.6 - Keramische Waren der Phase VA₁ (bei insgesamt 771 Scherben).

Bei der Analyse des Materials der beiden Phasen VA₁ und VA₂ insgesamt, stellt man Elemente fest, die sich mit ausreichender Deutlichkeit nachweisen lassen werden, wie wir später sehen werden (Abb. 6.6 und 6.7). Die scheibengedrehte, rot überzogene Keramik sowie die schwarze, die scheibengedrehte beige, die scheibengedrehte orange und die beige feine Ware neigen dazu, während der späten Phase der Mittelbronzezeit abzunehmen. Dagegen zeigt die braune Ware ebenso wie die scheibengedrehte, bemalte Ware eine Tendenz zum Anstieg.

6.2 DIE TYPOLOGIE: METHODE UND DEFINITION

Die Klassifikation der keramischen Formen stellt ein wichtiges Arbeitsinstrument für die archäologische Forschung dar und liefert verschiedene Informationsarten. Das Hauptziel einer Klassifikation ist es, formale Bezugstypen voneinander zu unterscheiden, die von einer Gemeinschaft von Individuen in einer gegebenen Zeit und in einem gegebenen Raum miteinander geteilt werden (Typen), auf deren Basis man Verbreitungsgebiete der kulturellen Modelle und die Variation dieser Modelle im Laufe der Zeit erfassen kann (chronologische Seriationen). Aber wir sind uns sehr wohl bewußt, daß das Studium der Keramik über eine einfache typologische Klassifikation oder chronologische Seriation hinausgeht, und sowohl soziale als auch produktive Realitäten einer Gesellschaft mit einbezieht. Eine Untersuchung des keramischen Materials kann demnach die Erforschung der Modalitäten eines ganzen Produktionszyklus von jener vorgegebenen Gruppe an Objekten und die Bedeutung, die diese im Bereich bestimmter "integrativer soziokultureller Stufen" im Verhältnis zur betreffenden Umwelt und Zeit einnimmt, angehen.

Zum Nachdenken regt der, wenn auch provokative, Standpunkt von Poul Fejos, einem der Organisatoren des Kongresses *Ceramic and Man* (Österreich 1961), an, der in einem Interview behauptet: "Daher hasse ich jetzt die Keramik, weil der Archäologe entscheidet eine Typologie über die Keramik zu machen, und wir haben die komplizierteste Keramikhierarchie - Rot über Weiß, Weiß über Schwarz, Grün und Blau im Inneren, und Gott weiß, was sonst noch. Die Farbe und die

Form sind in diesem Zusammenhang schrecklich"⁶. Diesen konkreten Aspekten einer Hierarchisierung der Keramik und der Diskussion über das Konzept eines "Typs" haben sich zahlreiche Autoren verschrieben. Die enge Beziehung, die zwischen einer materiellen Produktion und der Gesellschaft, die diese hervorbringt, besteht, verbietet es nicht, getrennt davon die "internen Prozesse", durch die man eine bestimmte archäologische Materialgruppe herstellt, das ist in unserem Fall die Keramik, zu gewichten. Das von Schiffer vorgeschlagene "Fließmodell"⁷, liefert eine hinreichend gute Vorstellung, wie die archäologischen Elemente Teil eines Flusses von Veränderungen sein können, der sich in einer Reihe interner Prozesse zergliedert. Diese können für die Keramik folgendermaßen zusammengefaßt werden: Erwerb der Rohstoffe, Prozesse der Umwandlung, Gebrauch, Wiederverwertung. Unter dem Erwerb der Rohstoffe ist die Auffindung des Tons, der Magerungen/Flußmittel und der Pigmente zu verstehen. Wenn man von Prozessen der Umwandlung der Keramik spricht, bezieht sich das auf eine eventuelle Klärung, Vermischung, Ausformung und Brennung. Der Gebrauch ist jene Bestimmung des fertigen Produkts, das jedoch eine Defunktionalisierung und folglich eine Wiederverwertung erfahren kann, das heißt das Objekt kann die ursprüngliche eigene Funktion verlieren, um dadurch eine neue anzunehmen (Gefäßwandungen, die Anhänger werden, Deckel verwandeln sich in Behälter); und schließlich wird es als "archäologisches Element" in einer stratifizierten Ablagerung aufgefunden werden. Die enge Verbindung, die in der Archäologie zwischen dem Material und der stratigraphischen Abfolge besteht, wird grundlegend, nicht nur um Informationen chronologischer Art zu erhalten, sondern auch, um eben die Prozesse, die zu der Bildung der archäologischen Ablagerung und zur eigenen Geschichte des Ortes geführt haben, zu verstehen. Dieses ist um so wahrer in einer Situation wie derjenigen in der Mittelbronzezeit des Arslantepe, wo der Ärmlichkeit und dem schlechten Erhaltungszustand der Strukturen eine Komplexität und eine Gliederung in der stratigraphischen Sequenz gegenübersteht.

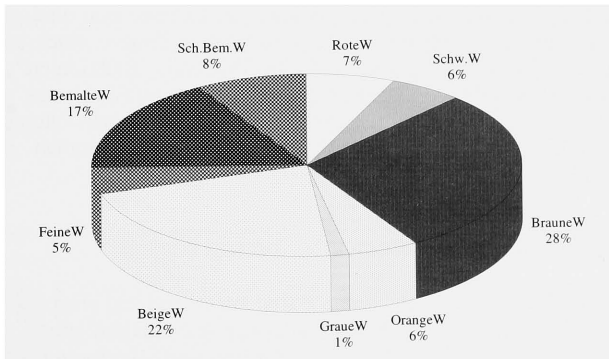


Abb. 6.7 - Keramische Waren der Phase VA₂ (bei insgesamt 744 Scherben).

⁶ Leonardi, Pracchia, Vidale 1989: 89.

⁷ Schiffer 1976: Abb. 4.1, 4.2.

Obwohl sich dieses Studium auf eine traditionelle und im wesentlichen typologische Annäherung an das keramische Material beschränkt, kann man nicht von einem Nachdenken über die Probleme, die diese Art der Untersuchung aufwirft, absehen⁸.

Bereits Alba Palmieri hat ihre Forschungen, insbesondere in bezug auf die Studien protostaatlicher Gesellschaften, hin zu einer funktionalen Analyse der archäologischen Erscheinungen ausgerichtet, um so "die Bedeutung eines gegebenen Verhaltens im Zusammenhang mit einer bestimmten Kultur zu finden, das heißt seine soziale, ökonomische und ideologische Funktion. Für dieses Ziel ist die Rolle der Analogie grundlegend. Das Problem der Interpretation von archäologischen Daten ist jenes, die Beziehungen zwischen den Verhaltensmustern und den ökonomischen, sozialen, politischen und ideologischen Erfordernissen zu erkennen". Deswegen wird die formale Typologie zu einem Instrument, mit dem erfaßt werden soll, "welche Gesamtheit von Aktionen, die in korrelativen Kontexten belegt sind, man als einem nämlichen kulturellen Verhalten zuschreibbar ansehen kann, das historisch bedingt ist. Sie ist ein Instrument, um die Bezugsarten zwischen angrenzenden Gruppen zu finden (Phänomene der Nachahmung, Erwerb und Umgestaltung, die durch die Berücksichtigung typologischer Systeme, und nicht einzelner Merkmale, erforscht werden können)"⁹. Wir stehen so einer Klassifizierungsmethode gegenüber, die nicht versucht die natürliche Entwicklung, man könnte sagen von "biologischer" Art, einer bestimmten Objektkategorie zu begreifen, als vielmehr die Gesamtheit der Merkmale, die eine Kultur und "die Beziehungen zwischen angrenzenden Gruppen" charakterisieren, zu entdecken. Der archäologische "Typ" ist kein belebtes Wesen, das ein eigenes Leben genießt, autonom in verschiedenen Teilen der Erde wiederholbar und Gegenstand der Veränderung nach den Gesetzen der genetischen Evolution ist. Er ist, ganz im Gegenteil, eng verbunden mit dem kulturellen Kontext, in dem er hergestellt wurde und stellt den Ausdruck einer Idee oder eines mentalen Modells dar, das von einer Gruppe von Individuen als Teil einer Gesamtheit kultureller Merkmale geteilt wird. Es steht dem Archäologen zu, diese Komplexe zu erkennen und die Phänomene von Nachahmung oder Umgestaltung des "Typs" sowie seine Umwandlungen unter Mitwirkung der "kulturellen Evolution" einer Gesellschaft historisch zu interpretieren. Die Veränderung eines keramischen Typs ist nicht durch Normen der Voraussehbarkeit vorgeschrieben, sondern entspringt neuen geschichtlichen Bedingungen, neuen kulturellen Beziehungen und neuen funktionalen Notwendigkeiten, die durch ökonomische und ideologische Motive einer bestimmten sozialen Gruppe festgelegt sind. Wenn wir erkennen, daß eine Typologie "funktioniert", haben wir deshalb nichts anderes gemacht als die Merkmale einer Kultur zu erfassen, und sie wird nur dann "funktionieren", wenn jene in einem bestimmten geographischen und chronologischen Bereich erkannten formalen Analogien bestätigt werden durch die Gesamtheit der anzutreffenden archäologischen Evidenz.

6.3 DIE TYPOLOGISCHE KLASSIFIKATION DER KERAMISCHEN FORMEN

Die Kriterien für eine Klassifikation der Keramik sind ausgehend von einer Datenbank, die für das keramische Material der Mittelbronzezeit vom Arslantepe durchgeführt wurde, festgestellt worden. Die Möglichkeit eine einheitliche Verzettelung für jede einzelne Scherbe zu gebrauchen, erlaubte es in relativ kurzer Zeit einige statistische Informationen zu erhalten. Das Hauptziel der Datenbank ist

⁸ Als in Bezug auf diese Thematik wichtig erweisen sich die Beiträge, die in dem Band enthalten sind, der von van der Leeuw, Pritchard (Hrsg.) 1984 herausgegeben wurde; im besonderen sei dabei auf die Artikel von Riley 1984; Steponaitis 1984; Van As 1984; Rice 1984b; Krause 1984 hingewiesen. Ein anderer Beitrag ist derjenige von Rice 1984a. Für die neuesten ethnographischen Untersuchungen in der Türkei, die von der archäologischen Mission Italiens durchgeführt wurden, vgl. Angle, Dottarelli 1989; 1990-91.

⁹ Handgeschriebene Anmerkungen von Alba Palmieri zusammengestellt in: Frangipane 1990-1991: 11.

insbesondere jenes, homogene Informationen zu erlangen, die folglich in Bezug auf besondere Veränderungen vergleichbar sind, indem man die erhobenen Daten überkreuzt und miteinander in Beziehung bringt. So wird der Gebrauch einer keramischen Karteikarte nicht allein als einfache typologische Liste oder beschreibenden Katalog ermöglicht, sondern sie ist ein echtes Werkzeug der Forschung.

Die formale Unterscheidung der Keramik ist auf drei getrennten Ebenen der Klassifikation durchgeführt worden, die aber voneinander sozusagen in hierarchischer Art abhängen. Die erste Ebene entspricht der *typologischen Klasse*, die die umfangreichste Gruppe der Zugehörigkeit von jedem keramischen Fragment definiert. In jeder einzelnen typologischen Klasse sind alle jene Formen vertreten, die wahrscheinlich, im allgemeinen Sinn, analoge funktionale Zwecke erfüllten. Jedoch gründet sich das Prinzip der Zuschreibung zu der einen oder anderen Materialklasse ausschließlich auf jene formalen Merkmale, die die Folge der Gebrauchsnotwendigkeiten sind, welche die Herstellung des Gefäßes anregten. Die Klasse kann also in einigen Fällen eine funktionale Bedeutung annehmen. Im einzelnen handelt es sich um die folgenden typologischen Klassen: Schüsseln, Tassen, kleine Töpfe, Töpfe, Becken, situlenförmige Gefäße, *Pithoi*, Backplatten, Deckel, Seiher, Ständer (zu den Kleinfunden sind durchlochte Scheiben und durchbohrte konische Gegenstände zu rechnen).

Eine zweite Unterscheidungsebene innerhalb der typologischen Klasse ist diejenige der *formalen Kategorie*, in der verschiedene morphologische Aspekte im Bereich der Form mit analoger Bestimmung für den Gebrauch zusammengefaßt werden. So ist es möglich kalottenförmige, kegelmüpfelförmige, halbkugelige, kugelige, eiförmige, "S"-profilerte, geknickte, und bikonische Formen sowie Schultergefäße und Gefäße mit Hals, mit einziehendem Rand und mit ovaler Mündung aufzuzeigen.

Die letzte Unterscheidungsebene innerhalb der *formalen Kategorie* ist schließlich der *Typ*. Jedem Typ wird das Material zugeschrieben, das durch Dimensionen und Morphologie bedeutsame Analogien auch im Detail zeigt und das deswegen eine Kategorie homogener Objekte bildet. Es ist der Typ, der einen bedeutungsvollen chronologischen und kulturellen Wert annehmen kann.

Das sehr beschränkte Vorhandensein der Anzahl vollständiger keramischer Formen hat die typologischen Zuschreibungen konditioniert, so daß sie in einigen Fällen Zweifel aufgrund der nur begrenzt erhaltenen Oberfläche hervorrufen können. Dieses Problem ist jedoch nur schwer zu lösen.

Die typologische Klassifikation des mittelbronzezeitlichen Materials vom Arslantepe wird im nachfolgenden Text zusammengefaßt, wobei kurze Definitionen der Klassen und Typen vorgelegt sowie einige statistische Daten geliefert werden. Bei der Bezifferung wurden die Typen nur geschätzt, indem sie bei der Vorlage in Beziehung zu den zugehörigen formalen Klassen und Kategorien gebracht wurden.

Schüssel. Es handelt sich um eine offene Form von kleiner Größe, die überwiegend von geringer Tiefe ist; das Gefäß besitzt keinen Henkel.

Unter den formalen Klassen der Schüsseln (Abb. 6.8) sind die typischsten sicherlich jene mit geknickter Schulter (29%), aber gut belegt sind auch die Schüsseln mit "S"-Profil (20%) sowie die halbkugeligen Schüsseln (20%) und Schüsseln mit einziehendem Rand (19%). Weniger üblich sind die konischen Schüsseln (11%) und nur selten treten die Schüsseln mit kugeligem Kalotte auf (1%).

Die Schüsseln sind in 22 Typen untergliederbar. Die konischen Schüsseln betreffen die Typen 1-3, die halbkugeligen die Typen 4-7. Zu den Schüsseln mit einziehendem Rand gehören die Typen 8-12, während die Schüsseln mit geknickter Schulter in den Typen 13-18 zusammengruppiert sind. Schließlich umfassen die Typen 19-22 die Schüsseln mit "S"-Profil.

6. Die Keramik der Mittelbronzezeit von Arslantepe

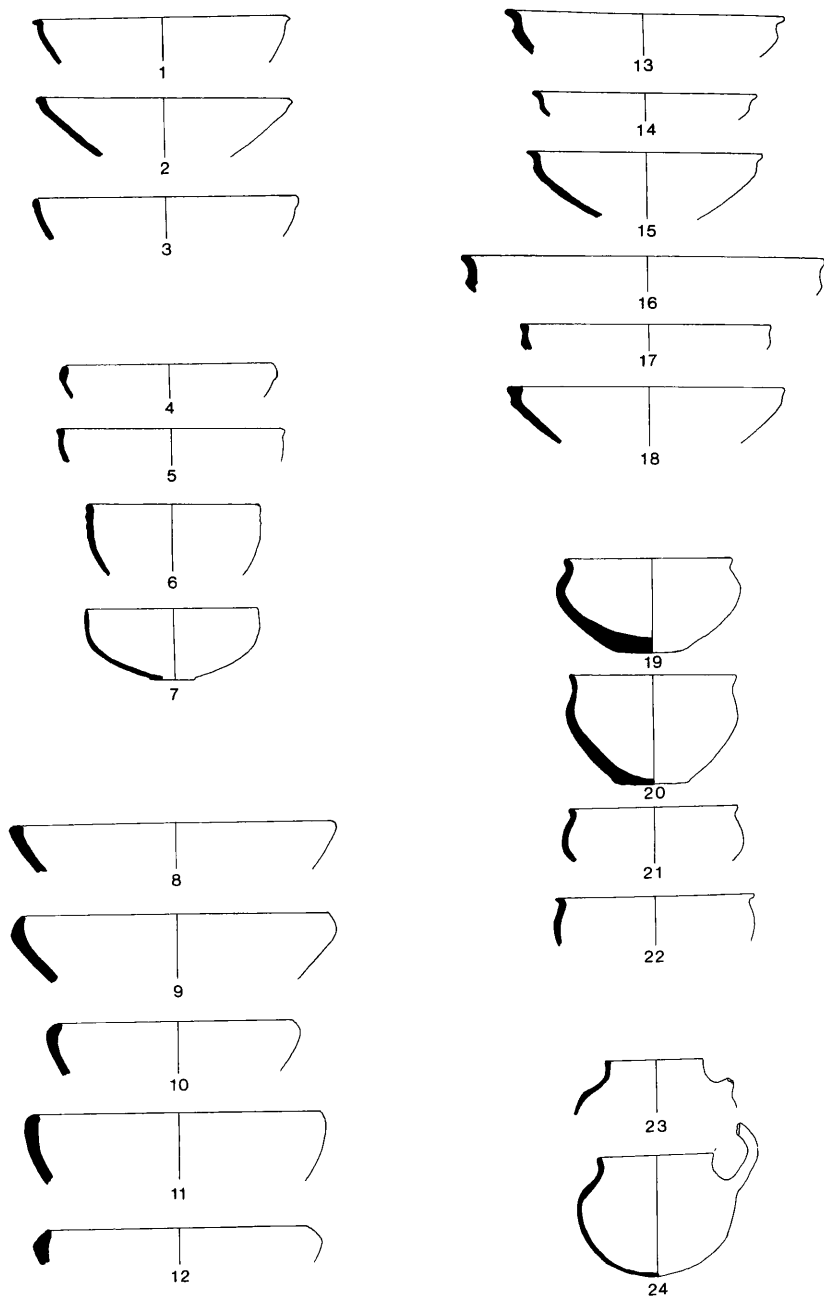


Abb. 6.8 - Typologie der Formen. Schüsseln und Tassen.

6. Die Keramik der Mittelbronzezeit von Arslantepe

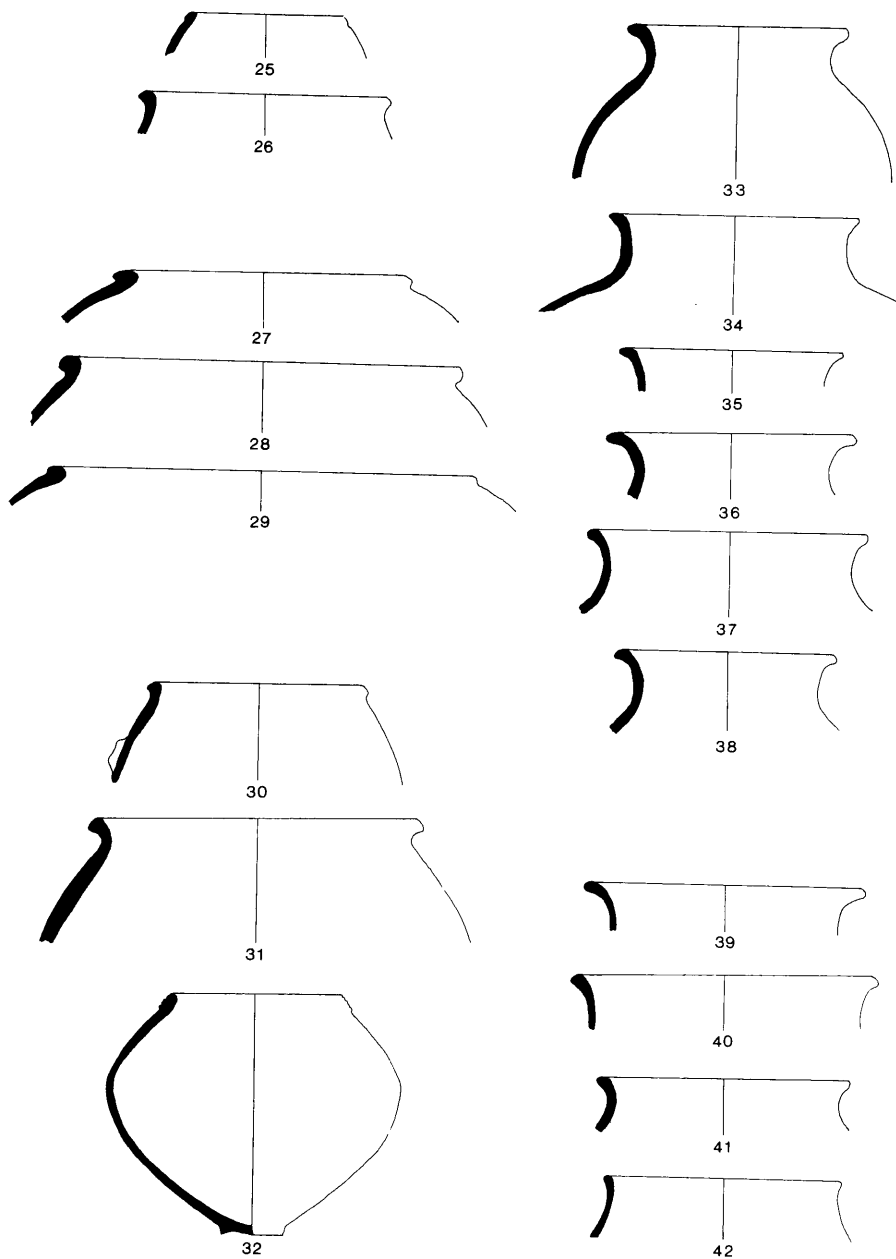


Abb. 6.9 - Typologie der Formen. Töpfc.

6. Die Keramik der Mittelbronzezeit von Arslantepe

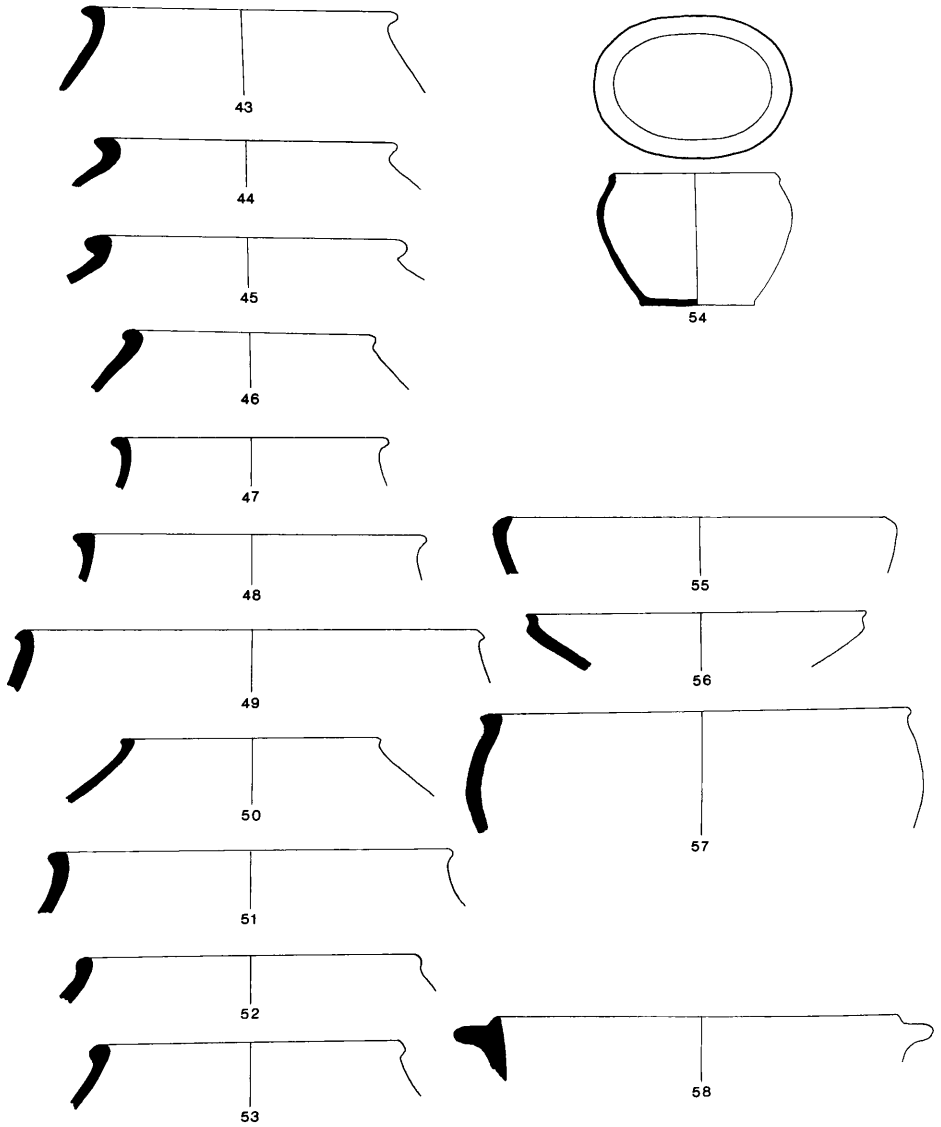


Abb. 6.10 - Typologie der Formen. Töpfe, Becken und situlenförmige Gefäße.

6. Die Keramik der Mittelbronzezeit von Arslantepe

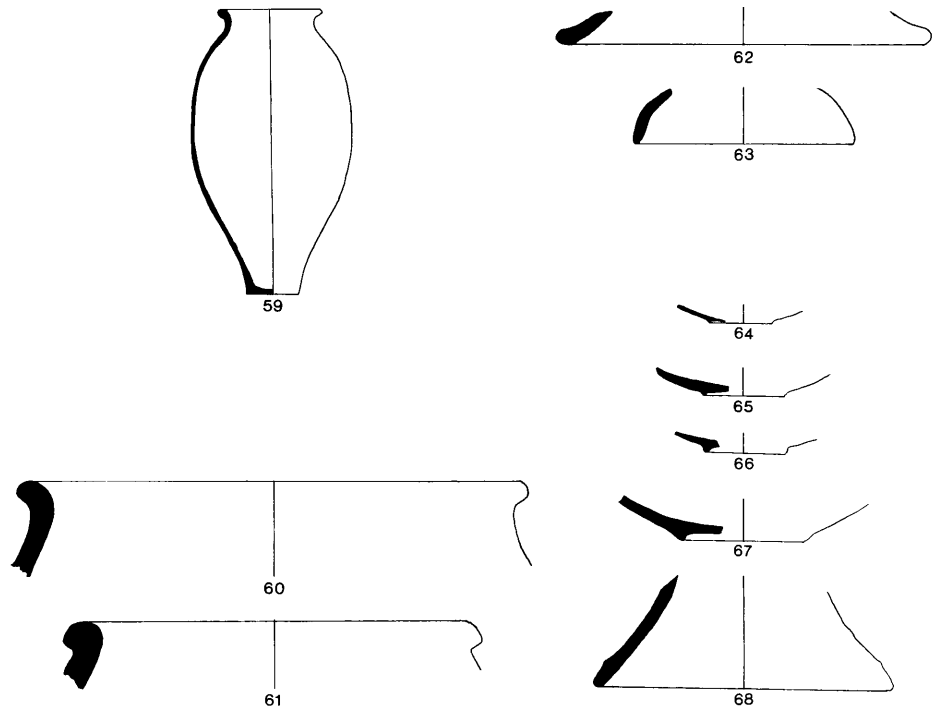


Abb. 6.11 Typologie der Formen. *Pithoi*, Deckel und Böden.

- Typ 1 Konische Schüssel mit abgesetztem, ausladendem Rand.
- Typ 2 Konische Schüssel mit abgesetztem, leicht ausladendem und verdicktem Rand.
- Typ 3 Konische Schüssel mit abgesetztem, verdicktem Rand.
- Typ 4 Halbkugelige Schüssel mit außen abgesetztem, leicht einziehendem Rand.
- Typ 5 Halbkugelige Schüssel mit leicht verdicktem Rand.
- Typ 6 Halbkugelige Schüssel mit nicht abgesetztem, geradem Rand und einer flachen, horizontalen Rippung auf der äußeren Wandung.
- Typ 7 Halbkugelige Schüssel mit nicht abgesetztem, geradem und dünner werdendem Rand sowie einem Ringfuß.
- Typ 8 Schüssel mit kurzem, einziehendem und abgesetztem Rand.
- Typ 9 Schüssel mit leicht einziehendem, abgesetztem Rand.
- Typ 10 Schüssel mit stark einziehendem Rand.
- Typ 11 Schüssel mit einziehendem, nicht abgesetztem Rand und konvexer Wandung.
- Typ 12 Schüssel mit einziehendem, abgesetztem Rand, der außen abgeflacht ist.
- Typ 13 Schüssel mit scharfkantig geknickter Schulter, stark konkaver, oberer Wandung und ausladendem, abgesetztem Rand.
- Typ 14 Schüssel mit geknickter Schulter, konkaver, oberer Wandung und ausladendem, abgesetztem Rand.
- Typ 15 Schüssel mit geknickter Schulter und kurzem, ausladendem, innen abgesetztem Rand.
- Typ 16 Schüssel mit geknickter Schulter und ausladendem, nicht abgesetztem Rand.
- Typ 17 Schüssel mit geknickter Schulter und kurzem, ausladendem sowie verdicktem Rand.
- Typ 18 Schüssel mit geknickter Schulter und kurzem, verdicktem sowie abgeflachtem Rand.
- Typ 19 Schüssel mit S-Profil, kurzem, ausladendem Rand, betonter Schulter und wenig tiefer Bauchung.
- Typ 20 Schüssel mit S-Profil, ausladendem Rand und wenig betonter Schulter.
- Typ 21 Schüssel mit S-Profil, kurzem, ausladendem Rand, betonter Schulter und linsenförmigem Körper.

Typ 22 Schüssel mit S-Profil, ausladendem Rand und kugeligem Körper.

Tasse. Es handelt sich um eine geschlossene Form von geringer Größe mit einem kugeligen Körper, einem Henkel sowie geradem oder ausladendem Rand. Der Henkel ist nur in einem Fall vorhanden, die anderen acht Scherben wurden dieser typologischen Klasse aufgrund der ausgeprägten Affinität zugeschrieben. Die Typen 23 und 24 bezeichnen die kugeligen Tassen (Abb. 6.8).

Typ 23 Kugelige Tasse mit geradem, abgesetztem Rand und vertikalem, überrandständigem Stabhenkel, der an der Randleppe und auf der Schulter angebracht ist.

Typ 24 Kugelige Tasse mit ausladendem, abgesetztem Rand und vertikalem, überrandständigem Stabhenkel, der an der Randleppe und auf der Schulter angebracht ist.

Kleiner Topf. Es handelt sich um eine geschlossene, tiefe Form von kleinen Dimensionen mit geschwungenem Profil.

Allgemein sind die kleinen Töpfe nur in begrenzter Anzahl vertreten. Der größte Teil sind kugelige Gefäße (25%) oder Schultergefäße (22%), weniger treten kleine Töpfe mit Hals auf (6%) und nur selten sind jene eiförmigen Töpfe vorhanden. Mehrere Bruchstücke sind dieser typologischen Klasse zuzuschreiben (44%), obwohl für diese keine sonstige Unterteilung aufgrund der Form möglich ist.

Die Typen 25 und 26 kennzeichnen jeweils die kleinen, kugeligen Töpfe und jene mit Schulter (Abb. 6.9).

Typ 25 Kugelig, kleiner Topf mit verdicktem, abgesetztem Rand.

Typ 26 Kleiner Schülertopf mit ausladendem, nicht abgesetztem Rand, der leicht verdickt ist.

Topf. Es handelt sich um eine geschlossene, mittelgroße Form, die im allgemeinen kugelig, ei- oder birnenförmig und wenig gegliedert ist; sie tritt mit oder ohne Henkel oder Handhabe auf.

Die am häufigsten belegten Formen sind die Töpfe mit Hals (39%) und mit Schulter (38%), weniger häufig sind die kugeligen (8%) und die eiförmigen Töpfe (4%). Eine besondere Form, die aber nur selten auftritt, ist jene mit ovaler Mündung (1%).

Die kugeligen Töpfe betreffen die Typen 27-29, jene eiförmigen die Typen 30-32, die Töpfe mit Hals die Typen 33-42, während die Schülertöpfe und jene Töpfe mit ovaler Mündung jeweils den Typen 43-53 sowie 54 entsprechen (Abb. 6.9 - 6.10). Aufgrund der Bruchstückhaftigkeit des aus der Grabung stammenden Materials, betrifft die Typologie der Töpfe in vielen Fällen nur einzelne Teile des Gefäßes, insbesondere die Ränder. Es gibt daher jedoch einen gewissen Grad der Unsicherheit bei den formalen Zuordnungen, der in anderer Weise nicht ausgefüllt werden kann.

Typ 27 Kugelig, kleiner Topf mit kurzem, abgesetztem und verdicktem Rand, der leicht abgeflacht ist.

Typ 28 Kugelig, kleiner Topf mit kurzem, abgesetztem und verdicktem Rand mit rundem Querschnitt.

Typ 29 Kugelig, kleiner Topf mit kurzem, abgesetztem und verdicktem Rand mit halbrundem Querschnitt.

Typ 30 Eiförmiger Topf mit ausladendem, abgesetztem und verdicktem Rand.

Typ 31 Eiförmiger Topf mit ausladendem und abgesetztem Rand, der leicht verdickt ist.

Typ 32 Eiförmiger Topf mit außen durch parallele horizontale Rippungen abgesetztem Rand.

Typ 33 Topf mit kurzem Hals, ausladendem Rand und kugeligem oder eiförmigem Körper.

Typ 34 Topf mit Hals und kurzem, ausladendem, abgesetztem Rand.

Typ 35 Topf mit leicht konkavem Hals und stark ausladendem Rand.

Typ 36 Topf mit stark konkavem Hals und ausladendem, abgesetztem Rand.

Typ 37 Topf mit konkavem Hals und ausladendem, nicht abgesetztem Rand mit leicht verdicktem Ende.

Typ 38 Topf mit konkavem Hals und ausladendem, abgesetztem Rand mit verdicktem Ende.

Typ 39 Topf mit konkavem Hals und ausladendem, nicht abgesetztem Rand.

Typ 40 Topf mit Hals und leicht ausladendem Rand mit verdicktem Ende.

Typ 41 Topf mit kurzem, nicht abgesetztem Hals und ausladendem Rand.

6. Die Keramik der Mittelbronzezeit von Arslantepe

Typ 42	Topf mit kurzem, nicht abgesetztem Hals und leicht ausladendem Rand.
Typ 43	Schultertopf mit stark ausladendem Rand.
Typ 44	Schultertopf mit ausladendem, verdicktem Rand und stark einziehender Wandung.
Typ 45	Schultertopf mit ausladendem, abgesetztem und verdicktem Rand sowie stark einziehender Wandung.
Typ 46	Schultertopf mit kurzem, ausladendem und abgesetztem Rand sowie stark einziehender Wandung.
Typ 47	Schultertopf mit kurzem, stark ausladendem Rand und leicht einziehender Wandung.
Typ 48	Schultertopf mit ausladendem, abgesetztem und verdicktem Rand sowie leicht einziehender Wandung.
Typ 49	Schultertopf mit kurzem, ausladendem und abgesetztem Rand sowie gerader einziehender Wandung.
Typ 50	Schultertopf mit verdicktem, nicht abgesetztem Rand und stark einziehender Wandung.
Typ 51	Schultertopf mit kurzem, ausladendem, abgesetztem und verdicktem Rand sowie leicht einziehender Wandung.
Typ 52	Schultertopf mit kurzem, geradem, abgesetztem und verdicktem Rand.
Typ 53	Schultertopf mit verdicktem Rand und mit halbrundem Querschnitt.
Typ 54	Schultertopf mit ovaler Mündung und <i>rail rim</i> .

Becken. Es handelt sich um eine offene, im allgemeinen wenig tiefe Form von mittlerer Größe und mit einem wenig gegliederten Profil.

Unter den Formen sind jene mit einziehendem Rand (27%) und jene mit geknickter Schulter (26%) die üblichsten, darauf folgen die halbkugeligen Becken sowie die Schulterbecken (17%) und schließlich jene mit kugeligem Körper (9%).

Den Becken entsprechen der Typ 55 für jene mit einziehendem Rand, der Typ 56 für die Becken mit geknickter Schulter und schließlich der Typ 57 für die Schulterbecken (Abb. 6.10).

Typ 55	Becken mit einziehendem Rand.
Typ 56	Becken mit geknickter Schulter und ausladendem, abgesetztem Rand.
Typ 57	Schulterbecken mit geradem, nicht abgesetztem und verdicktem Rand.

Situlenförmiges Gefäß. Es handelt sich um eine konische, tiefe Form mittlerer Größe mit einer Handhabe, die um den gesamten Gefäßumfang herumläuft. Sie ist nur durch drei Scherben vertreten. Ein einziger Typ umfaßt diese Klasse, nämlich der Typ 58 (Abb. 6.10).

Typ 58	Situlenförmiges Gefäß mit einer Handhabe unterhalb des Randes, die horizontal um den gesamten Gefäßumfang herumläuft.
--------	---

Pithos. Es handelt sich um eine bikonische oder eiförmige Form von großen Dimensionen mit wenig gegliedertem Profil. Zahlreich sind die Bruchstücke, die dieser Klasse zugeordnet wurden, aber nur zwei Stücke sind typologische bestimmbar. Der Typ 59 betrifft tatsächlich eine vollständige Pithosform, während die Typen 60-61 einer Klassifizierung durch die Fragmente entsprechen, wobei es unmöglich ist, die Form zurückzuverfolgen (Abb. 6.11).

Typ 59	Eiförmiger <i>Pithos</i> mit stark ausladendem Rand.
Typ 60	Ausladender, zu einem <i>Pithos</i> gehöriger Rand.
Typ 61	Ausladender und verdickter, zu einem <i>Pithos</i> gehöriger Rand.

Backplatte. Es handelt sich um eine wahrscheinlich runde, flache oder mit einer leichten Andeutung einer Konkavität versehenen Form. Es wurden nur zwei Fragmente ausgegraben (Tafel 28, Nr. 8).

Deckel. Es handelt sich um eine konische oder halbkugelige Form. Nur acht Scherben wurden dieser Klasse zugeschrieben, von denen vier das konische Profil haben, Typ 62, und drei sind halbkugelig, Typ 63; in einem Fall handelt es sich wahrscheinlich um eine flache Form (Abb. 6.11).

Typ 62	Konischer Deckel mit leicht ausladendem Rand.
Typ 63	Deckel mit halbkugeligem Körper, geradem Rand und konvexer Wandung.

Seher. Es handelt sich um eine halbkugelige Form mit horizontalem Henkel und gerundeter Basis, die durch zahlreiche durchgestochene, kleine Löcher gekennzeichnet ist (Tafel 28, Nr. 6).

Ständer. Es handelt sich um eine konische Form oder um eine Form mit konvexer Wandung von unterschiedlicher Größe. Nur zwei Gegenstände sind dieser Klasse zuzuordnen (Tafel 24, Nr. 5; Tafel 25, Nr. 14).

Andere Objekte aus gebranntem Lehm, die nicht unbedingt mit keramischen Formen zu verbinden sind, sind in sehr begrenzter Anzahl in den Zusammenhängen der Mittelbronzezeit gefunden worden. Insbesondere kann man an die runden, durchlocherten Scheiben erinnern, die als keramische Wandscherben angesehen werden, die zu diesem Zweck wiederverwendet wurden, und ebenso an einen kleinen, durchbohrten, konischen Gegenstand (Tafel 25, Nr. 21-22).

Die Typen 64-68 stimmen mit einer Klassifikation für einzelne Teile des Gefäßes überein, die sonst nicht zuzuordnen wären. Insbesondere die Typen 64-67 betreffen die Ringfüße, während der Typ 68 mit Gefäßbruchstücken auf hohem, konischen Fuß verbunden ist (Abb. 6.11).

Zahlreiche im Katalog beschriebene Keramikfragmente sind keinem einzigen Typ zuzuschreiben, wohingegen andere mit einer typologischen Klasse oder mit einer formalen Kategorie zu verknüpfen sind. Diese Fälle weisen einzelne Elemente auf, die nicht auf genaue typologische Modelle zurückführbar sind.

6.4 TYPOLOGIE UND KERAMISCHE WAREN

Mehr Informationen können erreicht werden, wenn die formalen Typen in Beziehung zu den einzelnen keramischen Waren gesetzt werden. Dabei soll beobachtet werden, ob es einen direkten Zusammenhang zwischen dem morphologischen Erscheinungsbild und dem ästhetisch-technologischen Aspekt bei der Keramik der Mittelbronzezeit vom Arslantepe gibt. Typ und Ware können eine Bedeutung annehmen, die sowohl vom chronologischen Gesichtspunkt aus als auch in Bezug auf die Verbreitung der Keramik auf regionaler Ebene relevant ist.

Die neun keramischen Waren des Arslantepe sind untereinander auf der Grundlage der formalen Typen, die sie gemeinsam haben, in Beziehung gesetzt worden, so daß sich auf der Basis des Ähnlichkeitskoeffizienten nach "Jaccard"¹⁰ ein *cluster* (Abb. 6.12) ergab. Mit dem höchsten Wert

¹⁰ Der Ähnlichkeitskoeffizient nach Jaccard (J) ist wie folgt definiert:

$$J(ij) = \frac{N_{++}}{N_{++} + N_{+-} + N_{-+}}$$

i und j sind die zu korrelierenden Einheiten und in unserem Fall sind diese Einheiten vertreten durch die keramischen Waren. N_{++} gibt die Zahl der gleichzeitig vorhandenen keramischen Typen innerhalb zweier Waren an; N_{+-} steht für die Anzahl der Typen, die innerhalb der ersten Ware vorhanden sind, bei der zweiten Ware aber fehlen; schließlich zeigt N_{-+} die Anzahl der Typen, die bei der ersten Ware fehlen, jedoch innerhalb der zweiten Ware auftreten an. Zu diesem Thema vgl.: Bietti, Rambaldi, Zanello 1978: 52. Die erzielten Werte des Koeffizienten J für die mittelbronzezeitliche Periode des Arslantepe sind die folgenden:

- J(scheibengedrehte, beige Ware-scheibengedrehte, orange Ware) = 0,3913
- J(schwarze Ware-braune Ware) = 0,2000
- J(scheibengedrehte, rot überzogene Ware-schwarze Ware) = 0,1923
- J(braune Ware-scheibengedrehte, orange Ware) = 0,1666
- J(graue Ware-scheibengedrehte, bemalte Ware) = 0,1428
- J(scheibengedrehte, beige Ware-scheibengedrehte, bemalte Ware) = 0,1363

sind Waren der *scheibengedrehten, orangen Ware* und die *scheibengedrehte, beige Ware* miteinander in Beziehung gebracht, und zwar in dem Sinne, daß sie die Mehrheit der Formen miteinander teilen. Es folgt die *schwarze Ware*, die *braune Ware* und die *scheibengedrehte, rot überzogene Ware*. Schließlich stimmen mit sehr niedrigen Werten die *graue Ware*, die *scheibengedrehte, bemalte Ware*, die *handgemachte, bemalte Ware* und die *beige, feine Ware* überein. Viele der Typen, die in der *scheibengedrehten, orangen Ware* vorhanden sind, treten auch bei der *scheibengedrehten, beige Ware* auf. Obwohl die beiden Waren anhand der Herstellung hinreichend unterscheidbar sind, zeigen die ihnen zugeordneten keramischen Formen keine grundlegenden Unterschiede und scheinen somit ähnlichen funktionalen Zwecken gedient zu haben. Anders ist die Argumentation für die *scheibengedrehte, rot überzogene Ware*, die *schwarze Ware* und die *braune Ware*, deren Verbindung sich hauptsächlich auf die offenen Formen gründet, während der Rest der Waren größere Eigenheiten aufweist und sich dadurch also zu gesonderten typologischen Gruppen zusammenschließt. Diese Beobachtungen finden eine weitere Bestätigung in der Liste der formalen Typen, die ausschließlich den einzelnen keramischen Waren angehören (Abb. 6.13). Die *scheibengedrehte, rot überzogene Ware* kennzeichnet tatsächlich die offenen Formen (Typen 1-3, 6, 13, 17) mit allen Typen von Schüsseln. Diese Ware ist ein typisches Eßgeschirr. Der *schwarzen Ware* sind in ausschließlicher Weise die Schüsseln mit einziehendem Rand zugeordnet (Typ 9), während der *beigen, feinen Ware* halbkugelige Schüsseln und ein besonderer Ringfuß angehören (Typen 4, 7, 64). Die *scheibengedrehte, beige* und *orange Ware* werden gemeinsam betrachtet, da sich bei ihnen tatsächlich viele Typen überlagern. Die häufigsten Formen sind die Schüsseln mit "S"-Profil (Typen 20-21), aber es sind auch eiförmige Töpfe, Töpfe mit Hals (Typen 30, 36), Pithoi (Typ 59) und Ringfüße, die zu Formen mittlerer Größe gehören (Typ 67), vorhanden. Der größte Teil der keramischen Formen der *braunen Ware* besteht aus Behältern mittlerer und großer Dimensionen, insbesondere Töpfen und Becken (Typen 29, 32, 45, 54, 57-58, 68). Der *handgemachten, bemalten Ware* gehören kleine, einhenkelige, kugelige Tassen (Typen 23-24), Töpfe mit Hals (Typen 41-42) und konische sowie halbkugelige Deckel (Typen 62-63) an. Ein einziger Typ, nämlich ein Topf mit Hals (Typ 33), charakterisiert die *scheibengedrehte, bemalte Ware*.

Auch wenn keine enge und konstante Vergesellschaftung zwischen den keramischen Waren und spezifischen Funktionen erkennbar ist, sieht man einmal von dem Fall der *scheibengedrehten, rot überzogenen Ware* ab, so ist es dennoch möglich, in jeder Ware eine Tendenz, sich auf eine beschränkte Anzahl von Formen zu spezialisieren, zu beobachten.

J(scheibengedrehte, bemalte Ware-handgemachte, bemalte Ware) = 0,1250

J(braune Ware-scheibengedrehte, beige Ware) = 0,1176

J(graue Ware-braune Ware) = 0,1153

J(graue Ware-beige, feine Ware) = 0,1000

J(scheibengedrehte, orange Ware-scheibengedrehte, bemalte Ware) = 0,1000

J(schwarze Ware-graue Ware) = 0,0952

J(scheibengedrehte, orange Ware-handgemachte, bemalte Ware) = 0,0909

J(schwarze Ware-scheibengedrehte, orange Ware) = 0,0740

J(braune Ware-scheibengedrehte, bemalte Ware) = 0,0740

J(scheibengedrehte, rot überzogene Ware-scheibengedrehte, beige Ware) = 0,0645

J(scheibengedrehte, beige Ware-beige, feine Ware) = 0,0526

J(graue Ware-scheibengedrehte, orange Ware) = 0,0476

J(graue Ware-scheibengedrehte, beige Ware) = 0,0416

J(schwarze Ware-scheibengedrehte, beige Ware) = 0,0322

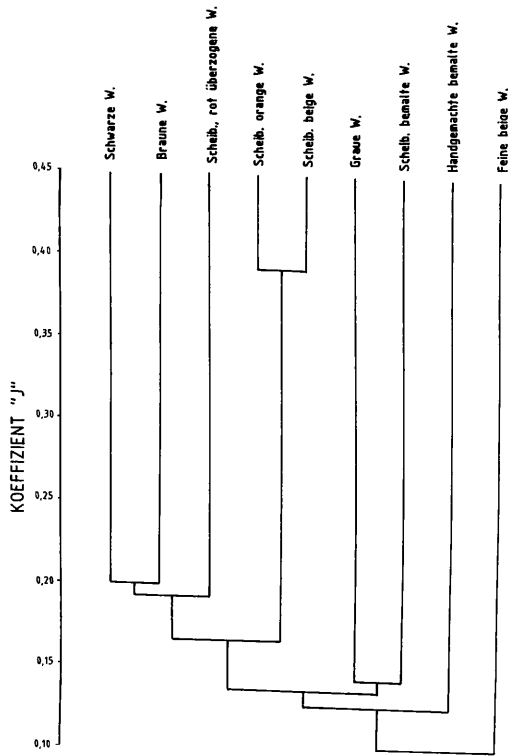


Abb. 6.12 Mit dem Ähnlichkeitskoeffizienten "J" ausgeführtes Dendrogramm zwischen den keramischen Waren und den formalen Typen.

6.5 DIE VERZIERUNGEN: TECHNIK UND TYPOLOGIE

Die Keramik der Mittelbronzezeit umfaßt unverzierte und verzierte Formen; bei den zuletzt genannten treten die folgenden Verzierungstechniken auf: die Bemalung, die plastische Verzierung und, seltener, der eingetiefte Dekor. Die aufgemalte Verzierung ist gekennzeichnet durch ausschließlich geometrische, monochrome oder bichrome Motive. Die vorherrschenden Farben sind Schwarz und Rot; sie werden mit einem weichen Gegenstand auf der Oberfläche des Gefäßes in stark verwässerter Form aufgebracht. Die Farbe ist fast nie völlig deckend und homogen, sondern läßt den Tongrund, auf dem sie aufgemalt ist, oder vorherige Farbaufträge durchscheinen. Dieses Aussehen der Verzierungstechnik ist ein besonderes Charakteristikum der Mittelbronzezeit. Die Farbe der bemalten Keramik der vorhergehenden Periode der Frühbronzezeit IIIA-B auf dem Arslantepe ist entschieden homogener und dichter, wobei nur in der Endphase dieser Periode, der Frühbronzezeit IIIC, eine Technik in Erscheinung tritt, die derjenigen der Mittelbronzezeit ähnlich ist.

Die bemalten Waren sind: die *handgemachte, bemalte Keramik* und die *scheibengedrehte, bemalte Keramik*. Auf allen beiden Waren ist die Bemalung vor dem Brand des Gefäßes aufgetragen; die Farbpartikel haften außerdem perfekt auf der lehmigen Oberfläche, ohne eine

verdickte Schicht aufzuweisen. Die Verzierungsmotive der *handgemachten, bemalten Keramik* bestehen aus der Kombination paralleler Bänder unterschiedlicher Breite und Orientierung, dünnen parallelen Linien, kurzen Segmenten, ausgefüllten Kreisen unterschiedlicher Größe, *Chevron*, Zick-Zack-Motiven, ausgefüllten Dreiecken, Rauten und "Netzmustern". In vielen Fällen ist die Zweifarbigkeit gegeben durch den Farbwechsel von Schwarz oder Braun und Rot zwischen den einzelnen Teilen, die das Verzierungsmotiv bilden; manchmal entsteht durch die Überlagerung schmalere roter Bänder über schwarzen Bändern eine dekorative Wirkung, die wir als "pseudo-eingerahmt" definieren könnten¹¹.

Bei der *scheibengedrehten, bemalten Keramik*, die an die *Habur Ware* erinnert, umfaßt das Dekor einfache, horizontale, parallele, rote Bänder, die seltener in Schwarz ausgeführt sind.

Die plastische Verzierung trifft man hauptsächlich auf Behältern mittleren und großen Ausmaßes an (Typen 28, 32); sie zeigt keine große Variabilität und besteht aus glatten, plastischen Leisten oder aufgesetzten Leisten mit Fingertupfeneindrücken oder Einkerbungen, Knubben oder parallelen, horizontalen Rippungen (Tafel 8, Nr. 1-4, 6-7; Tafel 10, Nr. 2; Tafel 23, Nr. 4; Tafel 30, Nr. 8-9; Tafel 31, Nr. 4-5; Tafel 31, Nr. 1-3). Die häufigsten Motive sind jene, die sich aus schmalen, glatten, plastischen Leisten, die ein eckiges Muster in Kombination mit einer Knubbe bilden, zusammensetzen. Rippungen verzieren die Außenseite des Randes oder die Schulter des Gefäßes.

Die eingetiefte Verzierung tritt nicht sehr häufig auf und wird aus einzelnen oder mehreren horizontalen Linien, eckigen Mustern oder, in nur einem Fall, mit dem Kamm ausgeführten Wellenmustern gebildet. Bei allen Beispielen wurde der Einschnitt vor dem Brand des Gefäßes vorgenommen. Die Stärke der Stücke ist wechselnd; tatsächlich sind schmale und tiefe Einschnitte ebenso wie breite, flache Kanneluren belegt (Tafel 30, Nr. 1, 4, 5, 7; Tafel 22, Nr. 1).

Die gemalten Muster sind in 21 Typen unterteilt worden (Abb. 6.14-16), wobei jeder Typ aus einer Kombination von Elementen besteht, die eine Zusammensetzung darstellen. Mit den kleinen Buchstaben verbinden sich Zusammenstellungen, die eine analoge dekorative Entwicklung aufweisen und bei denen es aufgrund der Bruchstückhaftigkeit der Belege nicht möglich ist, die ursprüngliche Verzierung zurückzuverfolgen. Es ist dabei jedoch besonders zu betonen, daß es nur selten möglich ist, auf ein vollständiges Motiv Bezug zu nehmen¹².

Abb. 6.14, 1 Mehrere horizontale und vertikale Bänder sowie vertikale Zick-Zack-Linien (Tafel 9, Nr. 15; Tafel 34, Nr. 18; Tafel 32, Nr. 10, 13, 16, 18; Tafel 34, Nr. 16; Tafel 35, Nr. 6, 11, 9).

Abb. 6.14, 2 Vollständiges Verzierungsmotiv, das auf Halstöpfen angebracht ist; es wird aus mehreren horizontalen und vertikalen Bändern sowie horizontalen Zick-Zack-Linien, die auf die vertikalen Bänder auflaufen (2a) (Tafel 31, Nr. 6; Tafel 32, Nr. 8, 14; Tafel 33, Nr. 10; Tafel 34, Nr. 17; Tafel 35, Nr. 5, 14) oder kurz vor ihnen abbrechen (2b), gebildet; ein breites vertikales Band

¹¹ Di Nocera 1993a: 425.

¹² Die Klassifikation der bemalten Verzierung ist ausgeführt worden, indem man eine graduale Komplexität der Bemalung beobachtete. Das *Element*, die *Komposition* und das *Motiv* stellen sozusagen die drei hierarchischen Ebenen der Ikonographie dar. Das *Element* kann definiert werden als der nicht teilbare Teil der Zeichnung. Es stellt die Grundstruktur der Verzierung dar und seine Verbindung mit anderen *Elementen*, die Art der Anordnung und die Verteilung auf der Oberfläche umschreiben eine kompositorische Struktur, das heißt eine *Komposition*. Schließlich ist die dritte, höchste Ebene das *Motiv*. Bestehend aus der geordneten Verteilung von *Kompositionen* und *Elementen* gestaltet sich das *Motiv* als eine vollständige graphische Darstellung und erlaubt es die Verzierung unter einem stilistischen und kulturellen Gesichtspunkt zu unterscheiden und einzuordnen.

Aufgrund des äußerst bruchstückhaften Materials, das aus den Grabungszusammenhängen des Arslantepe stammt, orientiert sich die typologische Klassifikation hauptsächlich an einer Bestimmung der *Kompositionen*.

besteht aus dünnen (2c) oder dicken Rauten (2d)¹³ und vertikalen Bändern, eine Variante setzt sich aus Motiven gleichmäßiger (2g) (Tafel 32, Nr. 4) oder ungleichmäßiger Wellen (2f) (Tafel 33, Nr. 1, 4; Tafel 35, Nr. 15) zusammen; eine "hakenförmige" Fortsetzung verlängert die horizontale Zick-Zack-Linie (2e) (Tafel 33, Nr. 11, 13; Tafel 34, Nr. 10, 14). Diese getrennten Motive bilden eine Ornamentierung auf dem gesamten Gefäßkörper. Auf dem Arslantepe ergibt sich nicht eine vollständige Form dieser Verzierungsart, dennoch ist es aufgrund der Analogie mit der Keramik von Tepecik mit Sicherheit möglich, die einzelnen beschriebenen Motive einem einzigen dekorativen System zuzuschreiben.

Abb. 6.14, 3a Zwei parallele, sich überkreuzende Bänder (Tafel 32, Nr. 7; Tafel 33, Nr. 3; Tafel 35, Nr. 3).

Abb. 6.14, 3b1-b2 Eckiges Motiv, aus drei oder zwei diagonalen Bändern und einem vertikalen, gewellten Segment¹⁴. Unvollständige Zeichnungen.

Abb. 6.14, 3c Parallele, gekreuzte Bänder oberhalb derer sich horizontale Bänder befinden; der dazwischenliegende Raum wird von drei vertikalen, gewellten Segmenten ausgefüllt (Tafel 33, Nr. 8; Tafel 35, Nr. 10). Unvollständige Zeichnung.

Abb. 6.14, 4 - Durch horizontale, parallele Bänder begrenzter Streifen, der durch ausgefüllte und in einer Reihe angeordneter Dreiecke gebildet wird (Tafel 33, Nr. 2, 7; Tafel 35, Nr. 12).

Abb. 6.14, 5a-c Durch horizontale, parallele Bänder begrenzte Streifen, die durch ausgefüllte und in einer Reihe angeordneter Dreiecke gebildet werden, die von dünnen Linien umrahmt sind (Tafel 32, Nr. 15; Tafel 33, Nr. 9; Tafel 34, Nr. 1-2).

Abb. 6.14, 6 Aus einem *Chevron*-Motiv bestehender Streifen, oberhalb dessen ein horizontales Band liegt (Tafel 6, Nr. 23; Tafel 6, Nr. 15; Tafel 34, Nr. 11; Tafel 6, Nr. 18; Tafel 32, Nr. 2).

Abb. 6.14, 7a-b - Horizontales Band, oberhalb dessen eine Punktdoppelreihe liegt (7a) (Tafel 7, Nr. 20; Tafel 35, Nr. 16); horizontales Doppelband, zwischen dem ausgefüllte Kreise sind und das oben von einer Punktdoppelreihe begleitet wird, kurze, schräge, parallele Segmente sind am unteren Band außen angebracht (7b) (Tafel 7, Nr. 20; Tafel 35, Nr. 16; Tafel 32, Nr. 6; Tafel 34, Nr. 12).

Abb. 6.15, 7c-e Doppelte oder einfache Punktreihe mit einem "Netzmuster" (7c1-7c2) (Tafel 6, Nr. 11, 16, 19, 22; Tafel 34, Nr. 6, 8-9); doppeltes, horizontales Band, das durch eine Punktreihe ausgefüllt ist und an das sich unten ein "Netzmuster" anschließt (7c3) (Tafel 32, Nr. 3; Tafel 34, Nr. 5); doppeltes, horizontales Band, das durch schräge Linien ausgefüllt ist, und oberhalb dessen eine Punktdoppelreihe angeordnet ist (7d)¹⁵; horizontale, parallele Bänder, die oben von einer Punktreihe begleitet werden (7e1) (Tafel 33, Nr. 12; Tafel 34, Nr. 19); sich abwechselnde Reihe von Punkten und horizontalen Bändern (7e2)¹⁶.

¹³ Die Motive sind nicht abgebildet, aber stammen aus den Bereichen E8(14)K613.2 für 2b, E8(10-14)K587.2 für 2c, E8(10)2a-b für 2d.

¹⁴ Nicht abgebildete Motive aus E8(10)K588.1 für 3b1 und E8(10)K587.2, E8(9-10)4b für 3b2.

¹⁵ Nicht abgebildetes Motiv aus E8(6)4c.

¹⁶ Nicht abgebildetes Motiv aus D8(8)K675.1.

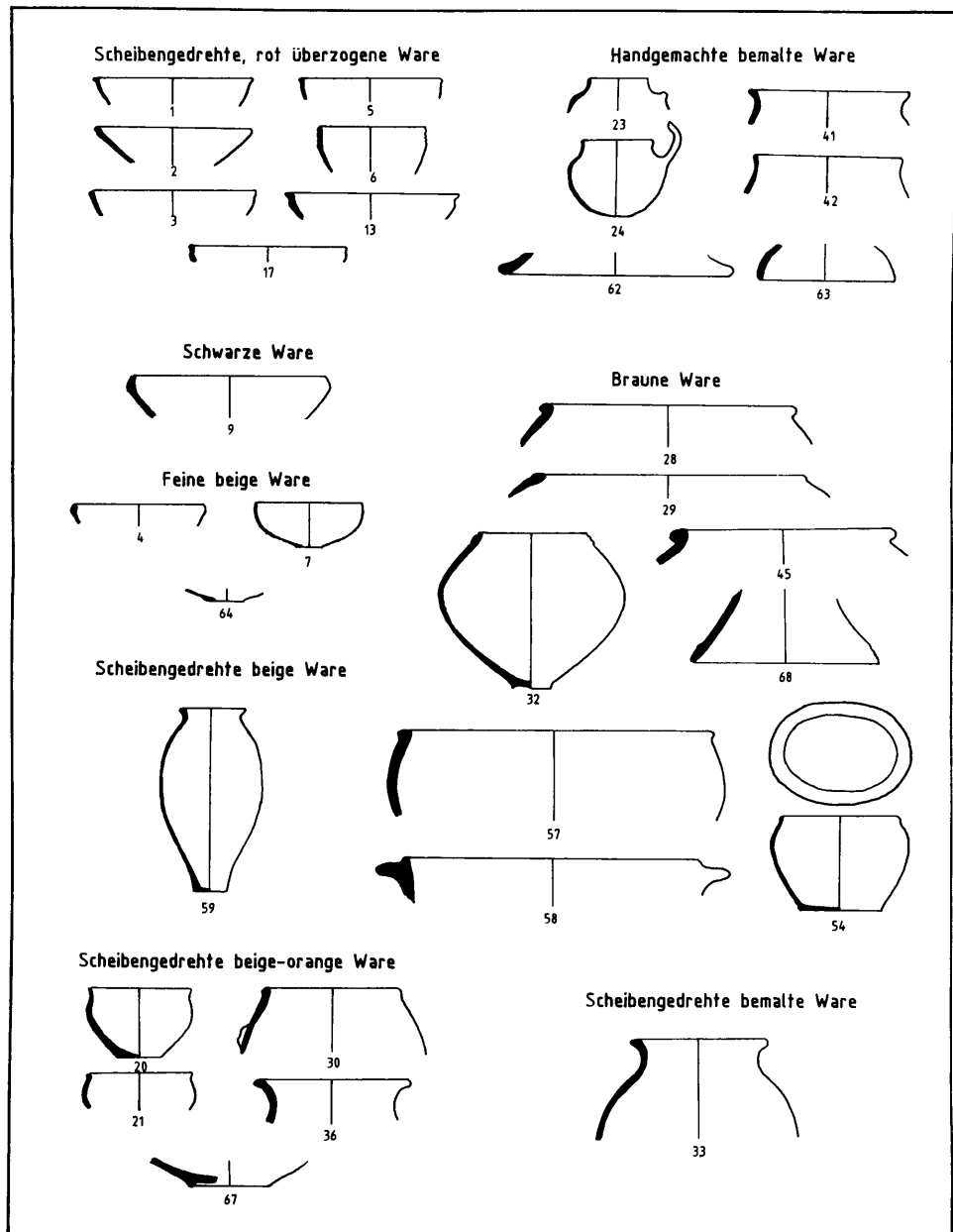


Abb. 6.13 - Formalen Typen, die ausschließlich besonderen keramischen Waren angehören.

Abb. 6.15, 8 - Horizontale, parallele Bänder, die oben von einer einzigen Punktreihe begleitet werden, verbunden mit einem Muster, das aus vertikalen Bändern besteht, zwischen denen einzelne Punktreihen liegen (Tafel 33, Nr. 12; Tafel 34, Nr. 19).

Abb. 6.15, 9 Zwei vertikale Bänder, zwischen denen eine Punktreihe angeordnet ist, verbunden mit einem "Wellenmuster"¹⁷.

Abb. 6.15, 10 Zwei horizontale, parallele, mit schrägen Linien ausgefüllte Bänder, von denen unten kurze, schräge Segmente abhängen (Tafel 33, Nr. 5).

Abb. 6.15, 11 Zwei Streifen, die aus drei schrägen, parallelen Bändern bestehen; es handelt sich um ein Motiv, das auf Deckeln angebracht ist (Tafel 28, Nr. 13-15; Tafel 35, Nr. 8).

Abb. 6.15, 12a-b Auf Deckeln aufgetragene, einfache, horizontale, parallele Bänder (12a) (Tafel 28, Nr. 9; Tafel 35, Nr. 7), oder mit kurzen, schrägen, parallelen Segmenten am Rand (12b) (Tafel 28, Nr. 10).

Abb. 6.15, 13 Horizontale, parallele Bänder mit einem vertikalen Band, an das sich eine Reihe von Rauten anlehnt¹⁸. Unvollständige Zeichnung.

Abb. 6.15, 14 Eckiges Muster, verbunden mit zwei, an der Spitze aneinanderstoßenden Dreiecken (Tafel 33, Nr. 6; Tafel 35, Nr. 4). Unvollständige Zeichnung.

Abb. 6.15, 15a-b Eckiges Muster, das mit zwei Sternchen verbunden ist (15a) (Tafel 32, Nr. 11; Tafel 35, Nr. 2); Zick-Zack-Linien und ein horizontales Band sowie ein Asteriskus-Muster (15b) (Tafel 32, Nr. 9; Tafel 35, Nr. 1). Unvollständige Zeichnung.

Abb. 6.15, 16 Horizontales Band, das verbunden ist mit einem Motiv, das aus zwei ausgefüllten, an der Spitze aneinanderstoßenden Dreiecken von unregelmäßiger Form besteht (Tafel 9, Nr. 8). Unvollständige Zeichnung.

Abb. 6.15, 17 Einfaches Band, das auf der Randlippe des Behälters appliziert ist (Tafel 7, Nr. 4, 9; Tafel 9, Nr. 4-5, 10, 14; Tafel 11, Nr. 1, 5, 7, 10, 12; Tafel 12, Nr. 12; Tafel 25, Nr. 5, 8; Tafel 19, Nr. 2; Tafel 27, Nr. 6).

Abb. 6.16, 18 - Einfaches Band, das auf der Randlippe des Behälters appliziert ist und von dem ein kurzes, schräges Segment abhängt (Tafel 12, Nr. 11).

Abb. 6.16, 19a-b Kurze, schräge, "tropfenförmige" Segmente, die auf der Randlippe appliziert sind (19a) (Tafel 9, Nr. 15; Tafel 34, Nr. 18; Tafel 12, Nr. 4, 8, 10, 13; Tafel 13, Nr. 3-4; 35); kurze und dünne, schräge Segmente, die auf der Randlippe appliziert sind (19b) (Tafel 12, Nr. 14).

Abb. 6.16, 20 - Parallele, horizontale und vertikale Bänder (Tafel 30, Nr. 3; Tafel 32, Nr. 12; Tafel 34, Nr. 13).

¹⁷ Nicht abgebildetes Motiv aus E8(10-14)K583.

¹⁸ Nicht abgebildetes Motiv aus E8(5-9)E8(56-9-10)4c, E8(10)K656.1.

6. Die Keramik der Mittelbronzezeit von Arslantepe

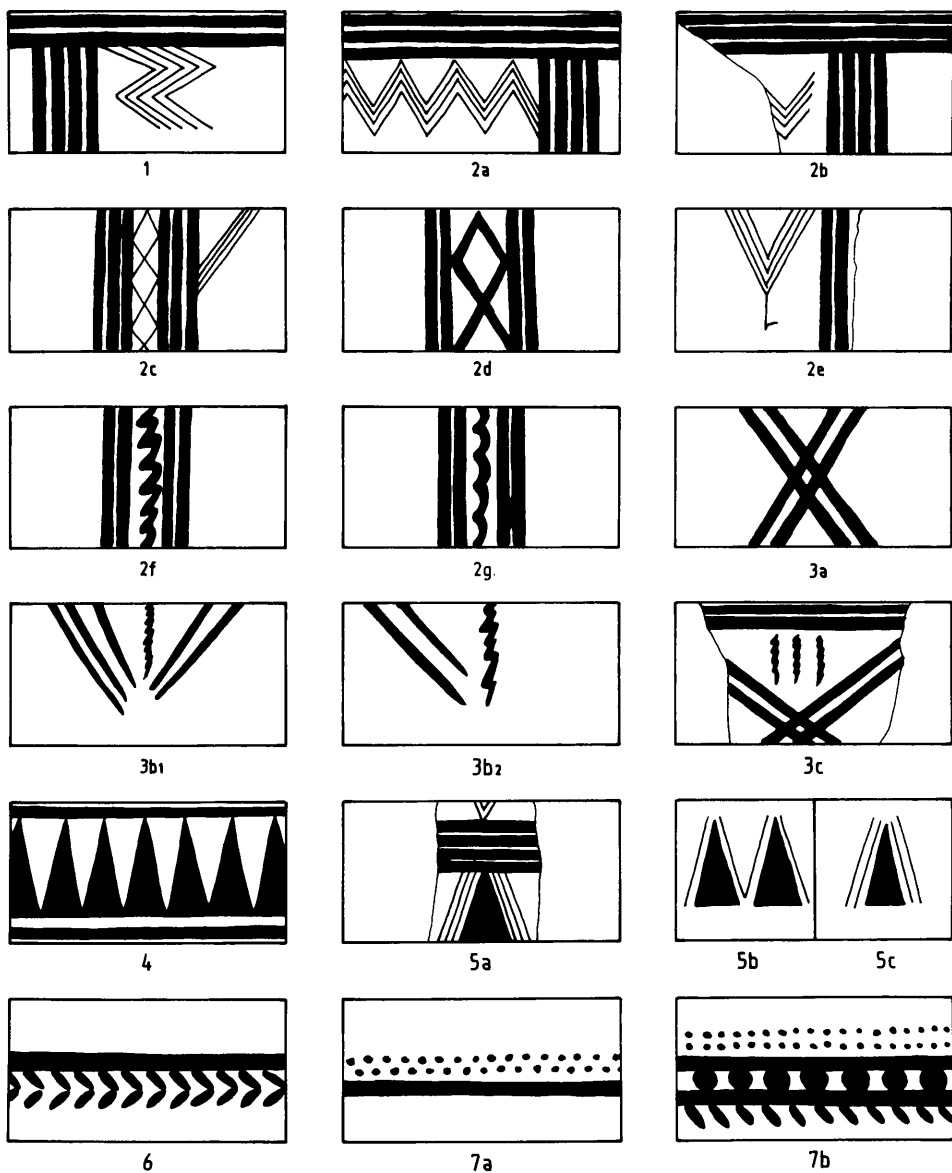


Abb. 6.14 - Darstellungsschema der gemalten Verzierungen.

6. Die Keramik der Mittelbronzezeit von Arslantepe

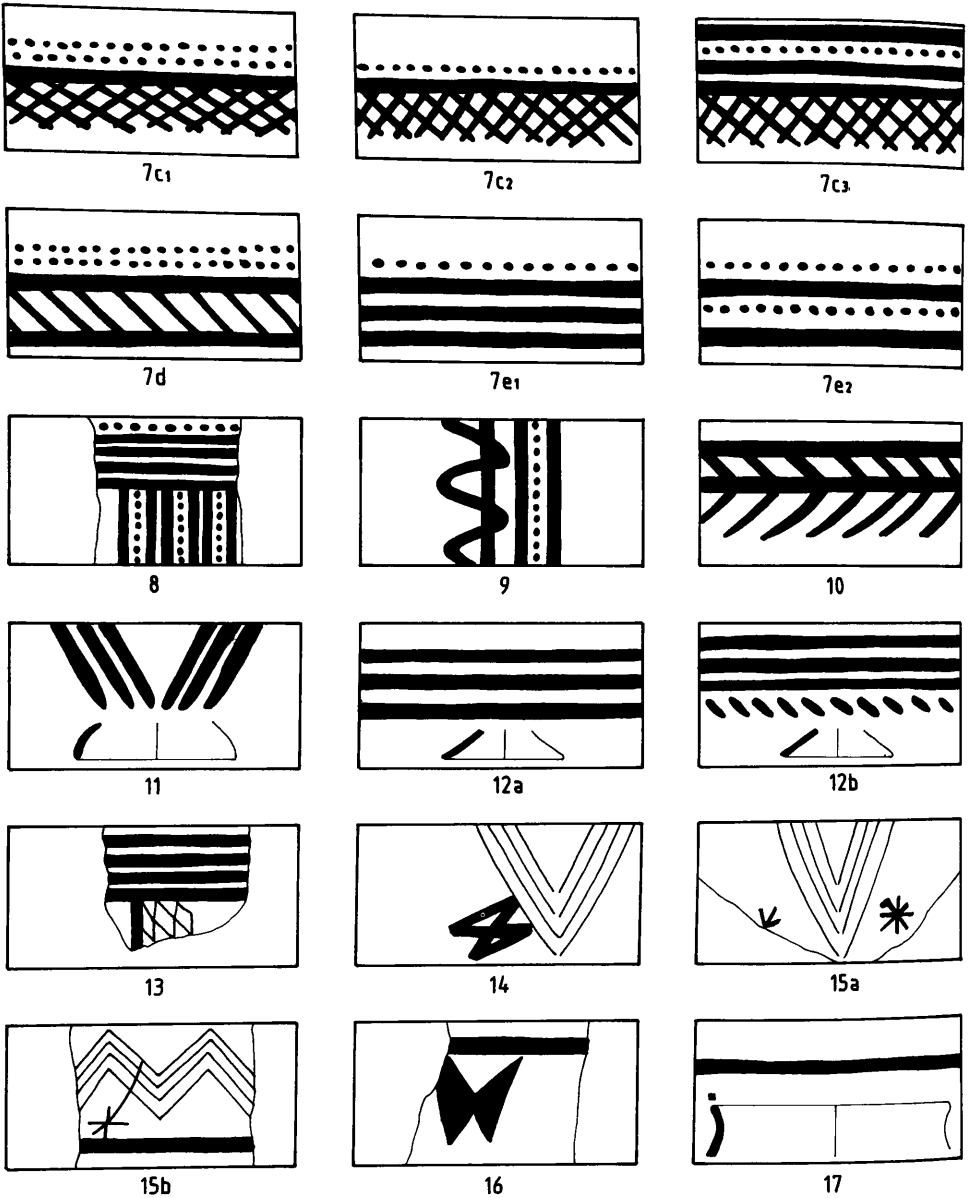


Abb. 6.15 - Darstellungsschema der gemalten Verzierungen.

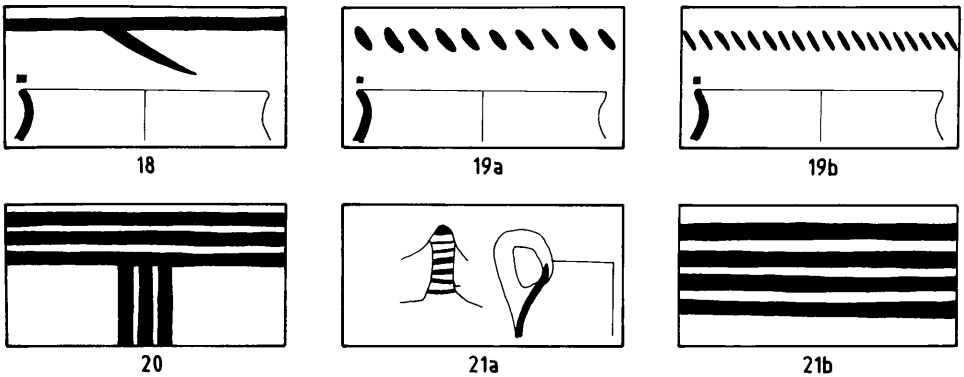


Abb. 6.16 - Darstellungsschema der gemalten Verzierungen.

Abb. 6.16, 21a-b - Horizontale, parallele Bänder auf dem Henkel (21a) (Tafel 6, Nr. 19, 23) und auf der Gefäßschulter (21b) (Tafel 9, Nr. 15; Tafel 34, Nr. 18; Tafel 10, Nr. 7; Tafel 12, Nr. 3) angebracht.

Die gemalte Verzierung ist im überwiegenden Teil der Fälle auf einer begrenzten Anzahl keramischer Formen appliziert, insbesondere auf den kugeligen Tassen, Typen 23 und 24, auf den kugeligen, kleinen Töpfen vom Typ 25, auf den Halstöpfen, Typen 33, 34, 41, 42 sowie auf den Deckeln, Typen 62 und 63. Auch andere Formen weisen teilweise eine Bemalung auf, aber es handelt sich um seltene Stücke oder regelrechte Einzelfälle. Viele der beobachteten Verzierungsmuster betreffen überwiegend stark fragmentarische Wandungen, bei denen es unmöglich ist das ursprüngliche Motiv zurückzuverfolgen. Alle Dekors sind streng geometrisch. Es gibt keine Beispiele für figurative Muster.

Was die Chronologie dieser Verzierungen innerhalb der mittelbronzezeitlichen Sequenz betrifft, so muß man sich vergegenwärtigen, daß viele Scherben als Altfunde in der gesamten Abfolge bis hinauf zu den Schichten der Spätbronzezeit I ans Licht gebracht wurden. Aufgrund von Planierungs- und Aufschüttungserscheinungen formte das in tieferen Erdschichten enthaltene Material der Mittelbronzezeit die archäologischen Ablagerungen jüngerer Zusammenhänge. Dennoch ist es trotz dieser komplexen stratigraphischen Tatsachen möglich, die *handgemachte, bemalte Ware* als an die erste Phase der Mittelbronzezeit vom Arslantepe angrenzend anzusehen. Unter dem Material *in situ* aus A58 und in der Gesamtheit der Keramik aus A456, beides Kontexte, die der Phase VA₂ zugeordnet wurden, erscheint keine bemalte Ware, es sei denn, es handelt sich um seltene Altfunde. Man kann nicht völlig ausschließen, daß diese bemalte Keramik auch während der zweiten Phase der Mittelbronzezeit hergestellt worden ist, aber momentan scheint es so, daß ihr Vorhandensein in diesen Kontexten wahrscheinlich bedingt ist durch Ereignisse bei der Bildung der stratigraphischen Ablagerung und damit also nicht mit ihrer tatsächlichen Herstellung und ihrem Umlauf während dieser Periode zusammenhängt. Die *scheibengedrehte, bemalte Ware* ist dagegen in Zusammenhängen beider Phasen der Mittelbronzezeit des Arslantepe vorhanden und scheint in enger Kontinuität zu jener bemalten Keramik der Spätbronzezeit I zu stehen. Auf der Grundlage dieser Beobachtungen kann die *scheibengedrehte, bemalte Ware* keinesfalls einen Indikator für die innere Chronologie der Mittelbronzezeit darstellen, während sie andererseits die nachfolgende bemalte, hethitische Ware ankündigt, deren Ursprung schon vom Beginn des zweiten Jahrtausends stammt.

7. DIE KERAMIK IM GEBIET VON MALATYA UND ELAZIĞ: DIE FORSCHUNGSGESCHICHTE

Bis heute gibt es nur wenige Beiträge über die Keramikproduktion der Mittelbronzezeit im Gebiet von Malatya und Elazığ und im allgemeinen in Ost-Anatolien.

Die erste Studie von Bedeutung wurde 1958¹ von C. Burney in *Anatolian Studies* veröffentlicht. Er versuchte, die Daten der in diesem Gebiet gefundenen Materialien zu ordnen. Ein weiterer Beitrag, eine Veröffentlichung von H.G. Brown², kam fast 10 Jahre später heraus. In beiden Fällen stammt das untersuchte Material aus der Mittelbronzezeit.

Ende der 60er und im Laufe der 70er Jahre wurden intensive Forschungen betrieben, und zwar insbesondere in den Gebieten, in denen durch den Bau von Dämmen in Karakaya, Gölköy, Karababa und Bedir auf der türkischen Seite des Euphrats große Stauseen entstehen sollten. Die Forschungsergebnisse veröffentlichte M. Özdoğan 1977 unter der Schirmherrschaft des *Middle East Technical University Keban Project*. Hier wurde zusammenfassend ein Großteil der im Laufe der *surveys* gefundenen und erkannten Materialien dargestellt.

Unter dem Titel *Middle and Late Bronze Age* ordnet und beschreibt Özdoğan zehn verschiedene Keramiktypen³. Die erste Gruppe wird als *metallic ware* bezeichnet; es handelt sich um eine reiche Auswahl verschiedener grauer, polierter, metallischer Keramiken, die laut Özdoğan insbesondere in der Mittelbronzezeit verwendet wurden und zwar hauptsächlich im Keban-Gebiet. Die zweite Gruppe, *plain simple unburnished ware*, besteht aus einem sandhaltigen Ton, die Oberfläche ist nicht poliert, die Farbe gelb oder ein glänzendes Beige. Man fand die Ware in erster Linie im Karababa-Gebiet und definierte sie als eine Abwandlung der *plain simple ware* aus der Frühbronzezeit. Die aus einer umfangreichen Serie bestehende sog. *Hittite ware* ähnelt der hethitischen Keramik aus Zentralanatolien, konnte jedoch nur im Karakaya-Gebiet gefunden werden. Eine geglättete oder mit Überzug versehene, glänzende, polierte Oberfläche und wenig Engagement in der Herstellung aus grobkörnigem, sandigem Ton bezeichnet die *plain simple burnished ware*, die man in der Karakaya-Region und in Keban fand. Die *red painted ware* besteht aus einem orangefarbenen, besonders sandhaltigen Ton aus dem Karababa-Gebiet; sie hat Ähnlichkeiten mit der bemalten "Karababa"-Keramik aus der Frühbronzezeit. Mit Einritzungen oder Eintiefungen dekoriert ist die glänzende rosafarbene oder graue, meist polierte *incised ware*. Als *various painted wares in Karababa region* werden all die Waren bezeichnet, deren Fragmente nicht der *red painted ware* zugeordnet werden können, jedoch aus der Mittel- bis Spätbronzezeit stammen. Es dürfte sich hier um eine vielgestaltige Gruppe handeln, deren weitere materialorientierte Unterteilung sich als schwierig erweist. Der *coarse ware* dagegen gehören Fragmente an, die keiner anderen Gruppe zugeordnet werden können, aber doch aus der Mittel- und Spätbronzezeit stammen. Alle mit rotem Band dekorierten Keramikarbeiten, die man in den 60er und 70er Jahren in den Ausgrabungen von Arslantepe und in Keban fand, werden als *painted wares in the Karakaya region* bezeichnet.

¹ Burney 1958.

² Brown 1967.

³ Özdoğan 1977: 11-12.

Späteren Datums ist eine Zusammenfassung R. Whallons über die während Begehungen gefundenen Materialien im Keban-Gebiet. Die der ersten Hälfte des zweiten Jahrtausends zugeschriebenen Keramiken werden in sechs Gruppen⁴ unterteilt. Die *Middle Bronze Age gritty ware* ist handgemacht, nach Whallon entspricht sie der *brown gritty burnished ware* von E. Griffin aus Korucutepe⁵; sie stammt in erster Linie aus der Mittelbronzezeit, Teile konnten jedoch auch der Frühbronzezeit III in Norşun Tepe und der Spätbronzezeit I in Korucutepe zugeschrieben werden. Ein zweiter Keramiktyp nennt sich *old hittite gray ware*. Der Ton ist grau, fein und fest, die Oberfläche meist mit Überzug versehen und auf der Töpferscheibe gearbeitet, was für die Mittelbronzezeit in Keban (2000-1600 v. Chr.) charakteristisch ist. Der Typ hat Ähnlichkeiten mit der *gray "minyán" ware* aus Amuq K-L⁶. Ein Variante hiervon, jedoch mit besser ausgearbeiteter glänzender Oberfläche ist die *old hittite light faced gray ware*. Auch die *old hittite black faced gray ware* ist eine Variante der *old hittite gray ware*; sie dürfte der *black smoothed ware* entsprechen, die man in den Schichten der Mittelbronzezeit in Korucutepe⁷ fand. Die beiden letzten Waren werden als *Middle Bronze Age gray ware* und *hittite red ware* bezeichnet. Erstere ist eine feine, geglättete, auf der Töpferscheibe gedrehte Keramikgattung, die für die Mittelbronzezeit bezeichnend ist (vgl. die *old gray ware*) und dürfte der *coarse gray variant* von Griffin⁸ entsprechen, während die zweite, die *hittite red ware*, eine mit Überzug versehene, rote, auf der Töpferscheibe gearbeitete Keramikgattung ist, die zahlreiche Ähnlichkeiten mit der in Arslantepe in den oberen Schichten der Mittelbronzezeit ans Licht gebrachten Keramik und den Produkten aus Zentralanatolien aufweist. Griffin vermutet, daß es sich hier um aus dem Kebangebiet importierte rote Ware handelt⁹, da sie in dieser Gegend besonders selten auftritt. Whallon berichtet, daß man nur 9 Fragmente dieser Produktion in den Oberflächenfunden dieser Gruppe zuweisen konnte¹⁰. Die Ausgrabungen in Arslantepe und Norşun Tepe bezeugen jedoch, daß diese Ware hier keine Seltenheit war¹¹.

In den 50er Jahren führte C. Burney seine Oberflächenforschungen in Ost-Anatolien durch, deren Ergebnisse ein wichtiger Fortschritt für die Kenntnisse der Keramik in jenen Regionen waren. Leider wurde das Material über die Funde aus dem zweiten Jahrtausend nicht veröffentlicht. Erst einige Jahre später stellte H.F. Russell diese Keramiken vor. Unter den bis dahin unbekanntem, nun von ihm veröffentlichten Materialien werden die nachfolgenden Waren aus dem zweiten Jahrtausend unterschieden¹². Nicht alle Materialien stammen aus Malatya-Elazığ, aber es erscheint uns hier angebracht, eine Zusammenfassung aller, und daher auch der aus anderen Regionen stammenden Ergebnisse vorzustellen.

Die erste von Russell bestimmte Gruppe wurde in der Adiyaman-Region gefunden. Es handelt sich um Keramik vom Ende des dritten und Anfang des zweiten Jahrtausends. Sie ist scheibengedreht, fein, manchmal etwas gröber mit mineralischem Magerungsmittel, die Oberfläche beige oder rosa, cremefarben oder grau, selten mit Überzug. Russell selbst gibt zu, "*these sherds have been grouped together, not because they all have particularly similar fabrics but because they have shapes and rim forms which probably belong to the end of the third and the beginning of the second millennium B.C.*"¹³.

⁴ Whallon 1979: 33-37.

⁵ Griffin 1974: 55.

⁶ Whallon 1979: 35; Griffin 1974: 83.

⁷ Griffin 1974: 55-66.

⁸ Griffin 1974: 55.

⁹ Griffin 1974: 67.

¹⁰ Whallon 1979: 37.

¹¹ Di Nocera 1993b: 300

¹² Russell 1980: 32-35.

¹³ Russell 1980: 33, *group W*.

Die zweite Gruppe ist die *gray ware*. Es handelt sich um graue, feine, scheibengedrehte Keramik, oft mit sichtbarem Magerungsmittel. Die Funde dürften sich auf das Gebiet von Elaziğ beschränken; sie sind mit der *metallic ware* von Özdoğan im Karakaya-Gebiet und mit den Waren aus der Akropolis von Norşun Tepe *Horizont X*, aus den Phasen G-F von Korucutepe und aus Tepecik vergleichbar¹⁴.

Eine weitere aus dem Gebiet Malatya-Elaziğ stammende Gruppe des zweiten Jahrtausends wird als *plain ware* bezeichnet (*group Y*). Sie besteht aus scheibengedrehter, beiger, rosa- oder orangefarbener Ware mit polierter Oberfläche. Diese Keramik wurde vermutlich ununterbrochen und ohne wesentliche Abänderungen vom dritten bis zum zweiten Jahrtausend v. Chr. hergestellt. Sie wurde in Korucutepe Phase G-F und in Norşun Tepe *Horizont III* aufgefunden. Eine weitere, für das Gebiet von Malatya-Elaziğ typische Gattung des zweiten Jahrtausends ist eine scheibengedrehte, creme- oder rosafarbene Keramik mit einem horizontal am Rand oder einem außen angebrachten roten, braunen oder schwarzen Band, die mit den Keramiken aus dem Tell Fecheriye, aus dem Karakaya-Gebiet (vgl. *painted wares in Karakaya region* von Özdoğan), aus Arslantepe, jüngste Phase¹⁵, aus Norşun Tepe IV und V¹⁶ und aus Tepecik verglichen werden können. Anhand einiger Radiokarbonaten von Arslantepe kann man diese Ware zwischen 1820 und 1260¹⁷ v. Chr. datieren. Bezüglich dieser Gruppe dürfte Russell sich auf die bemalte, mit X-Muster verzierte Keramikgruppe aus der Späten Bronzezeit I beziehen. Russell definiert außerdem eine *fine orange ware*, die eindeutige Spuren der Drehscheibenarbeit aufweist. Der Ton ist fein mit geringer Magerung. Im Bruch ist sie orangefarben mit leicht polierter Oberfläche. Diese Ware wurde im Karakaya-Gebiet (vgl. *hittite ware* von Özdoğan), in Korucutepe¹⁸ und in Norşun Tepe¹⁹ gefunden.

Russell verbindet diese Keramik mit den hethitischen Waren von Ende des zweiten Jahrtausends²⁰. Diese Erzeugnisse tauchen in Arslantepe jedoch bereits in der Mittelbronzezeit auf. Eine besonders vielgestaltige Keramikgruppe aus dem Adiyaman-Gebiet wird heute meist der zweiten Hälfte des zweiten Jahrtausends v. Chr. zugeschrieben. Sie ist auf der Töpferscheibe gedreht, mit feiner mineralischer Magerung, die Oberfläche ist von hellem Beige oder rosa. Die Dekoration besteht aus schwarzen, braunen oder roten, horizontalen Streifen, die ohne Sorgfalt aufgemalt wurden; es erweist sich als schwierig, diese Erzeugnisse von der Keramik vom Ende des dritten und Anfang des zweiten Jahrtausends zu unterscheiden²¹.

Die vom *Oriental Institute of the University of Chicago* in Kurban Hüyük im Südosten der Türkei nördlich von Urfa durchgeführten Forschungen waren Anlass auch für Geländeforschungen auf dem Gebiet des zukünftigen Stausees vor dem Damm in Karababa/Atatürk. In den Jahren 1980-84 wurden intensive Geländebegehungen insbesondere im Euphrattal nördlich von Urfa durchgeführt. Die Ergebnisse erschienen vor kurzem in einer von T.J. Wilkinson²² herausgegebenen Veröffentlichung. Gleichzeitig erschien auch ein vollständiger Bericht über die Ausgrabungen in Kurban Hüyük²³. Hier werden die Entwicklungen der Siedlungen vom Neolithikum bis zum Mittelalter beschrieben, und auch die jüngsten Wandlungen in dem Gebiet. Das Material über den Anfang des zweiten Jahrtausends ist jedoch von äußerst geringem Umfang.

¹⁴ Russell 1980, 33, *group X*

¹⁵ Palmieri 1969b: 64, Abb. 35; 1973: 68.

¹⁶ Hauptmann 1970: 122.

¹⁷ Russell 1980: 34.

¹⁸ Vgl. *orange burnished ware*, Griffin 1974: 60

¹⁹ In Norşun handelt es sich um *hellziegelrötliche Ware, mit Sand gemagert. Die Oberfläche ist meist rauh belassen oder leicht geglättet* (Hauptmann 1969-70: 34)

²⁰ Russell 1980: 35, *group AA*.

²¹ Russell 1980: 35, *group BB*. Die Keramikgruppe, auf die Russell sich bezieht, wird als *group W* bezeichnet.

²² Wilkinson 1990.

²³ AlgaZe (Hrsg.) 1990.

Die bedeutendsten Beiträge für eine bessere Kenntnis der Mittelbronzezeit von Malatya und Elazığ stammen wohl in erster Linie aus den Funden der Ausgrabungen in Korucutepe, Tepecik und Norşun Tepe.

Es ist hier sicherlich von Nutzen, die aus diesen systematischen Forschungen resultierenden Angaben über die Keramikproduktion wiederzugeben, um über Grundlagen für einen Vergleich mit den Materialien aus Arslantepe verfügen zu können.

In seiner Zusammenfassung über die Oberflächenfunde unterstreicht Russell, daß gerade die in Korucutepe gefundenen und dem zweiten Jahrtausend zugeschriebenen Waren das engere Umfeld dieser Siedlung nicht überschreiten²⁴. Die in der abschließenden Zusammenfassung über die Ausgrabungen dargestellten Daten sollten jedoch genauer betrachtet werden. Russell verfügte über ausgewählte Oberflächenfunde aus verschiedenen Gebieten, unser Interesse dagegen gilt einem bestimmten, fest umrissenen Gebiet und die Materialien aus Arslantepe weisen im Gegensatz hierzu Analogien zu denen in Korucu gefundenen auf. E. Griffin legt eindeutig gegliederte²⁵ Unterscheidungskriterien für die verschiedenen Waren fest; deshalb beschränken wir uns auf eine Aufzählung der verschiedenen Keramiken und fassen einige der Grundkriterien zusammen.

In Korucutepe wurden folgende Gruppen unterschieden: 1) *phase F black or red on white painted ware*, 2) *gray wheel-marked ware*, 3) *brown gritty burnished ware*, 4) *black smoothed ware*, 5) *buff cooking ware*, 6) *cream self-slipped ware*, 7) *orange ware*. Letztere wird wiederum in folgende Untergruppen unterteilt: a) *orange burnished ware*, b) *orange slipped ware*, c) *orange self-slipped or smoothed ware*, d) *red on buff painted ware*, e) *orange to buff wheel-marked ware*, f) *chaff-faced ware*, g) *coarse ware*, h) *white-slipped orange ware*.

Die Phasen G und H, die nach Griffin für die Mittelbronzezeit in Korucu bezeichnend sind, unterteilen sich in zwei unterschiedliche Entwicklungsphasen. Aus der älteren Phase G ist umfangreiche *gray wheel-marked ware* mit eindeutigen ortsspezifischen Merkmalen vorhanden, die Verwandtschaften mit Amuq K und L und dem weiter entfernten Azerbaijan aufweisen. Aus der Phase H dagegen kann man eindeutig den Einfluß aus Mittel-Anatolien herauslesen. Hier finden wir umfangreicheres Material der *orange and red burnished, self slipped or smoothed and slipped ware*, während die Keramiken der für die Phase G bezeichnenden Produktionen, wie etwa die *gray wheel-marked ware*, nur in geringerem Umfang auftreten. Es muß hier jedoch hervorgehoben werden, daß die meisten der ans Licht gebrachten Keramiken aus nicht stratifizierten oder aus nur sehr beschränkt stratifizierten Ablagerungen stammen.

Ein weiterer für uns bedeutender Ort ist Tepecik. Die Stratigraphie dieser Siedlung ist recht eindeutig nachzuweisen. Die Schichten 3a und b entsprechen dem Ende der Mittelbronzezeit, die Schichten 3c-7 dem Anfang der Mittelbronzezeit und die Schichten 8-10 umfassen die Übergangsperiode zwischen der Mittel- und Frühbronzezeit. Die wichtigsten Waren sind hethitischer Art und zwar scheibengedrehte *grey or brown ware*²⁶. In den Schichten 3c-6 fand man *brown and grey MBA pottery*, in der letzten Schicht (Schicht 6), waren Gefäße auf hohem Fuß, die man auch in den Ausgrabungen von 1970²⁷ gefunden hatte und auch ein- und zweifarbig bemalte Keramiken²⁸ besonders zahlreich vorhanden. Wie wir später sehen werden, stehen diese in engerem

²⁴ Russell 1980: 5-6.

²⁵ Griffin 1980.

²⁶ Esin 1982: 97-98, 116.

²⁷ Esin 1971: 122; 1972: 153, 155, Abb. 103, 3-4.

²⁸ Esin 1972: Tafel 103, 1-2.

Zusammenhang mit den Ausgrabungen in Arslantepe, Korucutepe²⁹, Norşun Tepe³⁰, Şemisyetepe³¹, İmamoğlu³² und Pırot³³.

Die Keramikproduktion eines weiteren Ortes in Keban, Norşun Tepe, stellte H. Hauptmann in den *Istanbuler Mitteilungen* von 1970³⁴ dar. Aus Horizont IV, der parallelisiert wird mit der *Karum*-Periode von Kültepe, stammen Keramiken mit ockerfarbener, brauner und schwarzer Oberfläche und die "metallische Ware". Sicher dieser Phase zuzuweisen ist auch die "hochpolierte scheibengedrehte Keramik mit tiefrotem Überzug", die man sehr wohl mit der scheibengedrehten, rot überzogenen Ware aus Arslantepe vergleichen kann. Diese Keramik wurde in Norşun dem ältesten Horizont, also dem Horizont V zugeschrieben, der dem Beginn der Mittelbronzezeit³⁵ entspricht und unter anderem auch in der Schicht 7 von Tepecik gefunden wurde³⁶. Unter der bemalten Keramik kann man linienförmige schwarze oder schwarz-rote Muster feststellen, die direkt auf den Ton oder auf einen weißen Überzug aufgetragen wurden. Die Keramik "ähneln in der Technik und der tektonischen Anlage der Dekoration der frühbronzezeitlichen Gefäßmalerei"³⁷.

Die Horizont-V-Keramik "zeigt einen deutlichen Bruch gegenüber der frühbronzezeitlichen Töpferei der darunterliegenden Schicht. Sie kennzeichnet vor allem bei dem feineren Geschirr metallischer Charakter, Dünnwandigkeit und klingend harter Brand". Grundmodell ist die *metallische graue Ware*, auf der man eindeutige Spuren von Drehscheiben- und Politur feststellen konnte. Daneben gibt es eine grau-schwarze klingende Variante. Des öfteren wurden auch Keramiken mit ockerfarbener, brauner oder olivfarbener, selten dagegen roter Oberfläche gefunden. Bezeichnendes Merkmal ist eine eingeritzte Dekoration, die auf schwarzen polierten Gefäßen, wie in der Keramik aus der Frühbronzezeit, angewandt wurde³⁸.

Dieser kurzen Zusammenfassung kann man entnehmen, daß die Materialien aus der ersten Hälfte des 2. Jahrtausends in Mittel- und Ost-Anatolien noch heute recht wenig erforscht sind. Schwierig ist es, die einzelnen, nach den Darstellungen der Autoren unterschiedenen Waren miteinander in Zusammenhang zu bringen. Die Art der archäologischen Arbeit ist in diesem Fall von besonderer Wichtigkeit. Viele der hier dargestellten Produktionen wurden während Oberflächenforschungen gefunden; es fehlt also eine diachrone Aufstellung all der Ereignisse, die zur Bildung einer bestimmten Ablagerungsschicht beigetragen haben. Einander ähnliche Waren, die in verschiedenen Entwicklungsphasen einer Siedlung auftreten, können somit falsch interpretiert werden und zu ungenauen Darstellungen der Keramikproduktion einer bestimmten Kulturphase führen. Andererseits sind die Ausgrabungen, die Material der Mittelbronzezeit ans Licht brachten, nicht besonders zahlreich, besonders selten sind in gutem Zustand erhaltene Gegenstände. Dazu kommt schließlich die Tatsache, daß es kaum Veröffentlichungen gibt, die einen zusammenfassenden Überblick über die archäologische Arbeit bieten. Aus dem Problem der Terminologie entsteht die effektive Schwierigkeit, unterschiedliche Definitionen einer gleichen Ware zu vergleichen, die verschiedene Autoren auf der Grundlage ähnlicher, aber eben nicht gleicher Kriterien entwickeln. In Abbildung 7.1 werden die Keramiken von Arslantepe entsprechend der von den einzelnen Forschern festgestellten Unterscheidungen einander gegenübergestellt.

²⁹ Griffin 1980: Tafel 3, N.

³⁰ Hauptmann 1969-70: Abb. 5, 9.

³¹ Darga 1987b: Abb. 187, 10.

³² Özdoğan 1977: Tafel 66, 9.

³³ Özdoğan 1977: Tafel 69, 16.

³⁴ Hauptmann 1969-70: 39-41.

³⁵ Hauptmann 1972: 108.

³⁶ Hauptmann 1969-70: 39, Anm. 82.

³⁷ Hauptmann 1969-70: 39.

³⁸ Hauptmann 1969: 112; 1969-70: 41, Abb. 5, 4-9; 1971: 83-84.

7. Die Keramik im Gebiet von Malatya und Elazığ: die Forschungsgeschichte

ARSLANTEPE	ESIN	ÖZDOGAN	RUSSELL	GRIFFIN	WHALLON	HAUPTMANN
Graue Ware	Grey ware	Metallic ware	Grey ware	Gray wheel-marked ware	Old hittite gray ware	Metallische dunkelgraue Ware
Braune Ware	Brown ware			Brown gritty burnished ware	M.B.A. gritty ware	
Schwarze Ware				Black smoothed ware	Old hittite black faced gray ware	
				Buff cooking ware		
Scheibengedrehte Beige Ware			Malatya and Elazığ Regions II millennium plain ware	Cream self slipped ware		
		Hittite ware	Fine orange ware	Orange burnished ware		
Spätbronzezeit I Bemalte Ware		Painted ware in the Karakaya Region	Malatya and Elazığ Regions II millennium painted ware	Red on buff painted ware		
Scheibengedrehte Orange Ware				Orange to buff wheel-marked ware		Hellziegelrötliche Ware mit Sand gemagert. Die Oberfläche ist meist rauh belassen oder leicht geglättet.
				Coarser gray variant ware	M.B.A. gray ware	
Scheibengedrehte rot überzogene Ware					Hittite red ware	Hochpolierte scheibengedrehte Keramik mit tiefrotem Überzug
Handgemachte Bemalte Ware	M.B.A. Monochrome and Bichrome Pottery					Bemalte Ware mit einem schwarzen oder schwarzroten linearen Muster auf ockerfarbenen Tongrund oder auf einen weissen Überzug

Abb. 7.1 - Gegenüberstellung der Warendefinitionen verschiedener Autoren.

8. VERGLEICHSFUNDE

8.1 VERGLEICHSELEMENTE IN DER GEGEND VON MALATYA-ELAZIĞ

Ein Großteil der in Arslantepe aufgefundenen Keramiktypen verteilt sich auf die Siedlungen von Malatya und Elazığ. Aus den Form- und Dekorationsmerkmalen geht hervor, daß es sich hier um eine im Prinzip in beiden Gebieten einheitliche Phase handelt, so daß man diese vom Standpunkt der Keramikproduktion als eine einzige Region betrachten kann (Abb. 8.1-4).

Einige Keramiktypen sind auf Arslantepe beschränkt, zum Beispiel die konischen oder halbkugelförmigen Schüsseln aus *scheibendreher, rot überzogener Ware*, die als Typen 1, 2, 3 und 5 bezeichnet werden (Tafel 1, Nr. 6, 8-15, 17-21); Schüsseln mit einziehendem Rand, Typen 9 und 12, aus *schwarzer Ware* (Tafel 2, Nr. 13, 15; Tafel 3, Nr. 5, 7-9), die Knickwandschüsseln, Typen 14, 16, 17 und 18 (Tafel 3, Nr. 13, 17, 19; Tafel 4, Nr. 7, 9, 11, 13, 16-19; Tafel 5 Nr. 1-7) und die Schüsseln mit S-Profil, Typ 22 (Tafel 6, Nr. 17, 20-21). Ebenfalls charakteristisch sind die kleinen Schultertöpfe, Typ 26 (Tafel 7, Nr. 12, 15). Zu den Formen mittlerer Größe gehören die kugelförmigen Töpfe, Typ 29 (Tafel 8, Nr. 7-9), die eiförmigen Töpfe, Typ 31 (Tafel 9, Nr. 2; Tafel 10, Nr. 6), die Halstöpfe, Typ 40 (Tafel 12, Nr. 14; Tafel 13, Nr. 2), die Schultertöpfe, Typen 43-46, 48-51, 54 (Tafel 11, Nr. 11; Tafel 12, Nr. 16; Tafel 13, Nr. 6-7; Tafel 14, Nr. 1-8; Tafel 15, Nr. 2-3, 5-8; Tafel 16, Nr. 1-7; Tafel 17, Nr. 9; Tafel 18, Nr. 2; Tafel 23, Nr. 2; Tafel 24, Nr. 6; Tafel 25, Nr. 1, 3-4, 11; Tafel 26, Nr. 1; Tafel 27, Nr. 1); die Knickwand- und Schulterbecken, Typen 56-47 (Tafel 21, Nr. 7-8; Tafel 25, Nr. 13; Tafel 26, Nr. 6). Zu den größeren Formen gehören situlenförmige Gefäße, Typ 58 (Tafel 21, Nr. 2-3) und einige *Pithoi*, Typen 59, 60, 61 (Tafel 22, Nr. 2-5; Tafel 23, Nr. 1-3; Tafel 26, Nr. 2, 5; Tafel 27, Nr. 2-3; Tafel 28, Nr. 1). Für den Fundort besonders bezeichnend sind zuletzt die Deckel in konischer Form, Typ 62 (Tafel 28, Nr. 9-10).

Typologische Ähnlichkeiten auf Regionalebene kann man bezüglich der Mittelbronzezeit in İmamoğlu und der Phase G in Korucutepe feststellen, zu der Schüsseln mit stark einziehendem Rand Typ 10 hinzugezählt werden (Tafel 2, Nr. 17; Tafel 3, Nr. 1-2, 4, 11)¹. Vergleichbares zur Schüssel mit einziehendem, nicht abgesetztem Rand und konvexer Wandung, Typ 11, (Tafel 3, Nr. 3-6), finden wir in *Horizont VI* in Norşun Tepe, der der Frühbronzezeit III² zugeschrieben wird, und im Gebiet Zentralanatoliens wie etwa in Boğazköy, *Unterstadt Schicht 4*³. Diese Schüsseln mit einziehendem Rand sind Erbe der Frühbronzezeit. Auch in Arslantepe sind diese Formen in der VID-Periode weit verbreitet. In Norşun Tepe *Horizont IV* und in Boğazköy Büyükkale VIIb treffen wir auf andere Schüsselformen, wie etwa die mit scharfkantig geknickter Schulter und stark konkaver oberer Wandung, Typ 13 (Tafel 3, Nr. 16, 18)⁴.

Zu den für die Region Malatya-Elazığ typischen Formen gehören die kugelförmigen, mit einem Henkel versehenen und bemalten Täßchen, Typen 23-24 (Tafel 6, Nr. 11, 15-16, 18-19, 22-23; Tafel

¹ Uzunoğlu 1987: 83, Abb. 7; Griffin 1980: Tafel 4, 51a und 15F.

² Hauptmann 1969-70: Abb. 10, 6.

³ Fischer 1963: Tafel 88, 763 und 762.

⁴ Fischer 1963: Tafel 98, 890; Hauptmann 1969 - 70: Abb. 5, 5.

32, Nr. 6), die sich durch eine Verzierung aus parallelen, horizontal ausgelegten Bändern, einer ausgefüllten Punktreihe, *chevron* oder "Netzmustern" auf der Schulter auszeichnet. Wichtige Parallelen sind auch zwischen den Keramiken aus der Mittelbronzezeit von Norşun Tepe⁵ und Korucutepe Phase H⁶ festzustellen. Auch bei den Gefäßen mittlerer Größe scheinen einige typische Profile, zu denen sich in einigen Fällen plastische Dekorationen gesellen, nur in diesem Gebiet aufzutreten. Es handelt sich in diesem Falle um kugelförmige Töpfe mit einziehendem, abgesetztem Rand, Typen 27 und 28, (Tafel 8, Nr. 1-6, Tafel 10, Nr. 5). Die plastische Dekoration besteht aus einer glatten, auf das Schulterteil aufgetragenen Leistenverzierung, die zu einer Ecke ausgeformt ist; in einigen Fällen bereichert eine Knubbe diese Dekoration (Tafel 8, Nr. 2; Tafel 31, Nr. 5). Noch engere Zusammenhänge finden wir im Vergleich der Mittelbronzezeit in İmamoğlu⁷ und İmikuşağı⁸. Bei einem Fragment besteht die Dekoration aus einer Einrillung und nicht aus einer aufgetragenen plastischen Leiste (Tafel 8, Nr. 1). Hier kann man also Ähnlichkeiten mit Boğazköy NW-Hang 9 feststellen⁹. Andere Topfgattungen weisen Analogien zu Korucutepe Phase G und H auf, wie etwa Typ 30 (Tafel 7, Nr. 14; Tafel 10, 2-3), der aus einem eiförmigen Körper und einem kurzen, ausladenden, abgesetzten und verdickten Rand besteht¹⁰, wofür es jedoch auch Bezüge in Sakçe Güzi etwa 40 km westlich von Gaziantep gibt¹¹.

Ebenfalls auf einen engen Raum beschränkt erscheint der eiförmige Topf mit außen durch parallele horizontale Rippungen abgesetztem Rand und in einigen Fällen mit glatten plastischen Leisten versehen, Typ 32 (Tafel 23, Nr. 4; Tafel 26, Nr. 3). Diese Form tritt in mittlerer und großer Dimension in Tepecik, Norşun Tepe, İmamoğlu, İmikuşağı und Korucutepe¹² auf. In Arslantepe wurde dieser Topf *in situ* in dem Raum A58 gefunden.

Unter den Halstöpfen findet der Typ 33 (Tafel 9, Nr. 4-5; Tafel 11, Nr. 1) Gegenstücke in den Schichten der Mittelbronzezeit I in İmamoğlu und İmikuşağı, und ähnliche Stücke wurden im *intermediate level I* in Chagar Bazar gefunden¹³. Weitere Halstöpfe, Typ 34, fand man in İmikuşağı, Norşun Tepe *Horizont IV* und Tepecik¹⁴. An den Typen 39, 41 und 42 (Tafel 12, Nr. 4-5, 8, 10-11, 12; Tafel 13, Nr. 1, 3-4;) finden wir Verzierungen, die auch in der Phasen G und H in Korucutepe und in *Horizont IV* von Norşun Tepe¹⁵ ans Licht gebracht wurden. Hier handelt es sich um verschiedene Halstopffragmente, die mit kurzen, schrägen "tropfenförmigen" Segmenten und einfachen Bändern, die auf der Randlippe appliziert sind, bemalt wurden. Gleichzusetzen mit der Phase G in Korucutepe scheint der Schulertopf, Typ 52 (Tafel 17, Nr. 2-3, 6-7) mit kurzem, geradem, abgesetztem und verdicktem Rand¹⁶.

Unter den offenen Formen mittlerer Größe gibt es in den Phasen G und H von Korucu¹⁷ Parallelen zum Becken mit einziehendem Rand, Typ 55 (Tafel 21, Nr. 5-6).

⁵ Di Nocera 1993b: Abb. 6, 1 - 3, 9, 1 - 4.

⁶ Griffin 1980: 79, Tafel 3X.

⁷ Uzunoğlu 1987: 217, Abb. 1 2.

⁸ Sevin 1987a: 332, Abb. 25, a - b.

⁹ Orthmann 1963a: Tafel 9, 37.

¹⁰ Griffin 1980: Tafel 5, 309.

¹¹ Du Plat Taylor *et alii* 1950: 108, Abb. 21, 12.

¹² Esin 1971: Tafel 90, 4; Hauptmann 1971: 62; Uzunoğlu 1987: 217, Abb. 1; Sevin 1987a: 332, Abb. 25 a - c; Griffin 1980: Tafel 6, 638.

¹³ Di Nocera 1993a: 428, Abb. 7, 2; Uzunoğlu 1988: 82, 6; Sevin 1987a: 330, 22 d; Mallowan 1937: Abb. 22, 13.

¹⁴ Di Nocera 1993a: 426, Abb. 6, 2; Sevin 1984a: 102, 13; Hauptmann 1969-70: Abb. 5, 9; Esin 1972: Tafel 103, 1-2; 1973: 62, Abb. 32.

¹⁵ Griffin 1980: Tafel 3, W; Hauptmann 1969-70: Abb. 5, 9.

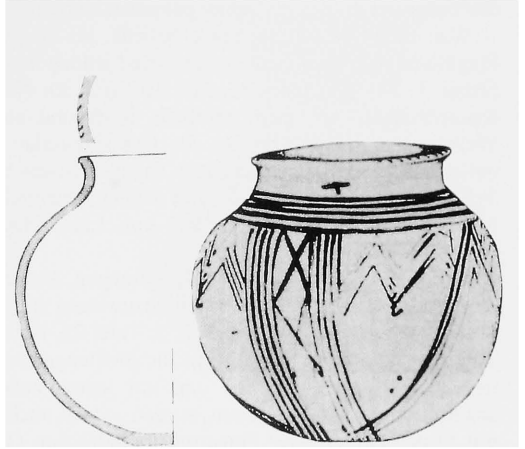
¹⁶ Griffin 1980: Tafel 6, 348.

¹⁷ Griffin 1980: Tafel 4, 57 und 15, L.

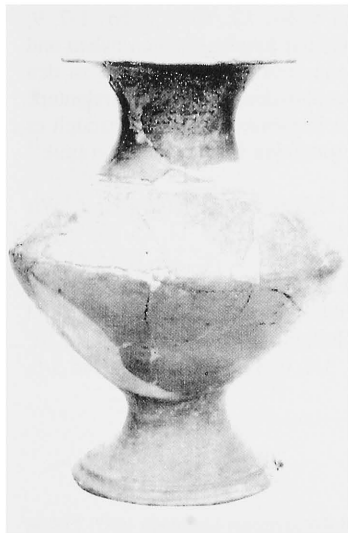
8. Vergleichsfunde



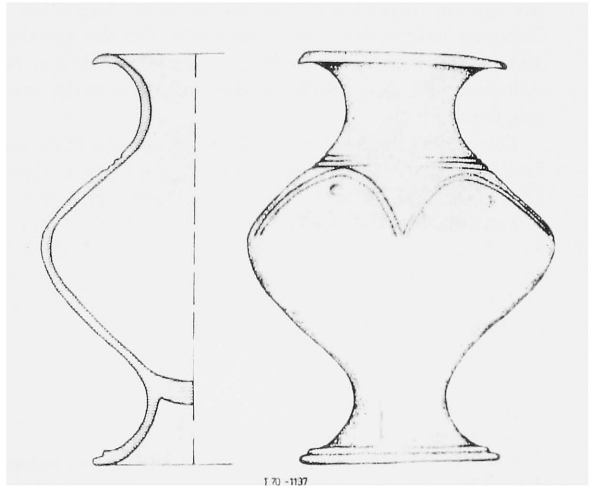
1 ■ 17.-1135



2 170-1125
0 1 2 3 4 5 6 7 8 cm



3 ■ 111



4 170-1137
0 1 2 3 4 5 6 7 8 cm

Abb. 8.1 - Tepceik. Mittelbronzezeitliche Keramik (Esin 1972: Tafel 103).

Die halbkugeligen Deckel, Typ 63 (Tafel 28, Nr. 13-14), die mit drei schrägen, parallelen Bändern bemalt sind, sind typisch für das Gebiet Malatya-Elazığ, denn sie weisen Eigenarten auf, die bisher nur in diesem Gebiet gefunden wurden¹⁸.

Was die verzierte Keramik betrifft, so konnten in Arslantepe mit Ritztechnik bearbeitete Fragmente gefunden werden; diese sind jedoch besonders selten und von einzigartiger Formgebung (Tafel 3, Nr. 12; Tafel 16, Nr. 4; Tafel 30, Nr. 1, 5, 7). In einem Fall handelt es sich um Kammtechnik, d.h. zwei parallele, horizontal angebrachte Liniengruppen grundiert durch ein Wellenmuster (Tafel 22, Nr. 1). Das Exemplar ist in der Gegend von Malatya-Elazığ völlig unbekannt, engere Bezüge können dagegen zu den syrischen Schichten der Mittelbronzezeit IIB von Tell Hadidi, Mardikh IIIA und Hama hergestellt werden, oder auch zu den Schichten der Mittelbronzezeit in der Siedlung von Lidar Hüyük¹⁹. In Arslantepe könnte es sich also um importiertes Material handeln.

Zahlreicher die plastischen Verzierungen, bestehend aus einfachen Leisten mit Dreiecksschnitt, die fast alle spezifischen Formen zuzuweisen sind, wie etwa dem Schultertopf, Typen 27 und 32 (Tafel 8, Nr. 2, 4, 5; Tafel 10, Nr. 5; Tafel 23, Nr. 4; Tafel 26, Nr. 3; siehe auch Tafel 30, Nr. 8-9; Tafel 31, Nr. 4-5), die sich auf die Siedlungen von Tepecik, Norşun Tepe, İmamoğlu, İmikuşuğu und Korucutepe²⁰ verteilen und nur selten außerhalb der Gegend von Malatya und Elazığ anzutreffen sind. Beschrieben wurden jedoch auch einige Wandfragmente mit plastischen Leisten mit Einkerbungen oder Fingertupfeneindrücken (Tafel 31, Nr. 1-3), aber solche Fragmente sind selten, ihre Charakteristiken unspezifisch.

Die für den Beginn des zweiten Jahrtausends in Arslantepe typische verzierte Keramik ist bemalt, sie verteilt sich auf zwei Waren, die *scheibengedrehte* und die *handgemachte bemalte Ware*. Erstere wurde an allen Ausgrabungsorten der Gegend gefunden; für sie bezeichnend sind einfache, waagrecht parallele, rote Bänder. Diese Dekoration wurde in erster Linie an geschlossenen Keramiktypen festgestellt (Typen 19, 25, 26, 33, 35, 37-39; Tafel 5, Nr. 12; Tafel 7, Nr. 1-7, 9; Tafel 9, Nr. 4-5, 10, 14; Tafel 11, Nr. 1, 9, 12; Tafel 12, Nr. 12). Wie wir bereits gesehen haben und wie wir im folgenden Paragraph nochmals feststellen werden, kann man hier Vergleiche zu den Gebieten südlich des Taurus aufstellen. Bei der *scheibengedrehten bemalten Ware* aus Arslantepe und anderen Fundorten der Region, die der als *Habur* bezeichneten Keramik ähnlich ist, handelt es sich um eine Lokalproduktion, die ein Vorläufer der erst später auftretenden hethitischen Keramik²¹ sein könnte.

Die *handgemachte bemalte Ware* ist spezifisch für das gesamte Gebiet von Malatya-Elazığ. Wir finden diese an den kleinen kugelförmigen Tassen, Typen 23 und 24 (Tafel 6, Nr. 11, 15-16, 18-19, 22-23; Tafel 34, Nr. 6-9, 11), an den Halstöpfen, Typen 34, 37, 39-42 (Tafel 9, Nr. 15; Tafel 10, Nr. 7; Tafel 11, Nr. 7; Tafel 12, Nr. 2-5, 8, 10-15; Nr.; Tafel 13, Nr. 1, 3-4; Tafel 33, Nr. 10; Tafel 34, Nr. 17-18); und an den halbkugel- und konischen Deckeln, Typen 62-63 (Tafel 28, Nr. 13-15; Tafel 35, Nr. 8). Diese Ware erscheint homogen und geographisch beschränkt. (Vgl. auch: Tafel 30, Nr. 3; Tafel 31, Nr. 6; Tafel 32, Nr. 3-5, 7-14, 16-18; Tafel 33, Nr. 1, 3-4, 6, 11-13; Tafel 34, Nr. 3-5, 10, 13-14, 16, 19; Tafel 35, Nr. 1-5, 9, 11, 14-15)

¹⁸ Di Nocera 1993a: 426, Abb. 6, J; Mittelbronzezeit I von Imamoğlu und von Şemsiyetepe: Uzunoğlu 1987: 218, 4; Darga 1987a: 201, 14 a - b.

¹⁹ Dornemann 1992: 93, Abb. 5,4; Matthiae 1989: 212, Abb. 47, 3; Fugmann 1958: Abb. 132, S.N 14; bezüglich Lidar gilt unser Dank Frau Dr. Gundela Kaschau. Vgl. auch Di Nocera 1993a: 423 und 429, Tafel 8, 2.

²⁰ Vgl. Anmerkung 12 dieses Kapitels.

²¹ Di Nocera 1993a: 425 - 427; 1993b: 296; als *Habur ware* bezeichnete Keramik wurde in Imamoğlu und İmikuşuğu gefunden; Uzunoğlu 1985: 196, Abb. 10; 1986: 226, Abb. 14; Sevin 1984a: 102, Abb. 11; Sevin, Köroğlu 1985: 178, Abb. 12.

8. Vergleichsfunde

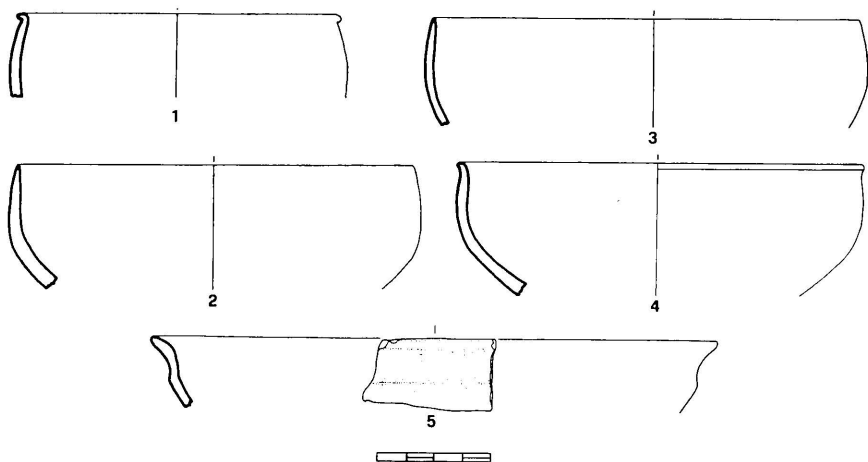
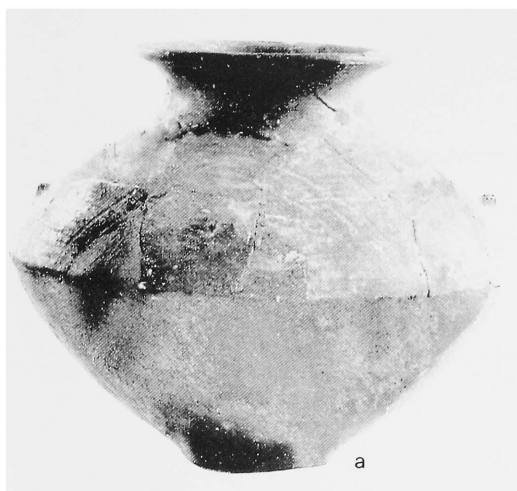


Abb. 8.2 - Norşun Tepe. Mittelbronzezeitliche Keramik (a: H cm 38,7; b: H cm 19,6; Hauptmann 1974: Tafel 75, 3-4; Nr. 1-5: Di Nocera 1993b: 302, Abb. 7).

8. Vergleichsfunde

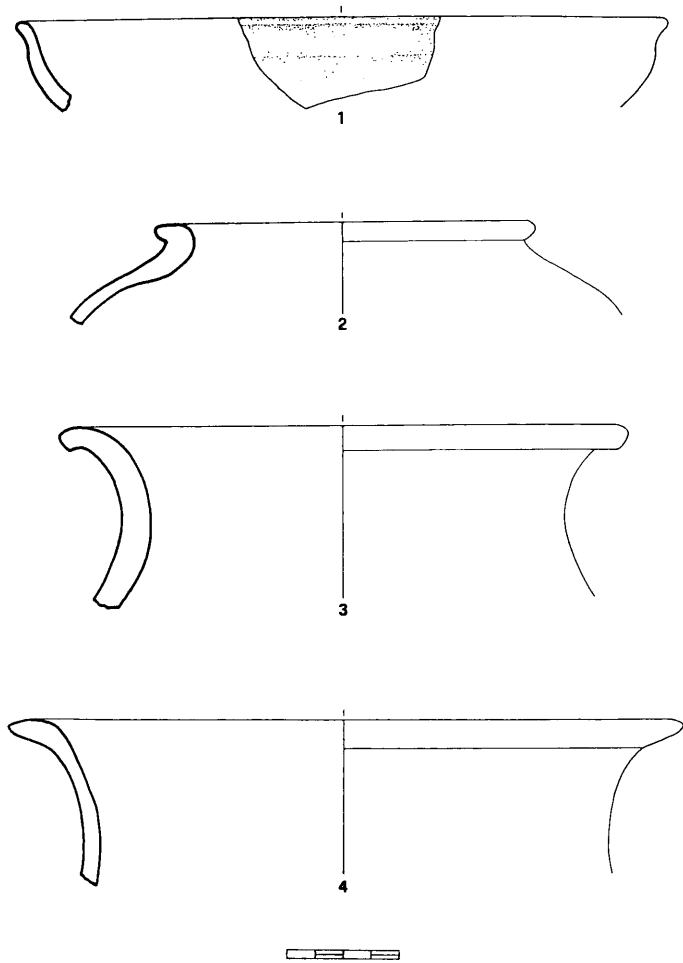


Abb. 8.3 - Norşun Tepe. Mittelbronzezeitliche Keramik (Di Nocera 1993b: 303, Abb. 8).

8. Vergleichsfunde

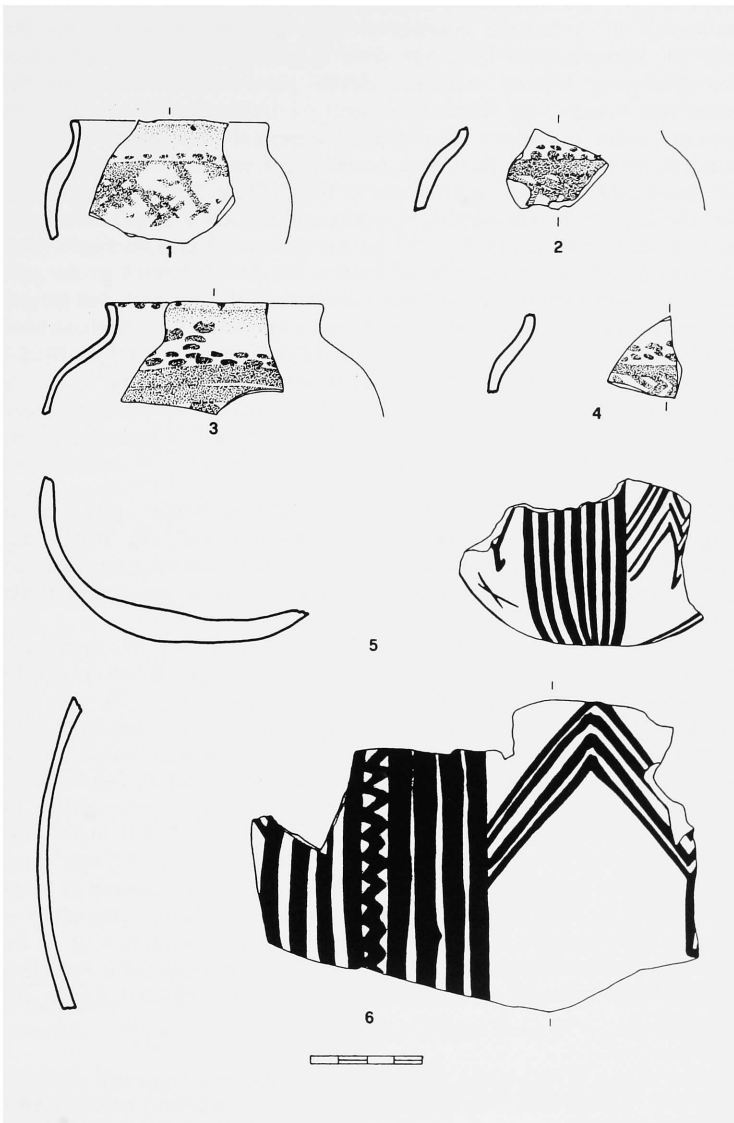


Abb. 8.4 - Norşun Tepe. Mittelbronzezeitliche Keramik (Di Nocera 1993b: 304, Abb. 9).

Möglich ist, daß einige der Dekorationsmuster am Kappadokien-Typ Anregung fanden, Technik und Ausführung dieser Ware sind jedoch ortsgebunden. Viele Aspekte der Dekorationsmuster aus der Mittelbronzezeit in Arslantepe erinnern an die aus den davorliegenden Schichten der Frühbronzezeit III, stratigraphisch kann hier auch keine Unterbrechung nachgewiesen werden. Umfangreiche Analogien können zwischen diesen Keramiktypen und den Schichten der Mittelbronzezeit von Norşun Tepe, Tepecik, Korucutepe, İmikuşağı, Şemsiyetepe, İmamoğlu und Piro²² festgestellt werden. Ein Muster aus mehreren, wiederholt auftretenden Elementen, und zwar eine Punktreihe, ausgefüllte Kreise, Zick-Zack, horizontale Bänder und "tropfenförmige" Segmente auf der Randlippe, ist auf einem kleinen Halstopf zu finden (Tafel 7, Nr. 20; Tafel 35, Nr. 16). Die Verzierung wird durch ein Töpferzeichen abgeschlossen, das aus einem T-förmigen Symbol mit darüberliegendem kurzen Segment besteht. Es ist das einzige erkennbare Töpferzeichen aus dem Keramikmaterial der Mittelbronzezeit von Arslantepe; bis heute konnten in der ganzen Gegend keine anderen, mit diesem vergleichbare Zeichen auf der Keramik aus jener Zeit gefunden werden.

Den Kappadokien-Verzierungen recht ähnlich sind schließlich Muster mit Dreiecksreihe oder Umrandungen (Tafel 33, Nr. 2, 7, 9; Tafel 35, Nr. 12; Tafel 32, Nr. 15; Tafel 34, Nr. 1-2); auch hier werden Analogien auf lokaler Ebene angetroffen, insbesondere in Korucutepe²³.

8.2 ÜBERREGIONALE VERGLEICHSELEMENTE

In den Regionen außerhalb der Gegend von Malatya-Elazığ gibt es nur wenige Vergleichsmöglichkeiten. Wir haben bereits hervorgehoben, daß die Ware von Arslantepe spezifisch regionale Charakteristiken aufweist²⁴, einige formale Analogien sind jedoch zu den Regionen südlich des Taurus und im syrischen Gebiet herstellbar, in geringerem Umfang mit dem Gebiet Zentralanatoliens.

In Kurban Hüyük finden wir Schüsseln aus der Periode III, die als *Early Bronze-Middle Bronze Age Transition* bezeichnet wird; die Schüsseln sind halbkugelförmig, sie haben ein den Typen 4 und 6 aus Arslantepe ähnliches Profil (Tafel 1, Nr. 2-3, 5, Tafel 2, Nr. 1-3, 5). Die erste Form hat einen außen abgesetzten und leicht einziehenden Rand, die zweite einen nicht abgesetzten Rand und flache, waagrecht angelegte Rippen auf der Außenwand²⁵. Die halbkugelförmige Schüssel mit nicht abgesetztem, geradem und dünner werdendem Rand, sowie einem Ringfuß, Typ 7 (Tafel 2, Nr. 6, 10, 12, 14, 16), meist aus *feiner beiger Ware* stellt vermutlich eine aus Nordsyrien und Nordirak importierte Form dar. Dieser Typ ist weit verbreitet in Tell Taya Schicht VII, in Tepe Gawra Schicht VI, in Tell Brak in der sog. Sargon-Periode und in den *surveys* von Jebel Sinjar²⁶. Im Gebiet von Elazığ konnte diese Form insbesondere aus den Schichten der Mittelbronzezeit in Norşun Tepe ans Licht gebracht werden. Es kann jedoch unterstrichen werden, daß dieser Schüsseltyp chronologisch einer Endphase der Frühbronzezeit III und der Mittelbronzezeit I zuschreiben ist. In Arslantepe tritt er mit Sicherheit im Zusammenhang mit einigen Gruben der vorhergehenden Periode VID und der Anfangsphase der Mittelbronzezeit auf²⁷. Aus der Herstellungsart dieser Keramik, der Form, der

²² Hauptmann 1969 70: Abb. 5, 9; Di Nocera 1993b: Abb. 9, 5-6; Esin 1972: Tafel 103, 1-2; 1973: 62, Abb. 32; Griffin 1980: Tafel 3, N, W; Sevin, Derin 1986: 204, Abb. 19; Sevin 1984a: 102, Abb. 13; Darga 1987b: Abb. 187, 10; Özdoğan 1977: Tafel 66, 9, 69, 16.

²³ Di Nocera 1993a: 426 - 427, Abb. 6, 4; 1993b: 299-300, Abb. 6, 4; Griffin 1980: Tafel 3, t (*cappadocian ware*)

²⁴ Di Nocera 1993b: 296-301.

²⁵ Algaze (Hrsg.) 1990: Tafel 99, O, Typ *bowl 8c*; Tafel 97, G, diese als *corrugated ware* bezeichnete Form ist Typ 6 aus Arslantepe ähnlich, jedoch nicht gleich.

²⁶ Reade 1968: Tafel 85, 17-18; Speiser 1935: Tafel 67, 84 und 86; Mallowan 1947: Tafel 66, 5; Lloyd 1938: Abb. 6, 8-VIII.

²⁷ Di Nocera 1993b: 295, Abb. 4, 3-4, 302, Abb. 7, 2-3; Conti, Persiani 1993: 377, Abb. 12, 13.

geographischen Verteilung und den recht geringen Mengen, die bisher im Gebiet von Malatya-Elazığ ans Licht gebracht wurden, ist jedoch zu schließen, daß es sich hier um einen in dieser Gegend fremden Typ handelt, der effektiv hierher importiert wurde.

Die Schüsseln mit kurzem einziehendem Rand, Typ 8 (Tafel 2, Nr. 7, 9), die sich von den typischen Formen der Frühbronzezeit unterscheiden, weisen Analogien zu den Funden in Boğazköy *Unterstadt Schicht 3* in Zentralanatolien²⁸ und zu den Schichten der Mittelbronzezeit in Lidar Hüyük in der Nähe von Urfa im Südwesten der Türkei²⁹ auf.

Der Schicht X im Tell Atchana/Alalah entsprechen die Knickwandschüsseln mit kurzem, ausladendem, innen abgesetztem Rand, Typ 15 (Tafel 4, Nr. 1-2, 4-6)³⁰. Diese erinnern in der Form auch an Gattungen, wie Typ 13 (Tafel 3, Nr. 16, 18), die für die Hochebenen charakteristisch sind.

Zu den Keramiken, die stärkere Analogien mit den Regionen Amuq und Westsyrien aufweisen, gehören Schüsseln mit S-Profil, insbesondere die Typen 19, 20 und 21. Der Schicht 5 in Hama H und der Schicht IX von Tell Atchana/Alalah entspricht Typ 19 (Tafel 5, Nr. 11-12, 15, 17-18; Tafel 6, Nr. 1)³¹, während Typ 20 (Tafel 5, Nr. 8, 13; Tafel 6, Nr. 4, 7, 9, 12) mit Atchana³² und Typ 21 (Tafel 5, Nr. 14; Tafel 6, Nr. 10, 14) aus Arslantepe mit den Formen von Hama H, Schicht 5³³ zu verbinden ist.

Von den systematischen Oberflächenbegehungen im Urfa-Gebiet stammen kleine kugelige Töpfe mit verdicktem und abgesetztem Rand, Typ 25 (Tafel 7, Nr. 1, 7) in Korrelation mit der Periode III der Sequenz von Kurban Hüyük. Insbesondere können Bezüge zu den Materialien aus Eskihayman Tepe³⁴ hergestellt werden.

Allgemeinerer Art sind die Vergleichsmöglichkeiten zwischen den Hals- und Schultertöpfen. Das Material aus den verschiedenen Phasen der Mittelbronzezeit in Arslantepe und die Einfachheit der Formen dieser Keramikklasse zwingen zu Vorsicht bei der Feststellung von typologischen Zusammenhängen. Einige Vergleiche können jedoch von größerer Bedeutung sein. Halstöpfe, Typ 35 (Tafel 9, Nr. 6, 9-11, 14; Tafel 11, Nr. 8) weisen Verbindungen zu Schicht I in Chagar Bazar und zu Boğazköy *Unterstadt, Schicht 4*³⁵ auf, die Typen 36, 37, 38 (Tafel 11, Nr. 2-4, 6; Tafel 12, Nr. 1, 3, 6-7; Tafel 13, Nr. 5) dagegen mit Schicht IX im Tell Atchana/Alalah³⁶. Ähnliche Formen sind auch in Palästina weit verbreitet, aber es handelt sich immer nur um allgemeine Vergleichsmöglichkeiten an nur zum Teil erhaltenen Gegenständen³⁷. Unter den Schultertöpfen aus der syrisch-palästinischen Gegend sollen hier die Typen 47 und 53 (Tafel 15, Nr. 1; Tafel 18, Nr. 1, 3-5, 7; Tafel 19, Nr. 1; Tafel 25, Nr. 6) genannt werden, die Verwandtschaften zu der Mittelbronzezeit II von Tell Hadidi und von Tell Balatah/Sechem³⁸ aufweisen.

²⁸ Fischer 1963: Tafel 89, 778.

²⁹ Persönliche Mitteilung von Frau Dr. Gundela Kaschau: Typ S 15a (mit Bezug auf die allgemeine Materialtypologie in Lidar.)

³⁰ Heinz 1992: Tafel 58, 34.

³¹ Di Nocera 1993a: Abb. 5, 3; Fugmann 1958: Abb. 109, 3C79; Heinz 1992: Tafel 32, 42.

³² Di Nocera 1993a: Abb. 5, 2; Heinz 1992: Tafel 80, 2.

³³ Fugmann 1958: Abb. 109, 3C126.

³⁴ Wilkinson 1990: 224, Abb. B9, 1.

³⁵ Mallowan 1937: all. Vgl. der Materialien aus Schicht 1; Fischer 1963: Tafel 59, 540.

³⁶ Heinz 1992: Tafel 44, 90, 89, 98.

³⁷ Typ 36, zum Beispiel, kann mit den Schichten der Mittelbronzezeit IIB, Stratum XIXs im Tell Balatah/Sechem verglichen werden, Cole 1984: 163, Tafel 32, c.

³⁸ Dornemann 1979: 133, Abb. 21, 29; Cole 1984: 119, Tafel 10, g.

8.3 VERGLEICH EINZELNER FRAGMENTE

Die Liste der Keramikmaterialien aus Arslantepe, die in keine typologische Klassifizierung eingeordnet wurden, wird in einem Schema mit einer Liste der Vergleichsmöglichkeiten mit anderen Fundorten und zugehörigen bibliographischen Anmerkungen dargestellt. Viele der Fragmente sind Einzelstücke oder zu klein, um sie irgendeiner Typologie zuweisen zu können.

- Tafel 1, 4.** Boğazköy, Nord-West Hang 9: Orthmann 1963a: Tafel 11, 74.
Tafel 1, 7. Boğazköy, Büyükkale, Schicht VIb: Fischer 1963: Tafel 83, 696.
Tafel 1, 22. Eskihayman Tepe (*survey*), Periode III von Kurban Hüyük: Wilkinson 1990: 224, Abb. B.9, 13.
Tafel 2, 11. Di Nocera 1993a: 421, Abb. 4, 4; Boğazköy, Unterstadt J/20, Schicht 4: Fischer 1963: Tafel 88, 765.
Tafel 2, 16. Tell Taya, Schicht VII: Reade 1968: Tafel 85, 17-18; Gawra VI: Speiser 1935: Tafel 67, 84, 86; Tell Brak, Sargon-Periode: Mallowan 1947: Tafel 66, 5; *surveys* des Sinjar-Gebietes: Lloyd 1938: Abb. 6, 8-VIII.
Tafel 3, 10. Tell Hadidi, Grabungsareal L, *Late Bronze I*: Dornemann 1979: 131, Abb. 20, 17; Lidar Hüyük, mittelbronzezeitliche Schichten, unveröffentlicht (unser Dank gilt für die persönliche Mitteilung Frau Dr. Gundela Kaschau).
Tafel 3, 12. Hama H, Schicht 4: Fugmann 1958: Abb. 117, 3B565.
Tafel 5, 6. Tarsus, *Middle Bronze Age*: Goldman 1956: Abb. 368, 769.
Tafel 5, 10. Hama H, Schicht 4: Fugmann 1958: Abb. 117, 3B294; Gawra IV: Speiser 1935: Tafel 72, 165; Kurban Hüyük, Periode III: Algaze 1990: Tafel 98, h; Demircihüyük IKL 10/11, Schichtabschnitt 1-2/3: Kull 1988: Tafel 4, 2.
Tafel 5, 16. Di Nocera 1993a: 424, Abb. 5, 1; Hama H, Schicht 4: Fugmann 1958: Abb. 124, 2D512.
Tafel 5, 19. Tell Brak, *Trial trench* (Ur-III-Periode): Mallowan 1947: 74, 49.
Tafeln 6, 6; 37, 2. Palmieri 1973: Abb. 26, 4; Korucutepe H: Griffin 1980: 14, Tafel 7, B.
Tafel 6, 13. Kurban Hüyük, Periode III: Algaze 1990: Tafel 97, v.
Tafel 7, 2. Tell Hadidi, Grabungsareal B, *Middle Bronze Age*: Dornemann 1979: Abb. 23, 19.
Tafeln 11, 13; 37, 6. Tarsus, *Middle Bronze Age*: Goldman 1956: Abb. 879.
Tafel 19, 4. Tell Hadidi, *Middle Bronze Age II*: Dornemann 1979: 135, Abb. 23, 28.
Tafel 20, 4. Tell Hadidi, *Middle Bronze Age II*: Dornemann 1979: 134, Abb. 22, 28.
Tafel 20, 8. Tell Hadidi, *Middle Bronze Age II*: Dornemann 1979: 101, Abb. 15, 27; 137, Abb. 23, 12.
Tafel 20, 9. Kurban Hüyük, Periode III: Algaze 1990: Tafel 103, a-b.
Tafel 21, 4. Korucutepe G-H: Griffin 1980: Tafeln 4, 57, 15, l.
Tafeln 23, 1; 36, 1. Palmieri 1973: Abb. 26, 5.
Tafeln 23, 3; 36, 4. Palmieri 1973: Abb. 26, 1.
Tafeln 24, 7; 36, 2. Palmieri 1973: Abb. 26, 11.
Tafeln 24, 9; 37, 3. Palmieri 1973: Abb. 26, 7; Tell Hadidi, Grabungsareal B, *Middle Bronze Age II*: Dornemann 1979: 133, Abb. 21, 28.
Tafel 25, 8. Chagar Bazar, Schicht 1: Mallowan 1937.
Tafel 25, 14. Kurban Hüyük, Periode III: Algaze 1990: Tafel 129, f.
Tafel 25, 17. Kurban Hüyük, Periode III: Algaze 1990: Tafel 117, h.
Tafel 25, 18. Boğazköy, Büyükkale, Schicht VI: Fischer 1963: Tafel 110, 970.
Tafel 25, 19. Kurban Hüyük, Periode III: Algaze 1990: Tafel 114, n.
Tafel 25, 21. Kurban Hüyük, Periode III: Algaze 1990: Tafel 155, v, z; Demircihüyük, unstratifiziertes Material: Kull 1988: Tafel 49, 11.
Tafel 25, 22. Halawa, Tell A, *Planquadrat Q Schicht 2c*, Beginn des 2. Jahrtausends: Orthmann 1981: Tafel 50, 2. Gegenstand als Webgewicht interpretiert: h cm 6,3.
Tafel 27, 4. Tell Hadidi, *Middle Bronze Age IIA-B*: Dornemann 1992: 95, Abb. 6, 3-5, 18, 14.
Tafel 27, 5. Tell Hadidi, *Middle Bronze Age IIA*: Dornemann 1992: 109, Abb. 4; Kurban Hüyük, Periode III: Algaze 1990: Tafel 112, i.
Tafel 27, 6. Kurban Hüyük, Periode III: Algaze 1990: Tafel 113, n.
Tafel 27, 8. Di Nocera 1993a: 429, Tafel 8, 4.
Tafel 28, 2. Tell Mardikh IIIA: Matthiae 1989: 214, Abb. 49, 3.
Tafel 28, 11. Norşun Tepe, unveröffentlichtes Material, Archäologisches Museum Elazığ: NO71, PO71, 17SM<6>.
Tafel 29, 15. Norşun Tepe, unveröffentlichtes Material, Archäologisches Museum Elazığ: NO71, PO71, 17SM<6>.
Tafel 30, 3. Di Nocera 1993: 428, Abb. 7, 1; Tepecik, quadr. 7,6-str. 4: Esin 1972: Tafel 103, Abb. 1-2;
Tafel 30, 8. Norşun Tepe, unveröffentlichtes Material, Archäologisches Museum Elazığ: NO73, PO23b 7n R.A.

- Tafel 31, 5.** Di Nocera 1993: 429, Tafel 8, 3; Norşun Tepe, *Horizont V*: Hauptmann 1972: Abb. 67, 6; Tepecik: Esin 1972: Abb. 103, 34.
- Tafel 31, 6.** Di Nocera 1993: 429, Abb. 8, 1; Tepecik: Esin 1972: Tafel 103, Abb. 1-2; Norşun Tepe, *Horizont IV*: Hauptmann 1969-70: Abb. 5, 9, und unveröffentlichtes Material, Archäologisches Museum Elazığ: NO71, Q21a; Korucutepe H: Griffin 1980: 67, Tafel 3, n.
- Tafeln 32, 11;** 35, 1. Tepecik, Grabungsareal 7, 6-K Schicht 4: Esin 1972: Tafel 103, Abb. 1-2.
- Tafeln 32, 19;** 34, 15. İmikuşağı, Mittelbronzezeit I: Sevin 1984a: 102, Abb. 13.
- Tafeln 33, 4;** 35, 15. İmikuşağı, Bronzo Medio I: Sevin, Derin 1986: 204, Abb. 19; Norşun Tepe, unveröffentlichtes Material, Archäologisches Museum Elazığ: NO72, Q22 e/d 9 K.V.
- Tafeln 33, 11;** 34, 10. Di Nocera 1993a: 426, 6, 3; Tepecik, str. 4: Esin 1972: Tafel 103, Abb. 1-2; Şemsiyetep: Darga 1987b: Abb. 187, 10; İmamoğlu, *survey*: Özdoğan 1977: 66, 9.
- Tafeln 33, 12;** 34, 19. İmikuşağı, Mittelbronzezeit I: Sevin, Derin 1986: 204, Abb. 19; Norşun Tepe, unveröffentlichtes Material, Archäologisches Museum Elazığ: NO72, Q22 e/d 9 K.V.

8.4 SCHLUSSFOLGERUNGEN

Die meisten Keramiktypen von Arslantepe sind in einem Gebiet verbreitet, das sich auf Malatya und Elazığ beschränkt. Sie erscheinen als eine Fortsetzung der Tradition der Frühbronzezeit III. Einige Typen aus der Mittelbronzezeit konnten auch gegen Ende der davorliegenden Periode nachgewiesen werden. Diese Tatsache konnte auch in anderen Siedlungen in dieser Region festgestellt werden, das beweist also eine Kontinuität in der Entwicklung der stratigraphischen Sequenz zwischen dem Ende des dritten und dem Anfang des zweiten Jahrtausends. Die *handgemachte bemalte Ware* ist ein besonders wichtiger Indikator dieser Kontinuität. Keine der für Malatya-Elazığ typischen bemalten Keramiken von Anfang des zweiten Jahrtausends konnte bisher außerhalb dieser Region gefunden werden. Daraus kann man schließen, daß diese Produktionen nur in einem beschränkten Umkreis verbreitet wurden. Interessant ist, daß das einzige Fragment, das man einem Import nach Zentralanatolien zuschreiben kann, das ist, welches kürzlich in der Ausgrabung von Kültepe gefunden wurde und der Frühbronzezeit III zugeschrieben wurde³⁹. Das Keramikmaterial aus der Periode III, das in Kurban Hüyük am türkischen Flusslauf des Euphrat und im Vorgebirgsgebiet des Taurus gefunden wurde, ist im Vergleich zu dem der Hochebene besonders differenziert. An diesem Fundort kommt zum Beispiel die bemalte Keramik seltener vor und das beschriebene Material ist sehr fragmentarisch. Ebenso weist das bisher noch nicht beschriebene Material der Mittelbronzezeit, das in Lidar Hüyük in der Nähe von Kurban gefunden wurde, geringfügige Ähnlichkeiten mit Arslantepe auf. Die Gebirgskette des Taurus ist also nicht nur eine geographische Barriere, sondern auch eine kulturelle Grenze. Eine alle Regionen betreffende Produktion ist die *scheibengedrehte bemalte Ware*, die an die sog. *Habur Ware* erinnert und von Syrien bis in den Westen des Iran⁴⁰ verbreitet ist. In Arslantepe wird sie vor Ort hergestellt, was bezeugt, daß im Gebiet von Malatya ein Kulturaustausch mit einem wesentlich weiter sich erstreckenden Territorium stattfand.

Allgemeiner und somit weniger intensiv sind die Beziehungen zu den südlich des Taurus gelegenen Gebieten. Typologische Analogien können auch mit den syrischen Siedlungen und mit Palästina festgestellt werden, aber die Verbindungen in der Mittelbronzezeit erscheinen weniger ausgeprägt. Auch mit Zentralanatolien sind die Kontakte nur sporadisch, sie beschränken sich auf Boğazköy und Kültepe.

³⁹ Özgüç 1993: 514 - 515, Abb. 4.

⁴⁰ In der Türkei wird *Habur Ware* in Kültepe Ib, Tilmen Hüyük und Gedikli (Hamlin 1974; Gerstenblith 1983: 59 - 64) beschrieben. Außerdem findet man sie in Lidar Hüyük im Südosten der Türkei (freundliche Mitteilung von Prof. H. Hauptmann und Dr. G. Kaschau). In der Region von Malatya und Elazığ wird die *Habur Ware* in erster Linie in İmikuşağı (Sevin 1984: 102, Abb. 11; Sevin, Köroğlu 1985: 178, Abb. 12) und in İmamoğlu (Uzunoğlu 1985: 196, Abb. 10; 1986: 226, Abb. 14) beschrieben. Bezüglich allgemeiner Aspekte vgl. Hrouda 1957; 1989; Stein 1984.

9. CHRONOLOGIE

9.1 DIE RELATIVE CHRONOLOGIE

Von besonderer Wichtigkeit in der Archäologie ist die Datierung. Ohne zuverlässige Chronologie wird die realistische Einordnung der Geschehnisse der Vergangenheit und eine Wertung der Gleichzeitigkeit oder der Aufeinanderfolge der historischen Ereignisse unmöglich. Erste Hinweise zur korrekten chronologischen Einreihung kommen aus der Stratigraphie. Wir haben bereits festgestellt, daß die stratigraphische Sequenz Daten über die Geschehnisse liefert, die anhand der physikalischen Gegebenheiten der einzelnen Stratifikationseinheiten wiederum Aufschluß über die Bildung eines archäologischen Fundorts gibt. So kann man von rein räumlichen Kriterien der Stratigraphie, also der Frage über die Lage einer Stratifikationseinheit "oben", "unten", "gleich"-, zu zeitlichen, chronologischen Überlegungen bezüglich der gleichen Stratifikationseinheiten übergehen, d.h. zur Frage des "früher", "später", "gleichzeitig". Das stratigraphische Diagramm der Mittelbronzezeit in Arslantepe faßt, wie wir bereits betont haben, diese Informationen zusammen und liefert uns eine erste Chronologie über den Fundort, in dem das Material, das in den einzelnen Schichten gefunden wurde, noch nicht in Betracht gezogen wird.

Nun muß ein Zusammenhang zwischen den hier vorgefundenen Keramiktypen und den archäologischen Kontexten in ihrer zeitlichen Abfolge hergestellt werden. In einer Tabelle werden die einzelnen Typen nach den Kriterien der definierten Stratifikationseinheiten und dem Fund vertretbarer Mengen verschiedener Keramiktypen zugewiesen (Abb. 9.1-2). Aus der Einordnung der Typen nach deren *mittleren Mindestlebensdauer* bezogen auf die chronologische Periode der Schicht kann man die einzelnen Keramiktypen entnehmen, die in einer bestimmten Phase verwendet wurden. Diese Gattungen werden schließlich als verhältnismäßig zuverlässige chronologische Indikatoren angewendet, auch wenn die Problematik der Schichtenbildung mit den Ablagerungen in Arslantepe, die bereits besprochen wurden, mit Ausnahme von A58, Materialien in Primärablagerungen ausschließen.

Aus der stratigraphischen Sequenz konnte man eine bedeutende, zeitlich bedingte Änderung der Typologie des archäologischen Kontextes und der räumlichen Verteilung im Ausgrabungsbereich feststellen, insbesondere in Zusammenhang mit den Stratifikationseinheiten E8(11)4, E8(9)4, E8(6)5, E8(5)5. Den beiden chronologischen Phasen VA₁ und VA₂ entsprechen zwei der keramischen Hauptgruppierungen. Eine dritte Keramikgruppe besteht aus Arten, die man der Übergangsphase zwischen den beiden chronologischen Perioden zuweisen kann. Wie bereits im Rahmen der stratigraphischen Sequenz erscheint es auch hier bei den Keramiktypen unmöglich, weitere zeitliche Unterteilungen herauszuschälen.

Der ersten, älteren Gruppe entsprechen Typen kleiner und mittlerer Dimensionen. Typ 2 besteht aus einer konischen Schüssel ausschließlich aus *scheibengedrehter, rot überzogener Ware*; aus dieser Keramik, aber auch aus *schwarzer Ware* dagegen, sind die beiden Knickwandschüsseln, Typ 14 und 15. Drei Typen aus *schwarzer und brauner Ware* betreffen Schüsseln mit einziehendem Rand. Die beiden Typen 9 und 12 weisen auf eine Fortdauer der Tradition hin, die im Zusammenhang mit der Frühbronzezeit in Arslantepe bereits mehrmals festgestellt wurde, während

die Schüssel mit einziehendem Rand, Typ 8, in dieser Gruppe eine Form darstellt, die sich insbesondere in der Mittelbronzezeit durchsetzt. S-förmige Schüsseln sind die Typen 22 und 20, ersterer in *scheibengedrehter, rot überzogener Ware* und *scheibengedrehter beiger Ware*, zweiterer in *scheibengedrehter oranger, beiger* und *bemalter Ware*. Die kugelförmigen, bemalten, handgemachten Täßchen, Typ 24, sind eine für diese erste Phase charakteristische Form. Zu dieser Gruppe gehören nicht zuletzt auch einige Fragmente eines kleinen Halstopfes, Typ 40, aus *scheibengedrehter oranger* und *bemalter Ware*.

Andersgestaltete Kennzeichen weisen die Keramiktypen der jüngsten Phase auf, wo wir in erster Linie auf *braune* und *scheibengedrehte, rot überzogene Waren* stoßen. Die einzige vermutlich dieser Phase zuzuschreibende Form aus *roter* und *schwarzer* Keramik ist eine Knickwandschüssel, Typ 16, die größer ist als die der Phase VA₁. Weitere Formen sind Schultertöpfe, Typ 50 und 44, Halstöpfe, Typ 34 und 35, kugelförmige Töpfe, Typ 27 und 29, eiförmige Töpfe, Typ 32 und Töpfe mit ovaler Mündung, Typ 54. Diese Formen sind in erster Linie der *braunen Ware* zugeordnet (ausgenommen Typ 34), aber es werden auch einige Fälle aus *scheibengedrehter beiger Ware* F, Typ 50 und 35, *scheibengedrehter oranger Ware*, Typ 34 und 44, *schwarzer Ware*, Typ 27, *grauer Ware*, Typ 29, *scheibengedrehter bemalter Ware*, Typ 35 hinzugezählt. Zu der *handgemachten bemalten* Keramik gehören halbkugelförmige Deckel, Typ 63; zuletzt gehören dieser Gruppe noch Fragmente des hohen, konischen Fußes aus *brauner Keramik*, Typ 68, und Ringfüße, Typ 67 aus *scheibengedrehter beiger* und *bemalter Ware* an.

Vielfältiger sind die Typen, die der Gruppe VA_{1,2} zugeordnet werden, die Formen sowohl aus der älteren als auch aus der jüngeren Phase der VA-Periode zusammenfasst. Es handelt sich hier nicht um eine chronologische Phase im wahren Sinne des Wortes, denn viele dieser Typen könnten sowohl der einen als auch der anderen Gruppe zugewiesen werden, vielmehr lassen das Prinzip, nach dem die Zuweisungstabelle aufgestellt wurde und die Art der archäologischen Stratifikation einer breiten Spanne unpräziser Definitionen Raum. Es ist auch möglich, daß einige dieser Typen für lange Zeit in Gebrauch waren. Einige Formen kann man ausschließlich einer bestimmten Produktion zuordnen. Halbkugelförmige, knickwandige und konische Schüsseln, Typ 6 und 5, 17 und 18, 3 sind nur aus *scheibengedrehter, rot überzogener Ware* vorhanden, kugelförmige Tassen, Typ 23, aus bemalter Keramik und Schulterbecken Typ 57 aus *brauner Keramik*. Alle anderen Formen treten in mehreren Waren auf, wie etwa die kleinen Schultertöpfe Typ 26, der Halstopf, Typ 38 und 37 und der Schultertopf, Typ 47. Die Typen 60, 66 und 65 sind Elemente des Gefäßes, Rand eines Pithos und Ringstandfuß, sie wurden in die Grafik aufgenommen, obwohl sie schwer zu datieren sind.

Aus der Tabelle kann man also zwei Hauptgruppen ersehen, zur einen gehören die Typen aus der älteren Phase, zur anderen die aus der jüngeren Phase der Mittelbronzezeit von Arslantepe. Man erkennt eine Neigung zu Formen, die in der Phase VA₁ typologisch der *scheibengedrehten, rot überzogenen Ware* und der *schwarzen Ware* zugewiesen werden, während bei den Typen der Phase VA₂ in umfangreichem Maße *braune Ware* auftritt. In der jüngeren Phase der Periode VA ist bemalte Keramik selten; für die anderen Waren kann eine Chronologie nur schwer aufgestellt werden, da einzelne Formen in beiden Phasen der Periode VA in unterschiedlichen Keramiktypen auftreten. Größer ist die Unsicherheit bei der Zwischengruppe VA_{1,2}. In diesem Fall sind Typen und Waren sehr variiert und eine Zuweisung zu einer der beiden Phasen ist praktisch unmöglich. Einige der archäologischen Kontexte dieser Gruppierung betreffen Schichten, die vermutlich aus Verfüllböden mit einem hohen Anteil an Altfunden bestehen. Man kann auch nicht ausschließen, daß einige Keramiken im Innern der jüngsten Schichten der Mittelbronzezeit Rückstände sind. Somit wäre es möglich, daß bestimmte Typen, die in der frühen Phase Anwendung fanden, auch in jüngeren Phasen auftreten. In diesen Fällen handelt es sich also nicht um einen bestimmten Typ mit einer besonders langen Lebensdauer, sondern es ist die Art der archäologischen Ablagerung, die solche Unsicherheiten mit sich führt.

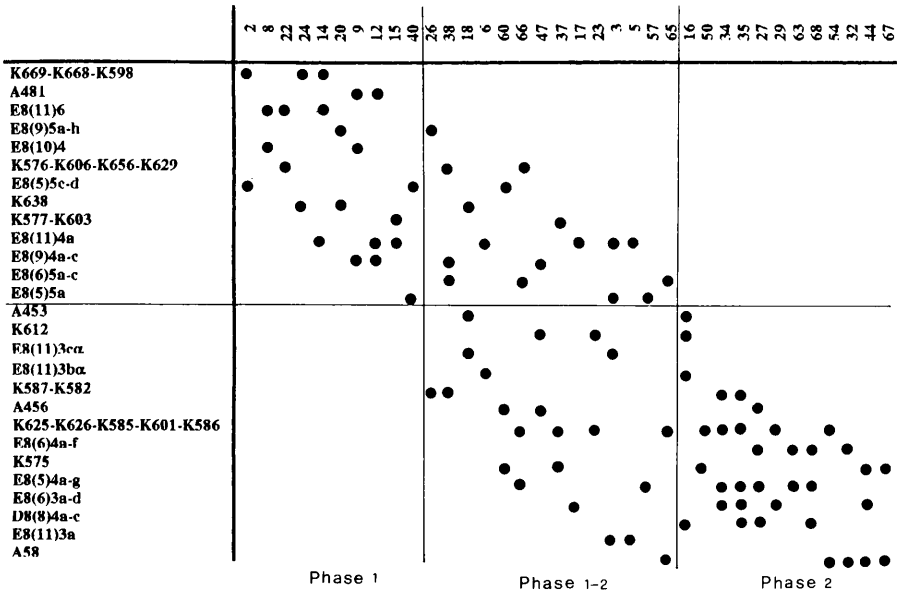


Abb. 9.1 Korrelierungstabelle. Die Keramiktypen und die stratigraphische Sequenz.

9.2 DIE ABSOLUTE CHRONOLOGIE UND DER BEITRAG DER RADIOKARBONDATEN

Bereits seit einigen Jahren läuft an der *Dipartimento di Scienze della Terra* an der Universität "La Sapienza" in Rom ein Projekt zur Datierung mittels Radiokarbonmethode an den organischen Resten aus Arslantepe. Es umfaßt die volle chronologische Abfolge des Tells vom der Spätchalkolithikum bis zur Eisenzeit¹. Ein Großteil der Proben besteht aus Holzresten und karbonisierten Samen aus sicher zuweisbaren stratigraphischen Kontexten, im allgemeinen Fußböden, Feuerstellen, Becken aus Räumlichkeiten, deren stratigraphische Zuweisung weniger schwierig erscheint, und die Zuweisung des archäologischen Kontextes zur kulturellen Abfolge auf dem Hügel leicht bestimmbar ist. So wurden zur radiometrischen Datierung Probengruppen aus Arslantepe verwendet, die anhand der stratigraphischen Sequenz eindeutige Bezüge zur relativen Chronologie aufweisen. Die Ergebnisse stammen also nicht von einzelnen Proben, sondern es sind signifikante "Datenserien", die uns nach dem Wahrscheinlichkeitswert der Datierung durch Radiokarbonmethode in der modernen wissenschaftlichen Forschung zuverlässige Indikationen über das absolute Alter liefern².

¹ Alessio u. a. 1976; 1983; Calderoni u. a. 1994; bezüglich der allgemeinen Problematik zur Chronologie in der Mittelbronzezeit in Anatolien vgl.: Mellink 1965: 118 121; 1992: 219 200. Zur Chronologie in der Region von Malatya-Elazığ vgl.: Marro 1997: 69-75; Marro, Helwig 1995: 351-353; Schmidt 1996: 6-9.

² Pazdur 1992.

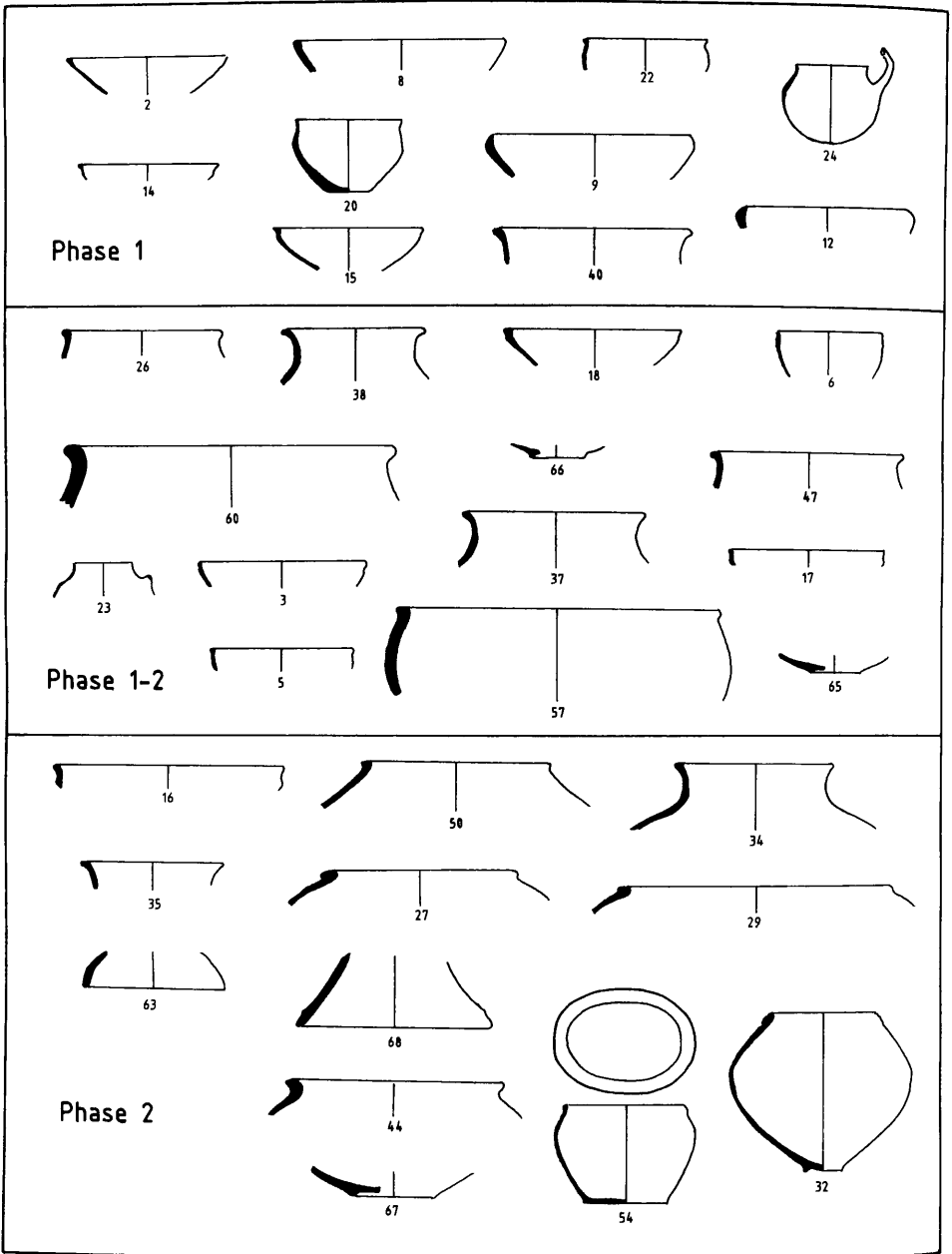


Abb. 9.2 - Charakteristische Typen der einzelnen chronologischen Phasen.

Labornummer	Half-life 5568 b.p.	Calibr. 1 σ B.C. Stuiver, Reimer 1993 ³	Raum, Periode
R-927 α	3210 \pm 50	1518-1419	A58, VA ₂
R-926 α	3240 \pm 50	1525-1435	A58, VA ₂
R-456	3410 \pm 70	1850-1618	A58, VA ₂
R-928 α	3430 \pm 50	1851-1676	A58, VA ₂
R-455	3470 \pm 70	1882-1683	A58, VA ₂
R-458	3610 \pm 70	2035-1881	A58, VA ₂
R-454	3750 \pm 70	2277-2034	A58, VA ₂
R-457	3970 \pm 70	2568-2363	A58, VA ₂

Abb. 9.3 - Auflistung der ¹⁴C-Daten der Mittelbronzezeit von Arslantepe.

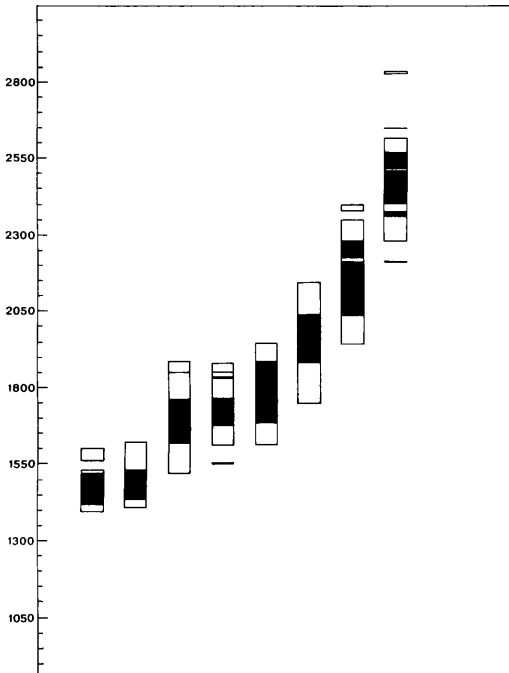


Abb. 9.4 Kalibrationsschema der Radiokarbonaten der Mittelbronzezeit, Periode VA, von Arslantepe (nach 1 und 2 σ).

³ Die konventionellen Radiokarbonaten sind mit den Version 3.0.3 des *Radiocarbon Calibration Programs* (Calib3) von Stuiver und Reimer (1993) bearbeitet.

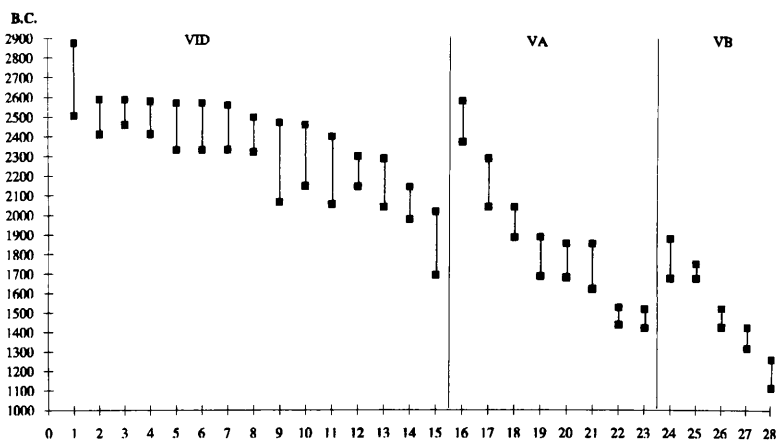


Abb. 9.5 - Kalibration der Radiokarbonaten der Perioden VID (Frühbronzezeit III), VA (Mittelbronzezeit) und VB (Spätbronzezeit I) von Arslantepe (nach 1 σ).

Die absolute Datierung der Mittelbronzezeit in Arslantepe wurde an Proben aus Fußböden aus dem Raum A58 der Periode VA₂ vorgenommen. Es handelt sich um 7 karbonisierte Holzstücke und einen Samen, die auf dem Fußbodenbelag um die Feuerstelle gefunden wurden. Drei Daten wurden bereits veröffentlicht⁴, die anderen fünf sind bisher unveröffentlicht⁵. Die konventionellen Radiokarbonaten über A58 werden in Abb. 9.3 zusammengefaßt. Die dendrochronologischen Korrekturen auf der Grundlage der neuesten Kalibrationskurve werden graphisch in Abb. 9.4 wiedergegeben. Wenn man die teilweise oder volle Übereinanderlagerung der Ergebnisse von vier der acht Daten und zusätzlich den 2s-Wert in Betracht zieht, resultiert für A58 eine Kalenderdatierung zwischen 1880 und 1750 v. Chr. Natürlich muß auch in Betracht gezogen werden, daß zwei der Daten besonders hoch sind und daher mit denen der Frühbronzezeit III übereinstimmen, weitere zwei dagegen sind wesentlich später in die Spätbronzezeit I einzureihen. Aus den radiometrischen Werten ergeben sich also auch eine Reihe von Zweifeln über das effektive absolute Alter des Raumes A58. Vom archäologischen Standpunkt sind die untersuchten Proben als gut zu bewerten und auch in gutem Zustand und die Labortests wurden mit höchster Präzision durchgeführt, dennoch liegen die Datierungen dieser organischen Reste weit auseinander. Bis heute konnte hierfür keine Erklärung gefunden werden. Wie wir bereits sagten, ist der Raum A58 mit größter Wahrscheinlichkeit zwischen Anfang des 19. und dem 18. Jahrhundert v. Chr. zu datieren. Zu diesem Schluß kommt man aus der Gegenüberstellung mehrerer Faktoren: a) Stratigraphie, b) radiometrische Datierung der Kontexte der Frühbronzezeit III und der Spätbronzezeit I, c) die radiometrische Datierung der Phase H in Korucutepe im Vergleich zu den Keramikmaterialien aus der Spätbronzezeit I von Arslantepe.

Die stratigraphische Sequenz kann Aufschluß einzig zur relativen Chronologie liefern. Was sich eindeutig aus den einzelnen archäologischen Kontexten ergibt, ist die örtliche Zuweisung der gesamten Mittelbronzezeitsequenz und zwar gehören die Strukturen A299, A30, A498, A29, A514

⁴ Alessio u. a. 1976: 339.

⁵ Die Informationen über die noch unveröffentlichten Daten erhielt ich freundlicherweise von Prof. G. Calderoni von der Abteilung für Wissenschaft der Erde an der Universität "La Sapienza" in Rom.

und A494 zur Periode VID; hier herrschen *red-black* Ware und handgemachte bemalte Keramik vor, die für die zweite Hälfte des dritten Jahrtausends in der Umgebung von Malatya und Elazığ charakteristisch sind; der Raum A62 dagegen gehört der Periode VB an, hier fand man in erster Linie scheibengedrehte Keramik des zweiten Jahrtausends vor. Das Keramikmaterial entspricht zweifellos den typischen Formen der Frühbronzezeit III und der Spätbronzezeit I. Einige dieser Kontexte weisen sehr homogene Radiokarbonaten auf. Die Periode VID liegt also zwischen 2500 und 2100 v. Chr., einzelne Daten gehen hier über das Jahr 2000 v. Chr. nicht hinaus. Die Periode VB liegt zwischen 1750 und 1300 v. Chr. (Abb. 9.5). Diese Vermutungen finden weitere Bestätigung in den kalibrierten Daten von Korucutepe, welche die Phase H zwischen dem Ende des 17. und dem Ende des 15. Jhs. ansiedeln⁶. Zur Phase H gehört die befestigte Siedlung in Korucu; die vergleichenden Bezüge zu der Keramik in Arslantepe betreffen Materialien aus der Spätbronzezeit I⁷, die im Raum A58 überhaupt nicht vorkamen, da dieser mit Sicherheit älter war.

Auf der Grundlage dieser Daten ist es also wahrscheinlich, daß die Mittelbronzezeit von Arslantepe chronologisch in die ersten drei Jahrhunderte des zweiten Jahrtausends einzureihen ist.

⁶ Die fünf Radiokarbonaten von Korucutepe Phase H sind: P-1613 3221 ± 65, P-1614 3321 ± 165, P-1627 3270 ± 51, GrN-6057 3250 ± 35, P-1616 3247 ± 63, Lawn 1971: 368-369 ; Van Loon (Hrsg.) 1978: 9. Zur Kalibration vgl. Anmerkung 5. Die Ergebnisse nach sind: 1524-1417 v. Chr.; 1855-1417 v. Chr.; 1607-1459 v. Chr.; 1524-1454 v. Chr.; 1598-1431 v. Chr.

⁷ Insbesondere wird hier Bezug genommen auf die Kanne mit Kleeblattmündung und weitere für die Spätbronzezeit typische Waren aus der Phase Vb von Arslantepe, die man im nordwestlichen Bereich des Hügels fand: Palmieri 1970: 204 und 209, Abb. 6; Griffin 1980: 71. Diese Phase war zunächst der Mittelbronzezeit zugeschrieben worden, aber Anfang der siebziger Jahre erkannte man, daß sie realistischerweise zur Spätbronzezeit I gehörte: Palmieri 1973: 179.

10. SIEDLUNGSARCHÄOLOGIE IM MALATYA-ELAZIĞ-GEBIET: BEMERKUNGEN ÜBER DAS SIEDLUNGSMUSTER ZU BEGINN DES ZWEITEN JAHRTAUSENDS V. CHR.

10.1 SIEDLUNGEN DER MITTELBRONZEZEIT IN MALATYA UND ELAZIĞ

Die Befundsituation zur Mittelbronzezeit in der Region Malatya-Elazığ ist sehr unterschiedlich. Neben den Siedlungen, deren Ausgrabungen und deren Beschreibungen veröffentlicht wurden, gibt es zahlreiche Fundorte, die nur durch Oberflächenfunde bekannt sind. Über einige Ausgrabungen wurde bis heute nichts veröffentlicht. Es ist also recht schwierig, einen Überblick über die Siedlungen in einem Landstrich auszuarbeiten, über den nur Vorstudien mit unvollständigen Daten vorliegen. Mit Ausnahme von Arslantepe, wo die *Missione Archeologica Italiana* die Ausgrabungen seit den 60er Jahren durchführt, sind alle anderen Siedlungen nur anhand der Forschungen in den riesigen Landstrichen bekannt, die in das Staudammprojekt der *Middle East Technical University* einbezogen wurden. Einige der Fundstellen konnten nur während eines beschränkten Zeitraumes erforscht werden, an anderen fanden nur kurze Kontrollbesichtigungen oder systematische Oberflächenbegehungen ohne jeglichen stratigrafischen Kontext statt.

Quellen über die Verteilung der Siedlungen in der Mittelbronzezeit sind neben systematischen Ausgrabungen die Beiträge von Özdoğan (1977), Whallon (1979) und Russell (1980). In diesen Berichten sind die Zuweisungen der Oberflächenfunde zur Mittelbronzezeit problematisch, oft ist die chronologische Einordnung nur sehr allgemein. In einigen Fällen werden die Fundorte nur als "aus der Mittel/Spätbronzezeit" bezeichnet, oder man liest: "Siedlung mit Keramiken aus dem zweiten Jahrtausend". Dieser Mangel an Genauigkeit ist jedoch logische Folge von *surveys* ohne einen entsprechenden stratigrafischen Kontext zum Vergleich der Materialien. Eine weitere Schwierigkeit liegt in der unterschiedlichen Interpretationsmethode der Waren. Wie bereits gesagt wurde, ist es schwierig, Waren aus einem weiten geographischen Raum zu vergleichen, die nicht selten stark lokalen Charakter haben. Auch besteht keine Einigung über die Definition der heute vorliegenden Waren aus einem weiten Raum, woraus sich weitere Probleme bezüglich der spezifischen Zuweisung solcher Waren oder gar der Anerkennung bestimmter Waren ergeben.

Die im folgenden dargestellte Liste und die Beschreibungen im nachfolgenden Abschnitt betreffen jene Fundorte, an denen verschiedenen Autoren nach Keramik der Mittelbronzezeit gefunden wurden. Darüber hinaus liefern wir in schematischer Darstellung einige topographische Daten und eine kurze Beschreibung der vorgefundenen Keramiken. In die Bibliographie wurden nur solche Beiträge aufgenommen, die Informationen über die Mittelbronzezeit enthalten. Auch bezüglich der Berichterstattung über die Ausgrabungen beschränkt sich die Bibliographie auf die hier beschriebenen Phasen.

Bei der Beschreibung der Waren haben wir uns so eng als möglich an die von verschiedenen Autoren verwendete Terminologie gehalten. Die den Fundort bezeichnende Nummer entspricht der auf der folgenden Übersichtskarte (Abb. 10.1).

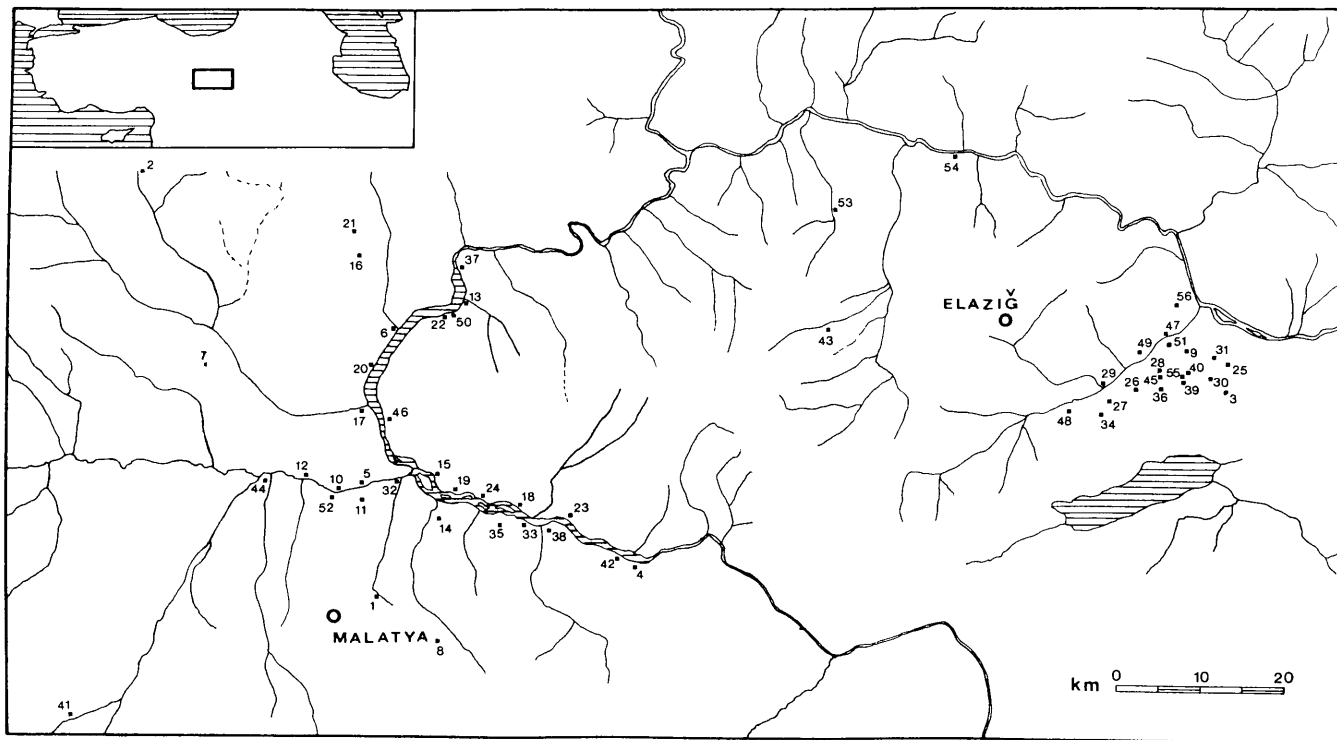


Abb. 10.1 - Übersichtskarte der Siedlungen der ersten Hälfte des zweiten Jahrtausends in der Region Malatya-Elazığ. 1) Arslantepe; 2) Aşağı Sazlıca; 3) Boy Tepe; 4) Cafer Harabesi; 5) Çiftlik Mevkii; 6) Değirmenbaşı Mevkii; 7) Fethiye; 8) Furuncu; 9) Gülüşanbaba Tepesi; 10) Harabe Tepe; 11) Hasirci IV; 12) Hayım Tepe; 13) Höyükköy Hüyük; 14) İmamoğlu Hüyük; 15) İmikuşağı Hüyük; 16) İsaköy; 17) Kadioturan Tepesi; 18) Kale II; 19) Kamikli Hüyük; 20) Karababa Harabesi; 21) Karahüyük; 22) Kartın Harabesi; 23) Kaz Mevkii; 24) Kırasa Tepesi; 25) Korucutepe; 26) Könk; 27) Körtepe (a); 28) Körtepe (b); 29) Körtepe (c); 30) Körtepe (d); 31) Körtepe (e); 32) Köse Hüyük; 33) Köşkerbaba; 34) Kövenk; 35) Kuluşağı Kale; 36) Kuruçayır Tepesi; 37) Maltepe Hüyük; 38) Meydancık Kale Mevkii; 39) Mezarlık Tepe; 40) Norşun Tepe; 41) Ören; 42) Pırot; 43) Poyraz/Besik; 44) Samanköy; 45) Savka Tepe; 46) Şemsiyetepe; 47) Tepecik; 48) Tinazıt; 49) Tülin Tepe; 50) Üyücek; 51) Yarik Tepe; 52) Yarım Tepe; 53) *Mound N52/10*; 54) *Mound N53/1*; 55) *Mound O54/9*; 56) *Mound O54/19*.

10.2 FUNDORTVERZEICHNIS

1) **Arslantepe**

PROVINZ: Malatya.

LAGE: Ovaler Hügel 6 km nordöstlich von Malatya.

DIMENSIONEN DES FUNDORTES: Ausdehnung: 250x180 m; Höhe: 30 m; Höhe über dem Meeresspiegel: 912 m.

ERFORSCHUNGSSYSTEM: *Survey* und systematische Ausgrabung.

KERAMIK: Russell beschreibt eine *plain ware* und eine bemalte Ware des zweiten Jahrtausends (*Group Y*). Die italienischen Ausgrabungen haben ein reiches Keramikrepertoire ans Licht gebracht. Typisch sind die *scheibengedrehte, rot überzogene Ware*, die *handgemachte bemalte* (monochrome und bichrome) *Ware*, die *scheibengedrehte bemalte* (monochrome) *Ware* (mit der *Habur Ware* verwandt), und die *braune Ware*. Weiterhin sind die *scheibengedrehten beige* und *orange* *Waren*, die *schwarze Ware*, die *feine beige Ware* und die *graue Ware* vorhanden.

LITERATUR: Di Nocera 1993a; 1993b; 1998; Frangipane, Palmieri 1983a: 296; Palmieri 1969a; 1969b; 1973; 1974; 1978; 1986; Palmieri, Frangipane 1989; 1998; 191-192; Puglisi 1962a; 1962b; Puglisi, Meriggi 1964; Russell 1980: 83-84, 122, Fundort Nr. 161.

2) **Aşağı Sazlica**

PROVINZ: Malatya.

LAGE: Der Hügel liegt an der westlichen Talseite des Saz Çayı, etwa 500 m nördlich des gleichnamigen Dorfes.

DIMENSIONEN DES FUNDORTES: Ausdehnung: 100x100 m; Höhe: 10 m.

ERFORSCHUNGSSYSTEM: *Survey*.

KERAMIK: Vorhandensein der *plain ware* des zweiten Jahrtausends.

LITERATUR: Russell 1980: 83, 124, Fundort Nr. 180, *Group Y*.

3) **Boy Tepe.**

PROVINZ: Elazığ.

LAGE: Zwei Orte unterscheiden sich: nach Südosten ein kleiner Hügel mit flachem Gipfel, nach Norden erstrecken sich echte Terrassen, die möglicherweise moderne sind.

DIMENSIONEN DES FUNDORTES: Ausdehnung: 150x50 m; Höhe: 0,75 m (Terrasse); Höhe: 2 m (Tell).

ERFORSCHUNGSSYSTEM: *Survey*.

KERAMIK: Die Keramik der Mittelbronzezeit ist wenig vertreten. Die vorhandenen Waren, nach Whallon, sind: *Middle Bronze Age gritty ware*, *Old Hittite gray ware*, *Old Hittite light faced ware* und *Old Hittite black faced gray ware*.

LITERATUR: Whallon 1979: 246-249, Fundort Nr. O55/3.

4) **Cafer Harabesi.**

PROVINZ: Malatya.

LAGE: Ovaler Hügel 50 m südlich des *Mahalle* von Cafer, entlag des Değirmendere.

DIMENSIONEN DES FUNDORTES: Ausdehnung: 220x100 m; Höhe: 10 m; Höhe über dem Meeresspiegel: 665/675 m.

ERFORSCHUNGSSYSTEM: *Survey*.

KERAMIK: Ein einziges bemalten Fragment der Mittel-Spätbronzezeit. Es handelt sich um eine bemalte Ware mit einem Rotbandmotiv des Karakaya-Gebietes.

LITERATUR: Özdoğan 1977: 57-59, Fundort Nr. P51/12, Ware 3.9, nicht abgebildetes Fragment.

5) **Çiftlik Mevkii.**

PROVINZ: Malatya.

LAGE: *Flache Siedlung* 250 m westlich des Dorfes von Sinanlı.

DIMENSIONEN DES FUNDORTES: Ausdehnung: 60x40 m; Höhe über dem Meeresspiegel: 660 m.

ERFORSCHUNGSSYSTEM: *Survey*.

KERAMIK: Vorhandensein der mittel-spätbronzezeitlichen Keramik: *metallic ware* der Mittelbronzezeit von Keban und *coarse wares* verschiedener Art.

LITERATUR: Özdoğan 1977: 34, Fundort Nr. O50/15, Waren 3.1, 3.8, 3.10.

6) **Değirmenbaşı Mevkii.**

PROVINZ: Malatya.

LAGE: *Flache Siedlung* 2,5 km südöstlich von Morhamam, unmittelbar südlich des Zusammenflusses von Aliğa Çayı.

10. Siedlungsarchäologie im Malatya-Elazığ-Gebiet

DIMENSIONEN DES FUNDORTES: Höhe über dem Meeresspiegel: 670 m.

ERFORSCHUNGSSYSTEM: *Survey*.

KERAMIK: Vorhandensein der mittel-spätbronzezeitlichen Keramik: bemalte Ware, mit roten Bänder verziert, des Karakaya-Gebietes.

LITERATUR: Özdoğan 1977: 21, Fundort Nr. O50/32, Waren 3.9 e 3.10.

7) Fethiye.

PROVINZ: Malatya.

LAGE: Hügel südwestlich des gleichnamigen Dorfes.

DIMENSIONEN DES FUNDORTES: Ausdehnung: 100x100 m; Höhe: 5 m.

ERFORSCHUNGSSYSTEM: *Survey*.

KERAMIK: Bemalte Ware mit Rotbandmotiv des zweiten Jahrtausends.

LITERATUR: Russell 1980: 84, Fundort Nr. 193, *Group Z*.

8) Furuncu.

PROVINZ: Malatya.

LAGE: Der Hügel liegt 1 km nord-nordöstlich des gleichnamigen Dorfes.

DIMENSIONEN DES FUNDORTES: Ausdehnung: 200x100 m; Höhe: 15 m.

ERFORSCHUNGSSYSTEM: *Survey*.

KERAMIK: Vorhandensein der *plain ware* und bemalten Ware mit Rotbandmotiv des zweiten Jahrtausends.

LITERATUR: Russell 1980: 83-84, 122, Fundort Nr. 162, *Groups Y, Z*.

9) Güllüsanbaba Tepesi.

PROVINZ: Elazığ.

LAGE: Ausgedehnter, flacher Hügel nahe dem Fluß Karasu, Nebenfluß von Haringet Çayı.

DIMENSIONEN DES FUNDORTES: Ausdehnung: 110x75 m; Höhe: 1,5-2 m.

ERFORSCHUNGSSYSTEM: *Survey*.

KERAMIK: Die Mittelbronzezeit ist, nach Whallon, von wenigen Keramikstücken vertreten: *Old Hittite gray ware*, *Old Hittite light faced gray ware* und *Middle Bronze Age gritty ware*.

LITERATUR: Whallon 1979: 238-240, Fundort Nr. O54/27.

10) Harabe Tepe.

PROVINZ: Malatya.

LAGE: Kleiner, ovaler Hügel 500 m vom Dorf Dedekargın entfernt, entlang des nördlichen Ufers des Tohma Çayı.

DIMENSIONEN DES FUNDORTES: Ausdehnung: 75x50 m; Höhe über dem Meeresspiegel: 690-700 m.

ERFORSCHUNGSSYSTEM: *Survey*.

KERAMIK: Vorhandensein der Mittelbronzezeit mit *Hittite wares*, *coarse wares* und bemalter Ware mit Rotbandmotiv des Karakaya-Gebietes.

LITERATUR: Özdoğan 1977: 36, Fundort Nr. P50/11, Waren 3.3, 3.8, 3.9.

11) Hasirci IV.

PROVINZ: Malatya.

LAGE: Hügel 1 km südlich des Thoma Çayı, zwischen die Straße Malatya-Hekinhan und die Eisenbahn.

DIMENSIONEN DES FUNDORTES: Ausdehnung: 30x30 m; Höhe: 3 m.

ERFORSCHUNGSSYSTEM: *survey*.

KERAMIK: Vorhandensein der bemalten Ware des zweiten Jahrtausends, die mit rot-bräunlichen Bänder verziert sind.

LITERATUR: Russell 1980: 84, 123, Fundort Nr. 172, *Group Z*.

12) Hayım Tepe.

PROVINZ: Malatya.

LAGE: Kleiner, ovaler Hügel 500 m östlich von Tecirli, nahe dem Thoma Çayı.

DIMENSIONEN DES FUNDORTES: Ausdehnung: 125x50 m; Höhe über dem Meeresspiegel: 690 m.

ERFORSCHUNGSSYSTEM: *Survey*.

KERAMIK: Vorhandensein der Mittel-Spätbronzezeit mit *Hittite wares* und *coarse wares*; ein einziges Fragment aus *red slipped ware*.

LITERATUR: Özdoğan 1977: 37, Fundort Nr. O50/23, Waren 3.3, 3.8.

13) **Höyükköy Hüyük.**

PROVINZ: Elazığ.

LAGE: Der Fundort liegt nahe dem Dorf Höyükköy. Der Hügel besteht aus einem Kegel und einer nach Westen ausgedehnten Terrasse.

DIMENSIONEN DES FUNDORTES: Kegeldurchmesser: 60 m; Höhe: 10 m; Gesamtausdehnung: 110x180 m; Höhe über dem Meeresspiegel: 680-690 m.

ERFORSCHUNGSSYSTEM: *Survey*.

KERAMIK: Nur wenige Keramikfragmente sind möglicherweise der Mittel-Spätbronzezeit zuzuschreiben.

LITERATUR: Özdoğan 1977: 65-66, Fundort Nr. O50/2.

14) **İmamoğlu Hüyük.**

PROVINZ: Malatya.

LAGE: Kreisförmiger Hügel südöstlich des gleichnamigen Dorfes, und 20 km nordöstlich von Malatya.

DIMENSIONEN DES FUNDORTES: Durchmesser: 100 m, Höhe: 15 m, Höhe über dem Meeresspiegel: 680-693 m.

ERFORSCHUNGSSYSTEM: *Survey* und systematische Ausgrabung.

KERAMIK: Unter den Oberflächenfunden sind, nach Özdoğan, Keramik der Mittel-Spätbronzezeit mit *metallic ware*, *Hittite ware*, *coarse ware* und bemalter Ware des Karakaya-Gebietes vorhanden. Die Ausgrabungen haben handgemachte bemalte Ware, Waren mit Politur und Überzug, und Keramik des *Habur*-Typs ans Licht gebracht.

LITERATUR: Mellink 1982b; 1983a; 1987; 1988a; 1990; Özdoğan 1977: 45-46, Fundort Nr. P50/3, Waren 3.1, 3.3, 3.9 e 3.10; Uzunoğlu 1985; 1986; 1987; 1988.

15) **İmikuşağı Hüyük.**

PROVINZ: Elazığ.

LAGE: Ausgedehnter Hügel unmittelbar nördlich des gleichnamigen Dorfes.

DIMENSIONEN DES FUNDORTES: Ausdehnung: 80x90 m; Höhe: 14 m; Höhe über dem Meeresspiegel: 660-675 m.

ERFORSCHUNGSSYSTEM: *Survey* und systematische Ausgrabung.

KERAMIK: Unter den Oberflächenfunden sind, nach Özdoğan, Keramik der Mittel-Spätbronzezeit mit *Hittite ware*, *plain simple burnished ware* und *coarse ware* vorhanden. Die Ausgrabung haben handgemachte bemalte Ware und verschiedene weitere Produktionen ans Licht gebracht.

LITERATUR: Mellink 1988b; Özdoğan 1977: 75, Fundort Nr. O50/1, Waren 3.3, 3.4, 3.8; Sevin 1983; 1984a; 1984b; 1985; 1986; 1987a; 1987b; 1988; Sevin, Derin 1986; Sevin, Koroğlu 1985.

16) **İsaköy.**

PROVINZ: Malatya.

LAGE: Hügel 2 km südöstlich des gleichnamigen Dorfes.

DIMENSIONEN DES FUNDORTES: Ausdehnung: 75x75 m; Höhe: 8 m.

ERFORSCHUNGSSYSTEM: *Survey*.

KERAMIK: Vorhandensein der bemalten Ware mit Rotbandmotiv des zweiten Jahrtausends.

LITERATUR: Russell 1980: 84, 123, Fundort Nr. 165, *Group Z*.

17) **Kadioturan Tepesi.**

PROVINZ: Malatya.

LAGE: Hügel nördlich von Eğribük und südlich des Zusammenflusses von Kuruçay und Euphrat.

DIMENSIONEN DES FUNDORTES: Ausdehnung 180x60 m; Höhe über dem Meeresspiegel: 670-725 m.

ERFORSCHUNGSSYSTEM: *Survey*.

KERAMIK: Vorhandensein der mittel-spätbronzezeitlichen Keramik mit *metallic Ware*, *plain simple burnished ware*, *Hittite ware*, *coarse ware* und bemalter Ware des Karakaya-Gebietes.

LITERATUR: Özdoğan 1977: 31, Fundort Nr. O50/18, Waren 3.1, 3.3, 3.4, 3.8.

18) **Kale II.**

PROVINZ: Elazığ.

LAGE: Kleiner Hügel 500 m westlich des Dorfes Köfte.

DIMENSIONEN DES FUNDORTES: Durchmesser: 40 m; Höhe: 2 m; Höhe über dem Meeresspiegel: 660 m.

ERFORSCHUNGSSYSTEM: *Survey*.

KERAMIK: Zahlreiche Keramikfragmente des Beginns der Mittelbronzezeit: *plain simple unburnished ware* und *coarse ware*.

LITERATUR: Özdoğan 1977: 79-80, Fundort Nr. P51/3, Waren 3.2, 3.8, 3.10.

19) **Kamikli Hüyük.**

PROVINZ: Elazığ.

LAGE: Hügel nahe dem *Mahalle* von Kamikli.

DIMENSIONEN DES FUNDORTES: Ausdehnung: 120x70 m; Höhe: 5-6 m; Höhe über dem Meeresspiegel: 660-665 m.

ERFORSCHUNGSSYSTEM: *Survey*.

KERAMIK: Vorhandensein der mittel-spätbronzezeitlichen Keramik mit *metallic ware, plain simple unburnished ware* und bemalter Ware des Karakaya-Gebietes.

LITERATUR: Özdoğan 1977: 76-77, Fundort Nr. P50/1, Waren 3.1, 3.2, 3.9.

20) **Karababa Harabesi.**

PROVINZ: Malatya.

LAGE: *Flache Siedlung* 2 km südöstlich von Maaar, nördlich des Karababa Deresi und etwa 20 m vom Euphratufer entfernt.

DIMENSIONEN DES FUNDORTES: Ausdehnung: 130x180 m; Höhe über dem Meeresspiegel: 660-690 m.

ERFORSCHUNGSSYSTEM: *Survey*.

KERAMIK: Vorhandensein der mittel-spätbronzezeitlichen Keramik mit *metallic ware, Hittite ware, plain simple burnished ware, coarse ware* und bemalter Ware des Karakaya-Gebietes.

LITERATUR: Özdoğan 1977: 23, Fundort Nr. O50/20, Waren 3.1, 3.3, 3.4, 3.8, 3.9.

21) **Karahüyük.**

PROVINZ: Malatya.

LAGE: Hügel 6 km nordöstlich von Arguvan.

DIMENSIONEN DES FUNDORTES: Ausdehnung: 125x125 m; Höhe: 20 m.

ERFORSCHUNGSSYSTEM: *Survey*.

KERAMIK: Vorhandensein der *plain ware* und der bemalten Ware des zweiten Jahrtausends.

LITERATUR: Russell 1980: 83-84, 123, Fundort Nr. 164, *Groups Y, Z*.

22) **Kartın Harabesi.**

PROVINZ: Elazığ.

LAGE: *Flache Siedlung* 1,5 km nordöstlich von Arapuşağı nahe dem Euphratufer.

DIMENSIONEN DES FUNDORTES: Ausdehnung: 50x150 m; Höhe über dem Meeresspiegel: 660 m.

ERFORSCHUNGSSYSTEM: *Survey*.

KERAMIK: Zahlreiche feine Fragmente der Mittel-Spätbronzezeit. Weiterhin: *Hittite ware, plain simple burnished ware, coarse ware* und bemalte Ware des Karakaya-Gebietes.

LITERATUR: Özdoğan 1977: 68-69, Fundort Nr. O50/8, Waren 3.3, 3.4, 3.8, 3.9.

23) **Kaz Mevkii.**

PROVINZ: Elazığ.

LAGE: *Flache Siedlung* west-südwestlich von Canbot.

DIMENSIONEN DES FUNDORTES: Ausdehnung: unbestimmbar; Höhe über dem Meeresspiegel: 660 m.

ERFORSCHUNGSSYSTEM: *Survey*.

KERAMIK: Vorhandensein der bemalten Ware des Karakaya-Gebietes.

LITERATUR: Özdoğan 1977: 80-81, Fundort Nr. P51/6, Waren 3.9, 3.10.

24) **Kırasa Tepesi.**

PROVINZ: Elazığ.

LAGE: Kleiner, unregelmäßiger Hügel südöstlich des *Mahalle* von Kırasa, entlang des Euphratufers.

DIMENSIONEN DES FUNDORTES: Ausdehnung: 50x20 m; Höhe: 3 m; Höhe über dem Meeresspiegel: 650 m.

ERFORSCHUNGSSYSTEM: *Survey*.

KERAMIK: Vorhandensein der mittel-spätbronzezeitlichen Keramik.

LITERATUR: Özdoğan 1977: 77-78, Fundort Nr. P51/1, Ware 3.10.

25) **Korucutepe.**

PROVINZ: Elazığ.

LAGE: Ausgedehnter Hügel nahe dem Dorf Aşağı İçme, auf der Altınova.

DIMENSIONEN DES FUNDORTES: Durchmesser: 190 m; Höhe: 16 m.

ERFORSCHUNGSSYSTEM: *Survey* und systematische Ausgrabung.

10. Siedlungsarchäologie im Malatya-Elazığ-Gebiet

KERAMIK: Die Ausgrabung hat ein gegliedertes Bild der Waren der Mittel- und Spätbronzezeit (Phasen G-I) ergeben. Während der Mittelbronzezeit I und II überwiegt vor allem eine scheidengedrehte graue Ware (*gray wheel-marked ware*). Dieser Keramik gesellt sich, in den späteren Phasen, die *wheelmade red to brown burnished ware* zu. In der Spätbronzezeit I (Phase I) erscheint eine scheidengedrehte orange Ware.

LITERATUR: Griffin 1974; 1980: 3-7, 68-69; Whallon 1979: 241-244, Fundort Nr. O55/1.

26) Könk.

PROVINZ: Elazığ.

LAGE: Ausgedehnter Hügel nahe dem gleichnamigen Dorf.

DIMENSIONEN DES FUNDORTES: Ausdehnung: 500x250 m; Höhe: 16-18 m.

ERFORSCHUNGSSYSTEM: *Survey*.

KERAMIK: Vorhandensein der Mittelbronzezeit mit *Old Hittite gray ware*.

LITERATUR: Whallon 1979: 198-199, Fundort Nr. O54/7.

27) Körtepe (a).

PROVINZ: Elazığ.

LAGE: Flacher Hügel nahe dem Dorf Sarpulu.

DIMENSIONEN DES FUNDORTES: Ausdehnung 90x50 m; Höhe: 2-2,5 m.

ERFORSCHUNGSSYSTEM: *Survey*.

KERAMIK: *Old Hittite gray ware*, *Middle Bronze Age gritty ware* sind die Waren der Mittelbronzezeit; wenige Keramikfragmente gehören zu der *Old Hittite light faced gray ware*.

LITERATUR: Whallon 1979: 222-225, Fundort Nr. O54/14.

28) Körtepe (b).

PROVINZ: Elazığ.

LAGE: Flacher, ausgedehnter und kreisförmiger Hügel nahe dem Dorf Haceri.

DIMENSIONEN DES FUNDORTES: Ausdehnung: 125x110 m; Höhe: 2 m.

ERFORSCHUNGSSYSTEM: *Survey*.

KERAMIK: Ein einziges Fragment der *Middle Bronze Age gray ware*, Vorhandensein der *Old Hittite Gray Ware* und *Old Hittite Light Faced Gray Ware*.

LITERATUR: Whallon 1979: 235-237, Fundort Nr. O54/25.

29) Körtepe (c).

PROVINZ: Elazığ.

LAGE: Flacher und ausgedehnter Hügel auf dem westlichen Ufer des Haringet Çayı, nahe dem Dorf von Şemsi.

DIMENSIONEN DES FUNDORTES: Ausdehnung: 120x100 m; Höhe: 2 m.

ERFORSCHUNGSSYSTEM: *Survey*.

KERAMIK: Vorhandensein der *Old Hittite Gray Ware*.

LITERATUR: Whallon 1979: 240, Fundort Nr. O54/28.

30) Körtepe (d).

PROVINZ: Elazığ.

LAGE: Flacher und ausgedehnter Hügel nahe İçme.

DIMENSIONEN DES FUNDORTES: Ausdehnung: 145x110 m; Höhe: 1,5 m.

ERFORSCHUNGSSYSTEM: *Survey*

KERAMIK: Vorhandensein der *Middle Bronze Age Gray Ware*, *Old Hittite Gray Ware* und *Old Hittite Light Faced Gray Ware*.

LITERATUR: Whallon 1979: 249-250, Fundort Nr. O55/4.

31) Körtepe (e).

PROVINZ: Elazığ.

LAGE: Ovaler Hügel, von der Straße Elazığ-Bingöl angeschnitten. Der Tell liegt nahe dem Dorf Habasu.

DIMENSIONEN DES FUNDORTES: Ausdehnung: 215x100 m; Höhe: 2 m.

ERFORSCHUNGSSYSTEM: *Survey*.

KERAMIK: Vorhandensein der *Middle Bronze Age gritty ware*, *Old Hittite gray ware* und *Old Hittite light faced gray ware*.

LITERATUR: Whallon 1979: 253-257, Fundort Nr. O55/8-9.

32) **Köse Hüyük.**

PROVINZ: Malatya.

LAGE: Hügel östlich des gleichnamigen Dorfes, nahe dem Thoma Çayı.

DIMENSIONEN DES FUNDORTES: Durchmesser: 100 m; Höhe: 20 m; Höhe über dem Meeresspiegel: 680-690 m.

ERFORSCHUNGSSYSTEM: *Survey*.

KERAMIK: Vorhandensein der mittel-spätbronzezeitlichen Keramik mit *metallic ware*, sehr feiner *Hittite ware*, *plain simple burnished ware* und bemalter Ware des Karakaya-Gebietes.

LITERATUR: Özdoğan 1977: 43, Fundort Nr. O50/14, Waren 3.1, 3.3, 3.4, 3.9, 3.10.

33) **Köşkerbaba.**

PROVINZ: Malatya.

LAGE: Hügel unmittelbar nördlich der Straße Kuluşağı-Şişman Çayı.

DIMENSIONEN DES FUNDORTES: Durchmesser: 80 m; Höhe: 8-10 m; Höhe über dem Meeresspiegel: 660-670 m.

ERFORSCHUNGSSYSTEM: *Survey* und systematische Ausgrabung.

KERAMIK: Die Keramik der Mittel-Spätbronzezeit stammt nur aus den Oberflächenfunden; es handelt sich um *Hittite ware*, *plain simple burnished ware* und *coarse ware*.

LITERATUR: Özdoğan 1977: 50-51, Fundort Nr. P51/17, Waren 3.3, 3.4, 3.8, 3.10.

34) **Kövenk.**

PROVINZ: Elazığ.

LAGE: Hügel unmittelbar nördlich des gleichnamigen Dorfes.

DIMENSIONEN DES FUNDORTES: Durchmesser: 200 m; Höhe: 8 m.

ERFORSCHUNGSSYSTEM: *Survey*.

KERAMIK: Vorhandensein der *grey ware*.

LITERATUR: Russell 1980 p.82, 135, Fundort Nr. 273, *group X*.

35) **Kuluşağı Kale.**

PROVINZ: Malatya.

LAGE: Kleiner ovaler Hügel 600 m nordwestlich von Kuluşağı.

DIMENSIONEN DES FUNDORTES: Ausdehnung: 60x50 m; Höhe: 2-3 m; Höhe über dem Meeresspiegel: 690- 700 m.

ERFORSCHUNGSSYSTEM: *Survey*.

KERAMIK: Vorhandensein von Keramik vorwiegend der Übergangsphase Früh-Mittelbronzezeit. Unter den Oberflächenfunde sind auch einige Fragmente der bemalten Ware des Karakaya-Gebietes dokumentiert.

LITERATUR: Özdoğan 1977: 50, Fundort Nr. P51/22, Waren 3.9, 3.10.

36) **Kuruçayır Tepesi.**

PROVINZ: Elazığ.

LAGE: Flacher Hügel östlich von Könk.

DIMENSIONEN DES FUNDORTES: Ausdehnung: 85x90 m, Höhe: 2 m.

ERFORSCHUNGSSYSTEM: *Survey*.

KERAMIK: Vorhandensein der *Old Hittite grey ware*, *Old Hittite light faced grey ware*, *Middle Bronze Age gritty ware*.

LITERATUR: Whallon 1979: 218-221, Fundort Nr. O54/12.

37) **Maltepe Hüyük.**

PROVINZ: Elazığ.

LAGE: Kleiner Hügel 3,5 km nord-nordwestlich von Ataf auf dem Euphratufer.

DIMENSIONEN DES FUNDORTES: Durchmesser: 50 m; Höhe: 6-7 m; Höhe über dem Meeresspiegel: 690-730 m.

ERFORSCHUNGSSYSTEM: *Survey*.

KERAMIK: Vorhandensein der mittel-spätbronzezeitlichen Keramik mit *Metallic Ware*, *Hittite Ware*, *Plain Simple Burnished Ware* und bemalter Ware des Karakaya-Gebietes.

LITERATUR: Özdoğan 1977: 65, Fundort Nr. O50/13, Waren 3.1, 3.3, 3.4, 3.8, 3.10.

38) **Meydanlık Kale Mevkii.**

PROVINZ: Malatya.

LAGE: Kleiner Hügel 1.300 m südwestlich des Dorfes, auf dem linken Ufer des Şişman Çayı.

DIMENSIONEN DES FUNDORTES: Ausdehnung: 60x100 m; Höhe: 6-8 m; Höhe über dem Meeresspiegel: 690-720 m.

10. Siedlungsarchäologie im Malatya-Elazığ-Gebiet

ERFORSCHUNGSSYSTEM: *Survey*.

KERAMIK: Zahlreiche Keramikfragmente der Mittel-Spätbronzezeit mit *Hittite ware, metallic ware* und bemalter Ware des Karakaya-Gebietes.

LITERATUR: Özdoğan 1977: 51-52, Fundort Nr. P51/18, Waren 3.1, 3.3, 3.8, 3.10.

39) Mezarlık Tepe.

PROVINZ: Elazığ.

LAGE: Kleiner kreisförmiger Hügel von der Straße Yukarı Ağınsı-Alişam geschnitten.

DIMENSIONEN DES FUNDORTES: Durchmesser: 140 m; Höhe: 2,5 m.

ERFORSCHUNGSSYSTEM: *Survey*.

KERAMIK: Die Mittelbronzezeit ist durch *Middle Bronze Age gray ware, Old Hittite gray ware, Middle Bronze Age gritty ware, Hittite light faced gray ware* vertreten.

LITERATUR: Whallon 1979: 213-215, Fundort Nr. O54/10.

40) Norşun Tepe.

PROVINZ: Elazığ.

LAGE: Ausgedehnter ovaler Hügel 26 km südöstlich von Elazığ und 3 km südlich des Dorfes Alişam (heute Harmanpınar).

DIMENSIONEN DES FUNDORTES: Die ganze Siedlung besitzt eine Ausdehnung von 800x600 m, während der Zentralhügel, die Akropolis, 140x110 m mißt. Der Gipfel des Hügel ist flach, und umfaßt 1700 m². Höhe: 35 m; Höhe über dem Meeresspiegel: 855 m.

ERFORSCHUNGSSYSTEM: *Survey* und systematische Ausgrabung.

KERAMIK: Unter den Oberflächenfunden hat Whallon Keramik der Mittelbronzezeit erkannt: *Middle Bronze Age gritty ware, Middle Bronze Age gray ware, Old Hittite gray ware, Old Hittite light faced gray ware* und *Old Hittite black faced gray ware*. Die systematische Ausgrabung von Hauptmann erbrachte darüber hinaus Angaben zur stratigraphischen Verteilung der Waren. Im *Horizont V* sind eine *metallische dunkelgraue Ware* und eine scheinbengedrehte, rot überzogene Ware vorhanden, die auch in dem späteren *Horizont IV* vertreten ist. Schließlich hat die Ausgrabung zahlreiche Keramikfragmente der typischen handgemachten bemalten Ware des Malatya-Elazığ-Gebietes ans Licht gebracht.

LITERATUR: Di Nocera 1993b; Hauptmann 1969-70; 1970; 1971; 1972; 1974a; 1974b; 1976; 1979; Schmidt 1996: 1-10; Whallon 1979: 199-211, Fundort Nr. O54/8.

41) Ören.

PROVINZ: Adıyaman.

LAGE: Hügel 1 km südlich des gleichnamigen Dorfes.

DIMENSIONEN DES FUNDORTES: Ausdehnung: 150x150 m; Höhe: 20 m.

ERFORSCHUNGSSYSTEM: *Survey*.

KERAMIK: Vorhandensein der bemalten Ware des zweiten Jahrtausends.

LITERATUR: Russell 1980: 84, 124, Fundort Nr. 178, *Group Z*.

42) Pirot.

PROVINZ: Malatya.

LAGE: Ausgedehnter Hügel auf dem gleichnamigen Dorf.

DIMENSIONEN DES FUNDORTES: Ausdehnung: 310x130 m; Höhe: 10 m; Höhe über dem Meeresspiegel: 650-665 m.

ERFORSCHUNGSSYSTEM: *Survey* und systematische Ausgrabung.

KERAMIK: Die Keramik der Mittelbronzezeit ist vor allem unter den Oberflächenfunden vorhanden, unter denen die *metallic ware, Hittite ware, plain simple burnished ware, coarse ware* und die bemalte Ware des Karakaya-Gebietes zu erwähnen sind.

LITERATUR: Mellink 1982a; 1983b; 1984; Özdoğan 1977: 55-56, Fundort Nr. P51/15, Waren 3.1, 3.3, 3.4, 3.8; Serdaroğlu 1977: 64-65.

43) Poyraz/Besik.

PROVINZ: Elazığ.

LAGE: *Flache Siedlung* 2 km südlich des Dorfes Poyraz.

DIMENSIONEN DES FUNDORTES: Ausdehnung: 75x7 m.

ERFORSCHUNGSSYSTEM: *Survey*.

KERAMIK: Vorhandensein der *grey ware*.

LITERATUR: Russell 1980: 82, 136, Fundort Nr. 280, *Group X*.

44) **Samanköy.**

PROVINZ: Malatya.

LAGE: Hügel 200 m nordwestlich des gleichnamigen Dorfes.

DIMENSIONEN DES FUNDORTES: Ausdehnung: 75x75 m; Höhe: 20 m.

ERFORSCHUNGSSYSTEM: *Survey*.

KERAMIK: Vorhandensein der *plain ware* und bemalten Ware des zweiten Jahrtausends.

LITERATUR: Russell 1980: 83-84, 124, Fundort Nr. 174, *Groups Y,Z*.

45) **Savka Tepe.**

PROVINZ: Elaziğ.

LAGE: Flacher kreisförmiger Hügel nahe dem Dorf Haceri.

DIMENSIONEN DES FUNDORTES: Ausdehnung: 110x100 m; Höhe: 1,5 m.

ERFORSCHUNGSSYSTEM: *Survey*.

KERAMIK: Vorhandensein der mittelbronzezeitlichen Keramik mit *Old Hittite gray ware*, *Middle Bronze Age gritty*, *Old Hittite light faced gray ware* und *Middle Bronze Age gritty ware*.

LITERATUR: Whallon 1979: 233-235, Fundort Nr. O54/24.

46) **Şemsiyetepe.**

PROVINZ: Elaziğ.

LAGE: Hügel 500 m südlich von Bilaluşağı, entlang des Euphratufers.

DIMENSIONEN DES FUNDORTES: Ausdehnung: 70x90 m; Höhe: 5 m; Höhe über dem Meeresspiegel: 670-680 m.

ERFORSCHUNGSSYSTEM: *Survey* und systematische Ausgrabung.

KERAMIK: Die Oberflächenbegehung von Özdoğan ergab Keramik der Mittel-Spätbronzezeit mit *Hittite ware*, *coarse ware*, und bemalter Ware des Karakaya-Gebietes. Die Ausgrabung hat das Vorhandensein der Schichten der Mittelbronzezeit I und II bestätigt. Echte mittelbronzezeitliche Keramik ist die handgemachte bemalte Ware der Mittelbronzezeit I.

LITERATUR: Darga 1983; 1986; 1987a; 1987b; 1988; Özdoğan 1977: 72-73, Fundort Nr. O50/10, Waren 3.3, 3.8, 3.10.

47) **Tepecik.**

PROVINZ: Elaziğ.

LAGE: Ausgedehnter Hügel 1 km südwestlich des gleichnamigen Dorfes.

DIMENSIONEN DES FUNDORTES: Ausdehnung: 300x200 m; Höhe: 10 m. Eine ausgedehnte Terrasse 100 m lang, verbindet sich mit dem Zentralhügel.

ERFORSCHUNGSSYSTEM: *Survey* und systematische Ausgrabung.

KERAMIK: Unter den Oberflächenfunden von Burney sind bemalte Waren des zweiten Jahrtausends vorhanden. Die folgenden *surveys* von Whallon zeigen *Middle Bronze Age gritty ware*, ein überwiegendes Vorhandensein der *Old Hittite gray ware*, *Middle Bronze Age gray ware* und *Old Hittite light faced gray ware* an. Die Ausgrabung von Ufuk Esin klärt besser die keramischen Aspekte. Die Mittelbronzezeit besteht meistens aus scheibengedrehten *grey* und *brown wares*, bemalter Ware vom Beginn des zweiten Jahrtausends und scheibengedrehter, rot überzogener Ware.

LITERATUR: Esin 1972; 1982: 97-98, 116; Russell 1980: 84, 135, Fundort Nr. 276, *Group Z*; Whallon 1979: 182-187, Fundort Nr. O54/2.

48) **Tinazit.**

PROVINZ: Elaziğ.

LAGE: Fundort 1,5 km süd-südwestlich des gleichnamigen Dorfes.

DIMENSIONEN DES FUNDORTES: Ausdehnung: 50x15 m.

ERFORSCHUNGSSYSTEM: *Survey*.

KERAMIK: Vorhandensein der *plain ware* des zweiten Jahrtausends.

LITERATUR: Russell 1980: 83, 135, Fundort Nr. 274.

49) **Tülin Tepe.**

PROVINZ: Elaziğ.

LAGE: Ausgedehnter Hügel von der Straße Elaziğ-Bingöl geschnitten, nordwestlich des Dorfes Arozik.

DIMENSIONEN DES FUNDORTES: Ausdehnung: 260x210 m; Höhe: unbestimmbar.

ERFORSCHUNGSSYSTEM: Die mittelbronzezeitliche Keramik, deren Zuweisung zweifelhaft ist, gehört nur zu den Oberflächenfunden.

LITERATUR: Whallon 1979: 180-182, Fundort Nr. O54/1.

50) **Üyücek Tepe.**

PROVINZ: Elazığ.

LAGE: Hügel 2,5 km südwestlich von Höyükköy, entlang des Euphratufers.

DIMENSIONEN DES FUNDORTES: Ausdehnung: 110x180 m; Höhe: 13-14 m; Höhe über dem Meeresspiegel: 680-690 m.

ERFORSCHUNGSSYSTEM: *Survey*.

KERAMIK: Vorhandensein der mittel-spätbronzezeitlichen Keramik mit *Hittite ware* und *plain simple burnished ware*.

LITERATUR: Özdoğan 1977: 67-68, Fundort Nr. O50/5, Waren 3.3, 3.4.

51) **Yarik Tepe.**

PROVINZ: Elazığ.

LAGE: Kreisförmiger Hügel von der Straße Elazığ-Bingöl geschnitten, nahe dem Fluß Karasu.

DIMENSIONEN DES FUNDORTES: Ausdehnung: 115x110 m; Höhe: 1 m.

ERFORSCHUNGSSYSTEM: *Survey*.

KERAMIK: Vorhandensein der mittelbronzezeitlichen Keramik mit *Old Hittite gray ware*, *Middle Bronze Age gray ware* und *light faced gray ware*.

LITERATUR: Whallon 1979: 216-218, Fundort Nr. O54/11.

52) **Yarım Tepe.**

PROVINZ: Elazığ.

LAGE: *Flache Siedlung* und ein kleiner Hügel etwa 400 m nordöstlich des *Mahalle Abbaslar*, nahe dem *Tohma Çayı*.

DIMENSIONEN DES FUNDORTES: Ausdehnung: unbestimmbar; Höhe über dem Meeresspiegel: 700-720 m.

ERFORSCHUNGSSYSTEM: *Survey*.

KERAMIK: Vorhandensein der mittel-spätbronzezeitlichen Keramik mit *metallic ware*, *Hittite ware*, *plain simple burnished ware*, *coarse ware* und bemalter Ware des *Karakaya-Gebietes*. Diese Keramik ist gewöhnlich sehr fein.

LITERATUR: Özdoğan 1977: 40, Fundort Nr. P50/8, Waren 3.1, 3.3, 3.4, 3.8, 3.9, 3.10.

53) **Mound N 52/10.**

PROVINZ: Elazığ.

LAGE: Kreisförmiger Hügel nahe dem Dorf *Aslanbeyhan*.

DIMENSIONEN DES FUNDORTES: Durchmesser: 100 m; Höhe: 1,5-2 m.

ERFORSCHUNGSSYSTEM: *Survey*.

KERAMIK: Die Besiedlung der Mittelbronzezeit ist nur durch die *Old Hittite gray ware* bestätigt.

LITERATUR: Whallon 1979: 175-176.

54) **Mound N 53/1.**

PROVINZ: Elazığ.

LAGE: Kleiner ovaler Hügel auf dem südlichen Ufer des Flusses *Murat*, nahe dem Dorf *Şıhis*.

DIMENSIONEN DES FUNDORTES: Ausdehnung: 60x40 m; Höhe: 2 m.

ERFORSCHUNGSSYSTEM: *Survey*.

KERAMIK: Die Mittelbronzezeit ist durch die *Middle Bronze Age gritty ware* vertreten.

LITERATUR: Whallon 1979: 177-178.

55) **Mound O 54/9.**

PROVINZ: Elazığ.

LAGE: Kleiner und flacher, ovaler Hügel unmittelbar nahe der Siedlung von *Norşun Tepe* (Vgl. Fundort Nr. 40).

DIMENSIONEN DES FUNDORTES: Ausdehnung: 70x75 m; Höhe: 0,5 m.

ERFORSCHUNGSSYSTEM: *Survey*.

KERAMIK: Der Mittelbronzezeit sind wenige Keramikfragmente zuzuschreiben, unter diesen *Old Hittite gray ware* und *Old Hittite light faced gray ware*.

LITERATUR: Whallon 1979: 211-213.

56) **Mound O 54/19.**

PROVINZ: Elazığ.

LAGE: Kleiner ovaler Hügel nahe dem Dorf *Kıraç*.

DIMENSIONEN DES FUNDORTES: Ausdehnung: 50x30 m; Höhe: 0,5-1 m.

ERFORSCHUNGSSYSTEM: *Survey*.

KERAMIK: Vorhandensein der mittelbronzezeitlichen Keramik mit *Old Hittite gray ware*.

LITERATUR: Whallon 1979: 228-229.

10.2 VERBREITUNG UND TYPOLOGIE DER SIEDLUNGEN

Die meisten Siedlungen der Provinz Elaziğ liegen in der Ebene von Altinova, in der Provinz Malatya liegen sie in erster Linie am Ufer des Euphrat und einiger Nebenflüsse. Es mag wahr sein, daß diese räumliche Verteilung das Ergebnis gezielter Nachforschungen ist, aber es ist auch wahr, daß gerade diese Zonen noch heute optimale Bedingungen für eine Besiedlung bieten.

Bis heute wurden in der Region Malatya-Elaziğ insgesamt 56 der ersten Hälfte des zweiten Jahrtausends zuzuschreibende Siedlungen erkannt, 41 werden der vorangehenden Periode der Frühbronzezeit III zugeschrieben. Dies bedeutet, daß in der Mittelbronzezeit mehr Land besiedelt worden war. An 23 der 56 Fundorte konnte man eine Kontinuität von der Frühbronzezeit III zur Mittelbronzezeit nachweisen. Es ist zu vermuten, daß nicht alle Siedlungen im Laufe des gesamten halben Jahrtausends gleichzeitig bewohnt waren. Wenn man jedoch Vergleiche mit der Frühbronzezeit anstellt, die sich ebenfalls mehr oder weniger über ein halbes Jahrtausend erstreckt, so kann die Siedlungsintensivierung auf jeden Fall bestätigt werden. In der Provinz Malatya sind 22 Siedlungen aus der Mittelbronzezeit und 19 aus der Frühbronzezeit III, in der Provinz Elaziğ 34 aus der Mittelbronzezeit und 22 aus dem davorliegenden Zeitraum (Abb. 10.2).

Auch die Siedlungen der Frühbronzezeit III in der Provinz Malatya befinden sich in erster Linie an den Ufern des Euphrat. Nur zwei Hügel, Arslantepe und Furuncu, sind weiter vom Fluß entfernt, die Gegend ist jedoch reich an Wasserquellen. In der Provinz Elaziğ liegen die meisten Siedlungen aus der zweiten Hälfte des dritten Jahrtausends in der Ebene von Altinova in einiger Entfernung vom Euphrat, andere Siedlungen liegen in der Ebene von Aşvan am Euphrat und an dessen Nebenflüssen¹. Das Verteilungsschema der Siedlungen scheint sich also von der Frühbronzezeit III bis zur Mittelbronzezeit nicht erheblich zu ändern.

Wenn wir die räumliche Ausdehnung der Siedlungen in der Mittelbronzezeit in der ganzen Region betrachten (Abb. 10.3), dann finden wir 24 Fundorte, die sich über weniger als einen Hektar erstrecken, 16 Fundorte zwischen 1 und 2 Hektar, 5 Fundorte zwischen 2,1 und 3 Hektar und 8 Orte, die sich über mehr als 3 Hektar erstrecken²; in der Provinz Malatya sind 8 Fundorte kleiner als 1 Hektar (Abb. 10.4), 7 Fundorte zwischen 1 und 2 Hektar, 4 zwischen 2,1 und 3 Hektar und nur 2 Fundorte größer als 3 Hektar. In der Provinz Elaziğ sind 16 Fundorte kleiner als 1 Hektar, 9 Fundorte zwischen 1 und 2 Hektar, nur ein Fundort zwischen 2,1 und 3 Hektar und mindestens 6 größer als 3 Hektar.

¹ Conti, Persiani 1993: 399.

² Die Ausdehnung der einzelnen Fundorte wurde anhand der Verbreitung der Oberflächenfunde von Keramik, sofern Daten dafür vorliegen, anhand der Ausdehnung der Ausgrabungsstätte mit Kontexten aus der Mittelbronzezeit oder in den Fällen, in denen spezifische Daten fehlen, anhand der Dimensionen des gesamten Hügels berechnet. Wir wissen, daß hiermit nicht die effektive Größe der Siedlungen in der Mittelbronzezeit feststeht, da bei der Entwicklung eines Tell auch anderen historische Perioden in die Bildung der archäologischen Ablagerungen einfließen, aber auf der Grundlage der heute vorliegenden Daten erweist es sich als schwierig oder auch unmöglich, die wahre Dimension der Fundorte in den einzelnen Perioden festzustellen.

10. Siedlungsarchäologie im Malatya-Elazığ-Gebiet

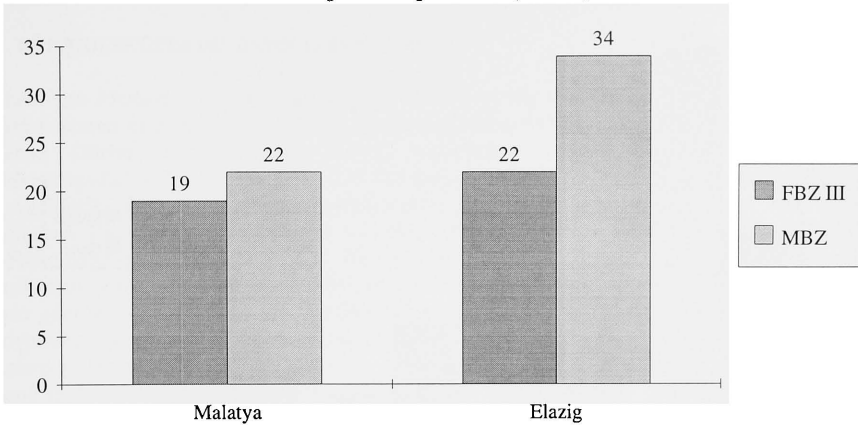


Abb. 10.2 - Anzahl der Fundorte der Frühbronzezeit III und der Mittelbronzezeit im Gebiet Malatya und Elazığ.

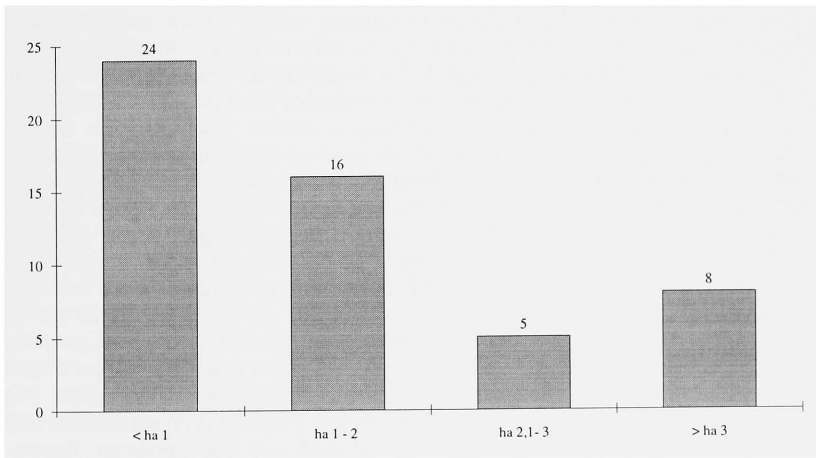


Abb. 10.3 - Ausdehnung der Siedlungen der Mittelbronzezeit im Malatya-Elazığ-Gebiet.

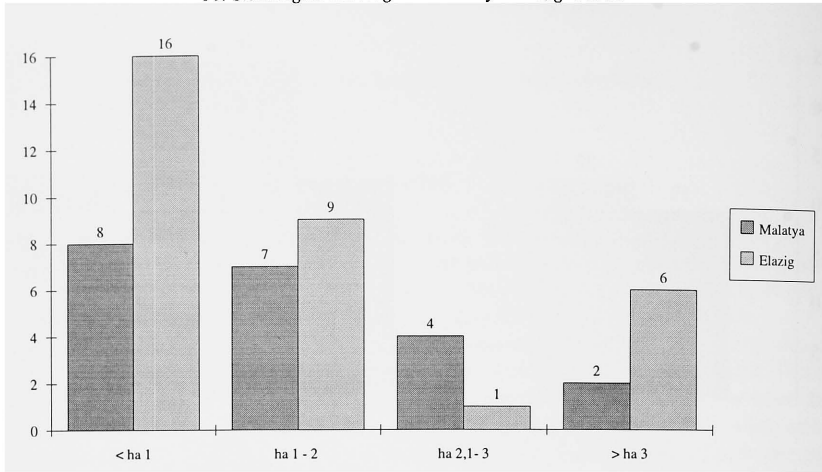


Abb. 10.4 - Ausdehnung der Siedlungen der Mittelbronzezeit im Gebiet Malatya und Elazığ.

Wenn wir die Situation in der vorhergehenden Periode der Frühbronzezeit III betrachten, so können wir feststellen, daß auch hier die größten Fundorte vor allem in der Altinova-Ebene liegen, während um Malatya nur zwei Siedlungen mit größerer Dimension gefunden wurden. Es ist möglich, daß einige dieser Siedlungen bereits im dritten Jahrtausend in dieser Region eine führende Rolle gespielt haben. In Norşun Tepe und in Korucutepe wurden Monumentalgebäude aus der zweiten Hälfte des dritten Jahrtausends gefunden, die vermutlich nicht als Wohngebäude verwendet wurden³, unter anderem ein palastartiges Gebäude mit Lagerräumen voller Pithoi auf der Akropolis in Norşun Tepe. Auch in Arslantepe fand man Räumlichkeiten mit besonderer Funktion und eine monumentale Umfassungsmauer. Diese drei Siedlungen dürften zusammen mit Tepecik eine Hegemonialstellung mit besonderen Funktionen für die gesamte Region eingenommen haben.

In der Mittelbronzezeit sieht die Situation ähnlich aus, auch wenn die archäologischen Daten weniger auffällig sind. Die Siedlungen Norşun Tepe und Korucutepe sind befestigt und in anderen Fundorten, wie Tepecik und vermutlich Arslantepe, finden wir Spuren von handwerklicher Tätigkeit. Möglich ist, daß auch im Laufe der ersten Hälfte des zweiten Jahrtausends einige der Fundorte besondere, womöglich eine dominierende Funktion eingenommen haben und spezifische Produktionstätigkeiten ausübten. In Arslantepe ist vermutlich der wichtigste Kern der Siedlung noch nicht ausgegraben worden, Funde aus der Mittelbronzezeit konnten jedoch im gesamten Areal gefunden werden. Daraus kann man schließen, daß es sich hier um einen der größten Fundorte der Umgebung handelte. Der schematischen Darstellung der Siedlungen in den beiden Provinzen Malatya und Elazığ kann man trotz der bereits beschriebenen Ungenauigkeit entnehmen, daß einige Ortschaften eine vorrangige Stellung einnahmen, obwohl aus der gesamten Region keine Siedlungskonzentrationen nachzuweisen sind (die Ausdehnung der einzelnen Ortschaften erscheint als ein *continuum*, keine der Ortschaften hebt sich durch eine besondere Größe hervor).

Die vorliegenden Daten sind jedoch zu lückenhaft, um daraus Schlüsse über die soziale und wirtschaftliche Struktur der gesamten Region ziehen zu können oder darüber, ob die Hierarchie der Siedlungen auch auf übergreifende politische Organisationen hinweist.

³ Hauptmann 1976: Tafel 59,1; Van Loon (Hrsg.) 1978: Tafel 24 - 29.

10.4 HYPOTHESE ÜBER DIE BEVÖLKERUNGSDICHTE

Die heutigen Methoden der Archäologie zur Schätzung der Bevölkerungszahlen einer bestimmten Region basieren in erster Linie auf ethnoarchäologischen Studien. Aus einer Untersuchung, die 53 moderne Dörfer in Khuzestan betraf, entnehmen einige Autoren, daß die mittlere Bevölkerungsdichte der Region 223–231 Personen pro Hektar beträgt⁴. Dies wurde errechnet unter der Annahme, daß die Bevölkerungsschwankungen direkt proportional seien zur Größe der Ortschaften. Die Umweltbedingungen, wie etwa Orographie, Flussläufe, klimatische Bedingungen, die Höhenlage und die natürlichen Ressourcen und nicht zuletzt die sozialen Erfordernisse beeinflussen jedoch in erheblichem Maße die Struktur der Ansiedlungen. Unter einem solchen Aspekt geht aus den 1966-69 durchgeführten Arbeiten der Bestandsaufnahme und der Analyse der Ausdehnung einiger Dörfer in den Zagros-Bergen ein anderes Bild hervor, hier werden 86-147 Personen je Hektar gezählt. Die sozialen, wirtschaftlichen und die Umweltcharakteristiken dieser Gegend sind mit denen der Hochebenen in Anatolien vergleichbar, so daß ein Schätzwert von 100-200 Personen je Hektar in letzterem Gebiet angemessener erscheint⁵.

Schätzwerte über die heutige Bevölkerungszahl auf die Vergangenheit zu übertragen ist nur schwer vertretbar, wenn dies nicht auf der Grundlage spezifischer und archäologisch bestätigter und erkennbarer Indikatoren und einer umfassenden Auswertung aller Variablen geschieht. Die Ausdehnung einer archäologischen Siedlung liefert, selbst wenn diese mit Sicherheit festgestellt werden konnte, nicht unbedingt exakte Daten über die Bevölkerungsdichte des gleichen Ortes. Man braucht hierzu die Daten über Dichte, Größe und Charakteristika der Wohneinheiten, darüber, ob und in welchem Umfang unbewohnte Areale vorhanden waren, und weitere Informationen über die Funktion des Raumes in der Ansiedlung. Weiterhin muß bedacht werden, daß die Siedlungen eines bestimmten Gebietes nicht unbedingt im Laufe des gesamten halben Jahrtausends alle gleichzeitig bewohnt waren. Was uns in diesem Zusammenhang trotz aller Unsicherheiten dieser Methode interessiert, ist nicht eine genaue Schätzung der Einwohnerzahlen, sondern auf der Grundlage einer vernünftig erscheinenden Größenordnung einen Vergleich der Bevölkerungszahlen der Region in den beiden zur Debatte stehenden Perioden, der Frühbronzezeit III und der Mittelbronzezeit aufzustellen.

Ausgehend von 100-200 Personen je Hektar kann man für das Gebiet eine Bevölkerung von 4000-8000 Personen in der Frühbronzezeit III (Abb. 10.5) errechnen, 1800-3600 davon lebten um Malatya, 2200-4400 um Elazığ⁶. Das besiedelte Gebiet während der Mittelbronzezeit erstreckte sich über etwa 92 Hektar mit einer Bevölkerung von 9.200-18.300 Personen. Die Siedlungen um Malatya erstrecken sich über 30 Hektar, die Bevölkerung wird auf etwa 2.900-5900 Personen geschätzt, um Elazığ lebten 6.300-12.400 Einwohner auf etwa 62 Hektar (Abb. 10.6). Während der Mittelbronzezeit kann man also für die Region von Malatya-Elazığ einen Mittelwert von 164-326 Einwohnern je Siedlung annehmen, wobei die Fundorte um Malatya dünner besiedelt waren (132-268 Einwohner je Siedlung gegenüber 185-364 pro Siedlung in der Umgebung von Elazığ). Hiermit wäre eine größere Bevölkerungsdichte in der Provinz Elazığ bestätigt, wo die Fundorte sich insbesondere in der Altinova-Ebene häufen.

⁴ Adams, Nissen 1972: 29.

⁵ Kramer 1982: 158; Watson 1979: 281.

⁶ Conti, Persiani 1993: 402-405.

10. Siedlungsarchäologie im Malatya-Elazığ-Gebiet

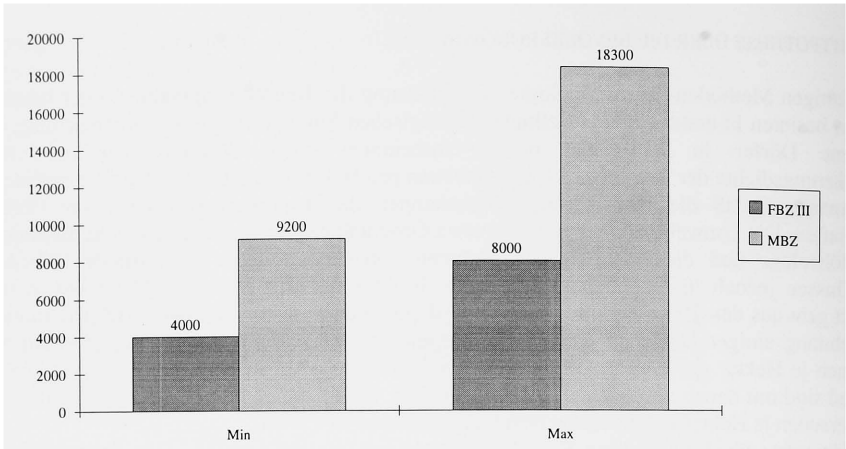


Abb. 10.5 - Minimaler und maximaler Schätzwert der Bevölkerung im Gebiet von Malatya und Elazığ in der Frühbronzezeit III und in der Mittelbronzezeit, unter der Annahme von 100-200 Personen je Hektar.

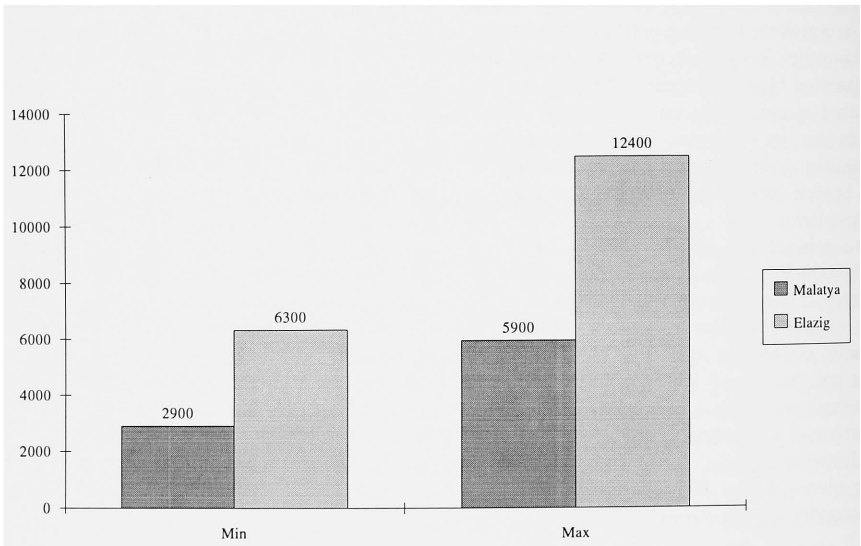


Abb. 10.6 - Minimaler und maximaler Schätzwert der Bevölkerung während der Mittelbronzezeit im Gebiet Malatya und Elazığ.

Die Siedlungen um Malatya sind dagegen auf einem größeren Raum verteilt. Man kann auch feststellen, daß zwischen der Mitte des dritten Jahrtausends und der ersten Hälfte des zweiten Jahrtausends in der gesamten Region nicht nur die Zahl der Siedlungen zunimmt, sondern auch die der Bevölkerung selbst. Die für die Mittelbronzezeit errechneten Werte, die vermutlich unterschätzt wurden, liegen nur um wenige Punkte unter denen, die aus der Volkszählung von 1966-69 in den heutigen Dörfern bei Aliabad im Zagros-Gebirge resultieren. Diese Gegend weist unter geographischen Gesichtspunkten und unter denen der niedrigen Bevölkerungsdichte mehr Analogien zur Hochebene in Anatolien auf, als die Schwemmlandebene in Süd-Mesopotamien. Für 41 Dörfer wird eine Bevölkerung von 14.161 Einwohnern mit durchschnittlich 345 Personen je Dorf errechnet⁷.

Ein Vergleich dieser Werte mit denen der Spätbronzezeit wäre wünschenswert, nur ist das heute vorliegende Material nicht ausreichend, um ein realistisches Bild über die Bevölkerung in der Region von Malatya-Elaziğ während der zweiten Hälfte des zweiten Jahrtausends v. Chr. aufzustellen.

⁷ Kramer 1982: 159.

11. HISTORISCH-ARCHÄOLOGISCHE ASPEKTE ZUM BEGINN DES ZWEITEN JAHRTAUSENDS V. CHR. ABSCHLIESSENDE BEMERKUNGEN

Weder die Feldbegehungen noch die systematischen Ausgrabungen haben für die Provinzen von Malatya und Elaziğ schriftliche Dokumente geliefert, die ein Licht auf die historischen Ereignisse, in die diese Region zu Beginn des zweiten Jahrtausends verwickelt wurde, werfen könnten. Der größte Teil der Quellen dieser Epoche stammt aus den Archiven der altassyrischen Handelsniederlassungen von Kültepe-Kaniš/Neša, aus Boğazköy-Hattuša und vom Alişar Hüyük. Wichtig ist außerdem die Dokumentation, die von den gleichzeitigen und reichen Verwaltungs- und Briefarchiven des Königspalastes von Mari geboten wird.

Mit dem ersten Viertel des zweiten Jahrtausends zeichnet sich im Vorderen Orient ein gegliedertes Bild der historisch-ökonomischen Geschehnisse ab, vertreten durch das altassyrische Handelssystem. Dieses Phänomen umfaßt ein ausgedehntes Territorium, das von der anatolischen Hochebene über die syro-mesopotamischen Steppenregionen bis zu so weit entfernten Gebieten wie Afghanistan, der iranischen Hochebene und Südmesopotamien reicht¹.

Durch den Machtzerfall der III. Dynastie von Ur um 2000 v. Chr., die eine staatliche Organisation, durch eine stark zentralistische Struktur gekennzeichnet, darstellt, entstehen autonome Zentren mit starken Handelskapazitäten. Tatsächlich zeichnet sich die Geburt zahlreicher kleiner politischer Einheiten, wie Stadtstaaten oder Staaten mit einem wenig ausgedehnten Territorium, ab, in denen ein Bürokratiemodell "imperialen" Typs ersetzt wird durch ein System, in dem der privaten Initiative eine größere Bedeutung zukommt. In diesem Zusammenhang nimmt die Stadt von Assur, die am mittleren Tigrislauf lokalisiert ist, eine vorherrschende Rolle innerhalb eines Handelssystems von weiträumigen Umfang ein. Die Tausende der Tontäfelchen, die in den Privatarchiven der altassyrischen Händler von Kültepe-Kaniš bei Kayseri, entdeckt wurden, werfen ein Licht auf das Wesen dieses Handels. Die Händler der verschiedenen Städte sind in einem karum organisiert, ein Terminus, der sowohl einen Stadtteil, der für die Händler bestimmt ist, als auch das theoretische Konzept der Gemeinschaft definiert. Der Handelsaustausch, hauptsächlich finanziert durch private Investoren aus Assur, wird gehalten durch ein dichtes Netz von Vereinbarungen und Bündnissen, die mit den unzähligen lokalen Einheiten, die häufig untereinander in Konflikt stehen, abgeschlossen wurden². Die in erster Linie gehandelten Güter sind Metalle, Kupfer und Zinn, Webprodukte aus südmesopotamischen Werkstätten sowie besondere landwirtschaftliche Güter, wie Öl, Gewürze und aromatische Waren im allgemeinen (Abb. 11.1-3).

Vereinfachend kann der altassyrische Handel auf die folgende Art zusammengefaßt werden: das Zinn, mit afghanischer oder iranischer Herkunft, sowie die Webprodukte, die wahrscheinlich Luxusgüter hauptsächlich aus den Städten von Ur und Lagash darstellen, werden mit Karawanen von Assur nach *Kaniš* geschickt, um dort im Tausch für Silber verkauft zu werden, das seinerseits nach Assur zurückkehrt und dort für weitere Zinn- und Textiladungen reinvestiert wird. Auch das

¹ Für eine Zusammenfassung dieser Argumente vgl.: Garelli 1963; Orlin 1970; Larsen 1976; Veenhof 1972; Gunter 1980; Liverani 1988: 351-371; Di Nocera, Forlanini 1992: 15-18.

² Kienast 1984.

anatolische Kupfer, das wahrscheinlich aus Ergani-Maden³ oder aus den pontischen Regionen stammt, muß in diesen Handelskreislauf eingetreten sein. Die Aktivität der altassyrischen Händler konzentriert sich hauptsächlich in den anatolischen und nordsyrischen Zentren, wobei die Stadt von Assur als Handelszentrum und Umschlagplatz für Güter, auch aus sehr weit entfernten Gegenden, fungierte⁴.

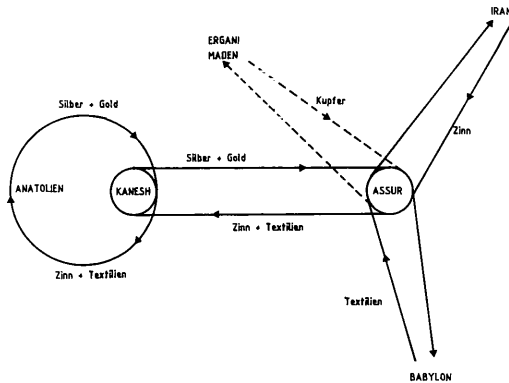


Abb. 11.1 - Schema des altassyrischen Handelssystems (nach Larsen 1987).

Auf der Grundlage der Untersuchung der historischen Geographie, haben einige Autoren ihre Forschungen ausgerichtet auf die Identifizierung der Karawanenstraßen, die die altassyrischen Händler genommen haben müssen, um von der Stadt Assur aus *Kanish* zu erreichen. Wenn auch einige dieser Wege wirklich plausibel erscheinen, bringen andere wegen der Unsicherheit der Übersetzung und der Interpretation von Schlüsselworten bezüglich der Handelsgüter und wegen der fehlenden Übereinkunft unter den Spezialisten in Bezug auf die geographische Lokalisierung einiger wichtiger, zitierter Städte und Regionen Probleme mit sich⁵. Die erste Teilstrecke, um *Kanish* zu erreichen, geht von Assur aus anfangs den Tigris aufwärts und setzt sich wahrscheinlich in Richtung Tell Leilan im Becken des Habur fort, der mit der Stadt von Shubat-Enlil identifiziert wurde. Die Überquerung des Euphrats erfolgte durch die Furten bei Birecik oder Samsat mit einer darauf entweder weiter südlicheren Fortführung nach Gaziantep oder einer nördlicheren in Richtung Elbistan. Diese Strecke ist auf der Basis einer reicheren Textdokumentation rekonstruiert worden⁶. Die von einigen Autoren vorgeschlagenen Wege für eine Euphratüberquerung in nördlichen Gebieten, wie zum Beispiel bei Malatya, sind weit davon entfernt, eine konkrete Bestätigung zu finden⁷.

³ Die Ausbeutung der reichen Kupferminen von Ergani (Arghana, Arsinia) ist durch die assyrischen Quellen mit Sicherheit erst für dem Beginn des ersten Jahrtausends v. Chr. belegt. Vgl.: Hauptmann 1969-70: 23, Anmerkung 11.

⁴ Larsen 1987: 49-53; Dercksen 1996.

⁵ Lewy 1947; Goetze 1953; Nashef 1987; 1991. Für eine neue Synthese und Kritik der Forschungen über die altassyrischen Handelswege vgl.: Beitzel 1992.

⁶ Liverani 1988: 364-365.

⁷ Bilgiç 1945-51: 28; Orlin 1970: 42-43; Mellaart 1982: 30; Hauptmann 1969-70: 23, Anmerkung 9; Beitzel 1992: 56.

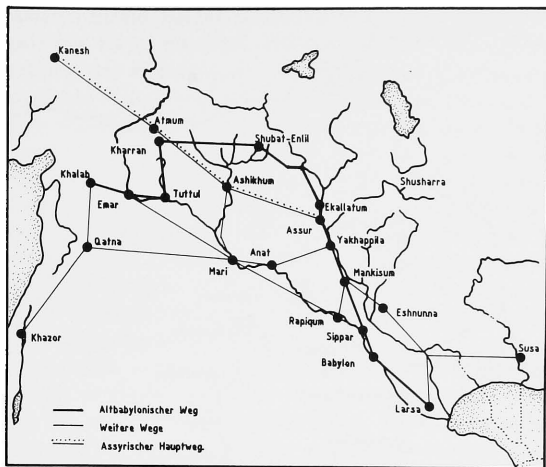


Abb. 11.2 - altassyrische und altbabylonische Handelswege (nach Liverani 1988: 359, Abb. 67).

Das altassyrische System gliedert sich im Territorium in etwa zwanzig Orte mit "Handelsstationen", *karum*, und weniger wichtige Plätze, *wabartum*⁸. Die Quellen zitieren wenigstens ca. dreißig lokale, miteinbezogene Stadtstaaten, aber trotz dieses Reichtums an Belegen sind wir noch nicht in der Lage, den Umfang und den Grad der Bedeutung dieser Handelsaktivitäten auf regionaler Ebene festzulegen. Darüber hinaus ist es noch schwierig, die Auswirkungen des öffentlichen und des privaten Sektors in diesem Austauschsystem zu verstehen. Aber es ist möglich intuitiv zu erkennen, daß das altassyrische Phänomen auf alle Fälle von ausgedehnter Reichweite war⁹. Die archäologischen Zeugnisse in Kültepe-Kaniš, dem wichtigsten anatolischen Ort für diese Epoche und Sitz eines umfangreichen Viertels assyrischer Händler entlang der Unterstadt, sind bemerkenswert¹⁰.

Die Schicht II des *karums*, die chronologisch dem ersten Viertel des zweiten Jahrtausends v. Chr. zugeschrieben werden kann, ist charakterisiert durch weiträumige Wohngebiete mit einem Straßennetzsystem, das für die Durchfahrt kleiner Wagen geeignet ist. Handwerkliche Läden und Werkstätten sind im zentralen Bereich des *karums* zusammengruppiert, während an verschiedenen anderen Punkten der Stadt Gebäude mit dem typischsten und vielleicht gewöhnlichsten Grundriß von Kültepe liegen, der gekennzeichnet ist durch einen mehr oder weniger rechteckigen Hauptraum, der sich zu zwei kleineren Räumen hin öffnet. Jedes Haus ist völlig unabhängig und besitzt einen Ofen, ein Kohlenbecken sowie eine Plattform für die Herdstelle. Im allgemeinen sind die Behausungen in drei Teile untergliedert: der erste dient als Verwaltungsbereich, der zweite hat häusliche Funktionen, der dritte fungiert als Magazin und Archiv. Diese Häuser, aus denen tausende beschriebener Tontäfelchen stammen, sind jenen der lokalen Bevölkerung nicht unähnlich, man

⁸ Der Terminus *wabartum* kann eine ähnliche Bedeutung wie jener des *karums* annehmen, man kann aber trotzdem vermuten, das unter *wabartum* eine kleinere Siedlung zu verstehen ist und die wahrscheinlich teilweise der Autorität eines nahen *karums* untersteht. Zu diesen Problemen vgl.: Larsen 1976: 236.

⁹ Larsen 1987: 48.

¹⁰ Özgüç 1950; Özgüç T., Özgüç N. 1953; Balkan 1955.

11. Historisch-archäologische Aspekte zum Beginn des 2. Jahrtausends v. Chr.

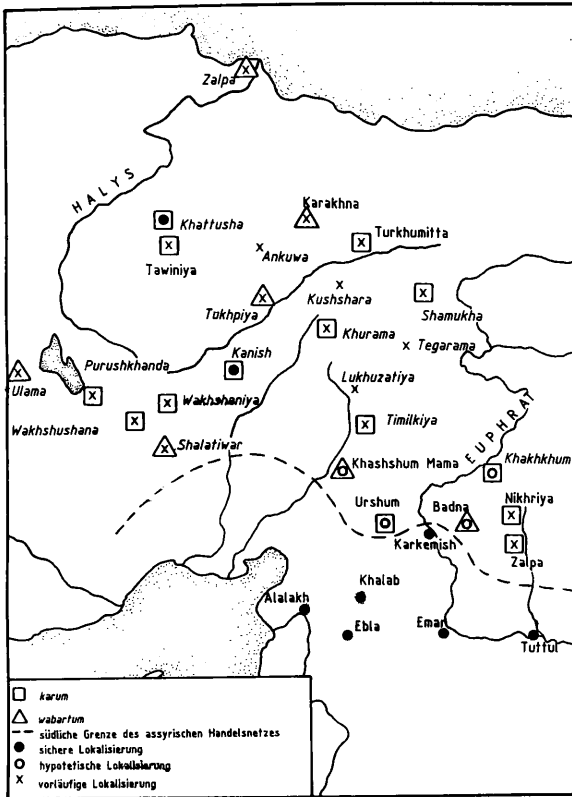


Abb. 11.3 - Die altassyrische Zeit in Anatolien (nach Liverani 1988: 369, Abb. 68).

kann dagegen behaupten, daß die verwendeten architektonischen Formen fest anatolisch sind¹¹. Die Gesamtheit der archäologischen Zeugnisse der Schicht II von Kültepe zeigt keinen kulturellen Zwang gegenüber der lokalen Bevölkerung von Seiten der assyrischen Mitbewohner. Unter der Keramik setzen sich tatsächlich Waren fort, die traditionell dem anatolischen Repertoire verbunden sind. Bedeutsam ist eine rot überzogene Ware, die durch sehr komplexe und elegante Formen vertreten ist, unter denen sich *Schnabelkannen* und Behälter auf hohem Fuß, neben zoomorphen Formen und Typen mit besonders ausgearbeiteten Profilen befinden¹². Die echte importierte Keramik ist sehr selten, während Elemente, die mit dem nordsyrischen und dem nordmesopotamischen Gebiet verglichen werden können, vorhanden sind. All das unterstreicht, daß die altassyrische Präsenz in Anatolien insbesondere den Handel zum Ziel hatte und nicht die kulturelle Assimilierung oder die territoriale Eroberung, und daß das archäologische Belegmaterial allein kein so gegliedertes historisches Bild hätte geben können, wie es durch die schriftlichen Quellen umrissen wird.

¹¹ Özgüç 1964: 35-36; 1986: 1-15; Larsen 1987: 55. Die mit Kültepe vergleichbaren Strukturen sind jene der Siedlung von Acemhöyük: Özgüç 1966.

¹² Emre 1963: Abb. 10, 13; Özgüç 1986: Tafel B, 1-13.

Die Region von Malatya-Elaziğ nimmt bei dieser komplexen Abfolge von Ereignissen eine gänzlich marginale Rolle ein. Es ist plausibel, daß Orte wie der Arslantepe und der Norşun Tepe Karawanestationen entlang der Handelswege der altassyrischen Händler darstellten¹³, aber die darauf bezogenen schriftlichen Belege sind bisher noch völlig unzureichend. Die Archäologie kann diese Lücke nur teilweise auffüllen. Durch die Ausgrabungen in dieser Gegend wurden befestigte Siedlungen, wie der Norşun Tepe und der Korucutepe, mit hervorragenden Gebäuden, wie auf dem Norşun Tepe, aufgedeckt, was an das Vorhandensein lokaler *élites* denken lassen könnte, aber auf dem Arslantepe ist diese Art von Strukturen bis jetzt nicht belegt. Durch die Keramik ist es möglich, eine enge regionale Verbreitung vieler keramischer Waren und Typen abzuleiten. Die *scheibengedrehte, rot überzogene Ware* und jene *handgemachte, bemalte Ware*, die durch geometrische Muster charakterisiert ist, sind zum Beispiel zwei Waren, die in der ganzen Region ziemlich homogen sind. Wahrscheinlich verbreiten lokale "Handwerkerläden" oder Wandertöpfer ihre Waren an vielen Orten der Ebene von Malatya und von Altunova, aber nicht außerhalb dieses Umkreises. Die *scheibengedrehte, rot überzogene Ware* weist viele Manufakturaffinitäten mit jener in Kültepe ausgegrabenen Keramik auf, aber das Formenrepertoire erweist sich als völlig unterschiedlich. Kültepe hat, wie wir schon gesehen haben, eine komplexe Typologie, wohingegen sich die Typen vom Arslantepe, die dieser Ware zugeordnet wurden, hauptsächlich auf offene Formen beschränken, in einigen Fällen mit geknickter Schulter, und nur zwei Scherben konnten wahrscheinlich einer *Schnabelkanne* zugeschrieben werden (Tafel 28, Nr. 4-5). Es ist wichtig, jene Ware, die die echte Keramik des *karums* darstellt, die in der assyrischen Kolonie von Kültepe fabriziert und gebraucht wurde von derjenigen zu unterscheiden, die eine lokale Ausführung der sogenannten *plain red ware* ist und die an und für sich kein Hinweis auf altassyrische Handelsaktivitäten ist¹⁴. Die geometrischen Muster der bemalten Ware können an den dekorativen Stil der "kappadokischen" Keramik erinnern, aber auch in diesem Fall erweist sich die Ausarbeitung als völlig lokal, wobei sie jene Tradition in der bemalten Keramik fortsetzt, die sich nur sehr selten im Westen verbreitet und die typisch für die Frühbronzezeit III ist.

Bei den keramischen Waren lassen sich einige offensichtliche Unterschiede zwischen den Orten der Altunova und dem Arslantepe beobachten. Auf dem Norşun Tepe, dem Korucutepe und dem Tepecik ist zum Beispiel eine graue Keramik gut belegt, die, in einigen Fällen auch fälschlich, als *metallische dunkelgraue Ware* definiert wird¹⁵ und die nur eine weit entfernte Ähnlichkeit mit der älteren syrischen *metallic ware* zeigt¹⁶. Von dieser Keramik sind nur selten Bruchstücke auf dem Arslantepe vorhanden. Man kann jedenfalls annehmen, daß die Gebiete von Malatya und Elaziğ eine grundlegende kulturelle Homogenität offenbaren, auch wenn lokale Elemente der Unterscheidung zu erkennen sind.

Im keramischen Material vom Arslantepe kann man allgemeine Affinitäten mit dem zentralanatolischen Gebiet beobachten, während aber größere Übereinstimmungen vielleicht mit den Territorien im Süden des Taurus und im allgemeinen mit der nordsyrischen Tradition anzutreffen sind. Dennoch trägt diese Siedlung gemeinsam mit zahlreichen anderen Orten der Region zur Bildung einer autonomen, lokalen Kultur bei. Auf der Grundlage des heutigen archäologischen Kenntnisstandes ist Malatya lediglich eine periphere Gegend, vielleicht ein Grenzgebiet bezüglich des komplexen altassyrischen Handelsphänomens. Die marginalen Einflüsse, die untereinander ständig auf aktive Weise interagieren, von und zu anderen Gegenden sowie die zahlreichen regionalen Verbindungen, die zwischen dem Arslantepe und den Orten der Altunova beobachtet wurden, umreißen die Charakterzüge einer grundsätzlich unabhängigen Kultur. Aber

¹³ Palmieri 1969b: 65; Hauptmann 1969-70: 23, Anmerkung 23.

¹⁴ Brown 1967: 125, Anmerkung 15.

¹⁵ Hauptmann 1969-70: 41; 1972: 108; Özdoğan 1977: 11.

¹⁶ Kühne 1976: 58-72.

diese kulturelle Autonomie bedeutet nicht Isolation. Mit dem Beginn des zweiten Jahrtausends werden verschiedene zentralanatolische und nordsyrische Elemente von der lokalen Kultur, die sich als offen gegenüber den äußeren Beiträgen und Anregungen erweist, assimiliert und umgestaltet.

Mit der Entstehung neuer *élites* und der Geburt der befestigten Zentren der Spätbronzezeit I dehnt sich die hethitische Expansion aus und erreicht die Ebene von Malatya. Die kulturelle Ordnung, die bisher beschrieben wurde, ändert sich zu dieser Zeit radikal, wodurch dieses Territorium in den zentralanatolischen Einflußbereich gebracht wird.

RIASSUNTO

Uno dei grandi progetti archeologici dell'Università di Roma "La Sapienza" è lo scavo di Arslantepe, un *tell* localizzato a circa 6 km a nord-est di Malatya in Turchia centro-orientale. Trentacinque anni di scavi sistematici hanno offerto l'opportunità di stabilire una lunga ed articolata sequenza di abitati, che rappresentano oggi un punto di riferimento importante per la cronologia e per gli sviluppi culturali durante il IV e il III millennio a.C. in Anatolia e nel Vicino Oriente. Il rinvenimento di architettura pubblica monumentale con segni evidenti di centralizzazione economica, politica e religiosa, ha riguardato solo alcune fasi della storia del sito, ma la sua centralità nella regione sembra indiscutibile anche in quei periodi per cui lo scavo non ha restituito testimonianze archeologiche altrettanto straordinarie.

Questo studio intende far luce su di un periodo ancora poco conosciuto nella regione di Malatya-Elazığ, quello cioè relativo all'inizio del secondo millennio a.C. Se per i territori dell'Iraq, della Siria settentrionale e dell'Anatolia centrale questo periodo rappresenta un momento storico importante per il notevole impulso fornito alle attività commerciali su vasta scala coordinate dai mercanti paleoassiri e documentate da significative testimonianze scritte oltre che archeologiche, la zona di Malatya sembra al contrario restituire una documentazione poco vistosa e difficilmente interpretabile. Quello che si propone in questo lavoro è di capire il ruolo assunto da quest'area ed in particolare dall'abitato di Arslantepe in un momento cruciale di sviluppo delle società del Vicino Oriente in seguito alla caduta della terza dinastia di Ur alla fine del terzo millennio. Arslantepe, come tutti gli altri siti dell'area di Malatya, non ha restituito documenti scritti, per cui l'archeologia e i metodi paleontologici risultano ancora gli unici strumenti efficaci di ricostruzione storica.

Il Bronzo Medio, periodo successivo al Bronzo Antico III della regione, comprende un arco di tempo tra la fine del terzo millennio e l'inizio dell'affermazione del potere hittita in Anatolia intorno al 1600 a.C. L'obiettivo di questa ricerca, condotto attraverso l'analisi della stratigrafia, dell'architettura e della ceramica di Arslantepe, è quello di descrivere i caratteri dell'insediamento in relazione all'occupazione del territorio circostante e di comprendere il ruolo del sito nel quadro delle relazioni interregionali. Lo scavo ha messo in luce una sequenza stratigrafica complessa, ma le tracce architettoniche risultano per lo più incomplete e fortemente danneggiate. Il materiale mobile, inoltre, è frammentario e contribuisce ad aumentare le difficoltà per una corretta interpretazione dell'intero complesso archeologico. Questa indagine, che riassume i risultati delle campagne di scavo del 1972, del 1987 e del 1988, in cui sono stati indagati i livelli di questo periodo, punta soprattutto a chiarire le relazioni stratigrafiche dei livelli archeologici attribuiti al Bronzo Medio, a presentare le caratteristiche del materiale ceramico ed infine a fornire un primo quadro cronologico in relazione ai rapporti esterni in ambito regionale. Il bilancio conclusivo non può essere definitivo. Fin quando nuove aree della collina con livelli archeologici di questo periodo in miglior stato di conservazione rispetto a quelli finora conosciuti non verranno individuate e scavate in estensione, sarà difficile fornire un'immagine esauriente dell'occupazione durante il Bronzo Medio. Quello che si è tentato di adottare, in un quadro delle testimonianze archeologiche così lacunoso, è un metodo di ricerca che ha privilegiato la lettura e l'interpretazione di dettaglio della stratificazione archeologica e del suo contenuto.

La maggior parte delle testimonianze relative a questo periodo sono state messe in luce nell'area sud-occidentale della collina. La stratigrafia, già complessa, è stata alterata da decine di pozzetti e l'architettura si limita a poche strutture complete. Non è possibile, pertanto, stabilire i criteri urbanistici o l'estensione effettiva dell'occupazione.

Dall'analisi stratigrafica e dalla descrizione delle singole strutture architettoniche sembra che l'insediamento di Arslantepe durante il Bronzo Medio abbia subito un cambiamento rispetto al periodo immediatamente precedente. L'intera area di scavo è occupata per la maggior parte da rare strutture isolate in cattivo stato di conservazione, ad eccezione per la fase recente dove sono presenti due ambienti rettangolari sovrapposti con focolare centrale (A58 e A456). Il resto dell'architettura è costituito soprattutto da semplici superfici pavimentali, riferibili spesso a cortili o aree aperte, con vaschette e frammenti di focolare.

E' possibile che A58 sia stato un ambiente attribuibile ad una grande struttura abitativa, con funzioni di immagazzinamento domestico come è indicato dalla presenza di grandi recipienti per derrate. E' probabile, inoltre, che A58 abbia fatto parte di un edificio più articolato, con altre stanze, forse disposte su più terrazzi come nel caso degli edifici del Bronzo Antico II e III. L'ambiente immediatamente precedente, A456, è di più piccole dimensioni, ma può aver avuto le stesse caratteristiche e gli stessi scopi funzionali. Tracce di superfici pavimentali tipiche da esterno sono interpretabili probabilmente come stretti viottoli e piccoli cortili e fanno ritenere che durante la fase recente del Bronzo Medio quest'area presentasse un impianto urbanistico non dissimile da quello del Bronzo Antico III.

In una fase più antica del Bronzo Medio questa stessa area risulta occupata quasi unicamente da pozzetti che si tagliano a vicenda e costituiscono l'elemento dominante della stratigrafia. Contemporaneamente sono documentati, ad est di questa zona, soprattutto nei quadrati E8(10) ed E8(11), una spessa sequenza di livelli pavimentali che si susseguono l'uno sull'altro. La presenza in alcuni casi di vaschette riempite di argilla pura, la comparsa sui pavimenti di decine di piccoli buchi, probabilmente per pioli lignei, distribuiti sui pavimenti in modo casuale, la mancanza di strutture in elevato, fanno pensare ad aree aperte destinate ad un uso artigianale, forse per la lavorazione di manufatti d'argilla. In nessun caso tuttavia il materiale proveniente da questi contesti può considerarsi *in situ*.

Quello che sembra verificarsi alla fine del Bronzo Antico III è un abbandono dell'occupazione di quest'area per fini abitativi. Probabilmente le strutture domestiche durante l'inizio del secondo millennio sono da ricercare nella zona più settentrionale della collina. Durante la seconda fase del Bronzo Medio si assiste ad una rioccupazione di quest'area con la presenza nuovamente di grandi edifici, che appaiono tuttavia isolati o comunque poco densamente distribuiti.

Anche se la collocazione di questi livelli molto vicina alla superficie nella zona sud-ovest del mound li ha fortemente danneggiati a causa dell'erosione e delle attività più recenti, vi sono indizi di una crisi nell'occupazione abitativa di quest'area della collina che, pur con un recupero nella fase tarda del periodo, non mostrerà più la intensità e il grande fervore costruttivo delle ultime fasi del Bronzo Antico. Resta da indagare la zona nord-est del tell dove lo spesso deposito relativo agli impianti di epoca hittita ha ricoperto probabilmente i livelli del Bronzo Medio, che non sono stati quindi ancora raggiunti, se non limitatamente al sondaggio lungo il taglio di cava all'estremità nord-est della collina. Si può per il momento solo ipotizzare che già con gli inizi del secondo millennio fosse iniziato quello slittamento verso nord del nucleo principale dell'abitato che caratterizzerà le epoche successive.

La diffusione della maggior parte dei tipi ceramici di Arslantepe, di cui sono state riconosciute almeno nove produzioni, è limitata soprattutto all'area di Malatya ed Elazığ, e sembra continuare la tradizione del Bronzo Antico III. Alcuni tipi presenti nei contesti del Bronzo Medio sono infatti documentati anche alla fine del periodo immediatamente precedente. Questo fenomeno è osservabile anche in altri insediamenti di questa regione dove vi è una vera e propria continuità di

sviluppo nella sequenza stratigrafica tra la fine del terzo e l'inizio del secondo millennio. La *ceramica dipinta non tornita* è un indicatore importante di questa continuità. Nessuna ceramica dipinta tipica di Malatya-Elazığ dell'inizio del secondo millennio è stata finora rinvenuta al di fuori di questo territorio. Così si può considerare che la diffusione di tali produzioni coinvolga un ambito strettamente locale. La produzione ceramica unificante più regioni può essere considerata la *dipinta tornita*, che ricorda la cosiddetta *Habur ware*, la cui distribuzione si estende dalla Siria all'Iran occidentale. Questa produzione ad Arslantepe è di manifattura locale, ma rappresenta anche una testimonianza di come l'area di Malatya interagisca culturalmente in modo indiretto su di un territorio molto più ampio. Le altre produzioni riconosciute sono: la ceramica rossa ingubbiata tornita, la ceramica nera, la ceramica grigia, la ceramica marrone, la ceramica arancione tornita, la ceramica beige tornita e la ceramica beige fine.

Generici sono i rapporti con le aree a sud del Tauro. Analogie tipologiche si riscontrano nei siti dell'Anatolia sudorientale, della Siria ed in alcuni siti palestinesi, come Kurban Hüyük, Tell Taya, Tell Brak, Lidar Hüyük, Tell Atchana/Alalah, Hama, Tell Hadidi, Tell Balatah/Sechem, tuttavia i legami con queste aree non sono consolidati. La catena del Tauro sembra rappresentare in questo periodo, come nelle precedenti fasi del Bronzo Antico II e III, oltre che una barriera geografica, un confine culturale. Anche con l'Anatolia centrale i collegamenti sono sporadici e limitati a pochi siti, tra i quali Boğazköy, Kültepe.

Il Bronzo Medio di Arslantepe, definito come periodo VA ed articolato almeno in due fasi (VA₁ e VA₂), può essere attribuito ad un arco di tempo compreso tra il 2100/2000 e il 1700 a.C. Le recenti datazioni radiometriche effettuate su campioni di carbone provenienti dall'ambiente A58, hanno potuto confermare la cronologia archeologica.

Con il primo quarto del secondo millennio si profila nel Vicino Oriente un articolato quadro delle vicende storico-economiche rappresentato dal sistema commerciale paleoassiro. Questo fenomeno coinvolge un vasto territorio, dall'altopiano anatolico alle regioni steppeche siro-mesopotamiche, fino ad aree distanti quali l'Afghanistan, l'altopiano iranico e la Mesopotamia meridionale.

La regione di Malatya-Elazığ assume in questa complessa sequenza di avvenimenti un ruolo del tutto marginale. E' plausibile che siti come Arslantepe e Norşun Tepe, quest'ultimo localizzato nella pianura dell'Altinova presso Elazığ, abbiano rappresentato tappe carovaniere lungo gli itinerari commerciali dei mercanti paleoassiri, ma la documentazione scritta al riguardo risulta finora del tutto insoddisfacente. L'archeologia può colmare questa lacuna solo parzialmente. Gli scavi condotti nelle regioni di Malatya e di Elazığ hanno messo in luce insediamenti fortificati, come Norşun Tepe e Korucutepe, e con edifici preminenti, come a Norşun Tepe, che potrebbero far pensare ad una presenza di *élites* locali, ma ad Arslantepe questo genere di strutture non è per ora documentato. Dalle ceramiche è possibile ricavare una diffusione strettamente regionale di molte produzioni e tipi ceramici. La *ceramica rossa ingubbiata tornita* e quella *dipinta non tornita* caratterizzata da motivi geometrici sono due produzioni ad esempio piuttosto omogenee in tutta la regione. Presumibilmente locali "botteghe" artigiane o ceramisti itineranti diffondono le loro produzioni in molti siti della pianura di Malatya e dell'Altinova, ma non al di fuori di questo circuito. La *ceramica rossa ingubbiata tornita* mostra molte affinità di manifattura con quelle messe in luce a Kültepe, ma i repertori delle forme risultano sostanzialmente diversi. E' importante distinguere quello che rappresenta la vera ceramica del *karum*, fabbricata ed usata nella colonia assira di Kültepe, da quella che è una realizzazione locale della cosiddetta *plain red ware*, che non è di per sé indizio di una attività commerciale paleoassira. I motivi geometrici della ceramica dipinta possono ricordare lo stile decorativo della ceramica "Cappadocia", ma anche in questo caso la decorazione risulta una elaborazione del tutto locale, proseguendo quella tradizione nella ceramica dipinta, che si diffonde molto raramente ad occidente, ed è tipica del Bronzo Antico III.

Si possono osservare nella produzione ceramica alcune vistose differenze tra i siti dell'Altinova e

Arslantepe. A Norşun Tepe, Korucutepe e Tepecik è ben documentata ad esempio una ceramica grigia definita, in alcuni casi impropriamente, come *metallische dunkelgraue Ware*, che mostra solo una lontana affinità con la tipica e più antica *metallic ware* siriana. Di questa ceramica sono presenti solo rari frammenti ad Arslantepe. Si può comunque sostenere che le aree di Malatya ed Elaziğ rivelano una sostanziale omogeneità culturale pur riconoscendo elementi locali di differenziazione.

Con l'avvento di nuove *élites* e la nascita dei centri fortificati del Bronzo Tardo I, l'espansione imperiale hittita si estende e raggiunge la pianura di Malatya. L'assetto culturale fin qui descritto muta allora radicalmente, portando questo territorio nella sfera d'influenza centro-anatolica.

ABSTRACT

One of the major archaeological projects being undertaken by the “La Sapienza” University of Rome is the excavation of Arslantepe, a tell standing six kilometres north-east of Malatya in Central-Eastern Turkey. Systematic exploration over 35 years have made it possible to identify a long and consistent sequence of settlements that are now taken as a major benchmark for establishing the chronology and the cultural developments that occurred during the fourth and third millennia BC in Anatolia and the Near East. Although the public monumental architecture with evident signs of economic, political and religious centralisation brought to light there relates only to certain phases in the history of the site, its central position in the region cannot be doubted, even in periods for which the excavations have not produced equally extraordinary archaeological findings. This work sets out to shed light on a little-known period in the Malatya-Elazığ region: the beginning of the second millennium BC. Whereas in the territories in Iraq, Northern Syria and Central Anatolia this period was a major moment in their history due to the powerful impetus given to trade on a vast scale, coordinated by the old Assyrian merchants, for which a great deal of written as well as archaeological evidence exists, the Malatya zone does not seem to have produced much striking documentation, and the little that does exist is difficult to interpret. This work attempts to understand the role played by this area, and particularly by the town of Arslantepe, in a crucial period in the development of the Near East following the fall of the third dynasty of Ur at the end of the third millennium. Like all the other sites in the Malatya area, Arslantepe has left no any written documents, so that archaeology and palaeoethnology methods are still the only effective means of reconstructing its history.

The Middle Bronze Age, which followed Early Bronze Age III in this region, runs from the end of the third millennium to the beginning of the period in which the Hittites established power in Anatolia around 1600 BC. The purpose of this research, based on an analysis of the stratigraphy, architecture and pottery of Arslantepe, is to describe the features of the settlement in terms of the occupation of the surrounding territory and to understand the role played by the site in terms of inter-regional relations. The excavations have brought to light a complex stratigraphic sequence, but the architectural remains are mostly incomplete and badly damaged. Furthermore the movable materials are fragmentary and helps to increase the difficulty of accurately interpreting the whole archaeological complex. This research, which summarises all the results of the excavation campaigns carried out in 1972, 1987 and 1988 when the levels from this period were investigated, sets out primarily to clarify the stratigraphic relations of the archaeological levels attributed to the Middle Bronze Age, to set out the features of the ware, and lastly to offer a tentative chronological framework for the external relations within the regional context. However, the conclusions cannot be considered final. Until new areas on the mound with archaeological levels from this period in a better state of preservation than those discovered so far have been identified and extensively excavated it will be difficult to offer a comprehensive picture of the occupation of the site during the Middle Bronze Age. What has been learned so far, with so little archaeological evidence to work on, is the result of applying a research method that places the emphasis on a detailed reading and interpretation of the archaeological stratification and its contents.

Most of the evidence of this period has been brought to light in the SW area of the mound. The already complex stratigraphy had been interfered with by dozens of pits, and the architecture si

limited to only a few complete structures. It is therefore impossible to establish the town planning criteria used or the actual extension of the occupied area.

The stratigraphic analysis and description of individual architectural structures suggest that the settlement at Arslantepe during the Middle Bronze Age underwent a change with respect to the immediately preceding period. The whole of the excavated area is mainly occupied by a few isolated structures in a very poor state of conservation, except for the most recent phase to which two rectangular rooms, one above the other, with a central hearth (A58 and A456) belong. The rest of the architecture mostly comprises simple floors and pavements, often courtyards or open areas, with basins and fragments of hearths.

It is possible that A58 may have been a room belonging to a large residential structure, used for domestic storage purposes, judging from the presence of large vessels for foodstuffs. It is also likely that A58 may have been part of a more complex building containing other rooms, perhaps built up on several terraces, as in the case of the Early Bronze II and III buildings. The immediately preceding room, A456, is smaller in size, but may have had the same features and may have been used for the same purposes. The traces of typical outdoor paved surfaces are probably the remains of narrow alleys and small courtyards, suggesting that during the recent Middle Bronze phase the layout of this area may not have differed significantly from that of the Early Bronze III.

In an earlier Middle Bronze phase, this area was almost solely occupied by pits, cutting across one another, and constituting the dominant stratigraphic element. From the same period, to the East of this zone, particularly in squares E8(10) and E8(11), a deep sequence of paved levels has been found one upon the other. The discovery of a number of basins filled with pure clay and dozens of small holes set into the floors distributed randomly across the floor, probably to insert wooden poles, coupled with the lack of evidence of any raised structures, suggests that these were open areas used by craftsmen, perhaps working clay artifacts. However, none of the material found in these contexts can be considered *in situ*.

What seems to have occurred at the end of Early Bronze III is that the area was abandoned for residential purposes. The domestic structures from the beginning of the second millennium must probably be sought in the northernmost area of the mound. In the second phase of the Middle Bronze Age the area was once again occupied by large buildings, but these appear to be isolated and at all events they were not very densely distributed.

Although these levels have been severely damaged by erosion and more recent activities carried out there because of their very close proximity to the surface of the SW zone of the mound, there are indications that a crisis occurred in the residential occupation of this area of the mound. The evidence unearthed from the late phase in the same period shows that building no longer took place with the same intensity as in the final phases of Early Bronze. The NE zone of the tell still remains to be investigated. This is the area where the deep deposits of the settlement in the Hittite age probably overlay the Middle Bronze levels which have not yet been reached, except in the samples taken around the rim of the quarry cut into the NE edge of the mound. For the time being, we can only assume that it was at the beginning of the second millennium that the main core of the residential area which was to characterise subsequent stages started to shift northwards.

Most of the typical ware of Arslantepe, of which at least nine types of production have been recognised so far, seem to have been mainly restricted to the area of Malatya and Elazığ, and appears to be a continuation of the Early Bronze III tradition. Some of the types present in Middle Bronze Age contexts are also found at the end of the immediately preceding period. This is also true of other settlements in this region where there is total continuity in the development of the stratigraphic sequence between the end of the third and the beginning of the second millennia. The *handmade painted ware* is a major indicator of this continuity. No typical painted ware from Malatya-Elazığ belonging to the second millennium has yet been discovered outside that territory. It may therefore be assumed that this ware was purely local in character. *Wheelmade painted ware*

can be considered to unify several regions, recalling the so-called *Habur ware* whose distribution ranges from Syria to Western Iran. This production in Arslantepe is locally made but is also evidence of the Malatya's indirect culturally interaction across a much more extensive territory. The other recognised wares are *wheelmade slipped red ware*, *black burnished ware*, *grey ware*, *brown ware*, *wheelmade orange ware*, *wheelmade beige ware* and *fine beige ware*.

Links with areas south of the Taurus were generic in nature. Certain similarities have been found between the types discovered in the sites of SE Anatolia, in Syria and in certain sites in Levante, such as Kurban Hüyük, Lidar Hüyük, Tell Taya, Tell Brak, Tell Atchana/Alalah, Hama, Tell Hadidi and Tell Balatah/Sechem; however the links with these areas were not firmly entrenched. The Taurus chain seems not only to have acted as a geographical barrier in this period, as in the earlier phases of Early Bronze Age II and III, but also as a cultural boundary. Links with Central Anatolia were also sporadic and restricted to only a few sites, including Boğazköy and Kültepe.

The Middle Bronze Age in Arslantepe, defined as period VA, and comprising at least two phases (VA₁ and VA₂), may be dated at between 2100/2000 and 1700 BC. Recent radiometric dating of carbon samples from room A58 have confirmed the archaeological chronology.

In the first quarter of the second millennium, the Near East witnessed a complex set of historical and economic events occurring in the old Assyrian trading system. This affected a vast area running from the Anatolian highlands to the Syro-Mesopotamian Steppes, and as far away as Afghanistan, the Iranian highlands and Southern Mesopotamia.

The Malatya-Elazığ region played a wholly marginal role in this sequence of events. It is quite likely that sites such as Arslantepe and Norşun Tepe, lying on the Altınova Plain near Elazığ, were caravan stop-over points along the old Assyrian traders' trading routes, but all written documentation on this has been quite unsatisfactory so far. Archaeology can only partially fill this gap. Excavations carried out in the Malatya and Elazığ regions have revealed highly fortified settlements, such as Norşun Tepe and Korucutepe, with pre-eminent buildings such as the ones found at Norşun Tepe that might be indicative of the presence of local élites. However, at Arslantepe this kind of structure has not yet been documented. The ware suggests that many productions and types of ware were purely regional in terms of dissemination. *Wheelmade slipped red ware* and *handmade painted ware* with geometric motifs were two quite standard products throughout the region, for example. One presumes that local handicraft workshops or itinerant potters distributed their products in many sites on the Malatya and Altınova plain, but not outside that circuit. *Wheelmade slipped red ware* shows many similarities in manufacture with those found at Kültepe, but the repertoires of the shapes differ substantially. It is important to draw a distinction between true *karum*, ware which was made and used in the Assyrian colony at Kültepe, and the purely local ware known as *plain red ware*, which in itself does not serve as evidence of old Assyrian trading activities. The geometric motifs on the painted ware resembles the decorative style of "Cappadocian ware", but here again the decoration is a wholly local elaboration, continuing the tradition of painted ware, which very rarely spread westwards, and is typical of Early Bronze III.

There are a number of radical differences between the ware found at Altınova and that of Arslantepe. At Norşun Tepe, Korucutepe and Tepecik, for example, a type of grey ware, wrongly called *metallische dunkelgraue Ware* in some cases, is well documented, but it has only a very distant affinity with the typical and more ancient Syrian metallic ware. Only a few rare fragments of this ware have been found at Arslantepe. The areas around Malatya and Elazığ nevertheless reveal a substantial cultural homogeneity, even though there are local differentiating features.

With the advents of the new élites and the emergence of the fortified centres of Late Bronze Age I, the Hittite empire expanded as far as the Malatya plain. It was then that the cultural situation described above changed radically, as this territory was brought within the Central Anatolian sphere of influence.

LITERATURVERZEICHNIS

- ADAMS R. McC., NISSEN H. J. 1972 - *The Uruk Countryside. The Natural Setting of Urban Societies*, The University of Chicago Press: Chicago.
- ALESSIO M., BELLA F., IMPROTA S., BELLUOMI G., CALDERONI G., CORTESI C., TURI B. 1976 - University of Rome Carbon-Dates XIV, *Radiocarbon*, 18, 3: 321-349.
- ALESSIO M., ALLEGRI L., AZZI C., BELLA F., CALDERONI G., CORTESI C., IMPROTA S., PETRONE V. 1983 14C Dating of Arslantepe, *Origini*, XII, II: 575-580.
- ALGAZE G. (Hrsg.) 1990 *Town and Country in Southeastern Anatolia. Vol. II. The Stratigraphic Sequence at Kurban Höyük*, The University of Chicago, Oriental Institute Publications Vol. 110: Chicago.
- ANGLE M., DOTTARELLI R. 1989 Ethnoarchaeology at Uslu (Elazığ): Preliminary Report on Contemporary Pottery Manufacture in Eastern Anatolia, VII. *Arasturma Sonuçları Toplantısı*, Antalya 18-23 Mayıs, Ankara (1990): 467-479.
- ANGLE M., DOTTARELLI R. 1990-1991 - Uslu Köy e la standardizzazione della ceramica, *Origini*, XV: 375-400.
- BALKAN K. 1955 - *Observations on the Chronological Problems of the Karum-Kaniş*, Türk Tarih Kurumu Yayınları VII, 28: Ankara.
- BARKER P. 1977 - *Techniques of Archaeological Excavation*, Batsford: London.
- BEITZEL B. J. 1992 - The Old Assyrian Caravan Road in the Mari Royal Archives, in *Mari in Retrospect. Fifty Years of Mari and Mari Studies*, Young G. D. (Hrsg.), Eisenbrauns, Winona Lake: 35-57.
- BIER C. M. 1978 The fortification wall, in *Korucutepe 2*, van Loon M. N. (Hrsg.), North-Holland Publishing Company, Amsterdam: 47-53.
- BIETTI A., RAMBALDI A., ZANELLO L. 1978 DENDR- Un programma FORTRAN di cluster analysis per applicazioni archeologiche, *Quaternaria*, XX: 49-85.
- BITTEL K., NAUMANN R. 1952 - *Boğazköy-Hattuša. Ergebnisse der Ausgrabungen des Deutschen Archäologischen Instituts und der Deutschen Orient-Gesellschaft in den Jahren 1931-1939*, Kohlhammer: Stuttgart.
- BILGIÇ E. 1945-51 Die Ortsnamen der "Kappadokischen" Urkunde im Rahmen der Alten Sprachen Anatoliens, *Archiv für Orientforschung* 15, 1945-1951: 1-37.
- BÖKÖNYI S. 1983 Late Chalcolithic and Early Bronze Age I Animal Remains from Arslantepe (Malatya): a Preliminary Report, *Origini*, XII, II: 581-598.
- BROWN H. G. 1967 - Prehistoric Pottery from the Antitaurus, *Anatolian Studies*, XVII: 123-164.
- BURMESTER A., GOEDICKE C., HENNICKE H. W., KLEINMANN B., KNOLL H., MAGGETTI M., ROTTLÄNDER R., SCHNEIDER G. 1989 - Naturwissenschaftliche Kriterien und Verfahren zur Beschreibung von Keramik, *Acta Praehistorica et Archaeologica*, 21, 1: 7-39.
- BURNEY C. A. 1958 - Eastern Anatolia in the Chalcolithic and Early Bronze Age, *Anatolian Studies*, VIII: 157-209.
- BURNEY C. A. 1980 - Aspects of the Excavations in Altınova, Elazığ, *Anatolian Studies*, XXX: 157-167.
- CALDERONI G., CANEVA I., CAZZELLA A., FRANGIPANE M., PETRONE V. 1994 Department of Earth Sciences at the University of Rome Radiocarbon Dates III, *Radiocarbon*, 36, 1: 143-152.
- CANEVA I. 1993 From Chalcolithic to Early Bronze Age III at Arslantepe: a Lithic Perspective, in *Between the Rivers and over the Mountains. Archaeologica Anatolica et Mesopotamica Alba Palmieri Dedicata*, Frangipane M., Hauptmann H., Liverani M., Matthiae P., Mellink M. (Hrsg.), Dipartimento di Scienze Storiche Archeologiche e Antropologiche dell'Antichità, Università degli Studi di Roma "La Sapienza", Roma: 319-339.
- CANEVA C., FRANGIPANE M., PALMIERI A. M. 1985 I metalli di Arslantepe nel quadro dei più antichi sviluppi della metallurgia vicino-orientale, in *Scavi e ricerche negli anni 1976-1979*, Quaderni de 'La ricerca scientifica', Consiglio Nazionale delle Ricerche, Roma: 115-137.
- CARANDINI A. 1981 - *Storie dalla terra*, De Donato: Bari.

- CASTELLINO G. R. 1975 Il frammento degli Annali di Sargon II, Appendice A, in Pecorella P. E. *Malatya-III. Rapporto preliminare delle campagne 1963-1968, il livello eteo imperiale e quelli neoteici*, *Oriens Antiqui* Collectio-XII, Centro per le Antichità e la Storia dell'Arte del Vicino Oriente, Roma: 68-73.
- COLE D. P. 1984 *Sechem I. The Middle Bronze IIB Pottery*, American Schools of Oriental Research, Eisenbrauns: Winona Lake.
- CONTI A. M. 1987 *Il Bronzo Antico III nell'Area di Malatya (Turchia). Studio della Ceramica di Arslantepe*, unpubblierte Doktorarbeit, Università degli Studi di Roma "La Sapienza": Roma.
- CONTI A. M., PERSIANI C. 1993 When Worlds Collide. Cultural Developments in Eastern Anatolia in the Early Bronze Age, in *Between the Rivers and over the Mountains. Archaeologica Anatolica et Mesopotamica Alba Palmieri Dedicata*, Frangipane M., Hauptmann H., Liverani M., Matthiae P., Mellink M. (Hrsg.), Dipartimento di Scienze Storiche Archeologiche e Antropologiche dell'Antichità, Università degli Studi di Roma "La Sapienza", Roma: 361-413.
- CUOMO DI CAPRIO N. 1985 - *La ceramica in archeologia*, L'Erma di Bretschneider: Roma.
- DARGA A. M. 1983 Şemsiyetepe Kurtarma Kazıları 1982 Yılı Çalışmaları, *V. Kazı Sonuçları Toplantısı*, Istanbul 23-27 Mayıs 1983, Ankara (1984): 91-96.
- DARGA A. M. 1985 Şemsiyetepe 1984 Yılı Kazı Çalışmaları, *VII. Kazı Sonuçları Toplantısı*, Ankara 20-24 Mayıs 1985, Ankara (1986): 119-128.
- DARGA A. M. 1986 - Şemsiyetepe Kazıları 1985 Sezonu Sonuçları, *VIII. Kazı Sonuçları Toplantısı*, I, Ankara 26-30 Mayıs 1986, Ankara (1987): 157-171.
- DARGA A. M. 1987a Şemsiyetepe Kazıları 1986 Yılı Çalışmaları, *IX. Kazı Sonuçları Toplantısı*, I, Ankara 6-10 Nisan 1987, Ankara (1988): 181-203.
- DARGA A. M. 1987b - Şemsiyetepe Excavations, 1978-1979, *Lower Euphrates Project 1978-1979 Activities*, Middle East Technical University, Lower Euphrat Project Publications, Series I, N. 3, Ankara: 295-298.
- DARGA A. M. 1988 - Şemsiyetepe Kazısı, 1987 Sonuçları, *X. Kazı Sonuçları Toplantısı*, I, Ankara 23-27 Mayıs 1988, Ankara (1989): 181-199.
- DELAPORTE L. 1933 - Malatya. La ville et le pays de Malatya, *Revue Hittite et Asiatique*, II, 12.
- DELAPORTE L. 1934 - Malatya. Céramique du Hittite recent, *Revue Hittite et Asiatique*, II, 16.
- DELAPORTE L. 1939 - La troisième campagne de fouilles a Malatya, *Revue Hittite et Asiatique*, V, 34.
- DELAPORTE L. 1940 - *Arslantepe. La Porte des Lions*, Paris.
- DERCKSEN J. G. 1996 *The old assyrian copper trade in Anatolia*, Nederlands Instituut voor het Nabije Oosten, Leiden.
- DI NOCERA G. M. 1993a - Die mittelbronzezeitliche Keramik von Arslantepe: einige vorläufige Bemerkungen, in *Between the Rivers and over the Mountains. Archaeologica Anatolica et Mesopotamica Alba Palmieri Dedicata*, Frangipane M., Hauptmann H., Liverani M., Matthiae P., Mellink M. (Hrsg.), Dipartimento di Scienze Storiche Archeologiche e Antropologiche dell'Antichità, Università degli Studi di Roma "La Sapienza", Roma: 415-435.
- DI NOCERA G. M. 1993b - L'inizio del II millennio a.C. nelle provincie di Malatya ed Elazığ (Turchia). Arslantepe e Norşun Tepe: due siti a confronto, *Origini XVII*: 287-316.
- DI NOCERA G. M. 1996 - Gli inizi del II millennio ad Arslantepe-Malatya (Turchia), *Orient-Express*, 2: 48-52.
- DI NOCERA G. M. 1998 - Arslantepe und der Anfang des 2. Jahrtausends im Malatya Elazığ Gebiet (Türkei), *Archäologisches Nachrichtenblatt*, Band 3/1: 59-63.
- DI NOCERA G. M., FORLANINI M. 1992 - Anatolia: la prima metà del secondo millennio a.C., in *Atlante Storico del Vicino Oriente*, Liverani M., Milano L. (Hrsg.), 4,2, Università degli Studi di Roma "La Sapienza": Roma.
- DORNEMANN R. 1979 - Tell Hadidi: A Millennium of Bronze Age City Occupation, in "Excavation Reports from the Tabqa Dam Project-Euphrates Valley, Syria", Freedmann D. N. (Hrsg.), *Annual of the American Schools of Oriental Research*, 44: 112-151.
- DORNEMANN R. 1992 - Early Second Millennium Ceramic Parallels between Tell Hadidi-Azu and Mari, in *Mari in Retrospect. Fifty Years of Mari and Mari Studies*, Young G. D. (Hrsg.), Eisenbrauns, Winona Lake: 77-112.
- DU PLAT TAYLOR E. S. G., SETON WILLIAMS M. V., WAECHTER J. 1950 - The Excavations at Sakce Gözü, *Iraq*, XII: 53-138.
- EMRE K. 1963 - The Pottery of the Assyrian Colony Period According to the Building Levels of the Kanış Karum, *Anadolu*, VII: 87-99.
- EROL O. 1983 - *Die naturräumliche Gliederung der Türkei*, Beihefte zum Tübingen Atlas des vorderen Orients, Reihe A (Naturwissenschaften), Nr. 13, Reichert: Wiesbaden.
- ESIN U. 1971 Tepecik Excavations, 1969, *Keban Project 1969 Activities*, Middle East Technical University, Series I, N. 2, Ankara: 119-128.
- ESIN U. 1972 - Tepecik Excavations, 1970, *Keban Project 1970 Activities*, Middle East Technical University, Series I, N. 3, Ankara: 149-158.
- ESIN U. 1973 - Istanbul Üniversitesi Prehistorya Kursusu Tepecik Kazıları (Elazığ), *Türk Arkeoloji Dergisi*, XX-2: 39-62.

- ESIN U. 1974 - Tepecik Excavations, 1971, *Keban Project 1971 Activities*, Middle East Technical University, Series I, N. 4, Ankara: 123-135.
- ESIN U. 1979 - Tepecik Excavations, 1973, *Keban Project 1973 Activities*, Middle East Technical University, Series I, N. 6: Ankara: 97-112.
- ESIN U. 1982 - Tepecik Excavations, 1974, *Keban Project 1974-75 Activities*, Middle East Technical University, Series I, N. 7, Ankara: 95-118.
- FERIOLI P., FIANDRA E. 1983 - Clay Sealings from Arslantepe VI A: Administration and Bureaucracy, *Origini*, XII, II: 455-509.
- FERIOLI P., FIANDRA E. 1994 - Archival techniques and methods at Arslantepe, in *Archives before writing*, Ferioli P., Fiandra E., Fissore G. G., Frangipane M. (Hrsg.), Roma: 149-161.
- FISCHER F. 1963 - Die Hethitische Keramik von Boğazköy, *Wissenschaftliche Veröffentlichungen der Deutschen Orient-Gesellschaft*, 75, Berlin.
- FRANGIPANE M. 1990-1991 - Spunti per uno studio delle formazioni protostatali: riflessioni con Alba Palmieri, *Origini*, XV, (1992): 9-21.
- FRANGIPANE M. 1991 - The 1990 Excavations at Arslantepe, Malatya, *XIII. Kazı Sonuçları Toplantısı*, I, Çanakkale 27-31 Mayıs 1991, Ankara (1992): 177-195.
- FRANGIPANE M. 1992a - The Results of the 1991 Campaign at Arslantepe-Malatya, *XIV. Kazı Sonuçları Toplantısı*, I, Ankara 25-29 Mayıs 1992, Ankara (1993): 213-229.
- FRANGIPANE M. 1992b - Dipinti murali in un edificio palaziale di Arslantepe-Malatya: aspetti ideologici nelle prime forme di centralizzazione economica, *Studi Micenei ed Egeo-Anatolici*, XXX, Consiglio Nazionale delle Ricerche: Roma.
- FRANGIPANE M. 1993a - Local Components in the Development of Centralized Societies in Syro-Anatolian Region, in *Between the Rivers and over the Mountains. Archaeologica Anatolica et Mesopotamica Alba Palmieri Dedicata*, Frangipane M., Hauptmann H., Liverani M., Matthiae P., Mellink M. (Hrsg.), Dipartimento di Scienze Storiche Archeologiche e Antropologiche dell'Antichità, Università degli Studi di Roma "La Sapienza", Roma: 133-161.
- FRANGIPANE M. 1993b - Arslantepe-Melid-Malatya, in *Arslantepe, Hierapolis, Iasos, Kyme. Scavi archeologici italiani in Turchia*, Marsilio, Venezia: 31-103.
- FRANGIPANE M. 1993c - Melid, *Reallexikon der Assyriologie und Vorderasiatischen Archäologie*, 8,1/2: 42-52.
- FRANGIPANE M. 1993d - Excavations at Arslantepe-Malatya, 1992, *XV Kazı Sonuçları Toplantısı*, Ankara: 211-228.
- FRANGIPANE M. 1994 - The record function of clay sealings in early administrative systems as seen from Arslantepe-Malatya, in *Archives before writing*, Ferioli P., Fiandra E., Fissore G. G., Frangipane M. (Hrsg.), Roma: 125-136.
- FRANGIPANE M. 1996 - *La nascita dello stato nel Vicino Oriente*, Laterza, Roma-Bari.
- FRANGIPANE M. 1997 - A 4th-millennium Temple/Palace complex at Arslantepe-Malatya. North-South relations and the formation of early state societies in the northern region of Greater Mesopotamia, *Paleorient*, 23, 1: 45-73.
- FRANGIPANE M., PALMIERI A. (Hrsg.) 1983 - Perspectives on Protourbanization in Eastern Anatolia: Arslantepe (Malatya). An Interim Report on 1975-83 Campaigns, *Origini*, XII, II: 287-668.
- FRANGIPANE M., PALMIERI A. 1983a - A Protourban Centre of the Late Uruk Period, *Origini*, XII, II: 287-454.
- FRANGIPANE M., PALMIERI A. 1983b - Cultural Developments at Arslantepe at Beginning of Third Millennium, *Origini*, XII, II: 523-574.
- FRANGIPANE M., PALMIERI A. 1986 - Assetto redistributivo di una società protourbana della fine del IV millennio, *Dialoghi di Archeologia*, III serie, anno 4, n. 1: 35-44.
- FRANGIPANE M., PALMIERI A. 1987 - Urbanization in peri-Mesopotamian areas: the case of Eastern Anatolia, in *Studies in the Neolithic and Urban Revolutions*, Manzanilla L. (Hrsg.), British Archaeological Reports, International Series, 349, Oxford: 296-318.
- FUGMAN E. 1958 - *Hama. Fouilles et Recherches 1931-1938. L'Architecture des Périodes Pré-Hellénistiques*, Vol.II, 1, Fondation Carlsberg: Copenaghen.
- GARELLI P. 1963 - *Les Assyriens en Cappadoce*, Bibliothèque Archéologique et Historique de l'Institut Français d'Archéologie d'Istanbul, XIX: Paris.
- GARSTANG J. 1953 - *Prehistoric Mersin*, Oxford University Press: Oxford.
- GERSTENBLITH P. 1983 - *The Levant at the Beginning of the Middle Bronze Age*, American Schools of Oriental Research, Dissertation Series 5: Cambridge (Massachusetts).
- GOETZE A. 1953 - Old Babylonian Itinerary, *Journal of Cuneiform Studies*, I: 51-72.
- GOLDMAN H. 1956 - *Excavations at Gözli Kule, Tarsus*, Princeton University Press: Princeton.
- GONNET H. 1981 - Beyköy Hüyük, *Anatolian Studies*, XXXI: 181-183.
- GRIFFIN E. E. 1974 - The Middle and Late Bronze Age Pottery, *Journal of Near Eastern Studies*, 33: 55-95.

- GRIFFIN E. E. 1980 Part VI: Phases G-J, the Middle and Late Bronze Age, in *Korucutepe 3*, van Loon M. N. (Hrsg.), North-Holland Publishing Company, Amsterdam: 3-109.
- GUNTER A. 1980 *The Old Assyrian Colony Period Settlement at Boğazköy-Hattuša, in Central Turkey. A Chronological Reassessment of the Archaeological Remains*, University Microfilms International (1981): Ann Arbor.
- HAMLIN C. 1971 *The Habur Ware Ceramic Assemblage of Northern Mesopotamia: An Analysis of its Distribution*, University Microfilms International: Ann Arbor.
- HAMLIN C. 1974 - The Early Second Millennium Ceramic Assemblage of Dinkha Tepe, *Iran*, XII: 125-153.
- HARRIS E. C. 1975 - The stratigraphic sequence: a question of time, *World Archaeology*, 7: 109-121.
- HARRIS E. C. 1979a *Principles of archaeological stratigraphy*, Academic Press, London (1. italienische Auflage 1983: *Principi di stratigrafia archeologica*, La Nuova Italia Scientifica: Roma).
- HARRIS E. C. 1979b - The laws of archaeological stratigraphy, *World Archaeology*, 11: 111-117.
- HARRIS E. C., BROWN III M. R., BROWN G. J. (Hrsg.) 1993 - *Practices of Archaeological Stratigraphy*, Academic Press: London.
- HAUPTMANN H. 1969 - Die Grabungen auf dem Norşun-Tepe 1969, *Türk Arkeoloji Dergisi*, XVIII-2: 111-121.
- HAUPTMANN H. 1969-70 Norşun-Tepe. Historische Geographic und Ergebnisse der Grabungen 1968-69, *Istanbuler Mitteilungen*, 19-20: 21-78.
- HAUPTMANN H. 1970 Die Grabungen auf dem Norşun-Tepe, 1968, *Keban Project 1968 Activities*, Middle East Technical University, Series I, N. 1, Ankara: 115-130.
- HAUPTMANN H. 1971 Die Grabungen auf dem Norşun-Tepe, 1969, *Keban Project 1969 Activities*, Middle East Technical University, Series I, N. 2, Ankara: 81-90.
- HAUPTMANN H. 1972 - Die Grabungen auf dem Norşun-Tepe, 1970, *Keban Project 1970 Activities*, Middle East Technical University, Series I, N. 3, Ankara: 103-117.
- HAUPTMANN H. 1974a - Die Grabungen auf dem Norşun-Tepe, 1971, *Keban Project 1971 Activities*, Middle East Technical University, Series I, N. 4, Ankara: 87-99.
- HAUPTMANN H. 1974b - Die Grabungen auf dem Norşun-Tepe, 1972, Bericht über die 5.Kampagne, *Türk Arkeoloji Dergisi*, XXI, I: 59-73.
- HAUPTMANN H. 1976 - Die Grabungen auf dem Norşun-Tepe, 1972, *Keban Project 1972 Activities*, Middle East Technical University, Series I, N. 5, Ankara: 71-90.
- HAUPTMANN H. 1979 - Die Grabungen auf dem Norşun-Tepe, 1973, *Keban Project 1973 Activities*, Middle East Technical University, Series I, N. 6, Ankara: 61-78.
- HAUPTMANN H. 1987 - Lidar Höyük, 1986, *Anatolian Studies*, XXXVII: 203-206.
- HAUPTMANN H. 1993 - Vier Jahrtausende Siedlungsgeschichte am mittleren Euphrat, *Archäologie in Deutschland*, 1: 10-15.
- HAWKINS J. D. 1993 - Melid, *Reallexikon der Assyriologie und Vorderasiatischen Archäologie*, 8,1/2: 35-41.
- HEINZ M. 1992 - *Tell Atchana/Alalakh. Die Schichten VII-XVII*, Alter Orient und Altes Testament, Veröffentlichungen zur Kultur und Geschichte des Alten Orients und des Alten Testaments, Band 41, Verlag Butzon & Becker Kvelaer Neukirchener Verlag: Neukirchen-Vluyn, Darmstadt.
- HROUDA B. 1957 *Die bemalte Keramik des zweiten Jahrtausends in Nordmesopotamien und Nordsyrien*, Mann: Berlin.
- HROUDA B. 1989 Die Habur-Ware in neuerer Sicht, in *Anatolia and the Ancient Near East. Studies in Honor of Tahsin Özgüç*, Emre K., Hrouda B., Mellink M., Özgüç N. (Hrsg.), Türk Tarih Kurumu Basimevi, Ankara: 205-214.
- KIENAST B. 1984 - *Das altassyrische Kaufvertragsrecht*, Stuttgart.
- KRAMER C. 1982 - *Village Ethnoarchaeology. Rural Iran in Archaeological Perspective*, Academic Press: New York.
- KRAUSE R. A. 1984 - Modelling the Making of Pots: An Ethnoarchaeological Approach, in *The Many Dimensions of Pottery. Ceramics in Archaeology and Anthropology*, van der Leeuw S. E., Pritchard A. (Hrsg.), Universiteit van Amsterdam, Amsterdam: 615-698.
- KULL B. 1988 *Demircihüyük. Die Mittelbronzezeitliche Siedlung. Die Ergebnisse der Ausgrabungen 1975-1978*, Zabern: Mainz am Rhein.
- KÜHNE H. 1976 *Die Keramik vom Tell Chuera und ihre Beziehungen zu Funden aus Syrien-Palästina, der Türkei und dem Iraq*, Vorderasiatische Forschungen der Max Freiherr von Oppenheim-Stiftung: Berlin.
- LARSEN M. T. 1976 *The Old Assyrian City-State and its Colonies*, Mesopotamia, Copenhagen Studies in Assyriology, vol. 4, Akademisk Forlag: Copenhagen.
- LARSEN M. T. 1987 Commercial Networks in the Ancient Near East, in *Centre and Periphery in the Ancient World*, Rowlands M., Larsen M., Kristiansen K. (Hrsg.), Cambridge University Press, Cambridge: 47-56.
- LAWN B. 1971 - University of Pennsylvania Radiocarbon Dates XIV, *Radiocarbon*, 13, 2: 363-377.

- LEONARDI G., PRACCHIA S., VIDALE M. 1989 - L'indicatore ceramico nei percorsi archeologici, *Atti della XVII Riunione Scientifica dell'Istituto Italiano di Preistoria e Protostoria*, Ferrara 17-20 Novembre 1987, Firenze: 85-102.
- LEWY J. 1947 Naram Sin's Campaign to Anatolia in the Light of the Geographical Data of Kültepe Texts, *Halil Edhem Hatira Kitabi*, I, Ankara: 11-18.
- LIVERANI M. 1988 - *Antico Oriente. Storia Società Economia*, Laterza: Bari.
- LLOYD S. 1938 - Some Ancient Sites in the Sinjar District, *Iraq*, 5: 123-142.
- MALLOWAN M. E. L. 1936 - The Excavations at Tall Chagar Bazar, and an Archaeological Survey of the Habur Region, 1934-5, *Iraq*, III: 1-86.
- MALLOWAN M. E. L. 1937 The Excavations at Tall Chagar Bazar, and an Archaeological Survey of the Habur Region. Second Campaign, 1936, *Iraq*, IV: 91-177.
- MALLOWAN M. E. L. 1947 - Excavations at Tell Brak and Chagar Bazar, *Iraq*, IX: 1-266.
- MARCOLONGO B., PALMIERI A. M. 1983 Environment, Water Supply and Cultural Development at Arslantepe (Malatya, Turkey), *Origini*, XII, II: 619-628.
- MARRO C. 1997 - *La culture du haut-Euphrate au Bronze Ancien. Essai d'interprétation a partir de la ceramique peinte de Keban (Turquie)*, Varia Anatolica VIII, Institut Français d'Etudes Anatoliennes d'Istanbul: Paris.
- MARRO C., HELWIG B. 1995 Vers une chronologie des cultures du Haut-Euphrate au troisième millénaire / Untersuchungen zur bemalten Keramik des 3. Jt. am oberen und mittleren Euphrat, in *Beiträge zur Kulturgeschichte Vorderasiens. Festschrift für Rainer Michael Boehmer*, Finkbeiner U., Dittmann R., Hauptmann H. (Hrsg.), Verlag Philipp von Zabern, Mainz: 341-384.
- MATTHIAE P. 1989 - *Ebla. Un Impero Ritrovato*, Einaudi: Torino.
- MELLAART J. 1982 Archaeological Evidence for Trade Routes between Syria and Mesopotamia and Anatolia during the Early and the Beginning of the Middle Bronze Age, *Studi Eblaïti*, V: 15-32.
- MELLINK M. J. 1965 Anatolian Chronology, in *Cronologies in Old World Archaeology*, Ehrlich R. W. (Hrsg.), University Chicago Press, Chicago: 101-131.
- MELLINK M. J. 1971a - Archaeology in Asia Minor. Tilmen Hüyük, *American Journal of Archaeology*, 75: 167.
- MELLINK M. J. 1971b - Archaeology in Asia Minor. Kültepe, *American Journal of Archaeology*, 75: 164
- MELLINK M. J. 1982a - Archaeology in Asia Minor. Pirot, *American Journal of Archaeology*, 86: 564.
- MELLINK M. J. 1982b - Archaeology in Asia Minor. İmamoğlu, *American Journal of Archaeology*, 86: 564.
- MELLINK M. J. 1983a - Archaeology in Asia Minor. İmamoğlu, *American Journal of Archaeology*, 87: 434.
- MELLINK M. J. 1983b - Archaeology in Asia Minor. Pirot, *American Journal of Archaeology*, 87: 433.
- MELLINK M. J. 1984 - Archaeology in Asia Minor. Pirot, *American Journal of Archaeology*, 88: 449.
- MELLINK M. J. 1987 - Archaeology in Asia Minor. İmamoğlu, *American Journal of Archaeology*, 91: 11.
- MELLINK M. J. 1988a - Archaeology in Asia Minor. İmamoğlu, *American Journal of Archaeology*, 92: 111-112.
- MELLINK M. J. 1988b - Archaeology in Asia Minor. İmikuşağı Hüyük, *American Journal of Archaeology*, 92: 112.
- MELLINK M. J. 1990 - Archaeology in Asia Minor. İmamoğlu, *American Journal of Archaeology*, 94: 136.
- MELLINK M. J. 1992 Anatolian Chronology, in *Cronologies in Old World Archaeology*, Ehrlich R. W. (Hrsg.), University Chicago Press, Chicago: 207-220.
- NASHEF K. 1987 *Rekonstruktion der Reiserouten zur Zeit der altassyrischen Handelsniederlassungen*, BH TAVO B83, Wiesbaden.
- NASHEF K. 1991 *Die Orts- und Gewässernamen der altassyrischen Zeit*, Répertoire Géographique des Textes Cunéiformes, Band 4, BH TAVO B7/4, Wiesbaden.
- NAUMANN R. 1971 *Architektur Kleinasiens. Von Ihren Anfängen bis zum Ende der hethitischen Zeit*, Wasmuth: Tübingen.
- ORLIN L. L. 1970 - *Assyrian Colonies in Cappadocia*, Mouton: Paris.
- ORTHMANN W. 1963 - *Frühe Keramik von Boğazköy*, Mann: Berlin.
- ORTHMANN W. 1971 *Untersuchungen zur Späthethitischen Kunst*, Saarbrücken Beiträge zur Altertumskunde, 8: Bonn.
- ORTHMANN W. 1981 *Halawa 1977 bis 1979. Vorläufiger Bericht über die 1. bis 3. Grabungskampagne*, Habelt: Bonn.
- ÖZDOĞAN M. 1977 - *Lower Euphrates Basin 1977 Survey*, Middle East Technical University, Lower Euphrat Project Publications, Series I, N. 2: Istanbul.
- ÖZGÜÇ N. 1966 - Excavations at Acemhöyük, *Anadolu*, X: 29-52.
- ÖZGÜÇ T. 1950 - *Ausgrabungen in Kültepe, 1948*, Türk Tarih Kurumu Basimevi: Ankara.
- ÖZGÜÇ T. 1959 *Kültepe-Kaniş. New Researches at the Center of the Assyrian Trade Colony*, Türk Tarih Kurumu Basimevi: Ankara.
- ÖZGÜÇ T. 1964 - The Art and Architecture of Ancient Kanish, *Anadolu*, VIII: 27-48.
- ÖZGÜÇ T. 1986 *Kültepe-Kaniş II. New Researches at the Trading Center of the Ancient Near East*, Türk Tarih Kurumu Basimevi: Ankara.

- ÖZGÜÇ T. 1993 Alabaster Idols and Statuettes from Kültepe, in *Between the Rivers and over the Mountains. Archaeologica Anatolica et Mesopotamica Alba Palmieri Dedicata*, Frangipane M., Hauptmann H., Liverani M., Matthiae P., Mellink M. (Hrsg.), Dipartimento di Scienze Storiche Archeologiche e Antropologiche dell'Antichità, Università degli Studi di Roma "La Sapienza", Roma: 509-515.
- ÖZGÜÇ T., ÖZGÜÇ N. 1953 - *Ausgrabungen in Kültepe, 1949*, Türk Tarih Kurumu Basimevi: Ankara.
- PALMIERI A. 1967 - Inseidamento del Bronzo Antico a Gelinciktepe (Malatya), *Origini*, I: 117-193.
- PALMIERI A. 1969a - Excavations at Arslantepe (Malatya) 1968, *Türk Arkeoloji Dergisi*, XVIII-1: 99-107.
- PALMIERI A. 1969b - Recenti dati sulla stratigrafia di Arslantepe, *Origini*, III: 7-66.
- PALMIERI A. 1970 - Two Years of Excavations at Arslantepe (Malatya), *Türk Arkeoloji Dergisi* XIX-2: 203-211.
- PALMIERI A. 1973 - Scavi nell' area Sud-Occidentale di Arslantepe. Ritrovamento di una struttura templare dell' Antica Età del Bronzo, *Origini*, VII: 55-179.
- PALMIERI A. 1974 - Arslantepe (Malatya). Report on the Excavations 1972-73, *Türk Arkeoloji Dergisi*, XXI-1: 137-146.
- PALMIERI A. 1978 - Scavi ad Arslantepe (Malatya), *Quaderni de "La Ricerca Scientifica"*, 100, Consiglio Nazionale delle Ricerche, Roma: 311-352.
- PALMIERI A. 1981 - Excavations at Arslantepe (Malatya), *Anatolian Studies*, XXXI: 101-109.
- PALMIERI A. 1983a - Arslantepe Excavations 1982, *V. Kazı Sonuçları Toplantısı*, İstanbul 23-27 Mayıs 1983, Ankara (1984): 97-101.
- PALMIERI A. 1983b - Concluding Remarks, in Perspectives on Protourbanization in Eastern Anatolia: Arslantepe (Malatya). An Interim Report on 1975-83 Campaigns, *Origini* XII, II: 655-662.
- PALMIERI A. 1984 - Excavations at Arslantepe, 1983, *VI. Kazı Sonuçları Toplantısı*, İzmir 16-20 Nisan 1984, Ankara (1985): 71-78.
- PALMIERI A. 1985a - Gli scavi ad Arslantepe (Malatya), 1976-1979, *Quaderni de "La ricerca scientifica"*, 112, Consiglio Nazionale delle Ricerche, Roma: 75-114.
- PALMIERI A. 1985b - Eastern Anatolian and early Mesopotamia Urbanization: remarks on changing relations, in *Studi di Paletnologia in onore di S. M. Puglisi*, Liverani M., Palmieri A., Peroni R. (Hrsg.), Università degli Studi di Roma "La Sapienza", Roma: 191-213.
- PALMIERI A. 1985c - 1984 Excavations at Arslantepe, *VII. Kazı Sonuçları Toplantısı*, Ankara 20-24 Mayıs 1985, Ankara (1986): 29-36.
- PALMIERI A. 1986 - The 1985 Campaign at Arslantepe, Malatya, *VIII. Kazı Sonuçları Toplantısı*, I, Ankara 26-30 Mayıs 1986, Ankara (1987): 67-74.
- PALMIERI A. 1989 - Storage and distribution at Arslantepe-Malatya in the Late Uruk period, in *Anatolian and the Ancient Near East*, Emre K., Hrouda B., Mellink M., Özgüç N. (Hrsg.), Ankara: 419-430.
- PALMIERI A., FRANGIPANE M. 1989 - The 1988 Campaign at Arslantepe, Malatya, *XI. Kazı Sonuçları Toplantısı*, I, Antalya 18-23 Mayıs 1989, Ankara (1990): 191-201.
- PALMIERI A. M. 1978 - Studio sedimentologico dell'area nord-orientale di Arslantepe, Appendice I, *Quaderni de "la Ricerca Scientifica"* 100, I, Consiglio Nazionale delle Ricerche: 353-364.
- PALMIERI A. M., CELLAI L. 1983 - Sedimentological Data for the History of a Tell, *Origini*, XII, II: 629-636.
- PALMIERI A. M., SERTOK K., CHERNYKH E. 1993 - From Arslantepe metalwork to arsenical copper technology in eastern Anatolia, in *Between the Rivers and over the Mountains. Archaeologica Anatolica et Mesopotamica Alba Palmieri Dedicata*, Frangipane M., Hauptmann H., Liverani M., Matthiae P., Mellink M. (Hrsg.), Dipartimento di Scienze Storiche Archeologiche e Antropologiche dell'Antichità, Università degli Studi di Roma "La Sapienza", Roma: 573-599.
- PAZDUR M. F. 1992 - Modern Aspects of Radiocarbon Dating Method: Fundamental Concepts and Archaeological Applications, *Archeologia Moldovei*, XV: 191-211.
- PECORELLA P. E. 1975 - *Malatya-III. Rapporto preliminare delle campagne 1963-1968, il livello eteo imperiale e quelli neoetei*, *Oriens Antiqui Collectio-XII*, Centro per le Antichità e la Storia dil'Arte del Vicino Oriente: Roma.
- PERSIANI C. 1990 - *Il Bronzo Antico II nell'area di Malatya-Elazığ. Relazioni interregionali in un'area di frontiera culturale nel III millennio a.C.*, unpubblierte Doktorarbeit, Università degli Studi di Roma "La Sapienza": Roma.
- PERSIANI C. 1994 - An Early Bronze Age II pottery complex from pit K1031 in Arslantepe Period VIC, *Origini* XVIII: 391-409.
- PUGLISI S. M. 1958 - *La civiltà Appenninica. Origine delle comunità pastorali in Italia*, Sansoni: Firenze.
- PUGLISI S. M. 1962a - Campagna di Scavi a Malatya, *Oriens Antiquus*, I: 130-133.
- PUGLISI S. M. 1962b - Excavations of the Italian Mission at Arslantepe (Malatya). Season 1961, *Türk Arkeoloji Dergisi*, XI, 2: 53-55.
- PUGLISI S. M., MERIGGI P. 1964 - *Malatya I. Rapporto preliminare delle campagne 1961 e 1962*, *Oriens Antiqui Collectio-III*: Roma.

- READE J.E. 1968 - Tell Taya 1967: Summary Report, *Iraq*, 30: 234-264.
- RICE P. M. 1984a The Archaeological Study of Specialized Pottery Production: Some Aspects of Method and Theory, in *Pots and Potters*, Rice P. M. (Hrsg.), Monograph XXIV, Institute of Archaeology, University of California, Los Angeles: 45-54.
- RICE P. M. 1984b Change and Conservatism in Pottery-Producing Systems, in *The Many Dimensions of Pottery. Ceramics in Archaeology and Anthropology*, van der Leeuw S. E., Pritchard A. (Hrsg.), Universiteit van Amsterdam, Amsterdam: 231-288.
- RILEY J. A. 1984 - Pottery Analysis and the Reconstruction of Ancient Exchange System, in *The Many Dimensions of Pottery. Ceramics in Archaeology and Anthropology*, van der Leeuw S. E., Pritchard A. (Hrsg.), Universiteit van Amsterdam, Amsterdam: 79-121.
- RUSSELL H. F. 1980 - *Pre-Classical Pottery of Eastern Anatolia*, British Archaeological Report, International Series, 85: Oxford.
- SCHAEFFER C. 1948 Fouilles à Ekomi et à Arslan Tépe, *Comptes Rendus des Séances de l'Académie des Inscriptions et Belles Lettres*: 341-342.
- SCHAEFFER C. 1951 Fouilles à Ekomi et à Arslan Tépe, *Comptes Rendus des Séances de l'Académie des Inscriptions et Belles Lettres*: 325-326.
- SCHIFFER M. B. 1976 - *Behavioural Archaeology*, Academic Press: New York.
- SCHIRMER W. 1969 *Boğazköy-Hattuša VI: die Bebauung am unteren Büyükkale-Nordwesthang in Boğazköy*, Mann: Berlin.
- SCHMIDT K. 1996 - *Norşuntepe. Die Kleinfunde, I. Die lithische Industrie*, Archaeologica Euphratica. Ausgrabungen und Forschungen im Türkischen Euphratgebiet, Hauptmann H. (Hrsg.), Deutsches Archäologisches Institut Abteilung Istanbul, Verlag Philipp von Zabern: Mainz.
- SCHNEIDER EQUINI E. 1970 *Malatya-II. Rapporto preliminare delle campagne 1963-1968. Il livello romano-bizantino e le testimonianze islamiche*, Oriens Antiqui Collectio - X, Centro per le Antichità e la Storia dell'Arte del Vicino Oriente: Roma.
- SEELIGER T. C., PERNICKA E., WAGNER G. A., BEGEMANN F., SCHMITT-STRECKER S., EIBNER C., ÖZTUNALI Ö., BARANYI I. 1985 Archäometallurgische Untersuchungen in Nord- und Ostanatolien, *Jahrbuch des römisch-germanischen Zentralmuseums Mainz*, 32. Jahrgang: 597-659
- SERDAROĞLU U. 1977 - 1975 *Surveys in the Lower Euphrates Basin*, O.D.T.U. Aşağı Fırat Projesi Yayınları Seri 1, N. 1: Ankara.
- SEVIN V. 1983 - İmikuşağı Hüyük, *Anatolian Studies*, XXXIII: 249-250.
- SEVIN V. 1984a - İmikuşağı Kazıları 1983, *VI. Kazı Sonuçları Toplantısı*, Izmir 16-20 Nisan 1984, Ankara (1985): 93-102.
- SEVIN V. 1984b - İmikuşağı Hüyük, *Anatolian Studies*, XXXIV: 221-222.
- SEVIN V. 1985 - İmikuşağı Hüyük, *Anatolian Studies*, XXXV: 195-196.
- SEVIN V. 1986 - İmikuşağı Hüyük, *Anatolian Studies*, XXXVI: 197-198.
- SEVIN V. 1987a - İmikuşağı Kazıları 1986, *IX. Kazı Sonuçları Toplantısı*, I, Ankara 6-10 Nisan 1987, Ankara (1988): 299-333.
- SEVIN V. 1987b - İmikuşağı Hüyük, *Anatolian Studies*, XXXVII: 193-194.
- SEVIN V. 1988 - İmikuşağı Hüyük, *Anatolian Studies*, XXXVIII: 198-199.
- SEVIN V., DERİN Z. 1986 - İmikuşağı Kazıları, 1985, *VIII. Kazı Sonuçları Toplantısı*, I, Ankara 26-30 Mayıs 1986, Ankara (1987): 181-204.
- SEVIN V. KÖROĞLU K. 1985 - İmikuşağı Kazıları, 1984, *VII. Kazı Sonuçları Toplantısı*, Ankara 20-24 Mayıs 1985, Ankara (1986): 163-179.
- SPEISER E. A. 1935 - *Excavations at Tepe Gawra*, vol.1, University of Pennsylvania Press: Philadelphia.
- STEIN D. L. 1984 - *Khabur Ware and Nuzi Ware: Their Origin, Relationship and Significance*, Monographic Journals of the Near East, 4, 1, March, Buccellati G. (Hrsg.): Malibu.
- STEPONAITIS V. P. 1984 Technological Studies of Prehistoric Pottery from Alabama: Physical Properties and Vessel Function, in *The Many Dimensions of Pottery. Ceramics in Archaeology and Anthropology*, van der Leeuw S. E., Pritchard A. (Hrsg.), Universiteit van Amsterdam, Amsterdam: 79-121.
- STUIVER M., REIMER P. J. 1993 Extended 14C Data Base and Revised Calib 3.0 14C Age Calibration, *Radiocarbon*, 35, 1: 215-230.
- TRUFELLI F. 1994 Standardisation, mass production and potter's marks in the Late Chalcolithic pottery of Arslantepe (Malatya), *Origini XVIII*: 245-289.
- TUFNEL O. 1958 *Lachish IV: The Bronze Age*, Wellcome-Marston Archaeological Research Expedition, Oxford University Press: London.
- UZUNOĞLU E. 1985 İmamoğlu Kazıları 1984 Yılı Çalışmaları, *VII. Kazı Sonuçları Toplantısı*, Ankara 20-24 Mayıs 1985, Ankara (1986): 181-199.

- UZUNOĞLU E. 1986 - Malatya-İmamoğlu Höyüğünde 1985 Yılı Kazı Çalışmaları, VIII. Kazı Sonuçları Toplantısı, I, Ankara 26-30 Mayıs 1986, Ankara (1987): 213-229.
- UZUNOĞLU E. 1987 - Malatya İmamoğlu Höyüğü 1986 Yılı Kazı Çalışmaları, IX. Kazı Sonuçları Toplantısı, I, Ankara 6-10 Nisan 1987, Ankara (1988): 205-228.
- UZUNOĞLU E. 1988 - Malatya İmamoğlu Höyüğü, 1987 Yılı Kazısı Sonuçları, X. Kazı Sonuçları Toplantısı, I, Ankara 23-27 Mayıs 1988, Ankara (1989): 71-93.
- VAN AS A. 1984 - Reconstructing the Potter's Craft, in *The Many Dimensions of Pottery. Ceramics in Archaeology and Anthropology*, van der Leeuw S. E., Pritchard A. (Hrsg.), Universiteit van Amsterdam, Amsterdam: 129-159.
- VAN DER LEEUW S. E., PRITCHARD A. C. (Hrsg.) 1984 *The Many Dimensions of Pottery. Ceramics in Archaeology and Anthropology*, Universiteit van Amsterdam: Amsterdam.
- VAN LOON M. N. (Hrsg.) 1978 - *Korucutepe 2*, North-Holland Publishing Company: Amsterdam.
- VAN LOON M. N. (Hrsg.) 1980 - *Korucutepe 3*, North-Holland Publishing Company: Amsterdam.
- VEENHOF K. R. 1972 - *Aspects of Old Assyrian Trade and Its Terminology*, Brill: Leiden.
- VON DER OSTEN H. H. 1937 *The Alishar Hüyük. Seasons of 1930-1932. II*, Oriental Institute Publications, 29: Chicago.
- WATSON P. J. 1979 - The Idea of Ethnoarchaeology: Notes and Comments, in *Ethnoarchaeology. Implications of Ethnography for Archaeology*, Kramer C. (Hrsg.), Columbia University Press, New York: 277-287.
- WEIDNER E. 1952-53 - Ausgrabungen in Arslan Tepe, *Archiv für Orientforschung* XVI: 151-152.
- WHALLON R. 1979 - *An Archaeological Survey of the Keban Reservoir Area of East-Central Turkey*, Memoirs of the Museum of Anthropology, University of Michigan, N. 11: Ann Arbor.
- WILKINSON T. J. 1990 - *Town and Country in Southeastern Anatolia, vol. I. Settlement and Land Use at the Kurban Höyük and Sites in the Lower Karababa Basin*, The University of Chicago, Oriental Institute Publications: Chicago.
- WILLCOX G. H. 1974 - A History of Deforestation as indicated by Charcoal Analysis of Four Sites in Eastern Anatolia, *Anatolian Studies*, XXIV: 117-133.
- WOOLLEY C. L. 1921 - *Carchemish, vol. 2: The Town Defenses*, British Museum: London.
- WRIGHT G. E. 1965 - *Shechem, the Biography of a Biblical City*, G. Duckworth: London.

ANHANG 1. KATALOG DER KERAMIK¹

Tafel	Inv. Tp. W.	Beschreibung	Ton		Oberfläche		Herkunft
			Tp. F. Mag.	F. Behandl.	a. i.	a. i.	
1 1	3 0 B	SCHÜSSELFRAGMENT	F G	G G	C C	E8(10-11)A480.7c	
1 2	17 4 F	SCHÜSSELFRAGMENT	S B L	A A	U U	E8(11)3α	
1 3	19 4 F	SCHÜSSELFRAGMENT	S R L	A A	EC EC	E8(10)K587.2	
1 4	1 0 N	SCHÜSSELFRAGMENT	G Gr	L N N	E E	E8(5)A58rM2	
1 5	18 4 F	SCHÜSSELFRAGMENT	F B	B B	C C	E8(11)A480.7a.rP1	
1 6	14 3 R	SCHÜSSELFRAGMENT	F B L	R R	U U	E8(11)4αβ	
1 7	2 0 R	SCHÜSSELFRAGMENT	F B L	R B	U E	E8(11)3a	
1 8	10 2 R	SCHÜSSELFRAGMENT	S Gr Lb	M M	U U	D8(7-8)6b	
1 9	4 1 R	SCHÜSSELFRAGMENT	F A L	R R	L L	E8(11)3a	
1 10	13 3 R	SCHÜSSELFRAGMENT	F Gr L	R R	L L	E8(11)3cα	
1 11	9 2 R	SCHÜSSELFRAGMENT	S A L	R R	U U	D8(7-8)K668.1	
1 12	12 3 R	SCHÜSSELFRAGMENT	S Gr L	R R	U U	E8(11)3α	
1 13	6 1 R	SCHÜSSELFRAGMENT	F B L	R R	U C	E8(5)5e	
1 14	15 3 R	SCHÜSSELFRAGMENT	S A L	R R	U U	E8(5)5a	
1 15	11 2 R	SCHÜSSELFRAGMENT	F A L	R R	U U	E8(5)5c	
1 16	7 0 R	SCHÜSSELFRAGMENT	S Gr L	R R	U U	E8(10-11)3aα	
1 17	5 1 R	SCHÜSSELFRAGMENT	S Gr L	RM RM	U U	D8(7-8)K668.1	
1 18	20 5 R	SCHÜSSELFRAGMENT	F R L	A A	U U	E8(11)4αβ	
1 19	22 5 R	SCHÜSSELFRAGMENT	F B L	R R	U U	E8(11)3a	
1 20	8 2 R	SCHÜSSELFRAGMENT	F Gr L	R R	U U	E8(5)9	
1 21	21 5 R	SCHÜSSELFRAGMENT	F B L	R R	U U	C8(11)4αβ	
1 22	16 0 R	SCHÜSSELFRAGMENT	F Gr L	R R	U U	E8(6-10)3f	
2 1	23 6 R	SCHÜSSELFRAGMENT	F MG L	M M	EL EL	E8(11)4aαβ	
2 2	24 6 R	SCHÜSSELFRAGMENT	F Gr L	N N	U U	E9(7)* K808.2f	
2 3	26 6 R	SCHÜSSELFRAGMENT	F B L	R R	U U	E8(10-11)3bα	

¹ Der Katalog der Keramik ist mit einem alphanumerische Code zusammengefaßt. Die Abkürzungen sind: **Inv.** = Inventarnummer; **Tp.** = Typ (Typnummer); **W.** = Ware (R = Scheibengedrehte, rot überzogene Ware; N = schwarze Ware; G = graue Ware; M = Braune Ware; A = scheibengedrehte orange Ware; B = scheibengedrehte beige Ware; F = feine beige Ware; D = handgemachte bemalte Ware; H = scheibengedrehte bemalte Ware); **Beschreibung** = kurze Definition der Klasse und Kategorie; **Ton** = Kennzeichen des Tones: Typ (**Tp.**), Farbe (**F.**) und Magerung (**Mag.**). Der Ton kann fein (F), halfein (S) und grob (G) sein. Die Farbe ist sehr veränderlich und sie ist von einem Code, *Munsell Soil Chart*, Macbeth Division of Kollmorgen Instruments Corporation, Baltimore, Maryland, 1988 Edition, definiert (vgl. Fußnote 1, Kapitel 6). Die alphabetische Abkürzungen der Farben sind: R = Rot; N = Schwarz; M = Braun; Gr = Grau; B = Beige; A = Orange. Die Kombination zwei Abkürzungen stellt die Veräglichkeit der Farben vor. Die Magerung (**Mag.**) des Tones kann sein: L = mineralische Magerung; Lb = mineralische Magerung mit weißen Körnchen; P = Pflanzmagerung; LP = Stein-Pflanzmagerung. Die **Oberfläche** jedes Fragments (Fr.) ist mit der Farbe (**F.**) und mit der außen (**a.**) und innen (**i.**) Behandlung (**Behandl.**) beschrieben. Der Farbcode ist gleich dem des Tones; die Oberflächebehandlung hat die folgenden Abkürzungen: U = überzogen; L = poliert; E = geglättet; C = ungeglättet. Zum Schluß definiert die **Herkunft** die Lokalisierung des Grabungsareales, des Raumes und der Schicht jedes Fragments.

Anhang 1. Katalog der Keramik

Tafel	Inv.Tp. W.	Beschreibung	Ton			Oberfläche			Herkunft	
			Tp.	F.	Mag.	F.	Behandl.			
							a.	i.		a.
2 4	27 0 R	SCHÜSSELFRAGMENT	F	R	L	R	R	U	U	E8(10-11)3aα
2 5	25 6 R	SCHÜSSELFRAGMENT	S	Gr	Lb	R	MR	U	U	E8(11)3ba
2 6	29 7 B	SCHÜSSELFRAGMENT	F	B	L	B	B	C	C	E8(6-10)2c
2 7	34 8 N	SCHÜSSELFRAGMENT	S	Gr	L	N	N	U	U	E8(11)6α
2 8	28 0 R	SCHÜSSELFRAGMENT	S	Gr	L	MR	MR	L	L	E8(11)rE47
2 9	35 8 M	SCHÜSSELFRAGMENT	S	A	Lb	M	M	U	U	E8(10)4b
2 10	30 7 F	SCHÜSSELFRAGMENT	F	B	L	B	B	U	U	E8(10)K660.1
2 11	36 0 N	SCHÜSSELFRAGMENT	S	Gr	L	N	N	U	U	E8(10)K661.1
2 12	425 7 F	SCHÜSSELFRAGMENT	F	B	L	B	B	U	U	D8(8-12)6b
2 13	37 9 N	SCHÜSSELFRAGMENT	F	Gr	L	N	N	U	U	E8(10)4b
2 14	32 7 F	SCHÜSSELFRAGMENT	F	B	L	B	B	U	U	E8(9-10)K587.2
2 15	38 9 N	SCHÜSSELFRAGMENT	F	Gr	L	N	N	U	U	E8(10-14)3a(M62)
2 16	31 7 F	SCHÜSSELFRAGMENT	F	B	L	B	B	U	U	E8(6)4b
2 17	39 10 N	SCHÜSSELFRAGMENT	F	Gr	L	N	N	L	L	E8(11)A481.rP1
2 18	33 0 B	SCHÜSSELFRAGMENT	S	B	L	B	B	E	E	E8(5)4g
3 1	40 10 N	SCHÜSSELFRAGMENT	S	A	L	NM	NM	E	E	E8(5)4f
3 2	42 10 N	SCHÜSSELFRAGMENT	S	N	L	N	N	L	L	E8(10)A481.rP3
3 3	45 11 G	SCHÜSSELFRAGMENT	G	Gr	L	Gr	Gr	E	C	E8(10)2b
3 4	43 10 N	SCHÜSSELFRAGMENT	S	Gr	L	N	N	L	L	D8(7-8)K669.2
3 5	47 12 N	SCHÜSSELFRAGMENT	S	-	L	M	M	L	L	E8(11)A481.rP4=485
3 6	44 11 N	SCHÜSSELFRAGMENT	G	N	L	N	N	L	L	E8(5)5c
3 7	46 12 N	SCHÜSSELFRAGMENT	S	Gr	L	N	N	L	L	E8(5)g 2b
3 8	48 12 N	SCHÜSSELFRAGMENT	S	B	L	N	N	U	U	E8(11)4aβ
3 9	49 12 N	SCHÜSSELFRAGMENT	F	Gr	L	N	N	L	L	E8(10)A481.rPr2
3 10	50 0 N	SCHÜSSELFRAGMENT	F	Gr	L	Gr	Gr	U	U	E8(6-10)3f
3 11	41 10 R	SCHÜSSELFRAGMENT	F	Gr	L	R	B	U	U	E8(11)rM55
3 12	51 0 B	SCHÜSSELFRAGMENT	S	Gr	L	B	B	L	L	E8(10-11)3ba
3 13	58 14 N	SCHÜSSELFRAGMENT	F	Gr	L	N	N	L	L	E8(11)4aβ
3 14	52 0 R	SCHÜSSELFRAGMENT	F	Gr	L	R	R	U	U	D9(8)5
3 15	53 0 N	SCHÜSSELFRAGMENT	S	N	L	N	N	U	U	D8(8)A456.rM2
3 16	54 13 R	SCHÜSSELFRAGMENT	F	Gr	L	R	R	U	U	D9(8)rM47
3 17	59 14 R	SCHÜSSELFRAGMENT	S	Gr	L	R	R	U	U	D8(7-8)K668.2
3 18	55 13 R	SCHÜSSELFRAGMENT	S	Gr	L	R	R	U	U	L4S31
3 19	60 14 N	SCHÜSSELFRAGMENT	S	Gr	L	N	N	L	L	E8(11)6α
4 1	62 15 R	SCHÜSSELFRAGMENT	S	Gr	L	M	M	U	U	E8(10)2a
4 2	61 15 R	SCHÜSSELFRAGMENT	S	Gr	L	MR	MR	U	U	E8(11)5b
4 3	57 0 R	SCHÜSSELFRAGMENT	F	Gr	L	M	M	U	U	E8(9)4ey
4 4	63 15 N	SCHÜSSELFRAGMENT	S	Gr	L	N	N	U	U	E8(10-11)K603
4 5	64 15 R	SCHÜSSELFRAGMENT	S	A	L	R	R	U	U	D8(7)K674.1
4 6	65 15 N	SCHÜSSELFRAGMENT	S	Gr	L	N	N	L	L	E8(11)4aβ
4 7	70 16 R	SCHÜSSELFRAGMENT	F	A	L	R	R	U	U	E8(11)A453.1c
4 8	66 0 R	SCHÜSSELFRAGMENT	F	A	L	R	R	E	E	E8(11)3cα
4 9	73 17 R	SCHÜSSELFRAGMENT	F	Gr	L	R	R	U	U	E8(6-10)3f
4 10	56 0 R	SCHÜSSELFRAGMENT	S	A	L	R	R	U	U	E8(10)K612.2a
4 11	67 16 R	SCHÜSSELFRAGMENT	S	A	L	R	R	U	U	D8(7-8)4b
4 12	85 0 B	SCHÜSSELFRAGMENT	S	B	L	B	B	U	E	E8(5)5b
4 13	69 16 R	SCHÜSSELFRAGMENT	F	M	Lb	R	R	L	L	E8(10-11)3ba
4 14	71 0 N	SCHÜSSELFRAGMENT	F	Gr	L	N	N	L	L	E8(11)4aβ
4 15	74 0 M	SCHÜSSELFRAGMENT	S	Gr	L	M	M	U	U	E8(11)4aβ
4 16	72 17 R	SCHÜSSELFRAGMENT	F	B	L	R	R	U	U	E8(11)4aβ

Anhang 1. Katalog der Keramik

Tafel	Inv.Tp. W.	Beschreibung	Ton			Oberfläche			Herkunft
			Tp.	F.	Mag.	F.	Behandl.		
							a.	i.	
4 17	68 16 N	SCHÜSSELFRAGMENT	F	Gr	L	M	L	L	E8(10)K612.bis
4 18	75 18 G	SCHÜSSELFRAGMENT	S	Gr	Lb	Gr	Gr	E	E D8(8-12)1c
4 19	76 18 R	SCHÜSSELFRAGMENT	F	B	L	R	R	U	U E8(11)A451.x1
5 1	77 18 R	SCHÜSSELFRAGMENT	S	Gr	L	R	R	U	U E8(5-9)K596.1
5 2	78 18 R	SCHÜSSELFRAGMENT	F	Gr	L	R	R	L	L E8(11)3cα
5 3	79 18 R	SCHÜSSELFRAGMENT	F	A	L	R	R	U	U E8(11)A453.1c
5 4	83 0 N	SCHÜSSELFRAGMENT	F	Gr	L	N	N	U	U E8(10-11)K603
5 5	80 18 R	SCHÜSSELFRAGMENT	F	Gr	L	R	R	U	U D8(13)4dα
5 6	84 0 A	SCHÜSSELFRAGMENT	S	A	Lb	A	A	C	C E8(10)9
5 7	81 18 R	SCHÜSSELFRAGMENT	F	Gr	L	R	R	U	U E8(5)K638.1b
5 8	97 20 B	SCHÜSSELFRAGMENT	S	R	L	M	M	E	E E8(5)K638.1
5 9	82 0 N	SCHÜSSELFRAGMENT	S	Gr	L	N	N	U	U D8(7)6b
5 10	87 0 A	SCHÜSSELFRAGMENT	S	A	Lb	A	A	C	C E8(5)K637.2
5 11	92 19 B	SCHÜSSELFRAGMENT	S	B	Lb	B	B	C	C E8(11)4a
5 12	93 19 H	SCHÜSSELFRAGMENT	S	A	Lb	B	B	U	E E8(5)4f
5 13	95 20 A	SCHÜSSEL	S	Gr	Lb	RM	RM	C	C E8(5)K638.1b
5 14	101 21 A	SCHÜSSELFRAGMENT	S	A	L	A	A	C	C E8(5)K638.1c
5 15	90 19 B	SCHÜSSELFRAGMENT	S	A	Lb	B	B	C	C D8(8)6c
5 16	86 0 A	SCHÜSSEL	S	A	L	A	A	C	C E8(5)K638.1b
5 17	88 19 A	SCHÜSSEL	S	A	L	A	A	C	C E8(5)K639.1
5 18	89 19 B	SCHÜSSELFRAGMENT	S	Gr	L	B	B	C	C E8(5)4g
5 19	94 0 A	SCHÜSSELFRAGMENT	S	A	L	A	A	C	C E8(5-6)K643.1
6 1	91 19 B	SCHÜSSELFRAGMENT	S	Gr	Lb	Gr	Gr	C	C E8(10)K587.2
6 2	108 0 M	SCHÜSSELFRAGMENT	S	Gr	LP	MB	MB	E	E E8(10-11)A480.7c
6 3	119 0 D	TOPFFRAGMENT	S	A	Lb	B	B	U	C E8(10)A455.rP1
6 4	96 20 B	SCHÜSSELFRAGMENT	S	M	Lb	M	M	E	C E8(5)K638.1
6 5	117 0 F	TOPFFRAGMENT	F	B	B	B	B	U	U D8(7)6d
6 6	109 0 M	TASSE	-	-	Gr	L	L	-	D8(4)A58 X4
6 7	99 20 B	SCHÜSSELFRAGMENT	S	M	Lb	M	M	C	C E8(5)K638.1
6 8	118 0 B	TOPFFRAGMENT	S	A	L	B	A	C	C E8(5-6)3b
6 9	98 20 B	SCHÜSSELFRAGMENT	S	B	L	B	B	C	C E8(10)2a
6 10	102 21 A	SCHÜSSELFRAGMENT	S	A	L	A	A	C	C D8(7)3α
6 11	112 23 D	TASSEFRAGMENT	S	B	Lb	B	B	U	C E8(10)K612.1
6 12	100 20 B	SCHÜSSELFRAGMENT	S	Gr	Lb	B	B	C	C D8(7)A295.1a
6 13	107 0 R	SCHÜSSELFRAGMENT	F	A	L	R	R	L	L E8(11)3cα
6 14	103 21 B	SCHÜSSELFRAGMENT	S	B	L	B	B	C	C E8(6)6a-b
6 15	115 24 D	TASSEFRAGMENT	S	A	Lb	B	B	C	C E8(5)K638.1b
6 16	110 23 D	TASSEFRAGMENT	S	A	L	B	B	C	C E8(10)K612.1
6 17	104 22 R	SCHÜSSELFRAGMENT	F	B	L	R	R	L	L E8(10)K576.1a
6 18	116 24 D	TASSEFRAGMENT	F	B	Lb	B	B	U	C E8(10-14)2c
6 19	114 24 D	TASSEFRAGMENT	S	A	Lb	B	B	U	C D8(7)K598
6 20	105 22 B	SCHÜSSELFRAGMENT	F	M	L	M	M	C	C E8(10-11)6a
6 21	106 22 R	SCHÜSSELFRAGMENT	S	A	L	R	R	E	C E8(11)4cβ
6 22	111 23 D	TASSEFRAGMENT	S	Gr	Lb	B	B	U	C E8(9)K585
6 23	113 24 D	TASSE	F	A	Lb	B	B	U	U D9(10-11)D9(11)K294.2
7 1	123 25 H	TOPFFRAGMENT	F	B	L	B	B	U	C E8(5)K597.1
7 2	132 0 B	TOPFFRAGMENT	F	B	B	B	B	C	C E8(10)9b
7 3	131 0 B	TOPFFRAGMENT	S	Gr	L	A	M	C	C E8(5-6)3b
7 4	121 0 H	TOPFFRAGMENT	F	A	L	B	B	C	C E8(5-6)4c
7 5	135 0 N	TOPFFRAGMENT	F	Gr	L	N	N	L	L E8(11)E8(10-11-14-15)4aβ

Anhang 1. Katalog der Keramik

Tafel	Inv.Tp. W.	Beschreibung	Ton		Oberfläche		Herkunft
			Tp. F. Mag.	F. Behandl.	a. i. a. i.		
7 6	137 0 B	TOPFFRAGMENT	F B L	B B C	C D8(8)A58.rP1		
7 7	122 25 H	TOPFFRAGMENT	S B L	B B U	U E8(5-6)2-3		
7 8	136 0 N	TOPFFRAGMENT	S N L	N N L	L E8(10-11)A480		
7 9	127 26 H	TOPFFRAGMENT	S Gr L	B B E	E E8(10-11)K582.1		
7 10	120 0 H	TOPFFRAGMENT	S B L	B B U	C E8(5)γ 2		
7 11	150 0 B	TOPFFRAGMENT	S B L	B B E	C E8(9-10)K612.2b		
7 12	128 26 G	TOPFFRAGMENT	S B L	Gr Gr L	L D8(7)6b		
7 13	126 0 R	TOPFFRAGMENT	F B Lb	R B U	U E8(5)K638.1b		
7 14	157 30 B	TOPFFRAGMENT	S Gr L	B B U	C E8(9)4by		
7 15	129 26 G	TOPFFRAGMENT	S Gr L	Gr Gr L	L D8(8-12)rm56		
7 16	134 0 G	TOPFFRAGMENT	F Gr L	Gr Gr U	U D8(8)A456.rP1		
7 17	130 0 G	TOPFFRAGMENT	S Gr L	Gr Gr E	E E8(5)K638.1b		
7 18	133 0 B	TOPFFRAGMENT	F B L	B B C	C E8(10)E8(9-10)K612		
7 19	124 0 N	TOPFFRAGMENT	S N L	N M E	E E8(10)K611.1b		
7 20	125 0 D	TOPFFRAGMENT	S B Lb	B B U	U E8(10-14)K587.2		
8 1	147 27 M	TOPFFRAGMENT	S M L	M M L	L D8(8)E8(5)4 D8(8)A456rM		
8 2	145 27 M	TOPFFRAGMENT	S Gr L	MV MV L	C E8(9)1a		
8 3	148 28 M	TOPFFRAGMENT	S Gr L	MN MN L	C E8(5)4f		
8 4	146 27 M	TOPFFRAGMENT	S Gr L	MV MV L	C E8(5)4a		
8 5	144 27 M	TOPFFRAGMENT	G M L	MB MB E	E E8(5-6)4α		
8 6	149 28 M	TOPFFRAGMENT	G Gr L	B B C	C E8(5)3α		
8 7	151 29 M	TOPFFRAGMENT	G Gr L	V Gr L	C E8(5-6)3d		
8 8	152 29 M	TOPFFRAGMENT	G M L	M M L	L E8(5-6)3d		
8 9	153 29 G	TOPFFRAGMENT	S Gr L	Gr Gr L	C E8(6-10)K625.1		
9 1	138 0 N	TOPFFRAGMENT	S Gr L	N N E	E E8(10)9a		
9 2	162 31 A	TOPFFRAGMENT	S Gr Lb	A A C	C E8(6)6a-b		
9 3	140 0 N	TOPFFRAGMENT	S Gr L	N N L	L D8(7-8)4b		
9 4	166 33 H	TOPFFRAGMENT	S B L	B B C	C E8(6-10)2c		
9 5	165 33 H	TOPFFRAGMENT	G Gr L	A A C	C E8(5-9)E(5)K638.2a		
9 6	174 35 A	TOPFFRAGMENT	S A L	A A C	C D8(8)4c		
9 7	139 0 B	TOPFFRAGMENT	S B L	B B U	U D8(8)6d		
9 8	156 0 D	TOPFFRAGMENT	S A L	Bi B U	L E8(11)5b		
9 9	171 35 B	TOPFFRAGMENT	S B L	B B C	C E8(5)4e		
9 10	175 35 H	TOPFFRAGMENT	S B L	B B C	C E8(5)4a		
9 11	172 35 H	TOPFFRAGMENT	S B L	B B C	C E8(6)3d		
9 12	170 34 A	TOPFFRAGMENT	S A L	A A E	C E8(5)4g		
9 13	141 0 B	TOPFFRAGMENT	S B Lb	B B U	U E8(5)4g		
9 14	173 35 H	TOPFFRAGMENT	S B L	B B C	C E8(9-10)K601.2		
9 15	168 34 D	TOPFFRAGMENT	S B L	B B U	E E8(5-6-9-10)3f		
10 1	154 0 B	TOPFFRAGMENT	F Gr L	B B C	C E8(5)3b		
10 2	158 30 B	TOPFFRAGMENT	S A Lb	B B C	C E8(5-9)K596.1		
10 3	160 30 A	TOPFFRAGMENT	S A L	A Gr C	C D8(7)1c		
10 4	142 0 M	TOPFFRAGMENT	G Gr L	M Gr E	E E8(5)4a		
10 5	143 27 N	TOPFFRAGMENT	G Gr L	N N L	L D8(7-8)4a		
10 6	161 31 N	TOPFFRAGMENT	G Gr L	N MN E	C D8(10)K588.2		
10 7	169 34 D	TOPFFRAGMENT	G Gr L	B B U	U D8(16)s		
11 1	167 33 H	TOPFFRAGMENT	S B L	B B U	- D8(7-8)K645.1		
11 2	179 36 B	TOPFFRAGMENT	G B L	B B U	C E8(5)4f		
11 3	178 36 A	TOPFFRAGMENT	G Gr L	A M C	C E8(10)K656.1		
11 4	180 36 A	TOPFFRAGMENT	S A L	A A C	C E8(6)3a		

Anhang 1. Katalog der Keramik

Tafel	Inv. Tp. W.	Beschreibung	Ton		Oberfläche		Herkunft
			Tp. F. Mag.		F. Behandl.		
					a. i. a. i.		
11 5	190 0 D	TOPFFRAGMENT	S	A Lb	B R	E E	E8(10-11-14-15)K627.1
11 6	181 36 B	TOPFFRAGMENT	S	A L B	B B	U U	E8(5-6)4f
11 7	193 39 D	TOPFFRAGMENT	F	A -	B B	U U	E8(5-6)5a-d
11 8	176 35 M	TOPFFRAGMENT	G Gr	L M	M E	EC	E8(9)2b
11 9	186 38 H	TOPFFRAGMENT	S	B L B	B -	-	E8(5)K637.1
11 10	191 0 D	TOPFFRAGMENT	F	B L M	B U	C	D8(8)A496.1d
11 11	241 48 M	TOPFFRAGMENT	G	A L MR	MR C	C	E8(5)4b
11 12	183 37 H	TOPFFRAGMENT	S	Gr L	B B	U C	E8(5)3a
11 13	177 0 M	TOPF	G	N Lb	MV Gr	E C	C7(15)C8(3)E63
12 1	182 36 B	TOPFFRAGMENT	S	A L B	B C	C	E8(5-9)K579.1
12 2	200 41 D	TOPFFRAGMENT	S	A L B	B E	E	E8(6-10)K625
12 3	184 37 D	TOPFFRAGMENT	S	A L B	B C	C	E8(10-11)K586.2
12 4	206 42 D	TOPFFRAGMENT	S	B Lb	B B	E C	E8(10-14)K587.2
12 5	203 41 D	TOPFFRAGMENT	F	B L B	B L	L	D8(7-8)6b-d
12 6	185 37 B	TOPFFRAGMENT	S	A Lb	B B	E E	E8(10)K660
12 7	187 38 G	TOPFFRAGMENT	G Gr	L Gr	Gr L	L	E8(5-6)5d
12 8	207 42 D	TOPFFRAGMENT	S	Gr L	B B	U E	E8(5)4b
12 9	192 0 M	TOPFFRAGMENT	G Gr	L M	M E	E	E8(9-10)K612.1
12 10	194 39 D	TOPFFRAGMENT	S	B Lb	B B	E E	D8(8)6e
12 11	202 41 D	TOPFFRAGMENT	S	A Lb	B B	E	E8(11)5α
12 12	195 39 H	TOPFFRAGMENT	S	B L	B B	U U	D8(8)6c
12 13	201 41 D	TOPFFRAGMENT	S	A Lb	B B	U E	E8(5)g 2
12 14	197 40 D	TOPFFRAGMENT	S	A L B	B U	U	E8(5)5c
12 15	208 42 D	TOPFFRAGMENT	S	A L B	B B	E E	D8(8)A58.rP1
12 16	228 46 M	TOPFFRAGMENT	S	Gr L	M M	U U	E8(11)4αβ
13 1	204 41 D	TOPFFRAGMENT	S	A Lb	B B	E E	E8(10-14)K606
13 2	198 40 A	TOPFFRAGMENT	S	A L A	A U	U	E8(5)D8(8)5a
13 3	205 41 D	TOPFFRAGMENT	S	B L B	B U	U	E8(5)5b
13 4	196 39 D	TOPFFRAGMENT	S	B L B	B U	U	E8(6-10)K625.1
13 5	188 38 M	TOPFFRAGMENT	G Gr	L M	MN L	L	E8(5-6)K639.1
13 6	211 43 B	TOPFFRAGMENT	S	A L M	A L	L	D8(7)K670.1
13 7	210 43 B	TOPFFRAGMENT	S	B L B	B C	C	D8(8)A456.rP2
14 1	212 43 A	TOPFFRAGMENT	S	A L A	A E	E	D8(7)6α
14 2	213 43 M	TOPFFRAGMENT	G Gr	L M	M L	L	E8(9)1c
14 3	214 43 M	TOPFFRAGMENT	G Gr	L M	M E	E	E8(5)3α
14 4	215 43 M	TOPFFRAGMENT	G	M L	M E	E	D8(7)K598.1
14 5	216 43 B	TOPFFRAGMENT	S	Gr L	B Gr	E	C E8(5)3α
14 6	220 44 M	TOPFFRAGMENT	G Gr	L M	M E	E	E8(5-6)A58.rM2
14 7	222 44 M	TOPFFRAGMENT	G Gr	L M	M E	E	E8(5-6)A58.rM2
14 8	218 44 M	TOPFFRAGMENT	G Gr	L M	Gr E	C	E8(9)1a
15 1	234 47 G	TOPFFRAGMENT	G Gr	L Gr	Gr E	E	E8(5-9)K672.1a
15 2	223 44 M	TOPFFRAGMENT	G	M L M	M E	E	D8(8)A58.rFc1
15 3	230 46 M	TOPFFRAGMENT	G Gr	L M	N E	E	E8(5)5b
15 4	217 0 B	TOPFFRAGMENT	F	B L B	B C	C	E8(5)5c
15 5	221 44 M	TOPFFRAGMENT	G Gr	L N	N E	E	E8(6)1b
15 6	224 44 A	TOPFFRAGMENT	G Gr	L A	M E	E	E8(5-6)3α
15 7	243 49 M	TOPFFRAGMENT	S	Gr L	M M	E	E8(5-6)2-3
15 8	244 49 G	TOPFFRAGMENT	S	Gr L	Gr Gr	L	E D8(7)A64.rM?
16 1	219 44 M	TOPFFRAGMENT	G Gr	L M	M E	E	E8(5-6)3b
16 2	226 45 M	TOPFFRAGMENT	G Gr	L Gr	Gr E	C	E8(6)1b

Anhang 1. Katalog der Keramik

Tafel	Inv.Tp. W.	Beschreibung	Ton			Oberfläche		Herkunft		
			Tp.	F.	Mag.	F.	Behandl.			
						a.	i. a. i.			
16 3	227 45 M	TOPFFRAGMENT	G	M	L	M	M	C	C	E8(6)2-3
16 4	237 48 M	TOPFFRAGMENT	G	M	L	M	M	L	L	E8(5)D8(8)5c
16 5	238 48 A	TOPFFRAGMENT	S	A	L	A	A	E	E	D8(7-8)K645.1
16 6	239 48 M	TOPFFRAGMENT	G	M	L	M	M	E	E	E8(5)A58.rQ1
16 7	249 51 M	TOPFFRAGMENT	G	Gr	L	M	M	E	E	E8(5)4a-g
17 1	250 51 N	TOPFFRAGMENT	G	Gr	L	N	N	E	E	D8(8)A457.rP1
17 2	253 52 N	TOPFFRAGMENT	S	Gr	L	N	N	L	L	E8(10-11)K582.1
17 3	254 52 G	TOPFFRAGMENT	G	Gr	L	Gr	Gr	E	C	E8(5)4f
17 4	252 51 N	TOPFFRAGMENT	G	Gr	L	N	Gr	E	E	D8(7-8)4c
17 5	251 51 B	TOPFFRAGMENT	G	B	L	B	B	E	E	E8(5)5a
17 6	255 52 M	TOPFFRAGMENT	S	Gr	L	Gr	Gr	E	E	D8(3-7)K669.2
17 7	256 52 M	TOPFFRAGMENT	G	A	L	M	M	E	E	D8(7)1a
17 8	247 0 M	TOPFFRAGMENT	G	Gr	L	M	M	L	L	E8(5-6)5b
17 9	246 50 B	TOPFFRAGMENT	S	A	Lb	B	A	C	C	E8(6-10)K625.1
18 1	233 47 B	TOPFFRAGMENT	S	B	L	B	B	C	C	D8(8)A456.rP1
18 2	248 51 M	TOPFFRAGMENT	S	A	L	M	M	E	C	E9(8)4b
18 3	257 53 N	TOPFFRAGMENT	S	N	L	N	N	L	L	E8(10)A481.rP1
18 4	258 53 M	TOPFFRAGMENT	G	Gr	L	M	M	E	E	E8(5-6)2-3
18 5	259 53 N	TOPFFRAGMENT	G	NM	L	N	M	E	E	E8(5)3a
18 6	242 0 M	TOPFFRAGMENT	G	A	L	M	M	E	E	E8(5-6)4c
18 7	260 53 M	TOPFFRAGMENT	G	Gr	L	M	MN	E	E	E8(5)4e
19 1	232 47 A	TOPFFRAGMENT	S	A	L	A	A	E	E	E8(10)K612.1
19 2	275 0 H	TOPFFRAGMENT	S	A	L	B	B	U	U	E8(5)4a
19 3	267 0 M	TOPFFRAGMENT	G	Gr	L	M	M	E	E	E8(5)4g
19 4	279 0 B	TOPFFRAGMENT	S	B	Lb	B	B	C	C	E8(6)4c
19 5	273 0 R	TOPFFRAGMENT	F	Gr	L	R	R	U	U	E8(11)rM55
19 6	274 0 R	TOPFFRAGMENT	F	Gr	L	R	R	U	U	E8(10-11)3aα
19 7	270 0 M	TOPFFRAGMENT	G	Gr	L	M	M	E	E	D8(8)6b
19 8	295 0 R	BECKENFRAGMENT	F	A	L	R	R	U	U	E8(9-10)4a
20 1	288 0 R	BECKENFRAGMENT	S	Gr	L	R	R	U	U	E8(11)6a
20 2	281 0 N	TOPFFRAGMENT	G	N	L	N	N	E	E	E8(5-6)A58.rM2
20 3	282 0 G	TOPFFRAGMENT	G	Gr	L	Gr	Gr	E	E	E8(5)D8(8)6α
20 4	280 0 M	TOPFFRAGMENT	G	A	L	M	M	C	C	D8(8)6c
20 5	283 0 N	BECKENFRAGMENT	G	Gr	L	Gr	M	E	E	D8(8)E8(5)6c
20 6	284 0 M	BECKENFRAGMENT	G	M	L	M	M	C	C	E8(10-11)1rM58
20 7	286 0 R	BECKENFRAGMENT	S	A	L	R	R	U	U	E8(9-10)4α
20 8	287 0 R	BECKENFRAGMENT	S	R	Lb	R	R	U	U	E8(10-11)rM62
20 9	285 0 B	BECKENFRAGMENT	S	Gr	L	Gr	B	C	C	E8(10-11)K582.1
21 1	303 0 N	GEFÄßFRAGMENT	G	Gr	L	N	N	L	E	E8(5)4f
21 2	304 58 M	GEFÄßFRAGMENT	G	Gr	L	M	M	E	E	E8(5-6)3b
21 3	305 58 M	GEFÄßFRAGMENT	G	A	L	M	M	E	E	E8(5-6)3b
21 4	290 0 N	BECKENFRAGMENT	S	N	L	N	N	L	L	E8(11)A480.rP1
21 5	291 55 N	BECKENFRAGMENT	S	Gr	L	MN	MN	L	L	E8(10-11)A480.1
21 6	292 55 R	BECKENFRAGMENT	S	N	L	R	R	E	E	D8(8)A456.rM2
21 7	300 57 M	BECKENFRAGMENT	G	M	L	M	M	E	E	E8(5)5a
21 8	301 57 M	BECKENFRAGMENT	G	Gr	L	M	M	E	E	E8(5)4g
22 1	389 0 A	WANDFR.MIT RITZVERZ.	S	A	Lb	A	A	C	C	E8(5)3a
22 2	308 60 M	PITHOSFRAGMENT	G	Gr	L	M	M	E	E	D8(8)A456.rM2
22 3	309 60 M	PITHOSFRAGMENT	G	MN	L	M	N	L	E	E8(5)D8(8)5c
22 4	310 60 M	PITHOSFRAGMENT	G	Gr	L	MN	Gr	E	E	E8(5)D8(8)6c

Anhang I. Katalog der Keramik

Tafel	Inv.-Tp.	W.	Beschreibung	Ton			Oberfläche		Herkunft		
				Tp.	F.	Mag.	F.	Behandl.			
							a.	i.	a.	i.	
22	5	311	60 M PITHOSFRAGMENT	G	Gr	L	M	M	E	C	E8(5-9)3e
23	1	307	59 B PITHOS	-	-	-	B	-	-	-	E8(5)A58 X6
23	2	263	54 M TOPF	G	R	Lb	R	M	L	E	D8(4-8)A58 X9
23	3	306	59 B PITHOS	G	B	Lb	B	B	E	C	D8(4)A58 X1
23	4	163	32 M TOPF	-	-	-	Gr	Gr	L	L	D8(12)E8(9)A58 X7
24	1	320	0 H PITHOSFRAGMENT	S	A	Lb	Bi	A	U	C	D8(8-12)1c
24	2	271	0 M TOPFFRAGMENT	G	Gr	L	M	M	E	E	E8(6)2a
24	3	278	0 M TOPFFRAGMENT	G	Gr	L	N	M	L	E	E8(6)4c
24	4	289	0 M BECKENFRAGMENT	F	Gr	P	B	B	U	U	E(11)4αβ
24	5	335	0 M STÄNDERFRAGMENT	-	-	-	-	-	-	-	D8(12)E8(9)A58 X8
24	6	264	54 M TOPF	G	-	L	N	-	E	D8(8)A58 X5	
24	7	155	0 B TOPF	F	BR	-	BR	-	U	D8(4)A58 X3	
24	8	262	0 M TOPF	-	-	-	Gr	-	E	-	D8(4)A58 X2
24	9	261	0 M TOPF	-	-	-	Gr	-	E	-	D8(3-4-7-8)A58 X10
25	1	245	50 B TOPFFRAGMENT	S	R	L	B	B	U	U	E8(9)K685.1
25	2	276	0 R TOPFFRAGMENT	F	A	L	R	R	U	E9(7)γ	K808.2f
25	3	235	48 M TOPFFRAGMENT	G	M	L	M	M	E	E	D8(7-8)6b
25	4	225	45 M TOPFFRAGMENT	G	Gr	L	M	M	C	C	E8(6)1b
25	5	268	0 H TOPFFRAGMENT	F	A	L	B	B	U	U	D8(7)A501.rP1
25	6	231	47 A TOPFFRAGMENT	F	A	L	A	A	E	C	E8(9)4b-c
25	7	265	0 A TOPFFRAGMENT	S	A	L	R	A	-	-	E8(5)D8(8)5b
25	8	266	0 H TOPFFRAGMENT	S	B	L	B	B	U	U	E8(5)4c
25	9	269	0 B TOPFFRAGMENT	F	B	L	B	B	C	C	C8(10)CL
25	10	277	0 A TOPFFRAGMENT	S	A	L	A	A	E	E	E8(5)4g
25	11	236	48 B TOPFFRAGMENT	G	M	L	MB	M	C	C	E8(5)4f
25	12	272	0 B TOPFFRAGMENT	S	B	L	B	B	C	C	E8(6)4d
25	13	297	56 R BECKENFRAGMENT	S	Gr	L	R	R	U	U	E8(11)5a
25	14	336	0 B STÄNDERFRAGMENT	S	B	-	B	B	C	C	E8(10-11)A481.rP1
25	15	325	0 N BACKPLATTEFRAGMENT	G	N	L	N	MN	E	E	E8(5-6)5d
25	16	373	0 A RANDFR. MIT HENKEL	S	A	L	A	A	C	C	E8(10-14)2c
25	17	324	0 B PITHOSFRAGMENT	S	A	L	A	A	U	U	E8(5)5d
25	18	299	0 R BECKENFRAGMENT	S	A	Lb	R	R	U	U	D8(8)6α
25	19	322	0 M PITHOSFRAGMENT	S	B	L	M	M	U	C	E8(10)K587.2
25	20	317	0 M PITHOSFRAGMENT	G	Gr	L	M	M	E	E	E8(5)A58.rM2
25	21	337	0 M DURCHLOCHTES WANDFR.	G	Gr	L	M	M	E	E	E8(5-6)A58.rM2
25	22	338	0 M DURCHLOCHTER KEGEL	G	N	L	M	N	E	C	E8(5)K597.1
26	1	240	48 M TOPFFRAGMENT	G	M	L	M	M	E	E	E8(9-10)K612.1c
26	2	316	61 M PITHOSFRAGMENT	G	Gr	LP	MN	M	E	E	E8(6)4d
26	3	164	32 M TOPFFRAGMENT	G	M	LP	M	M	C	C	E8(6)4c
26	4	293	0 M BECKENFRAGMENT	S	M	L	M	M	U	U	E8(10)K536.2a
26	5	313	61 N PITHOSFRAGMENT	G	Gr	L	N	N	E	E	E8(5-6)5b
26	6	296	56 M BECKENFRAGMENT	G	Gr	L	MN	M	U	U	E8(10-11)5b
26	7	302	0 M BECKENFRAGMENT	S	Gr	L	Gr	M	C	C	E8(5)K678.1
27	1	229	46 M TOPFFRAGMENT	G	Gr	Lb	M	M	E	E	E8(10-11)K586.2
27	2	314	61 M PITHOSFRAGMENT	G	A	LP	N	M	E	E	E8(6)5e
27	3	315	61 M PITHOSFRAGMENT	G	Gr	LP	MR	MR	E	E	E8(5)A58.rM2
27	4	319	0 M PITHOSFRAGMENT	S	G	L	MN	MN	C	C	D8(8)E8(5)4α
27	5	321	0 M PITHOSFRAGMENT	G	Gr	L	M	M	L	L	E8(10)K645.1
27	6	323	0 H PITHOSFRAGMENT	G	B	L	B	B	E	E	E8(6)4b
27	7	294	0 M BECKENFRAGMENT	S	Gr	L	MN	M	U	U	E8(11)5α

Anhang 1. Katalog der Keramik

Tafel	Inv.Tp. W.	Beschreibung	Ton			Oberfläche			Herkunft		
			Tp.	F.	Mag.	F.	Behandl.	a. i. a. i.			
27	8	366 68 M	FUßFRAGMENT	G	Gr	L	M	M	U	U	E8(5)4α
28	1	312 61 A	PITHOSFRAGMENT	S	A	L	A	A	E	E	E8(5-6)3*
28	2	298 0 B	BECKENFRAGMENT	S	Gr	L	B	B	C	C	E8(10-11)K582.K586
28	3	372 0 R	RANDFR. MIT HENKEL	F	A	L	R	R	U	U	E8(11)A453.M?
28	4	375 0 R	RANDFR. MIT AUSGUß	S	Gr	L	R	B	U	C	C8(b*)K1-2 '71
28	5	374 0 R	AUSGUßFRAGMENT	S	Gr	L	R	R	U	U	E8(7)4aß
28	6	334 0 M	SEITHERFRAGMENT	G	Gr	L	B	B	E	E	E8(5)4f
28	7	361 0 M	BODENFRAGMENT	G	Gr	L	M	M	E	E	E8(10-14)K587.1
28	8	333 0 N	DECKELFRAGMENT	G	Gr	L	N	Gr	E	E	E8(5)D8(8)5c
28	9	326 62 D	DECKELFRAGMENT	S	A	Lb	B	B	U	U	E8(10-14)3b
28	10	327 62 D	DECKELFRAGMENT	S	A	Lb	B	B	U	U	E8(5-6)3α
28	11	328 0 B	DECKELFRAGMENT	S	B	L	B	B	E	E	E8(5)D8(8)5c
28	12	329 0 B	DECKELFRAGMENT	S	B	L	BM	BM	C	C	E8(5-6)4α
28	13	330 63 D	DECKELFRAGMENT	S	Gr	L	B	B	U	U	C3(F2)Vb
28	14	331 63 D	DECKELFRAGMENT	S	Gr	L	B	B	U	U	E8(5-6)4c
28	15	332 63 D	DECKELFRAGMENT	S	B	L	B	B	U	U	E8(5)4b
29	1	339 64 F	RINGFUßFRAGMENT	F	B	L	B	B	L	L	E8(10-14)2a
29	2	345 65 B	RINGFUßFRAGMENT	F	B	L	B	B	E	E	E8(10-11)K586.2
29	3	349 0 R	RINGFUßFRAGMENT	F	A	L	R	R	L	L	E8(11)4αß
29	4	363 68 M	FUßFRAGMENT	S	Gr	L	M	M	L	E	D8(8)4α
29	5	348 0 F	RINGFUßFRAGMENT	F	B	L	B	B	C	C	E8(11)rM55
29	6	350 66 R	RINGFUßFRAGMENT	F	A	L	R	R	U	U	E8(10)K576.1a
29	7	364 68 M	FUßFRAGMENT	S	Gr	L	M	M	E	E	E8(5)4f
29	8	356 67 B	RINGFUßFRAGMENT	S	B	L	B	B	C	C	E8(5-6)A58.rM2
29	9	365 68 M	FUßFRAGMENT	S	Gr	L	M	M	L	L	E8(5-6)4c
29	10	358 0 G	RINGFUßFRAGMENT	G	Gr	L	Gr	Gr	U	C	E8(11)5ce
29	11	367 0 M	FUßFRAGMENT	G	Gr	L	M	M	E	E	E8(5-6)A58.rM2
29	12	360 0 B	BODENFRAGMENT	G	Gr	L	B	B	C	C	E8(10-11)K582.1
29	13	368 0 M	FUßFRAGMENT	S	Gr	L	M	M	L	L	E8(5-9)3c
29	14	359 0 R	BODENFRAGMENT	F	Gr	L	R	R	L	L	E8(10-11)3aα
29	15	369 0 H	FUßFRAGMENT	S	B	L	B	B	E	E	E8(5)4b
29	16	362 0 M	FUßFRAGMENT	G	Gr	LP	MN	-	L	-	E8(10-14)
30	1	379 0 N	TOPFFRAGMENT	S	Gr	Lb	Gr	Gr	L	L	E8(10)K612.bis2a
30	2	370 0 M	FUßFRAGMENT	G	Gr	LP	B	-	U	-	E8(10)8a
30	3	389 0 D	BEMALTES BODENFR.	S	B	L	B	B	E	C	E8(10)K587.2
30	4	371 0 M	FUßFRAGMENT	G	Gr	L	M	Gr	U	L	E8(9)4ey
30	5	378 0 G	TOPFFRAGMENT	S	Gr	Lb	Gr	Gr	L	C	E8(10)K588.2
30	6	376 0 N	MINIATURGEFÄßFR.	S	Gr	L	N	M	L	C	E8(10-11)3bα
30	7	377 0 M	TASSEFRAGMENT	G	M	L	M	MN	L	C	D8(7)6a
30	8	381 0 M	TOPFFRAGMENT	S	G	L	MV	Gr	L	C	E8(9)4a
30	9	384 0 R	WANDFR. MIT LEISTE	F	Gr	L	R	Gr	U	C	D9(8)K489.4
31	1	385 0 B	WANDFR. MIT LEISTE	S	B	Lb	B	A	C	C	E8(6)4c
31	2	386 0 A	WANDFR. MIT LEISTE	S	A	L	A	M	C	L	E8(5)4e
31	3	387 0 M	WANDFR. MIT LEISTE	S	Gr	L	M	M	E	E	E8(5)4b
31	4	383 0 M	WANDFR. MIT LEISTE	G	A	L	M	M	E	C	E8(5)4f
31	5	382 0 M	TOPFFRAGMENT	S	A	L	MV	Gr	L	C	E8(5)4b
31	6	388 0 D	TOPFFRAGMENT	S	A	Lb	B	A	U	C	E8(10)8b
32	1	400 0 D	BEMALTES WANDFRAGM.	F	B	L	B	B	U	E	E8(11)A480.7a
32	2	401 0 D	BEMALTES WANDFRAGM.	F	B	L	B	B	U	U	D8(7)6a
32	3	427 0 D	BEMALTES WANDFRAGM.	S	B	Lb	B	B	U	C	D8(8-12)6b

Anhang 1. Katalog der Keramik

Tafel	Inv.Tp. W.	Beschreibung	Ton		Oberfläche		Herkunft
			Tp. F. Mag.	F. Behandl.	a. i. a. i.		
32 4	575	0 D BEMALTES WANDFRAGM.	F	B L	B B U	C E8(10)K588.3a	
32 5	390	0 D WANDFR. MIT GRIFF	S	Gr Lb	B B U	C E8(10)2a	
32 6	515	0 D TASSEFRAGMENT	S	B L	B B U	C E8(6)E8(6-10)K575.3	
32 7	480	0 D BEMALTES WANDFRAGM.	S	B L	B B U	C E8(9)5f	
32 8	530	0 D BEMALTES WANDFRAGM.	S	B L	B B U	C E8(6)3a	
32 9	396	0 D BEMALTES WANDFRAGM.	S	B Lb	B B U	C E8(10-14)1a	
32 10	576	0 D BEMALTES WANDFRAGM.	S	A L	B B U	C E8(10-14)K606.1a	
32 11	397	0 D BEMALTES WANDFRAGM.	F	B L	B B U	C E8(10)K612.bis	
32 12	465	0 D BEMALTES WANDFRAGM.	S	B Lb	B B U	C E8(6)K625.2	
32 13	410	0 D BEMALTES WANDFRAGM.	S	B L	B B U	C E8(9)D8(12)K640.1a	
32 14	556	0 D BEMALTES WANDFRAGM.	G	A L	B B U	C E8(5)5c	
32 15	498	0 D BEMALTES WANDFRAGM.	S	A L	B A U	U E8(6-10)K625.1c	
32 16	478	0 D BEMALTES WANDFRAGM.	S	A Lb	B B U	C E8(9)5f	
32 17	399	0 D BEMALTES WANDFRAGM.	S	B L	B B U	C E8(10)K588.2b	
32 18	398	0 D BEMALTES WANDFRAGM.	S	B L	B B U	U E8(5)K638.1	
32 19	392	0 D BEMALTES WANDFRAGM.	S	B Lb	B B U	C E8(10)E8(10-14)K605.1a	
32 20	404	0 D BEMALTES WANDFRAGM.	S	B Lb	B B U	C C3(F2)Vd	
33 1	572	0 D BEMALTES WANDFRAGM.	S	B L	B B U	C E8(10-14)K606.1a	
33 2	490	0 D BEMALTES WANDFRAGM.	S	Gr L	B B U	C E8(9)5e	
33 3	574	0 D BEMALTES WANDFRAGM.	S	B L	B B U	C E8(10-11)K582.1	
33 4	395	0 D BEMALTES WANDFRAGM.	S	B L	B B U	C E8(10-14)K587.2	
33 5	402	0 D BEMALTES WANDFRAGM.	F	A L	B B C	C E8(6)4c	
33 6	545	0 D BEMALTES WANDFRAGM.	S	A Lb	B B U	C E8(10)K611.1	
33 7	403	0 D BEMALTES WANDFRAGM.	S	A L	B A U	C D8(9)6a R.I.16	
33 8	391	0 D BEMALTES WANDFRAGM.	S	B Lb	B B U	C E8(10)K588.2	
33 9	579	0 D BEMALTES WANDFRAGM.	S	A L	B B U	C E8(10-14)3b	
33 10	534	34 D TOPFFRAGMENT	S	B L	B B U	C E8(10)K588.2b	
33 11	393	0 D BEMALTES WANDFRAGM.	S	Gr L	B Gr U	E E8(5-9)D8(8-12)4α	
33 12	394	0 D BEMALTES WANDFRAGM.	S	A Lb	B A U	C E8(10)K587.1	
33 13	577	0 D BEMALTES WANDFRAGM.	S	B Lb	B B U	C E8(10-14)K606.1a	

Anhang 1. Katalog der Keramik

PHOTOTAFELN

Tafel	Inv.	Beschreibung	Ton		Oberfläche		Herkunft	Vgl. Tafel
			Tp.	F. Mag.	F.	Behandl.		
34 1	498	BEMALTES WANDFRAGM.	S	A L B	A U U	E8(6-10)K625.1c	32 15	
34 2	579	BEMALTES WANDFRAGM.	S	A L B B	B U C	E8(10-14)3b	33 9	
34 3	399	BEMALTES WANDFRAGM.	S	B L B B	B U C	E8(10)K588.2b	32 17	
34 4	390	WANDFR. MIT GRIFF	S	Gr Lb B	B U C	E8(10)2a	32 5	
34 5	427	BEMALTES WANDFRAGM.	S	B Lb B B	B U C	D8(8-12)6b	32 3	
34 6	110	TASSEFRAGMENT	S	A L B B	C C	E8(10)K612.1	6 16	
34 7	111	TASSEFRAGMENT	S	Gr Lb B B	B U C	E8(9)K585	6 22	
34 8	112	TASSEFRAGMENT	S	B Lb B B	B U C	E8(10)K612.1	6 11	
34 9	114	TASSEFRAGMENT	S	A Lb B B	B U C	D8(7)K598	6 19	
34 10	393	BEMALTES WANDFRAGM.	S	Gr L B Gr	U E	E8(5-9)D8(8-12)4*	33 11	
34 11	115	TASSEFRAGMENT	S	A Lb B B	C C	E8(5)K638.1b	6 15	
34 12	515	TASSEFRAGMENT	S	B L B B	B U C	E8(6)E8(6-10)K575.3	32 6	
34 13	465	BEMALTES WANDFRAGM.	S	B Lb B B	B U C	E8(6)K625.2	32 12	
34 14	577	BEMALTES WANDFRAGM.	S	B Lb B B	B U C	E8(10-14)K606.1a	33 13	
34 15	392	BEMALTES WANDFRAGM.	S	B Lb B B	B U C	E8(10)E8(10-14)K605.1a	32 19	
34 16	478	BEMALTES WANDFRAGM.	S	A Lb B B	B U C	E8(9)5f	32 16	
34 17	534	TOPFFRAGMENT	S	B L B B	B U C	E8(10)K588.2b	33 10	
34 18	168	TOPFFRAGMENT	S	B L B B	B U E	E8(5-6-9-10)3f	9 15	
34 19	394	BEMALTES WANDFRAGM.	S	A Lb B A	B U C	E8(10)K587.1	33 12	
35 1	396	BEMALTES WANDFRAGM.	S	B Lb B B	B U C	E8(10-14)1a	32 9	
35 2	397	BEMALTES WANDFRAGM.	F	B L B B	B U C	E8(10)K612.bis	32 11	
35 3	574	BEMALTES WANDFRAGM.	S	B L B B	B U C	E8(10-11)K582.1	33 3	
35 4	545	BEMALTES WANDFRAGM.	S	A Lb B B	B U C	E8(10)K611.1	33 6	
35 5	556	BEMALTES WANDFRAGM.	G	A L B B	B U C	E8(5)5c	32 14	
35 6	398	BEMALTES WANDFRAGM.	S	B L B B	B U U	E8(5)K638.1	32 18	
35 7	326	DECKELFRAGMENT	S	A Lb B B	B U U	E8(10-14)3b	28 9	
35 8	331	DECKELFRAGMENT	S	Gr L B B	B U U	E8(5-6)4c	28 14	
35 9	576	BEMALTES WANDFRAGM.	S	A L B B	B U C	E8(10-14)K606.1a	32 10	
35 10	391	BEMALTES WANDFRAGM.	S	B Lb B B	B U C	E8(10)K588.2	33 8	
35 11	410	BEMALTES WANDFRAGM.	S	B L B B	B U C	E8(9)D8(12)K640.1a	32 13	
35 12	403	BEMALTES WANDFRAGM.	S	A L B A	B U C	D8(9)6a R.I.16	33 7	
35 13	404	BEMALTES WANDFRAGM.	S	B Lb B B	B U C	C3(F2)Vd	32 20	
35 14	388	TOPFFRAGMENT	S	A Lb B A	B U C	E8(10)8b	31 6	
35 15	395	BEMALTES WANDFRAGM.	S	B L B B	B U C	E8(10-14)K587.2	33 4	
35 16	125	TOPFFRAGMENT	S	B Lb B B	B U U	E8(10-14)K587.2	7 20	
36 1	307	PITHOS	-	- B -	- -	E8(5)A58 X6	23 1	
36 2	155	TOPF	F	BR - BR	- U -	D8(4)A58 X3	24 7	
36 3	263	TOPF	G	R Lb R M	L E	D8(4-8)A58 X9	23 2	
36 4	306	PITHOS	G	B Lb B B	B E	C D8(4)A58 X1	23 3	
37 1	264	TOPF	G	- L N -	- E -	D8(8)A58 X5	24 6	
37 2	109	TASSE	-	- Gr -	- E -	D8(4)A58 X4	6 6	
37 3	261	TOPF	-	- Gr -	- E -	D8(3-4-7-8)A58 X10	24 9	
37 4	262	TOPF	-	- Gr -	- E -	D8(4)A58 X2	24 8	
37 5	163	TOPF	-	- Gr Gr	L L	D8(12)E8(9)A58 X7	23 4	
37 6	177	TOPF	G	N Lb MV	Gr E	C7(15)C8(3)E63	11 13	

ANHANG 2. KATALOG DER KERAMIK: ZAHLENWERTE

Tafel	Inv. Nr.	Mündung Dm. (cm)	Hals Dm. (cm)	Knickwand Dm. (cm)	Max Dm. (cm)	Boden/Fuß Dm. (cm)	Höhe (cm)	Min. Stärke (cm)	Max Stärke (cm)
1	1	3	8,7	-	8,7	-	2,2	0,3	0,4
1	2	17	12,5	-	13,3	-	1,7	0,2	0,4
1	3	19	14,5	-	15,3	-	2,3	0,2	0,6
1	4	1	20,2	-	20,2	-	3,0	1,0	1,1
1	5	18	16,0	-	16,0	-	1,7	0,1	0,3
1	6	14	16,0	-	-	-	1,9	0,2	0,5
1	7	2	20,0	-	-	-	3,5	0,4	0,7
1	8	10	19,1	-	-	-	2,3	0,3	0,7
1	9	4	17,2	17,2	-	-	3,1	0,3	0,4
1	10	13	18,2	-	18,2	-	3,0	0,4	0,5
1	11	9	17,5	-	-	-	2,9	0,3	0,4
1	12	12	19,2	-	-	-	2,8	0,4	0,5
1	13	6	16,1	15,0	-	-	3,4	0,6	-
1	14	15	19,5	-	-	-	2,7	0,3	0,6
1	15	11	21,2	-	-	-	2,8	0,5	0,5
1	16	7	17,9	-	-	-	2,7	0,3	0,6
1	17	5	21,0	20,0	-	-	3,5	0,4	0,6
1	18	20	19,0	-	-	-	1,6	0,4	0,5
1	19	22	20,0	-	20,6	-	2,5	0,4	0,6
1	20	8	17,4	-	-	-	4,1	0,4	0,6
1	21	21	16,0	-	-	-	2,5	0,3	0,5
1	22	16	21,4	-	21,4	-	4,2	0,4	1,1
2	1	23	12,4	-	-	-	5,1	0,2	0,6
2	2	24	12,0	-	12,0	-	3,3	0,3	0,5
2	3	26	14,0	-	-	-	2,2	0,2	0,4
2	4	27	15,3	-	-	-	2,0	0,3	0,4
2	5	25	16,0	-	-	-	2,8	0,3	0,6
2	6	29	12,0	-	12,0	-	3,7	0,2	0,4
2	7	34	22,0	-	-	-	3,2	0,5	0,9
2	8	28	10,1	-	-	-	2,2	0,1	0,3
2	9	35	25,0	-	25,0	-	2,8	0,6	1,0
2	10	30	12,2	-	13,3	3,2	5,0	0,2	0,3
2	11	36	23,5	-	24,1	-	4,5	0,5	0,8
2	12	425	13,0	-	13,5	-	3,2	0,2	0,3
2	13	37	18,5	-	20,0	-	3,1	0,5	0,7
2	14	32	14,3	-	15,2	-	3,0	0,2	0,4

Anhang 2. Katalog der Keramik: Zahlenwerte

Tafel	Inv. Nr.	Mündung Dm. (cm)	Hals Dm. (cm)	Knickwand Dm. (cm)	Max Dm. (cm)	Boden/Fuß Dm. (cm)	Höhe (cm)	Min. Stärke (cm)	Max Stärke (cm)	
2	15	38	21,4	-	-	23,0	-	4,8	0,7	1,1
2	16	31	16,0	-	-	16,0	-	1,9	0,2	0,3
2	17	39	16,0	-	-	18,0	-	4,7	0,5	0,8
2	18	33	22,2	-	-	22,2	-	6,4	0,5	0,8
3	1	40	15,2	-	-	18,6	-	6,0	0,4	0,8
3	2	42	20,0	-	-	22,4	-	3,3	0,6	0,9
3	3	45	17,0	-	-	18,8	-	3,4	0,8	0,9
3	4	43	18,5	-	-	20,3	-	5,7	0,4	0,9
3	5	47	18,2	-	-	20,5	-	2,4	0,6	1,0
3	6	44	19,5	-	-	21,3	-	5,0	0,7	0,9
3	7	46	16,5	-	-	18,3	-	2,3	0,8	1,0
3	8	48	24,5	-	-	27,4	-	3,1	1,0	1,4
3	9	49	-	-	-	-	-	2,9	0,6	0,9
3	10	50	23,6	-	-	23,6	-	2,1	0,3	1,1
3	11	41	12,2	-	-	14,3	-	2,2	0,4	0,7
3	12	51	22,0	-	-	25,3	-	4,0	0,5	0,8
3	13	58	16,0	-	14,7	16,0	-	1,9	0,2	0,3
3	14	52	20,0	-	18,2	-	-	1,9	0,4	-
3	15	53	20,2	-	18,8	20,2	-	2,0	0,4	0,5
3	16	54	22,8	-	20,3	-	-	2,5	0,3	0,5
3	17	59	17,0	-	16,4	-	-	2,4	0,3	0,4
3	18	55	20,0	-	19,1	-	-	3,1	0,4	0,6
3	19	60	20,0	-	18,9	20,0	-	2,1	0,3	0,4
4	1	62	18,3	-	17,9	-	-	2,7	0,3	0,4
4	2	61	16,9	-	16,0	-	-	4,9	0,4	-
4	3	57	23,0	-	23,5	-	-	2,4	0,2	0,4
4	4	63	18,0	-	17,6	18,0	-	3,3	0,3	0,5
4	5	64	18,0	-	17,3	-	-	2,9	0,3	0,5
4	6	65	26,1	-	25,9	26,1	-	-	0,3	0,8
4	7	70	-	-	-	-	-	1,8	0,5	-
4	8	66	28,1	-	26,2	-	-	5,1	0,3	0,6
4	9	73	-	-	-	-	-	2,1	0,5	0,6
4	10	56	25,3	-	25,3	25,3	-	2,0	0,3	0,7
4	11	67	26,2	-	25,2	-	-	2,8	0,6	0,7
4	12	85	10,0	-	9,3	10,0	-	4,4	0,5	0,6
4	13	69	27,4	-	27,2	-	-	2,0	0,7	-
4	14	71	20,0	-	19,7	20,0	-	2,6	0,5	0,5
4	15	74	17,0	-	16,7	17,0	-	3,1	0,3	0,7
4	16	72	18,0	-	17,8	-	-	1,8	0,3	0,5
4	17	68	20,2	-	19,8	20,2	-	2,4	0,5	0,5
4	18	75	17,0	-	16,6	17,0	-	3,0	0,5	1,0
4	19	76	18,0	-	18,4	18,4	-	1,7	0,4	1,0
5	1	77	18,5	-	18,3	-	-	2,1	0,4	-
5	2	78	17,0	-	17,2	-	-	3,1	0,4	0,9
5	3	79	28,0	-	28,7	28,7	-	3,1	0,4	1,2
5	4	83	16,0	-	16,0	16,0	-	1,7	0,4	0,5
5	5	80	18,0	-	19,4	19,4	-	4,1	0,3	1,0
5	6	84	18,2	-	18,6	18,6	-	4,6	0,5	0,7
5	7	81	27,0	-	27,5	27,5	-	2,9	0,3	1,2
5	8	97	10,9	-	-	11,4	-	4,4	0,3	0,5

Anhang 2. Katalog der Keramik: Zahlenwerte

Tafel	Inv. Nr.	Mündung Dm. (cm)	Hals Dm. (cm)	Knickwand Dm. (cm)	Max Dm. (cm)	Boden/Fuß Dm. (cm)	Höhe (cm)	Min. Stärke (cm)	Max Stärke (cm)	
5	9	82	26,2	-	25,2	26,2	-	2,7	0,7	0,7
5	10	87	15,0	-	-	16,5	-	4,8	0,4	0,6
5	11	92	14,0	-	16,0	16,0	-	6,5	0,4	0,6
5	12	93	12,0	-	13,4	13,4	-	2,4	0,5	0,6
5	13	95	12,0	-	-	12,3	5,0	7,9	0,4	0,9
5	14	101	12,2	-	-	13,0	-	4,1	0,3	0,4
5	15	90	11,0	-	13,5	13,5	-	5,8	0,3	0,6
5	16	86	12,4	-	-	12,6	2,8	5,6	0,5	0,9
5	17	88	12,0	-	-	13,2	4,5	6,7	0,5	1,0
5	18	89	16,0	-	17,3	17,3	-	5,0	0,4	0,6
5	19	94	15,9	-	-	16,0	5,7	7,1	0,5	0,8
6	1	91	14,0	-	15,5	15,5	-	6,2	0,3	0,7
6	2	108	10,0	-	-	12,3	4,5	7,0	0,6	0,9
6	3	119	6,6	-	-	11,8	-	4,0	0,3	0,6
6	4	96	14,0	-	-	14,8	-	4,8	0,3	0,4
6	5	117	10,0	-	-	11,8	-	2,0	0,2	0,3
6	6	109	14,1	-	-	19,2	-	15,0	-	-
6	7	99	14,0	-	-	15,8	-	4,8	0,4	0,6
6	8	118	12,0	-	-	18,0	-	3,4	0,4	1,0
6	9	98	13,2	-	-	14,3	-	3,2	0,3	0,3
6	10	102	14,0	-	-	15,4	-	3,2	0,4	0,5
6	11	112	6,0	-	-	7,8	-	4,2	0,2	0,4
6	12	100	13,0	-	-	13,5	-	4,2	0,4	0,6
6	13	107	14,5	-	-	15,4	-	2,5	0,3	0,4
6	14	103	13,9	-	-	14,7	-	2,8	0,6	0,6
6	15	115	10,0	-	-	12,6	-	4,6	0,3	0,4
6	16	110	7,0	-	-	11,6	-	3,8	0,6	1,0
6	17	104	14,2	-	-	14,2	-	3,5	0,3	0,4
6	18	116	10,1	-	-	13,7	-	4,1	0,3	0,4
6	19	114	5,0	-	-	7,1	-	4,2	0,3	0,3
6	20	105	13,7	-	-	13,9	-	2,4	0,2	0,2
6	21	106	10,2	-	-	11,4	-	4,8	0,3	0,5
6	22	111	6,0	-	-	9,0	-	4,1	0,2	0,4
6	23	113	8,0	-	-	11,2	-	8,5	0,2	0,4
7	1	123	12,1	-	-	14,2	-	2,7	0,2	0,4
7	2	132	9,5	9,5	-	10,6	-	2,2	0,2	0,8
7	3	131	15,5	-	-	17,0	-	2,5	0,5	1,1
7	4	121	12,7	-	-	15,4	-	1,8	0,3	0,8
7	5	135	12,2	-	-	12,2	-	2,5	0,3	0,3
7	6	137	11,5	10,5	-	11,5	-	2,9	0,4	0,5
7	7	122	11,0	-	-	14,5	-	3,1	0,5	0,6
7	8	136	10,0	-	-	10,0	-	2,6	0,3	0,4
7	9	127	13,0	-	-	13,0	-	3,0	0,6	0,8
7	10	120	14,0	-	-	16,5	-	3,0	0,6	0,7
7	11	150	13,0	-	-	18,1	-	2,5	0,4	1,3
7	12	128	15,0	-	-	16,9	-	3,6	0,6	0,8
7	13	126	16,0	13,8	-	17,6	-	5,7	0,3	0,6
7	14	157	15,0	-	-	21,1	-	7,4	0,4	0,8
7	15	129	16,8	-	-	18,2	-	3,2	0,5	0,9
7	16	134	19,9	18,3	-	19,9	-	2,7	0,6	0,9

Anhang 2. Katalog der Keramik: Zahlenwerte

Tafel	Inv. Nr.	Mündung Dm. (cm)	Hals Dm. (cm)	Knickwand Dm. (cm)	Max Dm. (cm)	Bogen/Fuß Dm. (cm)	Höhe (cm)	Min. Stärke (cm)	Max Stärke (cm)	
7	17	130	18,0	-	-	19,7	-	4,2	0,5	0,8
7	18	133	16,0	16,4	-	18,0	-	3,5	0,3	1,6
7	19	124	12,0	-	-	17,2	-	9,0	0,9	0,9
7	20	125	8,2	7,4	-	18,7	-	9,3	0,4	0,6
8	1	147	26,8	-	-	35,6	-	6,3	0,7	1,4
8	2	145	21,2	-	-	29,5	-	4,0	0,8	1,9
8	3	148	29,1	-	-	33,0	-	5,2	0,8	1,6
8	4	146	32,0	-	-	36,8	-	4,2	0,9	2,1
8	5	144	33,2	-	-	38,2	-	3,3	0,8	2,0
8	6	149	32,1	-	-	36,5	-	4,0	0,6	1,7
8	7	151	34,4	-	-	39,8	-	4,0	1,3	1,9
8	8	152	32,0	-	-	37,6	-	3,4	0,9	1,9
8	9	153	31,0	-	-	36,3	-	3,1	0,4	1,4
9	1	138	16,0	-	-	16,0	-	3,5	0,6	0,7
9	2	162	21,2	-	-	21,2	-	3,1	0,6	1,3
9	3	140	18,2	-	-	18,2	-	2,1	0,6	0,9
9	4	166	18,0	15,4	-	18,0	-	2,4	0,6	1,0
9	5	165	14,5	13,1	-	23,0	-	11,0	0,5	1,0
9	6	174	19,0	16,1	-	19,0	-	3,5	0,6	0,9
9	7	139	15,5	13,5	-	15,5	-	3,0	0,6	0,8
9	8	156	19,2	-	-	25,3	-	4,0	0,4	0,7
9	9	171	16,2	13,3	-	16,2	-	3,3	0,5	0,5
9	10	175	20,0	18,6	-	20,0	-	4,4	0,6	0,8
9	11	172	17,1	13,7	-	17,1	-	5,2	0,6	0,9
9	12	170	14,5	14,1	-	14,5	-	4,8	0,4	1,0
9	13	141	15,0	12,7	-	15,0	-	2,6	0,3	1,0
9	14	173	18,1	14,6	-	18,1	-	4,6	0,4	0,8
9	15	168	18,0	16,3	-	27,8	-	7,0	0,6	0,8
10	1	154	22,2	-	-	24,3	-	3,1	0,7	1,0
10	2	158	23,0	-	-	26,3	-	4,1	0,8	2,0
10	3	160	23,0	-	-	26,5	-	5,0	0,8	1,6
10	4	142	24,5	-	-	27,2	-	2,8	0,8	2,2
10	5	143	27,2	-	-	29,5	-	2,5	0,8	1,7
10	6	161	22,5	-	-	31,2	-	9,0	0,7	1,2
10	7	169	20,0	21,0	-	32,2	-	6,6	0,6	1,0
11	1	167	20,1	-	-	20,1	-	2,6	0,3	0,9
11	2	179	19,0	16,8	-	19,0	-	6,0	0,7	0,9
11	3	178	18,1	14,0	-	18,1	-	4,7	0,8	0,8
11	4	180	20,8	-	-	20,8	-	5,5	0,6	0,8
11	5	190	16,2	15,0	-	19,0	-	4,6	0,2	1,2
11	6	181	20,0	18,8	-	20,6	-	4,3	1,0	1,1
11	7	193	18,1	15,4	-	18,1	-	2,9	0,3	0,7
11	8	176	22,0	17,0	-	22,0	-	5,4	0,5	0,9
11	9	186	15,0	13,2	-	16,3	-	6,1	0,6	0,7
11	10	191	12,0	9,5	-	12,0	-	4,3	0,4	0,5
11	11	241	-	-	-	-	-	4,0	0,8	1,8
11	12	183	17,0	15,0	-	17,0	-	3,6	0,4	0,6
11	13	177	24,3	18,6	-	39,2	11,7	41,0	0,7	1,3
12	1	182	24,3	20,1	-	24,3	-	6,4	0,5	1,2
12	2	200	16,2	14,8	-	16,2	-	3,6	0,4	0,7

Anhang 2. Katalog der Keramik: Zahlenwerte

Tafel	Inv. Nr.	Mündung Dm. (cm)	Hals Dm. (cm)	Knickwand Dm. (cm)	Max Dm. (cm)	Boden/Fuß Dm. (cm)	Höhe (cm)	Min. Stärke (cm)	Max Stärke (cm)
12	3	184	16,2	14,8	-	19,0	4,7	0,4	0,7
12	4	206	17,0	16,5	-	18,7	4,6	0,4	0,6
12	5	203	20,1	18,2	-	20,1	-	4,4	0,5
12	6	185	20,1	17,8	-	21,2	-	6,2	0,5
12	7	187	20,5	21,0	-	24,3	-	6,5	0,9
12	8	207	17,2	15,5	-	17,2	-	3,4	0,6
12	9	192	20,0	15,2	-	20,0	-	5,6	0,8
12	10	194	20,1	16,2	-	20,1	-	3,6	0,4
12	11	202	18,2	16,8	-	18,7	-	4,2	0,3
12	12	195	20,0	-	-	20,0	-	2,6	0,3
12	13	201	18,1	16,4	-	18,2	-	4,2	0,6
12	14	197	21,0	19,5	-	21,0	-	4,1	0,4
12	15	208	19,8	17,5	-	19,8	-	2,9	0,5
12	16	228	18,2	-	-	18,7	-	2,0	0,4
13	1	204	22,2	20,8	-	23,4	-	4,4	0,5
13	2	198	24,2	21,3	-	24,2	-	4,4	0,4
13	3	205	24,1	22,1	-	24,3	-	5,0	0,3
13	4	196	24,1	21,4	-	24,1	-	3,0	0,4
13	5	188	22,2	20,3	-	22,2	-	7,0	0,7
13	6	211	22,0	22,5	-	23,3	-	4,0	0,8
13	7	210	21,0	20,6	-	21,2	-	3,8	0,6
14	1	212	22,5	-	-	26,0	-	3,5	0,6
14	2	213	25,2	-	-	29,3	-	6,8	0,5
14	3	214	25,7	-	-	27,4	-	3,8	0,5
14	4	215	26,2	-	-	26,2	-	2,4	0,7
14	5	216	28,0	28,3	-	28,9	-	3,7	0,7
14	6	220	27,5	-	-	28,1	-	3,0	0,7
14	7	222	26,2	-	-	27,2	-	3,2	0,6
14	8	218	16,0	-	-	26,0	-	8,0	0,7
15	1	234	25,0	24,3	-	35,5	-	11,1	0,6
15	2	223	32,1	-	-	33,5	-	3,1	0,6
15	3	230	32,3	-	-	34,5	-	3,9	1,3
15	4	217	34,0	-	-	36,7	-	4,8	1,2
15	5	221	28,8	-	-	-	-	4,0	0,8
15	6	224	35,0	-	-	38,0	-	3,4	0,6
15	7	243	31,0	-	-	33,5	-	4,5	0,9
15	8	244	35,2	-	-	38,4	-	5,1	1,0
16	1	219	24,1	-	-	28,0	-	4,0	0,5
16	2	226	22,6	-	-	28,2	-	3,9	0,7
16	3	227	28,1	-	-	31,0	-	3,0	0,6
16	4	237	23,5	-	-	26,1	-	4,8	1,3
16	5	238	25,5	-	-	27,5	-	4,0	0,6
16	6	239	27,4	-	-	30,4	-	3,0	1,4
16	7	249	28,5	-	-	32,8	-	8,5	0,8
17	1	250	30,0	-	-	31,0	-	5,0	1,3
17	2	253	23,0	-	-	24,0	-	3,0	0,8
17	3	254	26,5	-	-	30,3	-	3,6	0,9
17	4	252	42,0	-	-	44,5	-	4,7	1,2
17	5	251	32,2	-	-	34,2	-	4,9	0,9
17	6	255	28,5	-	-	30,4	-	4,3	1,0

Anhang 2. Katalog der Keramik: Zahlenwerte

Tafel	Inv. Nr.	Mündung Dm. (cm)	Hals Dm. (cm)	Knickwand Dm. (cm)	Max Dm. (cm)	Boden/Fuß Dm. (cm)	Höhe (cm)	Min. Stärke (cm)	Max Stärke (cm)	
17	7	256	29,0	-	-	35,2	-	6,3	0,8	1,2
17	8	247	28,5	-	-	36,8	-	5,3	1,2	2,3
17	9	246	29,1	-	-	41,4	-	7,6	0,8	1,6
18	1	233	24,0	22,0	-	24,0	-	3,8	0,6	1,3
18	2	248	20,5	-	-	26,2	-	7,8	0,8	1,0
18	3	257	17,5	-	-	25,0	-	6,0	0,7	1,1
18	4	258	24,5	-	-	26,5	-	3,5	0,9	1,4
18	5	259	23,5	-	-	28,0	-	5,2	0,5	1,5
18	6	242	26,7	27,1	-	28,3	-	5,2	0,9	1,6
18	7	260	28,5	-	-	32,5	-	5,5	0,7	1,7
19	1	232	21,9	20,4	-	21,9	-	4,2	0,6	1,0
19	2	275	21,5	-	-	21,5	-	3,5	0,5	1,1
19	3	267	26,7	-	-	26,7	-	4,7	0,6	1,0
19	4	279	27,4	25,6	-	27,4	-	4,4	0,5	1,0
19	5	273	27,0	-	-	-	-	2,0	0,9	1,2
19	6	274	31,0	-	-	-	-	2,5	0,6	1,1
19	7	270	32,2	26,0	-	32,2	-	5,8	0,8	0,8
19	8	295	30,0	-	29,5	-	-	5,3	0,3	0,9
20	1	288	35,4	-	-	36,2	-	5,3	0,5	0,8
20	2	281	25,0	-	-	25,6	-	3,0	0,7	1,5
20	3	282	25,0	-	-	25,0	-	5,0	1,0	1,2
20	4	280	33,0	32,5	-	33,0	-	4,7	1,0	2,7
20	5	283	33,0	-	-	33,0	-	5,5	1,0	1,9
20	6	284	32,2	-	-	32,2	-	6,0	0,8	1,1
20	7	286	33,0	-	-	-	-	4,3	0,7	0,9
20	8	287	35,4	-	-	-	-	4,1	0,7	1,6
20	9	285	37,0	-	-	37,0	-	7,7	0,8	1,3
21	1	303	24,5	-	-	28,2	-	6,5	0,8	1,1
21	2	304	25,0	-	-	32,3	-	3,8	1,2	3,0
21	3	305	33,0	-	-	40,1	-	5,2	1,3	3,0
21	4	290	31,0	-	-	34,0	-	4,5	0,9	1,0
21	5	291	32,5	-	-	34,3	-	3,0	0,5	0,7
21	6	292	35,2	-	-	37,4	-	6,0	0,8	1,3
21	7	300	33,6	-	-	35,3	-	4,4	1,0	1,7
21	8	301	36,4	-	-	38,4	-	9,9	0,9	1,2
22	1	380	-	-	-	34,6	-	19,3	0,6	1,3
22	2	308	34,2	-	-	37,9	-	6,5	2,5	2,5
22	3	309	35,0	-	-	35,6	-	7,3	1,4	2,1
22	4	310	35,0	-	-	37,9	-	7,0	1,4	1,8
22	5	311	36,0	-	-	37,9	-	7,8	1,3	1,8
23	1	307	43,2	-	-	76,8	18,0	110,4	-	-
23	2	263	72,0	-	-	87,6	-	50,2	1,4	2,3
23	3	306	42,0	-	-	62,2	20,0	113,0	1,3	2,4
23	4	163	33,6	-	-	57,6	-	47,4	-	-
24	1	320	33,0	-	-	40,5	-	8,4	1,0	1,8
24	2	271	42,0	-	-	42,0	-	2,4	0,8	1,2
24	3	278	42,0	40,6	-	42,0	-	5,5	0,7	1,4
24	4	289	54,0	-	-	55,6	-	3,5	0,7	1,0
24	5	335	31,2	-	-	31,2	22,2	18,0	-	-
24	6	264	60,0	-	-	64,8	44,4	49,2	-	-

Anhang 2. Katalog der Keramik: Zahlenwerte

Tafel	Inv. Nr.	Mündung Dm. (cm)	Hals Dm. (cm)	Knickwand Dm. (cm)	Max Dm. (cm)	Boden/Fuß Dm. (cm)	Höhe (cm)	Min. Stärke (cm)	Max Stärke (cm)	
24	7	155	18,8	-	-	31,8	12,0	30,6	-	
24	8	262	31,0	-	-	54,0		48,6	-	
24	9	261	24,0	-	-	38,4	-	31,2	-	
25	1	245	24,1	-	-	25,0		2,8	0,8	1,5
25	2	276	18,2	-	-	18,2		2,0	0,5	1,0
25	3	235	19,0	-	-	20,9	-	2,8	0,5	1,5
25	4	225	12,8	-	-	14,8		2,5	0,7	1,6
25	5	268	22,1	-	-	22,1		1,8	0,5	0,5
25	6	231	15,5	16,0	-	16,0	-	2,9	0,5	0,9
25	7	265	18,0	18,0	-	20,0	-	2,0	0,6	0,7
25	8	266	18,0	-	-	18,0		3,0	0,6	1,0
25	9	269	20,0	19,0	-	20,0		3,4	0,6	0,7
25	10	277	18,5	18,4	-	18,5		5,0	0,8	1,0
25	11	236	20,2	-	-	21,2		4,3	0,7	1,5
25	12	272	21,6	-	-	21,6		2,2	0,6	1,0
25	13	297	-	-	-	-		2,7	0,6	1,0
25	14	336	6,1	-	-	8,6	7,8	2,2	0,1	0,6
25	15	325	21,5	-	-	22,3	21,0	5,5	0,5	1,6
25	16	373	3,3	-	-	3,3	-	3,0	0,5	0,7
25	17	324	-	-	-	-	-	6,0	1,3	2,8
25	18	299	29,1	-	-	30,0	-	6,0	1,0	1,6
25	19	322	32,0	-	-	32,0	-	3,0	1,4	1,7
25	20	317	28,5	-	-	31,0	-	5,1	1,1	2,0
25	21	337	-	-	-	5,0	-	-	1,5	1,5
25	22	338	0,3	-	-	2,0	-	5,1	0,8	1,0
26	1	240	29,9	-	-	32,5	-	4,0	0,5	1,4
26	2	316	46,8	-	-	48,8		8,3	2,0	3,4
26	3	164	49,4	-	-	-		4,5	1,2	2,2
26	4	293	39,1	-	-	48,0		8,3	0,8	2,0
26	5	313	36,5	-	-	42,5		7,5	1,9	3,5
26	6	296	40,0	-	40,0	40,0	-	6,8	1,0	1,0
26	7	302	37,6	-	-	40,6	-	11,8	0,6	1,2
27	1	229	25,6	-	-	35,6	-	7,1	0,8	1,4
27	2	314	38,0	-	-	-	-	6,5	1,5	2,0
27	3	315	42,0	-	-	47,0	-	7,0	3,0	4,0
27	4	319	41,0	-	-	49,0	-	8,5	1,3	3,3
27	5	321	31,5	-	-	33,4	-	3,2	1,2	2,2
27	6	323	30,0	-	-	30,0	-	2,8	1,0	1,8
27	7	294	40,3	-	38,2	40,3	-	4,3	0,7	1,1
27	8	366	-	-	-	33,0	33,0	13,0	1,1	1,4
28	1	312	27,5	-	-	30,2	-	5,0	1,9	3,0
28	2	298	29,1	-	28,5	29,1	-	7,4	0,6	1,2
28	3	372	-	-	-	-	-	2,8	0,4	0,5
28	4	375	-	-	-	-	-	5,4	0,4	0,6
28	5	374	-	-	-	-	-	4,6	0,4	0,5
28	6	334	18,5	-	-	18,5		7,5	0,8	1,0
28	7	361	-	-	-	38,0	38,0	6,0	1,0	1,5
28	8	333	13,0	-	-	13,0	-	7,3	1,0	1,2
28	9	326	27,0	-	-	27,0	-	2,5	0,7	1,2
28	10	327	24,2	-	-	24,2	-	2,8	0,5	1,0

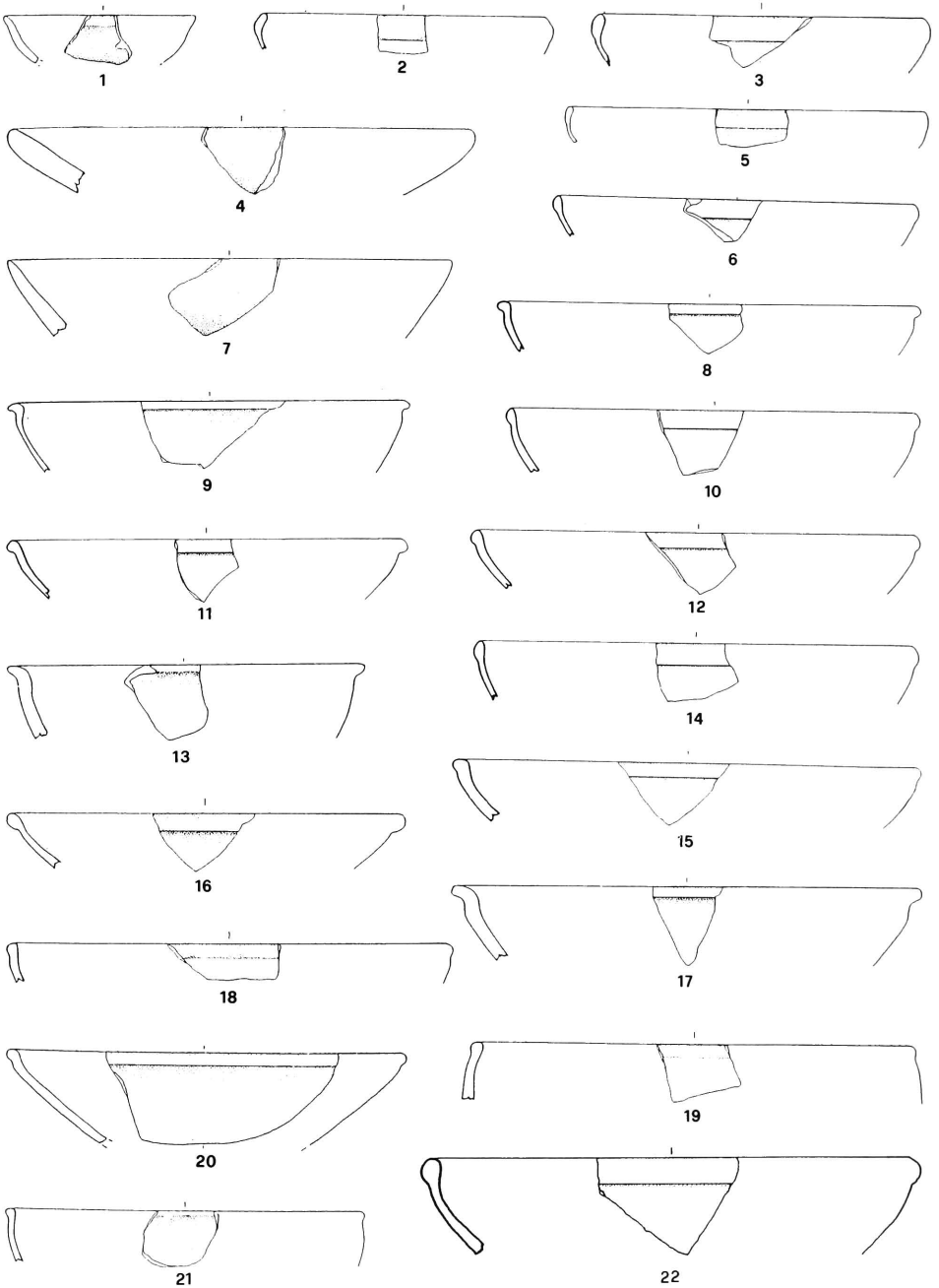
Anhang 2. Katalog der Keramik: Zahlenwerte

Tafel	Inv. Nr.	Mündung Dm. (cm)	Hals Dm. (cm)	Knickwand Dm. (cm)	Max Dm. (cm)	Boden/Fuß Dm. (cm)	Höhe (cm)	Min. Stärke (cm)	Max Stärke (cm)	
28	11	328	23,0	-	-	23,0	-	4,0	0,8	1,3
28	12	329	20,2	-	-	20,2	-	3,2	1,0	1,4
28	13	330	12,4	-	-	12,6	-	4,0	0,4	0,5
28	14	331	16,0	-	-	16,0	-	4,0	0,4	0,7
28	15	332	18,0	-	-	18,2	-	4,0	0,4	0,5
29	1	339	-	-	-	6,2	4,5	0,9	0,3	0,3
29	2	345	-	-	-	7,8	5,1	1,2	0,5	0,5
29	3	349	-	-	-	7,9	7,5	1,4	0,3	0,4
29	4	363	-	-	-	17,5	17,5	4,0	0,9	1,1
29	5	348	-	-	-	5,0	3,9	1,0	0,1	0,2
29	6	350	-	-	-	7,5	6,0	1,0	0,2	0,3
29	7	364	-	-	-	20,0	20,0	3,2	0,8	1,0
29	8	356	-	-	-	11,0	8,5	1,2	0,3	0,8
29	9	365	-	-	-	20,0	20,0	3,8	0,8	0,9
29	10	358	-	-	-	9,2	6,8	1,6	0,6	1,0
29	11	367	-	-	-	16,8	16,8	7,2	0,7	1,0
29	12	360	-	-	-	22,3	1,0	5,0	0,6	1,3
29	13	368	-	-	-	29,5	29,5	5,8	1,8	2,4
29	14	359	-	-	-	9,4	4,4	2,0	0,4	0,9
29	15	369	-	-	-	26,9	25,2	8,3	1,0	2,0
29	16	362	-	-	-	12,2	11,5	4,0	0,7	0,7
30	1	379	-	21,0	-	30,0	-	9,5	0,7	1,1
30	2	370	-	-	-	10,1	10,1	9,2	8,0	-
30	3	389	-	-	-	-	6,0	6,2	0,4	0,7
30	4	371	-	-	-	14,0	-	9,5	1,8	2,0
30	5	378	-	8,3	-	17,0	-	4,5	0,4	0,7
30	6	376	-	10,8	-	13,7	-	4,3	0,3	0,5
30	7	377	-	13,0	13,4	14,0	-	5,2	0,3	0,7
30	8	381	-	19,5	-	28,8	-	8,1	1,2	1,2
30	9	384	-	-	-	-	-	6,3	0,3	0,5
31	1	385	-	-	-	-	-	5,0	1,2	1,6
31	2	386	-	-	-	-	-	7,6	1,2	1,8
31	3	387	-	-	-	-	-	9,0	1,5	2,5
31	4	383	-	-	-	-	-	7,0	0,8	1,0
31	5	382	-	16,7	-	27,5	-	10,3	0,7	0,9
31	6	388	-	23,4	-	33,0	-	1,0	0,5	0,9
32	1	400	-	-	-	-	-	3,8	0,5	0,6
32	2	401	-	-	-	-	-	3,6	0,2	0,3
32	3	427	-	-	-	-	-	3,7	0,4	0,5
32	4	575	-	-	-	-	-	4,4	0,4	0,4
32	5	390	-	-	-	-	-	4,0	0,4	0,7
32	6	515	-	-	-	-	-	3,4	0,2	0,5
32	7	480	-	-	-	-	-	2,8	0,4	0,5
32	8	530	-	-	-	-	-	3,3	0,4	0,5
32	9	396	-	-	-	-	-	4,8	0,5	0,6
32	10	576	-	-	-	-	-	6,0	0,6	0,6
32	11	397	-	-	-	-	-	5,4	0,3	0,4
32	12	465	-	-	-	-	-	7,0	0,6	0,6
32	13	410	-	-	-	-	-	6,5	0,4	0,4
32	14	556	-	-	-	-	-	5,1	0,7	0,7

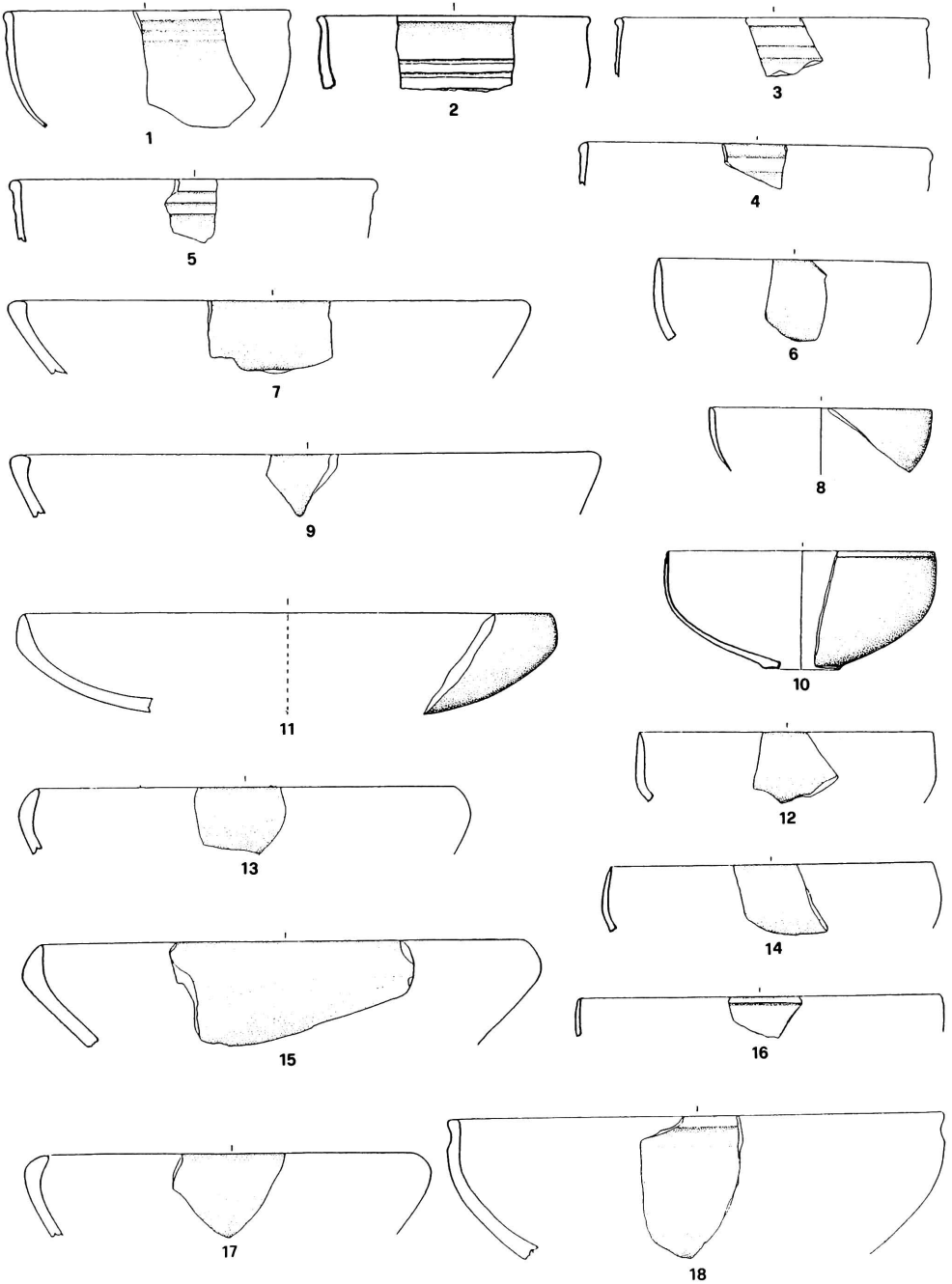
Anhang 2. Katalog der Keramik: Zahlenwerte

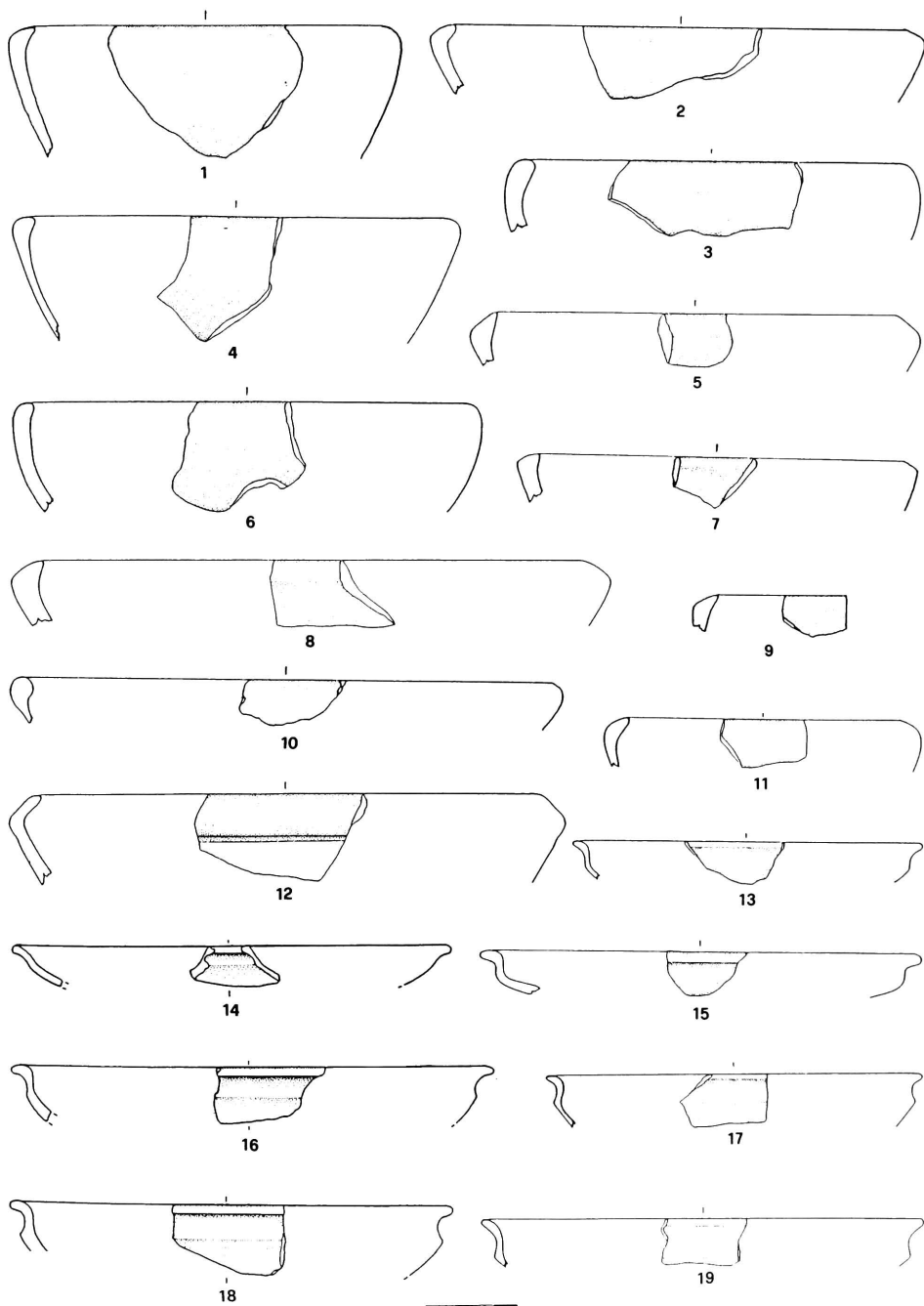
Tafel	Inv. Nr.	Mündung Dm. (cm)	Hals Dm. (cm)	Knickwand Dm. (cm)	Max Dm. (cm)	Boden/Fuß Dm. (cm)	Höhe (cm)	Min. Stärke (cm)	Max Stärke (cm)
32	15	498	-	-	-	-	3,0	0,4	0,4
32	16	478	-	-	-	-	6,5	0,4	0,6
32	17	399	-	-	-	-	4,6	0,6	0,7
32	18	398	-	-	-	-	7,0	0,7	1,0
32	19	392	-	-	-	-	7,8	0,6	0,7
32	20	404	-	16,1	-	19,0	5,6	0,5	0,7
33	1	572	-	-	-	-	5,1	0,7	0,7
33	2	490	-	-	-	-	3,7	0,4	0,7
33	3	574	-	-	-	-	4,6	0,3	0,4
33	4	395	-	-	-	-	7,6	0,5	0,7
33	5	402	-	-	-	-	4,8	0,3	0,5
33	6	545	-	-	-	-	4,2	0,5	0,7
33	7	403	-	-	-	-	9,0	0,5	0,7
33	8	391	-	-	-	-	8,6	0,3	0,5
33	9	579	-	-	-	-	3,5	0,5	0,6
33	10	534	-	24,0	-	36,0	8,5	0,6	0,8
33	11	393	-	-	-	-	8,8	0,6	0,7
33	12	394	-	-	-	26,6	7,0	0,4	0,5
33	13	577	-	-	-	-	8,0	0,7	0,7

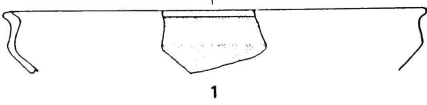
TAFELN 1-37



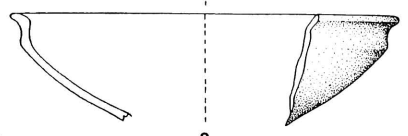
TAFEL 2



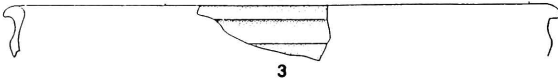




1



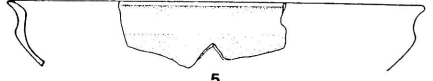
2



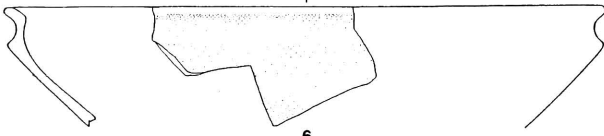
3



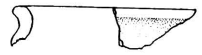
4



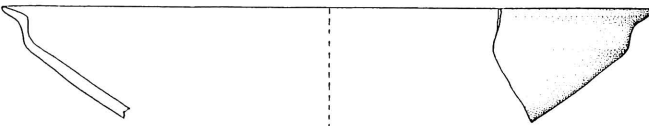
5



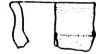
6



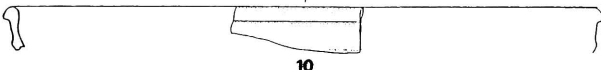
7



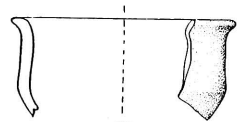
8



9



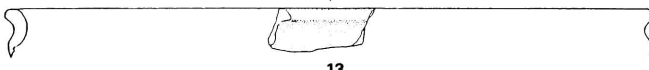
10



12



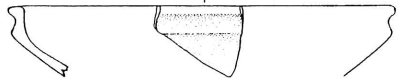
11



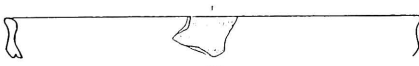
13



14



15



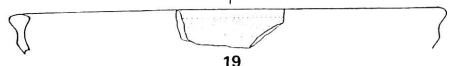
16



17

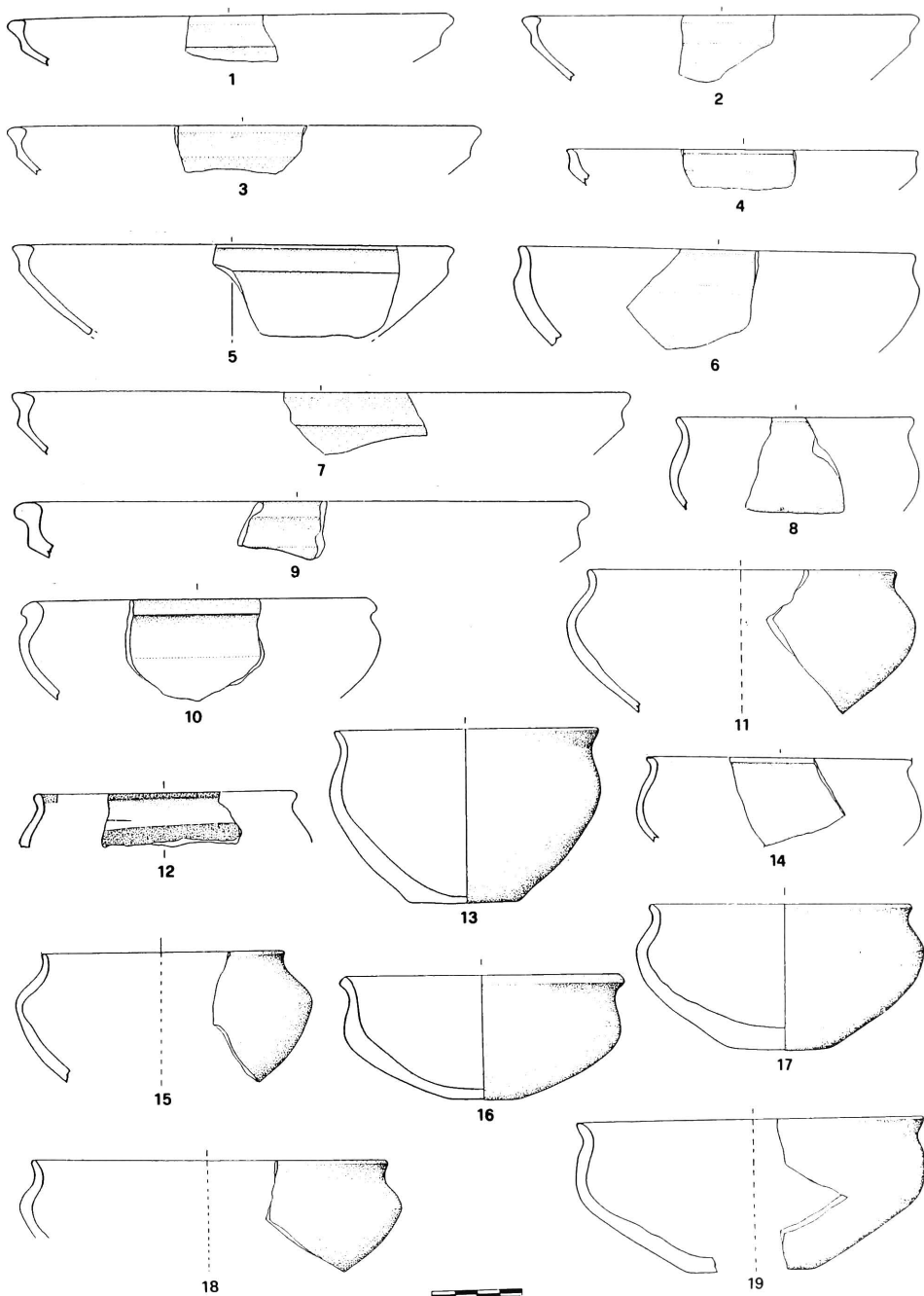


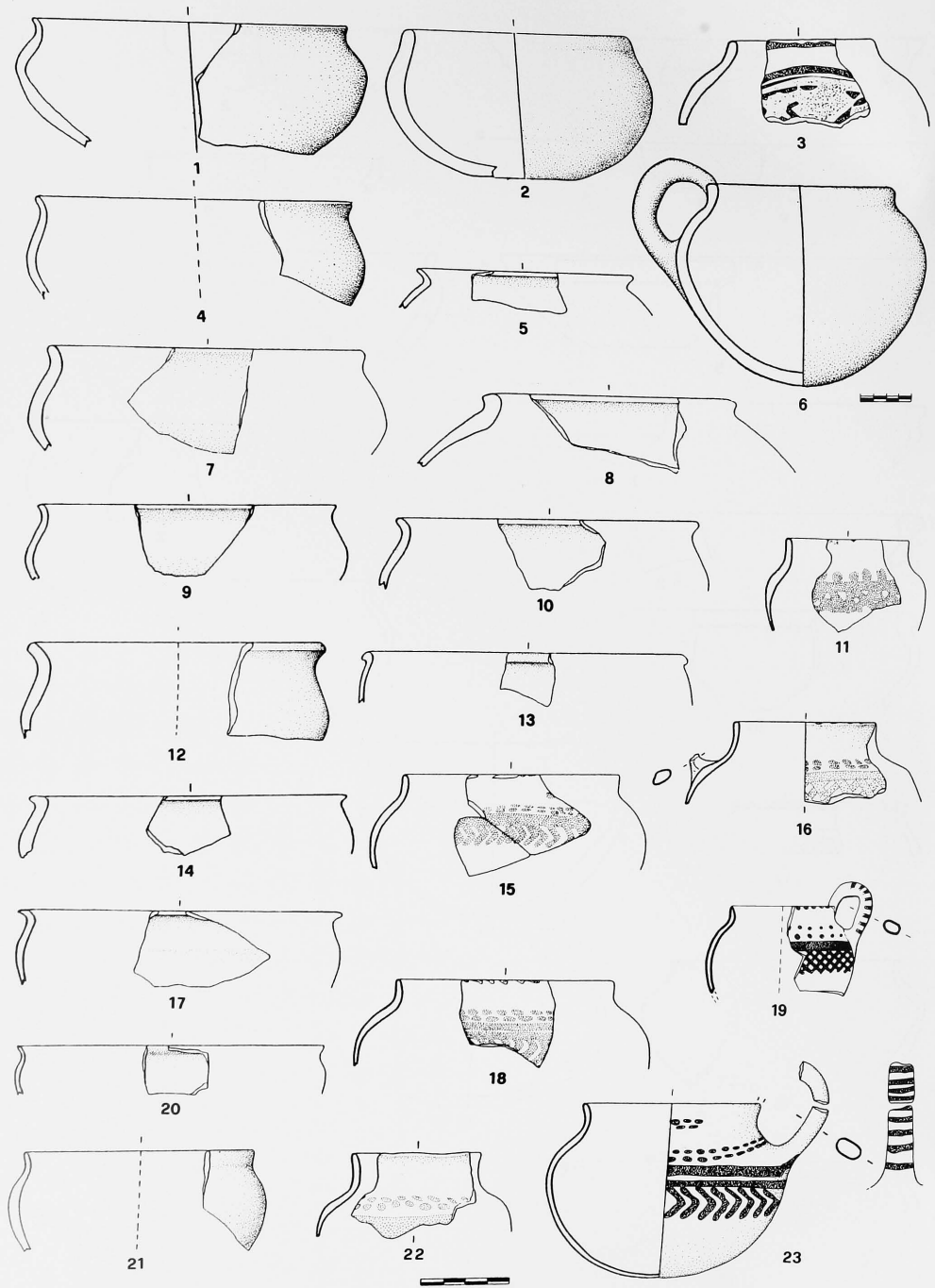
18

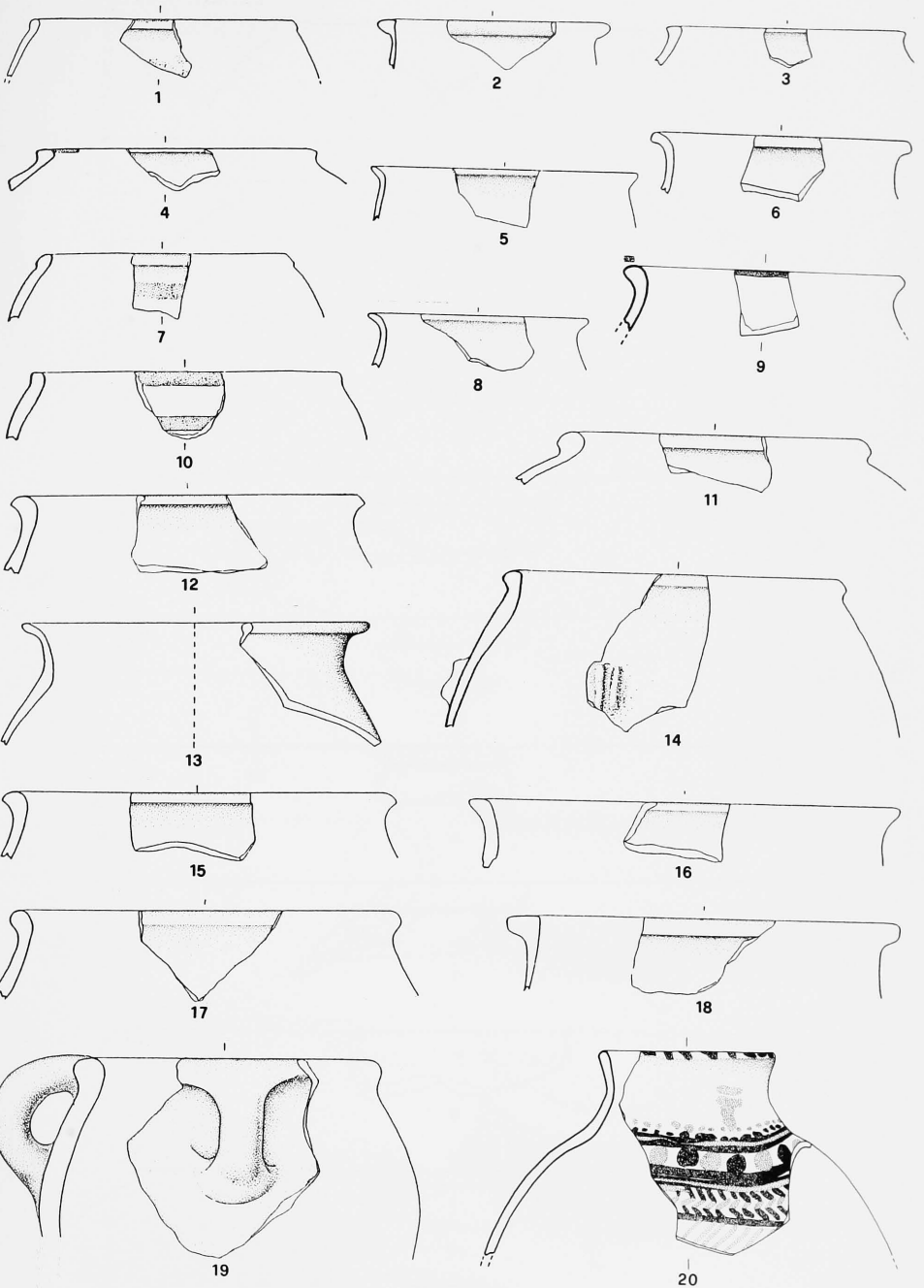


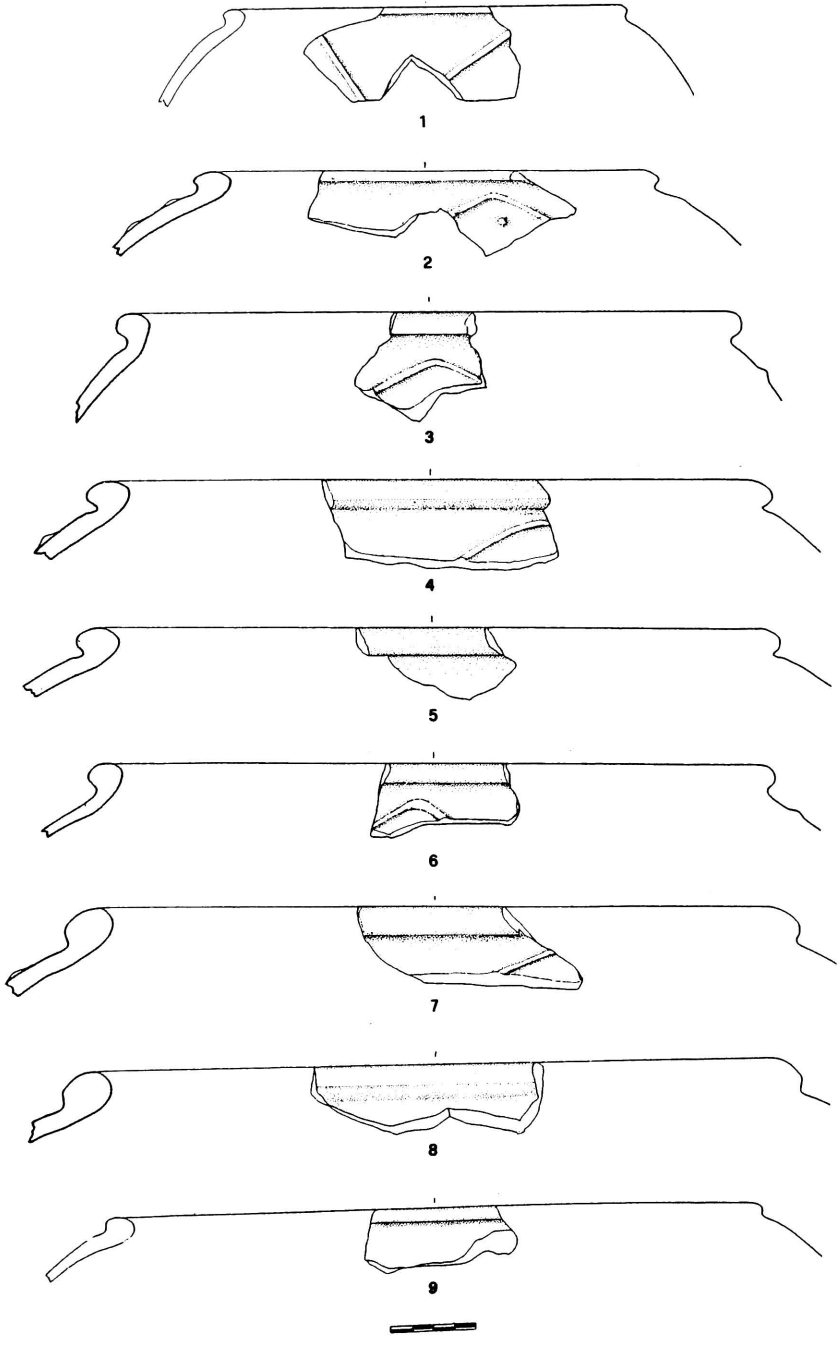
19

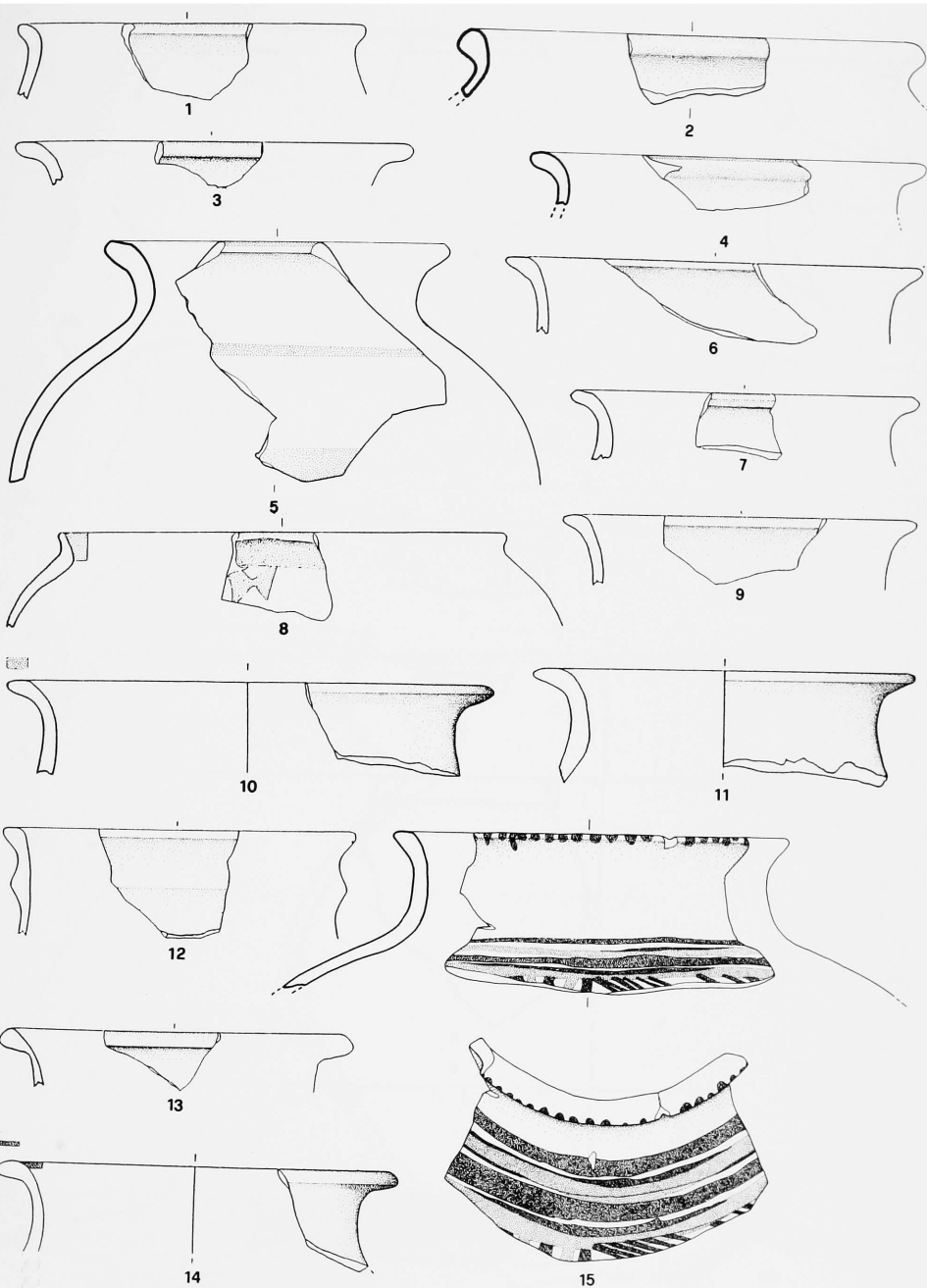


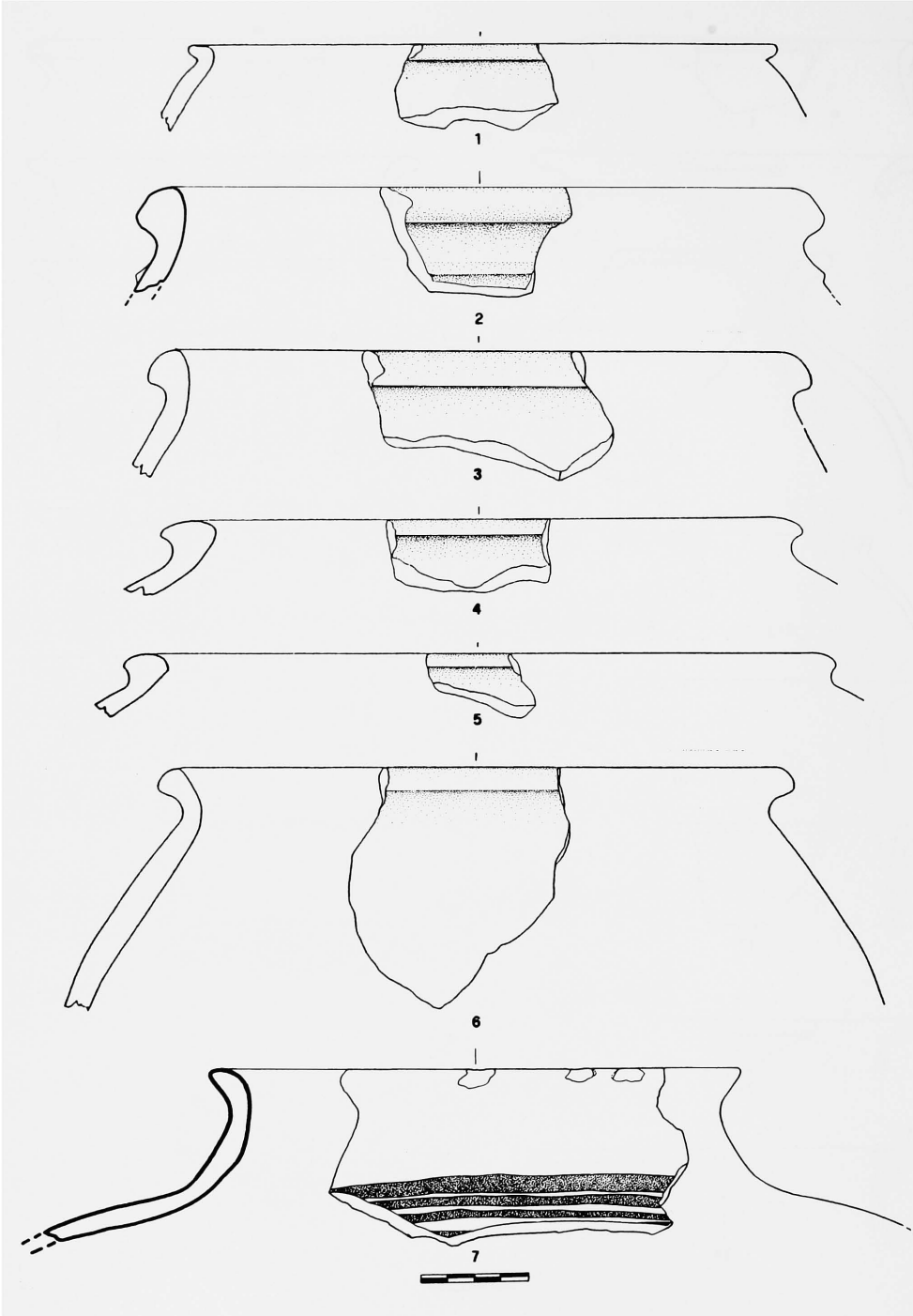


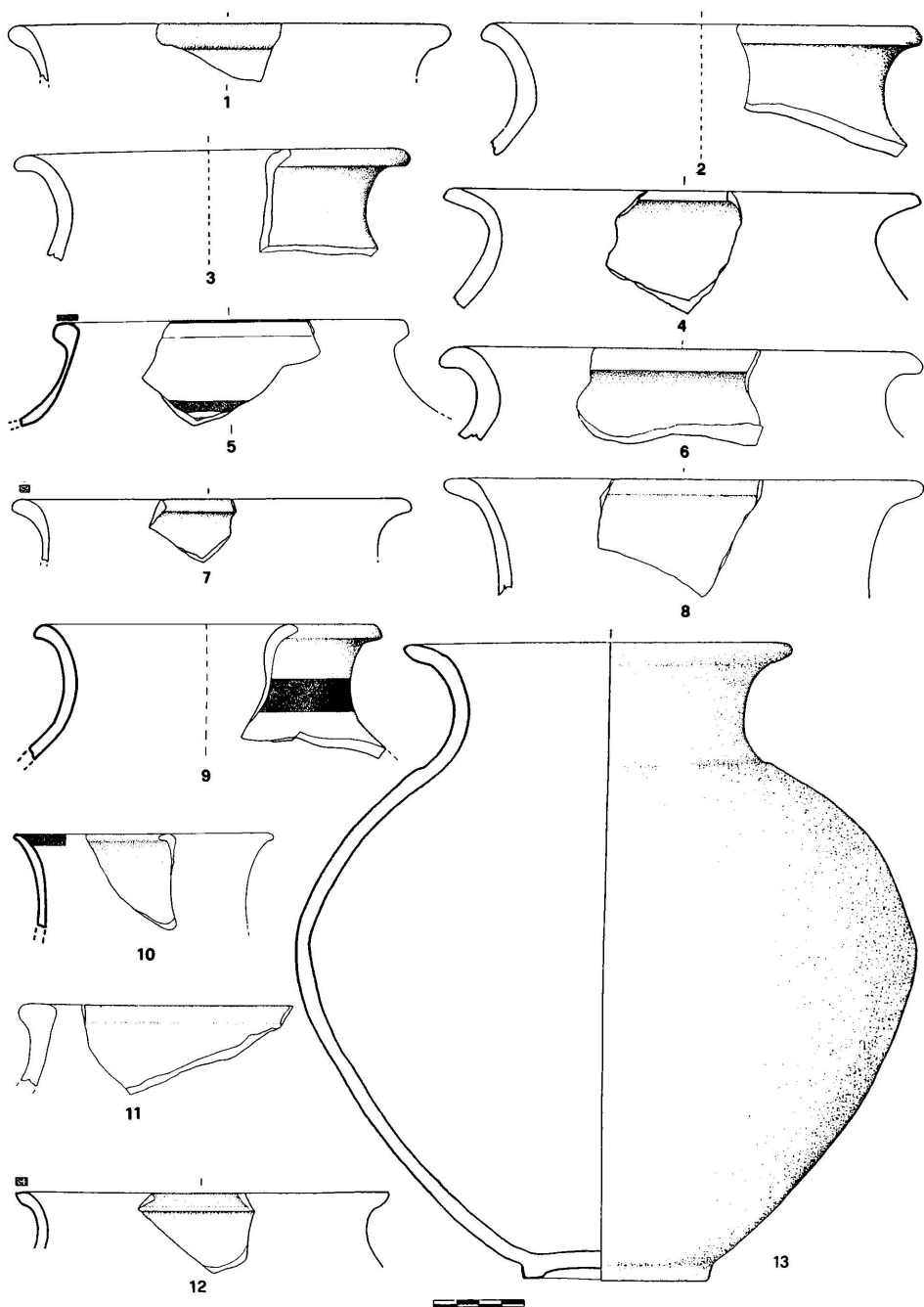


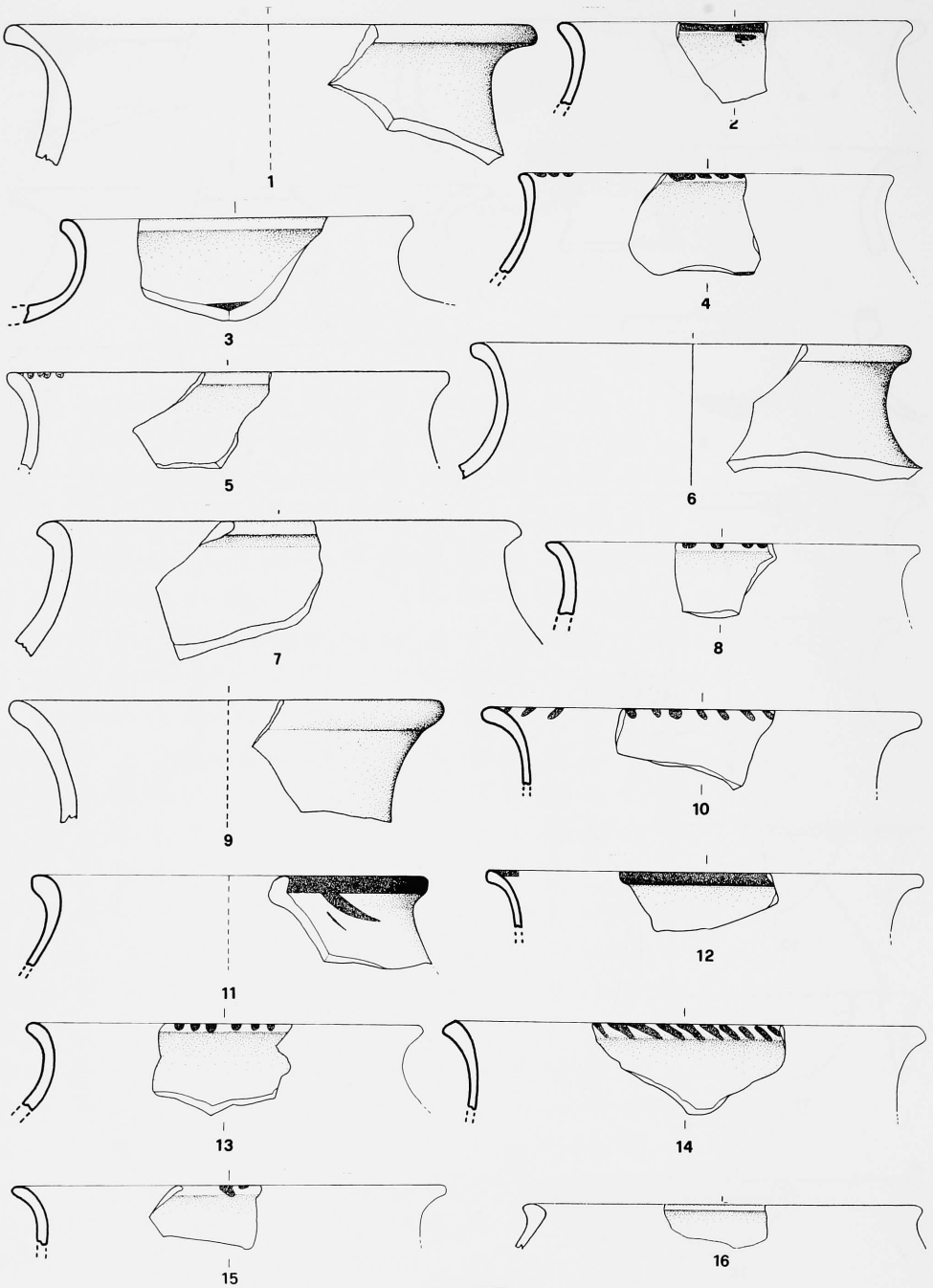


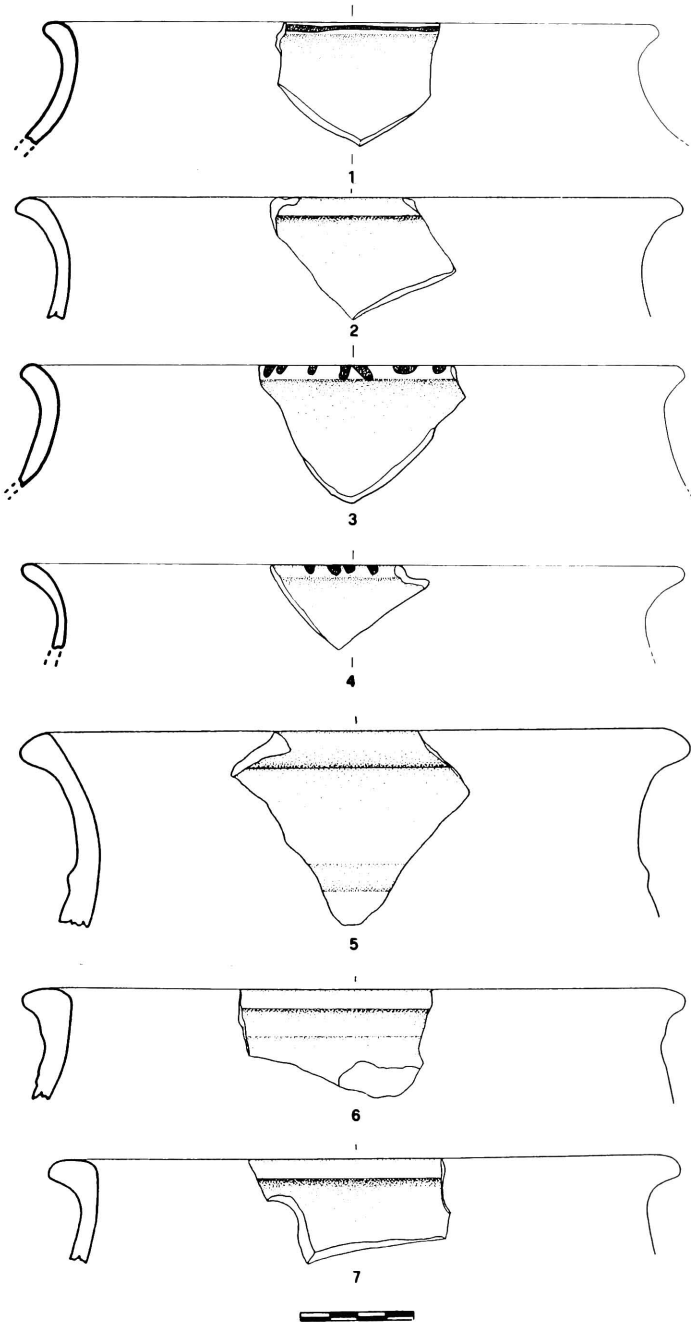


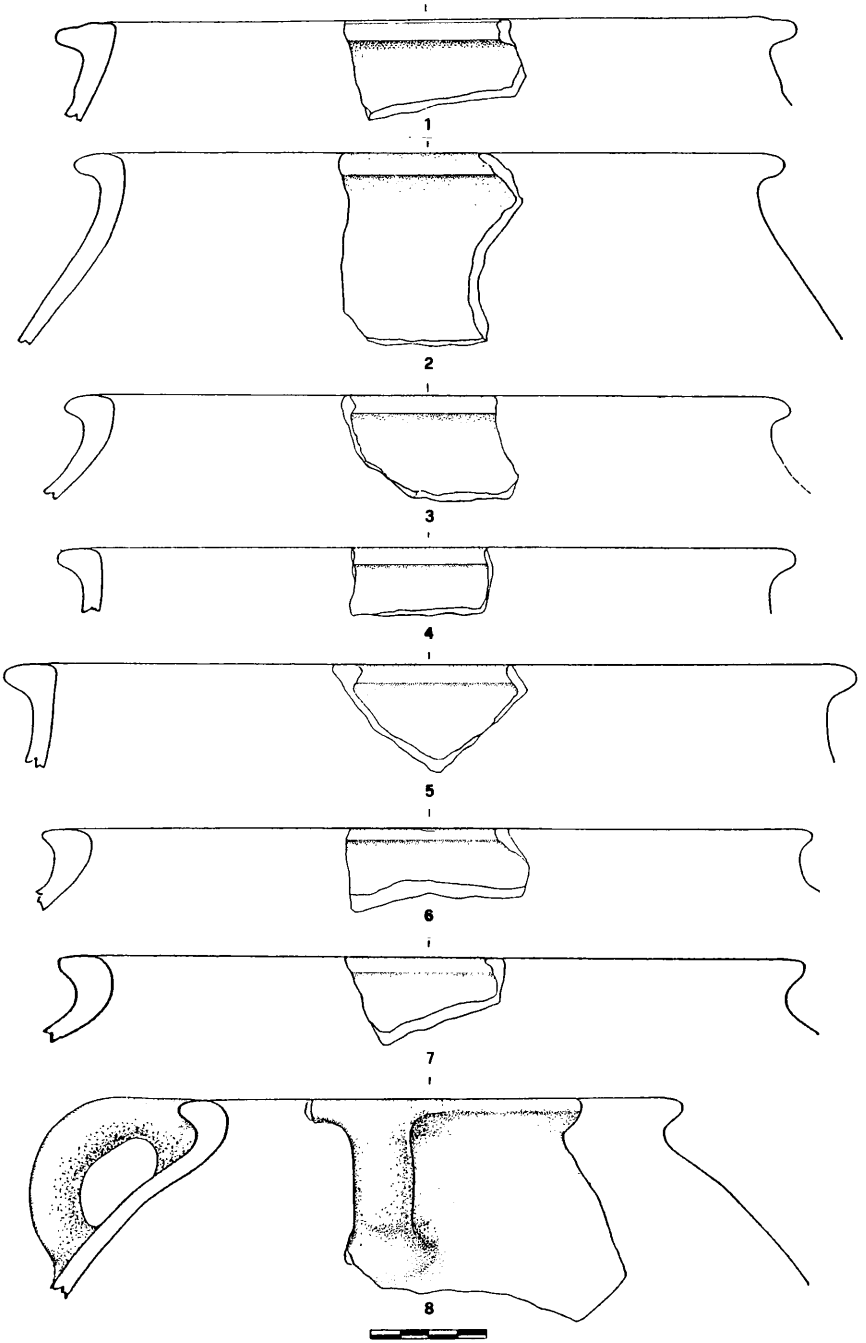


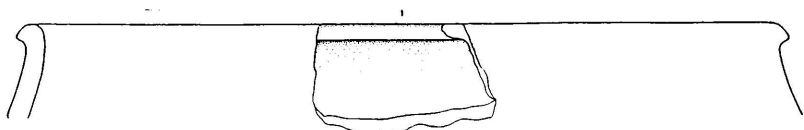
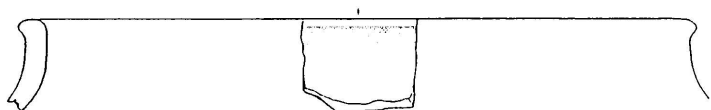
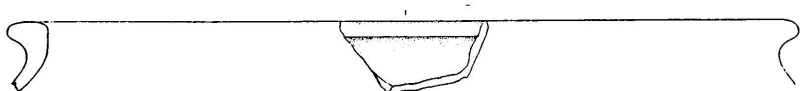
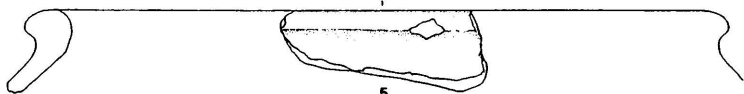
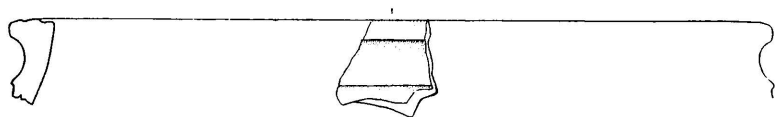
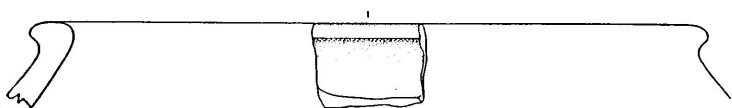
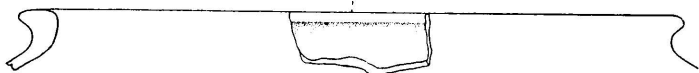
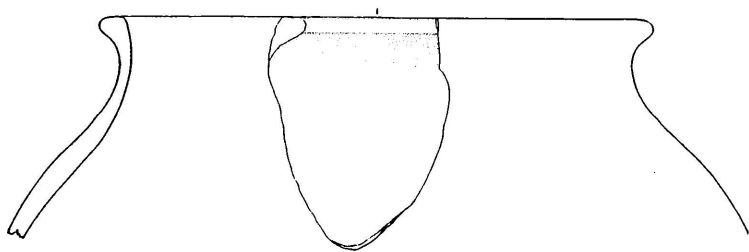


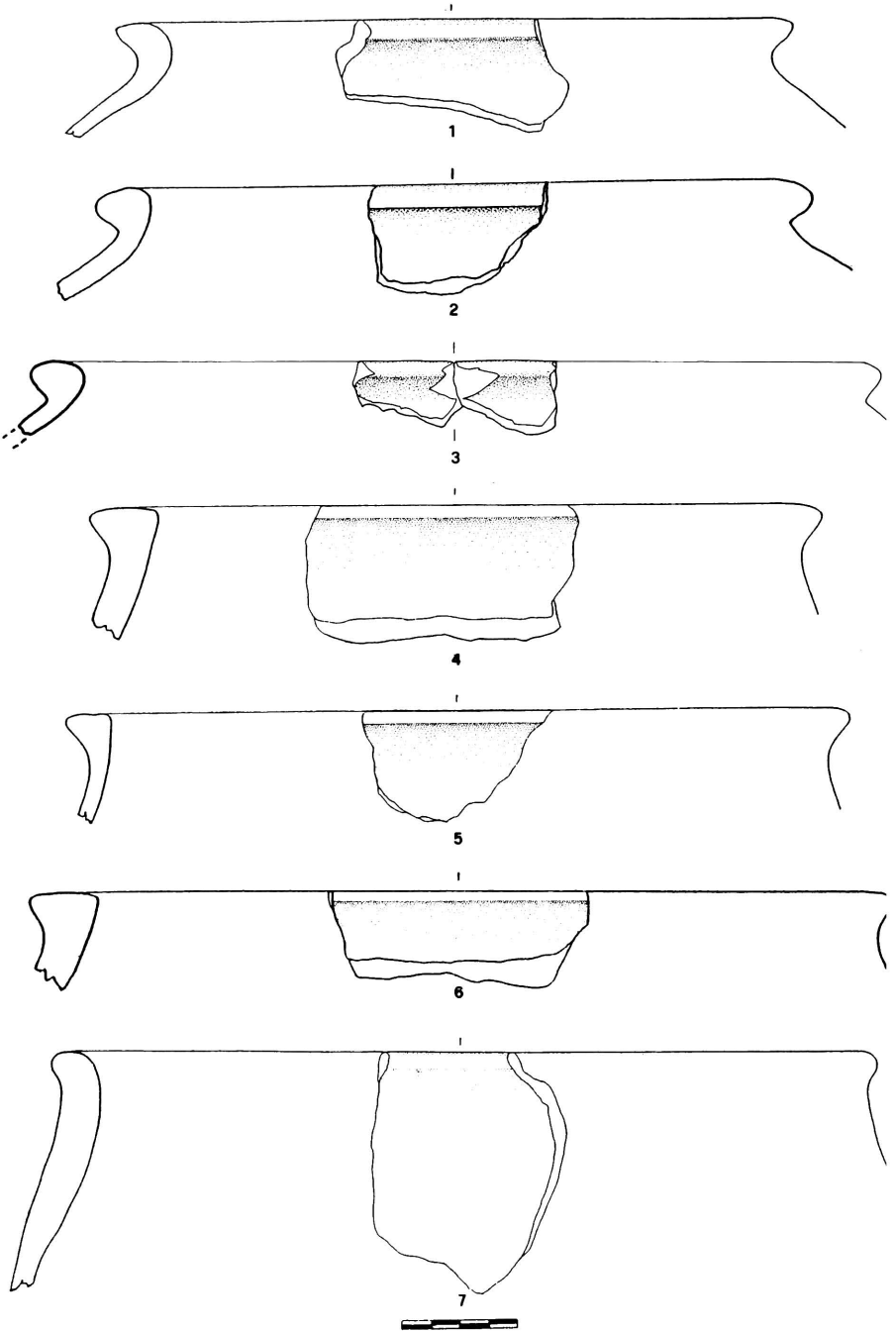


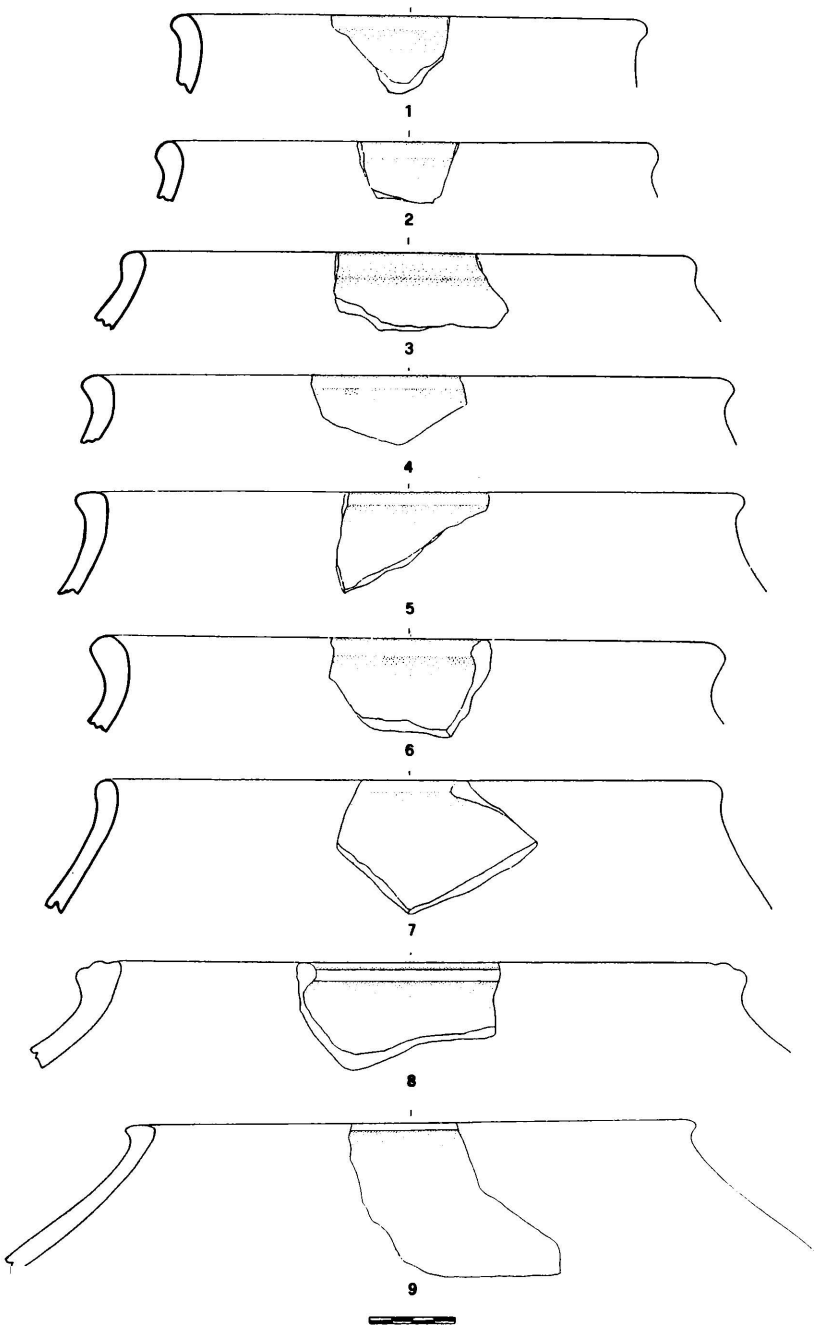


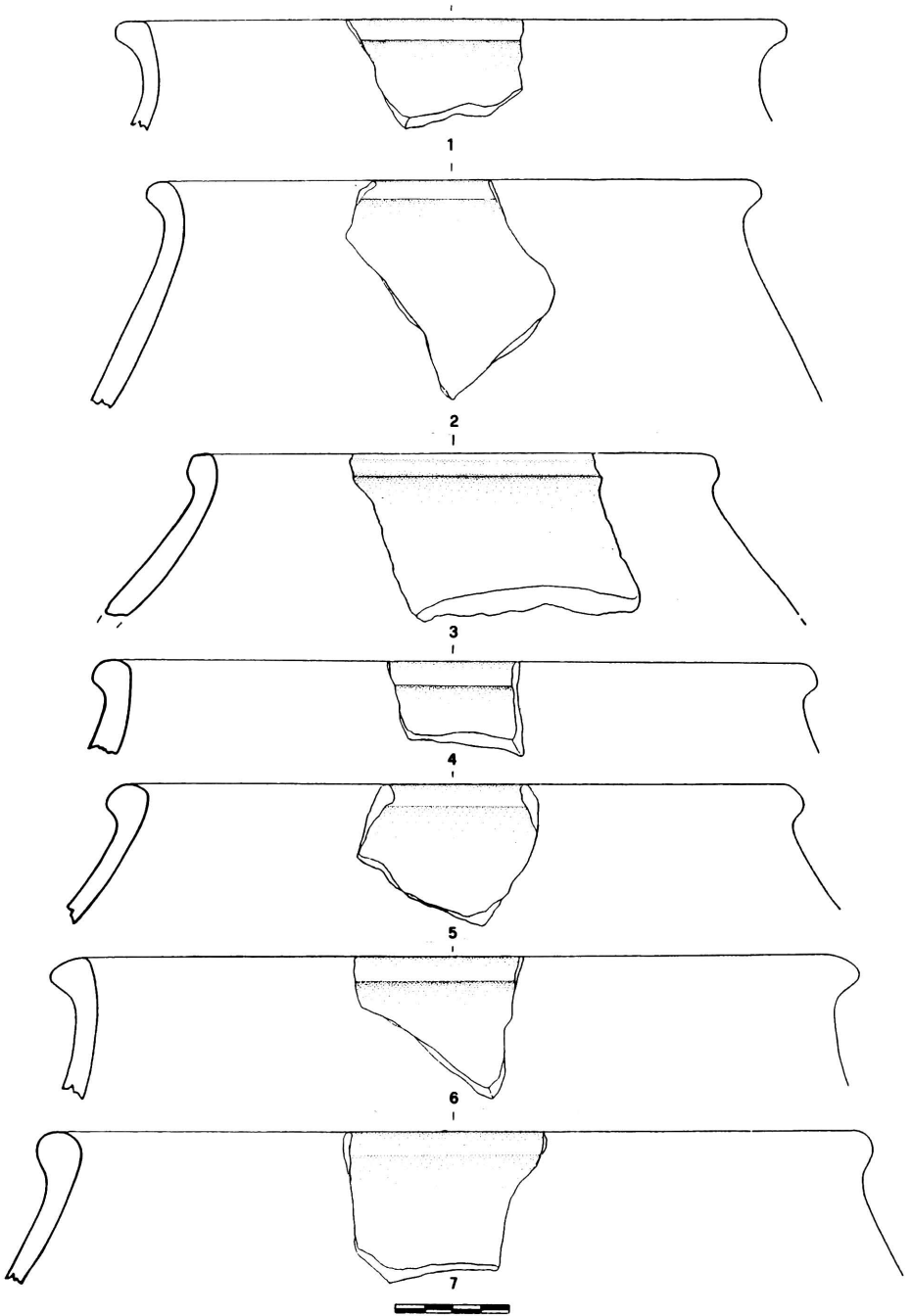


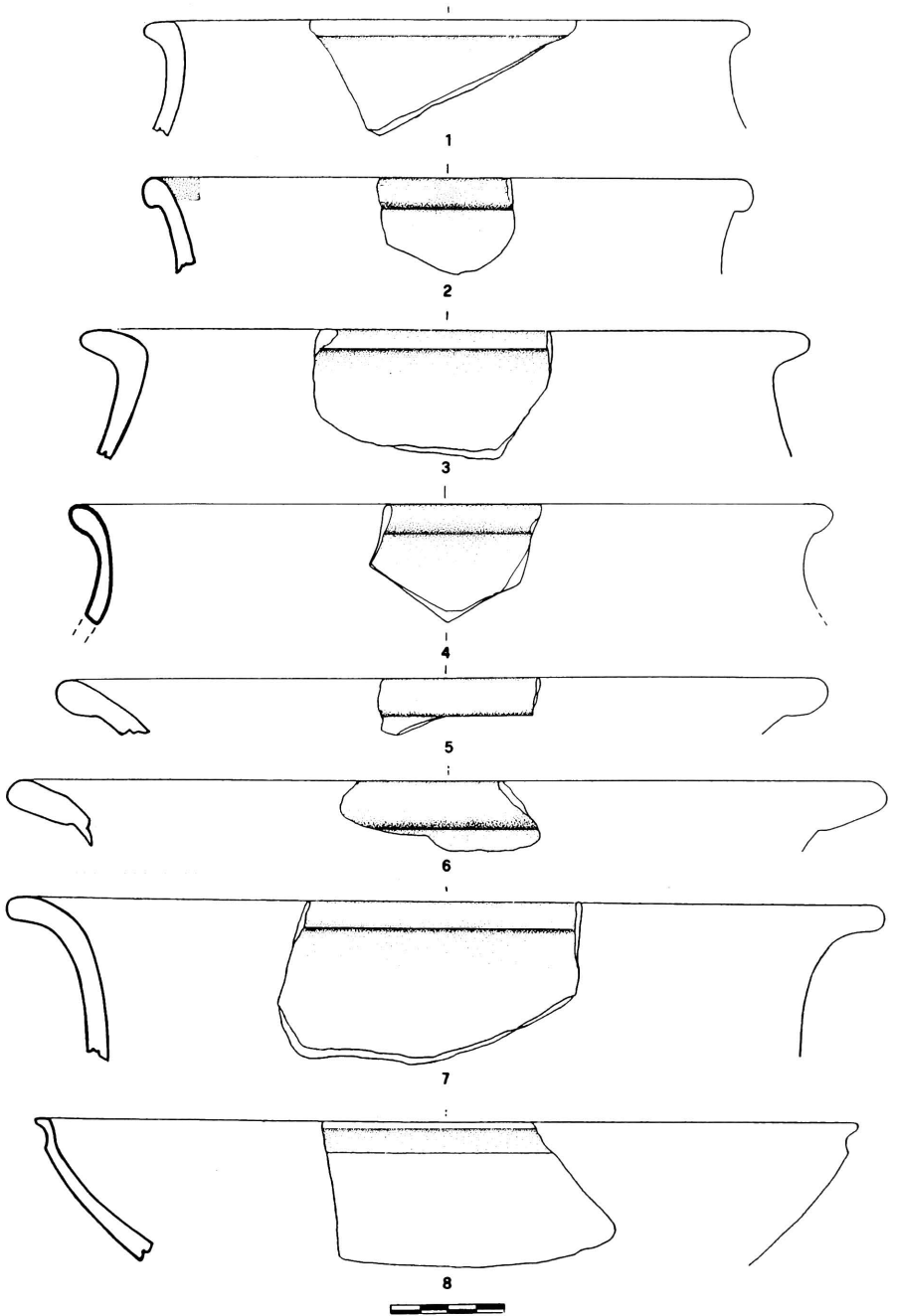


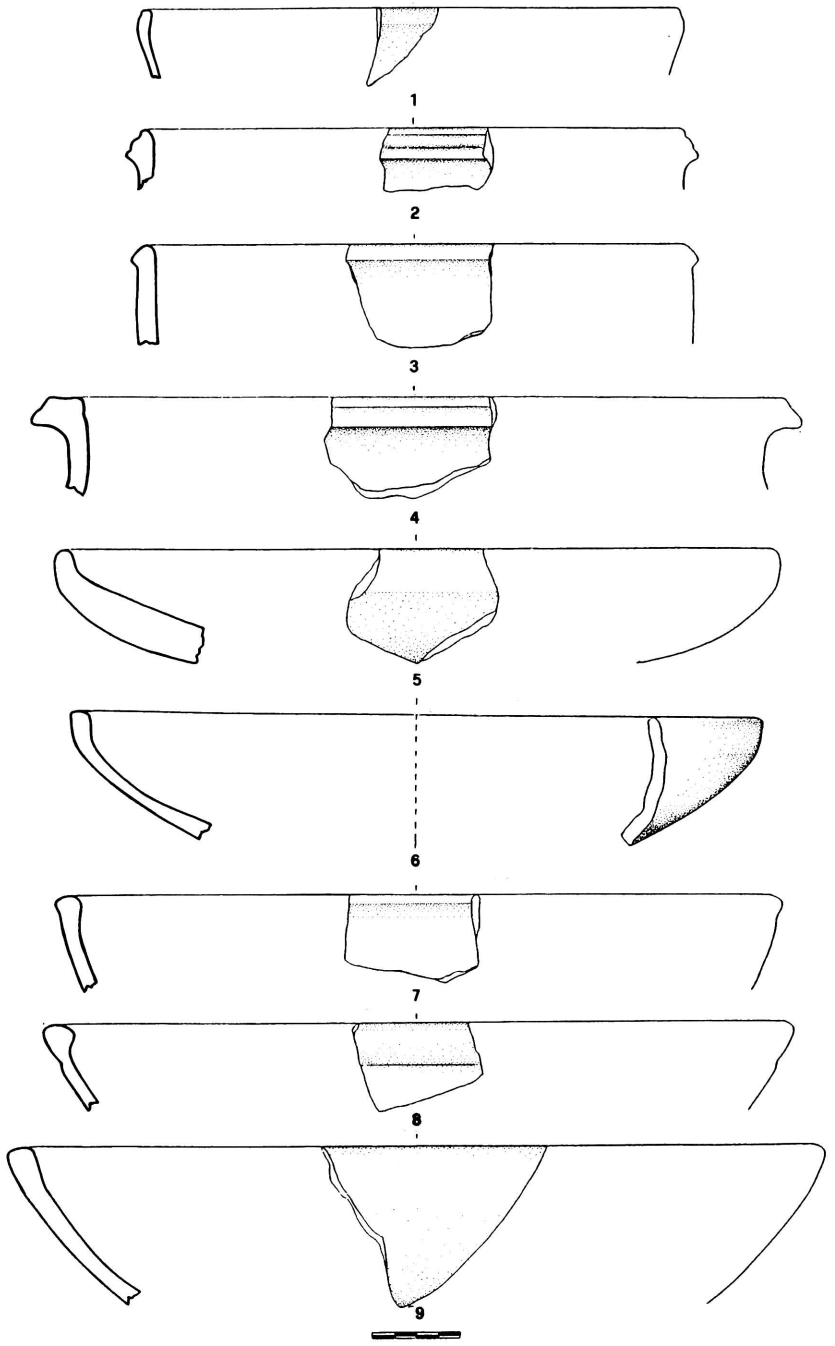


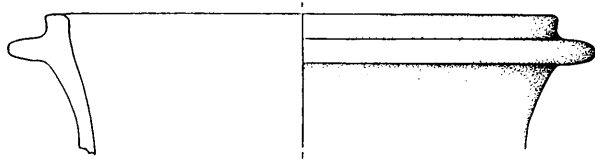




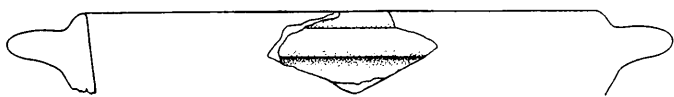




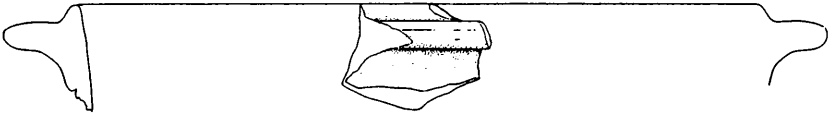




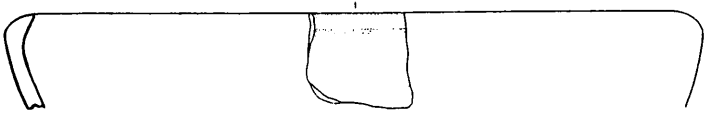
1



2



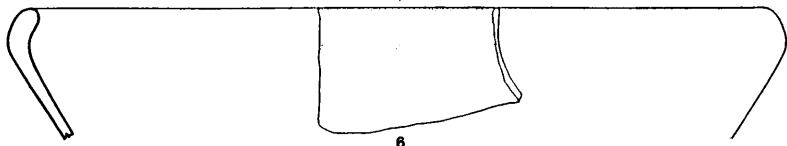
3



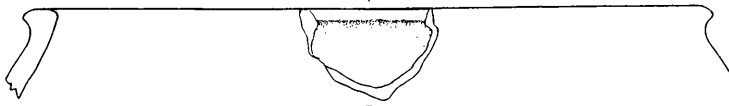
4



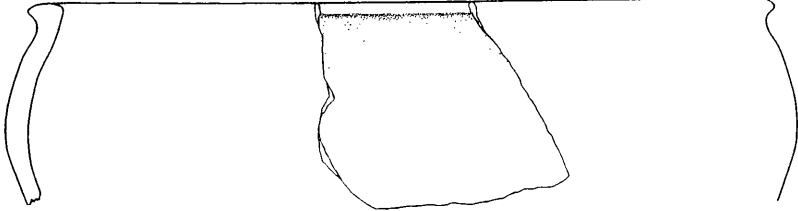
5



6

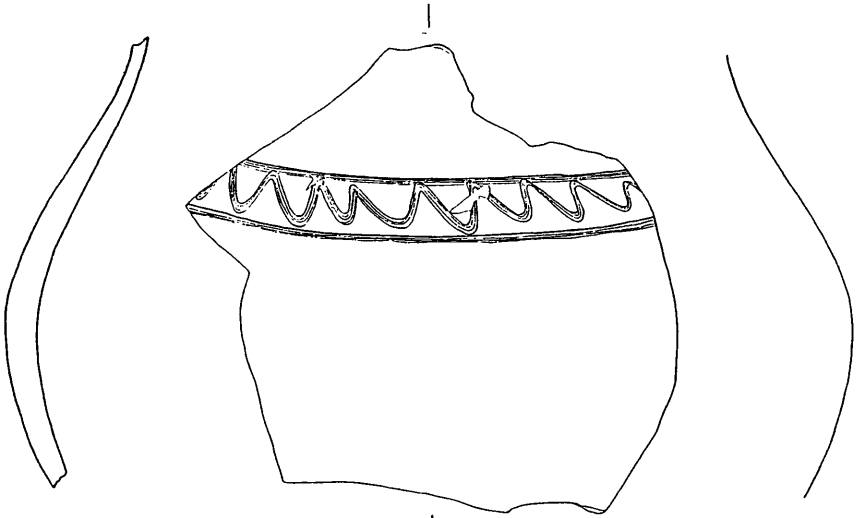


7



8

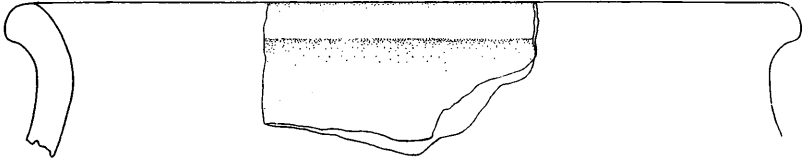




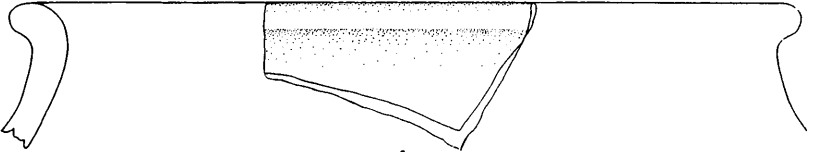
1



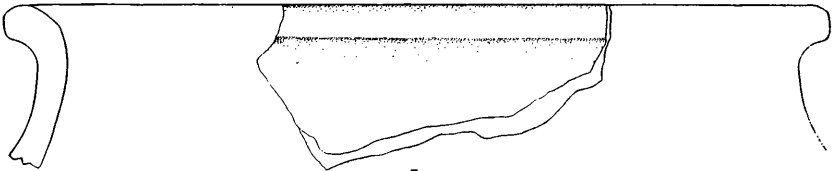
2



3

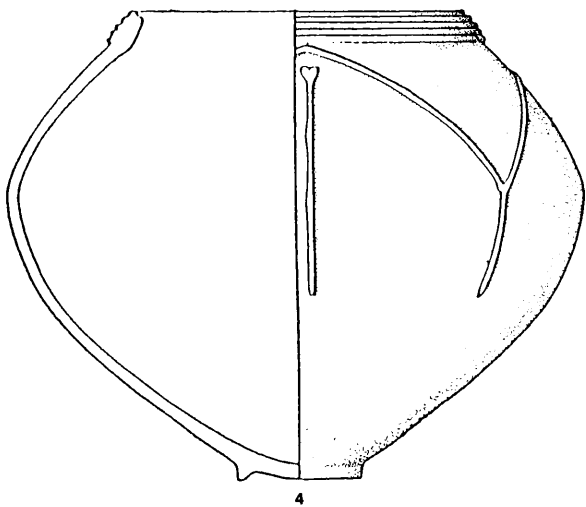
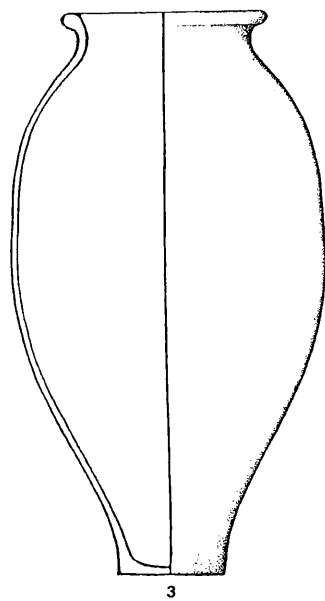
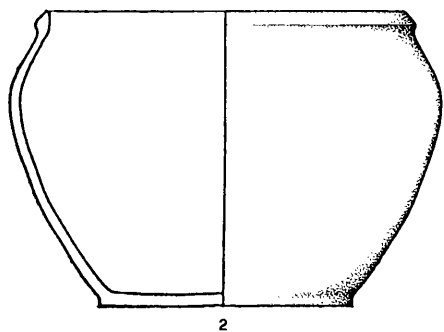
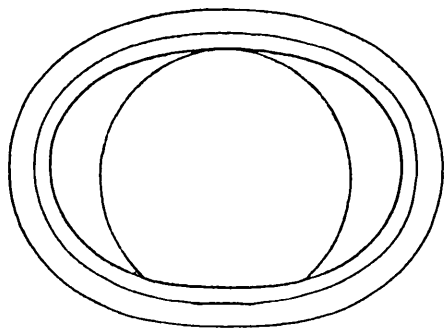
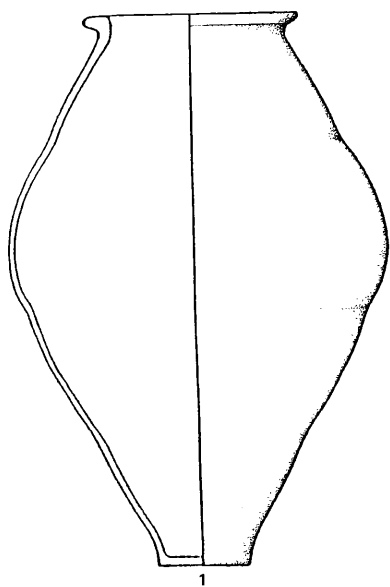


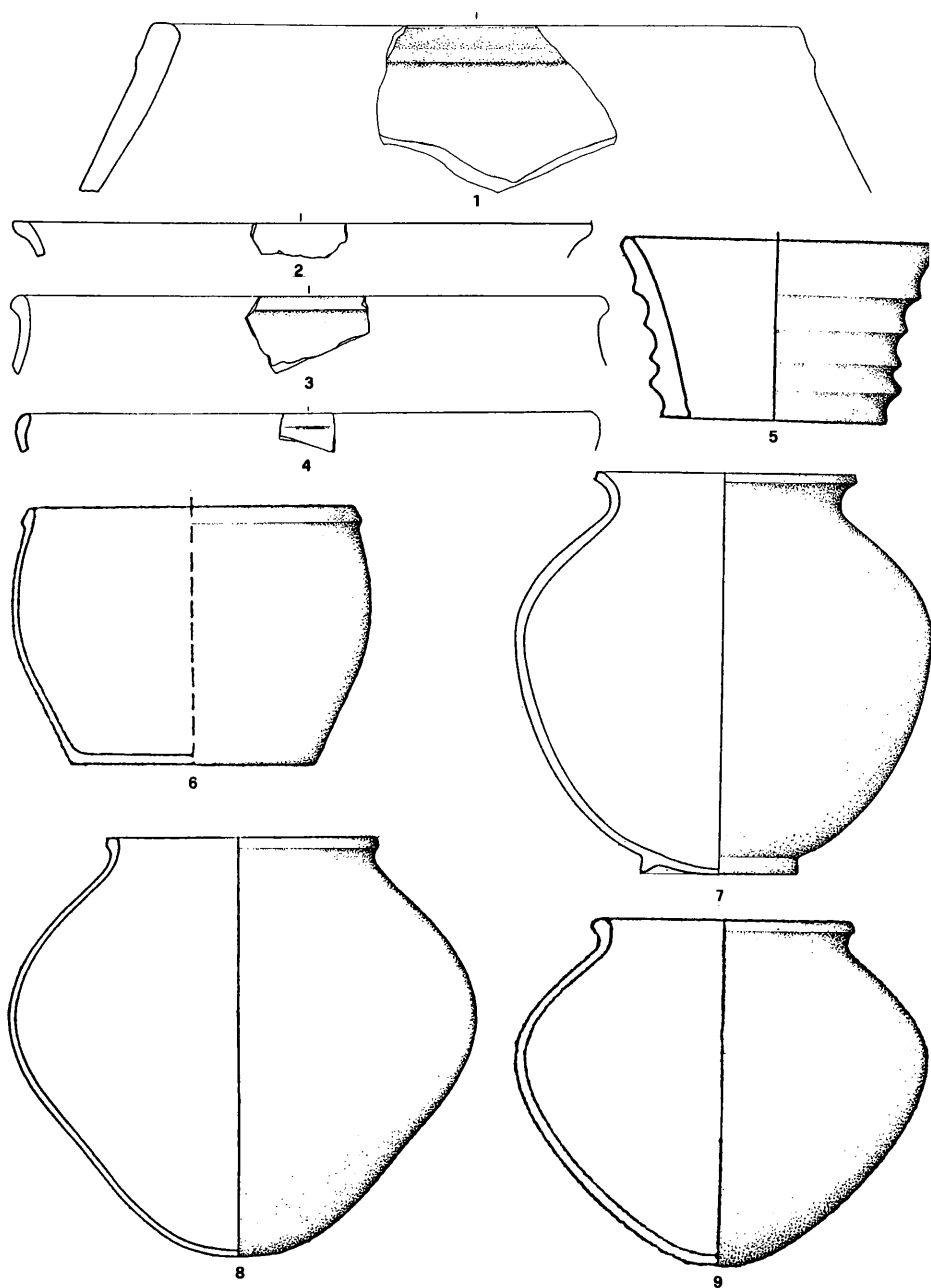
4



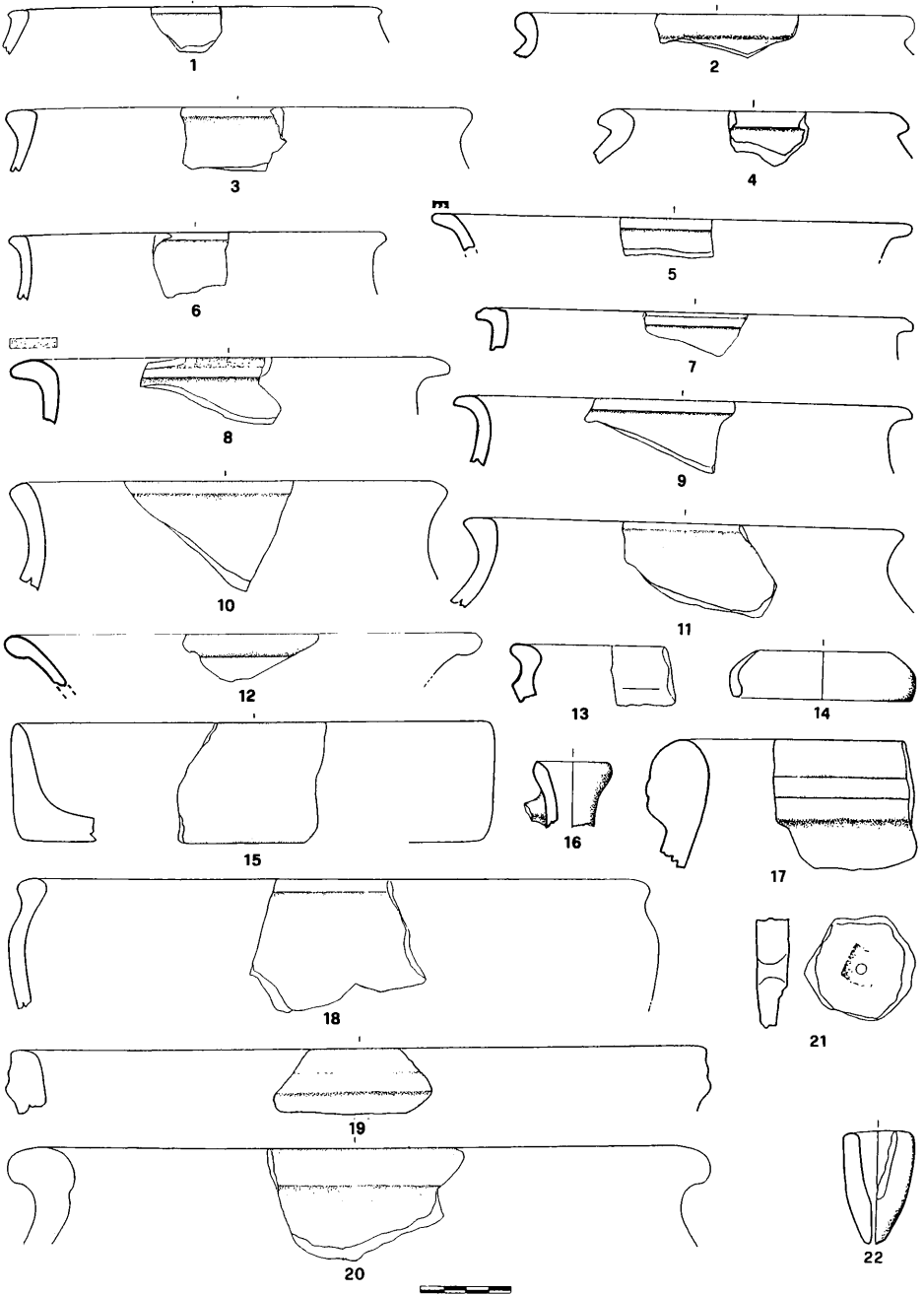
5

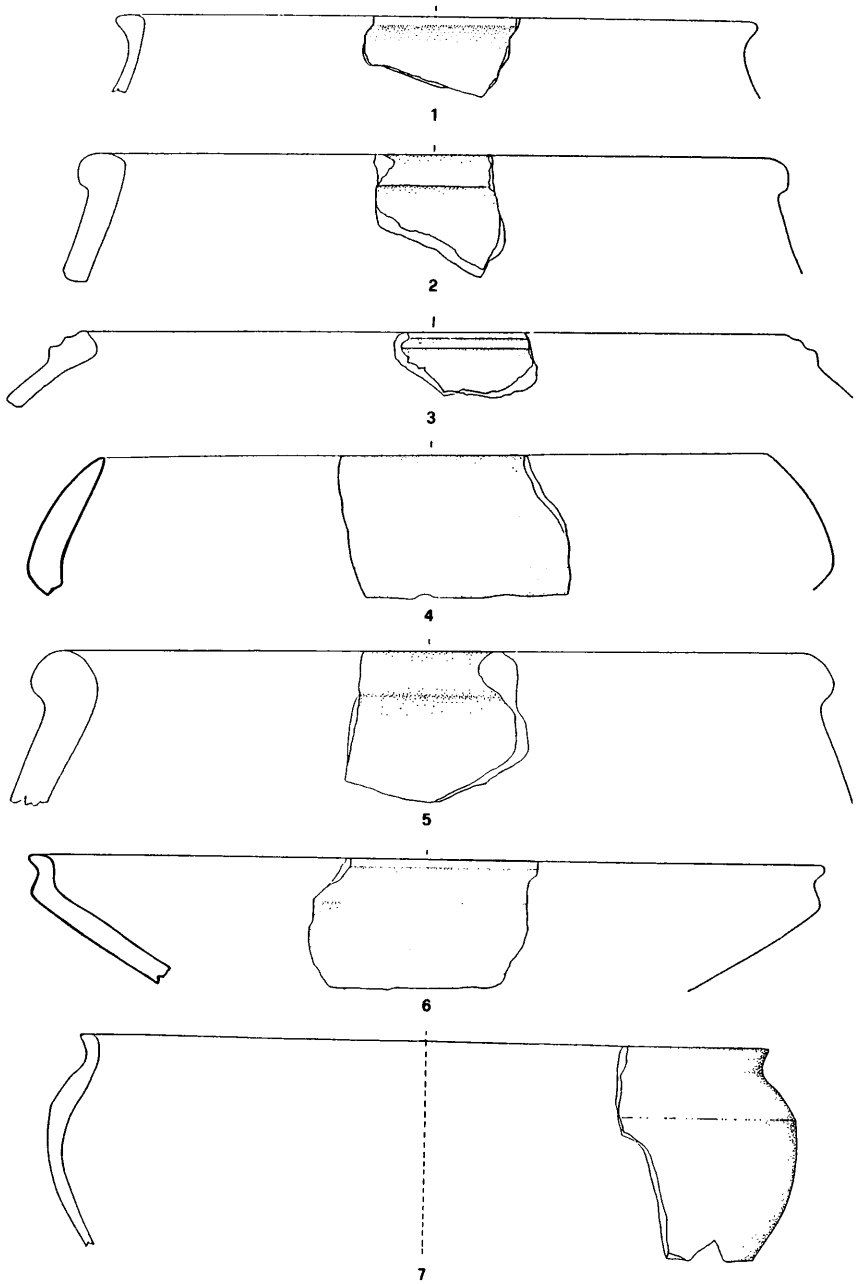




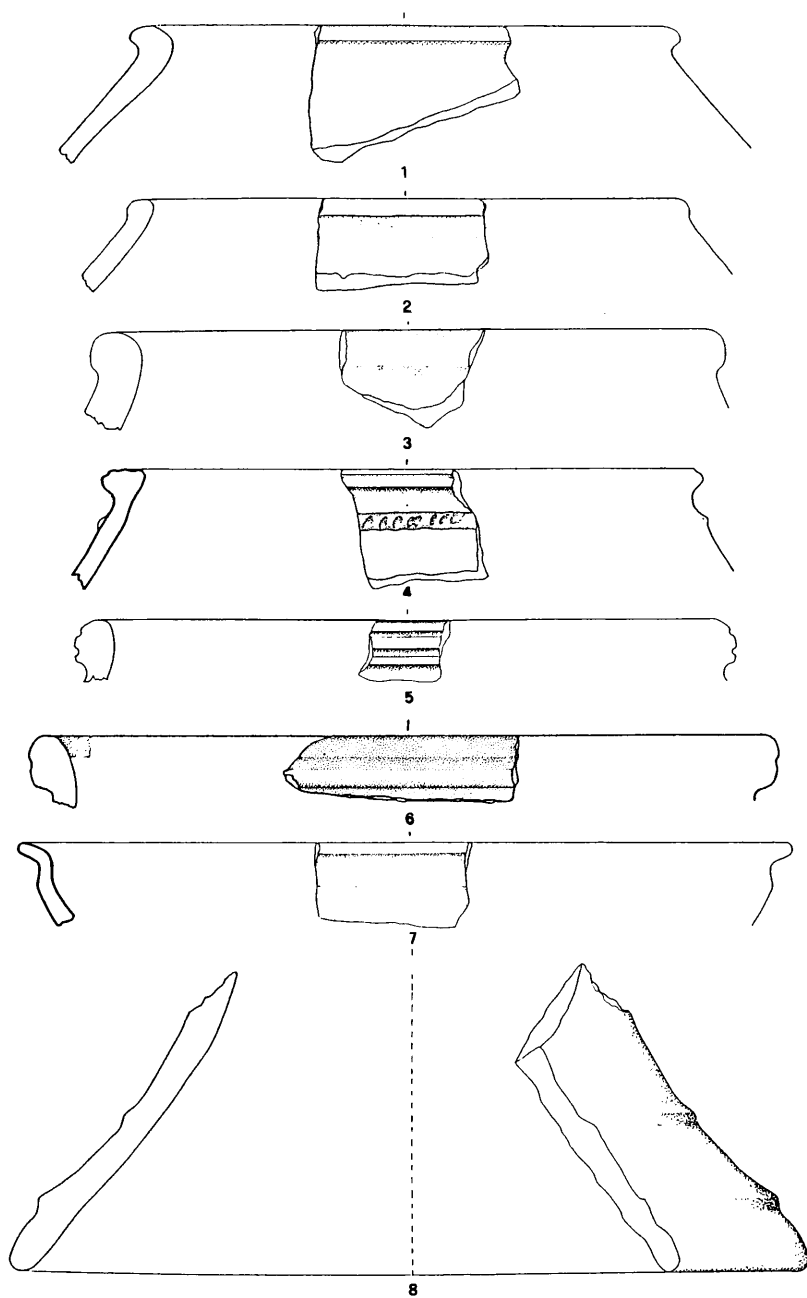


Nr. 1, Maßstab 1:3; Nr. 2-3, 7, Maßstab 1:4; Nr. 4-5, 9, Maßstab 1:5; Nr. 6, Maßstab 1:10; Nr. 8, Maßstab 1:6

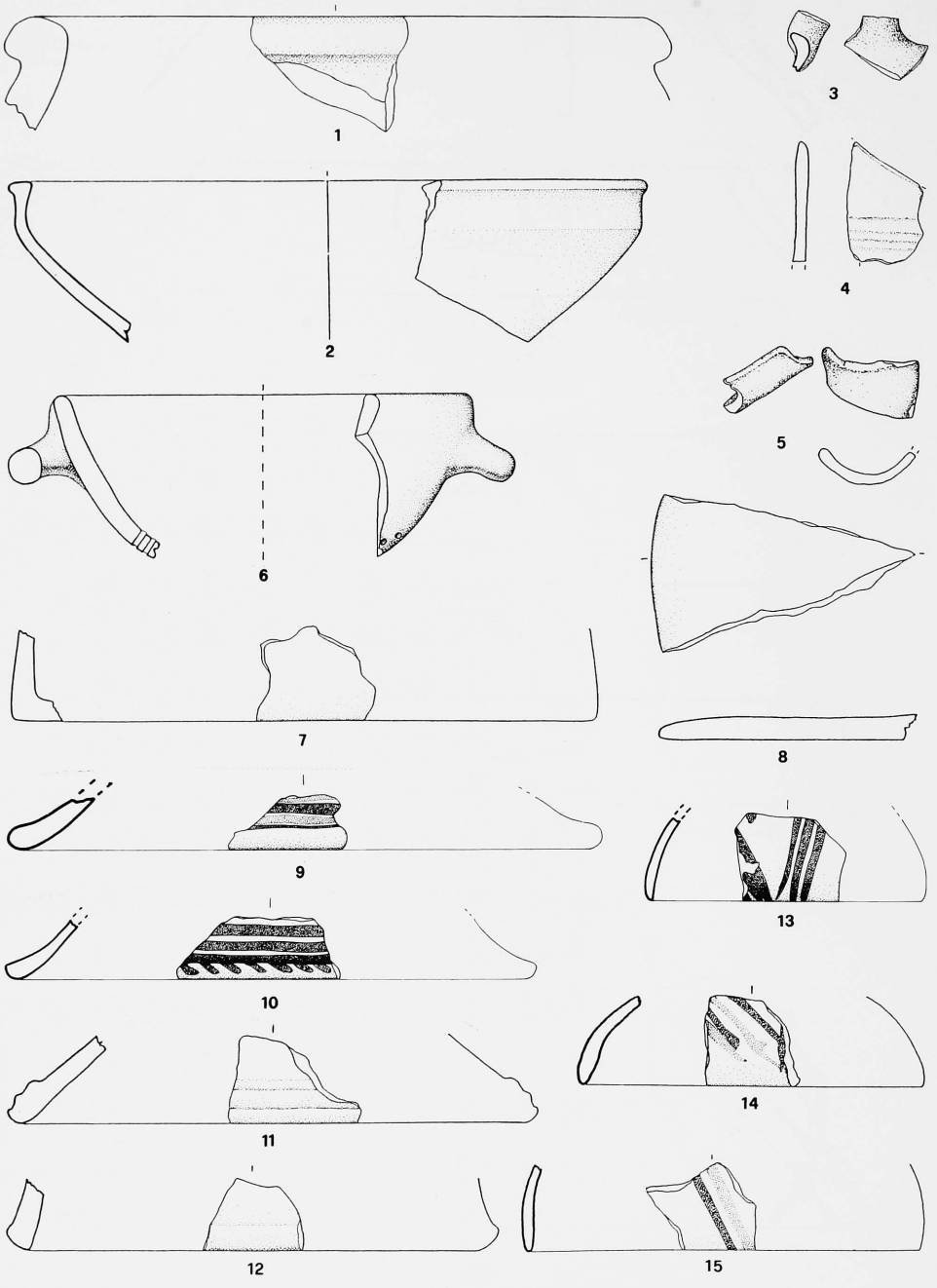


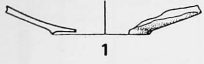


Nr. 1, 4-7, Maßstab 1:3; Nr. 2-3, Maßstab 1:4



Nr. 1, 5, 7, Maßstab 1:3; Nr. 2-4, Maßstab 1:4; Nr. 6, 8, Maßstab 1:2

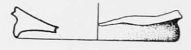




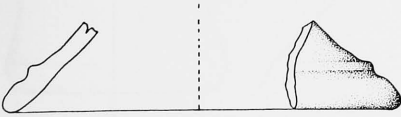
1



2



3



4



5



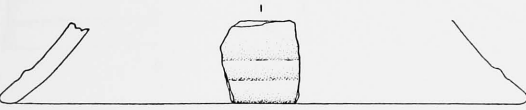
6



7



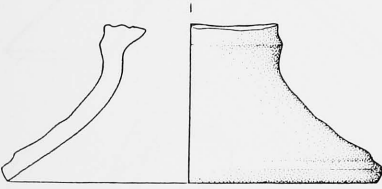
8



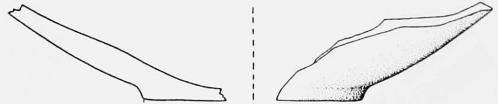
9



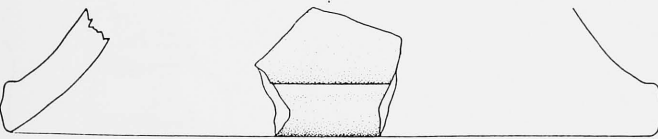
10



11



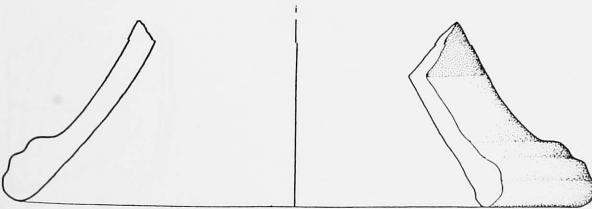
12



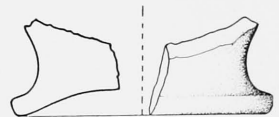
13



14

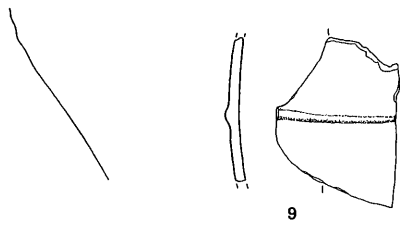
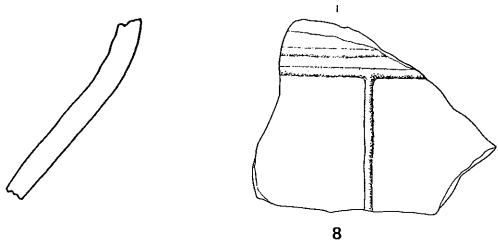
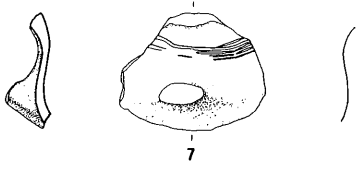
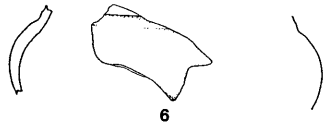
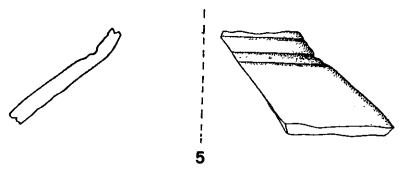
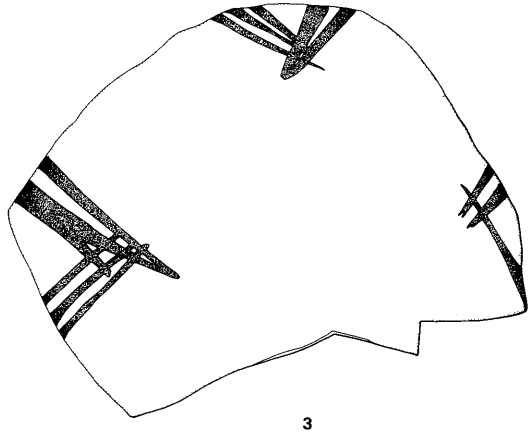
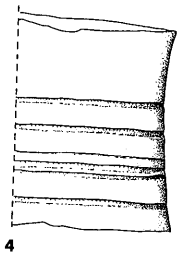
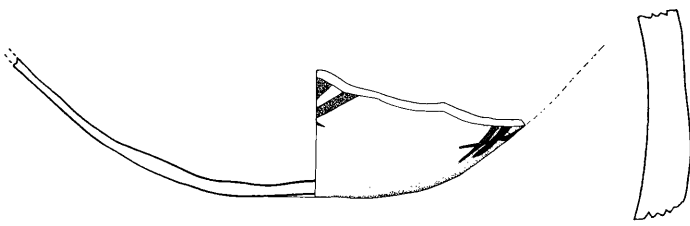
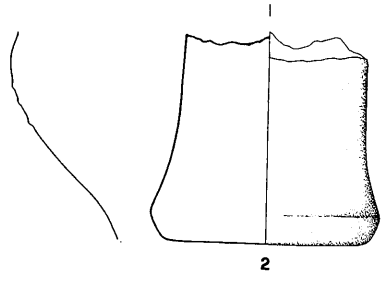
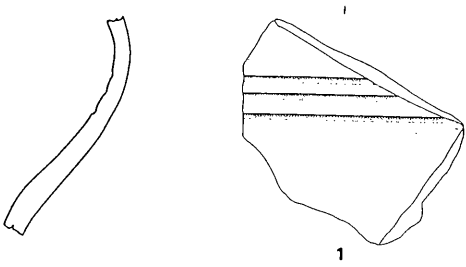


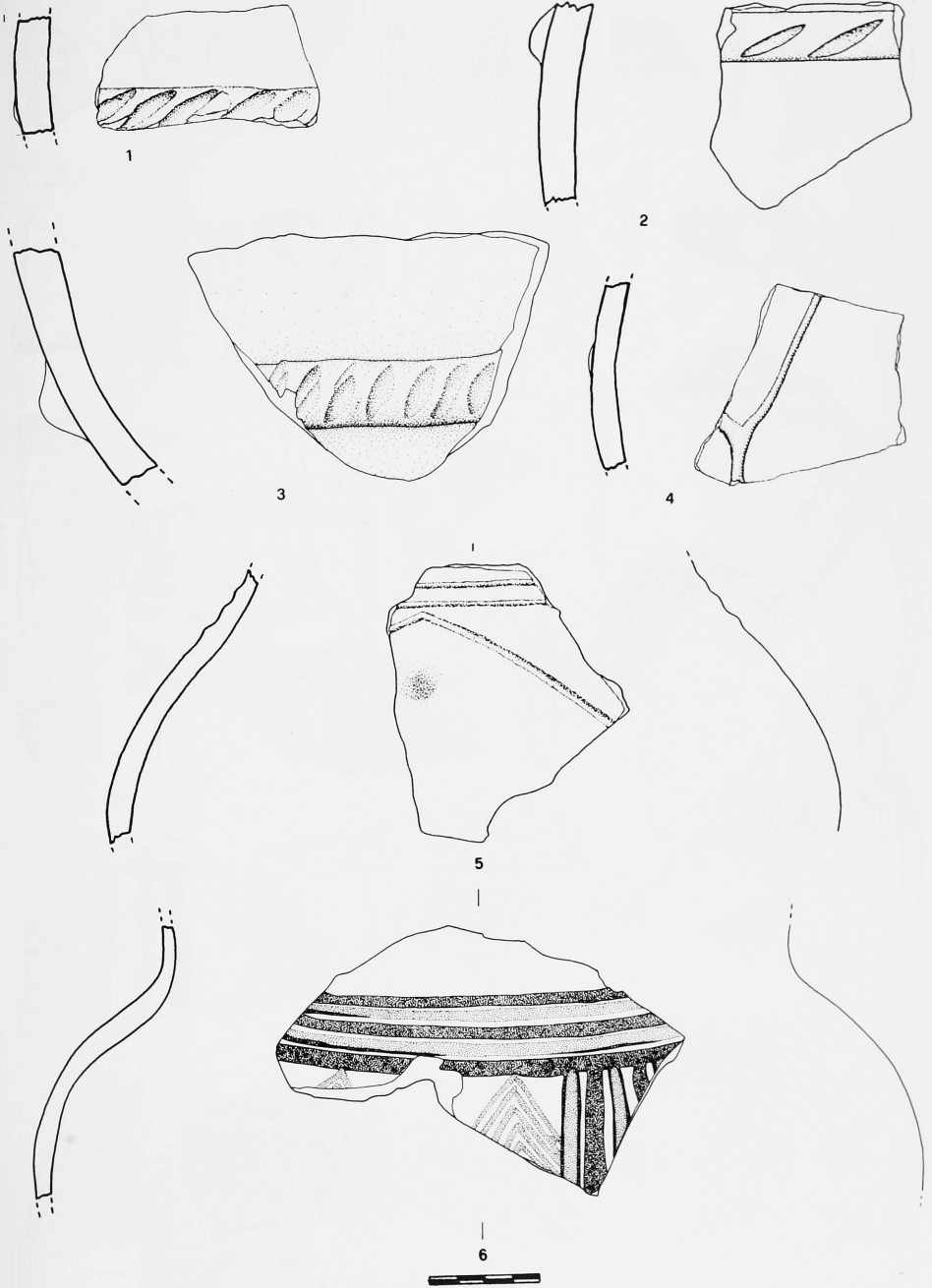
15

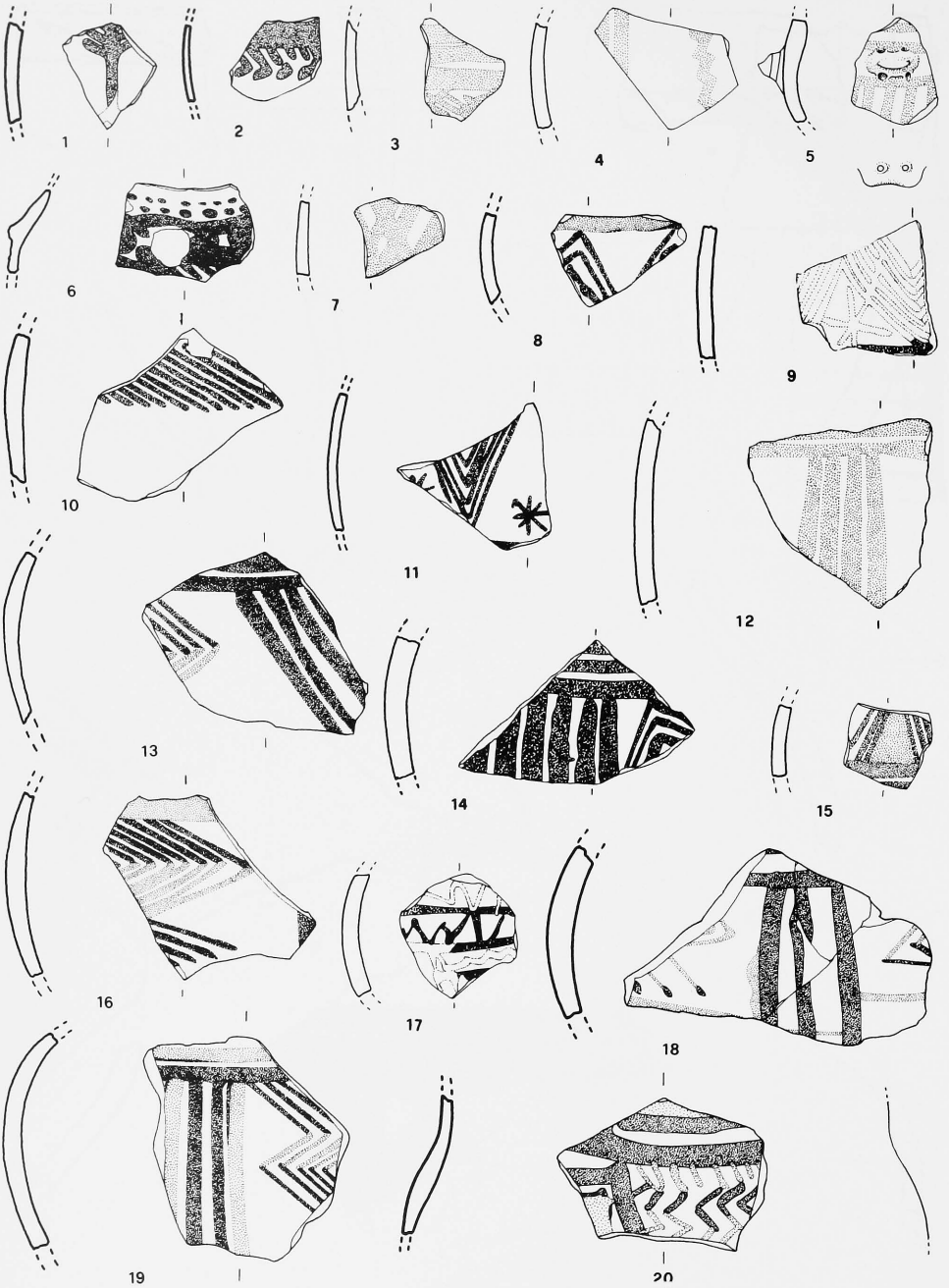


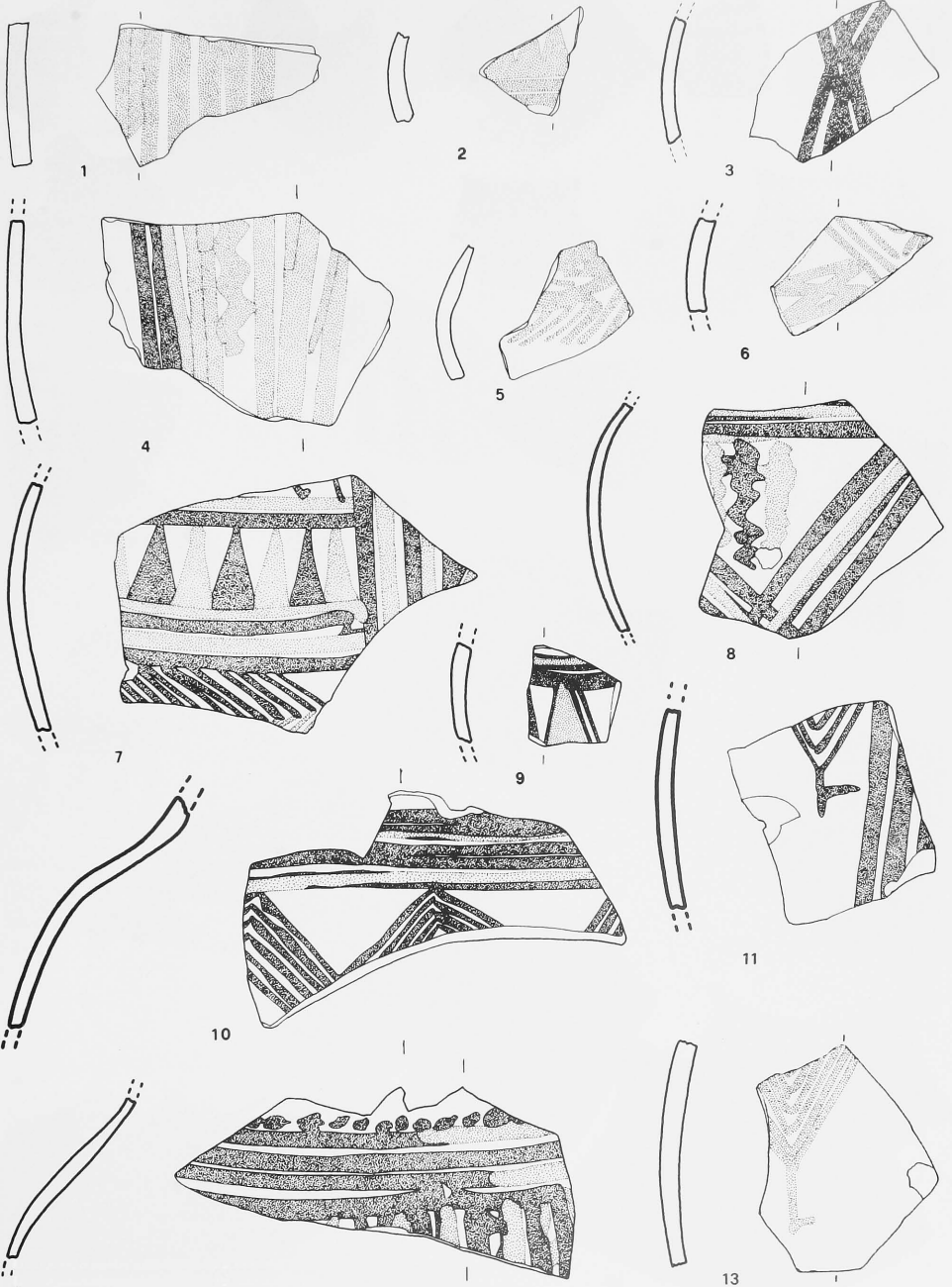
16

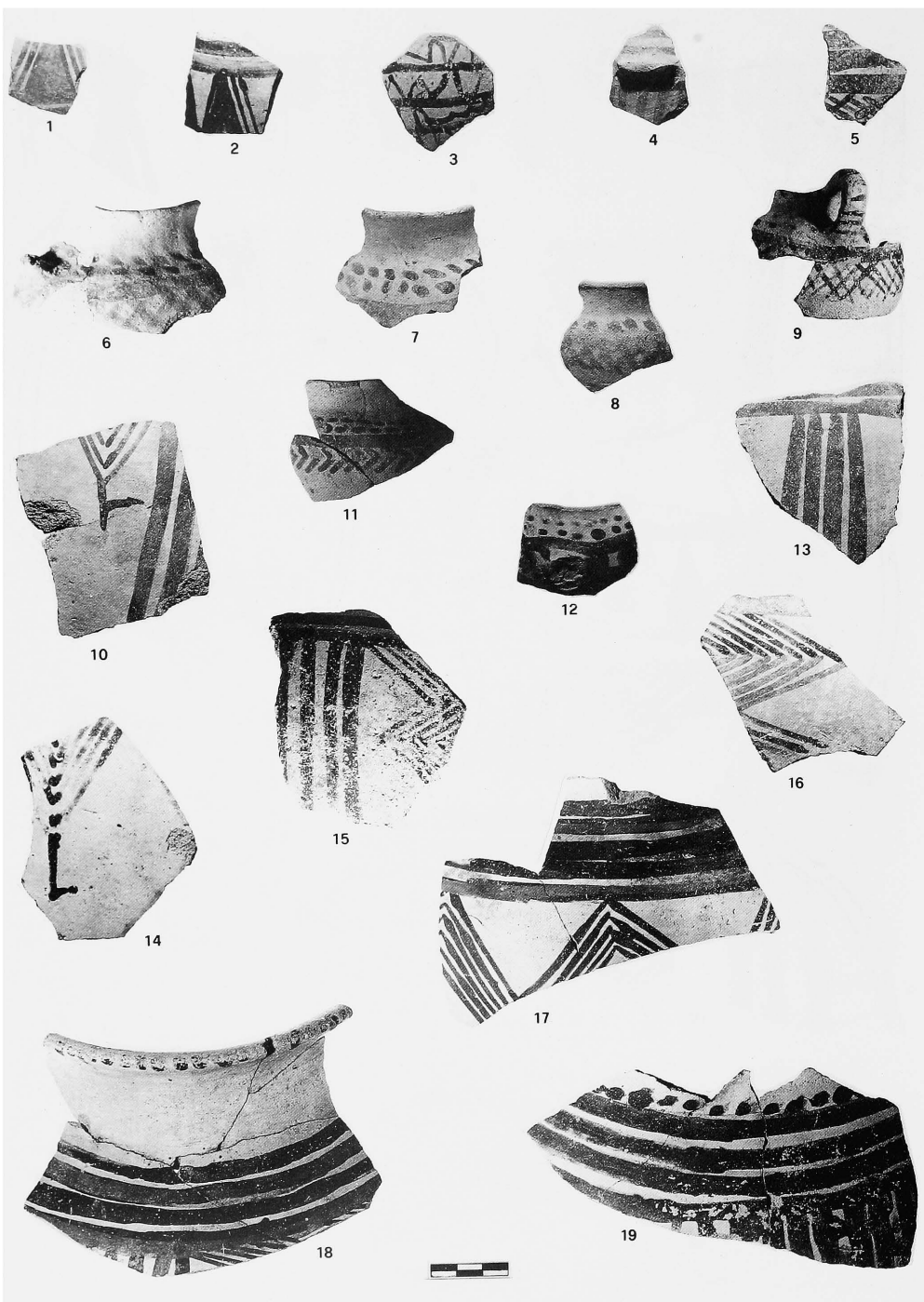


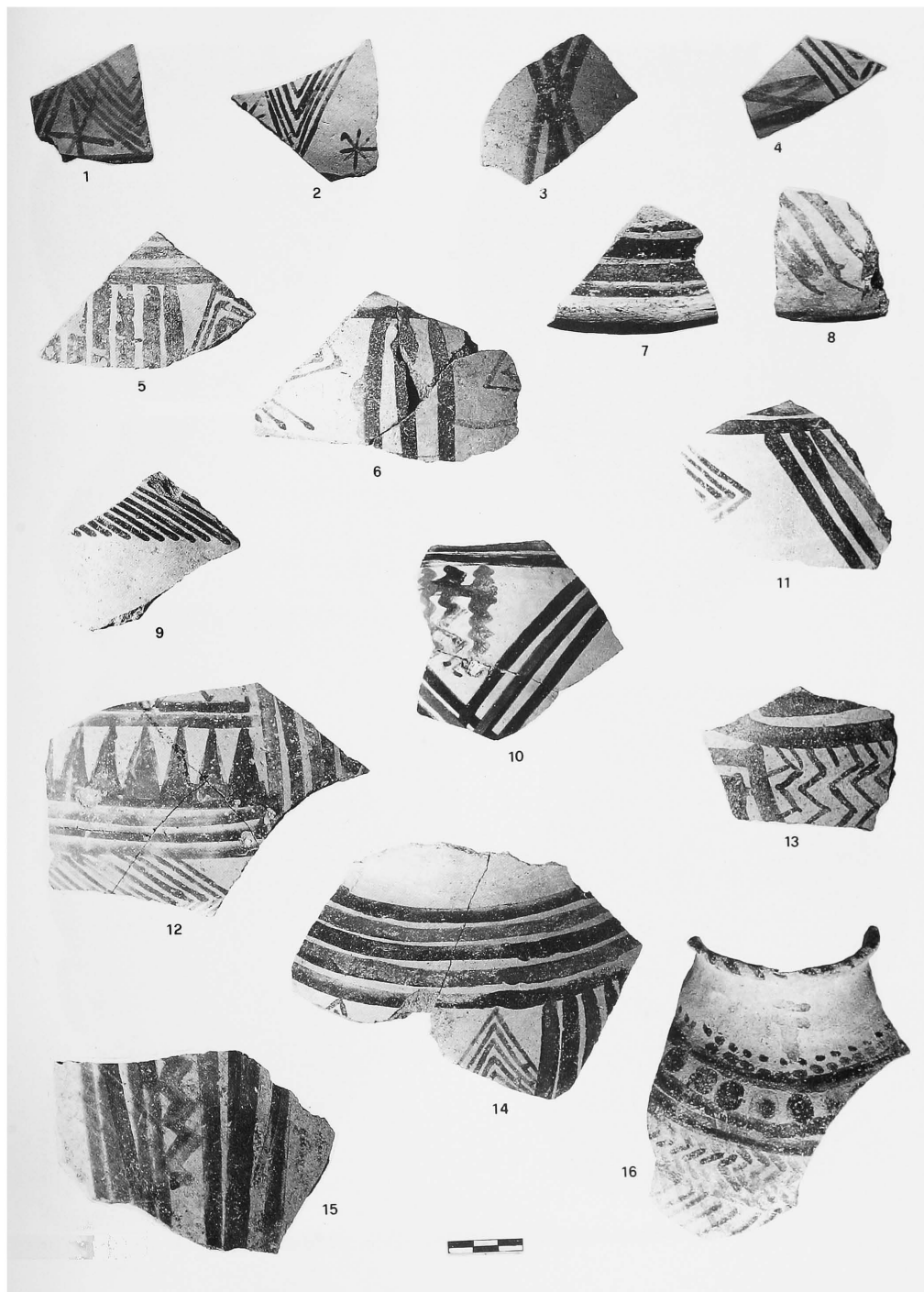


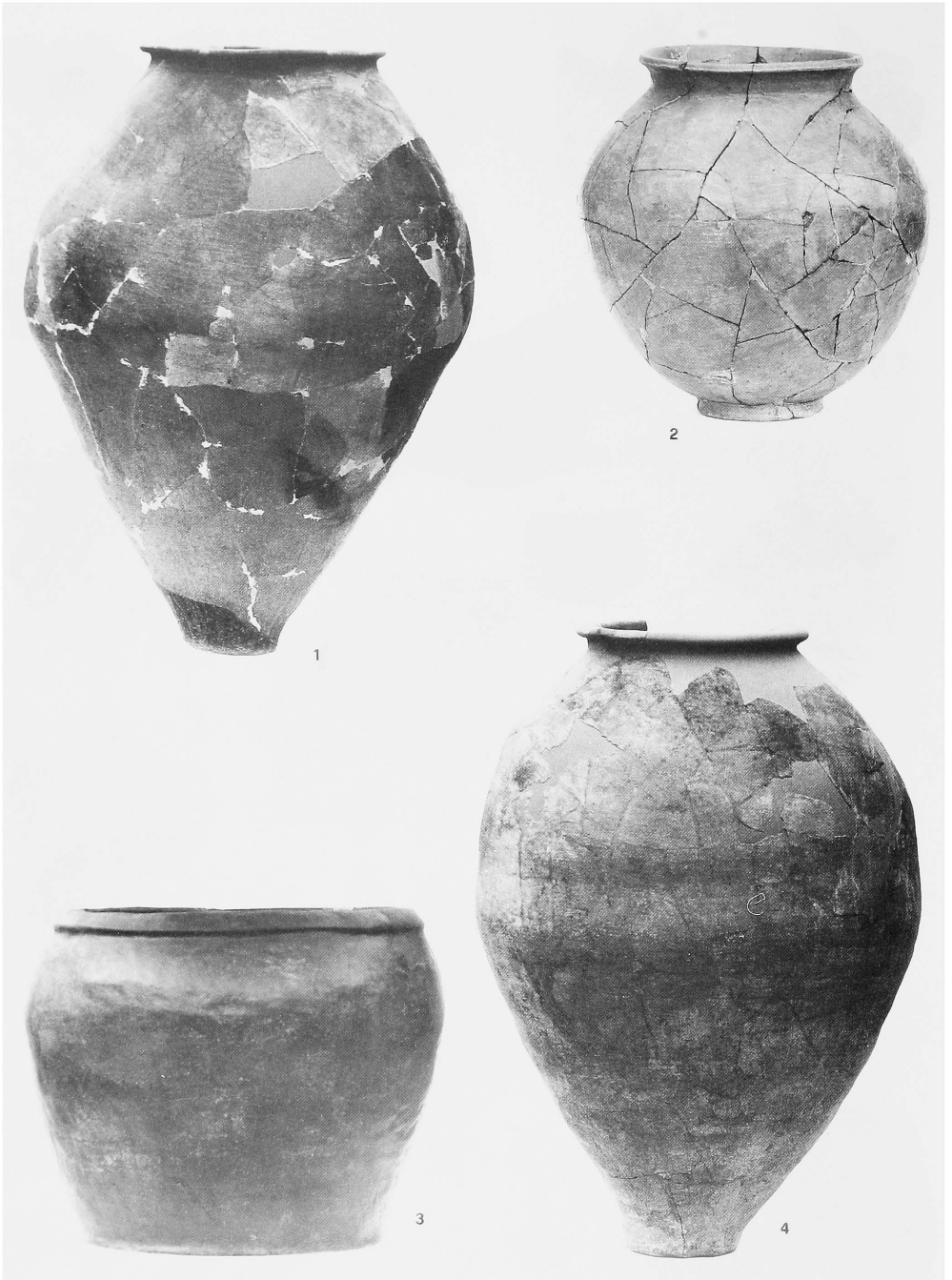




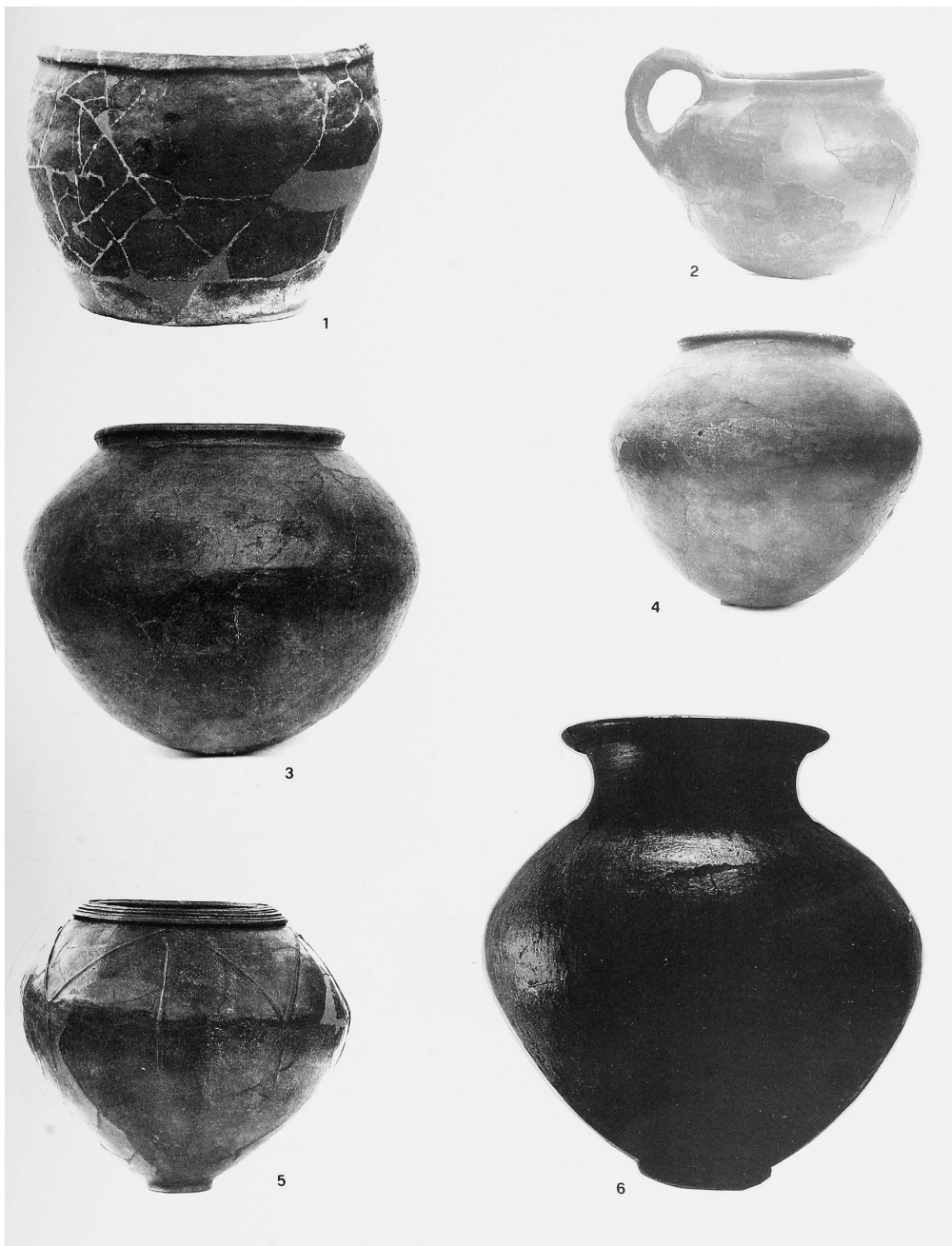








Nr. 1, 4, Maßstab 1:10; Nr. 2, Maßstab 1:5; Nr. 3, Maßstab 1:11



Nr. 1, Maßstab 1:10; Nr. 2, Maßstab 1:4; Nr. 3, 6, Maßstab 1:5; Nr. 4-5, Maßstab 1:9

